



This is a digital copy of a book that was preserved for generations on library shelves before it was carefully scanned by Google as part of a project to make the world's books discoverable online.

It has survived long enough for the copyright to expire and the book to enter the public domain. A public domain book is one that was never subject to copyright or whose legal copyright term has expired. Whether a book is in the public domain may vary country to country. Public domain books are our gateways to the past, representing a wealth of history, culture and knowledge that's often difficult to discover.

Marks, notations and other marginalia present in the original volume will appear in this file - a reminder of this book's long journey from the publisher to a library and finally to you.

Usage guidelines

Google is proud to partner with libraries to digitize public domain materials and make them widely accessible. Public domain books belong to the public and we are merely their custodians. Nevertheless, this work is expensive, so in order to keep providing this resource, we have taken steps to prevent abuse by commercial parties, including placing technical restrictions on automated querying.

We also ask that you:

- + *Make non-commercial use of the files* We designed Google Book Search for use by individuals, and we request that you use these files for personal, non-commercial purposes.
- + *Refrain from automated querying* Do not send automated queries of any sort to Google's system: If you are conducting research on machine translation, optical character recognition or other areas where access to a large amount of text is helpful, please contact us. We encourage the use of public domain materials for these purposes and may be able to help.
- + *Maintain attribution* The Google "watermark" you see on each file is essential for informing people about this project and helping them find additional materials through Google Book Search. Please do not remove it.
- + *Keep it legal* Whatever your use, remember that you are responsible for ensuring that what you are doing is legal. Do not assume that just because we believe a book is in the public domain for users in the United States, that the work is also in the public domain for users in other countries. Whether a book is still in copyright varies from country to country, and we can't offer guidance on whether any specific use of any specific book is allowed. Please do not assume that a book's appearance in Google Book Search means it can be used in any manner anywhere in the world. Copyright infringement liability can be quite severe.

About Google Book Search

Google's mission is to organize the world's information and to make it universally accessible and useful. Google Book Search helps readers discover the world's books while helping authors and publishers reach new audiences. You can search through the full text of this book on the web at <http://books.google.com/>



GES
3060

HARVARD UNIVERSITY.



LIBRARY

OF THE

MUSEUM OF COMPARATIVE ZOÖLOGY.

4058

Exchange

June 1, 1900 - June 19, 1901.

JUN 1 1900

4058

Sitzungsberichte

der

**Gesellschaft zur Beförderung der gesamten
Naturwissenschaften**

zu

M a r b u r g.

Jahrgang 1898.

M A R B U R G.

Universitäts-Buchdruckerei (R. Friedrich).
1899.

Sitzungsberichte

der

**Gesellschaft zur Beförderung der gesammten
Naturwissenschaften.**

zu

M a r b u r g.

Jahrgang 1898.

M A R B U R G.

Universitäts-Buchdruckerei (R. Friedrich).

^{5 m}
1899.

Inhalts-Angabe.

	Seite
<i>Ostmann</i> , Ueber die Reflexerregbarkeit des Musculus tensor tympani durch Schallwellen und ihre Bedeutung für den Gehörract . . .	1
<i>Wernicke</i> , Ueber Immunisirungsversuche bei der Bubonenpest . . .	44
<i>Schaum</i> , Ueber die Anwendung des Lehmann'schen Krystallisations-Mikroskops zur Entscheidung von Isomeriefragen	59
<i>Kossel</i> , Weitere Untersuchungen über die Protamine	65
<i>Rost</i> , Zur Kenntniss der Schicksale der Gerbsäure im thierischen Organismus	66
<i>Kossel</i> , Demonstration eines Vorlesungsversuches (Pepsinverdauung)	76
<i>Malde</i> , Ueber einen Ersatz für Stimmgabeln zur Erzeugung sehr hoher Töne	77
<i>E. Hess</i> , Ueber eine anschauliche Darstellung der regelmässigen Eintheilung des dreidimensionalen sphärischen Raumes . . .	89
<i>Enderlen</i> , Ueber das Schicksal der in die Bauchhöhle verpflanzten Schilddrüse	108
<i>Kutscher</i> , Ueber das Antipepton	113
<i>F. Müller</i> , Ueber die Chemie des Mucins und der Mucoide	117
<i>Toenniges</i> , Ueber die feineren Bauverhältnisse von <i>Opalina ranarum</i>	125
<i>Schenck</i> , Ueber die innere Reibung der krystallinischen Flüssigkeiten	134
<i>Korschelt</i> , Ueber Regenerations- und Verwachsungsversuche an Regenwürmern	135
<i>Schaum</i> , Ueber Energie-Umwandlung im galvanischen Element . .	137
<i>Kossel</i> , Untersuchungen von <i>C. Saint-Hilaire</i> über einige mikrochemische Reaktionen	148
<i>Marchand</i> , Mikroskopische Präparate von zwei frühzeitigen menschlichen Eiern und einer Decidua	150
<i>Marchand</i> , Ueber die Bildung der Placenta foetalis beim Kaninchen	153
<i>Disse</i> , Zur feineren Anatomie der Niere	165
<i>Nebelthau</i> , Ueber einen Bestandtheil der grauen Substanz des Gehirns	173
Nekrologe: <i>A. Leuckart</i> S. 57; <i>R. Schmitt</i> , <i>H. Kämmerer</i> S. 115.	
Verzeichniss eingegangener Schriften S. 63. 115. 136. 162.	
Druckfehler: S. 58, Zeile 14 v. u. lies »nicht nur für« anstatt »nicht für«.	

Verzeichniss der Mitglieder^{*)}

(am Schluss des Jahres 1898).

Ehrenmitglieder.

<i>v. Kölliker, Albert</i> , Dr. med., o. Prof. der Anatomie, wirkl. Geheimrath, Würzburg	6. 7. 97.
<i>Virchow, Rudolf</i> , Dr. med., o. Prof. der pathologischen Anatomie, Geh. Med.-Rath, Berlin	1. 11. 97.
<i>Bunsen, Robert Wilhelm</i> , Dr. phil., o. Prof. d. Chemie, wirkl. Geheimrath, Heidelberg	15. 6. 98. (O. M. 14. 11. 99.)

Einheimische Mitglieder.

A. Ordentliche.

<i>Ahlfeld, Friedrich</i> , Dr. med., o. Prof. der Gynäkologie, Geh. Med.-Rath	11. 7. 83.
<i>Bauer, Max</i> , Dr. phil., o. Prof. d. Mineralogie, Geh. Reg.-Rath	11. 3. 85.
<i>Behring, Emil</i> , Dr. med., o. Prof. d. Hygiene, Geh. Med.-Rath	15. 5. 95.
<i>Disse, Joseph</i> , Dr. med., a.o. Prof. d. Anatomie u. Prosector	13. 11. 95.
<i>Fischer, Theobald</i> , Dr. phil., o. Prof. der Geographie	28. 11. 83.
<i>Feussner, Wilhelm</i> , Dr. phil., a.o. Prof. der Physik	14. 7. 81. (10. 6. 69.)
<i>Gasser, Emil</i> , Dr. med., o. Prof. d. Anatomie, Geh. Med.-Rath	27. 1. 88. (16. 7. 74.)
<i>Hess, Edmund</i> , Dr. phil., o. Prof. der Mathematik	21. 6. 78. (16. 7. 74.)
<i>Hess, Karl</i> , Dr. med., o. Prof. der Ophthalmologie	11. 11. 96.
<i>v. Heusinger, Otto</i> , Dr. med., a.o. Prof. der gerichtl. Med., Geh. San.-Rath	16. 5. 66. (25. 4. 60.)
<i>Kayser, Emanuel</i> , Dr. phil., o. Prof. der Geologie	13. 1. 86.
<i>Kohl, Friedrich Georg</i> , Dr. phil., a.o. Prof. der Botanik	13. 11. 95. (6. 8. 84.)
<i>Korschelt, Eugen</i> , Dr. phil., o. Prof. der Zoologie	26. 7. 93.

^{*)} Die Daten bedeuten den Tag der Ernennung, die in Parenthese gesetzten Daten den Tag der Ernennung zum ausserordentlichen Mitglied.

VI

<i>Kossel, Albrecht</i> , Dr. med., o. Prof. der Physiologie . . .	15. 5. 95
<i>Küster, Ernst</i> , Dr. med., o. Prof. d. Chirurgie, Geh. Med.-Rath	4. 11. 91.
<i>Lahs, Heinrich</i> , Dr. med., a.o. Prof. der Gynäkologie . . .	13. 1. 75. (16. 2. 70.)
<i>Mannkopff, Emil</i> , Dr. med., o. Prof. d. inn. Med., Geh. Med.-Rath	8. 5. 67.
<i>Marchand, Felix</i> , Dr. med., o. Prof. der path. Anat., Geh. Med.-Rath	28. 11. 83.
<i>Meyer, Hans</i> , Dr. med., o. Prof. der Pharmakologie . . .	11. 3. 85.
<i>Meyer, Arthur</i> , Dr. phil., o. Prof. der Botanik	4. 11. 91.
<i>Melde Franz</i> , Dr. phil., o. Prof. der Physik, Geh. Reg.-Rath	4. 5. 64. (12. 6. 60.)
<i>Müller, Friedrich</i> , Dr. med., o. Prof. der inneren Med. . .	26. 7. 93.
<i>Ostmann, Paul</i> , Dr. med., a.o. Prof. der Otologie	13. 11. 95.
<i>Rathke, Bernhard</i> , Dr. phil., a.o. Prof. der Chemie	14. 3. 84.
<i>Schmidt, Ernst</i> , Dr. phil., o. Prof. der pharmaceut. Chemie, Geh. Reg.-Rath	11. 3. 85.
<i>Schottky, Friedrich</i> , Dr. phil., o. Prof. der Mathematik . .	15. 5. 95.
<i>Tuczek, Franz</i> , Dr. med., o. Prof. der Psychiatrie	15. 5. 95. (14. 3. 90.)
<i>Zincke, Theodor</i> , Dr. phil., o. Prof. d. Chemie, Geh. Reg.-Rath	13. 1. 76.

B) Ausserordentliche.

<i>Brauer, August</i> , Dr. phil., Priv.-Doc. der Zoologie	17. 6. 96.
<i>Buchholz, Albert</i> , Dr. med., Priv.-Doc. der Psychiatrie . .	8. 12. 97.
<i>Dietrich, Theodor</i> , Dr. phil., Prof., Director d. landwirthschaftl. Versuchstation	15. 1. 96.
<i>v. Drach, Alhard</i> , Dr. phil., a.o. Prof. der Mathematik . .	11. 7. 66.
<i>Enderlen, Eugen</i> , Dr. med., Priv.-Doc. der Chirurgie . . .	10. 2. 97.
<i>Fritsch, Paul</i> , Dr. phil., Priv.-Doc. der Chemie	24. 4. 96.
<i>Gadamer, Johannes</i> , Dr. phil., Priv.-Doc. d. pharmaceut. Chemie	9. 3. 98.
<i>Kutscher, Friedrich</i> , Dr. med., Assistent am physiol. Institut	16. 2. 98.
<i>Meisenheimer, Johannes</i> , Dr. phil., Volontär-Ass. am zool. Inst.	16. 2. 98.
<i>Nebelthau, Eberhard</i> , Dr. med., a.o. Prof. der inneren Med.	15. 5. 95.
<i>Noll, Alfred</i> , Dr. med.	16. 2. 98.
<i>Ochsenius, Carl</i> , Dr. phil., Consul a. D.	28. 6. 77.
<i>Saxer, Franz</i> , Dr. med., Priv.-Doc. der path. Anat.	11. 11. 96.
<i>Schaum, Carl</i> , Dr. phil., Priv.-Doc. der physik. Chemie . .	11. 8. 97.
<i>Schenck, Rudolf</i> , Dr. phil., Priv.-Doc. der physik. Chemie .	11. 8. 97.
<i>v. Schmidt, Carl</i> , Dr. phil., Prof. em. der Chemie	21. 3. 79.
<i>Tönniges, Carl</i> , Dr. phil., Assistent am zoolog. Institut . .	16. 2. 98.
<i>Weidenmüller, Carl</i> , Dr. phil., Gymn.-Oberlehrer, Prof. . .	14. 4. 82.
<i>Wernicke, Erich</i> , Dr. med., a.o. Prof. der Hygiene	10. 2. 97.
<i>Zumstein, Jacob</i> , Dr. med., Priv.-Doc. der Anatomie, Prof., 2. Prosector	16. 2. 98.

Auswärtige Mitglieder. *)

<i>Azenfeld, Theodor</i> , Dr. med., o. Prof. d. Ophthalmologie, Rostock	(15. 1. 96.)
<i>Barth, Adolf</i> , Dr. med., a.o. Prof. der Otologie, Leipzig	4. 11. 91.
<i>Barth, Arthur</i> , Dr. med., Prof., Oberarzt, Danzig	(18. 11. 95.)
<i>Böhm, Rudolf</i> , Dr. med., o. Prof. der Pharmakologie, Geh. Med.-Rath, Leipzig	20. 5. 81.
<i>Braun, Ferdinand</i> , Dr. phil., o. Prof. der Physik, Strassburg	(8. 2. 78.)
<i>Braun, Heinrich</i> , Dr. med., o. Prof. der Chirurgie, Geh. Med.-Rath, Göttingen	14. 3. 90.
<i>Brauns, Reinhard</i> , Dr. phil., o. Prof. der Mineralogie, Giessen	(27. 1. 88.)
<i>v. Büngner, Otto</i> , Dr. med., Prof., Dir. d. Landkrankenb. Hanau	(1. 5. 92.)
<i>Busz, Karl</i> , Dr. phil., a.o. Prof. der Mineralogie, Münster	(19. 6. 95.)
<i>Claus, Karl</i> , Dr. phil., o. Prof. em. der Zoologie, Wien	10. 2. 64. (8. 2. 58.)
<i>Dohn, Rudolf</i> , Dr. med., o. Prof. der Gynäkologie, Geh. Med.-Rath, Kiel	10. 2. 64.
<i>Falk, Ferdinand August</i> , Dr. med., a.o. Prof. der Pharmakologie, Kiel	28. 4. 75.
<i>Fraenkel, Karl</i> , Dr. med., o. Prof. der Hygiene, Halle	4. 11. 91.
<i>Fürstenau, Eduard</i> , Dr. phil., Stadtschulrath, Berlin	(25. 4. 60.)
<i>Goebel, Karl</i> , Dr. phil., o. Prof. der Botanik, München	27. 1. 88.
<i>v. Hauer, Franz</i> , Ritter, Hofrath, Wien	(3. 2. 56.)
<i>Hermann, Theodor</i> , Dr. phil., Hanau	(2. 7. 68.)
<i>v. Koenen, Adolf</i> , Dr. phil., o. Prof. der Geologie, Geh. Reg.-Rath, Göttingen	28. 4. 75. (10. 6. 69.)
<i>Küster, Fr. Wilh.</i> , Dr. phil., Prof. d. physik. Chemie, Breslau	(26. 7. 93.)
<i>Mannell, Gottfried</i> , Dr. med., Geh. Hofrath, Arolsen	(31. 8. 64.)
<i>Pfannkuch, Wilh.</i> , Dr. med., pract. Arzt, Cassel	(17. 1. 72.)
<i>Pfeffer, Wilhelm</i> , Dr. phil., o. Prof. der Botanik, Geh. Hofrath, Leipzig	(27. 4. 71.)
<i>Plate, Ludwig</i> , Dr. phil., Priv.-Doc. der Zoologie, Prof., Berlin	(27. 1. 88.)
<i>*Behn, Joh. Heinrich</i> , Dr. med. San.-Rath, Frankfurt a. M.	26. 11. 80.
<i>Rein, Johannes</i> , Dr. phil., o. Prof. der Geographie, Geh. Reg.-Rath, Bonn	1. 12. 76.
<i>Rost, Eugen</i> , Dr. med., Hilfsarbeiter am Reichs-Gesundheitsamt, Berlin	(16. 2. 98.)
<i>Rubner, Max</i> , Dr. med., o. Prof. der Hygiene, Geh. Med.-Rath, Berlin	13. 1. 86.

*) Die mit einem * bezeichneten sind correspondirende, die sämtlichen übrigen ehemalige einheimische Mitglieder.

VIII

<i>Rumpf, Theodor</i> , Dr. med., Prof., Dir. des neuen allgemeinen Krankenhauses, Hamburg-Eppendorf	14. 8. 90.
<i>Schell, Wilhelm</i> , Dr. phil., Prof. der Mathematik, Geh. Hof-rath, Karlsruhe	29. 4. 57. (13. 2. 56.)
<i>Schmidt-Rimpler, Hermann</i> , Dr. med., o. Prof. der Ophthal-mologie, Geh. Med.-Rath, Göttingen	15. 11. 71.
<i>Schneider, Justus</i> , Dr. med., San.-Rath, Dir. des Landkrankenh. Fulda	(12. 12. 66.)
<i>Schottelius, Max</i> , Dr. med., o. Prof. d. Hygiene, Freiburg i. B.	(11. 7. 79.)
<i>Siemens, Friedrich</i> , Dr. med., Geh. Med.-Rath, Dir. der Landes-irrenanstalt Lauenburg i. P.	(19. 12. 79.)
<i>v. Sobieranski, Wenzel</i> , Dr. med., o. Prof. der Pharmakologie. Lemberg	(19. 6. 95.)
<i>*Speck, Carl</i> , Dr. med., San.-Rath, Kreis-Physik., Dillenburg	5. 4. 71.
<i>Strahl, Hans</i> , Dr. med., o. Prof. der Anatomie, Giessen	27. 1. 88. (14. 12. 80.)
<i>Study, Eduard</i> , Dr. phil., o. Prof. d. Mathematik, Greifswald	(14. 8. 90.)
<i>Uhloff, Wilhelm</i> , Dr. med., o. Prof. d. Ophthalmologie, Breslau	4. 11. 91.
<i>Weber, Heinrich</i> , Dr. phil., o. Prof. der Mathematik, Geh. Reg.-Rath, Strassburg	11. 3. 85.
<i>Weiss, Otto</i> , Salinen-Director, Geh. Bergrath, Nauheim	(16. 5. 72.)
<i>Willner, Adolf</i> , Dr. phil., o. Prof. der Physik, Geh. Reg.-Rath, Aachen	(8. 12. 58.)

Der Vorstand.

F. Marchand, Vorsitzender. *O. v. Heusinger*, Ständiger Schriftführer.

Engerer Ausschuss.

E. Hess, Stellvertretender Vorsitzender, *M. Bauer*, *E. Kayser*.

JUN 1 1900

Sitzungsberichte

der Gesellschaft zur Beförderung der gesammten Naturwissenschaften

zu

M a r b u r g.

N^{ro.} 1

Januar

1898

In der wissenschaftlichen Sitzung vom 19. Januar 1898
sprach Herr Ostmann:

**Über die Reflexerregbarkeit des Musculus tensor tympani
durch Schallwellen und ihre Bedeutung für den Höract.¹⁾**

Mit einer Arbeit aus dem Gebiet der Pathologie des Gehör-
organs beschäftigt, sah ich mich vor die bisher ungelöste Frage
gestellt, welchen Zwecken die Binnenmuskeln des Ohres dienen,
insbesondere ob bzw. welche Bedeutung sie für den Höract
haben.

Die Ansichten bezüglich dieses Punktes gehen noch heute
trotz mannigfacher Bestrebungen, die Wahrheit zu finden, weit
auseinander, wie schon ein Blick in die Lehrbücher der Physio-
logie von Brücke und Herrmann ohne Weiteres zeigt.

Theils von anatomischen Betrachtungen, theils von Ver-
suchsergebnissen am Präparat oder Beobachtungen willkürlicher
Bewegung der Binnenmuskeln, insbesondere der Musc. tensor
tympani ausgehend glaubten die Einen, den Muskeln die Fähig-
keit, Bewegungen hervorzurufen, überhaupt absprechen zu
müssen (Magnus); sie schienen nichts Anderes als elastische
Bänder des Schalleitungsapparates zu sein, welche durch ihren

1) Die tabellarischen Nachweise zur Arbeit werden im Arch. f. Anat.
u. Physiologie von His, Braune, Du Bois-Reymond, Physiol. Abth. ver-
öffentlicht werden.

elastischen Zug die Stabilität der Knöchelchenkette erhöhen; Andere vermutheten in den Muskeln Schutzapparate gegen zu starke Schallwellen, Andere wieder hielten die Muskeln für Accommodationsapparate, durch deren Mitwirkung das Trommelfell in veränderte und zwar in die für das Mitschwingen jeweilig beste Spannung versetzt werde.

Bei einem solchen Stande der wissenschaftlich hochinteressanten Frage schien es werth, bei ihr zu verweilen und unter Berücksichtigung aller bisher gefundenen objectiven That-sachen durch neue Untersuchungsmethoden eine Lösung der schwebenden Frage zu versuchen.

Das, was wir hören wollen und müssen, soll anders unser Verkehr mit der Aussenwelt ein unbeengter sein, sind Geräusche und Töne bezw. Klänge. Die ersteren haben insbesondere für das scharfe Erfassen der Sprache die bei weitem höhere Bedeutung.

Die Untersuchungen über die Mechanik des Trommelfells haben gezeigt, dass das sehr stark gedämpfte Trommelfell in hohem Maasse geeignet ist zur Aufnahme und Fortleitung von Geräuschen, und dass jede beträchtlichere Eigenschwingung desselben nur dazu führen könnte, die Perception des für das Sprachverständniss wichtigsten Theils der menschlichen Sprache, der Consonanten, zu erschweren. Töne und Klänge von einiger Dauer würden dagegen leichter percipirt, wenn das Trommelfell jeweilig durch Muskelwirkung diejenige Spannung annehmen würde, bei der es am leichtesten im Sinne des anklingenden Tones oder Klanges mitschwingt. Indess ein gutes Sprachverständniss scheint ein solches Postulat der Accommodation oder sagen wir der Anpassung des Trommelfells für Töne und Klänge schon theoretisch nicht unbedingt zu fordern.

Diese einfachen That-sachen führen zu der von Brücke¹⁾ vertretenen Anschauung, dass wahrscheinlich der ganze Apparat der Gehörknöchelchen in Rücksicht auf das Trommelfell mehr als Dämpfer dient, als dass er zur Accommodation desselben für Töne von verschiedener Höhe verwendet werde.

1) Lehrbuch. Wien 1881. pag. 227.

Dieser Anschauung stand bisher die von Hensen gefundene und im grossen Ganzen von Bockendahl bestätigte Thatsache gegenüber, dass beim curarisirten Hund der *Musc. tensor tympani* durch Schallschwingungen reflectorisch erregt wird. Für einen Jeden, der Curarewirkung kennt, enthält diese Thatsache zuuächst einen unlösbaren Widerspruch. Ich werde später zeigen, wie dieser Widerspruch sich löst; damit aber auch die Thatsache der reflectorischen Erregung des Muskels bei den genannten Versuchen in sich zusammenstürzt.

Um eine sichere Grundlage für die sachgemässe Beurtheilung dieser divergenten Anschauungen sowohl als für eigene Fortarbeit zu gewinnen, wollen wir methodisch vorgehen und zuuächst fragen, welche Wirkung hat der ruhende *Musc. tensor tympani* durch seine natürliche tonische Spannung auf die bei der Schallübertragung zum Labyrinth stattfindenden Bewegungen der Knöchelchen?

Die Spannung der Sehne des *Musc. tensor tymp.* ist nicht gering; man fühlt und hört dies bei der Durchschneidung derselben beim Lebenden. Nach der Trennung erhöht sich die Beweglichkeit des Hammergriffs und Trommelfells um ein Beträchtliches; der Zuwachs entfällt zum grössten Theil auf die Bewegung dieser Theile nach aussen. Der natürliche Zug der *Musc. tensor tymp.* bedingt eine gewisse Bewegungsbeschränkung des Hammers und Trommelfells und somit der Gehörknöchelchenkette überhaupt. Kessel¹⁾ beobachtete bei seinen Versuchen am Präparat eine Vergrösserung der Hammerkopfschwingungen um ein Viertel nach Durchschneidung der Sehne des Muskels, während Bezold²⁾ nach der Tenotomie eine Zunahme fast ausschliesslich der Auswärtsbewegung des Apparates constatirte; aber auch nach Ausfall des Zuges der Tensorsehne, sagt er an gleicher Stelle, reicht die übrige Befestigung der Leitungskette hin, um dieselbe in ihrer Ruhelage relativ zum Incursionsmaximum zu erhalten. Für die Schallübertragung scheint dies von wesentlichster Bedeutung zu sein; denn durchschneidet man in einem normal hörenden

1) Arch. f. O. Bd. 8, pag. 89.

2) Arch. f. O. Bd. 16, pag 1 u. f.

Ohr die Sehne des Trommelfellspanners, so wird die Hörschärfe nicht herabgesetzt. Dies zeigt ein von Kessel¹⁾ mitgetheiltes, in sich etwas dunkler, aber nach dieser Richtung voll verwerthbarer Fall. Wohl aber trat Hyperästhesie und zwar nur für Töne des oberen Tonbereichs auf; wir werden sehen, dass diese Thatsache sich aus der von mir gefundenen Wirkung des *Musc. tensor tymp.* erklärt. Aus Vorstehendem folgt:

1. Das Vorhandensein des *Musc. tensor tymp.* ist von unwesentlichem Belang für die Feinheit des Gehörs;
2. Ausfall seiner Wirkung macht das Ohr gegen hohe Töne überempfindlich;
3. Er verringert die Bewegungsfähigkeit des schalleitenden Apparats, insbesondere des Hammers und Trommelfells nach aussen; er ist ein kräftiger Schutz gegen übermässige Bewegungen nach dieser Richtung.

Die Resultate 1 und 2 geben schon wichtige Fingerzeige, in welche Richtung die Untersuchung zu leiten ist.

Vielleicht ergeben sich noch weitere Anhaltspunkte hierfür aus der Betrachtung, wie nach den bisher gewonnenen Thatsachen die *Contraction* des *Musc. tensor tymp.* 1. mechanisch, 2. akustisch wirkt.

Die mechanische Wirkung der *Contraction* des *Musc. tensor tymp.* auf den Schalleitungsapparat ist mehrfach am Präparat (Politzer, Lucae, Helmholtz), wie auch am eben getödteten, aber noch reaktionsfähigen Hund untersucht worden (Politzer). Es hat sich ergeben, dass die mechanische Wirkung des Muskelzuges eine sehr ausgedehnte ist; sie ist nicht allein auf die Paukenhöhle beschränkt, sondern reicht in das Labyrinth hinüber. Wird ein Zug an dem Muskel ausgeübt, so wird gleichzeitig die Spannung sämmtlicher Befestigungsbänder der Gehörknöchelchenkette vermehrt (Helmholtz²⁾), die Zähne des Hammer-Amboss-Sperrgelenks greifen fester ineinander, das Trommelfell spannt sich straffer und durch Hineindrängen der Steigbügelplatte gegen den Vorhof wird der Laby-

1) Archiv f. O. Bd. 31, pag. 138; s. auch A. f. O. Bd. 37, pag. 137.

2) Mechanik der Gehörknöchelchen und des Trommelfells.

rindruck erhöht (Politzer). Dieser Vorgang erschwert die Erregung der letzten Nervenenden des Corti'schen Organs in doppelter Weise: durch erschwertes Mitschwingen der Knöchelchenkette und erschwerte Mitbewegung der Labyrinthflüssigkeit.

Ersteres wird erwiesen durch folgende Versuche:

Reizt man unmittelbar nach der Tödtung am abgetrennten Hundekopf intracraniell den Trigemini, in dessen kleiner motorischen Portion vielleicht die Fasern für den *Musc. tensor tympani* gesucht werden müssen (Politzer, Kolliker¹⁾), so tritt bei zugeleiteten Schallschwingungen eine erhebliche Verminderung der Trommelfellschwingungen ein, so zwar, dass, wenn beispielsweise die Grösse der Excursion eines am Hammergriff befestigten Fühlhebels drei Linien betrug, dieselbe auf etwa eine Linie vermindert wird (Politzer²). Gleichartige Resultate wurden erzielt, wenn an Präparaten durch künstlichen Tensorzug die Spannung des Trommelfells erhöht wurde; die Amplitude der Schwingungen wurde kleiner (Lucae³), oder wenn an Präparaten mit angespannten Muskeln während Tensorzuges die Bewegungen von Trommelfell und Gehörknöchelchen stroboskopisch beobachtet wurden. Die stroboskopischen Bewegungen am vorderen Trommelfellabschnitt wurden sistirt, am hinteren auf einen Bruchtheil der früher vorhandenen reducirt (Kessel⁴). Die von hohen Tönen herrührenden Schwingungen erschienen relativ weniger beeinflusst (Mach und Kessel⁵).

Mit Rücksicht auf diese Versuche am toten Ohr sagt Hensen⁶), sie könnten über die Function des lebenden Muskels noch nicht entscheiden, zur Auffindung derselben seien wir auf die Hypothese und den directen Versuch angewiesen. Dies erscheint mir nur halb richtig. Solche Versuche können zwar nicht über die Function des lebenden Muskels entscheiden, aber

1) Gewebelehre, pag. 288.

2) A. f. Ohrenheilk. Bd. I, pag. 69 u. ff.

3) A. f. Ohrenheilk. Bd. I, pag. 311.

4) A. f. Ohrenheilk. Bd. VIII, pag. 89.

5) Wiener Sitzungsberichte. 1872.

6) Physiologie des Gehörs in Hermann's Handbuch der Physiologie, pag. 61. Leipzig 1880.

wenn wir im Lebenden den Muskel bei directem Versuch functioniren sehen, so sind ihre Ergebnisse der Faden, der uns zur Wahrheit leitet, nicht die Hypothese, wie ich dies an Hensen's Hypothese zeigen werde. Denn mechanisch wird auch der lebende Muskel nie anders wirken können, als der durch intracranielle Reizung erregte.

Zu zweit wird Tensor-Contraction die Mitbewegung der Labyrinthflüssigkeit mit den Bewegungen der Steigbügelplatte erschweren; denn die Erhöhung des Labyrinthdruckes, welche von Politzer durch intracranielle Reizung des Trigeminus experimentell bewiesen ist, muss die Uebertragung kleinster Druckschwankungen auf das Labyrinth erschweren. Wir sehen einen ganz ähnlichen Vorgang zuweilen bei Steigerung des Schädelinnendruckes und nachfolgend des Labyrinthdruckes bei Tumoren der Schädelhöhle. Der steigende Labyrinthdruck wird von steigender Schwerhörigkeit begleitet.

Das einheitliche Resultat aller Untersuchungen bezüglich der mechanischen Leistung der Tensor-Contraction ist somit, dass durch dieselbe das Mitschwingen des Trommelfells und die Fortleitung der Schallschwingungen durch die Gehörknöchelchenkette erschwert wird. Als akustischen Effect sollten wir demnach erwarten, dass das Ohr bis zu einem gewissen Grade schwerhörig gemacht wird.

In wie weit bestätigen dies die bezüglich des akustischen Effects der Tensor-Contraction vorliegenden Beobachtungen?

„Der akustische Erfolg einer Steigerung der Paukenfellspannung“, sagt Fick, „muss nach den Principien der Mechanik der sein, dass die Membran überhaupt weniger stark mitschwingt, besonders aber muss das Mitschwingen mit langsamen Schwingungen beeinträchtigt werden. Die Theorie fordert also, dass die Vermehrung der Paukenfellspannung die Empfindung aller Töne, insbesondere aber die der tiefen Töne vermindert.“

Diese Theorie ist auf den endgültigen akustischen Effect der Tensorwirkung beim Lebenden vielleicht nicht unmittelbar anwendbar, wenngleich sie gut mit unseren Erwartungen bezüglich desselben übereinstimmt; denn, wie wir sehen, spannt der Tensor bei seinem Zuge nicht allein das Trommelfell, sondern

er führt gleichzeitig eine ganze Reihe anderer Veränderungen im Mittelohr und Labyrinth herbei, die den schliesslichen akustischen Effect im Lebenden möglicherweise anders gestalten, als dies die theoretische Betrachtung der Trommelfellmechanik erwarten lässt. So sehen wir denn auch, dass, soweit Versuche am Präparat in Frage kommen, die Theorie mit den Versuchsergebnissen übereinstimmt, da es sich in ihnen wesentlich um Veränderung des Tones bei veränderter Trommelfellspannung handelt; sobald aber am Lebenden der akustische Effect der willkürlichen Tensor-Contraction geprüft wird, ergibt sich kein einheitliches und mit der Theorie stets übereinstimmendes Resultat.

Versuche an Präparaten sind vornehmlich von Politzer und Lucae ausgeführt worden.

Auskultirte Politzer ¹⁾ am abgeschnittenen noch reactionsfähigen Hundekopf durch einen in die Wand der Paukenhöhle eingelassenen Auskultationsschlauch das [Mittelohr, so zeigte sich, dass während intracranieller Reizung des Trigemini ein durch Luftleitung zugeleiteter Stimmgabelton auffallend abgedämpft und schwächer gehört wurde, die Obertöne dagegen deutlicher hervortraten.

Wenn Lucae ²⁾ das Mittelohr eines Präparates von der Tuba auskultirte und durch einen vom Knochen zugeleiteten Stimmgabelton die Luft der Pauke in Schwingungen versetzte, so wurde der Ton abgeschwächt gehört, sobald durch Verdichtung der Luft im äusseren Gehörgang die Spannung des Trommelfells vermehrt wurde. Da bei der Versuchsanordnung alle anderen Verhältnisse ausser der Spannung des Trommelfells unverändert blieben, so darf die Dämpfung des Tones auf die vermehrte Spannung des Trommelfells zurückgeführt werden.

In beiden Versuchen stimmt somit die Theorie mit den Versuchsergebnissen völlig überein. Vermehrte Paukenfellspannung bedingt Abschwächung der Töne, insbesondere der tiefen, wie Politzers Versuch im Besonderen zeigt.

1) Arch. f. Ohrenheilk. Bd. I, pag. 69 u. ff.

2) Arch. f. Ohrenheilk. Bd. I, pag. 313.

Die Versuche an Personen, welche willkürlich ihren Musc. tensor tympani zu contrahiren vermochten, zeigen keineswegs ein gleichartiges akustisches Ergebniss.

Lucae¹⁾ hat im Ganzen fünf Personen untersucht.

Von den vier zuerst Untersuchten bemerkte nur eine, Dr. v. H., eine geringe Dämpfung des Grundtones während der willkürlichen Contraction des Muskels; die übrigen drei hörten im Gegentheil tiefe Stimmgabeltöne verstärkt. Dieses letztere der Theorie keineswegs entsprechende Ergebniss hat sich Lucae dadurch zu erklären versucht, dass durch die bei Tensor-Wirkung gleichzeitig auftretende Zunahme des Labyrinthdruckes im inneren Ohr eine Veränderung hervorgerufen wird, „welche den Einfluss der Spannungsänderung des Trommelfells, besonders auf die Perception tieferer Töne nicht allein wieder aufhebt, sondern letztere sogar zu fördern im Stande ist.“

Bei dem fünften von ihm untersuchten Fall zeigte die Stimmgabeluntersuchung, dass die Dämpfung mit der zunehmenden Höhe der Stimmgabeltöne abnahm, indess für c^4 eine Verstärkung eintrat. Ein weiterer, gut beobachteter Fall ist von Politzer²⁾ mitgetheilt worden. Die Hörweite für die Uhr von rechts 4' 6" und links von 9' wurde bei dieser Person während der Contraction des Tensor rechts um 6", links um 3' herabgesetzt; ein Stimmgabelton wurde während der Contraction dumpfer und schwächer, die Sprache auffallend dumpfer gehört; tiefe Töne von Pfeifen bei rasch aufeinanderfolgenden Zuckungen wie staccatirt, hohe dagegen um $\frac{1}{4}$ Ton höher wahrgenommen. Die letzte Beobachtung ist von Schapringer³⁾ an sich selbst gemacht worden. Bei der Contraction des Tensor verschwanden Töne bis zu etwa 70 Schwingungen ganz, von da erschienen sie geschwächt und leerer in der Klangfarbe, bei noch höheren Tönen verlor sich diese Erscheinung unmerklich und Stimmgabeltöne der drei gestrichenen Octave erschienen einige Male

1) Arch. f. Ohrenheilk. Bd. I, pag. 316; Bd. III, pag. 202. Berlin. klin. Wochenschr. 1874 Nr. 14 und 1886 Nr. 32. Arch. f. Ohrenheilk. Bd. 24, pag. 226.

2) Arch. f. Ohrenheilk. Bd. IV, pag. 28.

3) Wiener Sitzungsberichte. 1870. pag. 571.

bei nicht forcirter Spannung selbst verstärkt. Die höheren Partialtöne der musikalischen Klänge und anderweitiger Geräusche drängten sich ihm beim Einziehen des Trommelfells augenblicklich auf; beim Nachlassen der Anstrengung verloren sie ihre Auffälligkeit.

Diese Versuche führen uns weder in der Erkenntniss, ob der Tensor sich beim gewöhnlichen Hören contrahirt, noch wie die als möglich gedachte Contraction beim Höract akustisch wirkt, einen Schritt vorwärts, weil beim gewöhnlichen Hören unzweifelhaft keine tetanische Contraction des *Musc. tensor tymp.* auftritt. Die tetanische Contraction bedingt ein tiefes schnurrendes Muskelgeräusch, welches wir beim Hören niemals wahrnehmen, und welches, wie Schapringer seinen Schilderungen hinzufügt, bei ihm so heftig war, dass er im Beurtheilen der Intensität der Töne sehr beirrt war.

Angenommen also, der Tensor wirkte, indem er sich contrahirt, beim gewöhnlichen Hören mit, so müsste doch der Contractionsvorgang ein entschieden anderer sein; es könnte sich, wie schon Hensen geschlossen hat, allein um eine einmalige Zuckung handeln.

Nimmt man an, dass alle diese subjectiven Beobachtungen durchaus richtig sind, was nach dem freimüthigen Zugeständniss Schapringers wohl immerhin angezweifelt werden kann, so würde sich ergeben, dass tetanische Contraction des Tensor bei verschiedenen Personen akustisch verschieden wirkt, vorwiegend aber musikalische Töne und Klänge abdämpft, unser Ohr, wie aus den Mittheilungen Politzers hervorgeht, für hohe Geräusche, Urtönen, wie für die Sprache unempfindlicher macht. Verwerthbar wäre somit allein das Resultat, dass tetanische Contraction des Tensor akustisch vorwiegend so wirkt, wie die mechanische Betrachtung seiner Wirkung erwarten lässt, nämlich hinderlich für die Wahrnehmung der in der Musik und in der Sprache vorwiegend vertretenen Tonhöhen und für Geräusche etwa der viergestrichenen Octave.

Dieses Resultat zusammengehalten mit dem, welches man aus der Untersuchung der Mechanik des Trommelfells und der mechanischen Leistung des Trommelfellspanners gewonnen hatte,

hätten eigentlich ganz von dem Gedanken einer, wie Hensen¹⁾ meint, a priori anzunehmenden Thätigkeit der Binnenmuskeln des Ohres beim Hören abführen müssen. Denn die sich daraus ergebende Vorstellung, dass in einem sonst so äusserst fein und zweckmässig construirten Sinnesorgan wie das Ohr ein Apparat eingeschaltet sein sollte, welcher in dem Moment, wo das Sinnesorgan in Action tritt, die Schärfe des Sinnesorgans vermindert, steht mit allen unseren sonstigen Erfahrungen in einem derartigen Widerspruch, dass nur die zwingendsten Gründe uns dazu führen könnten, an eine derartige paradoxe Erscheinung zu glauben; für diese paradoxe Anschauung lag und liegt aber auch heute noch kein anderer Grund vor, als eben die nach Hensen a priori anzunehmende Thätigkeit der Binnenmuskeln des Ohres beim Hören.

Der Vergleich mit dem Auge hat offenbar immer wieder zu solcher aprioristischen Annahme geführt, wobei man sich indess anscheinend nicht recht klar gemacht hat, dass man bei Untersuchungen über die Accommodation des Ohres, so wie man sie supponirte, nach etwas ganz Anderem suchte, als vergleichsweise die Accommodation für das Auge leistet.

Das Auge ist im Ruhezustand für eine unendliche Entfernung eingestellt und bedarf eines besonderen Apparates, um auch aus endlicher Entfernung kommende Strahlen auf der Netzhaut zu einem scharfen Bilde zu vereinigen. Das Resultat ist eine Erweiterung der räumlichen Grenzen des deutlichen Sehens, aber nicht der Sehleistung für Lichtstrahlen verschiedener Schwingungsdauer.

Wollen wir also im Gehörorgan nach Apparaten suchen, welche der Leistung des Accommodationsapparates des Auges entsprechen, so müssen wir nicht nach Apparaten suchen, welche Schallwellen verschiedener Schwingungsdauer zur deutlichen Wahrnehmung bringen, wie dies so häufig geschehen ist, sondern nach solchen, denen wir zunächst nach ihrer mechanischen Leistung die Fähigkeit zuerkennen müssen, die räumlichen Grenzen des Hörfeldes zu erweitern, oder was dasselbe sagt, das Ohr für

1) Phys. des Gehörs in Hermanns Handb. des Phys. 1880. pag. 63.

Schallschwingungen jeglicher Art aber von geringerer Amplitude noch reizbar zu machen, als sie von dem ruhenden, nicht accommodirten Sinnesorgan noch als Reiz empfunden werden.

Ich hoffe in einer weiteren Abhandlung darthun zu können, dass das Ohr einen solchen Apparat besitzt, aber man darf ihn nicht im *Musc. tensor tymp.* suchen, der dem Irisverengerer in soweit entspricht, als derselbe durch reflectorische Contraction das Auge vor schädlicher Blendung schützt. Aber selbst nach dieser Richtung ist die Wirksamkeit des letzteren noch unmittellbarer und umfangreicher wie die des Trommelfellspanners.

Alle vorerwähnten Versuche mit ihren nach bestimmter Richtung hinweisenden Ergebnissen haben jedoch den Gedanken nicht abwenden können, dass der *Musculus tensor* ein Accommodationsmuskel sei und Hensen¹⁾ hat zur Beweisführung vor einer Reihe von Jahren neue Wege eingeschlagen.

Er ist hierbei genau so vorgegangen, wie er es später in seiner Physiologie des Gehörorgans als einzig möglich zur Aufindung der Wahrheit bezeichnet hat; er hat eine Hypothese und einen directen Versuch gemacht. Betrachten wir zunächst die Hypothese.

Sie besagt: Der Tensor kann sich, wenn überhaupt, nur durch Zuckungen am Höract betheiligen, weil bei tetanischer Contraction störendes Muskelgeräusch auftritt. Diese Zuckungen könnten den Sinn haben, das Trommelfell, welches durch seine natürliche Steifigkeit und starke Dämpfung für die Aufnahme von Consonanten und Geräuschen gut geeignet erscheint, durch Spannung zur Aufnahme von Vokalen geeigneter zu machen, indem durch die Spannung die Dämpfung relativ vermindert wird und sich dadurch das Verhältniss umkehrt. Es lässt sich vermuthen, dass der Muskel im Anfang jeder Sylbe zuckt.

Eine einfache Folgerung aus dem Gedankengange Hensen's ist die, dass die reflectorische Contraction des Tensor nur dann den Höract fördern wird, wenn allein periodische, nicht aber auch aperiodische Schallschwingungen den Muskel

1) Beobachtungen über die Thätigkeit des Trommelfellspanners bei Hund und Katze. A. f. Anat. u. Physiol.; Physiol. Abth. von His, Braune und Du Bois-Reymond. 1878. pag. 312 u. ff.

reflectorisch erregen. Dass Hensen in seinen Ueberlegungen zunächst nur an eine Verbesserung des Vokalgehörs durch Tensor-Zuckung gedacht hat, beweisen seine Ausführungen, wie er sich die reflectorische Wirkung des Muskels bei dem Worte „Pracht“ vorstellt und Anderes mehr.

Zwei Voraussetzungen aber, welche diese Hypothese macht, über deren Nichtzutreffen bezw. Unwahrscheinlichkeit sich Hensen indess an dem 1878 schon vorliegenden Material hätte orientiren können, zeigen von vornherein die innere Unwahrscheinlichkeit derselben.

Sie setzt voraus:

- 1) eine bedeutende Kraftleistung des Tensor;
- 2) ein ständiges Uebersehen der Trommelfell-Bewegungen durch die supponirte Tensor-Wirkung beim Hören.

Ersteres trifft nicht zu; letzteres ist unwahrscheinlich.

Die Kraft des Muskels können wir an thatsächlichen Beobachtungen abmessen; sie ist relativ als bedeutend anzuschlagen, weil der Tensor ein gefiederter Muskel ist; gegenüber der dem Muskel von Hensen zugemutheten Leistung indess verschwindend klein.

Politzer¹⁾ berichtet von Dr. A., dass er seinen Tensor willkürlich contrahiren konnte. Gesah dies mehrmals in einer Sekunde, so konnten nach 5—6 Sekunden keine Contractionen weiter hervorgebracht werden, weil ein Gefühl von Ermattung im Ohr eintrat, welches erst nach $\frac{1}{2}$ —1 Minute schwand, nach welcher Zeit dann die Zuckungen abermals willkürlich erregt werden konnten. Bei der manometrischen Messung der Grösse der Excursionen des Trommelfells zeigte sich, dass „nach mehreren rasch aufeinander folgenden Zuckungen die Excursionsgrösse des Tröpfchens etwas abnahm.“ Also ausserordentlich schnelle Ermüdung bis zur vollständigen Functionsunfähigkeit. Nun denke man sich unser Ohr im täglichen Leben beim Anhören eines stundenlangen, schnellgesprochenen Vortrages und ermesse, ob man dem Musc. tensor die Kraft zuschreiben kann, in jeder Minute ungezählte Male beim Erklingen eines Vokales

1) Archiv für Ohrenheilk. Bd. IV, pag. 27.

zu zucken und am Schluss des Vortrages noch gar nicht müde zu sein. Nein, eine solche Kraft vermag der Muskel selbst bei grösster Hochachtung vor seiner Fiederung nicht zu entwickeln.

Des Weiteren berichtet Jacobson¹⁾ — diese Beobachtung ist erst im Jahr 1883 mitgeteilt worden —, dass ein Patient, welcher beim Zukneifen des Auges seinen Tensor mitbewegte, schnelle Muskelermüdung empfand und bei oft hintereinander wiederholtem Zukneifen des Auges immer leiser den Muskelton wahrnahm, während sich objectiv die Verminderung der Einwärtsziehung des Trommelfells bei öfterer Wiederholung des Versuches nachweisen liess.

Die zweite Voraussetzung von Hensen's Hypothese, sollte sie anders eine innere Wahrscheinlichkeit für sich haben, ist die, dass die durch Tensor-Zuckung bedingte Trommelfellbewegung stets übersehen worden ist; denn Niemand hatte und hat bis vor wenigen Wochen, wo ich sie als Erster unter besonderen Bedingungen gesehen habe, Trommelfellbewegung beim Hören durch Tensor-Wirkung beobachtet. Ein dauerndes Uebersehen einer beim gewöhnlichen Hören sich stets erneuernden, wenn auch sehr feinen Bewegung war aber an sich unwahrscheinlich.

Selbst Mach und Kessel²⁾, welche am Lebenden die Schwingungen des Trommelfells beim Anlauten einer Orgelpfeife, also einer periodischen Schwingungszahl gleich der des Vokalklanges, gesehen hatten, vermochten keine Erscheinungen zu beobachten, wie man sie künstlich durch Spannung der Binnenmuskeln am Präparat hervorrufen kann.

Alles dies musste die Annahme, dass eine solche Zuckung im Anfang jeder Silbe möglicherweise bestand, von vornherein als höchst unwahrscheinlich erscheinen lassen.

Indess die Hypothese war da, und der Versuch folgte. Hensen³⁾ beschreibt denselben in folgender Weise: »Die Hunde werden so schwach curarisirt (4—5 mgr Curare), dass sie nach

1) Arch. f. Ohrenheilk. Bd. XIX, pag. 44.

2) Wiener Sitzungsberichte. Jahrg. 1872; Archiv f. Ohrenheilkunde. Bd. VIII, pag. 121 u. ff.

3) l. c. pag. 315.

Beendigung der Operation einigermassen zuckungs- und athmungsfähig sind. Die Theile werden hart unter dem Zungenbein bis zum Pharynx quer durchschnitten und die Bulla ossea einer Seite freigelegt.* Hierbei fand, wie sich aus einer nachträglichen Anmerkung ergibt, eine ausgiebige Unterbindung der benachbarten Gefässe statt. »Die Bulla wird dann mit dem Trepan eröffnet und mit der Knochenzange erweitert.« In den Bauch bezw. Sehnenspiegel des Muskels wurde eine Nadel eingestochen, welche frei herausragte, indess natürlich nur locker sass.

Das zweite Experiment glückte nach Hensen's Erachten vollständig; das Resultat war: »Jeder Ton, jedes Geräusch, jede Silbe brachte die Nadel in Bewegung«; wurde der Ton angehalten, so kam sie zur Ruhe; der Muskel war allem Anschein nach erschlaft. »Jedes neue Geräusch brachte dann wieder Zuckungen.« Doch schienen dieselben auf lautes Geräusch etwas energischer zu sein und bei sehr leisem Geräusch konnten sie ausbleiben. Diese letztere Beobachtung erklärt sich Hensen daraus, dass der Muskel unter einer gewissen Curarewirkung stand und die Schallschwingungen durch Auftreffen auf beide Trommelfellseiten das Mitschwingen desselben ungünstig beeinflussten.

Bei einem weiteren Versuchsthier reagierte der Tensor sehr lebhaft und taktmässig auf die Schläge eines Metronoms, bis zu 108 Schlägen die Minute, während er sich durch den Ton hölzerner Orgelpfeifen sehr wenig erregbar zeigte. »Eine hohe Pfeife von 6000 Schwingungen erregte zwar den Muskel stark und noch von einem andern Zimmer aus, aber tiefere Pfeifen erregten ihn weit weniger, die Contractionen schienen kleiner zu werden, und für Pfeifen unter 200 Schwingungen blieb es zweifelhaft, ob überhaupt eine Bewegung eintrat.« »Hier scheint also,« sagt Hensen, »ein Angriffspunkt für weitere Prüfungen zu liegen.«

Die Hunde wurden dann weiter benutzt, um einige Näherungswerthe für die Zeiten des Eintritts der Zuckung zu erhalten, und ergaben die gefundenen Zahlen, »dass der Muskel zu Beginn der Tonerregung reagirt«.

»An einer noch nicht halbwüchsigen Katze konnten die am Hunde gemachten Erfahrungen bestätigt werden. Man musste

deutlich artikulirt sprechen, wenn der Muskel bei jeder Silbe zucken sollte; sprach man weniger deutlich, so fiel die eine oder andere Zuckung aus. Jedoch bei Wiederholung desselben Satzes waren es nicht wieder dieselben Worte, für welche die Zuckung ausfiel.«

»Auch bei diesem Thier zeigte sich grosse Empfindlichkeit für Orgelpfeifen über 2000 Schwingungen, Unempfindlichkeit für solche unter 100 Schwingungen. Auf solche unter 200 Schwingungen reagierte der Muskel nur, wenn man die Pfeife dicht ans Ohr hielt, dagegen bewegte er sich auf in tiefem Bass gesprochene Worte recht gut.«

Man erkennt, dass die Ergebnisse dieser Versuche, die Hensen übrigens nicht als abgeschlossen betrachtete, und aus denen er zunächst keine weiteren Schlussfolgerungen zog als die, dass sie seinen Voraussagen völlig zu entsprechen schienen, sehr wenig Gesetzmässiges erkennen lassen. Auf periodische wie aperiodische Schallschwingungen antwortete der Muskel bald mit Zuckung, bald blieb er in Ruhe, und selbst die gleichen Schallschwingungen wirkten unmittelbar hintereinander entgegengesetzt. Die am meisten einheitlichen Ergebnisse sind noch, dass eine gewisse Intensität des Schallreizes zur Erzeugung der anscheinenden Reflexzuckung erforderlich erschien, und weiter, dass hohe und sehr hohe Pfeifentöne ungleich stärker den Muskel erregten als tiefe, auf die theilweise überhaupt keine Reflexzuckung folgte.

Die Frage des Weges der Reflexactionen blieb ungelöst; um eine Art von Sehnenreflexen handelte es sich nicht. Wunderbarer Weise vermuthete Hensen, durch] Stichverletzung der Schnecke, Berührung des runden Fensters und des Gehörgangs Muskelzuckungen hervorrufen zu können.

Ich stimme mit Hensen auf Grund dieses Versuchsergebnisses nicht darin überein, dass das Resultat seinen Voraussagen völlig zu entsprechen schien, nämlich dass der Tensor vermuthlich im Anfang jeder Silbe zur Verbesserung des Vokalgehörs zuckte. Für mein Denken sind es überhaupt ganz eigenartige Vorstellungen, die Hensen auf die Vermuthung gebracht haben. Hören wir ihn selbst, wie er sich die Muskelwirkung bei dem

Worte »Pracht«, welches ihm in photographierter Curve vorlag, vorstellt.

»*P* braucht circa $\frac{5}{1000}$ Sekunden und ≈ 0.11 Sekunden, beide also 0.13 Sekunden, so dass der Muskel völlig die Zeit gewinnen kann, sich durch den ersten Anschlag des *P* zu contrahiren, um die Wahrnehmung des auf *Pr* folgenden *a* zu erleichtern. Das *a* dauert 0,22 Sekunden, es könnte also, selbst wenn ihm nur ein *P* voranginge, der Muskel, die Reflexzeit zu 0.1 Sekunden angenommen, sich noch im Verlauf des Vokals contrahiren, um möglicherweise wieder erschlaft zu sein, wenn das *cht* eintritt.« Man mag die Worte drehen und wenden, wie man will, man kann es nur so verstehen, dass durch das Anlauten von *P* die Zuckung reflectorisch hervorgerufen werden soll, welche *a* zu Gute kommt. Wie aber, wenn statt »Pracht« »Przystanki« oder ein anderer ähnlicher polnischer Ortsname ausgesprochen wird? Soll der Muskel dann auch zucken, oder nicht? Zuckt er, so erschwert die Zuckung, nach Hensen's eigener Anschauung über die Mechanik des Trommelfells und gemäss der von ihm angeblich gefundenen Reactionszeit des Muskels, die Perception von *rcs* und nützt für die Wahrnehmung von *y* gar nichts; zuckt er nicht, um das Hören nicht zu erschweren, dann könnten wir nur die Annahme machen, dass das Reflexcentrum es geahnt haben muss, dass dieses Mal hinter *P* nicht *ra*, sondern *rczy* folgt. Zum mindesten eine neue dunkle Stelle in den schon genügend dunklen Reflexvorgängen.

Ich habe das Gefühl, der Bann der eigenartigen Hypothese hat Hensen das einzige, zuvor hervorgehobene, einigermaßen Gesetzmässige in seinen Versuchsergebnissen nicht erkennen lassen, und so ist er im Bann derselben festgehalten worden, wie sich aus den Darlegungen in seiner Physiologie des Gehörs ergibt. Nur in soweit erscheint seine Anschauung über die reflectorische Erregung des Tensor durch Schallwellen später modificirt, dass er es für zweckmässig erachtet, »das Trommelfell beim Ertönen eines Klanges die verschiedenen Grade von Spannung durchlaufen zu lassen, weil dabei die passendste Spannung getroffen werden muss.«¹⁾

¹⁾ 1. c. pag. 65.

Eine Erklärung, wie die von ihm gesehenen Zuckungen des Tensor zu Stande kommen, hat Hensen nicht geben können, trotzdem aber hat er die im Ganzen ganz ungesetzmässige Erscheinung als Bestätigung seiner in sich höchst unwahrscheinlichen Hypothese festgehalten.

Ich will zeigen, wodurch die Zuckungen des Tensor hervorgerufen wurden.

Cl. Bernard¹⁾ hat gezeigt, dass, wenn man einen Frosch mit Curare vergiftet, so dass die motorischen Nervenenden gelähmt sind, und ihre Reizung keine Muskelbewegung mehr auszulösen vermag, trotzdem auf directe Reizung des Muskels eine Zuckung desselben eintritt, die sich von der eines unvergifteten Muskels nur dadurch unterscheidet, dass die Contractionsfähigkeit des vergifteten Muskels länger anhält, als die des unvergifteten.

Sollte nun bei einem Warmblüter eine im Muskel steckende Nadel nicht auch als Reiz wirken? Aller sonstigen Erfahrung nach ohne Zweifel. Nun braucht man sich nur die sehr nahe liegende Vorstellung zu machen, dass der durch die Operation in der heftigsten Weise erschreckte und erregte Hund, dessen sensible und sensorielle Nerven intact sind, beim Ertönen eines schrillen Tones oder eines ihn sonst erregenden Geräusches die geringste Bewegung macht, die man durch kein Festhalten und Festbinden verhindern kann, so wird die im Muskel nur locker sitzende Nadel erzittern und diese Nadelbewegung ist dann der Anstoss zur Contraction. Die grosse Kraft, die der kleine Muskel in den Hensen'schen Versuchen anscheinend gezeigt hat, käme ihm dann nach Cl. Bernard von der Vergiftung. So liesse sich einerseits das einzige einigermaßen Gesetzmässige in den Versuchen erklären, nämlich dass eine gewisse Intensität des Schallreizes erforderlich schien, und dass vor Allem hohe und höchste Pfeifentöne ungleich stärker als tiefe den Muskel erregten, andererseits auch die volle Ungesetzmässigkeit, dass der Muskel bei ein und demselben Wort bald zuckt bald in Ruhe

1) Nach Steiner, Das amerikanische Pfeilgift Curare. Habilitationsschrift. Leipzig 1877. Pag. 38.

bleibt, oder dass tiefe Pfeifentöne den Muskel nur dann, wenn man die Pfeife dicht an das Ohr hält, erregen, in tiefem Bass gesprochene Worte ihn dagegen zur promptesten Zuckung veranlassen. Der psychische Eindruck, den der schrille Ton, das im tiefen Bass gesprochene Wort auf den Hund machte, gab indirect Veranlassung zur Zuckung, indem durch Bewegung des Hundes Bewegung der Nadel auftrat und diese als Reiz wirkte. Ich hatte diese Bemerkungen kaum niedergeschrieben, als mir beim nochmaligen Durchlesen der gleich zu erwähnenden Bockendahl'schen Versuche der Beweis für die Richtigkeit dieser als möglich hingestellten Annahme müheelos zufiel. Diese Bockendahl'schen, den Hensen'schen im Wesentlichen gleichen Versuche, die unter Hensen's Leitung gemacht wurden und nach des Verfassers eigenen Worten »einen hohen Grad der Unvollkommenheit« zeigen, haben nach drei Richtungen hin einen speciellen, bezw. mehr allgemeinen Werth; wir brauchten auf sie sonst nicht näher einzugehen.

Ihr Wert liegt darin,

1) dass Bockendahl die Art der Bewegung des Trommelfells beim Hunde durch Tensor-Wirkung am Präparat richtig erkannt hat;

2) dass durch ein Zugeständnis in der Vorrede zur Arbeit und eine Aeusserung gegen Ende derselben der Beweis für die Entstehungsart der Zuckungen geliefert wird;

3) dass sie zeigen, dass es für den Erfolg wissenschaftlicher Arbeit kaum etwas Nachtheiligeres giebt, als in gänzlicher Befangenheit einer an sich höchst unwahrscheinlichen Hypothese zu arbeiten und nun (wie Bockendahl sagt) einen Befund, nämlich im Unterschied zu Hensen die tetanische Contraction des Muskels während der Schallerregung, durchaus machen zu müssen, weil er als ein logisches Postulat eben dieser Theorie erschien; was übrigens falsch ist.

So fanden sie denn wieder, was sie erwartet hatten.

Auf den zweiten Punkt muss ich hier etwas näher eingehen. Bockendahl ¹⁾ schreibt: »Durch Hensen's Versuche, die auf Grund

1) Archiv für Ohrenheilk. Bd. XVI, pag. 241 u. ff.

eines rein theoretischen Raisonnements unternommen wurden, war der experimentelle Nachweis geliefert, dass der *Musc. tensor tympani* bei Beginn einer Tonerregung, eines Geräusches, einer Silbe mit einer Zuckung reagirt — ein Factum, welches ich bei jedem meiner Versuche zu bestätigen in der Lage war, so ungünstig sie auch oft in Bezug auf die Beantwortung fernerer, sich an dies Factum anschliessender Fragen sein mochten. Der präzise Ausschlag der in den Muskel gesteckten Nadel erfolgte stets, selbst wenn eine Zeit von 1—2 Stunden mit erfolglosen Bemühungen verstrichen war, auf andere, weiter unten zu beschreibende Weise Bewegungen hervorzurufen.* Die ganze folgende Beschreibung der Versuche lässt aber in Folge directer Angabe zunächst nicht den leisesten Gedanken aufkommen, dass die Nadel bei Beobachtung der Bewegung im Muskel gesessen hat, sondern allein den, dass sie im Hammer sass und von hier aus die Bewegungen beobachtet wurden. Dies ist also nicht der Fall gewesen; die Nadel sass im Muskel, was, wenn es noch eines Beweises bedürfte, bewiesen wird durch einen der Schlussätze der Arbeit. Bockendahl hat dargelegt, dass er den Tetanus des Muskels finden musste und sagt dann: »Dass ein solcher dauernder Contractionszustand anfangs der Beobachtung entgehen konnte, lag wohl an der wenig genauen Beobachtung, welche die im Muskel sitzende und ihn wahrscheinlich bald aushöhlende Nadel überall nur gestattete.« Dabei setzt er wenige Seiten zuvor in eingehender Weise auseinander, wie er die Nadel in den Hammer eingebohrt und wie er das Ablesen der Bewegungen eben dieser Nadel vorgenommen habe. Ich versage es mir, auf eine gebührende Charakterisirung einer derartigen Arbeit näher einzugehen. Den einzigen Nutzen hat sein zuvor erwähntes Zugeständniss gebracht, weil es den stricten Beweis für meine Annahme liefert, dass die von Hensen und Bockendahl gesehenen Zuckungen durch den Reiz, den die in dem Muskel sitzende Nadel auf denselben bei Bewegungen ausübte, hervorgerufen sind. 1—2 Stunden müht sich Bockendahl bei den curarisirten Thieren vergeblich ab, ohne directe Verletzung des Tensors Bewegungen zu

beobachten; dann stösst er die Nadel in den Muskel, und sofort erfolgt der präzise Ausschlag derselben. Wir haben es hier also mit einem Analogon des Cl. Bernard'schen Versuches zu thun, und es ist dadurch auch eine Thatsache erklärt, deren Verständnis und Erklärung mir nicht gelingen wollte, nämlich, dass in einem curarisirten Thier, ohne dass der Tensor aus der Circulation ausgeschaltet war, so präzise Reflexzuckungen auftreten konnten, und dass, wie Bockendahl angiebt, die Schwere der Curare-Vergiftung gar keinen Einfluss auf die Intensität der Muskelzuckungen hatte.

Mit diesem Nachweis fällt die Hypothese Hensen's und mit ihr Alles, was er in seiner Physiologie des Gehörs und Andere darauf gebaut haben.

In den ihr zu Grunde liegenden Anschauungen widerspruchsvoll, hat sie nicht zur Förderung, sondern zur Verwirrung gedient. Wir Jüngeren brauchen aber bezüglich der Physiologie des Ohres um so weniger zu klagen:

»Sie haben uns Alles weggenommen,
Die besten Gedanken, das kühnste Wort«

sondern wir wollen neu bauen, wenn das Alte stürzt.

Wir wollen zu diesem Zweck zunächst noch einmal kurz die Thatsachen sichten, die bisher zusammengetragen sind, um die Function des *Musc. tens. tymph.* zu erforschen.

Die Aufhebung seines natürlichen Zuges im Ruhezustande beeinträchtigt nicht die Hörschärfe, bedingt aber Hyperästhesie gegen hohe Töne. Die Contraction des Muskels verringert die Schallschwingungen der Gehörknöchelchen und steigert den Labyrinthdruck; das Vorherrschende in der akustischen Wirkung seiner willkürlichen tetanischen Contraction ist Abdämpfung namentlich von Schallwellen von grösserer Schwungsdauer, nach dem einen vorliegenden Versuch auch von hohen Geräuschen etwa aus der 4. Oktave.

Sein natürlicher Zug im Ruhezustand verhindert eine den Zusammenhang der Knöchelchenkette lockernde oder sprengende Auswärtsbewegung des Hammers.

Dies sind die sicheren Ecksteine, auf denen weitergebaut werden kann und muss. Alles weist darauf hin, dass der Muskel zum Schutz da ist, im Ruhezustand, eine zu starke Bewegung der Knöchelchenkette nach aussen; durch die Contraction, wenn eine solche nachweisbar ist, eine zu intensive, nach innen gerichtete Schallbewegung zu dämpfen.

Will man also an die Prüfung herantreten, so wird man dafür sorgen müssen, unter Anderem auch sehr intensive Geräusche und Töne auf das Ohr einwirken zu lassen.

Als ich meine eigenen Versuche begann, war es mir noch nicht geglückt, die Hensen'schen Versuche zu erklären; aber da ich so viel Widersprechendes in ihnen fand, wollte ich sehen, wie und ob die Widersprüche sich durch andere Versuchsanordnungen lösten.

Die erste Aufgabe, die ich mir stellte, war: Es soll beim unvergifteten Hund ohne Verletzung des Trommelfells und Mittelohrs und ohne jede Schmerzeinwirkung geprüft werden, ob bei Schallerregungen verschiedenster Art Bewegungen am Trommelfell auftreten, die auf Tensor-Wirkung zu beziehen sind.

Die Lösung dieser Aufgabe erforderte:

1) ein genaues Studium der Bewegungen des Trommelfells durch Tensor-Wirkung beim Hunde, wie sie mechanisch durch Zug am Muskel oder auf andere Weise experimentell hervorgerufen werden können;

2) eine dem eigentlichen Versuch vorhergehende Freilegung des Trommelfells in Aethernarcose unter Vermeidung jeglichen Insults desselben;

3) eine absolut sichere Fixation des Hundes.

Betrachten wir diese einzelnen Punkte genauer.

Das genaue Studium der Trommelfellbewegung durch Tensor-Wirkung wurde erzielt:

1) durch Beobachtung der mechanischen Wirkung des Muskels auf das Trommelfell am ganz frischen Präparat.

Da aber vermuthet werden musste, dass die durch Zug am Muskel bedingten Bewegungen gröber ausfallen würden, als solche in Folge Contraction, so wurde

2) die Trommelfellbewegung studirt, welche durch intracraniale Reizung des Trigeniums hervorgerufen wird, und da ein solcher Versuch nur die Möglichkeit in sich schliesst, einige wenige Male die Bewegung zu sehen, ein absolut scharfes Einprägen der Bewegung mit Rücksicht auf das sichere Wiedererkennen indess in hohem Masse zweckmässig erschien, so wurde

3) derselbe Hund, der später für den Hauptversuch ausersehen war, Wochen vor diesem durch allmählig gesteigerte Strichnervvergiftung reflexerregbarer gemacht und dann der Einwirkung derselben Schallquellen, wie sie im Hauptversuch gebraucht werden sollten, ausgesetzt.

Vielleicht gelang es so, Reflexzuckung des Tensors hervorzurufen und die entsprechende Trommelfellbewegung hinreichend sicher zu studiren.

So konnte ich hoffen, jede Bewegung, welche beim un- vergifteten Hund möglicherweise durch Tensor-Contraction am Trommelfell bedingt wurde, mit Sicherheit als solche wiederzu- erkennen.

Die Wirkung des M. tensor auf das Trommelfell kann am Präparat sehr leicht studirt werden.

Der Kopf eines eben getödteten Hundes wird in der Längs- achse durchsägt; das Gehirn entfernt; die Erhebung der halb- zirkelförmigen Kanäle, die wie Glas splittern, mit dem Meissel oder der Zange abgetragen, und die Decke des davor liegenden Knochenkanals, in dem zum grössten Theil der Muskelbauch liegt, nicht selten mit einem Schlage ohne Eröffnung der Pauken- höhle abgehoben. Dann wird das Trommelfell freigelegt; auf das untere, etwas breitere Ende des Hammergriffs, wie auf die Mitte des vorderen wie hinteren Trommelfellsegmentes werden etwa 1 mm hohe Korkpyramiden, deren Spitze man am besten etwas schwärzt, aufgeklebt, und das so armirte Trommelfell bei hellem, durch Hohlspiegel reflectirten Licht unter etwa 4facher Lupenvergrösserung beobachtet, während am Tensor ein leichter, plötzlich nachlassender Zug ausgeübt wird.

Man sieht dann mit geradezu überraschender Deutlichkeit, dass das Trommelfell sich um eine im Hammer- griff verlaufende Axe, wie man ohne nennens-

werthen Fehler sagen kann, dreht, und zwar am linken Ohr, vom Beschauer aus betrachtet, von links nach rechts. Beobachtet man nämlich die Verschiebung, welche die Spitze der auf dem Hammergriff sitzenden Pyramide bei Tensor-Zug nach innen macht, von oben bei mässiger Vergrösserung, so zeigt sich, dass diese Art der Bewegung eine ganz minimale ist. Die ausgiebigste Bewegung macht das hintere Trommelfellsegment.

Es erklärt sich dieser Bewegungsmodus des Trommelfells beim Hunde aus dem nahezu rechtwinkligen Ansatz des Muskels an einem besonderen Muskelfortsatz des Hammers.

Diese Methode, die Trommelfellbewegung sichtbar zu machen, erscheint mir sehr viel einfacher wie die Bockendahl'sche und giebt ein sehr instructives Gesamtbild. Die eigenartige drehende Bewegung erkennt man schon viel leichter, wenn man auf Hammergriff, Mitte des vorderen wie hinteren Segmentes, mit Russ je einen schwarzen Punkt macht und dann die Verschiebungen dieser Punkte beobachtet.

So wurde denn auch der Einfachheit halber diese letztere Methode verwendet, wo es sich darum handelte, am noch reactionsfähigen Hundekopf bzw. dem lebenden Hund die Trommelfellbewegungen durch Tensor-Contraction zu studiren.

Dies geschah zunächst am noch reactionsfähigen Hundekopf in folgender Weise:

Ein mittelgrosser Hund wurde strangulirt und unmittelbar darauf wurden die gesammten Weichtheile des Halses und Nackens bis auf die Wirbelsäule durchschnitten; sodann wurde der Kopf stark nach hinten gebeugt und von der Wirbelsäule mit wenigen Schnitten gelöst. Der Einspannung desselben in den Schraubstock folgte eine kreisförmige Umschneidung der Weichtheile des Hinterkopfes in der Richtung des nun folgenden Sägeschnittes, welcher von der Mitte der Proc. condyloid. des Hinterhauptsbeins seinen Anfang nahm und auf der Scheitelhöhe circa 1 cm hinter der stark vorspringenden Protub. occip. hinauslief. Die Sägefläche lief annähernd durch die Mitte des 4. Ventrikels. Durch Aufheben des verbliebenen Stumpfes des Med. oblongata mittelst breiten Spatels gelangt man in leichtester Weise zu dem Nerv.

trigeminus, der in seinem ganzen intracraniellen Verlauf, von seinem Austritt aus der Brücke bis zu seinem Durchtritt durch die Dura vollkommen frei zugänglich daliegt. Ich glaube, dass diese Versuchsanordnung vor der Politzer's, welcher das Gehirn auslöffelte, Vorzüge bezüglich der Schnelligkeit wie des völligen Intactbleibens des Trigeminus und der umliegenden Hirntheile hat. Nun wurde die linke Ohrmuschel mit einem Zuge umschnitten; der häutig-knorpelige Gehörgang bei mässigem Zuge nach aussen möglichst nahe dem Trommelfell durchtrennt; mittelst berusster Sonde die Mitte des hinteren Trommelfellsegmentes durch einen schwarzen Punkt gezeichnet und dieser mittelst Hohlspiegel und Gasglühlicht hell beleuchtet.

Von dem Moment der Strangulation bis zum Moment der ersten intracraniellen Reizung des linken Nerv. trigeminus mittelst Anlegen einer Electrode waren $3\frac{1}{2}$ Minuten vergangen.

Bei der ersten Reizung habe ich eine Trommelfellbewegung nicht deutlich gesehen, wohl weil ich durch die äusserst schnelle Präparation des Hundes etwas unruhig geworden war. Bei der zweiten und dritten Reizung dagegen war die allein auf Tensor-Contraction zurückzuführende Bewegung des hinteren Trommelfellsegmentes durchaus deutlich. Der Punkt bewegte sich beim Einsetzen der Reizung nach hinten und beim Aufhören derselben wieder nach vorn, genau so, wie die Bewegung beim groben Zug am Muskel im ersten Vorversuch beliebig oft gesehen worden war; nur war die Bewegung bei intracranieller Reizung ungleich feiner.

Bei der vierten Reizung wurde die Bewegung schon erheblich undeutlicher, und als bei der fünften und sechsten Reizung stärkerer Strom zur Reizung verwandt wurde, wurde jede genaue Beobachtung unmöglich, da eine so kräftige Innervation der Kaumuskeln erfolgte, dass der im gekürzten Gehörgang steckende Ohrtrichter störend mitbewegt wurde.

Bei der besprochenen Versuchsanordnung lag die Flüchtigkeit der Bewegungserscheinungen in der Natur der Sache. Es schien mir aber wichtig, ein möglichst hohes Maass der Sicherheit in der Beurtheilung der von Tensor-Contraction herrührenden Trommelfellbewegung zu erreichen. Deshalb versuchte ich,

ob es nicht möglich sei, durch künstliche Steigerung der Reflex-actionen überhaupt reflectorische Contraction des Tensor zu erzielen, wenn man intensive Schallwellen auf den Hund einwirken liess.

Es wurde deshalb folgender dritter Vorversuch gemacht.

Eine Hündin von $6\frac{1}{4}$ Kilo Gewicht, welche sich durch ihre Gutmüthigkeit ganz besonders für den Hauptversuch zu eignen schien und diese Voraussetzung auch nicht getäuscht hat, wurde, nachdem der Versuch mit einem anderen Hunde in Folge Abreissens des Verbandes misslungen war, am 13. 12. 97 9 Uhr Morgens in Aethernarcose ohne Morphinum in nachstehender Weise unter strengster Asepsis operirt.

Nach Abrasiren der Haare — später wurden dieselben in sehr viel einfacherer Weise durch Einreiben eines chemischen Präparates entfernt — wurde die l. Ohrmuschel umschnitten und unter möglichster Vermeidung jeglichen Blutverlustes der knorpelige Gehörgang von seiner Umgebung gelöst; dies geschieht sehr leicht, weil nur ganz lockeres Zellgewebe ihn an die Muskelfascien anheftet. Einige Vorsicht erfordert nur die Freilegung der vorderen unteren Wand, weil sich die Parotis an diese dicht anlegt, und es wegen der Blutung nicht zweckmässig ist, die Drüse anzuschneiden. Unmittelbar nach innen von der Stelle, wo man den nunmehr freigelegten äusseren Gehörgang zu durchschneiden wünscht, legt man eine provisorische Ligatur, um jedes Hineinlaufen von Blut in den Gehörgang bei der nun folgenden queren Durchschneidung desselben zu verhüten. Die Ligatur wird später wieder gelöst, und man sieht den hinteren Trommelfellabschnitt unversehrt frei zu Tage liegen; doch sogleich wird der äussere Gehörgang zum Schutze des Trommelfells mit sterilem Mull wieder geschlossen. Ich habe dann auf zwei verschiedene Weisen weiter operirt. In diesem Falle habe ich den Gehörgangsstumpf oben und unten etwa $\frac{3}{4}$ cm durch Scheerenschnitte gespalten und habe den so gebildeten vorderen und hinteren Gehörgangslappen mit der Haut sorgfältig vernäht. Man erhält so eine trichterförmige Grube, in deren Grund das Trommelfell insbesondere der hintere Abschnitt desselben gut sichtbar ist. Das ganze Trommelfell war bei den

von mir operirten Hunden selbst dann, wenn man sich so dicht an dasselbe herangearbeitet hatte, wegen des tiefen Sinus, den der kurze knöcherne Gehörgang bildet, nicht sichtbar. Bei einer weiteren Operation habe ich nicht mehr den Gehörgang mit der Haut vernäht, weil ich den Eindruck gewonnen hatte, als ob die Naht als Reiz auf den Gehörgang wirkte; sondern ich habe den Gehörgangsstumpf frei in die Wundfläche hineinragen lassen und habe die rinnenförmige Vertiefung um ihn herum mit Jodoformgaze vorsichtig tamponirt, um jedes Hineinfließen von Wundsecret in den ausserdem tamponirten Gehörgang zu vermeiden.

Hiermit habe ich zugleich geschildert, wie ich der zweiten Forderung, die sich aus der gestellten Aufgabe herleitete, nachgekommen bin.

Sollte nun an dem so freigelegten Trommelfell eine sichere, ungestörte Beobachtung möglich sein, so musste zuvor auch die dritte Forderung ihrer Lösung entgegengeführt werden, d. h. eine Methode gefunden werden, durch welche die sichere Fixation des Hundes gewährleistet war. Ich kann nicht verkennen, dass die Eigenart des Hundes meinen Bemühungen sehr förderlich gewesen ist; es war thatsächlich beim Versuch nur eine theilweise Fixation des Hundes in der gleich zu schildernden Weise nothwendig, da, wenn der Wärter des Hundes dicht bei ihm stand, und jeder Schmerz vermieden wurde, der Hund absolut still lag.

Denkt man sich den Hund stehend, und den Raum zwischen der gesammten unteren Fläche seines Rumpfes und Kopfes durch plastischen Thon ausgefüllt, so erhält man einen genauen Abdruck der unteren Fläche seines gesammten Körpers in der natürlichen Haltung. Erhöht man das Thongestell dann um etwa 6 cm, so liegt der Hund nunmehr ohne jede Unbequemlichkeit auf demselben, findet jedoch an den ganz glatten Wänden keinerlei Stützpunkte zum Ansetzen seiner Beine. Er war somit kaum in der Lage, nennenswerthe Kraft zu entwickeln. Durch die ganze Masse des nahezu einen Centner wiegenden Gestells wurden an geeigneten Orten Eisenstangen gesteckt, so dass ein kreuzweises Hinüberführen von Bindentouren unter Anwendung jeder Kraft möglich war. Für die sichere Fixation des Kopfes

waren vorn noch besondere Eisenstangen eingelassen. Durch mehrtägiges Trocknen auf warmem Herd wurde dieses Gestell wie Stein, welches in Folge seines grossen Gewichts absolut sicher stand.

Der unter Umständen grosse Nachtheil dieser Art der Fixation ist der, dass man für jedes Thier eine besondere Form bilden muss, was Zeit und Mühe kostet; aber für die sichere Fixation eines einzelnen Thieres erscheint mir das Verfahren für den vorliegenden Zweck sehr empfehlenswerth. Der Hund lag ohne Fixation in seinem Negativ absolut still, und erst als er durch allmählig gesteigerte Strychninvergiftung unruhiger wurde, wurde Fixation durch straff angezogene Bidentouren nothwendig.

Am Tage der Operation Nachmittags 4⁷ Uhr, nachdem die Wirkungen der Aethernarcose völlig geschwunden waren, wurden nun dem so fixirten Hunde zunächst 0,0005 Strychnin in eine Vene der Streckseite der rechten Hinterpfote, welche mit Hilfe der Infiltrationsanästhesie unter Benutzung physiologischer Kochsalzlösung schmerzlos freigelegt war, injicirt und 1 Minute darauf, 4⁸ Uhr Nachm., die Versuche begonnen.

Die Ton- bzw. Geräuschreihe, welche ich, soweit die Schallquelle eine derartige Modification überhaupt zulies, in drei verschiedenen Stärken zur Anwendung brachte, setzte sich zusammen aus drei offenen und einer gedeckten Pfeife von 86—696 ganzen Schwingungen;¹⁾ hieran schlossen sich Geigentöne fs^3 , g^3 , e^3 und c^4 , hieran die König'schen Klangstäbe von 8192 bis 20480 Schwingungen und schliesslich die Galtonpfeife bei Theilstrich 4,5. Die Tonreihe schlossen die Vokale a , e , i , o , u .

Die Geräuschreihe setzte sich zusammen aus dem Fallapparat und zwar kamen drei verschiedene Fallhöhen zur Anwendung: 20, 100 und 200 cm; aus dem Du Bois'schen Schlitteninductorium mit einer Belastung des Hammers von 810 und 360 mgr. Wachs und ohne Belastung; schliesslich aus verschiedenen anderen Schallquellen, bei denen nur eine Stärke zur Anwendung kommen konnte; es waren diese: schriller Piff, Schuss mit einer Salopistole und die sehr intensiven Geräusche, welche entstehen,

1) Herr Geh. Rath Melde war so liebenswürdig, die Schwingungszahlen zu bestimmen.

wenn man eine mit Speichel befeuchtete Glasplatte mit einem breiten Kork kräftig streicht.

Gleichzeitig wurde mit anderen Schallquellen ein Versuch gemacht, der auf die Function des *Musc. stapedius* abzielte, über den hier zunächst nicht weiter berichtet werden soll.

Die verschiedene Intensität der Pfeifentöne wurde durch verschiedene Belastung des Blasebalgs erzielt, indem als geringste Tonstärke diejenige genommen wurde, welche bei unbelastetem, voll aufgepumptem Blasebalg entstand, die mittelstarke bei 40 Kilo, die stärkste bei 98 Kilo Belastung desselben.

Allerdings werden durch ein derartig verschieden starkes Anblasen der Pfeifen die Töne selbst in soweit verändert, als sie etwas höher werden, und auch die Obertöne mehr hervortreten, doch schien dieser Umstand von keinem wesentlichen Belang, weil es vor Allem darauf ankam, bei den verschiedenen Versuchen nur mit stets gleichen Tonquellen zu operiren, somit eine gewisse, aber stets gleichbleibende Modification des eigentlichen Grundtones der Pfeifen mit in den Kauf genommen werden konnte.

Die wechselnde Stärke der Geigentöne bedingte die Kunst des Geigenspielers, die der Klangstäbe der verschieden starke Anschlag, die der Vokale der Wille.

Die einzelnen Töne und Geräusche folgten in Intervallen von 10 Sekunden, um, falls der Muskel zuckte, eine vorschnelle Ermüdung desselben zu verhüten; doch traten mehrere längere Pausen ein, welche zum Ablauf der allgemeinen Zuckungen des Hundes, zur Erholung des Beobachters, wie zur Demonstration der Trommelfellbewegung für Herrn Dr. Noll vom hiesigen physiologischen Institut erforderlich waren. So dauerte der gesamte Versuch $1\frac{3}{4}$ Stunden.

Das Resultat der Untersuchungen war folgendes:

Nachdem 4⁷ Uhr $\frac{1}{2}$ mgr. Strychnin intravenös injicirt war, wurde von 4⁸ Uhr ab die Ton- und Klangreihe in geringster Stärke durchgeprüft. Es zeigte sich keinerlei Bewegung des Trommelfells, die auf reflectorische Tensor-Contraction durch die erzeugten Schallschwingungen schliessen liess. Da sich auch bei mittelstarker Tonerregung zunächst keine Bewegung zeigte, und

die allgemeine Reflexsteigerung des Hundes nach anderen Anzeichen im Ganzen gering erschien, so wurden 4³⁰ Uhr weitere 0,0005 gr. Strychnin intravenös injicirt und dann mit Pfeife 115,4 Schwingungen — mittelstarke Belastung des Blasebalgs — nach etwa 2 Minuten fortgefahren. Bei den ersten Tonerregungen bekam der Hund sehr kurz dauernde, aber allgemeine Zuckungen der Gliedmassen, wodurch trotz der Bindenfixation eine genaue Beobachtung unmöglich wurde. Nach einigen Minuten konnte die Beobachtung wieder aufgenommen werden, die jedoch im Verlaufe der Untersuchung noch einige Male durch gleiche Zuckungen unterbrochen wurde. Es haben deshalb einzelne Töne mehrmals wiederholt werden müssen, bis ich zu einem festen und sicheren Resultat gekommen war.

Die Tabelle 1, sowie sie von dem Assistenten meines Instituts niedergeschrieben ist, zeigt, daßs nach 0,001 gr. Strychnin mit wenigen, leicht ersichtlichen Ausnahmen (R = Ruhe) auf mittelstarke wie starke Töne und Klänge Bewegung des Trommelfells auftrat, welche ihrer Art nach auf Zuckung, nicht auf tetanische Contraction des Musculus tensor während der ganzen Dauer der Tonerregung mit voller Sicherheit schliessen liess. Herr Dr. Noll, welcher mit Herrn Dr. Rost, Assistent am hiesigen pharmakologischen Institut, so freundlich war, mich bei meinen Versuchen zu unterstützen, erkannte die Bewegung des hinteren Trommelfellsegmentes mit Sicherheit, und zwar dass das hintere Segment sich zunächst nach hinten und dann wieder nach vorn bewegt. Es hatte diese Feststellung der Bewegung durch einen zweiten Beobachter, der dieselbe zuvor nicht gesehen hatte, in sofern erheblichen Werth, als dadurch die Sicherheit der Beobachtung überhaupt wesentlich erhöht wurde.

Besondere Einzelheiten ergibt die Tabelle, welche gleich den anderweitigen tabellarischen Nachweisen im Archiv für Anatomie und Physiologie von His, Braune, Du Bois-Reymond veröffentlicht werden wird.

Die Beobachtung der Bewegung bei den Geräuschen war im Allgemeinen schwieriger, und einige derselben, wie der Schuss

und schrille Pfliff, eigneten sich wegen der Plötzlichkeit der Schallerregung, durch die ich selbst im wichtigsten Moment wenigstens so weit beeinflusst wurde, dass ich nicht mit schärfster Aufmerksamkeit beobachten konnte, für den Versuch überhaupt nicht. Es blieb deshalb zweifelhaft, ob Zuckung auftrat oder nicht. So wurde sie nur beim Niederfallen einer Eisenkugel aus 200 cm Höhe, bei 2 Versuchen mit dem Inductionsapparat und nach wiederholt misslungenen Versuchen bei schrillum, von der Glasplatte ausgehendem Geräusch beobachtet.

Diese Versuche beweisen für die Function des Trommelfellspanners beim Hören gar nichts, auch nicht, ob er sich überhaupt beim unvergifteten Hund jemals reflectorisch auf Schallwellen contrahirt; aber sie dürften auf eine präformirte Reflexbahn zwischen akustischem Centrum und motorischen Kernen des Trigeminus hindeuten. Vor Allem aber hatten wir jetzt mit voller Deutlichkeit so oft die durch Reflexzuckung des Muskels hervorgerufene Trommelfellbewegung gesehen, dass wir sie sicher wieder erkennen konnten und mussten, falls sie beim normalen Hund während des Ablaufes genau derselben Ton- und Geräuschreihe zu irgend einer Zeit auftrat.

Es war mein Plan gewesen, sofort nach Ablauf der Strychninwirkung ebendasselbe Ohr zu den weiteren Untersuchungen zu benutzen; dieser Plan konnte indess nicht ausgeführt werden, da, als ich nach Ablauf der Untersuchungen noch einem Dritten die Bewegungen zu zeigen wünschte, Wundflüssigkeit in den Gehörgang hineinlief, und bei der hochgradig gesteigerten Reflexerregbarkeit des Hundes es trotz aller Vorsicht beim Reinigen des Gehörgangs geschah, dass das Trommelfell gereizt wurde. In Folge dessen entwickelte sich eine Entzündung desselben, welche die weitere Verwendung dieses Ohres leider ausschloss.

Glücklicherweise war das zweite Ohr des Hundes normal, so dass das Trommelfell dieses am 5. 1. 98 um 11 Uhr Vorm. in Aethernarcose in der vorbeschriebenen Weise freigelegt und um 5 $\frac{1}{2}$ Uhr Nachm. desselben Tages der Hauptversuch angestellt werden konnte, um zu erforschen, ob bei dem in keiner Weise beeinflussten Hund durch dieselben Schallerregungen wie im

vor erwähnten Strychnin-Versuch Bewegungen des Trommelfells auftreten würden.

Keiner von uns hat irgend eine auf Tensor-Contraction zu beziehende Trommelfellbewegung gesehen, wie sich aus Tabelle 2 ergibt.

Dieses negative Resultat war in sofern von Bedeutung, als wir schliessen durften, dass bei dem nicht vergifteten Hund weder durch Töne noch Geräusche verschiedenster Art irgend eine reflectorische Zuckung des Tensor aufgetreten war.

Damit war auch der Schluss erlaubt, dass der Muskel beim Hunde während des Höraktes eine Accommodation, d. h. eine Anpassung des Trommelfells an periodische oder aperiodische Schallschwingungen, nicht herbeiführt.

Ich sollte indess durch eine zufällige Beobachtung, welche ich während der Zusammenstellung der Geräuschreihe an mir selbst gemacht hatte, zu einem weiteren positiven Resultat geführt werden.

Während ich nach möglichst intensiven und nicht allzu schnell ablaufenden Geräuschen suchte, geschah es, dass ich eine deutliche Zuckung in beiden Ohren fühlte, als es mir gelang, auf der Glasplatte ein ausserordentlich schrilles, geradezu verletzendes Geräusch hervorzurufen. Ich kenne das Gefühl der Muskelcontraction im Ohr, da ich mit Leichtigkeit beim Verschluss der Augen der gewöhnlichen Annahme nach den Musc. stap. contrahiren kann. Es war dem Gefühl nach unzweifelhaft eine Muskelzuckung gewesen, welche durch das ausnahmsweise unangenehme Geräusch hervorgerufen worden war; doch blieb zunächst unentschieden, ob sie vom Tensor oder Stapedius herrührte. Da eine solche Zuckung den Sinn haben konnte, das Ohr unempfindlicher zu machen, und nach den Resultaten der bisherigen Untersuchungen der Tensor geeignet schien, möglicherweise durch seine Contraction das Ohr zu schützen, so wurde es mir wahrscheinlich, dass ich reflectorische Tensor-Zuckung gefühlt hatte.

Wenn dem so war, so musste es möglich sein, den Vorgang durch die Otoskopie an Anderen objectiv nachzuweisen — denn

Tensor-Wirkung, allerdings nur bei willkürlicher tetanischer Contraction, war gesehen worden —, wenn es gelang, Töne bzw. Geräusche zu erzeugen, die genügend stark und unangenehm waren.

Dies erscheint leichter, als es ist; denn es kostet oft längere, vergebliche Bemühungen, die entsprechenden Geräusche hervorzurufen.

Während ich noch im hiesigen physiologischen Institut, dessen Einrichtungen mir bereitwilligst zur Verfügung gestellt waren, mit den Thierexperimenten beschäftigt war, begann ich in meinem eigenen Institut eine zweite Untersuchungsreihe am Menschen. Die Einrichtungen meines Institutes gestatteten mir nicht, genau die gleiche Ton- und Geräuschreihe wie bei den Thierexperimenten zur Anwendung zu bringen, sondern ich musste mich mit den vorhandenen Mitteln einrichten, was um so besser ging, als diese Untersuchungsreihen von vornherein mehr eine bestimmte Richtung durch die Eigenbeobachtung gewonnen hatten. Man wird indess bei Durchsicht der Tabelle III nicht verkennen, dass ich alle anderen Möglichkeiten einer etwaigen Wirksamkeit des *Musc. tensor* in gleicher Weise mit in Betracht gezogen habe.

Die Schallquellen setzten sich wiederum aus einer Ton- und Geräuschreihe zusammen. Erstere wurde gebildet durch die Vokale *a, e, i, o, u*; sieben gedeckte Pfeifen, drei Stimmgabeln (32, 1024, 2048 Schwingungen); den König'schen Klangstäben *ut*¹, *MJ*¹, *Sol*¹, *ut*², *MJ*²; der Galton-Pfeife bei Theilstrich 7 und 4,5, sowie einer Hornpfeife, so dass Töne und Klänge fast von den tiefsten bis zu den höchsten vertreten waren. Die Geräuschreihe bestand aus: dem Fallapparat (20 cm, 1 m, 2 m), einer höchst unangenehm heulenden Radfahrerpfife; einer Schiefertafel mit Griffel; einer Glasscheibe mit Kork sowie einer schweren Viehkette. Letztere war hinzugekommen, weil eine Patientin gelegentlich äusserte, sie habe einmal ein ganz deutliches Zucken in ihren Ohren empfunden, als eine Viehkette im Stalle klirrend niederfiel. Und in der That erzeugt sie beim kräftigen Schütteln und Niederfallen ein für Manche recht unangenehmes Geräusch.

Diese Marterinstrumente lassen indess keineswegs immer das ihnen innenwohnende unangenehmste Geräusch hervortreten, sondern es will ab und zu gar nicht gelingen, gerade diese zu erzeugen, worauf es vor Allem ankommt. Dadurch werden diese Untersuchungen mühsam, zeitraubend, ganz abgesehen davon, dass sie, wie jeder Nachuntersucher an sich selbst fühlen wird, ein gewisses Mass der Leistung und Ausdauer nicht allein von dem Auge, sondern von der ganzen Person des Untersuchers fordern. In Folge dessen ist es immer nur möglich, kürzere Zeit und in Pausen zu untersuchen; denn andernfalls wird durch Ermüdung das Resultat unsicher; es treten Täuschungen auf, denen man gerade bei der Beobachtung von so äusserst feinen, sehr schnell ablaufenden Bewegungsvorgängen leicht ausgesetzt ist. Sobald man nicht mehr mit absolutester Schärfe und Ruhe beobachten kann, muss die Untersuchung eingestellt werden.

Eine weitere Vorbedingung, die an den Untersucher gestellt werden muss, ist eine vollendete Uebung im Otoscopiren. Denn es bedarf einer sehr grossen Uebung, um feinste, schnell vortübergehende Verschiebungen der Theilchen mit Sicherheit zu erkennen; aber nicht allein dies, es muss die Fähigkeit hinzukommen, seine Aufmerksamkeit auf das Schärfste zu concentriren und sein Auge eine Zeit lang mit voller Ruhe auf einen Punkt fest einzustellen. Um nicht selbst durch die Töne und Geräusche afficirt zu werden, so dass z. B. nur ein plötzliches Blinzeln auftritt, oder die Aufmerksamkeit einen Augenblick gestört wird, muss sich der Beobachter so schwerhörig wie möglich machen — ich selbst hatte mir bei allen Untersuchungen die Ohren fest verstopft, nachdem ich bei den Voruntersuchungen auf die Bedeutung dieses Umstandes aufmerksam geworden war — und er darf nicht so sitzen, dass er mit dem nichtbeobachtenden Auge sieht, wann ein Ton oder Geräusch angegeben wird. Die Ausschaltung aller anderen Sinneseindrücke, soweit nur irgend möglich, unterstützt die Concentration der Aufmerksamkeit auf das eine zu beobachtende Object.

Dies das Verhalten und die erforderlichen Eigenschaften des Beobachters.

Auch der Beobachtete muss bestimmte Voraussetzungen erfüllen. Zunächst muss er ein functionell wie anatomisch vollkommen normales Gehörorgan besitzen; aber auch unter diesen Personen sind — soweit die anatomischen Verhältnisse des Trommelfells in Betracht kommen — diejenigen bei weitem am besten geeignet, welche ein möglichst zartes, gradgestelltes Trommelfell haben, durch welches man die Contouren des Hammergriffs vollkommen deutlich hindurchsieht. Nach meinen bisherigen Erfahrungen hat es mir indess so scheinen wollen, als ob nicht allein diese anatomischen Verhältnisse für die Untersuchung günstig wären, sondern als ob noch ein anderer Umstand gerade solche Personen für dieselben geeignet machte. Es ist mehrfach beobachtet worden — und ich hatte selbst häufiger Gelegenheit dazu —, dass musikalisch begabte Personen eine geringe Neigung des Trommelfells aufweisen. Solche Personen sind aber im Allgemeinen gegen kräftige Disharmonien empfindlicher als unmusikalische. Da sich nun im Verlauf der Untersuchungen zeigte, dass der psychische Eindruck, den ein Ton oder Geräusch auf den Untersuchten macht, anscheinend nicht unbedeutsam für die im Ohr auftretende Reaction ist, so könnte man meinen, dass auch aus diesem Grunde musikalische Personen mit gradgestellten Trommelfellen sich besonders gut für diese Untersuchungen erweisen. Ich habe wenigstens bei keiner Person besser und vollkommener die reflectorischen Zuckungen des Tensor gesehen, als eben bei einer solchen, der unter Nr. 14 der Tabellen aufgeführten Frau Bildhäuser.

Des Weiteren dürfen die zu untersuchenden Personen nicht wissen, worum es sich handelt, und weiter darf ihr Ohr unmittelbar vor ihren Untersuchungen nicht gleichen Geräuschen ausgesetzt gewesen sein. Es ist eine alltägliche Erfahrung, dass ein unangenehmes, heftiges Geräusch uns nicht in gleicher Weise afficirt, wenn wir auf das Auftreten desselben vorbereitet sind, als wenn es uns plötzlich überrascht, und ferner wissen wir, dass wir uns mit der Zeit selbst an die lautesten und zuerst unangenehmsten Geräusche mehr und mehr gewöhnen; sie verlieren allmählich, wenn sie länger auf uns einwirken, an Unbequemlichkeit. Auf die Bedeutung aller dieser einzelnen

Factoren wurde ich während der Versuche mehr und mehr aufmerksam, z. Th. durch Aeusserungen der untersuchten Personen selbst.

Um den Untersuchten möglichst zu überraschen, ist weiter nothwendig, dass er nicht weiss, wann ein Ton oder Geräusch erfolgt; man muss ihn deshalb von der Schallquelle abgewandt setzen oder ihm die Augen verbinden. Durch möglichsten Ausschluss anderer Sinnesempfindungen wird die Empfindlichkeit des in der Aufnahme von Empfindungen nicht behinderten Sinnes erhöht, ein Umstand, der für das Auftreten der Reflexzuckung des Tensor förderlich sein dürfte, wenngleich, um dies gleich hier zu betonen, darin die Ursache der Reflexzuckung unter keinen Umständen zu suchen ist; denn dieselben Personen zeigten mit unverbundenen Augen gleichfalls Reflexzuckungen.

Ein weiterer Umstand erscheint schliesslich auch von nicht geringer Bedeutung, die physisch-psychische Gesamtbasis, wenn ich so sagen darf, auf die der zum akustischen Centrum geleitete Schallreiz auftrifft. Ein und derselbe Sinnesindruck wirkt unter Umständen auf verschiedene Personen ganz verschieden; ein und derselbe Sinnesindruck wird deshalb auch in sehr verschiedenem Grade willkürliche oder unwillkürliche Abwehrbewegungen bedingen können. Man ersieht aus der Tabelle, dass ich schliesslich fast nur junge Mädchen und Frauen aus den niederen Klassen der städtischen Bevölkerung untersucht habe; Näherinnen, Böglerinnen etc.; sie eignen sich besser zur Hervorrufung von Reflexzuckungen des Tensor als kerngesunde Bauernmädchen, die sich so leicht durch ein unangenehmes Geräusch nicht afficiren lassen.

Nachdem durch Vorversuche im Allgemeinen die Bedingungen festgestellt waren, unter denen das Auftreten einer Reflexzuckung am leichtesten zu erwarten war, sind bisher 18 Personen untersucht worden, doch einzelne nicht ganz vollständig, da ich der Personen zunächst nicht wieder habhaft werden konnte.

Bei den Versuchen sass der zu Untersuchende auf einem festen Stuhl, an dem eine sichere Stütze für den Kopf und Rücken angebracht war, um so jede Bewegung des Kopfes mög-

lichst zu verhindern. In den äusseren Gehörgang wurde ein möglichst weiter Trichter eingeschoben — es wurden nur Personen mit besonders gradgestreckten, weiten Gehörgängen gewählt —, und vor diesen eine Convexlinse — $9 D$ — angeordnet, so dass ein mehrfach vergrössertes Bild des Trommelfells entstand, welches sehr hell erleuchtet war, wenn mittelst Concavspeigel Gasglühlicht durch die Linse in das Ohr geworfen wurde.

Der bei Betrachtung mit unbewaffnetem Auge als gleichmässig leuchtende Fläche erscheinende Lichtkegel löste sich in einzelne leuchtende Streifen und Punkte auf, und die Umrisse des in das Trommelfell eingebetteten Hammers schienen auf das Klarste hindurch. Eine zweite Person erzeugte in der durch die Tabelle bestimmten Reihenfolge die Töne und Geräusche drei Sekunden nach Senken eines Fingers der rechten Hand des Untersuchers, um diesem nach gegebenem Zeichen einerseits noch Zeit zu lassen, seine Aufmerksamkeit und Accommodation auf das Schärfste anzuspannen, andererseits durch unnöthig langes Warten eine vorschnelle Ermüdung zu verhüten. So gelang es mir nicht immer, aber doch zumeist mit voller Sicherheit zu sagen, ob eine Bewegung des Hammergriffs stattgefunden hatte oder nicht. Wo in der Tabelle den Buchstaben ein ? beigelegt ist, hat eine ganz sichere Beurtheilung nicht stattgefunden; wo aber *Z* steht, ist die Beobachtung der Zuckung eine untrügliche gewesen. Das bis jetzt vorliegende Resultat der Untersuchungen ist in der gegenüberstehenden kleinen Tabelle übersichtlich zusammengestellt.

Aus der Zusammenstellung ergibt sich:

1) Reflectorische Zuckungen der *Musc. tens. typ.* wurden ausschliesslich bei sehr intensiven, durch ihre Eigenart verletzenden Geräuschen, wie bei sehr hohen Tönen von grosser Intensität, wie Piffen mit der Hornpfeife und bei den König'schen Klangstäben beobachtet. Die Schallempfindung, welche man bei stärkstem Ueberblasen der Pfeifen hatte, war durchaus die eines theilweise sehr unangenehmen Heulens, welches mit dem Grundton begann und auf einen hohen Oberton hinüberzog, der

Tabellarische Zusammenstellung der Versuchsergebnisse.

Bezeichnung der Schallquellen im Allg.	Bezeichnung der Schallquellen im Besonderen	Anzahl der producirten Geräusche, Töne etc.	Zahl der beobachteten Zuckungen
Geräusche	Schiefertafel und Griffel	217	41
	Glasplatte und Kork	177	20
	Kette	45	6
	Radfahrerpfeife	81	11
	Fallapparat $\left\{ \begin{array}{l} 20 \text{ cm Höhe} \\ 100 \text{ " " } \\ 200 \text{ " " } \end{array} \right.$	$\left\{ \begin{array}{l} 29 \\ 25 \\ 28 \end{array} \right.$	$\left\{ \begin{array}{l} 3 \\ 5 \\ 5 \end{array} \right.$
Töne und Klänge	Hornpfeife	67	6
	Vokale $\left\{ \begin{array}{l} a \\ e \\ i \\ o \\ u \end{array} \right.$	32	0
		32	0
		39	0
		40	0
		39	0
	Gedeckte Pfeifen $\left\{ \begin{array}{l} C \left\{ \begin{array}{l} \text{schw. angebl., reiner Ton} \\ \text{stark angeblasen} \end{array} \right. \\ D \left\{ \begin{array}{l} \text{reiner Ton} \\ \text{stark angeblasen} \end{array} \right. \\ E \left\{ \begin{array}{l} \text{reiner Ton} \\ \text{stark angeblasen} \end{array} \right. \\ F \left\{ \begin{array}{l} \text{reiner Ton} \\ \text{stark angeblasen} \end{array} \right. \\ G \left\{ \begin{array}{l} \text{reiner Ton} \\ \text{stark angeblasen} \end{array} \right. \\ A \left\{ \begin{array}{l} \text{reiner Ton} \\ \text{stark angeblasen} \end{array} \right. \\ H \left\{ \begin{array}{l} \text{reiner Ton} \\ \text{stark angeblasen} \end{array} \right. \end{array} \right.$	46	0
		17	2
		44	0
		25	2
		50	0
		31	8
		48	0
		25	7
		66	0
		45	15
		50	0
		26	2
		57	0
		28	3
	Stimmgabeln . $\left\{ \begin{array}{l} 32 \text{ Schwingungen} \\ 1024 \text{ " } \\ 2048 \text{ " } \end{array} \right.$	41	0
		44	0
		40	0
	König'sche Klangstäbe $\left\{ \begin{array}{l} Ut' \left\{ \begin{array}{l} \text{schwacher Anschlag} \\ \text{starker Anschlag} \end{array} \right. \\ 8192 \text{ Sch.} \left\{ \begin{array}{l} \text{sehr starker Anschlag} \\ \text{schwacher Anschlag} \end{array} \right. \\ MJ' \left\{ \begin{array}{l} \text{starker Anschlag} \\ \text{sehr starker Anschlag} \end{array} \right. \\ 10240 \left\{ \begin{array}{l} \text{schwacher Anschlag} \\ \text{starker Anschlag} \end{array} \right. \\ Sol' \left\{ \begin{array}{l} \text{schwacher Anschlag} \\ \text{starker Anschlag} \end{array} \right. \\ 12288 \left\{ \begin{array}{l} \text{sehr starker Anschlag} \\ \text{schwacher Anschlag} \end{array} \right. \\ Ut'' \left\{ \begin{array}{l} \text{schwacher Anschlag} \\ \text{starker Anschlag} \end{array} \right. \\ 16384 \left\{ \begin{array}{l} \text{sehr starker Anschlag} \\ \text{schwacher Anschlag} \end{array} \right. \\ MJ'' \left\{ \begin{array}{l} \text{starker Anschlag} \\ \text{sehr starker Anschlag} \end{array} \right. \\ 20480 \left\{ \begin{array}{l} \text{schwacher Anschlag} \\ \text{starker Anschlag} \end{array} \right. \end{array} \right.$	38	0
		43	3
		46	2
		37	0
		43	0
		42	4
		48	0
		38	2
		51	5
		35	0
		49	3
		42	2
		35	0
		44	1
		36	2
	Galton-Pfeife . $\left\{ \begin{array}{l} \text{Theilstrich 7} \\ \text{" 4,5} \end{array} \right.$	65	0
		62	0

zuletzt sehr kurz aber scharf ertönte. In allen Fällen, wo beim Ueberblasen der Pfeiffen Zuckung beobachtet wurde, handelte es sich demnach um eine durch ein intensives, unangenehmes Geräusch und nicht durch einen reinen Ton veranlasste Zuckung.

Ich habe mich oft bemüht zu erkennen, worin die Eigenart gerade derjenigen Geräusche liege, bei denen ich Zuckung auftreten sah; 5, 6 Mal und häufiger wurden mittelst Schiefertafel und Griffel, oder auf andere Weise laute Geräusche erzeugt, ohne Zuckung zu veranlassen; dann plötzlich entstand ein solches Geräusch und löste die Zuckung prompt aus. Ich habe mehr und mehr den Eindruck gewonnen, dass sie Alle dem Heulen der Pfeifen insofern etwas Verwandtes hatten, als besonders dann Zuckung auftrat, wenn das Geräusch relativ tief ansetzte und blitzschnell eine grosse Summe von Tonlagen bis zu den höchsten hinauf mit grosser Schallstärke durchlief. Dadurch müssen nach der Helmholtz'schen Hypothese, der die von Max Meyer neuerdings aufgestellte deshalb, weil sie einfachen physikalischen Gesetzen zuwiderläuft, nicht Abbruch thun kann, eine ausserordentlich grosse Anzahl von Nervenendelementen gereizt werden, somit die Erregung des akustischen Centrums eine sehr bedeutende sein, zumal da die Erregung aller einzelnen Fasern sich auf eine äusserst kurze Spanne Zeit vertheilt.

Man könnte sich somit sehr wohl vorstellen, dass gerade diese Art von Geräuschen durch die besonders grosse Zahl der erregten Fasern eine besonders starke Erregung hervorruft, und so durch sie am leichtesten und vorzugsweise die Reflexzuckung ausgelöst wird. Die subjective Empfindung, die dieses Uebermass der Erregung in uns hervorruft, ist die des Unbehagens.

2) Kein reiner Klang oder Ton von den tiefsten bis zu den höchsten mit vorstehender Einschränkung für die letzteren löste eine Zuckung aus und auch Geräusche von mässiger und selbst erheblicher Intensität, sofern ihnen durch ihre Eigenart nicht eine besondere Reizstärke inne zu wohnen schien, vermochten nur unter ganz besonderen Bedingungen Reflexzuckungen auszulösen.

Diese besonderen Bedingungen lernte ich bei Untersuchung der Frau Bildhäuser durch ein zufälliges Zusammentreffen kennen. Bei dieser Frau konnten zunächst durch die der Schiefertafel wie der Glasscheibe entlockten Geräusche keine Zuckungen hervorgerufen werden. Die erste, sehr deutliche Zuckung wurde durch das höchst unangenehme und intensive Heulen der Radfahrerpfife hervorgerufen. Die Frau äusserte sofort unaufgefordert: »Das war aber unangenehm, es zuckte etwas.« Eine weitere Zuckung wurde dann bei Verwendung derselben Schallquelle und eine 3. und 4. beim Ertönen der schrillen Hornpfife in ihrer unmittelbarsten Nähe wahrgenommen. Nun liess man ohne Vorwissen der Frau die schwere Kette etwa $1\frac{1}{2}$ m. hoch niederfallen, was sie in der heftigsten Weise erschreckte. Eine Beobachtung war in Folge der allgemeinen Bewegung nicht möglich, gelang jedoch beim 2. Male, beim 3. und 4. Male jedoch wiederum wegen Erschreckens nicht. Es folgte nun der Fallapparat, bei dessen Geräuschen weder vorher noch nachher jemals wieder eine Zuckung beobachtet wurde. In diesem Fall aber, wo die Frau durch den vorhergegangenen Schreck erregbarer geworden war, zeigten sich schon beim Niederfallen des Gewichtes aus 20 cm. Höhe dreimal deutliche Zuckungen und bei Steigerung der Fallhöhe auf 1 und 2 m erfolgte jedesmal lebhaftere, auch für sie selbst auf das deutlichste fühlbare Zuckung des Tensor.

Die psychische Erregung, in die die Frau unmittelbar vorher versetzt worden war, war offenbar die Ursache, dass schon Geräusche, die sonst niemals Reflexzuckungen auslösten, nunmehr solche hervorzubringen vermochten. Bei Durchsicht der Tabelle über die an Menschen angestellten Versuche wird man häufiger finden, dass nach vergeblichen Bemühungen zwei Zuckungen hintereinander folgten, und wenn es auch bei der Ungleichheit der producirtten Geräusche sich um zufälliges Zusammentreffen handeln kann, so könnte man doch auch daran denken, dass, nachdem es einmal durch ein besonders intensives Geräusch zur Auslösung der Reflexzuckung gekommen war, das darauffolgende Geräusch durch die noch fortbestehende Erregung um so leichter eine Reflexzuckung auszulösen vermochte.

In Anlehnung an eine Lotze'sche Definition könnte man

sagen: Die bei den Versuchen beobachtete reflectorische Contraction des Tensor war das zu Tage tretende Ergebniss einer unbewussten Messung des Reizes an den jeweiligen Lebensbedingungen. Jede Veränderung dieser musste auch das Endresultat der Messung verändern.

Welchen Sinn hat nun dies zu Tage tretende Ergebniss?

Nach Allem, was wir auf Grund der im ersten Theil der Arbeit zusammengestellten und kritisch beleuchteten Versuchsergebnisse über die Mechanik des Trommelfells und über die mechanische Leistung der Tensorcontraction wissen, kann es sich nur um eine Abwehrbewegung handeln, durch welche das akustische Centrum und somit der gesammte Organismus vor weiterer, Unlust erregender Einwirkung der unangenehmen Geräusche geschützt werden soll.

Dies geschieht bei den Geräuschen dadurch, dass das Trommelfell, welches im Ruhezustand für die Fortleitung von Geräuschen gut geeignet erscheint, durch die veränderte Spannung in Eigenschwingungen versetzt und somit für die Aufnahme von Geräuschen ungeeigneter gemacht wird; dass das Durchlaufen der Schallschwingungen durch die Gehörknöchelchenkette erschwert wird; und dass schliesslich durch Erhöhung des Labyrinthdruckes die Uebertragung der Schallwellen auf die Perilymphe grösseren Hindernissen begegnet. Auch der Sinn der bei höchsten intensiven Tönen auftretenden Tensor-Contractionen dürfte sich durch Punkt 2 und 3 erklären, während es unbestimmt bleibt, wie weit die veränderte Spannung des Trommelfells hierbei mitwirkt. Hierbei muss ich einer Beobachtung Erwähnung thun, die ich zeitweise gemacht zu haben glaube, wenngleich bei dem ungemein schnellen Ablauf der Bewegung ein ganz sicheres Urtheil schwer abzugeben ist.

Man sieht die durch Tensor-Zuckung hervorgerufene Bewegung bei weitem am deutlichsten, wenn man die Grenzen des Hammergriffs ins Auge fasst. Es ist eine blitzschnelle, äusserst feine, zuckende Bewegung, die über ihn und die nächstgelegenen Trommelfelltheile hinwegläuft. Es hat mir nun wiederholt den

Eindruck gemacht, als ob die Bewegung am Trommelfell mehr zu Seiten des Hammergriffs lag, als gerade im Lichtkegelgebiet.

Diese Beobachtung über den Bewegungsmodus bei Tensor-Contraction stimmt, wie ich sehe, völlig überein mit der Anschauung, welche Gruber ¹⁾ aus seinen anatomisch-physiologischen Studien über das Trommelfell und die Gehörknöchelchen bezüglich der Bewegung des Trommelfells bei der Contraction des *Musc. tensor tympani* gewonnen hat.

Ich hatte zuvor betont, dass der psychische Eindruck, den ein Geräusch auf uns macht, von wesentlicher Bedeutung für das Auftreten der Reflexaction zu sein scheine; anderweitige Beobachtungen bezüglich der an anderen Organen durch Gehörs wahrnehmungen hervorgerufenen Reflexe dürften diese Beobachtung bestätigen. Ich erinnere an die Versuche von L. Conty und A. Charpentier.²⁾ Sie untersuchten unter Anderem die durch Wahrnehmung von Geräuschen mannigfacher Art auf das Herz und das Gefässsystem ausgeübten Reflexwirkungen bei curarisirten Hunden und fanden einerseits, dass mit der Häufigkeit des Schallreizes die Reflexzuckung stetig abnahm, andererseits, dass die verschiedenen Hunde in verschiedener Weise auf den gleichen Schallreiz reagierten, und schliesslich, dass *«la réflexe cardio-vasculaire est lié non à la perception sensitive, mais à un travail cérébral, consécutif et contingent; c'est ce travail cérébral, émotionnel si l'on veut, excessivement variable pour la même excitation, qui réagit secondairement sur la circulation par l'intermédiaire du mésocéphale; et en résumé, une excitation sensorielle déterminera une réflexe cardio-vasculaire seulement quand elle sera émotionnelle.»*

Auch bei meinen Versuchen am Menschen war die Wirkung der Töne und Geräusche eine sehr verschiedene. Bei zwei meiner Versuchspersonen — Nr. 6 und 10 der Tabelle — habe ich überhaupt keine deutliche Zuckung gesehen, wenngleich ich

1) Wien 1867. Anatomisch-physiologische Studien etc.

2) Archives de physiologie normale et pathologique, 1877, p. 525 u. f

mir schon von vornherein Personen aussuchte, bei denen ich einen relativ leichten Ablauf von Reflexactionen vermuthen konnte. Es liegt somit die Vermuthung sehr nahe, dass z. B. bei kräftigen, vollgesunden Männern, die im Allgemeinen weniger einer Beeinflussung ihres psychischen Gleichgewichts, wenn ich so sagen darf, zugänglich sind, es noch schwerer sein dürfte, durch Geräusche, wie ich sie experimentell erzeugt habe, Reflexzuckungen hervorzurufen, als dies schon bei meinen Versuchspersonen der Fall war.

Eine Beobachtung von Bürkner¹⁾ zeigt, dass durch sehr intensive Schalleinwirkungen thatsächlich störende Reflexzuckungen des Tensor auftreten können, sofern der besondere Zustand des Trommelfells — Atrophie — eine ausnahmsweise leichte und ergiebige Bewegung gestattet und bestätigt auch nach anderer Richtung in der schönsten Weise meine Beobachtungen. »Ein etwa 30jähriger Locomotivführer klagte, dass er seit einigen Tagen jedesmal beim Ertönen der Dampfpfeife und mitunter auch bei anderen starken Geräuschen ein lautes Knacken und gleichzeitig eine Bewegung im rechten Ohr spüre.« »Durch lautklingende Stimmgabeltöne, Klappern mit messigen Eiterschalen und ähnliche Geräusche war das vom Patienten beschriebene Symptom nicht zu erzeugen; wohl aber trat es zweimal — und zwar für Bürkner durch das Otoscop hörbar — ein, als B. auf der Fensterscheibe mit dem Messer ein sehr unangenehmes, kratzendes, quitschendes Geräusch hervorbrachte.« Man erkennt sofort die vollständigste Uebereinstimmung der Bedingungen, unter denen hier und in meinen Versuchen Zuckungen auftraten, und man wird deshalb nicht fehlgehen, wenn man mit Bürkner annimmt, dass es sich um eine Tensorcontraction allerdings nicht durch Erschütterung des Trommelfells, sondern durch reflectorische Einwirkung herbeigeführt gehandelt hat. Dass hierbei ein für den Beobachter wahrnehmbares Geräusch entstand, dürfte mit dem schlaffen und atrophischen Trommelfell, welches bei dem Locomotivführer

1) A. f. O. Bd. XXI, pag. 176: Tensorkrampf bei Erschütterung des Trommelfells.

gefunden wurde, zusammenhängen. Gesehen hat Bürkner die Zuckung nicht.

Auch die subjective Empfindung des Locomotivführers ist ganz ähnlich der, die von meinen Versuchspersonen, sofern sie überhaupt eine subjective Empfindung hatten, angegeben wurde: »Es zuckt etwas im Ohr«; »es bewegt sich etwas«. Zur Auffassung der subjectiven Empfindung gehört offenbar eine gewisse Feinheit der Selbstbeobachtung; war aber erst einmal die subjective Empfindung deutlich wahrgenommen worden, so wurde sie von meinen Versuchspersonen in allen Fällen, wo ich Zuckung beobachtet hatte, sofort ungefragt angegeben, aber auch einige wenige Male sonst, wo mir die Bewegung offenbar entgangen war; niemals aber fehlte sie bei den Personen, die überhaupt Zuckungsgefühl hatten, wenn ich deutlich Zuckung gesehen hatte. Die grosse Mehrzahl der Personen hatte aber überhaupt kein Zuckungsgefühl, und erklärt sich dies unschwer daraus, dass der Sinnesreiz — das Geräusch, der Ton — den Empfindungsreiz — das Gefühl der Muskelcontraction — überwog und so den letzteren nicht zur bewussten Wahrnehmung kommen liess.

Das Ergebniss der Arbeit lässt sich dahin zusammenfassen, dass der *Musc. tens. tymp.* ein Schutzapparat des Ohres ist und zwar

1) im Zustande der Ruhe dadurch, dass der Muskel, ohne den Ablauf der Schallschwingungen der Gehörknöchelchen an sich zu erschweren, die Schwingungsweite derselben insoweit einengt, als für eine empfindungslose Wahrnehmung der sensoriiellen Reize erforderlich ist. Dieser Schutz scheint noch für relativ grosse Amplituden der Schallschwingungen zu genügen und gliedert sich harmonisch in die mechanische Leistung des gesammten Schallleitungsapparates ein.

Der Muskel verhindert weiter eine übermässige Auswärtsbewegung des Hammers und Trommelfells und wirkt, fügen wir hinzu, als Antagonist des *Musc. stapedius* insoweit, als sein natürlicher Zug für die normale Wirkungsweise des letzteren in gleicher Weise nothwendig ist, wie dies bei allen anderen

antagonistischen Muskelgruppen der Fall ist, wo die eine Gruppe auch nur unter Mitwirkung der anderen zur vollen und gesetzmässigen Wirkung gelangen kann.

2) Seine Contraction schützt das Ohr dadurch, dass sie Aufnahme und Fortleitung der Schallschwingungen durch den Schalleitungsapparat erschwert. Die Contraction wird reflectorisch weitaus am häufigsten durch intensive Geräusche anscheinend besonderer Art, sehr viel seltener durch intensive höchste Töne hervorgerufen. Die besondere Art der Geräusche scheint darin zu liegen, dass durch sie im Sinne der Helmholtz'schen Theorie eine besonders grosse Zahl von Nervenendelementen gereizt wird, ihnen somit eine besonders erhebliche Reizstärke vermuthlich innewohnt.

In derselben Sitzung (19. Januar 1898) sprach Herr Wernicke:

Über Immunisirungsversuche bei der Bubonenpest.

Seitdem die Pest im Frühjahr 1894 angefangen hat von der einen ihrer alten Heimstätten aus im Süden von Centralchina sich wieder auszubreiten und in den folgenden Jahren an verschiedenen Theilen des südlichen Asiens und namentlich in Bombay in alter schrecklicher Weise aufgetreten ist, hat diese Krankheit, die man fast schon zu den vergessenen zählte, das Interesse der ganzen Welt aufs Neue erregt. Alle Staaten haben Abwehrmassnahmen vorgesehen, seitdem die Pest in dem grossen Welthandelsplatz wüthet, von wo die Gefahr einer Verschleppung nach überall hin so nahe gerückt ist. Als wesentliche Bereicherung unserer Kenntnisse über die Pest, welche seit ihrem neuen Aufflackern Gegenstand vielfacher Studien geworden ist, dürfen wir die Auffindung des Erregers der Bubonenpest durch Yersin und Kitasato betrachten. Es ist dies ein Gewinn, der für die Prophylaxe der Krankheit nicht hoch genug zu veranschlagen ist, da die neue Entdeckung uns in den Stand setzt, die ersten Fälle der etwa eingeschleppten Krankheit sicher zu erkennen und daher von Anfang an die nothwendigen

Verhütungsmassnahmen gegen eine Weiterverbreitung zu treffen. Bekanntlich hat man bald nach Entdeckung des Pestbacillus, namentlich im Institut Pasteur angefangen, die Principien der Blutserumtherapie bei Diphtherie und Tetanus auch auf die Pest zu übertragen und den Versuch gemacht, von grösseren Laboratoriumsthieren (Pferden), welche man gegen den Pestbacillus immunisirt hat, ein Serum zu gewinnen, welches als Heil- und Immunisirungsmittel zur Bekämpfung der Krankheit bei dem Menschen Anwendung finden sollte. Solche, namentlich von Yersin in seinem Laboratorium in Nha-Trang in Asien und im Institut Pasteur hergestellte Pestheilsera haben bei der jetzigen Pestepidemie in Asien Verwendung gefunden. Die Ansichten über die Wirksamkeit des Pestheilserums beim Menschen sind noch getheilt.

Dankenswerthe Gelegenheit, eigene ausführlichere Untersuchungen über den Erreger der Pest anzustellen, namentlich nach der Richtung hin, ob die Herstellung eines stark wirkenden Pestheilserums leicht und schnell möglich sei, wurde mir und meinem Assistenten Herrn Arndt von April vorigen Jahres ab bis Ende desselben dadurch gegeben, dass der Director des Hygienischen Instituts, Herr Geheimrath Behring, uns zwei Pestculturen zur Verfügung stellte. Die Culturen stammen aus dem Institut Pasteur in Paris. Die eine derselben war bezeichnet als Pest Bombay, die andere als Pest Paris. Eine dritte Cultur stellte uns die Liebenswürdigkeit des Herrn Dr. Kurth, Directors des bacteriologischen Instituts der Stadt Bremen, zur Verfügung, so dass Gelegenheit zu vergleichenden Untersuchungen gegeben war. Der Plan für die Immunisirungsarbeiten wurde von vornherein so festgelegt, dass der Versuch gemacht werden sollte, aus den Culturen des Pestbacillus ein specifisches und möglichst hochgradig giftiges Pesttoxin in grösserer Menge zu gewinnen, um mit demselben grössere Thiere zur Heilserumgewinnung in bekannter methodischer Art und Weise mit allmählich steigenden Dosen dieses Giftes zu behandeln und das Blut zur Antitoxin-gewinnung zu verwenden. Bei diesen Versuchen hat uns der bewährte Rath und die Unterstützung seitens des Herrn Geh. Rath Behring an keiner Stelle gefehlt, und hat Derselbe uns

auch bereitwilligst das nothwendige Thiermaterial an grossen Thieren zur Verfügung gestellt, wofür zu danken wir auch an dieser Stelle nicht verfehlen wollen. Die Immunisirung grösserer Thiere mit lebenden virulenten Culturen des Pestbacillus, wie eine solche bei den Versuchen am Institut Pasteur zur Heilserumgewinnung ausgeführt war, wurde von vornherein nicht in Aussicht genommen, weil einmal die mit lebenden Culturen unternommenen Immunisirungsversuche kein sicheres gleichmässiges Resultat geben, und dann die Verantwortung nicht getragen werden konnte, unsere Stadt Marburg der Gefahr einer ev. Pestinfection auszusetzen, da von grösseren, nicht mehr genügend zu controlirenden Thieren, welche mit lebenden Pestbacillen inficirt sind, die Erreger der Pest in die Umgebung nach aussen abgegeben werden. Mit Pestgift behandelte Thiere boten keinerlei Gefahr. Auch das war von vornherein klar, dass die Aussichten ein stark wirkendes Pestantitoxin zu erhalten nur gering seien, wenn die Herstellung eines stark wirk-samen Pestgiftes, das bis dahin noch nicht bekannt war, etwa wie das der Diphtherie oder des Tetanus nicht gelänge.

Bevor an die Lösung dieser Aufgabe gegangen werden konnte, war es nothwendig, die Studien über die Morphologie und Biologie des Pestbacillus an der Hand unserer Culturen anzustellen, die in ihren Grundzügen im April vorigen Jahres durch die grundlegenden Arbeiten von Yersin und Kitasato bekannt waren und im Verlaufe unserer Arbeiten durch die bekannten neueren Veröffentlichungen von Abel, Wilm und die Arbeiten der verschiedenen Pestcommissionen, namentlich der deutschen in Bombay, bestätigt worden sind. Da die Untersuchung unserer Pestbacillen-Culturen Abweichendes von dem nunmehr Bekannten nicht ergeben hat, so wollen wir auch auf die Morphologie und Biologie des Pestbacillus nicht genauer eingehen. Unsere drei Culturen verhielten sich in biologischer Beziehung ziemlich gleich, nur schien die als Pest-Bombay bezeichnete Cultur im Thierexperiment bei Mäusen und Meer-schweinchen am virulentesten zu sein. Selbstredend wurden wegen der Gefahr der Verbreitung des Pestbacillus auch von inficirten kleinen Laboratoriumsthieren aus sowohl durch die

Dejectionen und von den Lungen aus, als auch durch parasitische Insecten, welche den Keim aus dem Blute der geimpften Versuchsthiere oder sonst aufnehmen und verschleppen können, mit den peinlichsten Vorsichtsmassnahmen während der ganzen Untersuchungsdauer gearbeitet. Als ganz besonders unbequem empfanden wir in unserem sonnigen und heissen Laboratorium in den Sommermonaten die Belästigung durch die Fliegen, da für dieselben der eigenartige Geruch, den die Pestculturen aushauchen, eine ausserordentliche Anziehungskraft zu besitzen scheint. Denn regelmässig konnten wir beobachten, dass dieselben, wenn die Culturmassen von den Agarröhrchen zur Gewinnung der Bacillenmassen abgestrichen wurden, sich unausgesetzt bemühten auf diese Röhrchen zu gelangen. — Mäuse und Meerschweinchen wurden in hohen Glasgefässen gehalten, das Streumaterial (Holzwohle, Torfmull) war entweder antiseptisch präparirt, oder am Boden der Glaskäfige befand sich eine Schicht Sublimatlösung, und die Thiere sassen darüber auf einem Drahtgeflecht. Die Käfige verschloss ein dichtmaschiges Drahtnetz, um den Fliegen den Zutritt zu verwehren. Von Formalin und Insectenpulver wurde ausgiebiger Gebrauch gemacht. Wenn ein Versuchsthier der Impfung erlegen war, so wurde der ganze Käfig mit Inhalt zunächst mit Sublimatlösung angefüllt, und das Thier einige Zeit in der Lösung belassen. Erst dann wurde die Section vorgenommen, welche gleichfalls mit äusserster Sorgfalt ausgeführt wurde. Nach beendeter Section wurden die Cadaver sofort in ein daneben stehendes Wasserbad mit kochendem Wasser geworfen und nach dem Durchkochen zusammen mit dem Futter und der Streu der Käfige verbrannt. Die mit Pestbacillen geimpften Thiere verblieben unter unserer Aufsicht im Laboratorium. Das ganze Laboratorium wurde häufig feucht mit Sublimatlösung aufgewischt. Culturegefässe, hgd. Tropfen etc. kamen in Sublimatlösung und wurden dann ausgekocht. — So haben wir nicht beobachtet, dass ein Laboratoriumsthier, geschweige denn ein Mensch mit Pest inficirt worden wäre. — Später, von Mitte Juli ab, hatten wir durch die Güte des Herrn Metschnikoff in Paris hergestelltes Pestheilserum zu ev. Immunisirungs- und Heilzwecken bei Menschen zur Verfügung gestellt erhalten

Das Heilserum liess bei seiner Prüfung im Experiment bei Meerschweinchen bei einer starken Infection sicher heilende oder immunisirende Wirkungen allerdings nicht hervortreten, es würde aber wahrscheinlich doch angewendet worden sein, wenn eine Infection beim Menschen unglücklicherweise erfolgt wäre, da berichtet wurde, dass auch im Thierexperiment nur schwach wirksames Pestheilserum bei erkrankten Menschen von Wirkung gewesen sei.

Von unsern Thierversuchen bei subcutaner Infection mit lebenden Pestbacillen wollen wir nur hervorheben, als bisher weniger bei der Beschreibung der Experimente betont, dass wir öfters Gelegenheit hatten, das Auftreten von Localisationen der Pesterkrankung in den Lungen von Mäusen und Meerschweinchen in der Art zu beobachten, dass etwa stecknadelkopfgrosse graue Herde im Lungengewebe bei der Section sich fanden, die von einer stärkeren Entzündungszone mit kleinen Blutergüssen umgeben war. In solchen Herden fanden sich dann zahllose Pestbacillen. Wir erklären uns das Auftreten solcher Herde als secundäre Infectionen, zum Theil vielleicht bedingt durch Einathmung von Pestbacillen. Weiterhin fiel es uns auf, dass Meerschweinchen und Mäuse, welche mit geringen Mengen von Pestbacillen geimpft waren und zwar mit solchen Culturen, die die volle Virulenz nicht hatten, oft erst nach Monaten zu Grunde gingen unter den Zeichen des höchsten Marasmus. Pestbacillen waren dann in den Cadavern auch culturell nicht mehr nachweisbar; nur zeigten sich in allen solchen Fällen die inguinalen und axillaren Lymphdrüsen bis zur Erbsengrösse geschwollen. In einem Falle fanden wir bei einer sechs Wochen zuvor mit Pestbacillen geimpften Maus eine kirschkerngrosse lymphoide Geschwulst die vergrösserten retroperitonealen Lymphdrüsen darstellend in der Bauchhöhle. Als pathognomonisch für den nahe bevorstehenden tödtlichen Ausgang der Pestinfection bei Mäusen konnten wir fast regelmässig eine starke, weissliche, eiterähnliche Secretion im Conjunctivalsack bei Mäusen constatiren verbunden mit Corneatrübungen. Pestbacillen konnten in diesem Secret nicht nachgewiesen werden. Auch bei Meerschweinchen fanden wir oft gegen das tödtliche Ende hin eine stark vermehrte Secretion von Thränenflüssigkeit, die auch dann zu be-

merken war, wenn wir nur Pestgift injicirt hatten. — Dass letzteres auch im Körper der mit Pestbacillen inficirten Meerschweinchen vorhanden ist, glauben wir durch folgende Beobachtung erhärten zu können: Bei einem Meerschweinchen, welches an einer Infection mit Pestbacillen von der Bauchhöhle aus zu Grunde gegangen war, fand sich bei der unmittelbar nach dem Tode vorgenommenen Section ein grosses, blutigseröses Pleuratranssudat. Mikroskopisch waren Pestbacillen nicht nachweisbar. Von diesem Transsudat erhielten zwei Mäuse, um festzustellen, ob diese Flüssigkeit vielleicht immunisirende Eigenschaften besässe, wie z. B. das Pleuratranssudat von Meerschweinchen bei Diphtherie, je 1 ccm. subcutan injicirt. Fast unmittelbar nach der Injection erschienen die Thiere schwer krank, sie sassen zu einer Kugel zusammengezogen mühsam athmend da und waren nach Verlauf einiger Stunden unter langdauernden Krämpfen zu Grunde gegangen. Der tödtliche Ausgang dürfte auf eine Intoxication und nicht auf eine Infection zurückzuführen und somit der Nachweis erbracht sein, dass die Pestbacillen im Körper der Versuchsthiere Gift bilden.

Ueber unsere weiteren orientirenden Versuche betreffend das Verhalten der Pestbacillen gegenüber chemischen und physikalischen Einflüssen können wir um so schneller hinweggehen, als unsere Resultate im Wesentlichen übereinstimmen mit den später veröffentlichten der deutschen Pestcommission und anderer Untersucher. Bei Beginn unserer Versuche im April und Mai, zu einer Zeit, wo diese Verhältnisse noch nicht genügend bekannt waren, war es für die Vornahme unserer Arbeiten mit dem Pestbacillus in gewisser Art und Weise beruhigend, dass die Widerstandsfähigkeit der Pestbacillen schädigenden Einflüssen gegenüber keine erhebliche ist. In unsern Versuchen sahen wir Pestbacillen enthalten in den Organen einer inficirten Maus in Concurrenz mit andern Bacterien sehr schnell ihre Virulenz und Wachsthumfähigkeit verlieren. Im Blut und Organsaft von inficirten Mäusen, feucht oder trocken auf Leinwand gebracht, waren die Pestbacillen nach 2—8 Tagen nicht mehr nachweisbar; ebenso schienen dieselben in gleicher Zeit in Wasser zu Grunde gegangen zu sein, wenn man das Blut an Pest eingegangener Thiere in Wasser brachte. Auch in dem

Cadaver einer an Pest verendeten Maus, der mit Erde bedeckt war, konnte nach sechs Tagen der Pestkeim nicht mehr gefunden werden.

In dickeren Schichten aber glashart getrocknet blieben die Pestbacillen 10—14 Tage in einigen Exemplaren noch lebend und virulent, was wir in folgender Art gelegentlich beobachteten: [ob wir hier noch nicht näher bekannte Dauerformen vor uns gehabt haben, lassen wir dahingestellt]: Um festzustellen, ob aus 10—14 Tage lang im Brutschrank getrockneten Pestbacillenrasen von Agarculturen durch Centrifugirung nach vorherigem Zerpulvern der Bacillenmassen im Mörser und Verreibung mit Glycerinlösung vielleicht giftige specifische Toxine zu extrahiren seien, in derselben Art wie es Koch mit Tuberkelbacillen zur Gewinnung der neuen Tuberkulosegifte gethan hatte, beobachteten wir, dass selbst nach mehrmaligem Centrifugiren und Trocknen der Bacillenmassen mehrere mit diesen Extracten intraabdominell inficirte Thiere an Pestinfection zu Grunde gingen.

Schliesslich möchten wir noch von unsern culturellen Studien hervorheben, dass die Lebensdauer der Pestbacillen in flüssigen und festen Nährmedien eine sehr lange ist; denn wir konnten aus Kolben von Pestbouillonculturen noch nach fast vier Monaten des Wachsthum lebensfähige und virulente Culturen herauszüchten. Auf Agar und Gelatine blieben Pestbacillen sechs Monate am Leben.

Bei den Versuchen, ein specifisches Pestgift aus den Pestculturen zu gewinnen, versuchten wir zunächst die Frage zu entscheiden, ob das Pestgift in den Bacillenleibern verbliebe, oder in den Flüssigkeiten enthalten sei.

Zu dem Zwecke wurden zunächst eine grössere Reihe von Bouillonkolben mit den verschiedenen uns zur Verfügung stehenden Culturen geimpft. Jüngere wie ältere Bouillonculturen wurden dann durch Porzellanfilter filtrirt, und das keimfreie Filtrat in anwendbarer Dosis durch subcutane Injection bei Meerschweinchen auf etwaige Giftigkeit geprüft: Eine Giftwirkung liess sich nicht erkennen.

Dann wurden in einer andern Versuchsreihe die Pestbacillen in den Pestbouillonculturen durch Chemicalien wie $\frac{1}{2}\%$ Carbol-

säure und Chloroform, oder durch Temperaturen von 60° sterilisirt. Mehrfach erreichten wir nicht eine sichere Sterilisirung der Bouillon-culturen durch eine einstündige Erwärmung auf 60°, und ebenso liess die Desinfectionswirkung des Chloroforms bei Anwendung von 2% Chloroform in 20 Stunden uns mehrfach im Stich, so dass wir mit solchen erhitzten oder durch Chloroform vermeintlich sterilisirten Culturen behandelte Thiere an einer Pestinfection verloren. Um diesen Ausgang zu vermeiden, erhitzten wir dann auf 65° und wandten 5% Chloroform an. — Die mit Carbol-säure oder Chloroform behandelten, oder auf 65° erhitzten Culturen liessen im Thierexperiment keinerlei Giftwirkung erkennen.

Da die Cultur-Flüssigkeiten in unsern ersten Experimenten spezifische Gifte nicht zu enthalten schienen, so wurde der Versuch gemacht, aus den Bacillenleibern Gifte zu gewinnen. Die Ausbeute der Bacillenmassen aus flüssigen Culturen war zunächst so gering, dass wir, um nur einigermaßen grössere Mengen von Bacterienleibern zu erhalten, den Bacterienrasen von Agarculturen durch Abkratzen der Oberflächen gewannen.

Wie schon oben erwähnt, versuchten wir dann zunächst die abgekratzten Bacillenmassen durch Trocknen im Brutschrank und Exsiccator abzutöden und durch Centrifugirung und Extraction mit Glycerinlösungen nach vorheriger Pulverisation spezifische Gifte zu extrahiren. So erhielten wir Gifte, welche bei intraabdomineller Injection in der Dosis von 1:25000 Meerschweinchengewicht die Thiere tödteten. Es zeigten die Thiere bei der Section eine heftige Entzündung der Organe der Bauchhöhle, fibrinöse Beschläge auf Leber, Milz und Darm. — Da das Trocknen und Centrifugiren der Pestbacillen dieselben aber nicht sicher abtödtete, so wurden in einer anderen Reihe von Experimenten die von 2–4tägigen Agarculturen gewonnenen Bacillenmassen durch Eintragen in Schalen mit absolutem Alkohol abgetödtet, darauf in Exsiccator getrocknet und pulverisirt, dann mit Kochsalz- oder Glycerinlösungen verrieben und extrahirt. Diese so gewonnenen Massen führten bei subcutaner Injection bei Meerschweinchen in der Dosis von 1:1500–3000 Körpergewicht in 24–48 Stunden den Tod herbei. Bald nach der Injection dieser Massen entstand in der Unterhaut an der Injectionsstelle

ein starkes Oedem, das sich über die ganze Unterseite des Leibes verbreitete und feste Consistenz annahm. Unter Temperaturerniedrigung, Athemnoth und Krämpfen gingen die Thiere dann rasch zu Grunde. Bei der Section fand sich in der Unterhaut eine enorme entzündliche Schwellung mit Schwartenbildung, die subcutanen Lymphdrüsen waren vergrößert, die innern Organe mit Blut überfüllt. Von der Bauchhöhle aus führten sehr viel kleinere Mengen dieser giftigen Bacillenmassen den Tod der Meerschweinchen herbei. Aus einer grösseren Menge von Bouillonkolben erhielten wir durch Decantiren der klaren Flüssigkeit und Centrifugiren des Bodensatzes eine kleine Menge von Bacillenkörpern, welche ebenso behandelt, wie eben beschrieben, bei subcutaner Injection Meerschweinchen in der Dosis von 1:10000 Körpergewicht in 24—48 Stunden tödteten.

Geringere Mengen dieses giftigen Bacillenpulverextractes erzeugten bei Meerschweinchen grosse zu Hautnecrosen führende Entzündungen der Haut und Uterhaut.

Bei Mäusen und Kaninchen erwies sich dieses giftige Bacillenpulver von sehr viel geringerer Giftigkeit, die Dosen auf das Körpergewicht der Thiere berechnet. Diese Thiere bekamen nach der subcutanen Injection nur umfangreiche, zur Necrosenbildung führende Entzündungen, von welchen die Thiere sich entweder erholten, oder an welchen sie nach mehr oder weniger langer Zeit an Erschöpfung durch langwierige Eiterung, oder durch Ansiedelung anderer Bacterien in den wunden Stellen zu Grunde gingen.

Die vorläufige Unmöglichkeit, aus Bouillonculturen grössere Mengen von Bacillenmassen zu gewinnen, da die Pestbacillen in den ersten Monaten unserer Versuche nur relativ spärlich in den Bouillonkolben wuchsen, und der Wunsch mit den von Agarculturen gewonnenen giftigen Bacillenmassen Immunisirungsversuche an grösseren Thieren anzustellen, um Heilserum ev. zu präpariren, bestimmten uns grössere Mengen von Bacillenmassen von Agarculturen zu präpariren. Wenn die Immunisirung eines grösseren Thieres in methodischer Art und Weise vorgenommen werden sollte, so musste eine grössere Menge eines Pestgiftes von bekannter Wirksamkeit vorhanden sein.

Zugleich hofften wir, dass grössere Thiere wie Ziegen, Ochsen und Pferde für unser Bacillenpestgift vielleicht recht hochgradig empfindlich wären.

Die Gewinnung solcher Bacillenmassen von Agarculturen in grösserer Menge stellte sich als ein höchst zeitraubendes und lästiges Verfahren dar, da zu einem einzigen Gramm trockner Bacillensubstanz der schleimige Rasen von 300 3—4 tägiger Pestagarculturen erforderlich war. Wir möchten an dieser Stelle bemerken, dass wir in verschiedenen Experimenten nicht die Beobachtung haben machen können, dass ein Unterschied in der Virulenz zwischen üppig und weniger üppig gewachsenen Agar-culturen vorhanden war. -- Schliesslich kamen wir zu einer grösseren Quantität von etwa 35 gr. trockner Bacillensubstanz. Als wir dieses giftige Bacillenpulver nun bei einem Ochsen, einem Pferd und einer Ziege in subcutaner Injection mit relativ kleinen Mengen anwandten, reagierten die Thiere zwar mit Temperatursteigerungen und vorübergehendem Kranksein auf die Injectionen, zugleich zeigten sich aber so starke locale entzündliche Processe, dass wir nothgedrungen von weiteren Injectionen Abstand nehmen mussten. Namentlich entstand bei dem Pferde, auf dessen Immunisirung wir grosse Hoffnung gesetzt hatten, eine etwa einen halben Quadratmeter grosse subcutane Eiterung, die mehrfache Incision für den Abfluss des Eiters erforderlich machte und eine monatelange Dauer bis zur Heilung beanspruchte. Diese Eiterungsprocesse mussten wir auf die Wirkung der injicirten todtten Bacillenleiber zurückführen, deren vollkommene Extraction und Resorption im Thierkörper wir erwartet hatten. Wegen der unangenehmen Nebenwirkung der Eiterung nahmen wir dann Abstand, die Immunisirung der Thiere mit den giftigen Bacillenleibern weiter fortzusetzen.

Neben den Versuchen der Giftgewinnung aus Pestbacillenculturen von festen Nährböden wurden diejenigen unausgesetzt weitergeführt, welche zunächst darauf abzielten, in flüssigen Nährmedien ein reichliches Wachsthum der Pestbacillen zu erhalten. Die oben mitgetheilte Beobachtung, dass Pestgift in löslicher Form in dem Pleuratranssudat eines an Pest verendeten Thieres vorhanden gewesen war, legte uns den Gedanken nahe,

dass vielleicht doch in flüssigen Nährmedien von den Bacterien, wenn vielleicht auch nur durch Extraction der Bacillenleiber der abgestorbenen Pestbacillen in den Culturflüssigkeiten ein Gift sich anhäufe, das vielleicht so labil sei, dass es durch Filtration, durch Carbolsäure, Chloroform oder Erhitzung auf 60°—65° zerstört würde.

Durch schnelle Uebertragung von jungen Bouillonculturen in frische Bouillon mehrmals hintereinander gelang es zunächst ein üppiges Wachsthum der Pestbacillen in der Bouilloncultur zu erhalten, welches sich namentlich als ein üppiges Oberflächenwachsthum mit Hautbildung documentirte. Durch Ueberimpfung solcher üppiggewachsenen Bouillonculturen, die sich auch als stark virulent erwiesen, in grössere Culturkolben erhielten wir auch hier ein üppiges Oberflächenwachsthum bei allgemeiner Trübung der Bouillon. Im Laufe einiger Wochen bildete sich dann ein fingerhoher, stärkerer, weisslicher Bodensatz, während die Culturflüssigkeit im Allgemeinen sich klärte und die Oberflächenhaut sich zu Boden senkte und sich wieder neu bildete. Die Oberflächenhaut ist glatt, grauweiss, fettig glänzend und bröckelig.

Es erforderte dann ein mehrere Monate dauerndes Experimentiren mit den verschiedensten flüssigen Nährmedien, um zu erfahren, welche Zusammensetzung der Bouillon das beste Wachsthum für die Pestbacillen gewährt. Es wurden Bouillonarten aus Fleisch und Fleischextract mit verschiedenen Zusätzen von Pepton, von Blut, Blutserum, von Traubenzucker und von Glycerin geprüft, weiterhin verschiedene Alcalescenz- und Säuregrade des Nährbodens durchgeprobt, auch die Wachsthumsverhältnisse bei 37°, 35°, 30° und Zimmertemperatur untersucht. — Es zeigte sich aus allen Versuchen, dass die Bouillon, welche durch das Auskochen des Fleisches erhalten wird, mit 1% Pepton- und $\frac{1}{2}$ % Kochsalzzusatz, und welche nach ihrer vollkommenen Neutralisirung einen Zusatz von 0,02—0,1 Normalnatronlauge erfahren hatte, den geeignetsten Nährboden für ein üppiges Wachsthum der Pestbacillen darstellte. Die Temperaturen von 35° und 37° ergaben ein schnelleres Wachsthum, als die von 30° oder die Zimmertemperatur, aber nach vielen Wochen war

bezüglich der Reichlichkeit des Wachstums bei den verschiedenen Temperaturen ein erheblicher Unterschied nicht mehr zu constatiren.

Wurden nun solche 8- 12 Wochen alte Bouillonculturen mit 5% Chloroform, oder $\frac{1}{2}$ % Carbolsäure behufs Abtödtung der Bacillen versetzt, oder zu dem gleichen Zwecke 1 Stunde auf 65° erhitzt und nun Mäusen und Meerschweinchen injicirt, so konnte man wie in den früheren Experimenten eine Giftwirkung nicht constatiren. Auch wenn solche Bouillonculturen mit der dreifachen Menge Alkohol versetzt wurden, so erwies sich der entstehende Niederschlag von keiner wesentlichen Giftwirkung. Der Alkoholniederschlag erzeugte bei Versuchsthieren nur Necrosen der Unterhaut.

Dagegen zeigte die klare Flüssigkeit der Bouillonculturen bei Mäusen eine erhebliche Giftwirkung, wenn die Culturen zum Zweck der Abtödtung der Bacillen mit 0,25% Formalin oder 5% Toluol versetzt wurden und mehrere Tage im Brutschrank oder bei Zimmertemperatur gestanden hatten, behufs Auslaugung der abgetödteten Bacillenleiber in der Flüssigkeit. Dann war die klare Flüssigkeit für Mäuse so giftig, dass 0,1 ccm genügte, um bei subcutaner Injection eine weisse Maus zu tödten. Ausser einer Blutüberfüllung der innern Organe war eine leichte Vergrösserung der subcutanen Lymphdrüsen zu constatiren.

Um das Gift aus solchen Bouillonculturen in fester Form zu gewinnen, wurden dieselben in bekannter Weise mit Ammoniumsulfat übersättigt. Der sich an der Oberfläche ausscheidende Niederschlag wurde auf Thontellern von der Flüssigkeit befreit und im Vacuumexsiccator getrocknet. Dieser Niederschlag war so giftig, dass auf das Gewicht berechnet 1 g genügte, um 40--72000 g lebend — Mäusegewicht sicher zu tödten. $\frac{1}{4}$ mg tödtete eine Maus in weniger als 24 Stunden, 0,1 sofort nach der Injection, 0,01 in 6 Stunden, 0,005 in 10 Stunden. —

Solches Gift gelang es nun in grösserer Menge herzustellen, am besten aus mehrere Monate alten Culturen. Aus 14 tägigen Bouillonculturen erhielten wir kein Gift. —

Das für Mäuse so stark wirksame Gift, war für Meer-schweinchen unwirksam. Dosen von 0,2—0,4 g erzeugten nur Necrosen.

Das Gift ist übrigens ein sehr labiler Körper und nimmt schon bei der Conservirung in trockenem Zustande schnell und erheblich an Wirksamkeit ab. Carbolsäure, Chloroform und Alkohol, ebenso eine Erhitzung auf 65° schädigen das Gift.

Mit diesem Gifte stellten wir nun bei Ziegen Immunisirungsversuche an, um von diesen Thieren ein antitoxisches Serum zu erhalten. Die Ziegen reagirten schon auf relativ kleinen Dosen mit schnell ansteigendem und wieder abfallendem Fieber; an den Injectionsstellen bildeten sich nach kurzer Zeit wieder verschwindende Anschwellungen. Im Laufe von 4 Wochen erhielten die Thiere steigende Dosen dieses Giftes injicirt, deren letzte so gross waren, dass 40 000 Mäuse durch dieselben hätten getödtet werden können. Ungeachtet der längeren Behandlung mit diesen Giften ist es uns aber bisher nicht gelungen, von den Ziegen ein Blutserum zu erhalten, welches Mäusen injicirt sichere gift-immunisirende Wirkungen entfaltet hätte. Vielleicht wird dies möglich sein, wenn man dieses Gift noch stärker zu concentriren in der Lage sein wird, oder wenn es gelingen sollte, noch stärker giftige Culturen zu erzielen, oder wenn man die Thiere jahrelang mit grossen Giftmengen behandelt. So sind wir denn bezüglich der Möglichkeit oder Wahrscheinlichkeit, mit unsern Giften ein stark wirksames Pestheilserum zu erhalten, ziemlich sceptisch geworden, und beruht vielleicht die einzige Möglichkeit stark wirksames Serum zu erhalten darin, grosse Thiere mit lebenden und virulenten Pestculturen subcutan oder intravenös methodisch zu behandeln. Diese Methode, welche am Institut Pasteur befolgt worden ist, und ein Pestheilserum geliefert hat, welches im Thierexperiment und bei der Anwendung beim Menschen immunisirende und heilende Eigenschaften gezeigt haben soll, konnte von uns aber wie erwähnt, wegen der Gefahr der Pestverbreitung nicht in Anwendung gezogen werden.

Sitzungsberichte

der Gesellschaft zur Beförderung der gesammten Naturwissenschaften

zu
M a r b u r g.

N^{ro.} 2

Februar

1898

Die Sitzung vom 16. Februar 1898 eröffnete der z. Director der Gesellschaft, Herr Marchand, mit folgenden Gedächtnisworten:

Am 6. Februar d. J. starb zu Leipzig das Ehrenmitglied unserer Gesellschaft Rudolf Leuckart im 76. Jahre.

Leuckart wurde am 7. October 1822 zu Helmstädt geboren. Er studirte in Göttingen und habilitirte sich daselbst für Zoologie im Jahre 1847. 1850 wurde Leuckart als ausserordentlicher Professor nach Giessen berufen, wo er (seit 1855 als Ordinarius) bis 1870 wirkte, um dann den Lehrstuhl für Zoologie in Leipzig einzunehmen. Seit dem 13. December 1895, dem Tage seines 50jährigen Doctor-Jubiläums gehörte Leuckart unserer Gesellschaft als Ehrenmitglied an.

In diesem einfachen äusseren Rahmen liegt ein überaus reicher Inhalt wissenschaftlicher Arbeit, welche schon in jungen Jahren begann und ohne Unterbrechung bis zu den letzten Tagen seines Lebens andauerte. Leuckart war nicht nur als der Älteste unter den deutschen Zoologen allseitig verehrt, sondern er nahm auch nach seinen wissenschaftlichen Leistungen die erste Stelle ein.

Sein wissenschaftliches Arbeitsgebiet war sehr umfassend, und wo er eingriff, hat er Bleibendes geschaffen, denn alle

seine Untersuchungen zeichneten sich durch unübertroffene Gründlichkeit und grossen Scharfsinn, seine Darstellung durch Klarheit aus.

Schon aus dem Jahre 1845 datirt eine mit dem Preise gekrönte Arbeit des zweiundzwanzigjährigen „*De monstris eorumque causis et ortu*“, welche noch immer von Werth für uns ist; die damals begonnenen Untersuchungen hat Leuckart auch später in Giessen noch fortgesetzt. Rudolf Wagner betraute ihn mit der Vollendung der zweiten Auflage seines Lehrbuches der vergleichenden Anatomie (1845—1847). Von hervorragendem allgemeineren Interesse ist der reichhaltige Artikel Leuckart's über die Zeugung in R. Wagners Handwörterbuch (1853), ferner seine klassische mit Bergmann zusammen herausgegebene vergleichende Anatomie und Physiologie (1852) und die vergleichende Anatomie des Auges in dem Handbuch der Ophthalmologie von Graefe-Saemisch.

Auf Leuckart's zahlreiche speciell zoologische Arbeiten, welche ganz besonders für die vergleichende Morphologie und systematische Stellung der Echinodermen und Coelenteraten von grundlegender Bedeutung waren, einzugehen, ist mir als Nicht-Fachmann nicht möglich. Wohl aber kann ich nicht umhin, der höchst erfolgreichen Thätigkeit Leuckart's auf dem Gebiete der thierischen Parasiten besonders zu gedenken.

Hier hat Leuckart nicht für seine Fachwissenschaft, sondern auch für die Pathologie und die gesamte Medicin Grosses, ja Unübertroffenes geleistet, in dem er nicht blos die schwierig zu ermittelnden Organisationsverhältnisse sehr zahlreicher thierischer Parasiten aufklärte, sondern auch ganz besonders die weit mühevollere Erforschung der Biologie dieser Organismen in einer bis dahin unerreichten Weise förderte. Diese Untersuchungen sind in zahlreichen Einzelarbeiten (Über die Blasenbandwürmer, über Pentastomum, über Trichina spiralis und andere) und sodann in seinem berühmten Handbuch „die Parasiten des Menschen“ niedergelegt. Leider ist Leuckart die Vollendung der zweiten Auflage dieses Werkes nicht mehr vergönnt gewesen.

Leuckart zeichnete sich bis in sein hohes Alter durch eine aussergewöhnliche Lebhaftigkeit des Geistes aus; er war

einer der anregendsten Lehrer seines Faches, und hat eine grosse Anzahl dankbarer Schüler nicht nur in Deutschland, sondern auch im Ausland hinterlassen. Auch unsere Gesellschaft wird dem grossen Forscher und Lehrer der Zoologie ein ehrenvolles Andenken bewahren.

In derselben Sitzung (16. Februar 1898) sprach Herr Karl Schaum:

Über die Anwendung des Lehmann'schen Krystallisations-Mikroskops zur Entscheidung von Isomeriefragen.

Der Chemiker ist häufig vor die Aufgabe gestellt, die Art der Isomerie zweier Körper zu erforschen. Als isomer bezeichnet man solche Stoffe, welche bei gleicher chemischer Zusammensetzung verschiedenes Verhalten zeigen. Die Isomerie kann erstens durch Verschiedenheit der chemischen Einzelmolekel der betreffenden Körper bedingt sein, in diesem Falle liegt chemische Isomerie (Polymerie, Metamerie, Stereoisomerie) vor. Zweitens kann die Isomerie lediglich auf verschiedenem Energieinhalt beruhen, während die Einzelmolekel der Stoffe identisch sind, man nennt solche Körperformen physikalisch-isomer. Die physikalisch-isomeren Stoffe sind also Zustandsformen eines chemischen Individuums; es sind die Aggregatzustände desselben, welche sich bekanntlich unter Energieänderung (Wärmetönung) ineinander unwandeln lassen.

Besonderes Interesse bieten diejenigen Körper, welche mehrere krystallisierte Phasen besitzen; man bezeichnet sie als polymorph. Die Verschiedenheit der polymorphen Stoffe ist an den krystallisierten Zustand gebunden. Der Schnittpunkt der Dampfdruckkurven zweier polymorpher Formen A und B repräsentiert ihren Gleichgewichtspunkt, den sogenannten Umwandlungspunkt, welcher dem Schmelzpunkt völlig analog ist. Schneidet die Dampfdruckkurve der flüssigen Phase diejenigen der beiden krystallisierten Phasen oberhalb dieses Umwandlungspunktes, so [zeigen die beiden] Formen die Erscheinung der Enantiotropie, wie der von Mitscherlich in dieser Hinsicht

untersuchte Schwefel. Unterhalb des Umwandlungspunktes ist die Form A stabil, die Form B instabil, oberhalb desselben dreht sich das Verhältnis um. Verläuft jedoch die Dampfdruckkurve der flüssigen Phase unterhalb des Umwandlungspunktes, so erhält man die Erscheinung der Monotropie, wie an dem von Zincke untersuchten Benzophenon; ein Gleichgewichtspunkt lässt sich nicht erreichen; die eine Form repräsentiert stets einen instabilen Zustand. Der instabile Zustand einer krystallisierten Modifikation ist dem Zustand einer unterkühlten Flüssigkeit vollständig analog; bei Berührung mit einem Keim der stabilen Phase muss Umwandlung in diese erfolgen; dieselbe schreitet bei genügend hoher Temperatur mit grosser Geschwindigkeit vor; bei tiefen Temperaturen kann sie fast null werden und können dann polymorphe Formen lange Zeit in Berührung miteinander sein, ohne dass eine Umwandlung wahrzunehmen wäre (Kalkspath und Arragonit).

Da die Polymorphie an den krystallisierten Zustand gebunden ist, die Schmelzflüsse, Lösungen und Dämpfe polymorpher Formen also identisch sind, kann eine Form in diesen Zuständen der andern weiterwachsen, wenn sie in Bezug auf jene unterkühlt oder übersättigt sind.

Dieses Verhalten ist jedoch nicht für Polymorphie entscheidend, da auch gewisse chemisch-isomere Körper identische Schmelzflüsse, Lösungen und Dämpfe geben. Im allgemeinen sind diese Zustände für chemisch-isomere Stoffe wegen der Verschiedenheit der Einzelmolekel verschieden. Gewisse chemisch-isomere Körper vermögen jedoch sich wechselseitig ineinander umzuwandeln; es sind dies die sogenannten tautomeren Formen. Beim Schmelzen, Auflösen oder Verdampfen eines der beiden tautomeren Körper stellt sich ein Gleichgewichtszustand zwischen den beiden isomeren Molekelarten her und auf diese Weise werden jene Zustände chemisch-isomerer Stoffe identisch. Zur Herstellung des Gleichgewichtszustandes bedarf es bei manchen Körpern längerer Zeit; Temperaturerhöhung beschleunigt den Vorgang; bei andern Stoffen stellt sich jedoch schon bei Zimmertemperatur fast momentan das Gleichgewicht her. Diese Körper könnte man leicht als polymorph ansehen;

es existiert jedoch ein wesentlicher Unterschied: Die krystallisierten Modifikationen physikalisch-isomerer Stoffe sind (abgesehen vom Umwandlungspunkt) miteinander nicht im Gleichgewicht, und deshalb muss die instabile Form in Berührung mit der stabilen bei genügend hoher Temperatur sich in diese umwandeln. Tautomere Formen sind dagegen im krystallisierten Zustand indifferent gegeneinander; eine Umwandlung im absolut trockenen Zustand findet nicht statt; dagegen tritt eine solche bei Anwesenheit ganz geringer Spuren eines Lösungsmittels ein. Auf Grund der geschilderten Thatsachen ist es leicht, zwei isomere Stoffe der richtigen Isomeriegruppe einzureihen. Makroskopisch bieten solche Untersuchungen grosse Schwierigkeiten; vornehmlich ist die Umwandlung krystallisierter Formen mit blossen Auge häufig kaum zu beobachten. Mikroskopisch lassen sich jedoch alle Fortwachsungs- und Umwandlungserscheinungen sehr genau verfolgen, besonders wenn man polarisiertes Licht anwendet; das verschiedene optische Verhalten isomerer Stoffe lässt dieselben leicht nebeneinander erkennen sowie ihre Umwandlung bequem beobachten. Ein vorzügliches Hilfsmittel für derartige Studien besitzen wir in dem Lehmann'schen Krystallisationsmikroskop, welches den grossen Vorzug besitzt, in einfacher Weise eine Erwärmung und Abkühlung des Präparates zu gestatten. Soll der Charakter der Isomerie zweier Körper festgestellt werden, so schmilzt man eine Probe der einen Substanz auf einem Objektträger, bedeckt den Schmelzfuss mit einem Deckglas und bringt das Präparat unter das Mikroskop. Man lässt sodann abkühlen und impft mit beiden isomeren Formen an zwei verschiedenen Stellen am Rand des Deckglases an. Wächst nur eine Modifikation im Schmelzfluss weiter, so sind die Körper chemisch-isomer. Wachsen beide Formen im Schmelzfluss weiter und bleiben an der Berührungszone auch bei höherer Temperatur (in der nächsten Nähe des Schmelzpunktes) indifferent gegeneinander, so liegt Tautomerie vor. Zehrt dagegen die eine Modifikation die andere entweder sofort nach der Berührung der beiden oder bei höherer Temperatur auf, so müssen wir die beiden Körper als physikalisch-isomer betrachten.

Mit Hilfe des Lehmann'schen Mikroskops konnte ich in der

angegebenen Weise entscheiden, dass die beiden Modifikationen des von Gattermann beschriebenen *m*-Nitro-*p*-Acetoluids tautomer sind. Optische und densimetrische Untersuchungen, welche ich an den Schmelzflüssen und Lösungen der beiden Formen anstellte, ergaben die Identität derselben; während dies auf physikalische Isomerie hindeutete, bewies die Unmöglichkeit der Umwandlung der beiden Formen im absolut trocknen Zustand die Zugehörigkeit derselben zur Tautomerie. Das Gleichgewicht stellt sich fast momentan beim Schmelzen oder Auflösen her. Man erkennt dies auch an der grossen Geschwindigkeit mit welcher sich die gelbe Form in die weisse umlagert, wenn sie mit Alkohol angefeuchtet ist und ein Krystall der weissen Modifikation dazugebracht wird.

Ganz anders liegen die Verhältnisse bei dem von Zincke und mir beschriebenen Hexachlorketodihydrobenzol. Schmilzt man die Substanz unter einem Deckglas und taucht das Präparat unter Quecksilber, so erhält man leicht zwei Formen, eine einfach- und eine stark doppelt-brechende, nebeneinander. Während dieselben bei Zimmertemperatur jahrelang sich fast indifferent gegeneinander verhalten und man hieraus den Schluss auf Tautomerie ziehen könnte, wird beim Erwärmen die doppelbrechende Form von der andern aufgezehrt; man ersieht hieraus, dass es sich um einen Fall von physikalischer Isomerie handelt.

Man ist, wie aus dem Gesagten hervorgeht, im stande, mit Hilfe des Lehmann'schen Krystallisationsmikroskops innerhalb kurzer Zeit und unter Anwendung ganz geringer Substanzmengen den Charakter der Isomerie zweier Körper zu erforschen, eine Aufgabe, welche sich auf makroskopischem Wege nur unter grossem Zeit- und Materialaufwand lösen lässt. Da das Lehmann'sche Mikroskop ausserdem zu einer sehr grossen Anzahl physikalischer und chemischer Untersuchungen mit Vorteil verwendbar ist, (man sehe darüber Lehmann's Molekularphysik und Krystallanalyse) so erweist es sich als ein äusserst nützliches Hilfsmittel für den Chemiker.

Die geschilderten Erscheinungen wurden vermitteltst eines von Herrn Professor Kossel gütigst zur Verfügung gestellten Projektionsapparats demonstriert.

In der Sitzung vom 16. Februar 1898 wurden durch vorschriftsmässige Kugelung zu Gesellschaftsmitgliedern erwählt:

Dr. Erich Wernicke, Professor der Hygiene an hiesiger Universität, bisher ausserordentliches Mitglied, zum ordentlichen Mitglied;

Dann zu ausserordentlichen Mitgliedern:

Dr. med. Alfred Noll,	}	Assistenten am
Dr. med. Friedrich Kutscher,		physiologischen Institut,
Dr. med. Eugen Rost,		Assistent am pharmakologischen Institut,
Dr. phil. Karl Toenniges,		Assistent am zoologischen Institut,
Dr. phil. Johannes Meisenheimer.		

Von eingegangenen Schriften waren aufgelegt:

- Jahrbücher des nassauischen Vereins für Naturkunde. Jahrg. 50.
Wiesbaden 1897.
- Jahresbericht der naturforschenden Gesellschaft Graubündens.
N. F. X. 1. Chur 1897.
- Mittheilungen des naturwissenschaftlichen Vereins für Steiermark
Jahrg. 1896. Graz 1897.
- Verhandlungen der naturforschenden Gesellschaft in Basel. Bd. XI,
Heft 3. Basel 1897.
- Schriften des Vereins zur Verbreitung naturwissenschaftlicher
Kenntnisse in Wien. Bd. XXXVII. Wien 1897.
- Verhandlungen der k. k. geolog. Reichsanstalt. 1897. Nr. 9 u. 10.
- Sitzungsberichte der medicinisch-naturwissenschaftl. Section des
siebenbürgischen Museumsvereins. Jahrg. XXII. Bd. XIX.
- Fauna, Jahrg. VI, 1896.
- Publications de l'Institut Grand-Ducal de Luxembourg. Tome XXV.
Luxembourg 1897.
81. Jahresbericht der naturforschenden Gesellschaft in Emden.
Emden 1897.
- Archives du Musée Teyler S. II, Vol. V, P. III. Haarlem 1897.
- Koninklijke Akademie van Wetenschappen te Amsterdam:
Verslagen Deel V.
Jaarboek 1896.
- Verhandelingen Deel II, Deel V, Nr. 3–8. Deel V, II, Nr.
4–10.
- Stavanger Museum 1896. Stavanger 1897.

Von Bergen's Museum:

- G. O. Sars. Vol. II., Part. VII u. VIII.
 Fauna Norvegiae. Bd. I. Christiania 1896.
 Norronaskaller af Barth. Christiania 1896.
 Annotationes Zoologicae Japonenses. Vol. I, P. III, Tokyo 1897.
 L'intermédiaire des Biologistes Nr. 1, 1897.
 Journal and Proceedings of the Royal Society of New South Wales.
 Sydney 1897.
 Memoirs and Proceedings of the Manchester literary and philo-
 sophical Society. Vol. 41, Part. IV. Manchester 1897.
 Transactions of the Academy of Sciences of St. Louis Vol VII,
 Nr. 4-16. St. Louis 1895/96.
 Proceedings of the Davenport Academy of Natural Sciences
 Vol. VI. Davenport 1897.
 Memoirs of the Museum of comparative Zoology at Harvard
 College. Vol. XIX, Nr. 2. Cambridge 1896.
 Bulletin of the Museum of comparative Zoology at Harvard
 College. Vol. XXXI, Nr. 2, 3, 4.
 Langley, Memoir of George Brown Goode. Washington 1897.
 Departement of Agriculture:
 Yearbook 1896 (3 Exempl.).
 North American Fauna Nr. 13 (2 Exempl.).
 American Naturalist. Vol. XXXI, Nr. 360-370. Philadelphia 1897.
 Informe de Museo Nacional de Costa Rica. San José 1896-97.
 Museo Nacional de Buenos Aires:
 Memoria 1894, 95, 96.
 Anales Tom. V. Buenos Aires 1896/97.
 Boletin de la Academia Nacional de Ciencias en Cordoba
 Tom. XV. Entr. 2 u. 3. Buenos Aires 1897.
 Rendiconto dell' Accademia delle Scienze fisiche e matematiche.
 Ser. 3, Vol. III, fasc. 7-10 Napoli 1897.
 Atti della R. Accademia dei Lincei. Anno 294. Rendiconti:
 Vol. VI, fasc. 2-9. Roma 1897.
 Atti e Rendiconti della Accademia Medico-Chirurgica di Perugia.
 Vol. IX, fasc. 2. Perugia 1897.
 Bulletin de la Société impériale des Naturalistes de Moscou
 1896, Nr. 4, 1897, Nr. 1. Moscou 1897.
 Bulletin de l'Académie impériale des Sciences de St. Petersbourg.
 Ser. V, Tom. V, Nr. 3-5. Tom. VI, Nr. 4 u. 5. Tom. VII,
 Nr. 1. St. Petersbourg 1896/97.
 14th Report of the Bureau of Ethnology. Part. I and II, 15th
 Report Part. I. Washington 1897.
 State Museum Report of the University of the State of New York.
 48, 1, 2, 3 Albany 1895.

Sitzungsberichte

der Gesellschaft zur Beförderung der gesammten Naturwissenschaften

zu
M a r b u r g.

N^o. 3

März

1898

In der wissenschaftlichen Sitzung vom 16. März 1898 hielt Herr A. Kossel einen Vortrag:

Weitere Untersuchungen über die Protamine.¹⁾

1) Das aus den Spermatozoen des Lachses dargestellte Protamin (Salmin) besitzt die gleiche Zusammensetzung, wie das Clupein, welches aus Heringssperma dargestellt ist und ist höchst wahrscheinlich mit ihm identisch. Beide entsprechen der Formel ($C_{30}H_{57}N_{17}O_6$). Die Analysen früherer Forscher, besonders diejenigen Piccards, lassen sich mit dieser Formel in Einklang bringen.

2) Die Analysen des Sturins (aus den Spermatozoen des Störs) führen zu der Formel ($C_{36}H_{69}N_{19}O_7$). Das Sturin besitzt andere Eigenschaften als das Salmin resp. Clupein.

3) Erhitzt man die Protamine mit verdünnter Schwefelsäure, so tritt vollständige Spaltung in die Basen (Hexone) ein. Diese sind Histidin, Arginin und Lysin. Der Vortragende hat eine Methode ausgearbeitet, um diese Basen annähernd zu trennen und mit Hilfe derselben gefunden, dass die Spaltung folgendermassen vor sich geht:

1) Siehe auch Sitzung vom 14. Juli 1897. Die ausführliche Mittheilung erfolgt demnächst in „Hoppe-Seyler's Zeitschrift für physiologische Chemie“.



4) Die Protamine, welche nach früheren Erörterungen (l. c.) als die einfachsten Eiweisskörper aufzufassen sind, sind in mancher Hinsicht den höheren Polysacchariden analog. Wie diese letztere durch das Zwischenstadium der Dextrine hindurch in einfache Hexosen zerfallen, so bilden sich aus den Protaminen zunächst die Protone (Protaminpeptone) und endlich die Hexone. Ein Ferment, welches diese Spaltung analog der Diastase auszuführen vermag, ist das Trypsin. —

In derselben Sitzung (16. März 1898) sprach Herr E. Rost:

Zur Kenntnis der Schicksale der Gerbsäure im tierischen Organismus.

Unter den im Harn nach innerlich verabreichter Gerbsäure auftretenden Umwandlungsprodukten hat man gepaarte Schwefelsäuren bis jetzt nicht nachweisen können. Baumann und Herter¹⁾, die bei ihrer umfangreichen, quantitativen Untersuchung über das Verhalten aromatischer Substanzen im Tierkörper auch die Gerbsäure bezüglich der Paarung mit Schwefelsäure untersuchten, fanden in dem Harn eines Hundes, dem sie 1,5 g Tannin in den Magen gegeben hatten, die Ätherschwefelsäuren gegenüber der Norm nicht vermehrt, ebenso Rovighi²⁾ bei einem an Enteroperitonitis leidenden Patienten nach Klystieren von 10 bis 20 g Tannin.

1) Über die Synthese von Aetherschwefelsäuren und das Verhalten einiger aromatischen Substanzen im Tierkörper. Z. f. physiol. Chemie I (1877).

2) Die Aetherschwefelsäuren im Harn. Z. f. physiol. Chemie XVI. (1892).

Nach diesem Resultat schien die Frage nach der Ausscheidung des Tannins als gepaarte Verbindung in verneinendem Sinne gelöst zu sein; so erklärt z. B. M. Mosse¹⁾ in seiner Arbeit über die Mengen der Ätherschwefelsäuren im Harn nach Eingabe der Gerbsäurepräparate Tannigen und Tannalbin eine Vermehrung oder Verminderung der gepaarten Schwefelsäuren im Harn als direkte Folge einer grösseren oder geringeren Eiweissfäulnis im Darm, ohne in Zweifel zu ziehen, ob nicht diese Körper selbst einen Paarling der Ätherschwefelsäuren abgeben könnten.

Der Umstand nun, dass in Spickenbooms²⁾ und meinen³⁾ früheren im hiesigen Pharmakologischen Institut auf Anregung des Herrn Prof. Meyer angestellten Versuchen über die Ausscheidung der Gerbsäure sich unter den Endprodukten im Harn niemals Tannin und nur eine kleine Menge von Gallussäure und anderer durch eigentümliche Farbenreaktionen gekennzeichneten Körper hatte finden lassen, veranlasste mich noch einmal die Untersuchung der quantitativen Verhältnisse der gepaarten Schwefelsäuren im Harn nach Gerbsäurefütterung aufzunehmen.

Hatten sich Baumann und Hertter darauf beschränkt, in einem einzigen Versuche die nach einmaliger Fütterung von Gerbsäure an dem Versuchstage ausgeschiedene Menge gepaarter Schwefelsäuren mit der durchschnittlichen Quantität der bei Hunden sonst auftretenden zu vergleichen, so wurde in meinen Versuchen bei einem während 25 Tagen gleichmässig (mit Fleisch) gefütterten Hunde zunächst in einer Vorversuchsperiode von sieben Tagen die bei dem Tiere normal auftretende Menge gepaarter Schwefelsäuren bestimmt; diese verfolgte ich dann unter dem Einfluss von freier oder mit Soda neutralisierter

1) Die Ätherschwefelsäuren im Harn unter dem Einfluss einiger Arzneimittel. Z. f. physiol. Chemie XXIII (1897).

2) Über die Schicksale der Gerbsäure und des Tannigen im Tierkörper. Diss. Marburg 1896.

3) Rost, Über die Ausscheidung der Gerbsäure u. s. w. Arch. f. exp. Path. XXXVIII (1897).

Gerbsäure sowie von Gallussäure. Eine Nachversuchsperiode erschien überflüssig, da eine neue Versuchsreihe nicht eher begonnen wurde, als bis die gesteigerten Tagesmengen der gepaarten Schwefelsäuren wieder den normalen Wert erreicht hatten.

Die quantitative Bestimmung der freien und der gepaarten Schwefelsäure geschah nach der bekannten Baumann'schen ¹⁾ Vorschrift, und zwar wurden mit Ausnahme des 2., 21. und 22. Tags je 100 ccm in Doppelbestimmungen verarbeitet. Es bewährte sich, zur Sprengung der Ätherschwefelsäure mit Salzsäure die Flüssigkeit bis zum Ausfallen des Chlorbariums zu kochen und dies wieder in Wasser zu lösen, da häufig erst jetzt das schwefelsaure Barium ausfiel.

Genannte Körper wurden in wässriger Lösung in den Magen injiziert. Zur sicheren Abgrenzung der einzelnen Tagesmengen wurde am Ende jedes Tages die Blase des Versuchstiers durch Katheterisieren entleert.

Es sei noch bemerkt, dass nach Eingabe der erwähnten Substanzen der Harn beim Stehen gewöhnlich seine normale Farbe verlor und mehr oder weniger nachdunkelte. Die geringeren oder grösseren Tagesmengen des Harns hielten aber keineswegs mit dem Steigen oder Fallen des spezifischen Gewichtes Schritt, weswegen die entsprechenden Zahlen, die zwischen 1017 und 1039 schwankten, hier weggelassen sind.

1) Über die Bestimmung der Schwefelsäure im Harn. Z. f. physiol. Chemie I (1877).

	Reihenfolged. Tage	Menge des Harns in ccm	Menge der freien Schwefelsäure als SO_4 (A)			Menge der gepaarten Schwefelsäuren als SO_4 (B)			Ver- hält- nis- zahl $\frac{B}{A}$
			in 100 ccm Harn in g	Mit- tel- zahl in %	im Tages- harn in g	in 100 ccm Harn in g	Mit- tel- zahl in %	im Tages- harn in g	
7 Vor- ver- suchs- tage.	1.	490	0,2246 0,2250	0,23	1,102	Spuren	—	—	0
	2.	590	in 150ccm 0,4362 0,4447	0,29	1,734	0,0064 0,0064	0,004	0,024	0,01
	3.	530	0,3552 0,3565	0,36	1,886	0,0136	0,014	0,074	0,04
	4.	540	0,3431 0,3464	0,35	1,861	—	—	—	0
	5.	410	0,3766 0,3775	0,38	1,546	0,0100 0,0110	0,010	0,041	0,03
	6.	510	0,3625 0,3652	0,36	1,856	0,0121 0,0129	0,012	0,061	0,03
	7.	400	0,3899 0,3855	0,38	1,551	—	—	—	0

total: 0,200

Der Hund erhält am Ende des 7. Tages 5 g Tannin
in den Magen.

7 Tage.	8.	320	0,3283 0,3292	0,33	1,053	0,0203 0,0200	0,02	0,064	0,06
	9.	410	0,3954 0,3962	0,39	1,623	0,1440 0,1449	0,14	0,59	0,36
	10.	385	0,4422 0,4517	0,45	1,721	0,1017 0,1007	0,10	0,385	0,22
	11.	510	0,3859 0,3874	0,39	1,972	0,0389 0,0395	0,04	0,199	0,10
	12.	480	0,3904 0,3888	0,39	1,872	0,0198 0,0204	0,02	0,096	0,05
	13.	380	0,4331 0,4345	0,43	1,640	0,0197 0,0190	0,02	0,074	0,04
	14.	420	0,4414 0,4334	0,44	1,835	0,0171 0,0161	0,02	0,069	0,04

total: 1,473

Reihenfolge d. Tage	Menge des Harns in ccm	Menge der freien Schwefelsäure als SO_4 (A)			Menge der gepaarten Schwefelsäuren als SO_4 (B)			Ver- hält- nis- zahl $\frac{B}{A}$	
		in 100 ccm Harn in g	Mit- tel- zahl in %	im Tages- harn in g	in 100 ccm Harn in g	Mit- tel- zahl in %	im Tages- harn in g		
Der Hund erhält am Ende des 14. Tages 5 g Gallus- säure in den Magen.									
5 Tage.	15.	340	0,3908 0,3888	0,39	1,326	0,0681 0,0667	0,07	0,229	0,17
	16.	380	0,4657 0,4665	0,47	1,771	0,0687 0,0653	0,06	0,243	0,14
	17.	680	0,2346 0,2338	0,23	1,592	0,0168 0,0150	0,02	0,111	0,06
	18.	420	0,3562 0,3525	0,36	1,49	0,0150 0,0188	0,01	0,065	0,04
	19.	470	0,3480 0,3468	0,35	1,645	Spuren	—	—	0
total: 0,648									
Der Hund erhält am Ende des 19. Tages 5 g Tannin in den Magen.									
6 Tage.	20.	210	0,2814 0,2619	0,27	0,567	0,0253 0,0208	0,02	0,670	1,1
	21.	105	50 ccm 0,0535 0,0560	0,11	0,115	0,0391 0,0403	0,03	0,084	0,7
	22.	75	20 ccm 0,0637 0,0653	0,32	0,24	0,0253 0,0263	0,13	0,098	0,4
	23.	620	0,4045 0,4036	0,40	2,48	0,0326 0,0376	0,03	0,217	0,09
	24.	360	0,5164 0,5176	0,52	1,87	0,0303 0,0316	0,03	0,112	0,06
	25.	530	0,4826 0,4834	0,48	2,544	0,0116 0,0115	0,01	0,061	0,02
total: 1,242									

Während also in der Normalperiode die Menge der gepaarten Schwefelsäuren nicht über 0,07 g beträgt, steigt sie nach Fütterung von freier Gerbsäure auf 0,67 g, von mit Soda neutralisierter Gerbsäure auf 0,59 g, von Gallussäure auf 0,24 g an.

Das Verhältnis der gepaarten zu der freien Schwefelsäure $\frac{B}{A}$ wächst von dem höchsten normalen Wert (0,04) nach Applikation von Gallussäure auf 0,17, von gerbsaurem Natrium auf 0,36, von Gerbsäure auf 1,1, so dass hier die absolute Menge der gepaarten Schwefelsäure grösser ist als die der freien.

Die pro Tag ausgeschiedenen Mengen der gepaarten Schwefelsäuren steigen nun nicht immer sofort auf den höchsten Wert. So übertrifft nach Eingabe der Gallussäure die Zahl am zweiten Tage noch um ein wenig den Wert am ersten Tag, nach Fütterung des Alkalitannats bleibt die Menge der gepaarten Schwefelsäuren am ersten Tag sogar noch normal, um erst am zweiten Tag den höchsten Betrag zu erreichen. Dieser Befund dürfte vielleicht zur Erklärung des nur über einen Tag ausgedehnten Baumann-Herterschen Versuchs herangezogen werden.

Unterdessen haben unsere früheren Resultate, dass nämlich Gerbsäure bei keiner der von uns angewandten Tierart und bei den geübten Applikationsweisen in den Harn ausgeschieden werde, durch Stockman (Glasgow)¹⁾ eine Entgegnung erfahren. Er hält auf Grund zweier neuen Versuche mit Verfütterung von Gerbsäure an Kaninchen seine 1886 mitgeteilten Untersuchungsergebnisse²⁾, denen wir unsere Versuchsergebnisse entgegengestellt hatten, in vollem Umfang aufrecht. Nach ihm soll beim Kaninchen nach Eingabe von Tannin, wie schon vor ihm Lewin behauptet hatte, beim Hund und Menschen dagegen in der Regel nur nach Alkalitannat, Gerbsäure in den Harn

1) Über die Ausscheidung der Gerbsäure im Harn. Arch. f. exp. Path. XL (1897).

2) British Medical Journal 1886. Vol. II.

übergehen. Auch Harnack¹⁾ und Schorn²⁾ führen allerdings nur einen einzigen Versuch am Hund mit Verfütterung von Alkalitannat an, wo sie Gerbsäure im Harn nachgewiesen haben. Sie extrahierten den Harn mit Essigäther und fanden in dem mit Wasser aufgenommenen verdunsteten Essigätherextrakt auf Zusatz von Leim eine leichte Trübung. Nach Eingabe freier Gerbsäure konnten sie im Harn von Menschen und Hunden kein Tannin auffinden.

Die nun von mir vorgenommene Nachprüfung unsrer Versuche geschah mit Befolgung aller von Stockman auch brieflich freundlichst mitgeteilten Einzelheiten der Methode.

Ich gab einer Versuchsperson bei gewöhnlicher Kost dreimal täglich 2 g Alkalitannat, zwei mit Fleisch gefütterten Hunden während vieler Tage 3 bis 6 g Alkalitannat täglich, zwei Kaninchen, die seit längerer Zeit mit Hafer gefüttert waren, Gerbsäurelösung zu wiederholten Malen: niemals konnte ich auch nur eine Spur von Gerbsäure im Harn der Versuchstiere nachweisen.

Der frisch gelassene oder mit dem Katheter der Blase entnommene Harn wurde über festes Kochsalz und konzentrierte Kochsalzlösung geschichtet und stehen gelassen. Stets schied sich ein bräunlicher, flockiger Niederschlag aus, der nach dem Abhebern der Flüssigkeit abgehoben und teils nach dem Trocknen auf einer Thonplatte auf seine Färbbarkeit mit Eisenchlorid (die bekannte Tintenfärbung) untersucht, teils mit Essigäther ausgeschüttelt wurde. Den Rückstand des verdunsteten Essigäthers löste ich in wenig Wasser und prüfte auf die Identitätsreaktionen der Gerbsäure (Fällung mit Leim, globulinfreier Eiereiweißlösung, Carpenis Reagens). In allen Versuchen fielen diese Reaktionen für Gerbsäure negativ aus, ja der durch Aussalzen ausgefällte Niederschlag färbte sich nicht einmal mit Eisenchlorid schwarz. Hiernach wäre es jedenfalls voreilig, einen solchen

1) Z. f. phys. Chemie 24 (1897).

2) Diss. Halle 1897.

durch Aussalzen im Harn nach Gerbsäurefütterung entstehenden flockigen Niederschlag ¹⁾ von vorne herein als Gerbsäure anzusprechen, vor allem da in Kontrollversuchen mit normalem Harn beim Aussalzen auch häufig ein geringer, meist allerdings nur schwach gelb gefärbter Niederschlag entstand.

Endlich wiederholte ich unsre früheren Versuche an Kaninchen, deren Harn sauer reagierte, mit Einführung von Gerbsäure in das Unterhautzellgewebe oder direkt in die venöse Blutbahn. Die subcutane Einverleibung von 2 g Alkalitannat führte bei einem Kaninchen von 2200 g nach ungefähr 12 Stunden zum Tode, ohne dass Harn entleert worden war. In der Blase fanden sich bei der Sektion ca. 15 ccm gelatinösen Harns, der zwar intensive Tintenfärbung zeigte, aber keine Gerbsäure enthielt. Die Blasenwand, die Niere und die Leber auf dem Schnitt färbten sich, mit Eisenchlorid betupft, schwarz. Bei drei anderen Kaninchen untersuchte ich den aus einer Blasenkanüle tropfenden Harn nach Einleitung einer Salzdurese unter dem Einfluss von 0,1 bis 0,2 g mit Soda alkalisch gemachter Gerbsäure, die in die Vene in ganz langsamem Strom einlief. Der während der Versuchsdauer von circa 2 Stunden ausgeschiedene Harn zeigte keine ausgesprochene Dunkelfärbung auf einem mit Eisenchlorid getränkten Thonteller, und war sicher frei von Gerbsäure ²⁾). Wiederum färbte Eisenchlorid die innere Blasenwand, Leber, Milz und Nierenschnitte blauschwarz. Das Blutserum dieser Tiere reagierte auf Eisenchlorid mit Dunkelfärbung.

In diesen Kontrollversuchen konnten wir also die früher von uns ausgesprochene Ansicht nur bestätigen, die mit den Versuchsergebnissen Lewins, der sowohl bei subcutaner als auch intravenöser Injektion Gerbsäure im Harn von Kaninchen ge-

¹⁾ Auch Bauer fand in Harnen, die frei von Gerbsäure waren, diesen Niederschlag.

²⁾ in gleicher Weise der in den nächsten Stunden nach der Operation entleerte Harn. Die 8 Tiere starben alle 1 bis 2 Stunden nach beendeter Operation unter den Erscheinungen einer Narkose.

funden haben will, nicht im Einklang steht, wohl aber mit denen Bauers¹⁾ harmoniert, der bei Hunden und Katzen intravenös beigebrachte Gerbsäure im Harn nicht nachweisen konnte.

Der auffällige Unterschied meiner Versuchsergebnisse von denen Stockmans und Harnacks gab mir Veranlassung, die Schärfe der einzelnen Methoden des Gerbsäurenachweises in wässerigen Lösungen und im Harn zu prüfen.

Methodische Versuche.

Die Lösung der Gerbsäure wurde in Spitzgläsern mit dem betreffenden Reagens versetzt und stehen gelassen. In allen zweifelhaften Proben, wenn bei starker Verdünnung eine Ausfällung der zugesetzten Gerbsäure nicht sicher zu konstatieren war, wurde filtriert und Filtrat sowie Filtrerrückstand mit Eisenchlorid geprüft. Nur dann, wenn das Filtrat frei von eisenbläuender Substanz war und das Filter nach dem Betupfen mit Eisenchloridlösung blau oder schwarz sich färbende Partikelchen aufwies, wurde die Reaktion noch als positiv angesehen. Bei der Methode, Gerbsäure auszusalzen, filtrierte ich ebenfalls; teils untersuchte ich den gesamten Filtrerrückstand auf seine Färbung mit Eisen, teils nahm ich ihn in Essigäther auf und prüfte nach dem Verdunsten desselben auf Gerbsäure.

Nach den in mehrfachen Reihen ausgeführten Versuchen konnte in wässerigen Lösungen zugesetzte Gerbsäure nachgewiesen werden:

durch Aussalzen (nach L o e w e) circa in der Verdünnung 1 : 60 000

durch Fälln mit Leim circa

• Fälln mit Eiweiss circa

• Fälln mit Carpenis Reagens circa

} 1 : 500 000

Für die Prüfung des Gerbsäuregehalts im Harn ergab sich zunächst eine unerwartete Schwierigkeit, nämlich die Thatsache, dass Gerbsäure nicht nur in alkalischem Harn wegen der Erdalkalien, sondern auch in saurem normalen Harn sowohl von Menschen wie von Hunden, Katzen, Kaninchen einen unlöslichen

1) Diss. Dorpat 1896 (unter Koberts Leitung).

Niederschlag erzeugt und zwar noch in der Verdünnung 1 : 100 000 im menschlichen Harn.

Der zunächst noch unbekannte die Gerbsäure bindende Körper musste aus dem normalen Harn erst entfernt werden, um letzteren dann zu quantitativen Versuchen benutzen zu können. Es geschah dies durch Fällen des menschlichen Harns mit etwas überschüssiger Gerbsäure, Versetzen des Filtrats mit genügend ammoniakalischer Magnesiumsulfatlösung, wodurch alle Gerbsäure niedergeschlagen wurde, Vertreiben des überschüssigen Ammoniaks und Ansäuern zur normalen sauren Reaktion. Dieser präparierte Harn wurde durch Gerbsäure nicht getrübt, ebenso wenig durch frische Leim- oder Eiweisslösung.

In diesem Harn liess sich zugesetzte Gerbsäure nachweisen: durch Aussalzen circa in der Verdünnung 1 : 70 000

- » Fällen mit Leim circa 1 : 500 000
- » Fällen mit Eiweiss circa 1 : 500 000
- » Fällen mit Carpeni circa 1 : 1000 000

Aus diesen Beobachtungen scheint mir hervorzugehen,

1) dass Tannin oder Alkalitannat im Harn sich sicherer durch Leim- oder Eiweissfällung als durch das Loewesche Aussalzverfahren nachweisen lässt, und, wenn daher Harn auf direkte Prüfung mit Leim oder Eiweiss nicht Tannin anzeigt, auch von der Methode des Aussalzens nichts zu erwarten ist;

2) dass es kaum zu verstehen ist, wie im klaren, nach Tannindarreichung entleerten Harn Gerbsäure gelöst oder nachweisbar sein soll, wenn ein Zusatz von so geringen Mengen Tannin, wie sie jedenfalls durch die Methode des Aussalzens nicht mehr sicher nachgewiesen werden können, alsbald ein unlösliches, sämtliches Tannin bindendes Präzipitat im Harn erzeugt. Dieser Niederschlag durch Zusatz von Gerbsäure tritt nun auch im Harn von Hunden ein, denen gerbsaures Natrium eingegeben war und deren Harn nach den anderen Autoren Gerbsäure hätte enthalten sollen. In ihm ist also jener die Gerbsäure bindende Körper nicht etwa schon ausgefällt, sondern ebenfalls noch vorhanden.

Wenn es sich trotzdem in den Versuchen Andrer um Auf-
findung von Tannin im Harn handelt, so könnte man daran
denken, dass der Harn beim Entleeren über Kot geflossen wäre
und dabei etwas Tannin ausgelaugt hätte. Ich habe wenigstens
jetzt beim Hund nach fortgesetzter Fütterung grosser Mengen
Gerbsäure (3—6 g) häufig unverändertes Tannin in nicht un-
beträchtlichen Mengen im Kot gefunden. Da nun aber Harnack
die Unmöglichkeit der Verunreinigung des Harns mit Kot in
seinen Versuchen ausdrücklich betont und Stockman den Harn
durch Katheterisieren entleert hat, so bleibt nichts übrig als —
wie es auch Harnack thut — auf individuelle Verschieden-
heiten in den Resorptionsverhältnissen und die verschiedene
Schnelligkeit und Vollständigkeit der Verseifung des Tannins zu
gallussaurem Natrium im Darmkanal hinzuweisen.

In derselben Sitzung (16. März 1898) führte Herr A. Kossel
einen **Vorlesungsversuch** vor, um die Pepsinverdauung mit
Hilfe der Projection zu demonstriren.

Der Vortragende verwendet zwei neben einander stehende
Glaskästchen mit planparallelen Wandungen, ähnlich den
„Hämatinometern.“ In eines dieser Kästchen bringt man
Pepsinsalzsäure, in das zweite Salzsäure allein, in jedes wird
eine mit Carmin gefärbte Fibrinflocke gehängt. Der Inhalt
beider Kästchen erscheint zugleich im Projectionsfeld. Die Ver-
dauung in der pepsinhaltigen Flüssigkeit führt in einigen
Minuten zum Verschwinden der Fibrinflocke in dem einen
Gefäss, zugleich zeigen rothe Schlieren in der Flüssigkeit den
Uebergang der Verdauungsproducte in die Lösung an. —

In der Sitzung vom 16. März wurde der Privatdocent für
Chemie an hiesiger Universität: Herr Dr. phil. Johannes
Gadamer durch vorschriftsmässige Kugelung zum ausserordent-
lichen Mitglied der Gesellschaft gewählt.

Sitzungsberichte

der Gesellschaft zur Beförderung der gesammten Naturwissenschaften

zu
M a r b u r g.

N^{ro.} 4

Mai

1898

In der wissenschaftlicher Sitzung vom 18. Mai 1898 berichtete Herr Professor F. Melde:

Ueber einen Ersatz für Stimmgabeln zur Erzeugung sehr hoher Töne.

1. Wenn man zur Erzeugung sehr hoher Töne die Stimmgabel durch einen anders geformten festen Körper, der sich bequem in Schwingung bringen lässt, ersetzen kann, so wird ein solcher Körper willkommen geheissen werden. Weiter beschäftigt mit der von mir erfundenen »Resonanzmethode«¹⁾ zur Feststellung der Schwingungszahlen hoher Töne habe ich gefunden, dass hierbei in ausgezeichneter Weise insbesondere quadratische ebene Platten, mit kürzerer Seitenlänge und grösserer Dicke wie gewöhnlich, die entsprechenden Stimmgabeln ersetzen können.

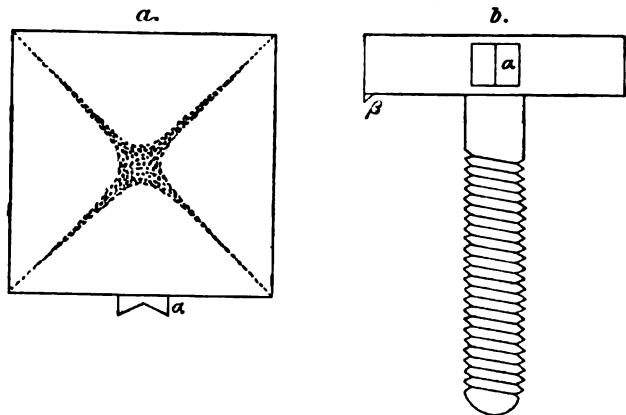
Der Vorzug dieser Platten besteht dann zunächst darin, dass ihre relativen Schwingungszahlen ein Gesetz²⁾ befolgen, wonach, wenn l und l_1 die Seiten zweier Platten, d und d_1 ihre Dicken, sowie N und N_1 die absoluten Zahlen ihrer Schwingungen bedeuten, für den Fall, dass beiderseits als Chladnische Klangfigur z. B. das Knotenkreuz durch die Ecken entsteht:

1) Wiedem. Annal. Bd. 52, S. 238 u. f.

2) Siehe Chladni, Akustik § 107.

$$\frac{N}{N_1} = \frac{d}{d_1} \cdot \frac{l_1^3}{l^3} \quad \dots \quad (1)$$

wird, selbstverständlich unter der Voraussetzung, dass die Platten aus demselben Material bestehen. Eine solche Platte bekommt in ihrer Mitte einen Stiel und sieht dieses neue Tonmittel dann so wie in untenstehender Figur aus, bei welcher a in natürlicher Grösse eine Platte von oben und b dieselbe von der Seite gesehen darstellt. Die Seitenlänge l beträgt hierbei 35, die Dicke d 8 mm, während die Länge des Stiels ca. 40 mm und dessen Durchmesser ca. 8 mm beträgt. Zum Zwecke der Schwingungserregung



solcher dicker Platten muss dann der sonst gebrauchte Violinbogen bei Seite gelegt und statt seiner zum Austreichen der Antolik'sche Glasstab verwendet werden, wie ich dies in meinen beiden Abhandlungen¹⁾ über die Bestimmung hoher Schwingungszahlen von Stimmgabeln genau auseinandergesetzt habe. Die Figuren a und b werden direkt verständlich sein und bemerke ich nur noch, dass a das kleine, winkelig eingekerbte Korkstückchen bedeutet, über welches mit dem nassen Glasstab unter Druck auf- und niedergestrichen wird, während β das kleine, keilförmige Korkstückchen versinnlicht, durch welches die Schwingungen der Platte auf den Resonanzstab

1) Wiedem. Annalen Bd. 51 S. 661—696 und Bd. 52 S. 288—262.

übertragen werden. Zum nähern Verständniss des ganzen Versuches ist es nöthig, die schematische Figur 1 der oben citirten Abhandlung S. 239 anzusehen. Anstatt der Stimmgabel muss man sich in dieser Figur dann links in den Holzklotz *K* die Platte mit ihrem Stiel eingeschraubt denken, wobei dann selbstverständlich dieser Stiel vertical und die letztere horizontal zu liegen kommt. Natürlich wird bei solchen dicken Scheiben mit kleinen Seitenlängen das Anstreichen eine viel grössere Kraft erfordern, wie es bei den gewöhnlichen Klangscheiben sonst der Fall ist, und liegt hierin der nächste äussere Grund, weshalb ein Violinbogen kaum zu brauchen ist. Die Scheiben müssen aus dicken Stahlplatten, die man im Handel zu kaufen bekommt, hergestellt werden, und unterliegt diese Herstellung keiner Schwierigkeit. Da bei ihnen erforderlichenfalls die Anwendung der Gleichung (1) eintreten soll, so leuchtet ein, dass die Platten nicht mit abgerundeten, sondern mit völlig scharfen Kanten hergestellt werden müssen. Auch deshalb verbietet sich die Anwendung des Violinbogens, dessen Haarband ja an scharfen Kanten in kürzester Zeit sich gänzlich abschaben müsste.

2. Streicht man nun eine solche Platte an, so wird das Ohr bei den hohen Schwingungen wohl meistens gar keinen Ton vernehmen. Um so mehr aber wird das Auge dann überrascht werden, wenn plötzlich haarscharf, wie hervorgezaubert, die Chladni'sche Knotenfigur — das Kreuz durch die Ecken — erscheint und hiermit der Beweis geliefert wird, dass die Scheibe auch wirklich schwingt. Beim Anstreichen des Korkstückchens α mit dem nassen Glasstab entsteht ein äusserst feiner Sprühregen, der theils auf die Platte, theils auf das angrenzende Ende des Resonanzstabes niederfällt und wodurch dann allerdings an diesen feucht gewordenen Stellen der Platte und des Stabes die Bildung von Knotenlinien vereitelt wird. Meine Resonanzmethode, wo sie immer angewendet wird, setzt aber vollkommene Trockenheit des Resonanzstabes, der Platten und des Sandes voraus und muss hierauf ganz besonders geachtet werden. Vor allem muss die Sorte des Sandes die richtige sein. Ich verwende ziemlich grobkörnigen Quarzsand, der durch wiederholtes Auswaschen vollkommen von beigemengtem Staub oder gar lehmigen

Bestandtheilen befreit wurde. Um diesen immer möglichst trocken zu erhalten, etablire ich in der Nähe der Platte in irgend einer Weise unter Zuhilfenahme eines kleinen Gasflämmchens eine Erwärmungsvorrichtung in Form eines kleinen Sandbades, auf welches ein Gläschen, das den Sand zum Aufstreuen auf die Platte und den Resonanzstab enthält, gelegt wird. Auf das Sandbad legt man ferner einen dicken feinen Haarpinsel, mit dem man den Sand, wenn er von der Platte bezw. dem Resonanzstab entfernt werden soll, abkehrt. Diese vollkommene Trockenheit ist namentlich dann als unerlässlich zu erachten, je mehr die Schwingungszahlen immer grösser und die Elongationsweiten der Schwingungen immer kleiner werden. Es kann also wohl kommen, dass die Knoten auf der Platte und dem Resonanzstab nicht erscheinen, und nur eine winzige Feuchtigkeit die Ursache hiervon ist. Kann man es vielleicht so einrichten, dass die Sonne auf die ganze Zusammenstellung der Apparate scheint, so wird hierdurch alles in vollkommener Trockenheit erhalten. Die Erwärmung der Platte bezw. des Resonanzstabes wird kaum einen bemerkbaren Einfluss auf die Schwingungszahlen ausüben; fürchtet man aber diesen Einfluss, so kann ja die Trockenheit durch die andern angegebenen Mittel ohne die Sonne erreicht werden.

3. Bevor ich nun Resultate der Tonhöhenbestimmung bei einer Anzahl »Stimmlatten«, wie man die Scheiben gegenüber den »Stimmgabeln« nennen kann, mittheile, möchte ich über die Benutzung theoretischer Formeln und Gleichungen, die bei meiner Resonanzmethode in Betracht kommen, hier das Nöthige erläutern. Die Seebeck'sche Gleichung für die Schwingungszahl eines einseitig festgeklebten parallelepipedischen Stabes heisst

$$N = \frac{\epsilon^2 \cdot \pi \cdot h}{4 \cdot \sqrt{3} \cdot L^3} \sqrt{\frac{E \cdot g}{s}} \quad . \quad . \quad . \quad . \quad . \quad (2)$$

Es bedeutet hierbei ϵ eine Zahl, welche von der Ordnungszahl des betr. Obertons des Resonanzstabes abhängt, h dessen Dicke und L die Länge des frei schwingenden Stabtheils. Da bei der Methode derselbe Resonanzstab verbleibt, so ist h eine Constante; fassen wir sie mit allen übrigen constanten Grössen, ausser ϵ

und L , zu einer gemeinsamen Constanten K zusammen, so wird die Gleichung (2) zu:

$$N = \frac{\epsilon^2 \cdot K}{L^2} \quad . \quad . \quad . \quad . \quad . \quad . \quad (3)$$

Die Methode, welche in meiner Abhandlung ¹⁾ über die Tonhöhenbestimmung hoher Gabeln erläutert wurde, setzte eine »Vergleichsgabel« mit einer bekannten Anzahl N_1 Schwingungen voraus; übertrug diese Vergleichsgabel dann beim Anstreichen ihre Schwingungen auf das freie Ende des »Resonanzstabes«, so konnte dieser bei einer leicht zu bestimmenden Länge L_1 eine Anzahl k_1 Knoten liefern; dann gehört zu dieser Anzahl k_1 Knoten eine Ordnungszahl $n = (k_1 + 1)$ des betr. Obertons und hierzu ein bestimmtes ϵ_1 , das aus vorhandenen Tabellen ²⁾ entnommen werden kann; N_1 , L_1 und ϵ_1 sind demnach für die Vergleichsgabel bekannte Grössen und besteht für diese die Gleichung:

$$N_1 = \frac{\epsilon_1^2 \cdot K}{L_1^2} \quad . \quad . \quad . \quad . \quad . \quad . \quad (4)$$

Mithin besteht auch die Gleichung

$$\frac{N}{N_1} = \frac{\epsilon^2}{\epsilon_1^2} \cdot \frac{L_1^2}{L^2} \quad . \quad . \quad . \quad . \quad . \quad . \quad (5)$$

und hiernach die Gleichung

$$N = N_1 \frac{\epsilon^2}{\epsilon_1^2} \cdot \frac{L_1^2}{L^2} \quad . \quad . \quad . \quad . \quad . \quad . \quad (6)$$

als diejenige, aus welcher N berechnet werden kann, falls für eine zweite Gabel auch durch den Versuch die Anzahl k Knoten und die dazu gehörige Länge L des Resonanzstabes ermittelt worden ist.

Beispiel. Eine Vergleichsgabel hatte ein $N_1 = 2044$; bei einer Länge $L_1 = 227,5$ m/m zeigte sie 5 Knoten, d. h. bei diesem 6. Oberton ist $\epsilon_1 = \frac{(2n_1-1)}{2} = \frac{11}{2}$ und hiernach $\text{Log } \epsilon_1 = 0,74036$ und $\text{Log } \epsilon_1^2 = 1,48072$. Die zu prüfende Gabel N zeigte bei ihrem 11. Oberton 10 Knoten bei einem $L = 153,4$ m/m; für sie

1) Wiedem. Ann. Bd. 52.

2) S. meine Akustik S. 145.

war also $\epsilon = \frac{2 \cdot 10 - 1}{2} = \frac{19}{2}$, $\text{Log } \epsilon = 1,02119$ und $\text{Log } \epsilon^2 =$

2,04238. Hiernach berechnet sich N wie folgt:

$$\begin{array}{rcl} \text{Log } N_1 & = & 3,31048 \\ \text{Log } \epsilon^2 & = & 2,04238 \\ \text{Log } 227,5^2 & = & 4,71396 \\ & & 10,06682 \\ & & 5,85238 \\ \text{Log } N & = & 4,21444 \end{array} \quad \begin{array}{rcl} \text{Log } \epsilon_1^2 & = & 1,48072 \\ \text{Log } 153,4^2 & = & 4,37166 \\ & & 5,85238 \\ N & = & 16385 \end{array}$$

Die zu prüfende Gabel N war in der That ein König'sches C_* mit 16384 Schwingungen.

Sollen mehr wie eine Gabel auf ihre Schwingungszahlen festgestellt werden, so kann für alle diese zu prüfenden Gabeln dieselbe Vergleichsgabel mit derselben Länge L_1 des Resonanzstabes sowie derselben Oberschwingung des letzteren verbleiben. Geschieht dies, so leuchtet ein, dass in der Gleichung (6) die drei Grössen N_1 , L_1^2 und ϵ_1^2 zu einer Constanten $K_1 = \frac{N_1 \cdot L_1^2}{\epsilon_1^2}$ zusammengefasst werden können, wonach dann diese Gleichung übergeht in

$$N = K_1 \cdot \frac{\epsilon^2}{L^2} \dots \dots \dots (7)$$

Hiernach berechnen sich dann die N mittelst der Logarithmen in kürzester Zeit. Für unsere Gabel C_* war $\text{Log } K_1 = 6,54372$, mithin

$$\begin{array}{rcl} \text{Log } K_1 & = & 6,54372 \\ \text{Log } \epsilon^2 & = & 2,04238 \\ & & \underline{8,58610} \\ \text{Log } L^2 & = & 4,37166 \\ \text{Log } N & = & 4,21444 \end{array} \quad N = 16385.$$

4. Lässt es sich einrichten, dass die Ordnungszahl der Oberschwingung des Resonanzstabes und hiermit k und ϵ für alle zu prüfenden Gabeln dieselbe bleibt wie für die Vergleichsgabel, so ist $\epsilon_1 = \epsilon$ und gestaltet sich die Gleichung (6) noch viel einfacher und wird zu

$$N = N_1 \cdot \frac{L_1^2}{L^2} \dots \dots \dots (8)$$

war, so konnte C_* als Hilfsvergleichsgabel angenommen werden. Die erste Stimmlatte, mit A bezeichnet, lieferte nun 10 Knoten bei einer Länge $L = 163,2$ m/m, die Gabel C_* bei $L_1 = 153,4$ m/m. Mithin ist nach Gl. (8)

$$A = 16385 \cdot \frac{153,4^2}{163,2^2}$$

$$\text{Log } 16385 = 4,21444$$

$$\text{Log } 153,4 = 4,37166$$

$$\text{Log } K_1 = 8,58510$$

$$\text{Log } 163,2^2 = 4,42544$$

$$\text{Log } A = 4,16066$$

$$A = 14476.$$

Hiernach ist nun die Berechnung für die übrigen acht Stimmlatten sehr einfach. Für die nächste, von mir mit X bezeichnet, war z. B. $L = 155,1$; mithin die Berechnung:

$$\text{Log } K_2 = 8,58610$$

$$\text{Log } 155,1^2 = 4,38122$$

$$\text{Log } X = 4,20488$$

$$X = 16028.$$

5. Nach diesen Auseinandersetzungen gebe ich nun eine Zusammenstellung der Resultate meiner Untersuchung der neun Stimmlatten.

Platte	l m/m	d m/m	k	L m/m	N	N^*	A
A	46,75	7,00	10	163,2	14476	14476	0
X	43,30	6,50	„	155,1	16028	15670	— 358
Y	41,35	6,45	„	149,3	17298	17050	— 248
E	49,95	10,05	„	146,7	17999	18206	— 207
Z	28,25	3,25	„	139,5	19813	18406	— 1407
C	41,80	8,10	„	135,8	20903	20953	+ 50
F	38,90	8,00	„	128,3	23423	23896	+ 473
G	40,00	10,05	„	120,1	26731	28390	+ 1659
B	35,00	8,00	—	—	—	29517	—

Es bedeuten in dieser Zusammenstellung die Zahlen der mit l überschriebenen Columnne die in Millimeter ausgedrückten Seitenlängen der quadratischen Platten, d ihre Dicken; ferner

k die für alle Platten geltende Zahl der Knoten des Resonanzstabes. Die Columnne L bezeichnet, in Millimeter ausgedrückt, die den einzelnen Platten entsprechenden Längen des freischwingenden Resonanzstabes. Die Columnne N enthält dann die nach Gl. (9) berechneten Schwingungszahlen der Platten.

Legt man die Schwingungszahl 14476 der Platte A zu Grund, so lassen sich die Schwingungszahlen auch nach der Gl. (1) berechnen, ohne dass man die Resonanzmethode zur Anwendung bringt. Diese so erhaltenen Schwingungszahlen enthält die Columnne N^* und sodann die mit A überschriebene Columnne die Abweichungen ($N^* - N$).

Die Platte B war nicht mehr dahin zu bringen, dass bei ihrem Anstreichen der Resonanzstab so in Schwingung gerieth, dass er durch Sand Knotenlinien zeigte. Da aber doch das Kreuz durch die Ecken auf der Platte erschien, wenn auch nicht so rasch und so scharf wie bei den acht vorausgehenden Platten, so musste angenommen werden, dass die Intensität der Schwingungen bei nahezu 30000 in der Sekunde nicht mehr hinreichte, um den Resonanzstab in so starkes Mitschwingen zu versetzen, dass auch er Knoten zeigen konnte. Es bleibt nun einer weiteren Prüfung vorbehalten, ob es nicht mit andern Platten, deren Schwingungszahl ca. 30000 ist, gelingt, die Resonanzmethode noch zur Anwendung zu bringen, und bin ich in dieser Richtung mit weiteren Untersuchungen beschäftigt.

6. Zunächst werden nun wohl die zum Theil bedeutenden Abweichungen der Zahlen N und N^* auffällig sein. Bei näherer Ueberlegung jedoch werden diese sich leicht erklären lassen. Die von mir verwendeten Platten wurden von meinem Mechaniker hergestellt, der den Stahl hierzu in den vorhandenen Dicken von einer auswärtigen Firma bezog. Wenn nun auch die möglichste Sorgfalt namentlich auf Herstellung von durchweg parallelen Begrenzungsflächen verwendet und insbesondere darauf geachtet wurde, dass jede Platte durchweg gleiche Dicke bekam, so zeigte doch eine genauere Prüfung, dass sich dies nicht vollständig hatte erreichen lassen. Sodann sind die Platten mit einem Stiel versehen, der mit seinem oberen Ende in ein Loch, welches in die Mitte derselben gemacht wurde, eingeschraubt und einge-

löthet ist. Ein solcher Stiel muss dann zweifelsohne die Schwingungen der Platten beeinflussen geradeso wie bei einer Stimmgabel, deren Schwingungen sich ja auch von ihrem Stiel in Abhängigkeit befinden, was sich leicht nachweisen lässt. Die Gleichung (1) nimmt aber auf diese Dinge keine Rücksicht und setzt eine Platte ohne Stiel und von sonst idealer Form voraus. Es können daher die nach dieser Gleichung berechneten Schwingungszahlen kaum so ausfallen, dass sie durchweg nur mässige Abweichungen von den durchs Experiment gefundenen Schwingungszahlen N zeigen. Für die durch die Resonanzmethode erhaltenen Schwingungszahlen gilt also dann jede Platte, wie sie gerade ihrer Form nach ausgefallen ist, incl. Stiel, als ein Individuum, geradeso wie eine Stimmgabel, deren Schwingungszahl ja auch nur durchs Experiment genau bestimmt werden kann, während deren Berechnung nach einer theoretischen Formel zur Unmöglichkeit wird, wenn nicht etwa, wie Marcadier nachgewiesen¹⁾ hat, die Form der Gabel eine bestimmt regelmässige ist.

Sollen Klangplatten eine möglichst ideale Form bekommen, so können sie nur mittelst einer Hobelmaschine hergestellt werden, und sollen etwa für verschiedene Platten, wie wir es gethan haben, nach einer Gleichung wie die Gl. (1) Gesetzmässigkeiten nachgewiesen und z. B., von einer Platte ausgehend, die andern Platten mit dieser einen verglichen werden, so müssen selbstverständlich alle diese schwingenden Körper auch genau aus demselben Material gearbeitet sein. Auch dieses letztere Erforderniss wird wohl nicht für alle neun Platten unserer aufgeführten Reihe genau erfüllt sein. Die Platten, wie sie sind und nicht wie sie theoretisch genommen sein sollen, bilden demgemäss die schwingenden Körper, um deren Schwingungszahlen N es sich handelt und welche Schwingungszahlen eben durch meine Resonanzmethode bestimmt werden können. Dem entgegen haben die mittelst der Gl. (1) berechneten Schwingungszahlen bloss für eine oberflächliche Beurtheilung der Tonhöhen Werth, um wenigstens erst annähernd zu erfahren, mit welchen Schwingungsmengen man es voraussichtlich zu thun haben wird.

1) S. meine Akustik S. 163.

7. Welches sind denn nun aber die Vorzüge, welche meine »Stimmlplatten« vor den »Stimmgabeln« voraushaben? Diese Vorzüge sind mannigfacher Art und kann folgendes genauer beachtet werden.

Erstens. Die »Stimmlplatten« erfordern zu ihrer Herstellung zweifellos gegenüber den Stimmgabeln weniger Geld und Zeit.

Zweitens. Die Platten sind, selbst bei weniger ideeller Form, doch immerhin geometrisch einfache Körper, über deren Schwingungszahlen nach der Gl. (1) man sich leicht bis zu einer gewissen Grenze unterrichten kann, während bei Stimmgabeln dies gänzlich unmöglich ist. Man sehe einmal die von R. König für hohe Töne gelieferten Gabeln an und man wird sofort sich überzeugen, dass es bei diesen ihren Formen ganz unmöglich ist, über ihre Schwingungszahlen neben der experimentellen Ermittlung derselben auch auf theoretischem Weg nur einigermaßen eine annähernde Kenntniss der Schwingungsmengen zu erlangen.

Drittens. Die grösste Auszeichnung vor den Stimmgabeln besitzen die Stimmlplatten dadurch, dass sie in sehr schöner und unzweideutiger Weise anzeigen, dass sie wirklich schwingen. Alle schwingenden Körper, wobei hohe und höchste Schwingungen bzw. Töne in Betracht kommen, sind mangelhafte Körper, falls sie nicht auch direkt fürs Auge die Anzeige von ihren Schwingungen machen können. Die Stimmgabeln können dies in der Weise, dass sie auf ihren Oberflächen eine Klangfigur erzeugen lassen, nicht. Ob sie wirklich schwingen, lässt sich allerdings durch aufgestreuten Sand nachweisen; aber dieser verliert sich sofort von den Zinken, ohne eine Figur zu bilden. Diese Fähigkeit eines schwingenden Körpers, seine Schwingungen durch äussere Zeichen zu bestätigen, ist bei Gehörsprüfungen eine unschätzbare Eigenschaft, und sind in dieser Beziehung auch die bekannten dicken cylindrischen Stahlstäbe, wie sie insbesondere von R. König, um sehr hohe Töne zu liefern, eingeführt wurden, zweifelhafte Prüfungsmittel. Denn diese dicken Stäbe können nur durch einen Holz- oder Stahlhammer zum Schwingen gebracht werden; aufgestreuter Sand verlässt hierbei dann sofort die Oberflächen, auch wenn die Stäbe parallelepipedisch sind, und bleibt nicht an den Knotenstellen, auf welchen die Stäbe aufliegen müssen, liegen. Ob ein solcher Stab also

wirklich schwingt oder nicht, kann, wenn das Ohr einen Ton nicht hört, sehr zweifelhaft sein; sieht aber das Auge die schöne Chladni'sche Klangfigur auf einer Stimmlatte, so weiss man, dass dieselbe wirklich schwingt, und hört dann das Ohr keinen Ton, so muss man schliessen, dass es unfähig ist, Schwingungen von solcher Höhe wirklich zu hören.

Viertens. Wenn eine Stimmgabel angestrichen werden soll, so ist man mit dem Anstreichstab (Violinbogen) nur auf die Enden der Gabelzinken verwiesen. Man muss vorsichtig streichen, damit der Stab nicht abrutscht, was bei der Antolik-schen Methode allerdings wenig zu fürchten ist, bei einem Violinbogen aber eine sehr missliche Sache ist. Ganz anders bei einer Stimmlatte. Man hat bei ihr vier doch immerhin längere Quadratseiten, in deren Mitte man anstreichen kann; man hat ein Abrutschen des Glasstabes oder des Violinbogens nicht zu fürchten, man kann die Scheibe in jeder beliebigen Stellung einschrauben, und immer wird man bequem an einer der vier Quadratseiten das Anstreichen in der je bequemsten Weise fertig bringen können. Sollen nun die Schwingungen der Platten etwa auf einen Stab übertragen werden, so ist dies bei ihr auch wieder viel leichter zu bewerkstelligen wie bei einer Stimmgabel, weil bei letzterer das Zinkenende, von dem aus die Uebertragung z. B. auf Resonanzstab stattfinden soll, diesem letzteren zu nahe liegt und die Uebertragung unbequemer wird, während bei Platten die Anstreichstellen und die Uebertragungsstellen an zwei verschiedenen Quadratseiten gewählt werden können.

Anstatt der quadratischen Stimmlatten vielleicht kreisrunde zu nehmen, bildet selbstverständlich gar keinen principiellen Unterschied, falls man nicht etwa glaubt, die letzteren könnten auf der Drehbank in ihrem äusseren Umfang regelmässiger hergestellt werden. Zur weiteren Ergänzung kann dann noch hinzugefügt werden, dass zweifelsohne auch kleinere und dickwandigere glockenförmige Körper, mit einem Stiel versehen, zur Erzeugung sehr hoher Töne benutzt werden können, am besten wird es aber wohl immer bleiben, sich der quadratischen Platten zu bedienen.

Sitzungsberichte

der Gesellschaft zur Beförderung der gesamten Naturwissenschaften

zu

M a r b u r g.

Nr. 5 **Juni** **1898**

In der wissenschaftlichen Sitzung vom 15. Juni 1898 hielt Herr E. Hess einen Vortrag:

**Ueber eine anschauliche Darstellung der regelmässigen
Einteilungen des dreidimensionalen sphärischen Raumes.**

Die regelmässigen Einteilungen der Kugelfläche — des zweidimensionalen sphärischen Raumes — entstehen bekanntlich durch die Symmetrie-Ebenen der regulären Polyeder und der regulären Doppelpyramiden, zu welchen die Kugelfläche concentrisch ist. Umgekehrt lassen sich aus den regelmässigen Einteilungen einer Kugelfläche in gleiche und ähnliche sphärische Polygone, deren Seiten Hauptkreisbogen sind, die ganz oder teilweise regelmässigen Polyeder, speciell auch die Gestalten des regulären, tetragonalen, rhombischen und hexagonalen Krystallsystems in einfacher Weise herleiten.

Man kann auf verschiedene Arten diese regelmässigen Einteilungen einer Kugelfläche anschaulich darstellen:

1) durch Aufzeichnung der sphärischen Polygone auf eine Kugelfläche ¹⁾;

1) Vgl. die neuerdings auf Veranlassung von W. Dyck angefertigten Modelle der den regulären Polyedern entsprechenden Gebietseinteilungen auf der Kugel. Nr. 6 der XVII. Serie des Verlags von L. Brill in Darmstadt.

2) durch Benutzung der von mir angegebenen sog. Polyeder-Kaleidöskope¹⁾, bei welchen die Einlage einer sphärischen Grenzfläche des Netzes in die durch drei benachbarte Symmetrie-Ebenen, deren Innenseiten spiegelnd sind, eingeschlossene Ecke genügt, um die ganze Einteilung der Kugelfläche anschaulich zu erhalten;

3) durch Construction der stereographischen Projection des sphärischen Netzes, bei welcher eine winkeltreue Abbildung desselben entsteht und die Hauptkreise der Kugelfläche als Kreise, speciell als Gerade in die Ebene projiciert werden.²⁾

Analog können nun auch die regelmässigen Einteilungen (oder Ausfüllungen) des dreidimensionalen sphärischen Raumes (des sog. Helmholtz'schen Raumes, der Hypersphäre), welche durch die linearen Symmetrie-Räume der regulären, zu der Hypersphäre concentrischen Polytope des vierdimensionalen Raumes erzeugt werden,³⁾ durch Projection in den ebenen dreidimensionalen (Euklid'schen) Raum anschaulich dargestellt werden.

Die Darstellung der sechs regelmässigen vierdimensionalen Polytope (erster Art) durch ihre Projectionsmodelle ist zuerst von

1) Vgl. E. Hess: „Ueber ein Problem der Katoptrik“ (Diese Sitzungsber., Januar 1879, S. 7—20). „Ueber Polyeder-Kaleidöskope“ (Ebenda, Febr. 1882, S. 9—12). „Einleitung in die Lehre von der Kugelteilung“ (Leipzig, B. G. Teubner 1883, S. 262—265). „Ueber die Zahl und Lage der Bilder eines Punktes bei drei eine Ecke bildenden Planspiegeln“ (Diese Sitzungsber., Januar 1888). „Ueber Polyederkaleidöskope und deren Anwendung auf die Krystallographie“ (Neues Jahrb. f. Mineral. 1889, Bd. I, S. 54—65). „Katalog mathematischer u. s. w. Modelle der Deutschen Mathematiker-Vereinigung“, herausgegeben von W. Dyck, München 1892, Nr. 137, S. 250, 251.

2) Vgl. die Figuren in des Verfassers „Einleitung in die Lehre von der Kugelteilung“.

3) Vgl. E. Hess: „Ueber die regulären Polytope höherer Art“ (Diese Sitzungsber., Mai 1885, S. 31—57, § 1). „Ueber regelmässige Einteilungen des dreidimensionalen sphärischen Raumes“ (Ebenda, December 1895, S. 39—50).

V. Schlegel¹⁾ ausgeführt worden. Bei Benutzung der Polyeder-Kaleidoskope ist hier nur die Herstellung einer Einlage erforderlich, welche für das Fünfeck den 24ten, für das Achteck, das Sechseck- und das Vierundzwanzig-Zell den 48ten, für das Sechshundert- und das Hundertundzwanzig-Zell den 120ten Teil des ganzen Projectionsmodells beträgt. Auch für die hier zu betrachtende anschauliche Darstellung der stereographischen Projection der regelmässig eingetheilten Hypersphäre erweisen sich die Polyeder-Kaleidoskope als ganz besonders geeignet.,

Durch die Hauptkugeln, in welchen die linearen Symmetrie-Räume der regulären Polytope die concentrische Hypersphäre schneiden, wird dieselbe für die hier nur in Betracht zu ziehenden Fälle des 5-Zells, des 16- und des 8-Zells, des 24-Zells des 600- und des 120-Zells in bez. 120, 384, 1152, 14400 unter sich congruente sphärische Elementar-Tetraeder geteilt, deren Elemente im Folgenden übersichtlich zusammengestellt sind und durch deren verschiedene Zusammenfassung die möglichen regulären und teilweise regulären Gewebe dieser 4 Gruppen leicht erhalten werden können.

Projiziert man nun die auf eine der vier Arten regelmässig eingetheilte Hypersphäre von einem ihrer Punkte P — als welcher einer der Eckpunkte eines Elementartetraeders gewählt werde — auf dessen linearen „Aequator“-Raum, welcher die Hypersphäre in der Polarhauptkugel des Punktes P schneidet, so stellen sich alle durch den Projectionspunkt P und dessen Gegenpunkt P' hindurchgehenden Symmetrie-Hauptkugeln als Ebenen dar, welche sich in der Projection \mathfrak{P} des Punktes P — die Projection von P fällt ins Unendliche — schneiden. Falls die Polarhauptkugel von P (und P') zu den Symmetriehauptkugeln gehört, so ist ihre Projection, nämlich die mit dem Radius der Hypersphäre — welcher = 1 angenommen werde — um den Punkt \mathfrak{P} beschriebene Kugel \mathfrak{K} mit zu berücksichtigen. Alle übrigen

1) Vgl. Specialkatalog. S. 31, 32 und S. 87—89 des Verlags von L. Brill in Darmstadt.

Symmetriehauptkugeln projicieren sich als Kugeln, deren Mittelpunkte auf den geraden Symmetrie-Axen, den Schnittlinien der durch den Mittelpunkt \mathfrak{P} gehenden Ebenen liegen, falls — was bei den hier in Betracht kommenden vier Fällen immer möglich ist — als Punkt P ein solcher Eckpunkt des Elementartetraeders gewählt wird, für welchen die drei durch ihn hindurchgehenden Kanten alle vorhandenen Arten von Symmetrie-Axen repräsentieren oder in welchem sich die grösste Zahl von Symmetrie-Hauptkugeln des sphärischen Gewebes schneidet.

Die auf diesen Kugeln, speciell den durch \mathfrak{P} gehenden Ebenen entstehenden Einteilungen, welche durch die kreisförmigen, speciell geraden Symmetrie-Axen erzeugt werden, entsprechen den bekannten Einteilungen einer Kugelfläche, bezw. deren ebener stereographischer Projection, durch die Symmetrie-Ebenen der regulären Polyeder oder können aus diesen leicht durch Construction bestimmter kreisförmiger oder gerader Verbindungslinien vervollständigt werden.

Wenn der soeben näher bezeichnete Eckpunkt P eines sphärischen Tetraeders zum Projectionspunkt gewählt wird, so sind die durch den Mittelpunkt \mathfrak{P} der Projection hindurchgehenden Ebenen

- 1) für die Gruppe der regulären 5-Zells die 6 Symmetrie-Ebenen eines regulären Tetraeders,
- 2) für die beiden Gruppen des $\left. \begin{array}{l} \text{16- u. 8-Zells u. des 24-Zells} \end{array} \right\}$ die 3 + 6 Symmetrie-Ebenen eines regulären Oktaeders (oder Hexaeders),
- 3) für die Gruppe des 600- und 120-Zells die 15 Symmetrie-Ebenen eines regulären Ikosaeders (oder Pentagondodekaeders).

Die durch je drei benachbarte Symmetrie-Ebenen bestimmte Ecke ist also in diesen drei Fällen dieselbe, welche bei den Polyeder-Kaleidoskopen zur Darstellung der entsprechenden regelmässigen oder teilweise regelmässigen Gestalten der Tetraeder-, Oktaeder- und Ikosaeder-Gruppe benutzt wird.

Werden nun die in einer solchen Ecke enthaltenen Projectionen der sphärischen Tetraeder einer der vier regelmässigen Einteilungen der Hypersphäre dargestellt, so giebt das entsprechende Polyeder-Kaleidoskop für eine solche Einlage ein vollständiges anschauliches Bild der betreffenden Einteilung des dreidimensionalen sphärischen Raumes.¹⁾ Die Zahl und Beschaffenheit der in einer solchen Ecke enthaltenen Elementar-Tetraeder, sowie ihre Anordnung ist aus den nachfolgenden Zusammenstellungen ersichtlich.

Es sei noch bemerkt, dass nur für die erste Gruppe des 5-Zells die um den Punkt \mathfrak{P} mit dem Radius 1 beschriebene Kugel \mathfrak{K} (die Projection der Polar-Hauptkugel des Punktes P) nicht zu den Symmetrie-Kugeln gehört. Für die drei anderen Hauptgruppen ist dies der Fall, und von den in der Ecke enthaltenen Tetraedern verhält sich die eine, im Innern der Kugel liegende Hälfte zu der anderen, ausserhalb desselben liegenden symmetrisch in Beziehung auf diese Kugel. Die Symmetrie in Beziehung auf irgend eine Kugel, welche die Projection einer Symmetrie-Hauptkugel darstellt, ist überhaupt eine solche, dass ein Punkt und sein Spiegelbild in Beziehung auf diese Kugel harmonische Pole auf dem zugehörigen Kugeldurchmesser (sog. elektrische Bilder nach Thomson) sind.

Hinsichtlich der Herleitung der im Folgenden zusammengestellten Beziehungen und weiter sich hieraus ergebender Folgerungen sei auf eine in Kürze erscheinende grössere Abhandlung des Verfassers hingewiesen, in welcher insbesondere die sämtlichen für die vier Hauptgruppen charakteristischen einfachen und Doppeldrehungen, ebenso die einfachen und dreifachen Spiegelungen (Drehspiegelungen), sowie auch die eigentlichen und uneigentlichen Correlationen vollständig abgeleitet werden.

1) Die sphärischen Seitenflächen solcher Tetraeder werden hierbei der Uebersichtlichkeit wegen am besten offen gelassen, d. h. nur durch die in den Symmetrie-Ebenen gezeichneten sphärischen Seiten dargestellt und die den verschiedenen Tetraedern angehörigen ebenen Flächen durch verschiedene Färbung gekennzeichnet.

I. Gruppe des regulären Fünfsells.

Das hierhergehörige reguläre sphärische Zellgewebe (I) wird durch 10 Hauptkugeln ϱ_{1-10} gebildet, welche sich

10 mal zu je dreien in den 10 Hauptkreisen K_{1-10} ,
 15 mal „ „ zweien „ „ 15 „ „ L_{1-15}
 schneiden, während durch die Schnittpunkte nämlich
 die 5 Punkte \mathfrak{Z} und deren Gegenpunkte \mathfrak{Z}' je 6 Hauptkugeln ϱ ,
 „ 10 „ „ „ „ „ „ „ „ 4 „ „ „
 hindurchgehen.

Durch diese 10 Hauptkugeln ϱ wird die Hypersphäre in 120 gleiche Elementartetraeder mit je zwei Eckpunkten \mathfrak{Z}_a und \mathfrak{Z}'_b und je zwei Eckpunkten \mathfrak{H}_c und \mathfrak{H}'_d geteilt. Die Elemente eines solchen Tetraeders $\mathfrak{Z}^{(1)}$ sind in übersichtlicher Zusammenstellung die folgenden:

Centriwinkel einer sphärischen Kante:	Haupt- kreis:	Neigungswinkel der Hauptkugeln in dieser Kante:	} (1)
$\mathfrak{Z}_a \mathfrak{H}_c = \mathfrak{Z}'_b \mathfrak{H}'_d = \zeta$	K	60°	
$\mathfrak{Z}_a \mathfrak{H}'_d = \mathfrak{Z}'_b \mathfrak{H}_c = \varepsilon$	L	90°	
$\mathfrak{Z}_a \mathfrak{Z}'_b = 180^\circ - 2\zeta$	K	60°	
$\mathfrak{H}_c \mathfrak{H}'_d = \vartheta$	L	90°	
Neigungswinkel der Hauptkreise:			} (2)
$\mathfrak{H}_c \widehat{\mathfrak{Z}_a \mathfrak{Z}'_b} = \mathfrak{H}'_d \widehat{\mathfrak{Z}'_b \mathfrak{Z}_a} = 180^\circ - 2\eta$		$\mathfrak{Z}'_b \mathfrak{H}_c \mathfrak{H}'_d = \mathfrak{Z}_a \mathfrak{H}'_d \mathfrak{H}_c = 60^\circ$	
$\mathfrak{Z}'_b \widehat{\mathfrak{Z}_a \mathfrak{H}'_d} = \mathfrak{Z}_a \widehat{\mathfrak{Z}'_b \mathfrak{H}_c} = \eta$		$\mathfrak{H}'_d \mathfrak{H}_c \mathfrak{Z}_a = \mathfrak{H}_c \mathfrak{H}'_d \mathfrak{Z}'_b = 90^\circ$	
$\mathfrak{H}'_d \widehat{\mathfrak{Z}_a \mathfrak{H}_c} = \mathfrak{H}_c \widehat{\mathfrak{Z}'_b \mathfrak{H}'_d} = \eta$		$\mathfrak{Z}_a \mathfrak{H}_c \mathfrak{Z}'_b = \mathfrak{Z}'_b \mathfrak{H}'_d \mathfrak{Z}_a = 90^\circ$	

Dabei ist:

$$\left. \begin{aligned} \cos 2\eta &= -\frac{1}{3}, \quad \cos 2\zeta = -\frac{1}{4}, \quad \cos 2\varepsilon = -\frac{2}{3}, \quad \cos \vartheta = \frac{2}{3}, \\ \eta &= 54^\circ 44' 8'', 2, \quad \zeta = 52^\circ 14' 19'', 6, \quad \varepsilon = 65^\circ 54' 18'', 6, \quad \vartheta = 48^\circ 11' 22'', 8, \\ 2\varepsilon + \vartheta &= 180^\circ, \quad \varepsilon = 45^\circ + \psi, \quad \vartheta = 90^\circ - 2\psi, \quad \text{wobei } \operatorname{tg} \psi = \operatorname{tg} \varphi = \frac{3 - \sqrt{5}}{2} \end{aligned} \right\} \quad (2)$$

(vgl. unter IV Formel (6)).

Wenn je 24 in einem Punkte \mathfrak{Z} (oder \mathfrak{Z}') zusammenstossende Tetraeder zusammengefasst werden, so entsteht das Gewebe des regulären Fünfsells (oder das conjugierte Gewebe) und zwar sind die

5 Punkte $\mathfrak{Z}(\mathfrak{Z}')$ die Eckpunkte	} dieses regulären Gewebes.
10 „ $\mathfrak{R}(\mathfrak{R}')$ „ Kantenmittelpunkte	
10 „ $\mathfrak{R}'(\mathfrak{R})$ „ Flächenmittelpunkte	
5 „ $\mathfrak{Z}'(\mathfrak{Z})$ „ Tetraedermittelpunkte	

Durch Zusammenfassen von je 12 in einem Punkte \mathfrak{R} (oder \mathfrak{R}') zusammenstossenden Elementartetraedern resultiert das feste gleichzellige Zellgewebe dieser Gruppe; die Eckpunkte der 10 congruenten sphärischen dreiseitigen Doppelpyramiden, welche dieses Gewebe bilden, sind eine Combination der 5 Eckpunkte \mathfrak{Z} und der 5 Eckpunkte \mathfrak{Z}' . Das diesem gleichzelligen Gewebe zugeordnete feste, gleicheckige Gewebe hat die 10 Punkte \mathfrak{R} (oder \mathfrak{R}') zu Eckpunkten und ist von 5 regulären Oktaedern und 5 regulären Tetraedern begrenzt, von welchen sich je 3 Oktaeder und je 2 Tetraeder in jedem Eckpunkte vereinigen.

Wenn im Innern eines der 120 Elementartetraeder ein beliebiger Punkt angenommen wird und die übrigen 119 homologen Punkte construiert werden, so wird das allgemeinste gleicheckige Gewebe dieser Gruppe erhalten, welchem das entsprechende gleicheckige und gleichzellige Polytop bez. ein- und umgeschrieben ist, und aus welchem für besondere Lagen des angenommenen Punktes weitere specielle Gewebe und Polytope resultieren.¹⁾

In der stereographischen Projection des sphärischen Gewebes (I) für einen Punkt \mathfrak{Z}' (oder \mathfrak{Z}) als Projectionspunkt stellen sich die 6 durch diesen Punkt gehenden Hauptkugeln als die 6 durch den Punkt t (die Projection von \mathfrak{Z}') hindurchgehenden Symmetrie-Ebenen eines regulären Tetraeders dar, während die 4 übrigen Hauptkugeln ϱ als Kugeln projiciert werden, deren Mittelpunkte auf den vier von dem Mittelpunkte t ausgehenden Graden K (den Projectionen von 4 Hauptkreisen K) in gleichen Abständen von demselben liegen.

¹⁾ Vgl. die citierten Abhandlungen des Verf. Diese Sitzungsab. 1885 und 1894.

In jeder der 24 dreiflächigen Ecken mit dem gemeinsamen Scheitel t (einer Polyeder-Kaleidoskop-Ecke mit den Neigungswinkeln 90° , 60° , 60° der spiegelnden Innenflächen) liegen fünf projizierte Elementartetraeder von leicht erkennbarer Beschaffenheit und Gruppierung. Das innerste und das äusserste (dessen Eckpunkt t' im Unendlichen liegt) dieser Tetraeder hat drei ebene und eine kugelförmige, die übrigen drei Tetraeder haben je zwei ebene und zwei kugelförmige Seitenflächen. Auf den Innenseiten der drei Ebenen der dreiflächigen Ecke, welche als Einlage in das Polyeder-Kaleidoskop dient, sind daher nur je vier dreieckige Grenzflächen anzugeben: von den Seiten des innersten Dreiecks sind zwei geradlinig, eine kreisförmig, von denjenigen der beiden dazwischen liegenden Dreiecke eine geradlinig und zwei kreisförmig. Diese Seiten sind nach dem Verfahren der stereographischen Projection unter Benutzung der in Formel (1) angegebenen Werte für die Seiten und Winkel mit Leichtigkeit zu construieren.

Die auf diese Weise hergestellte Einlage giebt in dem Polyeder-Kaleidoskop ein anschauliches Bild der sämtlichen 120 Elementartetraeder; insbesondere liefert das innerste Tetraeder allein das Bild des regulären in 24 Tetraeder zerlegten Grenzpolyeders des regulären sphärischen Fünfecks.

II. Gruppe des regulären 16- und 8-Zells.

Die Symmetrie-Hauptkugeln des hierhergehörigen sphärischen Zellgewebes (II) sind einmal vier Hauptkugeln α_{1-4} , welche zu einander orthogonal sind und die Hypersphäre in 16 reguläre sphärische Tetraeder zerteilen (die diesem Gewebe ein- und umgeschriebenen Polytope sind bez. das reguläre 16- und 8-Zell), ferner die 12 Hauptkugeln β_{1-12} , welche die Winkel und Nebwinkel je zweier Hauptkugeln α halbieren. Diese 4 + 12 Hauptkugeln α und β schneiden sich

zu je vieren ($\alpha\alpha\beta\beta$)	in 6 Hauptkreisen	E, E' ,
„ „ dreien ($\beta\beta\beta$)	„ 16	„ K' ,
„ „ zweien ($\beta\beta$)	„ 12	„ $E^{(1)}, E^{(1)'}$,
„ „ „ ($\alpha\beta$)	„ 24	„ D ;

die Schnittpunkte derselben sind:

4 Punkte \mathfrak{A} und deren Gegenpunkte \mathfrak{A}' , in denen sich $\left\{ \begin{array}{l} 3 \text{ Hauptkugeln } \alpha \\ 6 \text{ " } \beta \end{array} \right.$
 12 " \mathfrak{B} " " " \mathfrak{B}' , " " " $\left\{ \begin{array}{l} 2 \text{ " } \alpha \\ 3 \text{ " } \beta \end{array} \right.$
 16 " \mathfrak{D} " " " \mathfrak{D}' , " " " $\left\{ \begin{array}{l} 1 \text{ " } \alpha \\ 3 \text{ " } \beta \end{array} \right.$
 8 " \mathfrak{E} " " " \mathfrak{E}' , " " " 6 " β
 vereinigen.

Jede der Hauptkugeln α und β wird durch die Hauptkreise in bestimmter Weise regelmässig eingeteilt; insbesondere ist die auf einer Hauptkugel α entstehende Figur genau das durch die $(3 + 6)$ Symmetrie-Ebenen eines regulären Oktaeders oder Hexaeders auf einer concentrischen Kugelfläche erzeugte sphärische Netz.

Durch die vier Hauptkugeln α und die 12 Hauptkugeln β , welche bez. die Polarhauptkugeln zu den Punkten \mathfrak{A} und \mathfrak{B} sind, wird die Hypersphäre in 384 Elementartetraeder mit je einem Eckpunkt \mathfrak{A} , \mathfrak{B} , \mathfrak{D} , \mathfrak{E} und den Seitenflächen β_i , β_k , β_l , α_m geteilt. Die Elemente eines solchen sphärischen Tetraeders $\mathfrak{T}^{(3)}$ sind in der nachfolgenden Zusammenstellung (3) angegeben:

Centriwinkel einer sphärischen Kante:	Haupt- kreis:	Neigungswinkel der Hauptkugeln in dieser Kante:	}	(3)
$\left\{ \begin{array}{l} \mathfrak{A} \mathfrak{B} = 45^\circ \\ \mathfrak{E} \mathfrak{D} = 30^\circ \end{array} \right.$	$\left\{ \begin{array}{l} E \\ K' \end{array} \right.$	$\left\{ \begin{array}{l} \alpha_m \hat{\beta}_l = 45^\circ \\ \beta_i \hat{\beta}_k = 60^\circ \end{array} \right.$		
$\left\{ \begin{array}{l} \mathfrak{A} \mathfrak{E} = 60^\circ \\ \mathfrak{D} \mathfrak{B} = 90^\circ - \eta \end{array} \right.$	$\left\{ \begin{array}{l} K' \\ D \end{array} \right.$	$\left\{ \begin{array}{l} \beta_l \hat{\beta}_k = 60^\circ \\ \beta_i \hat{\alpha}_m = 90^\circ \end{array} \right.$	}	
$\left\{ \begin{array}{l} \mathfrak{A} \mathfrak{D} = \eta \\ \mathfrak{B} \mathfrak{E} = 45^\circ \end{array} \right.$	$\left\{ \begin{array}{l} D \\ E^{(1)} \end{array} \right.$	$\left\{ \begin{array}{l} \beta_k \hat{\alpha}_m = 90^\circ \\ \beta_i \hat{\beta}_l = 90^\circ \end{array} \right.$		
Neigungswinkel der Hauptkreise:				
$\left\{ \begin{array}{l} \mathfrak{D} \mathfrak{A} \mathfrak{E} = 90^\circ - \eta \\ \mathfrak{E} \mathfrak{A} \mathfrak{B} = \eta \\ \mathfrak{B} \mathfrak{A} \mathfrak{D} = 45^\circ \\ \mathfrak{D} \mathfrak{E} \mathfrak{B} = \eta \\ \mathfrak{B} \mathfrak{E} \mathfrak{A} = \eta \\ \mathfrak{A} \mathfrak{E} \mathfrak{D} = 180^\circ - 2\eta \end{array} \right.$	$\left\{ \begin{array}{l} \mathfrak{D} \mathfrak{B} \mathfrak{E} = 45^\circ \\ \mathfrak{E} \mathfrak{B} \mathfrak{A} = 90^\circ \\ \mathfrak{A} \mathfrak{B} \mathfrak{D} = 90^\circ \\ \mathfrak{B} \mathfrak{D} \mathfrak{E} = 90^\circ \\ \mathfrak{E} \mathfrak{D} \mathfrak{A} = 90^\circ \\ \mathfrak{A} \mathfrak{D} \mathfrak{B} = 60^\circ \end{array} \right.$			

Hierbei hat γ den in Formel (2) angegebenen Wert.

Um jeden der	8 Punkte	$\mathfrak{A}, \mathfrak{A}'$	liegen	48 Elementartetraeder,
" "	24	" $\mathfrak{B}, \mathfrak{B}'$	"	16
" "	32	" $\mathfrak{D}, \mathfrak{D}'$	"	12
" "	16	" $\mathfrak{E}, \mathfrak{E}'$	"	24

Das Zusammenfassen von je 24 um einen Punkt \mathfrak{E} herumliegenden Elementartetraedern ergibt das reguläre Gewebe, dessen Eckpunkte, Kanten-, Flächen- und Polyeder-Mittelpunkte bez. die Punkte $\mathfrak{A}, \mathfrak{B}, \mathfrak{D}, \mathfrak{E}$ sind und welchem das reguläre 16-Zell ein-, das reguläre 8-Zell umgeschrieben ist.

Durch Zusammenfassen von je 48 um einen Punkt \mathfrak{A} herumliegenden Elementartetraedern resultiert das dem vorigen conjugierte reguläre Gewebe, dessen Eckpunkte, Kanten-, Flächen- und Polyeder-Mittelpunkte bez. die Punkte $\mathfrak{E}, \mathfrak{D}, \mathfrak{B}, \mathfrak{A}$ sind und welchem das reguläre 8-Zell ein-, das reguläre 16-Zell umgeschrieben ist.

Das durch Zusammenfassen von je 16 in einem Punkte \mathfrak{B} zusammenstossenden Elementartetraedern entstehende reguläre Gewebe mit den Eckpunkten \mathfrak{A} und \mathfrak{E} und den Polyedermittelpunkten \mathfrak{B} , welchem ein reguläres 24-Zell ein- und umgeschrieben werden kann, wird genauer unter III betrachtet werden.

Endlich resultiert durch Vereinigung von je 12 in einem Punkte \mathfrak{D} zusammenstossenden Elementartetraedern das feste gleichzeitige Gewebe dieser Gruppe, welches von 32 congruenten dreiseitigen sphärischen Doppelpyramiden begrenzt ist und dessen Eckpunkte die Punkte \mathfrak{A} und \mathfrak{E} sind. Das diesem gleichzeitigen Gewebe zugeordnete feste gleichzeitige Gewebe, dessen Eckpunkte die 32 Punkte $\mathfrak{D}, \mathfrak{D}'$ sind, wird von 16 regulären Tetraedern und acht sphärischen Kubooktaedern begrenzt, von welchen sich je zwei Tetraeder und drei Kubooktaeder in einer Ecke vereinigen.

Wenn im Innern eines der 384 Elementartetraeder ein beliebiger Punkt angenommen wird und die übrigen 383 homologen Punkte construiert werden, so wird das allgemeinste gleichzeitige Gewebe dieser Gruppe erhalten, welchem das ent-

sprechende gleicheckige und gleichzellige Polytop bez. ein- und umgeschrieben ist und aus welchem für specielle Lagen des angenommenen Punktes weitere specielle Gewebe und Polytope resultieren.

In der stereographischen Projection des sphärischen Gewebes (II) für einen Punkt \mathfrak{A}' (oder \mathfrak{A}) als Projectionspunkt stellen sich die $3 + 6$ durch diesen Punkt gehenden Hauptkugeln α und β als die $3 + 6$ durch den Punkt a (die Projection von \mathfrak{A}') hindurchgehenden Symmetrie-Ebenen eines regulären Oktaeders (oder Hexaeders) dar. Die vierte Hauptkugel α projiciert sich als die um den Mittelpunkt a mit dem Radius 1 beschriebene Kugel \mathfrak{A} , während die sechs übrigen Hauptkugeln β als Kugeln sich darstellen, welche mit dem Radius $= \sqrt{2}$ von den sechs Oktaederpunkten der ersten Kugel aus als Mittelpunkten beschrieben sind.

Jede der 48 dreiflächigen Ecken mit dem gemeinsamen Scheitel a (eine Polyeder-Kaleidoskop-Ecke mit den Neigungswinkeln 90° , 60° , 45° der spiegelnden Innenflächen) enthält acht projicierte Elementartetraeder, von denen die vier im Innern der Kugel \mathfrak{A} vom Radius 1 liegenden sich symmetrisch in Beziehung auf diese Kugel zu den vier anderen ausserhalb derselben liegenden Tetraedern verhalten. Das innerste und das äusserste (dessen Eckpunkt a' im Unendlichen liegt) dieser acht Tetraeder hat drei ebene und eine kugelförmige, die übrigen 2.3 Tetraeder haben je zwei ebene und zwei kugelförmige Seitenflächen. Auf den Innenseiten der drei Ebenen der dreiflächigen Ecke, welche als Einlage in das Polyeder-Kaleidoskop dient, sind hiernach nur 2×3 dreieckige Grenzflächen anzugeben; von den Seiten des innersten und äussersten Dreiecks sind zwei geradlinig, eine kreisförmig, von denjenigen der 2.2 dazwischenliegenden Dreiecke eine geradlinig und zwei kreisförmig. Auch hier sind diese Seiten nach dem Verfahren der stereographischen Projection unter Benutzung der in Formel (3) angegebenen Werte für die Seiten und Winkel leicht zu construieren.

Man erhält auf diese Weise in dem Polyeder-Kaleidoskop ein anschauliches Bild der sämtlichen 384 Elementartetraeder; das innere Tetraeder allein ergibt das Bild des regulären in 48 Tetraeder zerlegten sphärischen Hexaeders, welches das Grenzpolyeder des regulären sphärischen 8-Zells ist; die vier inneren Tetraeder vereinigt geben das Bild des regulären sphärischen Oktaeders, welches sich aus 8 Grenzpolyedern des regulären sphärischen 16-Zells zusammensetzt.

III. Gruppe des regulären 24-Zells.

Die Symmetriehauptkugeln des hierhergehörigen sphärischen Zellgewebes sind die vier Hauptkugeln α_{1-4} , die zwölf Hauptkugeln β_{1-12} des Gewebes (II), ausserdem aber noch acht Hauptkugeln γ_{1-8} , die Polarhauptkugeln der Punkte \mathfrak{C} , welche durch je sechs Punkte \mathfrak{B} und deren Gegenpunkte und durch je drei Punkte \mathfrak{C} und deren Gegenpunkte hindurchgehen. Diese $4 + 12 + 8$ Hauptkugeln schneiden sich (vgl. unter II)

zu je vieren	$(\alpha\alpha\beta\beta)$	in den 6 Hauptkreisen	$E, E',$
" "	$(\beta\beta\gamma\gamma)$	" " 12	" $E^{(1)}, E^{(1)},$
" " dreien	$(\beta\beta\beta)$	" " 16	" $K,$
" " "	$(\alpha\gamma\gamma)$	" " 16	" $K,$
" " zweien	$(\alpha\beta)$	" " 24	" $D, D',$
" " "	$(\beta\gamma)$	" " 48	" $D^{(1)}, D^{(1)},$

während die Schnittpunkte derselben sind:

4 Punkte \mathfrak{A} und deren Gegenpunkte \mathfrak{A}' , in denen sich	$\left\{ \begin{array}{l} 3 \\ 6 \end{array} \right.$	Hauptkugeln α	β
12 " \mathfrak{B} " " " " \mathfrak{B}' , " " " "	$\left\{ \begin{array}{l} 2 \\ 3 \\ 4 \end{array} \right.$	"	α
8 " \mathfrak{C} " " " " \mathfrak{C}' , " " " "	$\left\{ \begin{array}{l} 6 \\ 3 \end{array} \right.$	"	β
16 " \mathfrak{D} " " " " \mathfrak{D}' , " " " "	$\left\{ \begin{array}{l} 1 \\ 3 \end{array} \right.$	"	γ
32 " $\mathfrak{D}^{(1)}$ " " " " $\mathfrak{D}^{(1)'}$, " " " "	$\left\{ \begin{array}{l} 1 \\ 3 \end{array} \right.$	"	α
48 " $\mathfrak{D}^{(2)}$ " " " " $\mathfrak{D}^{(2)'}$, " " " "	$\left\{ \begin{array}{l} 1 \\ 1 \\ 2 \end{array} \right.$	"	β
		"	γ

vereinigen.

Auf jeder der vier Hauptkugeln α , der acht Hauptkugeln γ und der zwölf Hauptkugeln β entsteht durch $3 + 6 + 4 = 13$ der Hauptkreise dieselbe Einteilung, nämlich:

auf α und γ bezw.

$$\left. \begin{array}{l} \text{durch 3 Hauptkreise } E, E^{(1)} \\ \text{„ 6 „ } D, D^{(1)} \\ \text{„ 4 „ } K \end{array} \right\} \begin{array}{l} \text{mit 3 Schnittpkt. } \mathfrak{A}, \mathfrak{C} \text{ und deren Gegenpkt.,} \\ \text{„ 4 „ } \mathfrak{D}, \mathfrak{D}^{(1)} \text{ „ „ „ „} \\ \text{„ 6 „ } \mathfrak{B} \text{ „ „ „ „} \\ \text{„ 12 „ } \mathfrak{D}^{(2)} \text{ „ „ „ „} \end{array}$$

auf β durch

$$\left. \begin{array}{l} 1 \text{ Hauptkr. } E, 2 \text{ Hauptkr. } E^{(1)} \\ 2 \text{ „ } D, 4 \text{ „ } D^{(1)} \\ 4 \text{ „ } K \end{array} \right\} \begin{array}{l} \text{mit 3 Schnittpunkten } \mathfrak{B} \text{ und deren Gegenpkt.,} \\ \text{„ 4 „ } \mathfrak{D}^{(2)} \text{ „ „ „ „} \\ \text{„ 2 Schnpkt. } \mathfrak{A}, 4 \text{ Schnpkt. } \mathfrak{C} \text{ u. d. Ggp.,} \\ \text{„ 12 Schnittpkt. } \mathfrak{D}^{(1)} \text{ und deren Gegenpkt.} \end{array}$$

Durch die $4 + 8 + 12$ Hauptkugeln α , γ , β wird die Hypersphäre in 1152 Elementar-Tetraeder geteilt, indem jedes der 384 Tetraeder des Gewebes II in drei congruente Tetraeder durch je zwei Hauptkugeln γ zerlegt wird. Die Art der Zerlegung eines Tetraeders $\mathfrak{T}^{(2)}$ in drei Teiltetraeder $\mathfrak{T}_1^{(2)}$, $\mathfrak{T}_2^{(2)}$, $\mathfrak{T}_3^{(2)}$, sowie deren Beschaffenheit ist aus der nachfolgenden Zusammenstellung und der Angabe ihrer Elemente ersichtlich (vgl. Formel (3)):

$$\left. \begin{array}{l} \mathfrak{T}_1^{(2)} \dots \mathfrak{A} \mathfrak{B} \mathfrak{D}^{(1)} \mathfrak{D}^{(2)} \dots \gamma_r \beta_k \alpha_m \beta_i \\ \mathfrak{T}_2^{(2)} \dots \mathfrak{C} \mathfrak{B} \mathfrak{D}^{(1)} \mathfrak{D}^{(2)} \dots \gamma_r \beta_k \gamma_s \beta_i \\ \mathfrak{T}_3^{(2)} \dots \mathfrak{C} \mathfrak{B} \mathfrak{D} \mathfrak{D}^{(2)} \dots \alpha_m \beta_k \gamma_s \beta_i \end{array} \right\} (4\alpha)$$

Centriwinkel einer sphärischen Kante: Hauptkreis:

$$\left. \begin{array}{l} \mathfrak{A} \mathfrak{B} = \mathfrak{C} \mathfrak{B} = \mathfrak{C} \mathfrak{D} = 45^\circ \dots \dots \dots E \text{ oder } E^{(1)} \dots \dots \\ \mathfrak{D}^{(1)} \mathfrak{D}^{(2)} = \mathfrak{D}^{(1)} \mathfrak{D}^{(3)} = \mathfrak{D} \mathfrak{D}^{(3)} = 2\eta - 90^\circ \dots \dots D^{(1)} \text{ oder } D \dots \dots \\ \mathfrak{A} \mathfrak{D}^{(1)} = \mathfrak{C} \mathfrak{D}^{(1)} = \mathfrak{C} \mathfrak{D} = 30^\circ \dots \dots \dots K' \dots \dots \\ \mathfrak{B} \mathfrak{D}^{(2)} = \mathfrak{B} \mathfrak{D}^{(3)} = \mathfrak{B} \mathfrak{D}^{(3)} = 30^\circ \dots \dots \dots K \dots \dots \\ \mathfrak{A} \mathfrak{D}^{(2)} = \mathfrak{C} \mathfrak{D}^{(2)} = \mathfrak{C} \mathfrak{D}^{(3)} = 90^\circ - \eta \dots \dots \dots D \text{ oder } D^{(1)} \dots \dots \\ \mathfrak{B} \mathfrak{D}^{(1)} = \mathfrak{B} \mathfrak{D}^{(1)} = \mathfrak{B} \mathfrak{D} = 90^\circ - \eta \dots \dots \dots D \dots \dots \end{array} \right\} (4\beta)$$

Neigungswinkel der Hauptkugeln in dieser Kante:

$$\left. \begin{array}{l} \dots \alpha_m \hat{\beta}_i = \gamma_s \hat{\beta}_i = \gamma_s \hat{\beta}_i = 45^\circ \\ \dots \gamma_r \hat{\beta}_k = \gamma_r \hat{\beta}_k = \alpha_m \hat{\beta}_k = 90^\circ \\ \dots \beta_k \hat{\beta}_i = \beta_k \hat{\beta}_i = \beta_k \hat{\beta}_i = 60^\circ \\ \dots \gamma_r \hat{\alpha}_m = \gamma_r \hat{\gamma}_s = \alpha_m \hat{\gamma}_s = 60^\circ \\ \dots \beta_k \hat{\alpha}_m = \beta_k \hat{\gamma}_s = \beta_k \hat{\gamma}_s = 90^\circ \\ \dots \gamma_r \hat{\beta}_i = \gamma_r \hat{\beta}_i = \alpha_m \hat{\beta}_i = 90^\circ \end{array} \right\}$$

Neigungswinkel an den Ecken von $\mathfrak{T}_1^{(8)}$ (für $\mathfrak{T}_2^{(3)}$, $\mathfrak{T}_3^{(3)}$)
(durch Vertauschung aus (4 α) entsprechend zu erhalten):

$$\left. \begin{array}{l} \mathfrak{D}^{(2)} \widehat{\mathfrak{A}} \mathfrak{D}^{(1)} = 90^\circ - \eta \quad \mathfrak{D}^{(2)} \widehat{\mathfrak{B}} \mathfrak{D}^{(1)} = 90^\circ - \eta \quad \mathfrak{D}^{(2)} \widehat{\mathfrak{D}^{(1)}} \mathfrak{B} = 60^\circ \\ \mathfrak{D}^{(1)} \widehat{\mathfrak{A}} \mathfrak{B} = \eta \quad \mathfrak{D}^{(1)} \widehat{\mathfrak{B}} \mathfrak{A} = 45^\circ \quad \mathfrak{B} \widehat{\mathfrak{D}^{(1)}} \mathfrak{A} = 90^\circ \\ \mathfrak{B} \widehat{\mathfrak{A}} \mathfrak{D}^{(2)} = 45^\circ \quad \mathfrak{A} \widehat{\mathfrak{B}} \mathfrak{D}^{(2)} = \eta \quad \mathfrak{A} \widehat{\mathfrak{D}^{(1)}} \mathfrak{D}^{(2)} = 90^\circ \\ \mathfrak{B} \widehat{\mathfrak{D}^{(2)}} \mathfrak{D}^{(1)} = 90^\circ \\ \mathfrak{D}^{(1)} \widehat{\mathfrak{D}^{(2)}} \mathfrak{A} = 60^\circ \\ \mathfrak{A} \widehat{\mathfrak{D}^{(2)}} \mathfrak{B} = 90^\circ \end{array} \right\} (4\gamma)$$

Wenn je 48 um jeden der 24 Punkte \mathfrak{B} (\mathfrak{B}') herumliegende Tetraeder $\mathfrak{T}^{(3)}$ zusammengefasst werden, so resultiert ein reguläres Gewebe, dessen Eckpunkte, Kanten-, Flächen- und Polyeder-Mittelpunkte bez. die Punkte $\mathfrak{A} + \mathfrak{C}$, $\mathfrak{D} + \mathfrak{D}^{(1)}$, $\mathfrak{D}^{(2)}$ und \mathfrak{B} sind (vgl. unter II) und welchem ein reguläres 24-Zell sowohl ein- wie umgeschrieben werden kann. Durch das Zusammenfassen von je 48 um jeden der acht Punkte \mathfrak{A} (\mathfrak{A}') und der 16 Punkte \mathfrak{C} (\mathfrak{C}') herumliegenden Elementartetraedern $\mathfrak{T}^{(3)}$ wird ein dem ersten conjugiertes und congruentes reguläres Gewebe erhalten, dessen Eckpunkte, Kanten-, Flächen- und Polyeder-Mittelpunkte bez. die Punkte \mathfrak{B} , $\mathfrak{D}^{(2)}$, $\mathfrak{D} + \mathfrak{D}^{(1)}$ und $\mathfrak{A} + \mathfrak{C}$ sind.

Wenn je zwölf in jedem der 96 Punkte $\mathfrak{D}^{(2)}$ ($\mathfrak{D}^{(2)'}$) oder in jedem der 32 Punkte \mathfrak{D} (\mathfrak{D}') und der 64 Punkte $\mathfrak{D}^{(1)}$ ($\mathfrak{D}^{(1)'}$) zusammenstossende Elementartetraeder vereinigt werden, so entsteht in beiden Fällen das feste gleichzellige Gewebe dieser Gruppe, welches von 96 congruenten, dreiseitigen sphärischen Doppelpyramiden begrenzt wird und deren jedem ein festes gleicheckiges Gewebe zugeordnet ist, bei welchem in jedem Eckpunkte drei sphärische Kubooktaeder (deren es $(8 + 16)$, bez. 24 giebt) und zwei reguläre sphärische Hexaeder (deren es 24, bez. $(8 + 16)$ giebt), zusammenstossen.

Wird im Innern eines der 1152 Elementartetraeder ein beliebiger Punkt angenommen, so bildet dieser mit den 1151 übrigen homologen Punkten die Eckpunkte des allgemeinsten gleicheckigen Gewebes dieser Gruppe.

Die stereographische Projection des sphärischen Gewebes (III) wird aus derjenigen des Gewebes (II) erhalten,

wenn noch die Projectionen der acht Hauptkugeln γ ausser den Projectionen der vier Hauptkugeln α und der zwölf Hauptkugeln β (vgl. unter II) construirt werden. Die Projectionen dieser acht Hauptkugeln γ für einen Punkt \mathfrak{A}' als Projectionspunkt sind acht Kugeln, welche mit dem Radius $= \sqrt{2}$ von den acht Hexaeder-Eckpunkten der Kugel \mathfrak{K} aus beschrieben sind. Jedes der 384 projicierten Elementartetraeder des Gewebes (II) wird durch je zwei dieser Kugeln in drei Teiltetraeder, die Projectionen von $\mathfrak{T}_1^{(3)}$, $\mathfrak{T}_2^{(3)}$, $\mathfrak{T}_3^{(3)}$ zerlegt. Die Seitenfläche $\mathfrak{B D E}$ (vgl. 4a) bleibt hierbei ungeändert, während die beiden Seitenflächen $\mathfrak{A B E}$, $\mathfrak{A B D}$ in je zwei, die Seitenfläche $\mathfrak{A D E}$ in drei Teildreiecke zerlegt wird, deren Seiten in der stereographischen Projection sich theils geradlinig, theils kreisförmig darstellen.

Jede der 48 dreiflächigen Ecken mit dem gemeinsamen Scheitel \mathfrak{b} , derselben Polyeder-Kaleidoskop-Ecke, wie die bei II benutzte, enthält alsdann $3 \cdot 8 = 24$ projicierte Elementartetraeder, von denen die zwölf im Inneren der Kugel \mathfrak{K} liegenden sich wiederum symmetrisch in Beziehung auf diese Kugel zu den zwölf anderen, ausserhalb derselben liegenden, verhalten.

Die Einteilungen der drei Ebenen der dreiflächigen Ecke, welche als Einlage in das Polyeder-Kaleidoskop dient, in die Teildreiecke, deren Seiten theils geradlinig, theils kreisförmig sind, ist leicht auszuführen. Um mit Hülfe des Polyeder-Kaleidoskopes ein vollständig anschauliches Bild des sphärischen Gewebes (III) zu erhalten, empfiehlt es sich, bei der Einlage auch die Theilungen der kugelförmigen Grenzflächen, welche in das Innere der dreiflächigen Ecke fallen, durch Einfügen der theilenden Kreisbogen sichtbar zu machen. Das reguläre sphärische Oktaeder, welche das Grenzpolyeder des sphärischen regulären 24-Zells bildet, lässt sich zufolge der obigen Betrachtungen auf zwei verschiedene Arten hierbei zur Anschauung bringen.

IV. Gruppe des regulären 600- und 120-Zells.

Das hierhergehörige sphärische Zellgewebe (IV) wird durch 60 Hauptkugeln β_1 – β_{60} gebildet¹⁾, welche sich

zu je	fünfen	in	72	Hauptkreisen	G ,
"	"	"	200	"	C ,
"	"	"	450	"	B

schneiden, während durch die Schnittpunkte, nämlich

die	60	Punkte	\mathfrak{B}	und	deren	Gegenpunkte	\mathfrak{B}'	je	15	Hauptkugeln	β ,
"	360	"	\mathfrak{Z}	"	"	"	\mathfrak{Z}'	"	6	"	"
"	600	"	\mathfrak{A}	"	"	"	\mathfrak{A}'	"	4	"	"
"	300	"	\mathfrak{D}	"	"	"	\mathfrak{D}'	"	6	"	"

hindurchgehen.

Auf jeder Hauptkugel β liegen sechs Hauptkreise G , zehn Hauptkreise C und 15 Hauptkreise B , welche sich

zu je	sechsen	$\left\{ \begin{array}{l} 2 \text{ Hauptkr. } B \\ 2 \text{ " } C \\ 2 \text{ " } G \end{array} \right\}$	in 15 Punkten \mathfrak{B} u. der. Gegenpunkten \mathfrak{B}' ,
"	fünfen	$\left\{ \begin{array}{l} 5 \text{ " } G \end{array} \right\}$	" 6 " $\mathfrak{Z}^{(1)}$ " " " $\mathfrak{Z}^{(1)'}$,
"	dreien	$\left\{ \begin{array}{l} 3 \text{ " } B \end{array} \right\}$	" 10 " $\mathfrak{A}^{(1)}$ " " " $\mathfrak{A}^{(1)'}$,
"	dreien	$\left\{ \begin{array}{l} 1 \text{ " } B \\ 2 \text{ " } C \end{array} \right\}$	" 30 " \mathfrak{D} " " " \mathfrak{D}' ,
"	zweien	$\left\{ \begin{array}{l} 1 \text{ " } B \\ 1 \text{ " } G \end{array} \right\}$	" 30 " $\mathfrak{A}^{(2)}$ " " " $\mathfrak{A}^{(2)'}$,
"	zweien	$\left\{ \begin{array}{l} 1 \text{ " } B \\ 1 \text{ " } G \end{array} \right\}$	" 30 " $\mathfrak{Z}^{(2)}$ " " " $\mathfrak{Z}^{(2)'}$

schneiden. (Man vgl. die Fig. 29 in des Verf. „Einleitung in die Lehre von der Kugelteilung“, in welcher die stereographische Projection dieser sphärischen Figur für einen Projectionspunkt \mathfrak{B}' dargestellt ist).

Durch die 60 Hauptkugeln β , welche die Polarhauptkugeln zu den Punkten \mathfrak{B} sind, wird die Hypersphäre in 14 400 sphärische Elementartetraeder mit je einem Eckpunkte \mathfrak{B} , \mathfrak{Z} , \mathfrak{A} , \mathfrak{D} geteilt, so dass

1) Vergl. E. Hess: Beiträge zur Theorie der mehrfach perspectiven Dreiecke und Tetraeder. Math. Ann. Bd. 28, S. 167, § 11.

um jeden der	120 Punkte	$\mathfrak{B}(\mathfrak{B}')$	je 120 dieser	Elementartetraeder,
" "	720	"	$\mathfrak{Z}(\mathfrak{Z}')$	" 20 " "
" "	1200	"	$\mathfrak{R}(\mathfrak{R}')$	" 12 " "
" "	600	"	$\mathfrak{D}(\mathfrak{D}')$	" 24 " "

herumliegen.

Die Elemente eines solchen sphärischen Elementartetraeders $\mathfrak{Z}^{(1)} \dots \mathfrak{B} \mathfrak{Z} \mathfrak{R} \mathfrak{D} = \beta_a \beta_b \beta_c \beta_d$ sind in übersichtlicher Zusammenstellung die folgenden:

Centriwinkel des sphärischen Kante:	Haupt- kreis:	Neigungswinkel der Hauptkugeln in dieser Kante:	Neigungswinkel der Hauptkreise:	} (5)
$\widehat{\mathfrak{B}\mathfrak{Z}} = 18^\circ \dots\dots G \dots\dots \widehat{\beta_c \beta_d} = 36^\circ$	$\left\{ \begin{array}{l} \mathfrak{R} \mathfrak{B} \mathfrak{Z} = \varphi \\ \mathfrak{Z} \mathfrak{B} \mathfrak{D} = \chi \\ \mathfrak{D} \mathfrak{B} \mathfrak{R} = \psi \\ \mathfrak{Z} \mathfrak{R} \mathfrak{D} = 90^\circ \\ \mathfrak{D} \mathfrak{R} \mathfrak{B} = 90^\circ \\ \mathfrak{B} \mathfrak{R} \mathfrak{Z} = 60^\circ \end{array} \right.$	$\left\{ \begin{array}{l} \mathfrak{B} \mathfrak{Z} \mathfrak{R} = 90^\circ \\ \mathfrak{R} \mathfrak{Z} \mathfrak{D} = 36^\circ \\ \mathfrak{D} \mathfrak{Z} \mathfrak{B} = 90^\circ \\ \mathfrak{R} \mathfrak{D} \mathfrak{B} = 180^\circ - 2\eta \\ \mathfrak{B} \mathfrak{D} \mathfrak{Z} = \eta \\ \mathfrak{Z} \mathfrak{D} \mathfrak{R} = \eta \end{array} \right.$		
$\widehat{\mathfrak{R}\mathfrak{D}} = 60^\circ - \zeta \dots\dots C \dots\dots \widehat{\beta_a \beta_b} = 60^\circ$				
$\widehat{\mathfrak{B}\mathfrak{R}} = \psi \dots\dots B \dots\dots \widehat{\beta_b \beta_d} = 90^\circ$				
$\widehat{\mathfrak{Z}\mathfrak{D}} = 45^\circ - \varphi \dots\dots B \dots\dots \widehat{\beta_a \beta_c} = 90^\circ$				
$\widehat{\mathfrak{B}\mathfrak{D}} = \zeta - 30^\circ \dots\dots C \dots\dots \widehat{\beta_b \beta_c} = 60^\circ$				
$\widehat{\mathfrak{Z}\mathfrak{R}} = \varphi - \psi \dots\dots B \dots\dots \widehat{\beta_a \beta_d} = 90^\circ$				

Hierbei haben ζ, η, φ die in Formel (2) angegebenen Werte; ausserdem ist

$$\left. \begin{array}{l} \operatorname{tg} 2\varphi = 2, \operatorname{tg} \psi = \operatorname{tg}^* \varphi = \frac{3-\sqrt{5}}{2}, \operatorname{tg} \chi = 2 \operatorname{tg} \psi; \varphi + \chi + \psi = 90^\circ \\ \sin 2\psi = \cos \varphi = \frac{2}{3} \end{array} \right\} (6)$$

Werden die 24 um jeden der 600 Punkte $\mathfrak{D}, \mathfrak{D}'$ herumliegenden Elementartetraeder vereinigt, so resultiert ein reguläres, von 600 Tetraedern begrenztes Zellgewebe; dessen Eckpunkte, Kanten-, Flächen- und Polyeder-Mittelpunkte bez. die Punkte $\mathfrak{B}, \mathfrak{Z}, \mathfrak{R}, \mathfrak{D}$ sind und welchem ein reguläres 600-Zell ein-, ein reguläres 120-Zell umgeschrieben ist.

Durch Zusammenfassen von je 120 um einen Punkt $\mathfrak{B}(\mathfrak{B}')$ herumliegenden Elementartetraedern entsteht ein reguläres, von 120 Pentagondodekaedern begrenztes Zellgewebe, dessen Eckpunkte, Kanten-, Flächen- und Polyeder-Mittelpunkte bez. die Punkte $\mathfrak{D}, \mathfrak{R}, \mathfrak{Z}, \mathfrak{B}$ sind und welchem ein reguläres 120-Zell ein-, ein reguläres 600-Zell umgeschrieben ist.

Werden je 20 um einen der 720 Punkte \mathfrak{J} (\mathfrak{J}') oder je 12 um einen der 1200 Punkte \mathfrak{R} (\mathfrak{R}') herumliegende Elementartetraeder vereinigt, so entstehen zwei feste gleichzellige Gewebe: das erstere ist von 720 congruenten fünfseitigen sphärischen Doppelpyramiden begrenzt und hat die 120 Punkte \mathfrak{B} (\mathfrak{B}') und die 600 Punkte \mathfrak{D} (\mathfrak{D}') zu Eckpunkten, das zweite setzt sich aus 1200 congruenten dreiseitigen sphärischen Doppelpyramiden zusammen und hat ebenfalls die Punkte \mathfrak{D} (\mathfrak{D}') und \mathfrak{B} (\mathfrak{B}') zu Eckpunkten. Jedem dieser beiden gleichzelligen Gewebe ist ein festes gleicheckiges Gewebe zugeordnet: das erstere hat die 720 Punkte \mathfrak{J} (\mathfrak{J}') zu Eckpunkten und ist von 120 regulären Ikosaedern (mit den Mittelpunkten \mathfrak{B} (\mathfrak{B}')) und von 600 regulären Oktaedern (mit den Mittelpunkten \mathfrak{D} (\mathfrak{D}')) begrenzt; in jeder Ecke vereinigen sich zwei Ikosaeder und fünf Oktaeder; das zweite Gewebe hat die 1200 Punkte \mathfrak{R} (\mathfrak{R}') zu Eckpunkten und ist von 120 Pentagon-Ikosaedern ((12+20)flächigen 30 Ecken mit den Mittelpunkten \mathfrak{B} (\mathfrak{B}')) und von 600 regulären Tetraedern mit den Mittelpunkten \mathfrak{D} (\mathfrak{D}') begrenzt; in jeder Ecke vereinigen sich drei Dodeka-Ikosaeder und zwei reguläre Tetraeder.

Wenn im Innern eines der 14400 Elementartetraeder ein beliebiger Punkt angenommen wird und die diesem homologen Punkte für alle Tetraeder des Gewebes construiert werden, so resultiert das allgemeinste gleicheckige Gewebe dieser Gruppe, welchem das entsprechende gleicheckige und gleichzellige Polytop bez. ein- und umgeschrieben ist und aus welchem für specielle Lagen des angenommenen Punktes weitere specielle Gewebe und Polytope — auch höherer Art — erhalten werden können.

In der stereographischen Projection des sphärischen Gewebes (IV) für einen Punkt \mathfrak{B}' (oder \mathfrak{B}) als Projectionspunkt stellen sich von den 60 Hauptkugeln β die 15 durch diesen Punkt gehenden Hauptkugeln als die 15 durch den Punkt \mathfrak{B} (die Projection von \mathfrak{B}') hindurchgehenden Symmetrie-Ebenen eines regulären Ikosaeders (oder Pentagon-

dodekaeders) dar. Eine weitere 16te Hauptkugel β projiziert sich als die um den Mittelpunkt \mathfrak{B} mit dem Radius 1 beschriebene Kugel \mathfrak{K} , von den übrigen 44 Hauptkugeln β stellen sich $2 \cdot 12 = 24$ als Kugeln dar, deren Mittelpunkte zu je vieren, symmetrisch zu dem Mittelpunkte \mathfrak{B} auf den sechs fünfzähligen Axen (Projectionen von sechs Hauptkreisen G) liegen, die anderen 20 als Kugeln, deren Mittelpunkte mit den 20 Pentagondodekaeder-Eckpunkten der Kugel \mathfrak{K} zusammenfallen. Die hierdurch erhaltenen Einteilungen der 45 Kugeln und der 15 Ebenen (auf den letzteren entsteht die stereographische Projection der ersteren) sind bereits oben besprochen worden: eine Kugel bez. Ebene enthält $4 \cdot 120 = 480$ Teildreiecke.

Jede der 120 dreiflächigen Ecken mit dem gemeinsamen Scheitel \mathfrak{B} (ein Polyeder-Kaleidoskop mit den Neigungswinkeln 90° , 60° , 36° an den Kanten B , C , G der spiegelnden Innenflächen) enthält 120 projizierte Elementartetraeder, von denen die 60 im Inneren der Kugel \mathfrak{K} liegenden sich symmetrisch in Beziehung auf diese Kugel zu den 60 übrigen ausserhalb derselben liegenden Tetraedern verhalten. Die dreiflächige Ecke, welche als Einlage in das Polyeder-Kaleidoskop dient, wird mit den Einteilungen ihrer Innenseiten in die Teildreiecke mit geradlinigen und kreisförmigen Seiten einfach erhalten, wenn man von der stereographischen Projection der Kugel \mathfrak{K} in die Ebene (vgl. die Fig. 29 in des Verf. Einleitung in die Lehre von der Kugelteilung) einen Quadranten (für den Mittelpunkt \mathfrak{B}) so als Netz benutzt, dass die den Quadranten einschliessenden Geraden B und die beiden in demselben von \mathfrak{B} ausgehenden Geraden G , C als Kanten gewählt werden. Auch hier empfiehlt es sich (wie bei III), bei der Einlage auch die Teilungen der kugelförmigen Grenzflächen, welche in das Innere der dreiflächigen Ecke fallen, durch Einfügen der teilenden Kreisbogen sichtbar zu machen. Das innerste Teiltetraeder mit drei ebenen und einer kugelförmigen Grenzfläche giebt im Polyeder-Kaleidoskop das Bild des sphärischen Pentagondodekaeders, welches die Grenzfläche des sphärischen 120-Zells darstellt.

Schliesslich sei noch darauf hingewiesen, dass das Zellgewebe (IV) die Gewebe (I), (II), (III) enthält und dass speciell die regulären sphärischen Grenzflächen der regulären Gewebe der drei ersten Gruppen aus der betrachteten Einteilung einer der 60 Hauptkugeln β durch passende Vereinigung der sphärischen Elementardreiecke resultieren.

In derselben Sitzung (15. Juni 1898) sprach Herr Enderlen über:

Schicksal der in die Bauchhöhle verpflanzten Schilddrüse.

Seit durch die Mittheilungen von Weiss, Schönborn, Kocher und anderen bekannt wurde, dass nach totaler Entfernung der Schilddrüse beim Menschen und bei Thieren tödtlich verlaufende Tetanie oder Cachexia strumipriva eintreten kann, ist man bestrebt gewesen diesem üblen Ereignis entgegenzutreten.

Bei gutartigen Strumen gelingt es leicht eine genügende Menge von Schilddrüsengewebe zurückzulassen. Anders verhält es sich, wenn wegen einer bösartigen Neubildung das ganze Organ entfernt werden muss. Von den Versuchen auch hier Abhilfe zu schaffen nenne ich aus den letzten Jahren die Darreichung von Schilddrüsensubstanz und die Anwendung der verschiedenen Schilddrüsenpraeparate.

Älteren Datums ist die Entdeckung von Schiff, dass eine beliebige Einschaltung der Schilddrüse in die Circulation eines thyreoidectomirten Thieres lebensverlängernde Eigenschaften entfaltet.

Von den verschiedenen Autoren, welche sich mit der Transplantation von Schilddrüsen beschäftigten will ich nur v. Eiselsberg, Gley und Christiani anführen. Ersterer berichtet, dass es ihm gelang Schilddrüsenhälften zwischen Fascie und Peritoneum einzuheilen und dass dann die Thiere die Entfernung der restierenden Hälften am Halse gut ertrugen. Wurde die eingeheilte Drüsenhälfte aber bei einer dritten Operation ent-

fernt, dann gingen die Thiere an acuter Tetanie zu Grunde. v. Eiselsberg kommt zu dem Schlusse, dass die transplantierte Drüse einheilen und funktionsfähig bleiben kann. v. Eiselsberg hat die transplantierten Drüsen auch histologisch untersucht und gab von dem Resultat einen kurzen Bericht.

Ausführlichere Mittheilungen über die Veränderungen welche die transplantierte Drüse erleidet liegen zur Zeit nicht vor.

Auf Veranlassung und mit reichlichster Unterstützung von Herrn Geheimrath Marchand habe ich an einer grösseren Reihe von Katzen und an einigen Hunden die Transplantation von Schilddrüsen in die Bauchhöhle vorgenommen. Ueber das Resultat erlaube ich mir kurz zu berichten (Anmerkung: Eine vorläufige Mittheilung erfolgte bereits im ärztlichen Vereine Augusstsitzung 1897).

Entweder wurden beide Hälften gleichzeitig exstirpirt, eingeschnitten und verpflanzt, oder erst die eine Hälfte in die Bauchhöhle gebracht, die am Halse aber später total entfernt (also in 2 Zeiten operirt). Das Einschnneiden wurde vorgenommen um einen möglichst grossen Theil der Drüse mit dem Bauchfell in Berührung zu bringen und so die Gefässversorgung der centralen Partien zu erleichtern.

Viele von den operirten Thieren, namentlich ganz junge und ganz alte Katzen gingen an acuter Tetanie zu Grunde. Manches mal traten einige Tage lang anhaltende Krämpfe auf, welche schwanden, um kurz vor dem Tode wieder zu kehren. Wieder andere Katzen zeigten keine Krämpfe, es stellte sich aber bei ihnen mehr oder weniger rasche Abmagerung ein, der sie nach verschieden langer Zeit erlagen. Einige endlich wiesen lange keine Veränderung auf, bis sie nach ein oder zwei Tage lang dauernden Krämpfen doch noch erlagen. Die Zeit welche zwischen der Verpflanzung (einer oder beider Hälften) und dem Tode verstrich schwankte zwischen 24 Stunden und einem halben Jahre. Es gelang nicht die Katzen am Leben zu erhalten obwohl die Drüsen, wie ich gleich hier vorwegnehmen will, einheilten und nicht resorbiert wurden. Ich stehe hier im Widerspruche

mit v. Eiselsberg. Dieser glaubte, dass er nach 3 Monaten auf Einheilung und dauernde Function der transplantierten Drüse rechnen könne und nahm nun die Exstirpation der eingeheilten Hälfte vor. Unsere Erfahrungen zeigten, dass die Katzen trotz eingeheilter Schilddrüse noch nach 3 und 6 Monaten zu Grunde gehen können. Hunde sind weniger zu Prüfung der Function der eingeheilten Drüse zu gebrauchen, da sich bei ihnen Nebenschilddrüsen in der Zungenbeingegend und am Aortenbogen befinden können, welche nach Entfernung der Hauptdrüse deren Function übernehmen. Histologisch freilich liefern sie dieselben Befunde wie die Katzen. Das Auffinden der transplantierten Stücke gelang meistens sehr leicht; vorwiegend lagen sie im Netz, dicht von demselben umhüllt; seltener gingen sie Verwachsungen mit der Bauchwandung oder den Organen der Bauchhöhle ein. In jedem Falle hatte eine mehr oder weniger starke Abnahme der Grösse stattgefunden, die entsprechend der Dauer zwischen Operation und Tod der Thiere deutlicher wurde.

Ich komme nunmehr zu den histologischen Veränderungen welche sich in der transplantierten Drüse oder Drüsenhälfte im Laufe der Zeit einstellen.

Die Schilddrüse erleidet infolge der Entnahme aus ihrem Lager eine starke Schädigung. Die letztere findet ihren Ausdruck in einer mehr oder weniger ausgedehnten Degeneration, welche schon nach 24 Stunden deutlich zu erkennen ist. Die letztere ist jedoch nicht in allen Theilen der Drüse gleichmässig ausgesprochen. Der Rand der Thyreoidea weist bei schwacher Vergrösserung wenigstens gut erhaltene Drüsensubstanz auf, während central Necrose besteht. Aber auch in den gut erhaltenen Randpartien lassen sich geschrumpfte Kerne nachweisen, die verwaschen tingirt sind und ein undeutliches Chromatingerüst besitzen. Daneben finden sich freilich auch einzelne Drüsenepithelien vor, welche karyokinetische Figuren aufweisen.

In der ersten Zeit bekämen wir demnach 2 Zonen, einen gut erhaltenen Randsaum und ein nekrotisches Centrum. Die Necrose wird im Laufe der ersten Tage immer deutlicher, mitten

in den blassgefärbten Partien kann man in einzelnen Fällen Colloidtropfen nachweisen. Es ist wohl selbstverständlich, dass ausser dem Drüsenepithel auch das Bindegewebe und die Gefässe degeneriren.

Gegen das Ende der ersten Woche tritt eine Änderung im Bilde ein (natürlich nicht plötzlich!). Die transplantierte Drüse ist mit der Nachbarschaft, Netz, Bauchwandung etc. adhaerent geworden. Von dem neuen Lager zieht Granulationsgewebe in die Drüse hinein, so dass statt der früher erwähnten zwei Zonen nunmehr 3 zu Stande kommen.

1. Aussen Drüsensubstanz, welche Follikel mit mehr oder weniger gut erhaltenem Epithel, Mitosen und Colloid aufweist.
2. Nach Innen zu Granulationsgewebe mit neuen Blutgefässen und vielen Kerntheilungsfiguren
3. central eine nekrotische Zone.

Bei der Erwähnung der Blutgefässe muss ich die Bemerkung machen, dass jedenfalls sehr viele neugebildet sind, dass aber zweifelsohne manchmal die alten Bahnen wieder in den Kreislauf einbezogen werden, indem sie mit den Gefässen der Umgebung in Verbindung treten.

Die nekrotische Zone erfährt durch das vordringende Granulationsgewebe eine zunehmende Einengung; der Saum von Drüsensubstanz, welcher am Rande der transplantierten Thyreoidea erhalten blieb, weist im Laufe der Zeit Veränderungen auf, welche auf progressive Vorgänge hindeuten. Man bemerkt Mitosen in dem Drüsenepithel (manchmal eine grosse Anzahl), dann aber auch solide Epithelzapfen, welche von den alten Follikeln ausgehen. Dieses neugebildete Epithel, welches keine bestimmte Anordnung, etwa zu Follikeln aufweist, kommt zwischen den alten Drüsensaum und das jugendliche Bindegewebe zu liegen, so dass nun 4 Zonen zu Stande kommen.

Die nekrotische Zone schwindet früher oder später, je nach der Grösse des Stückes; bei einem Hunde sah ich sie nach 23 Tagen noch von ziemlich beträchtlicher Ausdehnung.

Das jugendliche Bindegewebe nimmt ebenfalls an Menge ab infolge von Schrumpfung, während von der Randzone her Epithel neugebildet wird. Die neugebildeten Epithelmassen mit den zwischenliegenden Capillaren sind am besten mit den sogenannten Epithelkörperchen zu vergleichen. Reichlich ist das neugebildete Epithel nach 4–5 Wochen vorhanden. Im weiteren kommt es in dem gewucherten Epithel zur Follikelbildung, welche von der Peripherie nach dem Centrum hin fortschreitet. Mitosen kann man in dem Epithel noch nach zwei Monaten constataren.

Betrachtet man den Schnitt aus einer Drüse, welche längere Zeit in der Abdominalhöhle geweilt hatte, so findet man am Rande grosse colloidhaltende Follikel, (bei Hunden in Form von langen Schläuchen mit hohem Cylinderepithel); nach Innen zu nehmen sie an Grösse ab, schliesslich findet man nur solide kleine Follikel ohne Colloidsubstanz. Der Kern der transplantierten Drüse wird von Bindegewebe gebildet, in welchem noch nach $\frac{1}{2}$ Jahre reichlich Blutpigment nachzuweisen ist. Bemerkenswerth war in einigen Fällen die grosse Weite der Lymphräume, in welchen Colloidmassen lagen.

Die sogenannten Epithelkörperchen zeigen in der ersten Zeit ebenfalls Degenerationerscheinungen, welche in der Mitte der Körperchen am deutlichsten ausgesprochen sind. Es kommt bei ihnen bald zu einer Epithelwucherung, so dass meist nur ein schmaler central gelegener Bindegewebstreifen mit Pigment daran erinnert, dass hier Veränderungen stattgefunden haben. Ich glaube aus den Untersuchungen folgende Schlüsse ziehen zu dürfen:

1. *In der transplantierten Drüse findet eine ausgedehnte Degeneration statt, welche nur den Rand intact lässt.*
2. *Von den Randpartien geht eine Regeneration aus, es wird reichlich neues Drüsenepithel gebildet.*
3. *Das Epithel ist anfangs regellos, ähnlich wie in den Epithelkörperchen.*

4. *Das Epithel ordnet sich im Laufe der Zeit zu Follikeln an und producirt Colloid.*
5. *Am Rande sind die ältesten, central die jüngsten Follikel.*
6. *An der Gefäßversorgung theiligten sich junge Gefäße, welche von Aussen kommen, zum Theil werden die alten Bahnen wieder wegsam.*
7. *Die transplantierte Drüse heilt ein functionirt aber nicht dauernd, wofür auch die am Menschen gemachten Erfahrungen von Kocher, Bircher und Anderen sprechen.*

Die ausführliche Arbeit erscheint in den Mittheilungen aus den Grenzgebieten der Medicin und Chirurgie Bd. III, Heft 3.

Sie ist seit März 1898 abgeschlossen. Ich würde nach dem Berichte in dem medicinischen Verein (August 1897) keine weiteren Daten gegeben haben, wenn nicht vor Kurzem eine vorläufige Mittheilung von Sultan (Centralblatt für allgemeine Pathologie und pathologische Anatomie Bd. 9, N. 10 1898. Zur Histologie der transplantierten Schilddrüse) erschienen wäre, welche die von mir erhobenen und beschriebenen Befunde vollkommen bestätigt.

In der Sitzung vom 15. Juni sprach weiter Herr F. Kutscher:

Ueber das Antipepton.

Bekanntlich wird von Kühne angenommen, dass das Eiweissmolekül sich aus zwei Gruppen zusammensetzt, der stabilen Anti- und der leicht zersetzlichen Hemigruppe. Beim Abbau des Eiweissmoleküls durch das proteolytische Ferment der Bauchspeicheldrüse, das Trypsin, sollen sich nun als Endprodukte der Antigruppe Antipepton, der Hemigruppe Leucin, Tyrosin, Asparaginsäure, Ammoniak etc. bilden.

Veranlasst durch die übereinstimmenden Lösungs- sowie Fällungsverhältnisse des Antipeptons und des neuerdings¹⁾ bei

1) S. Hedin, Du Bois-Reymonds Archiv, 1891, Physiol. Abt. S. 273.

Trypsinverdauung aufgefundenen Lysins, welche wahrscheinlich machten, dass das Antipepton Lysin beigemengt enthalten musste, untersuchte ich nach Kühne dargestelltes durch Phosphorwolframsäure gereinigtes Antipepton. Aus demselben liessen sich zunächst mit Hilfe der von Kossel¹⁾ angearbeiteten Methode die steten Begleiter des Lysins das Histidin und Arginin gewinnen. Ihre Menge betrug ungefähr die Hälfte des zur Untersuchung verwandten »gereinigten Antipeptons«. Mit der Auflösung der zweiten Hälfte des Antipeptons, die noch das Lysin enthalten muss, bin ich zur Zeit beschäftigt.

Diese Befunde waren insofern von Wichtigkeit, als sie die Angaben Siegfrieds²⁾ und Balkes³⁾, nach welchen das Antipepton ein chemisches Individuum von der Formel $C_{10}H_{15}N_3O_8$ sein sollte, zweifelhaft machten. Ich untersuchte daher ein nach den Angaben Balkes dargestelltes Antipepton. Dasselbe wurde von mir noch durch Umfällung mit Phosphorwolframsäure gereinigt. Wie zu erwarten war zeigte auch das nach Balke dargestellte gereinigte Antipepton die gleichen Verhältnisse wie das Kühnesche. Histidin und Arginin liessen sich mit Hilfe der Methoden Kossels ohne Schwierigkeit in reichlicher Menge nachweisen. Ausserdem fanden sich im Filtrat der Phosphorwolframfällung Leucin, Tyrosin und eine organische Säure (wahrscheinlich Asparaginsäure) in nicht unbeträchtlicher Menge.

1) Kossel, Diese Sitzungsberichte vom 16. März 1898 und Ztschr. f. physiol. Ch., Bd. 25, S. 165.

2) Siegfried, Du Bois-Reymond's Archiv, 1894, Phys. Abth. S. 401.

3) Balke, Zeitschr. für physiol. Chemie, Bd. XXII, S. 250.

In der auf die wissenschaftliche Sitzung vom 18. Mai folgenden Geschäftssitzung erstattete der zeitige Vorsitzende (Herr F. Marchand) Bericht über die Thätigkeit und die Personalveränderungen der Gesellschaft.

Die Gesellschaft verlor durch den Tod ausser ihrem einheimischen ausserordentlichen Mitglied V. Hüter (vgl. Sitzung

vom 8. 12. 97) und ihrem Ehrenmitglied **Rudolf Leuckart** (vgl. Sitzung vom 14. 2. 98) ihre auswärtigen, ehemaligen ausserordentlichen Mitglieder **Geh. Hofrath Dr. Rudolf Schmitt** (als Privatdocent der Chemie und Assistent am chemischen Institut in Marburg aufgen. 15. 1. 64, später Professor der Chemie am Königl. Polytechnicum zu Dresden, gestorben zu Radebeul bei Dresden am 18. 2. 98) und **Dr. Hermann Kaemmerer** (als Privatdocent der Chemie und Assistent am chemischen Institut zu Marburg aufgenommen 24. 8. 66, später Professor und Direktor des chem. Laboratoriums des Gewerbe-Museums zu Nürnberg, gestorben zu München am 10. 4. 98).

Am 15. Juni wurde **Exc. Wirkl. Geh. Rat Herr Robert von Bunsen** in Heidelberg zum Ehrenmitglied der Gesellschaft erwählt.

Aufgelegte Schriften:

- 24., 25., 26., 27., 28. Bericht der Philomathie in Neisse.
Neisse 1888—97.
- Leopoldina Heft XXXIII Nr. 11 u. 12, Heft XXXIV Nr. 1.
Icones florae Germanicae et Helveticae. Auct. J. Reichenbach.
Tom. 23, 9/10 Dec.
- Verhandlungen des naturhistorischen Vereins der Rheinlande.
Jahrg. 54, 1. Hälfte. Bonn 1897.
- Sitzungsberichte der niederrheinischen Gesellschaft für Natur-
und Heilkunde in Bonn. 1897, 1. Hälfte. Bonn 1897.
10. Jahresbericht des Vereins für Naturwissenschaft in Braun-
schweig. Braunschweig 1897.
- 4 Abhandlgn. der Gesellsch. Flora in Dresden. Dresden 1896/97.
- Sitzungsberichte des ärztlichen Vereins in München. VI, 1896.
München 1897.
- Sitzungsberichte der Gesellsch. für Morphologie und Physiologie
in München. XIII, 1897; Heft 1. München 1897.
- Verhandlungen des naturforsch. Vereins in Brünn. XXXV. Bd.,
1896. XV. meteorolog. Bericht. Brünn 1897.
- Verhandlungen der k. k. geolog. Reichsanstalt 1897, Nr. 11—16.
- Fauna 1897. 7. Jahrgang. Luxemburg 1897.
- XXXXII. Bericht des Ver. für Naturk. in Kassel. Kassel 1897.
- Zeitschrift f. Naturwissenschaften. Bd. 70, Heft 3. Leipzig 1898.
39. Jahrg. der Verhandlungen des botanischen Vereins der Prov.
Brandenburg. Berlin 1897.

- Verhandl. der Berliner medic. Gesellsch., Bd. XXVIII. Berlin 1898.
W. Brandes, Flora des Provinz Hannover. Hannover 1897.
Katalog der Vogelsammlung des Prov.-Museums in Hannover:
»Säugetiere«. Hannover 1897.
Festschrift der naturhist. Gesellsch. in Hannover. Hannover 1897.
Abhandlungen der Senkenberg. naturforschenden Gesellschaft.
Bd. 21, Heft 1. Bd. 24, Heft 1. Frankfurt a. M. 1897.
Tromsøe Museum. Aarshefter 18. Aarsberetning 1894.
Tromsøe 1896/97.
Johns Hopkins University Circulars vol. XVII, Nr. 132. Baltimore.
Proceedings of the Royal Society of New South Wales. Mai-
October 1897.
Report of the U. S. Naval Observatory 1894, 1897.
Washington 1895/97.
U. S. Geological Survey. 17th Report, part I & II. Washington 1896.
Journal of the New-York Microscopical Society. Vol. XIII,
Nr. 4. New-York 1897.
Bulletin of the New-York public library. Vol. II, Nr. 1.
New-York 1898.
American Naturalist. Vol. XXX, Nr. 371, 372.
Museum of comparative Zoology: Report 1896/97.
Bulletin vol. XXXI, Nr. 1, Nr. 5. Cambridge 1897.
Atti e Rendiconti dell' Accademia Medico-Chirurgica di Perugia.
Vol. IX, fasc. 3, 4. Perugia 1897.
Rendiconti dell' Accademia delle Scienze fisiche e matematiche
ser. 3. Vol. III, fasc. 11, 12. Napoli 1897.
Rendiconti della R. Accad. dei Lincei. Anno 294, 295. Vol. VI,
fasc. 10, 11, 12; vol. VII, fasc. 1, 2. Roma 1897.
Annotationes zoologicae iaponenses. Vol. I, part. IV. Tokyo 1897.
Nieuwe Verhandelingen van het betaafsch Genootschap te Rotter-
dam. 2. R., D. 1, 2. Rotterdam 1897.
Regenwaarnemingen in Nederlandisk India. Jaarg. 18. 1896.
Batavia 1897.
Observations at the Magnetical and Meteorological Observatory
at Batavia. Vol. XIX. Batavia 1897.
Wind and Weather etc. in the East Indian Archipelago (durch
das preussische Kultusministerium). Battavia 1897.
Bulletin de la Société impériale des Naturalistes de Moscou.
1897. Nr. 2. Moscou 1897.
Entomologisk Tidskrift. Arg. 18, Heft 1—4. Stockholm 1897—98.
Memoirs and Proceedings of the Manchester literary and philo-
sophical Society. Vol. 42, part. 1. Manchester 1898.
Reiche Sendung von kleineren und grösseren Abhandlungen von
der Universität in Upsala.

Sitzungsberichte

der Gesellschaft zur Beförderung der gesammten Naturwissenschaften

zu

M a r b u r g.

N^{ro.} 6

Juli

1898

In der wissenschaftlichen Sitzung vom 13. Juli 1898 sprach
Herr F. Müller über

Die Chemie des Mucins und der Mucoide.

Aus dem Mucin werden bekanntlich beim Kochen mit Säuren reducirende Substanzen abgespalten. Vor zwei Jahren konnte ich bereits in dieser Gesellschaft über Untersuchungen berichten,¹⁾ welche die Natur dieser reducirenden Stoffe aufzuklären suchten. Diese Studien sind unterdessen fortgesetzt worden.

Der damals eingeschlagene Weg war folgender: Das aus Sputum dargestellte Mucin wurde mit 3 procentiger Salzsäure einige Stunden lang gekocht. Die neben den reducirenden Substanzen als Abspaltungsproducte auftretenden Albumosen und Peptone wurden zuerst mit essigsaurem Eisen, dann in neutraler Lösung mit Gerbsäure entfernt. Die überschüssige Gerbsäure wurde aus dem Filtrat mit Bleiacetat, dieses mit Schwefelwasserstoff abgeschieden. Bei dreimaliger Wiederholung dieses Gerbsäurefällungs-Verfahrens gelang es schliesslich, die reducirende Substanz ziemlich vollständig von eiweissartigen Stoffen zu befreien. Aber dieses Verfahren, das viele Tage in Anspruch nahm,

1) Cf. diese Berichte 1896, Juli Nr. 6, pag. 53—76.

hatte grosse Nachtheile. Es zeigte sich, dass dabei ein grosser Theil, ja zwei Drittel und mehr der reducirenden Substanz verloren ging. Allein das längere Stehenlassen der sauren Lösung genügte, um den Gehalt an reducirender Substanz erheblich zu vermindern. Da ein Theil des verlorenen Reductionsvermögens durch abermaliges Kochen restituirt werden konnte, so muss man annehmen, dass bei längerem Stehen in eiweiss- oder albumosenhaltiger Lösung eine Art von Condensation des Zuckers vielleicht mit eiweissartigen Stoffen stattgefunden hatte.

Es war ein Fortschritt, als sich herausstellte, dass die mühsame, zeit- und materialraubende Entfernung der Eiweisstoffe gar nicht nöthig war, und dass es bei der nun folgenden Benzoylirung trotzdem gelang, ein reines Product zu erhalten. Es war ursprünglich nicht möglich gewesen, die Benzoylverbindung des Zuckers in reinem krystallinischem Zustand zu erhalten. Der Fehler lag darin, dass zur Reinigung von anhaftenden Aschebestandtheilen, von überschüssigem Benzoylchlorid und beigemengter Benzoesäure wiederholtes Ausfällen der in Alkohol gelösten Substanz durch Eintragen in Wasser verwendet worden war. Wasser spaltet aber nicht geringe Mengen von Benzoesäure ab und es werden dadurch die höher benzoylirten, krystallisationsfähigen Verbindungen in harzartige, weiche, niedriger benzoylirte verwandelt. Als die Reinigung mit Wasser ganz unterblieb, schied sich aus der heiss bereiteten Lösung der Benzoylverbindung bei längerem Stehen ein krystallinischer Bodensatz in ziemlich grosser Menge ab. Diese Krystalle sind nur in heissem Alkohol löslich, krystallisiren beim Erkalten alsbald wieder aus und lassen sich dadurch leicht weiter reinigen. Nach wiederholtem Umkrystallisiren wurde ein weisses seidenartig glänzendes Präparat erhalten, das aus radiär angeordneten bis centimeterlangen Nadeln bestand. Es schmolz, je häufiger es umkrystallisirt wurde desto höher, bei 203 bis 212°. Bei der Elementaranalyse fanden sich Anfangs Zahlen, welche mit den für Tetrabenzoylglucosamin berechneten übereinstimmten, je weiter aber das Präparat gereinigt wurde, desto mehr näherten sie sich den für Pentabenzoylglucosamin berechneten Werthen und zeigten schliesslich mit diesen genügende Übereinstimmung.

Gefunden:

Berechnet für:

	I.	II.	III.	IV.	Tetrabenzoyl- glucosamin	Pentabenzoyl- glucosamin
C	69,0	69,45	69,52	70,11	68,57	70,38
H		4,88	5,02	5,02	4,87	4,73
N	2,27		2,38		2,35	2,00

Es war also ausser den vier Hydroxylgruppen auch die NH_2 -Gruppe benzoylirt worden.

Die Versuche, aus der Benzoylverbindung den Zucker selbst zu gewinnen, stiessen auf die grössten Schwierigkeiten, und es wurden mehrere Monate lang vergeblich alle möglichen Methoden durchprobt: Verseifung mit Natriumaethylat oder mit gasförmiger Salzsäure, Darstellung der Methyl- oder Aethylglucoside und ähnliches. Nachdem eine Erhitzung mit ganz verdünnter Salzsäure im zugeschmolzenen Rohr bis 110° eine vollständige Zerstörung der Substanz unter Kohlebildung ergeben hatte, gelang es endlich auf folgende einfache, von E. Fischer angegebene Weise zum Ziel zu kommen: Die Benzoylverbindung des Zuckers wurde mit Salzsäure vom spec. Gewicht von 1100 in das Rohr eingeschlossen, im Wasserbad bei 100° 48 Stunden lang erwärmt und dabei häufig kräftig umgeschüttelt. Nach Öffnung des Rohrs wurde die Flüssigkeit durch viermaliges Ausschütteln mit Aether von der abgeschiedenen Benzoesäure befreit. Neue Schwierigkeiten erhoben sich bei den Versuchen aus der stark salzsäurehaltigen Lösung die Salzsäure zu entfernen und den Zucker zu gewinnen. Abdampfen bei 40 bis 50° im Vacuum oder Behandlung mit Bleicarbonat oder frisch gefälltem Silberoxyd brachten immer sehr grossen Verlust an reducirender Substanz mit sich; Alkalien waren ausgeschlossen, weil sich Alkalisalze wegen der Ähnlichkeit ihrer Lösungsverhältnisse später vom Zucker durch Umkrystallisiren nur schwierig und unvollkommen mehr trennen. Besser führte das folgende Verfahren zum Ziel: Die salzsäurehaltige Zuckerlösung wurde in flachen Schalen unter die fast geschlossene Thüre des Abzuges gestellt, dessen Flamme Tag und Nacht einen starken Luftzug erzeugte. Nach einer Reihe von Tagen war die Salzsäure abgedampft und der Zucker blieb krystallinisch zurück. Durch Abwaschen mit conc. Alkohol, Auf-

lösen in Wasser und wiederholtes Umkrystallisiren konnte er gereinigt und in harten, stark glänzenden, bis erbsengrossen Krystallen erhalten werden. Die Elementaranalyse ergab:

Gefunden:	Berechnet für:
	salzsaures Glucosamin
C 32,96 %	33,4 %
H 6,53 %	6,82 %
N 6,44 %	6,5 %

Die krystallographische Untersuchung, welche Herr Geheimrath Bauer und Herr Dr. Schwandtke im hiesigen mineralogischen Institut vorzunehmen die Güte hatten, ergab, dass diese Krystalle identisch waren mit denen des salzsauren Glucosamins, das Ledderhose aus Hummerpanzern dargestellt hatte, und auch die Bestimmung des optischen Drehungsvermögens der wässrigen Lösung ergab Zahlen, welche mit den von Ledderhose gefundenen identisch waren; es fand sich nämlich eine Rechtsdrehung von $69,5^\circ$ für α_D .

Darnach kann wohl kaum ein Zweifel sein, dass die aus Mucin darstellbare reducirende Substanz mit dem Glucosamin identisch ist, und der von mir früher vorgeschlagene Name Mucosamin ist demnach überflüssig.

Nur eine Thatsache scheint damit nicht in Einklang zu stehen: das Osazon, welches sich nach dem Kochen des Mucins mit verdünnter Salzsäure aus der sorgfältig enteweissten Flüssigkeit gewinnen liess, zeigte trotz gründlicher Reinigung und mehrmaligen Umkrystallisirens einen Schmelzpunkt von $192-196^\circ$. Es war leicht in Alkohol und auch etwas in Wasser löslich und eine Auflösung von 0,1 g dieses Osazons in Eisessig ergab keine Linksdrehung.

Aus dem gewöhnlichen Glucosamin (aus Hummerpanzern) lässt sich dagegen, wie Tiemann angegeben hat, dasselbe Glucosazon gewinnen, welches auch aus Dextrose, Laevulose und der Mannose erhalten wird. Dieses Glucosazon dreht links, zeigt eine geringere Löslichkeit in Alkohol und heissem Wasser und hat einen Schmelzpunkt von $204-205^\circ$.

Diese Angabe von Tiemann, dass aus Glucosamin gewöhnliches Glucosazon erhalten wird, ist deswegen von grosser Be-

deutung, weil sie die Hauptgrundlage für die Aufstellung der stereochemischen Formel des Glucosamins abgibt. Man hat unter der Annahme, dass das Glucosamin zu den Aldehydzuckern gehört, daraus den Schluss gezogen, dass die Amidogruppe der Aldehydgruppe benachbart stehen müsse und dass der übrige Theil des Glucosaminmoleküls dieselbe stereochemische Anordnung zeige als in der Glucose, der Mannose und Laevulose. Eine weitere Consequenz wäre freilich diejenige gewesen, dass durch die Einwirkung salpetriger Säure auf Glucosamin (wodurch die NH_2 -Gruppe durch eine Hydroxyl-Gruppe ersetzt wird) entweder der Mannose oder Dextrose erhalten worden wäre. Das ist aber nicht der Fall; wie E. Fischer und auch Küny gezeigt haben, wird durch salpetrige Säure aus Glucosamin ein Syrup erhalten, der sich von Dextrose und Mannose schon durch den Mangel von Gährungsvermögen und auch noch in anderen Punkten unterscheidet, von dem es aber überhaupt zweifelhaft erscheinen muss, ob er den gewöhnlichen Hexosen zuzurechnen ist, weil er mit Phenylhydrazin kein wohl characterisirtes Osazon liefert.

Da Tiemann, soviel aus seiner Mittheilung zu ersehen ist, die Identität des Osazons aus Glucosamin mit dem Glucosazon nur auf die Schmelzpunktbestimmung stützt, und da der Werth der Schmelzpunktbestimmung für die Unterscheidung der Osazone nicht zu hoch veranschlagt werden darf, so habe ich gewöhnliches Glucosamin aus Hummerpanzern ebenfalls auf Osazon verarbeitet. Es liess sich dabei die schon von Tiemann und von Küny hervorgehobene Thatsache bestätigen, dass die Abscheidung des Osazons auffallend langsam erfolgt. Aus einem Gramm Glucosamin wurden nach 2 stündigem Kochen nur 0,076 g Osazon erhalten. Nach fünf- bis siebenstündigem Erwärmen im Wasserbad wurden aus 3 g Glucosamin wenig über 1 g eines prachtvoll krystallisirten strohgelben Osazons gewonnen. Davon lenkten 0,1 g in 12 cc Eisessig gelöst die Ebene des polarisirten Lichtes im 1 dm Rohr um $0,6^\circ$ nach links ab. Auch sonst zeigte dieses Osazon alle Eigenschaften des zum Vergleich dargestellten Osazons aus Traubenzucker und erwies sich als verschieden von meinem Osazon aus Mucin. Herr Professor Emil Fischer, dem ich mein Präparat übersandte, hatte die grosse Liebenswürdig-

keit, es einer Untersuchung zu unterwerfen; er sprach sich bestimmt dahin aus, dass es vom Glucosazon verschieden sei, und glaubte in ihm Galactosazon zu erkennen.

Wenn wir also nach den zuverlässigen krystallographischen Methoden und nach dem specifischen Drehungsvermögen die Identität unseres Glucosamins aus Mucin mit dem aus Hummerpanzern annehmen dürfen und andererseits sehen, dass die mit Phenylhydrazin daraus dargestellten Derivate verschieden sind, so stehen wir hier vor einem Räthsel, zu dessen Erklärung zwei Möglichkeiten herangezogen werden können: Einmal wird man daran denken müssen, dass aus so complicirt zusammengesetzten Flüssigkeiten, wie sie die mit HCl gekochten Mucinlösungen trotz der thunlichsten Entfernung der eiweissartigen Körper darstellen dürften, weniger reine und nur schwer zu reinigende Phenylhydrazinverbindungen erhalten werden als bei Anwendung eines reinen Ausgangspräparates. Zweitens aber liegt die Möglichkeit nahe, dass unter den Zersetzungsproducten des Mucins ausser dem Glucosamin noch ein anderer kohlehydratartiger Körper vorhanden ist, der ein niedriger schmelzendes und nicht drehungsfähiges Osazon liefert. Der Umstand, dass Schmiedeberg im Knorpel neben dem Glucosamin die Anwesenheit von Glucuronsäure wahrscheinlich gemacht hat, wies darauf hin, auch im Mucin nach Glucuronsäure zu fahnden. Zwar lässt sich nach dem Kochen des Mucins mit Salzsäure in dem Filtrat durch Zusatz überschüssigen Baryts eine geringe Menge eines Niederschlages erzielen, aber dieser färbt sich beim Kochen nicht citronengelb und liefert nach Behandlung mit verdünnter Schwefelsäure eine weder optisch active noch reducirende Lösung. Dieser negative Ausfall der Prüfung auf Glucuronsäure ist aber deswegen von geringer Bedeutung, da Thierfelder gezeigt hat, dass Glucuronsäure durch Kochen mit Salzsäure unter Bildung einer mit der Tetrinsäure isomeren Säure zerlegt wird. Wichtiger ist der Umstand, dass beim Kochen von Mucin mit starker Salzsäure im Destillat kein oder jedenfalls keine irgendwie nennenswerten Mengen von Furfurol nachzuweisen sind. Glucuronsäure gibt dagegen, wie man sich leicht überzeugen kann, starke Furfurolreaction mit Salzsäure und Phloroglucin.

Zur Klärung dieser Fragen wird es vor allem nothwendig sein, reines Glucosamin aus Mucin auf Osazon zu verarbeiten. Da hierzu, wie oben erwähnt, ziemlich grosse Mengen des Ausgangsmaterials nöthig sind, so hat dieser Versuch bis jetzt noch nicht ausgeführt werden können.

Sowohl Ledderhose als Hoppe-Seyler und Winterstein haben bei der Zerlegung des Chitins und der Pilzcellulose neben Glucosamin auch constant erhebliche Mengen von Essigsäure auftreten sehen. Es lag nahe, auch unter den Zersetzungsproducten des Mucins darnach zu suchen. Es wurde deshalb beim Kochen des Mucins mit Salzsäure ein Kühler vorgelegt, das Destillat aufgefangen und qualitativ und quantitativ untersucht. Neben einer bereits im Kühlrohr sich flockig abscheidenden Substanz, die aus Aether in schönen gelben Nadeln umkrystallisirt werden konnte und sich als schwefelhaltig erwies, und neben einer gewissen Menge von Ameisensäure, die wohl aus der nebenher stattfindenden Laevulinsäureabspaltung herrührte, fanden sich im Destillat sehr erhebliche Mengen Essigsäure, und zwar $\frac{1}{2}$ bis 1 Molekül Essigsäure auf 1 Molekül reducirender Substanz. Die Essigsäure wurde als Silbersalz dargestellt, gewogen und analysirt. Da also neben dem Glucosamin constant Essigsäure als Spaltungsproduct aufzutreten scheint, so konnte man daran denken, ob nicht in der ursprünglich nicht reducirenden Muttersubstanz eine Acetylverbindung des Glucosamins vorlag. Ich habe deshalb durch Einwirkung von Essigsäureanhydrid auf Hummerpanzer-Glucosamin unter Zufügung von einer kleinen Menge von geschmolzenem Natriumacetat Tetra- und Penta-acetylglucosamin dargestellt, das in der Form von prachtvoll krystallisirenden weissen Nadeln erhalten wurde. Aber es zeigte sich, dass dies Acetylglucosamin ganz andere Eigenschaften und Lösungsverhältnisse darbot als die Muttersubstanz des Glucosamins im Mucin, nämlich das sogenannte thierische Gummi von Landwehr.

Das thierische Gummi, dieses nicht reducirende Zwischenproduct zwischen dem Mucin und den reducirenden Substanzen, ist unterdessen von dem früheren Assistenten der Poliklinik, Herrn Dr. Weydemann, weiter studirt worden. Er hat eine

Methode gefunden, um sehr viel grössere Ausbeuten dieser Substanz zu erhalten, als dies nach der Landwehr'schen Methode möglich war. Das thierische Gummi wird dabei als ein schneeweisses amorphes Pulver erhalten, das beim Kochen mit Säuren 60–80 % reducirender Substanz (als Glucosamin berechnet) liefert. Es zeigt die Eigenschaften einer Säure und hat einen (von Landwehr offenbar übersehenen) Stickstoffgehalt von 8–10 %. Die Hoffnung, auf diesem Wege einen gut definirten Körper von constanter Zusammensetzung zu erhalten, hat sich leider nicht erfüllt. Auch gab das Präparat stets noch in geringem Grade die Biuretreaction.

Nachdem die Methoden zur Darstellung der reducirenden Substanzen aus dem Mucin so sehr viel einfacher und ergiebiger geworden waren, lag es nahe, sie auch auf andere Glycoproteide anzuwenden.

Schon im Jahre 1890 hatte ich die Beobachtung gemacht, dass Eiereiweiss, auch wenn man es sorgfältig vom anhaftenden Traubenzucker reinigt, nach Kochen mit verdünnter Salzsäure eine reducirende Substanz liefert. Da ich damals diesen Zucker nicht näher zu characterisiren vermochte, so unterliess ich eine Publication. Einige Jahre darauf beschrieb Mörner unter dem Namen Ovomucoid eine schleimähnliche Substanz, die sich aus dem Filtrat des durch Erhitzen coagulirten Eiereiweisses gewinnen liess, und die mit Säuren gekocht eine reducirende Substanz unbekannter Art lieferte. Pavy, dem diese Arbeit Mörners unbekannt geblieben zu sein scheint, konnte aus den reducirenden Spaltungsproducten des Eiereiweisses ein krystallisirendes Osazon gewinnen.

Herr Seemann, den ich veranlasste diese reducirenden Substanzen aus dem Eiereiweiss nach den oben beschriebenen Methoden zu untersuchen, konnte nachweisen, dass im Ovomucoid die durch Säuren abspaltbare reducirende Substanz (mit Fehling'scher Lösung titirt und als Glucosamin berechnet) 29 bis 34 % der Trockensubstanz ausmacht, also ebensoviel als im Mucin des Sputums. Aus dem gereinigten und von Ovomucoid möglichst befreiten Eialbumin liessen sich 9 % der Trockensubstanz Zucker abspalten. Die reducirenden Substanzen beider Körper

wurden getrennt verarbeitet, es stellte sich jedoch heraus, dass sie identisch waren, und zwar konnte aus beiden ein schön krystallisirendes Pentabenzoylglucosamin vom Schmelzpunkt 212° und schliesslich das krystallinische Chlorhydrat des Glucosamins dargestellt werden, das, wie die krystallographische Untersuchung durch Herrn Dr. Schwandtke zeigte, mit dem aus Hummerpanzern und aus Mucin dargestellten Glucosamin identisch war.

Da auch aus dem Submaxillarismucin des Rindes dasselbe Glucosamin erhalten wurde, so haben wir also in ihm einen im Thierreich weit verbreiteten Paarling der Eiweisskörper zu erkennen, dessen weiteres Studium nun wesentlich vereinfacht ist und wohl der Mühe lohnen dürfte.

Zum Schluss möchte ich kurz über Untersuchungen berichten, welche Herr Dr. Lüthje angestellt hat.

Da es so leicht gelang, eine schön krystallisirende Acetylverbindung des Glucosamins darzustellen, so veranlasste ich Herrn Dr. Lüthje, auch die Acetylverbindungen anderer Zucker zu studiren, in der Hoffnung, dadurch ein Verfahren zu gewinnen, um schwer darstellbare oder schwer unterscheidbare Zuckerarten aus Harn und Gewebsflüssigkeiten zu isoliren und zu characterisiren.

Es gelang Herrn Dr. Lüthje, krystallinische Acetylderivate der Dextrose, Maltose, Lactose, Galactose nicht nur bei Anwendung reiner Substanz, sondern auch aus dem zur Trockne abgedampften Harn darzustellen. Die Krystallform und der Schmelzpunkt sind allerdings nicht so charakteristisch, dass dadurch ohne weiteres eine Unterscheidung dieser Zuckerarten mit Sicherheit getroffen werden könnte.

Auch das Arabinoseacetat konnte in krystallinischen Wäzchen erhalten werden. Leider hat sich aber bis jetzt unsere Erwartung nicht erfüllt, dadurch ein Verfahren zu gewinnen, um die Pentosen aus dem Harn bei der sogenannten Pentosurie zu isoliren.

Die Angabe, dass sich in manchen pathologischen Harnen (z. B. von Morphinisten) sowie unter den Zersetzungsproducten der Nucleoalbumine Pentosen finden, ist bis jetzt nur auf den positiven Ausfall der Furfurolreaction und den niedrigen Schmelzpunkt sowie die Elementaranalyse der Osazone begründet. Nun

kommt aber der Furfurolnachweis durchaus nicht allein den Pentosen zu, sondern auch, was weniger bekannt zu sein scheint, der Glucuronsäure. Auf den Schmelzpunkt und selbst die Elementaranalyse der Osazone wird man aber dann nur geringen Wert legen dürfen, wenn es sich wie hier um so kleine Osazomenge handelt, dass eine gründliche Reinigung durch häufiges Umkrystallisiren nicht möglich war. Die oben erwähnten Erfahrungen am Mucin, Ovomuroid und Eieralbumin zeigen, wie vorsichtig man mit der Verwerthung des Schmelzpunktes und anderer Eigenschaften der Osazone sein muss, solange man von Gemischen und nicht von reinen Substanzen ausgeht. Der Nachweis der Pentosen im Harn und den Nucleoalbuminen kann solange noch nicht als sicher erbracht angesehen werden, als nicht einwandsfreiere Beweise dafür vorliegen. Es scheint aber, als ob zu diesem Zweck die Darstellung der Benzoyl- oder Benzolsulfoverbindungen geeigneter sei als die der Acetylverbindungen, schon aus dem Grunde, weil dabei das Eindampfen des Harns zur Trockne nicht nöthig ist. Das Benzolsulfochlorid, auf welches ich durch Herrn Prof. Kossel aufmerksam gemacht wurde, scheint zur Isolirung verschiedener Zucker aus wässrigen Lösungen dem Benzoylchlorid mindestens ebenbürtig zu sein.

In derselben Sitzung (13. Juli 1898) sprach Herr Toenniges über:

Die feineren Bauverhältnisse von *Opalina ranarum*.

Mit dem Studium der Encystirung und Conjugation von *Opalina ran.* beschäftigt, war ich gezwungen, den Bau und die Kernverhältnisse dieser Form einer näheren Prüfung zu unterziehen. Die in den nachfolgenden Zeilen kurz mitgetheilten Beobachtungen sind daher das Ergebniss einer mehr gelegent-

lichen Beschäftigung mit dem Gegenstande. Das Material erwies sich, da es ausserdem in grosser Menge zu Gebote stand, zur Untersuchung der Plasmastruktur, der Kerntheilungen und der Fortpflanzung nicht ungeeignet, so dass ich *Opalina ran.* meine Aufmerksamkeit speciell zuwandte. Nach meiner Auffassung liegt ein gewisser Werth der vorliegenden Untersuchung in der Art und Weise der Verarbeitung, da ich möglichst bestrebt gewesen bin, die Veränderungen und Umwandlungen, welche ein Organismus im Lauf der Zeit erfahren kann, in Rechnung zu ziehen. Es haben sich bei diesem Studium einige sehr wenig oder überhaupt nicht bekannte Thatsachen ergeben, welche ich der Oeffentlichkeit nicht vorenthalten möchte. Einige Punkte konnten von mir nur in ungenügender Weise aufgeklärt werden, was einerseits an der Schwierigkeit in der Behandlung des Objects selbst lag, andererseits standen sie zur Frage der Encystirung u. s. w. in zu geringer und unwesentlicher Beziehung, als dass ich ihnen grössere Mühe und Sorgfalt hätte zuwenden sollen.

Im Wesentlichen verdanke ich die Erweiterung der Kenntnisse über den feineren Bau von *Opalina ran.* der Verwendung grösserer Materials Mengen zum vergleichenden Studium, geeigneter Conservirungs- und Färbungsmethoden und der Verwendung des Mikrotoms zur Anfertigung möglichst dünner Schnitte. So wenig die Schnittmethode auch im Allgemeinen für Protozoen infolge der Kleinheit und Durchsichtigkeit der Objecte nöthig ist, so hat sie mir trotzdem bei *Opalina ran.* erhebliche Vortheile für das Studium der feineren Bauverhältnisse verschafft.

Protoplasmastruktur.

Die Beobachtungen über die feinere Struktur des Plasmas sind unter Heranziehung anderer Infusorien (*Bursaria*, *Nyctotherus*, *Balantidium*, *Stylonychia*, *Stentor*, *Paramaecium*, *Nassula* etc.) zum Studium derselben ergänzt und erweitert worden. Ich werde demnächst in meiner ausführlichen Arbeit bei einer Anzahl von Infusorien den Nachweis einer wabigen Struktur des Plasmas führen, da ich mich von dem Vorhandensein einer solchen sicher überzeugt habe.

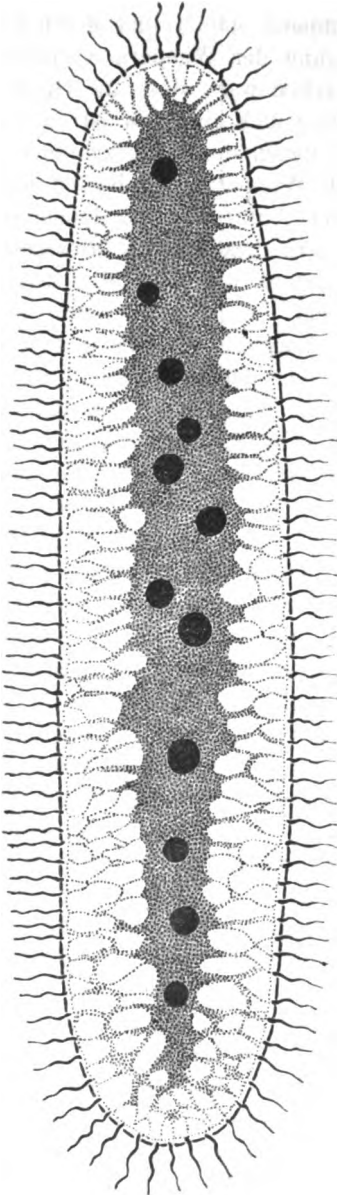
Das Protoplasma sämtlicher untersuchter Infusorien besitzt einen typischen Wabenbau im Sinne Bütschli's. Diese Struktur kommt in der ausgesprochensten Weise im Ectoplasma zur Geltung. Ein regelmässiges Maschenwerk von feinkörnigem Protoplasma, welches an den Berührungspunkten der einzelnen Maschen knotig verdickt oder doch verstärkt ist, wechselt mit mehr oder weniger stark ausgebildeten Vacuolen, welche die Interfilar-substanz der Autoren bilden, ab. Werden die Knotenpunkte des Maschenwerkes durch Einlagerung von Substanz verstärkt, so wird der typische Wabenbau verwischt, und es tritt allmählich eine mehr gleichmässige Beschaffenheit des Protoplasmas auf. Es verdichtet sich, wodurch der wabige Bau undeutlich wird. Daher kann die typische Wabenstruktur sehr wechseln, ohne dass wir darum genöthigt sein müssten, einen grundverschiedenen Bau des Plasmas anzunehmen. Wie die Zelle selbst durch Anpassung an ihre Funktion die verschiedensten Formen anzunehmen vermag, so kann auch der feinere Bau derselben mannigfache Veränderungen erleiden. Es mag hierin vielleicht die Ursache zu suchen sein, dass so grosse Meinungsverschiedenheiten über die Struktur des Protoplasmas verbreitet sind.

Wimpern.

Gleichmässig lange und starke Wimpern bedecken in Längsreihen angeordnet die Oberfläche von *Opalina* ran. Am vorderen Körperpol stehen die Wimpern, da die Rippenstreifen schmaler werden, bedeutend dichter. Die Stellung der Cilien in Längsreihen und ihre wechselnde Zahl ist durch die längsverlaufende Körperstreifung aufs Engste bestimmt. Die schon bei mittlerer Vergrösserung deutlich sichtbare Längsstreifung der Opalinen wird allein durch die Anordnung der Cilien hervorgerufen, da die kleinen, sich dunkler färbenden Punkte der Längsreihen, aus denen sich dieselben zusammensetzen, die Basen der Wimpern darstellen. Es wird nicht ganz zutreffend sein, zu behaupten, dass die Rippenstreifen nach dem vorderen Körperpol zu schmaler würden, denn betrachten wir die breiteren Streifen des Hinterendes etwas genauer und verfolgen den weiteren Verlauf derselben, so machen wir die Beobachtung, dass die

Streifen an Breite auch am vorderen Körperpol sich gleich bleiben, nur tritt ungefähr in der Mitte des Thieres eine Spaltung der Streifen ein, so dass am vorderen Körperpol ungefähr die doppelte Anzahl derselben vorhanden ist als wie am hinteren. Interessant sind die Beobachtungen über die Befestigung der Wimpern, durch die ich zu einer Ansicht gelangt bin, welche von der herrschenden Anschauungsweise wesentlich verschieden ist. Während bislang die Ansicht vertreten wurde, dass die Wimpern der Pellicula aufsässen, d. h. direkte Fortsätze derselben seien, durchsetzen sie nach meinen Beobachtungen, welche nicht nur an *Opalina ran.*, sondern ausserdem noch an einer ganzen Reihe anderer Infusorien gemacht wurden, die äussere Körperschicht und dringen für eine kurze aber deutliche Strecke in die unter der Cuticula liegende Alveolarschicht ein (siehe Textfigur).

Sie stehen mit dem Wabenwerk des Ecto- und Endoplasmas vermittelt feiner protoplasmatischer Fäden im innigsten Zusammenhang. Dicht unter der Pellicula verlaufen ausserdem noch sich kreuzende Fibrillen, auf deren Knotenpunkten die



Wimpern stehen und deren Contraktionen vermuthlich die Bewegung der Wimpern verursachen. Obgleich nicht sicher festzustellen war, dass die Geisseln in ihrer ganzen Länge gleichmässig dick sind, so ist es doch sehr wahrscheinlich, dass sie nur gegen das Ende zu ein wenig zugespitzt sind. Das Geisselresp. Wimperplasma besitzt nicht, wie man es nach der Ansicht vieler Autoren anzunehmen scheint, eine homogene Struktur sondern besteht aus abwechselnd helleren und dunkleren Abschnitten, welche eine regelmässige Aufeinanderfolge erkennen lassen.

Was die Tingirbarkeit der Wimpern anbetrifft, so habe ich mit den gebräuchlichen Farbmitteln wie Haematoxylin, Boraxcarmin etc. nur eine schwache Färbung derselben erzielt, während sie sich mit Anilinfarben und mit Eisenalaun-Haematoxylin (Heidenhain) sehr stark färbten.

Einschlüsse des Plasmas.

Neben den zahlreichen Kernen kommen regelmässig im Entoplasma Gebilde in grösserer Menge vor, deren Natur vollständig unbekannt ist. Sie sind bereits bei Betrachtung des lebenden Thieres zu sehen, wo sie durch ihre grünliche Färbung bemerkbar werden. Sie sind viel kleiner wie die Kerne und sind in bedeutend grösserer Zahl als diese vorhanden. Ihre Gestalt scheint zumeist kreisrund zu sein, obgleich Abweichungen und Formveränderungen bereits im lebenden Thier festgestellt werden können. Sie erschienen den Beobachtern als helle, stark glänzende Plättchen, deren Inhalt als homogen betrachtet wurde.

Die Körner haben zumeist eine scheibenförmige Gestalt, welche jedoch stark wechseln kann, so dass wir die verschiedensten Formen unter ihnen antreffen. Sie können in die Länge gestreckt sein; sie können unregelmässige Formen zeigen und endlich Figuren, wie sie durch Theilungen hervorgerufen werden. Ausserdem unterscheiden sie sich sowohl in ihrer Grösse wie auch in der Menge ihres Auftretens von einander. Die Grössenverhältnisse speciell sind bedeutenden Schwankungen unterworfen, so dass wir bisweilen sehr kleine Körnchen, dann wieder solche

finden, die sich durch besondere Grösse auszeichnen. Sie kommen hauptsächlich, bei den meisten Individuen ausschliesslich, im Endoplasma vor, jedoch ist damit nicht ausgeschlossen, dass sie nicht hin und wieder in vereinzelter Form auch im Ectoplasma angetroffen werden können, wie ich es häufiger zu beobachten Gelegenheit hatte. Gewöhnlich pflegen die scheibenförmigen Körnchen in einer bestimmten Richtung, also keineswegs unregelmässig zu liegen, so dass wir bei einer bestimmten Schnitt-richtung durch den Körper der Opalina entweder Flächen- oder Seitenbilder erhalten. Betrachtet man Opalina von der Fläche, so liegen auch die Scheiben flächenhaft ausgebreitet. Sie stehen in inniger Verbindung mit den Strängen des protoplasmatischen Netzwerkes und erleiden bei Zug- und Druckwirkungen derselben passive Verschiebungen. Nach Färbung mit Anilinfarbstoffen, welche von ihnen stark aufgenommen werden, weisen sie nur geringe Differenzirungen auf, so dass sie von früheren Beobachtern für homogen gehalten werden konnten. Wie wenig dieses zutrifft, bemerkt man auf Schnitten, welche nach der Eisenhaematoxylinmethode von Heidenbain behandelt worden sind.

Sie lassen in jedem Körnchen eine feinwabige Struktur erkennen, die jedoch infolge der Kleinheit des Objects nur wenige Waben umfasst. Die Membran färbt sich intensiv und ist am Rande der Scheibe stark verdickt, wie aus der Betrachtung eines seitlichen Schnittes deutlich hervorgeht. Dieser verdickte Ring ist auf beiden Seiten von einer dünnen Membran bedeckt. Was die Vertheilung der Körnchen im Plasma betrifft, so erwähnte ich schon ihr durchschnittliches, nahezu ausschliessliches Vorkommen im Endoplasma. Fernerhin liegen sie im vorderen Körperpol der Opalina ran. und an ihrer Peripherie in grosser Menge, um nach der Mitte und nach hinten zu an Zahl abzunehmen.

Von Bedeutung für die Auffassung der Natur der Körnchen muss ihre Fähigkeit angesehen werden, sich theilen zu können. Die Theilung ist eine direkte, indem das betreffende Körnchen eine länglichovale Gestalt annimmt, welche allmählich in eine Hantelfigur übergeht und schliesslich zwei Theilprodukte, die noch längere Zeit vermittelst eines feinen Verbindungsfaden im Zu-

sammenhang bleiben, entstehen lässt. Diese Theilungen, welche sehr gut zu beobachten waren, sind sehr häufig und es ist hervorzuheben, dass sie bei ihrem Eintreten, die grösste Menge der Körnchen einer Opalina in Mitleidenschaft ziehen. Vor der Theilung tritt eine Verkleinerung des Körnchens auf, indem die Vacuolen in dem Innern verschwinden, die ganze Masse sich verdichtet, was durch die stärkere Färbbarkeit sichtbar wird und schliesslich in Theilung übergeht.

Die mikrochemischen Reaktionen waren wegen der Kleinheit des Objects nicht leicht ausführbar. Die Körnchen lösten sich weder in Alkohol, Aether, concentrirter Essigsäure noch in schwachen Mineralsäuren, verschwanden jedoch nach einiger Zeit bei Behandlung mit concentrirten Mineralsäuren, verdünntem Kali und Salzsäure. Osmiumsäure bringt eine starke Bräunung der Körnchen hervor. Ausserdem färben sie sich mit Anilinfarben sehr intensiv, stärker wie das Plasma und verhalten sich nach dieser Hinsicht ähnlich wie Kernsubstanz.

Die Bedeutung der Körner ist vorläufig vollständig unklar. Dass sie keine Excretkörner sein können, beweisen nicht nur die mikrochemischen Reaktionen, sondern auch in erster Linie ihre Theilungen, welche diese Annahme vollständig ausschliessen. Ob sie als parasitäre Organismen oder vielleicht als der in kleine Theilstückchen aufgelöste Makronucleus zu betrachten sind, müssen kommende Untersuchungen lehren.

Die Theilungen wurden zumeist auf Schnitten von grosser Dünne (2 μ .) untersucht und anfangs war ich, als mir zum ersten Male die Stadien zu Gesicht kamen, geneigt, sie für Resultate einer bestimmten Schnittrichtung anzusehen. Eingehendere Untersuchungen lehrten jedoch, dass auf denjenigen Schnitten, welche durch grössere Dicke die Körnchen ganz von Plasma umschlossen zeigten, ohne dass dieselben angeschnitten waren, die schönsten Theilungsstadien sichtbar waren. Ausserdem war mir das oben bereits erwähnte gleichzeitige Auftreten vieler Theilungen in einer Opalina eine weitere Stütze meiner Beobachtung.

Bei manchen Theilungsstadien hatte ich Gelegenheit, ein Gebilde zu beobachten, welches ausserordentlich einem Zwischenkörper ähnlich sah. Es war jedoch nicht konstant vorhanden.

Mitunter sind die Körnchen in so grossen Mengen vorhanden, dass man durch ihre dichte Lagerung die Struktur des Protoplasmas überhaupt nicht, die Kerne nur undeutlich erkennen kann. Obgleich es mir, wie aus dem Vorhergehenden ersichtlich, nicht möglich war, die Natur der Körnchen festzustellen, so möchte ich doch den negativen Befund, dass sie sicher keine Excretkörner sind, hervorheben.

Meine Beobachtungen über die Kern- und Zelltheilung von *Opalina* erwähne ich hier nur in den Hauptergebnissen und werde sie später ausführlicher mittheilen.

Zusammenfassung.

1. *Pellicula*, *Ecto-* und *Endoplasma*, Kerne und die protoplasmatischen Einschlüsse des *Endoplasmas*, die sog. „*Excretkörner*“ weisen sämmtlich eine typisch wabige Struktur auf.

2. Die Wimpern durchbohren die *Pellicula* und stehen in innigem Zusammenhang mit dem protoplasmatischen Netzwerk des *Ecto-* und *Endoplasmas*. Dieser Wimperdurchtritt wurde an einer ganzen Anzahl von Infusorien mit Sicherheit festgestellt. Sämmtliche Wimpern sind durch ein System feinsten protoplasmatischer Fäden, welche dicht unter der *Pellicula* verlaufen, zu einem Netzwerk verbunden. Auf den Knotenpunkten dieses Netzwerkes entspringen die Wimpern.

3. Die sog. „*Excretkörner*“ im *Endoplasma* von *Opalina ran.* vermehren sich durch direkte Theilung und die mikrochemischen Reaktionen ergeben, dass sie keine *Excretkörner* sind.

4. Zell- und Kerntheilung von *Oplina ran.* stehen in keinem nachweisbaren Zusammenhang.

Es wurde neben Quertheilung vielfach typische Längstheilung beobachtet. Weiterhin sind alle Uebergänge von einer typischen Theilung bis zur Knospung nachweisbar. Conjugationen fanden, trotzdem die *Opalinen* daraufhin mehrere Jahre beobachtet wurden, niemals bei den vielkernigen Individuen im *Rectum* von *Rana temporaria* statt. Sie wurden bei soeben aus der Cyste ausgeschlüpfen einkernigen *Opalinen* im Enddarm der Kaulquappe angetroffen.

5. Die Kerntheilung muss als Karyokinese angesehen werden, da sowohl Chromosomen und Spindelbildung als auch Polplatten auftreten. Centrosomen resp. Polkörperchen wurden niemals aufgefunden. Neben der indirekten kommt bisweilen auch direkte Kerntheilung vor.

Am 13. Juli 1898 berichtete ferner Herr Schenck:

Ueber die innere Reibung der krystallinischen Flüssigkeiten.

Die krystallinischen Flüssigkeiten werden allgemein aufgefasst als Krystalle mit kleiner, innerer Reibung, Messungen dieser Grösse sind bisher noch nicht ausgeführt, obgleich die Kenntniss derselben wichtige Aufschlüsse über die Natur dieser höchst merkwürdigen flüssigen Modificationen erhoffen lässt.

Der Vortragende hat diese Lücke ausgefüllt und die Beiträge der inneren Reibung am *p*-Azoxyanisol und beim Cholesterylbenzoat gemessen. Die Bestimmungen geschahen in bekannter Weise mit der von Ostwald vorgeschlagenen Form der Reibungsröhren. Die genannten Körper wurden bei verschiedenen Temperaturen untersucht und zwar in beiden flüssigen Modificationen, in der anisotropen und in der isotropen, so dass direkte Vergleiche der beiden Flüssigkeitsarten möglich sind. Die Ergebnisse sind die folgenden: es bedeutet *t* die Temperatur der Messung, η die relative innere Reibung bezogen auf die Zähigkeit des Wassers bei 0°, welche gleich 100 gesetzt wird.

p-Azoxyanisol.

<i>t</i>	η	
118,5	141,4	} anisotrope Flüssigkeit
121,5	188,3	
131,1	181,7	
136,5	172,0	} isotrope Flüssigkeit.
151,8	138,6	

Cholesterylbenzoat.

<i>t</i>	η	
153,3	892,8	} anisotrop
169,2	620,7	
180,5	420,7	} isotrop.
216,0	218,7	

Beim *p*-Azoxyanisol sehen wir, dass die flüssigen Krystalle bedeutend weniger zähe sind, als die isotrope Modification, ein Verhalten, welches gänzlich unerwartet war.

Endlich spricht am 13. Juli 1898 Herr E. Korschelt über:

Regenerations- und Verwachsungsversuche an Regenwürmern.

Zur Vervollständigung der wenigen, in ihren Ergebnissen bereits früher an dieser Stelle mitgetheilten Regenerationsversuche an verschiedenen Lumbricidenspecies wurde seither eine grössere Zahl von Versuchen unternommen, durch welche jene Ergebnisse bestätigt und erweitert werden konnten. Es zeigten sich thatsächlich Theilstücke aus jeder Körpergegend bis zu einem gewissen Grade regenerationsfähig und von einigen dieser Stücke wurde die volle Segmentzahl des Wurmes wieder ergänzt. Solche wie auch Theilstücke aus den verschiedenen Körpergegenden werden im lebenden und conservirten Zustand vorgelegt, desgleichen werden Schnitte durch jüngere regenerirte Stücke demonstriert, um den Bau der Regenerate im Gegensatz zum Theilstück zu erläutern.

Die Verwachsungsversuche wurden ebenfalls fortgesetzt und es kann eine grosse Zahl von auto-, homo- und heteroplastischen Vereinigungen in normaler Stellung, Drehung um 180° , in gleich und entgegengesetzt gerichtetem Sinne (vereinigte Kopf- oder Schwanzenden), seitliche Einpflanzung von Kopf- oder Schwanzstücken, Parallelvereinigungen u. s. w. vorgelegt werden. Besonderer Werth wurde wegen der im ausgedehnten Masse angestellten Reizleitungsversuche auf die Vereinigung gleichnamiger Pole und auf die Einschiebung eines Mittelstücks zwischen zwei Hinterstücke gelegt. Desgleichen wurde eine grosse Zahl von Versuchen über die Vereinigung von Theilstücken verschiedener Arten angestellt. Obwohl dieselben bedeutend schwieriger auszuführen und am Leben zu erhalten sind, gelang doch eine Reihe von Versuchen und einige derselben wurden ebenfalls bei dieser Gelegenheit demonstriert.

Die Zusammenfügung und Verwachsung der verschiedenen Organe wurde durch einige Schnittserien erläutert. Genaueres über die Regenerations- und Transplantationsversuche soll an anderer Stelle mitgeteilt werden.

Aufgelegte Schriften:

29. Jahrgang des naturwissenschaftlichen Vereins in Greifswald.
Berlin 1898.
- Leopoldina, Heft XXIV, Nr. 2—6.
Zeitschrift für Naturwissenschaften, Bd. 70, Heft 4—6.
Leipzig 1898.
- Hedwigia, Bd. 36. Inhaltsverzeichniss.
Dresden 1897.
- Verhandlungen der K. K. geologischen Reichsanstalt 1897,
Nr. 17 u. 18. — 1898, Nr. 1—8.
- XXII. Jahresbericht der Gewerbeschule in Bistritz.
Bistritz 1897.
- Korrespondenzblatt des Naturforscher-Vereins zu Riga. Bd. 40.
Riga 1898.
- Bericht über die Thätigkeit der St. Gallischen naturwissenschaftlichen Gesellschaft. 1895/96.
St. Gallen 1897.
- Rendiconti dell' Accademia della Scienze fisiche e matematiche.
Ser. 3, Vol. IV, fasc. 1—5.
Napoli 1898.
- Rendiconti della R. Accademia dei Lincei. Vol. VII, fasc. 3—12,
Vol. VIII, fasc. 1.
Roma 1898.
- Atti della R. Accademia dei Lincei. Anno 295. — Rendiconti
dell' Adnanza solenne. 12/6 1897.
Roma 1898.
- Journal of the New York Microscopical Society. Vol. XIV, Nr. 1.
New York 1897.
- Proceedings of the Royal Society of New South Wales. November,
December 1897.
- 16th Annual Report of the Bureau of American Ethnology. 1894/95.
- 8th Report of the Missouri Botanical Garden. St. Louis 1897.
- Proceedings of the Academy of Natural Sciences of Philadelphia.
1897, Part. II u. III.
Philadelphia 1897.
- Proceedings of the American philosophical Socie y. Vol. XXXV,
Nr. 153, 155. Vol. XXXVI, Nr. 156. Philadelphia 1897/98.
- Proceedings of the Boston Society of natural History. Vol. 28,
Nr. 1—5.
Boston 1897.
- The American Naturalist. Vol. XXXII, Nr. 373—377.
Boston 1898.

Sitzungsberichte

der Gesellschaft zur Beförderung der gesammten Naturwissenschaften

zu

M a r b u r g.

N^{ro.} 7

August

1898

In der wissenschaftlichen Sitzung vom 5. August 1898 sprach
Herr Karl Schaum:

Über Energienumwandlung im galvanischen Element.

Bald nach der Aufstellung des Prinzips von der Erhaltung der Energie hat man die Frage aufgeworfen: Woher stammt die elektrische Energie, welche uns ein galvanisches Element liefert? Im Anfang der fünfziger Jahre haben W. Thomson und Helmholtz die Frage dahin beantwortet, dass die chemische Energie der im Element bei Stromschluss sich abspielenden Vorgänge, gemessen durch die Wärmetönung, quantitativ in elektrische Energie übergehe. Da die elektrische Energie ausgedrückt wird durch das Produkt aus ihrem Kapazitätsfaktor ϵ , der Elektrizitätsmenge, und dem Intensitätsfaktor π , der elektromotorischen Kraft, so wäre die energetische Gleichung für das galvanische Element, wenn Q die Wärmetönung des chemischen Vorgangs bezeichnet:

$$\epsilon \pi = Q. \quad (1)$$

Da die Messungen, welche am Daniellelement vorgenommen wurden, diese Gleichung rechtfertigten, zweifelte man nicht an ihrer Richtigkeit, bis vor etwa 16 Jahren experimentelle und theoretische Untersuchungen von Gibbs, Braun und Helmholtz ihre Unhaltbarkeit bewiesen und die Gleichung

$$\epsilon \pi = Q + \epsilon T \frac{d\pi}{dT} \quad (2)$$

für das galvanische Element aufstellten. Diese Formel ergibt sich aus der Anwendung des Helmholtzschen Satzes über die „freie Energie“, welcher lautet: „Bei jedem Naturvorgang ist die Abnahme der freien Energie, d. h. die Arbeit, welche der Vorgang zu leisten vermag, gleich der Abnahme der Gesamtenergie plus dem Produkt aus der absoluten Temperatur, bei welcher der Vorgang sich abspielt, und der Änderung der freien Energie mit der Temperatur“.

Dass die Formel (1) nicht richtig sein kann, werden folgende Betrachtungen erweisen. Während ein grosser Teil galvanischer Elemente wie

das Danielllement $Zn \mid ZnSO_4 \mid CuSO_4 \mid Cu$,
 das Oxydationselement $Pt \mid SnCl_2 \mid FeCl_3 \mid Pt$,
 das Gaselement $Pt \mid H_2 \mid O_2 \mid Pt$

chemische Energie umzuwandeln vermögen, sind andere Elemente wie

die Konzentrationskette $Ag \mid AgNO_3 \text{ konz.} \mid AgNO_3 \text{ verd.} \mid Ag$ dazu garnicht im Stande; denn die Wärmetönung des im letzten Element sich abspielenden Vorganges ist gleich 0. Trotzdem liefert uns ein solches Element sehr wohl elektrische Energie nach der Formel

$$\epsilon \pi = \epsilon T \frac{d\pi}{dT}, \quad (3)$$

und zwar arbeitet das Element auf Kosten der Wärme der Umgebung; es ist also vergleichbar den Maschinen, welche durch Expansion komprimierter Gase betrieben werden, während wir die anderen Elemente vielleicht mit den Gasexplosionsmaschinen vergleichen dürfen.

Die Helmholtzsche Formel (2) gibt uns die energetische Beziehung für das galvanische Element; sie gestattet uns die Berechnung der elektromotorischen Kraft des Elementes aus der Wärmetönung Q und dem Temperaturkoeffizienten $\frac{d\pi}{dT}$; den

fast 100jährigen Streit über den Sitz der elektromotorischen Kraft zu entscheiden und den Mechanismus der Stromerzeugung zu erklären, hat aber erst die osmotische Theorie des galvanischen Elementes, welche wir Nernst verdanken, vermocht.

Wenn ein Strom im Schliessungskreis sich bewegen soll, muss vor allem das Element eine elektromotorische Kraft besitzen, d. h. es muss eine Potentialdifferenz zwischen den beiden Elektroden bestehen. Diese müssen also entweder ungleichnamige oder ungleich grosse gleichnamige elektrische Ladungen tragen. Auf welche Weise die elektrische Ladung der Elektroden zu stande kommt, hat Nernst vom Standpunkt der Theorien der Lösungen und der elektrolytischen Dissoziation erklärt.

Vor etwa 13 Jahren hat van t'Hoff den Beweis erbracht, dass die gelösten Molekeln innerhalb des Lösungsmittels die gleiche Rolle spielen, wie die Molekeln im begrenzten Gasraum, dass man also die Gasgesetze auf die Lösungen übertragen kann. Zwischen einem festen Stoff und seiner Lösung besteht nur Gleichgewicht, wenn der sogenannte osmotische Druck der gelösten Molekeln so gross ist, wie der dem Dampfdruck analoge Lösungsdruck des festen Körpers. Ferner hat Arrhenius gezeigt, dass die Elektrolyte, nämlich die Salze, Säuren und Basen, in wässriger Lösung zum Teil in Ionen zerfallen, d. h. in Teilmolekeln, welche je nach ihrem metallischen oder nicht-metallischen Charakter soviel äquivalente positive oder negative elektrische Ladungen tragen, als sie freie Valenzen haben. Nach der Nernstschen Theorie besitzen nun die Metalle sowie gewisse andere Elemente (wie H_2 , O_2 , Cl_2 , wenn sie in Berührung mit indifferenten Metallen sind) einen elektrolytischen Lösungsdruck, d. h. die Fähigkeit, Ionen in die sie umgebende Flüssigkeit auszusenden. Eine Elektrode sendet nur dann keine Ionen in die Flüssigkeit, wenn der osmotische Druck p der Ionen, welche mit den auszusendenden identisch sind, ebenso gross ist wie der elektrolytische Lösungsdruck P der Elektrode. Ist dagegen $P > p$, so treten Ionen aus und die Elektrode nimmt die der Ionenladung entgegengesetzte elektrische Ladung an; ist $p > P$, so scheiden sich Ionen unter Abgabe ihrer Ladungen auf der Elektrode ab, diese nimmt daher eine mit der Ionenladung gleich-

namige Ladung an. Die geschilderten Vorgänge verlaufen nun aber nicht wie bei elektrisch indifferenten Stoffen bis zur Gleichheit von P und p , vielmehr wird schon lange vorher unter Mitwirkung der elektrostatischen Anziehung zwischen der Elektrode und den im Überschuss vorhandenen entgegengesetzt geladenen Ionen Gleichgewicht herbeigeführt. Vereinigt man zwei Elektroden, welche verschiedene Potentialdifferenzen gegenüber der sie umspülenden Flüssigkeit besitzen, so erhalten wir, da die Elektrizität vom höheren Potential zum niederen überzugehen strebt, beim Schliessen einen elektrischen Strom. Wenn während des Stromdurchganges an der einen Elektrode, die wir als Kathode bezeichnen, ein Grammion Substanz unter Bildung positiver Ionen in Lösung gegangen ist, so sind nach dem Faradayschen Gesetz $n \epsilon_0$ Coulombs durch den Stromkreis gegangen, wenn n die Wertigkeit des Kations und ϵ_0 die 96540 Coulombs, die von einem Grammaequivalent getragen werden, bedeutet. Die Arbeitsleistung dieses Vorgangs können wir mit Hilfe der ja für die Lösungen gültigen Gasgesetze berechnen; da ein Grammion vom Lösungsdruck P zum osmotischen Druck p übergegangen ist, haben wir die Arbeitsleistung

$$A = R T \ln \frac{P}{p}$$

erhalten. Bezeichnen wir die Potentialdifferenz an dieser Elektrode mit Π , die Wertigkeit des Kations mit n , so ist in elektrischem Mass die Arbeitsleistung

$$n \epsilon_0 \Pi = R T \ln \frac{P}{p}. \quad (4)$$

An der andern Elektrode, der Anode, spielt sich der umgekehrte Vorgang ab; ein dem Grammion der Kathodensubstanz entsprechende Menge positiver Ionen, die, wenn n' die Wertigkeit derselben bezeichnet, sich zu $\frac{n}{n'}$ berechnet, ist vom Druck p' zum Druck P' übergegangen; zu dieser „Kompression“ muss die Arbeit

$$A' = \frac{n}{n'} R T \ln \frac{P'}{p'}$$

aufgewendet werden; ist $p' > P'$, so wird der Arbeitsaufwand negativ, also zur Arbeitsleistung. In elektrischem Mass lautet der Arbeitsaufwand

$$n \varepsilon_0 \Pi' = \frac{n}{n'} R T \ln \frac{P'}{p'}, \quad (5)$$

wenn Π' die Potentialdifferenz an der Anode bezeichnet. Durch Subtraktion der Gleichung (5) von Gleichung (4) erhalten wir die Arbeitsleistung des ganzen Systems zu

$$n \varepsilon_0 (\Pi - \Pi') = R T \ln \frac{P}{p} - \frac{n}{n'} R T \ln \frac{P'}{p'}.$$

Beim Durchgang von 96540 Coulombs erhalten wir demnach die elektrische Energie

$$\varepsilon_0 \pi = \frac{R T}{n} \ln \frac{P}{p} - \frac{R T}{n'} \ln \frac{P'}{p'}; \quad (6)$$

π bedeutet die elektromotorische Kraft des Elementes. Ostwald hat gezeigt, dass diese Gleichung sich in die Formel (2) überführen lässt, ein glänzender Beweis für die Vorzüglichkeit der Nernstschen Theorie. Der sich aus Formel (2) und (6) ergebende Ausdruck

$$\frac{R T}{n} \ln \frac{P}{p} - \frac{R T}{n'} \ln \frac{P'}{p'} = Q + \varepsilon_0 T \frac{d\pi}{dT}$$

lässt erkennen, dass ein galvanisches Element dann ohne Wärmetönung arbeitet und keinen Temperaturkoeffizienten $\frac{d\pi}{dT}$ besitzt,

wenn die Wärmetönung des chemischen Vorganges zur Leistung der auf der linken Seite stehenden osmotischen Arbeit gerade ausreicht. Ist letztere grösser als Q , so arbeitet das Element

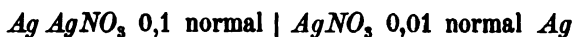
unter Wärmeverbrauch, kühlt sich also ab, $\frac{d\pi}{dT}$ ist alsdann positiv; ist dagegen Q grösser, so giebt das Element beim Stromdurchgang Wärme ab, $\frac{d\pi}{dT}$ ist negativ.

Wenden wir uns nun zur Betrachtung solcher Ketten, welche keine Wärmetönung besitzen, sondern lediglich auf Kosten der Wärme der Umgebung arbeiten. Die elektromotorische Kraft derselben ist, wie aus der Formel (3)

$$\pi = T \frac{d\pi}{dT}$$

hervorgeht, der absoluten Temperatur proportional. In Wirklichkeit wird Q allerdings kaum jemals 0, da sich schwer mit solch verdünnten Lösungen arbeiten lässt, welche beim Vermischen gar keine Wärmetönung geben; doch können wir uns dem Nullwert ziemlich nähern und wollen annehmen, dass wir es im folgenden mit solchen Bedingungen zu thun haben; auch wollen wir die „Diffusionskette“ an der Berührungsstelle der Elektrolyte, deren Wert man künstlich sehr herabdrücken kann, ausser Acht lassen.

Die Konzentrationskette



liefert uns beim Stromdurchgang von 96540 Coulombs nach Formel (6) die Arbeit

$$\varepsilon_0 \pi = R T \ln \frac{p'}{p} = R T \ln \frac{0,1}{0,01},$$

da $n = n' = 1$, $P = P'$ und $\frac{p'}{p}$ annähernd $= \frac{0,1}{0,01}$ ist.

Allgemein gilt die Formel

$$\varepsilon_0 \pi = \frac{R T}{n} \ln \frac{p'}{p}; \quad (7)$$

die Arbeitsleistung einer Konzentrationskette und ebenso die elektromotorische Kraft ist also nur von der Wertigkeit der Ionen und dem Konzentrationsverhältnis derselben, nicht von ihrer chemischen Natur abhängig.

Im folgenden möchte ich eine Art von Ketten besprechen, welche den Konzentrationsketten ähnlich sind, und deren Studium ich nach längerer Unterbrechung vor kurzem wieder aufgenommen habe.

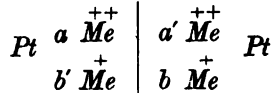
Nicht nur die Vorgänge der Ionenbildung oder -entladung können elektromotorisch wirksam werden, sondern auch die Ladungsvermehrung oder -verminderung der Ionen mit wechselnder Wertigkeit. Da die Oxydationsmittel das Bestreben haben, die positive Ladung ihrer Kationen zu vermindern resp.

die negative Ladung ihrer Anionen zu vermehren, und die Reduktionsmittel die entgegengesetzte Neigung haben, so kann man aus einem Oxydations- und einem Reduktionsmittel unter Zuhilfenahme unangreifbarer Elektroden galvanische Elemente konstruieren. In der Kette



nimmt das Stannoion zwei positive Ladungen auf, welche zwei Ferriionen abgeben und dem Stannoion durch den Draht hindurch übermittelt werden; die Chlorionen, welche auf der linken Seite überschüssig werden, wandern nach rechts hinüber.

Bilden wir nun eine Kette aus einem Oxydationsmittel und dem aus demselben entstehenden Reduktionsmittel, so erhalten wir ein Element, welches lediglich auf Kosten der Wärme der Umgebung arbeitet und dessen elektromotorische Kraft der absoluten Temperatur proportional sein muss, da ja Q gleich 0 ist. Die elektromotorische Kraft einer solchen Oxyd-Oxydulkette lässt sich auf osmotischem Wege leicht berechnen. Haben wir die Kombination



d. h. einerseits a Grammionen eines zweiwertigen Metalles und b' Grammion der einwertigen Ionen desselben Metalls, andererseits a' zweiwertige und b einwertige Ionen, und ist a resp. $b > a'$ resp. b' , so ist nach dem Durchgang von 96540 Coulombs ein Grammion $\overset{++}{Me}$ vom osmotischen Druck a zum osmotischen Druck a' und ein Grammion $\overset{+}{Me}$ vom Druck b zum Druck b' übergegangen. Beide Arbeitsleistungen addieren sich zur Gesamtleistung des Systems, welche demnach

$$\epsilon_0 \pi = R T \left(\ln \frac{a}{a'} + \ln \frac{b}{b'} \right) \quad (8)$$

ist. Beträgt die Ladungsdifferenz der Ionen 2, so ist die Arbeitsleistung und die elektromotorische Kraft nur halb so gross. Überhaupt sind diese nur von der Ladungsdifferenz und dem

Konzentrationsverhältnis der Ionen, nicht von deren chemischen Natur abhängig.

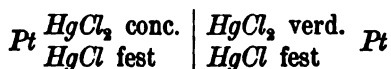
Wenn $\frac{a}{a'} = \frac{b}{b'}$ ist, so lautet die Gleichung

$$\varepsilon_0 \pi = 2 R T \ln \frac{a}{a'}. \quad (9)$$

Diese Oxyd-Oxydulketten repräsentieren gewissermassen doppelte Konzentrationsketten. Wir können sie auf den Typus der gewöhnlichen Konzentrationsketten bringen, wenn wir eine der beiden Ionenarten auf beiden Seiten in gleicher Konzentration, z. B. in gesättigter Lösung anwenden; ist beispielsweise $b = b'$, so lautet die Gleichung

$$\varepsilon_0 \pi = R T \ln \frac{a}{a'}, \quad (10)$$

also gerade so, wie die Formel für die Konzentrationsketten mit angreifbarer Elektrode. Eine solche Kette wäre die Kombination



Beim Stromdurchgang wird festes HgCl von rechts nach links transportiert, womit keine Arbeitsleistung verknüpft ist; diese wird nur von der Überführung der Hg^{++} -Ionen von links nach rechts geliefert. Solche Ketten wären für die Praxis sehr bequem, da die Menge des chemischen Komponenten sich nicht ändert und dieselben sich leicht trennen lassen; doch nimmt die an und für sich geringe elektromotorische Kraft sehr schnell ab.

Experimentelle Untersuchungen über Ferri-Ferrocyan-Elektroden, welche ich vor längerer Zeit begonnen hatte, sind aus äusseren Gründen unterbrochen und bisher nicht veröffentlicht worden. Die Werte für die Potentialdifferenz solcher Elektroden, welche mit Hilfe der Ostwaldschen Normalelektrode $\text{Hg} \mid \text{HgCl} = -0,56$ Volt bestimmt wurden, waren folgende:

	N	π
I.	$\frac{21,95}{0,31} = 70,12$	0,829
II.	$\frac{20,25}{2,26} = 7,84$	0,765
III.	$\frac{15,19}{7,20} = 2,11$	0,729
IV.	$\frac{11,39}{10,23} = 1,09$	0,716
V.	$\frac{9,38}{11,96} = 0,78$	0,704
VI.	$\frac{7,81}{12,82} = 0,61$	0,696
VII.	$\frac{6,02}{14,31} = 0,42$	0,688

Der Zähler der Brüche unter N giebt den 1000 fachen Normalgehalt an Ferricyanionen, der Nenner den 1000 fachen Gehalt an Ferrocyanionen an; die Zahlen wurden aus der Leitfähigkeit berechnet und können nur annähernd richtig sein.

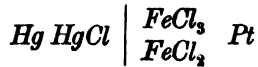
Die elektromotorische Kraft der Kombinationen je zweier Ferri-Ferrocyan-Elektroden, wie sie aus diesen Zahlen folgt und wie sie aus Formel (8) sich berechnet, ist in folgender Tabelle angeführt:

	Beob.	Ber.
I.—IV.	0,113	0,103
II.—V.	0,061	0,058
III.—VI.	0,033	0,031
IV.—VII.	0,028	0,024

In anbetracht der nur annähernd durchführbaren Rechnung ist die Übereinstimmung ganz befriedigend. Der Temperaturkoeffizient einer Ferri-Ferrocyan-Kette, welchen ich kürzlich über ein Intervall von 60° bestimmte, ergab einen um ca. 7% zu grossen Wert.

Die graphische Darstellung der absoluten Potentiale einer Oxyd-Oxyd-Elektrode lässt eine logarithmische Kurve erkennen. Neuerdings hat Peters¹⁾ gezeigt, dass dieselbe bilogarithmisch verläuft. Peters stellt für die Kette

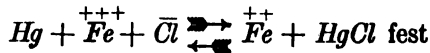
1) Zeitschrift für phys. Chemie XXVI, 193.



die Formel

$$\varepsilon_0 \pi = R T \ln K + R T \ln \frac{c_i}{c_o} \quad (10)$$

auf, in welcher K die Gleichgewichtskonstante der Strom liefernden Reaktion



und $\frac{c_i}{c_o}$ das Konzentrationsverhältnis der Ferri- zu den Ferroionen bedeutet. Stellt man diese Gleichung für zwei Ketten mit verschiedenen Ferri-Ferroelektroden auf und subtrahiert dieselben, so erhält man die von mir auf osmotischem Wege abgeleitete Formel (8). Peters hat gezeigt, dass man K leicht finden kann, wenn man die elektromotorische Kraft der Kette, in welcher $\frac{c_i}{c_o} = 1$ ist, bestimmt; es ist dann

$$\frac{\varepsilon_0 \pi}{R T} = \ln K;$$

man kann also die Messung elektromotorischer Kräfte bequem zur Ermittlung von Gleichgewichtskonstanten benutzen. Peters hat für die von ihm untersuchte Reaktion $K = 10^{7.43}$ berechnet; für die von mir studierte Reaktion ergibt sich aus meinen Messungen $10^{2.61}$. Die elektromotorische Kraft der Ketten wird also null sein, wenn das Verhältnis der Ferri- zu den Ferroionen gleich $1 : 10^{7.43}$ und das Verhältnis der Ferricyan- zu den Ferrocyanionen gleich $1 : 10^{2.61}$ ist.

Wir dürfen meines Erachtens die Peterssche Gleichung noch zu folgender Berechnung anwenden. Wenn die elektromotorische Kraft der Ketten gleich 0,56 ist, also allein durch die Potentialdifferenz an der Normalelektrode bedingt wird, ist die Potentialdifferenz an der anderen Elektrode gleich null. Wenn wir die Substanz der festen Elektrode als völlig indifferent ansehen (was in Wirklichkeit bei keiner Substanz zutrifft), so wäre die Potentialdifferenz an dieser gleich null, wenn das Verhältnis der Ferri- zu den Ferroionen gleich $1 : 10^{17.17}$, das der Ferricyan- zu den

Ferricyanionen gleich $1:10^{12,25}$ ist. Meiner Ansicht nach bedeutet dies, dass beispielsweise das Bestreben des Ferriions, eine positive Ladung abzugeben, $10^{17,17}$ mal so gross ist als das Bestreben des Ferroions, eine solche aufzunehmen.

Wie wir gesehen haben, besitzen wir in den galvanischen Elementen Vorrichtungen, welche uns ermöglichen, aus chemischer und aus osmotischer Energie elektrische Energie zu gewinnen. Absichtlich wurden nur „umkehrbare“ Elemente betrachtet, d. h. solche, welche beim Durchgang des Stromes in einer oder der andern Richtung ihren Charakter nicht ändern. Es erscheint mir angebracht, zum Schluss die Grundbedingung für die Möglichkeit der Gewinnung elektrischer Energie aus chemischer und osmotischer Energie, welche bei den besprochenen Systemen stets erfüllt war, besonders hervorzuheben. Wenn wir Zink in Kupfersulfat auflösen oder Zinnchlorür durch Behandeln mit Eisenchlorid oxydieren, so können wir die chemische Energie nicht als elektrische Energie gewinnen. Die Übertragung der elektrischen Ladungen darf nicht unmittelbar geschehen, vielmehr muss sie mittelbar durch den Schliessungsdraht des Elementes erfolgen; die Vorgänge müssen räumlich getrennt sein. Ganz das gleiche gilt für die Konzentrationsketten (und die denselben ähnlichen Oxyd-Oxydulketten). Das Vermischen ungleich konzentrierter $AgNO_3$ -Lösungen liefert uns keine Arbeit; der Vorgang des Konzentrationsausgleiches ist nur dann elektromotorisch wirksam, wenn er durch Ladungsübertragung mittels des Schliessungsdrahtes geschieht: in der konzentrierten Lösung geben Ionen ihre Ladung an die Elektrode ab; diese Ladungen werden durch den Draht der andern Elektrode übermittelt und ermöglichen dort die Bildung neuer Ionen. Dadurch verdünnt sich allmählich die konzentrierte Lösung, während der Gehalt der verdünnten zunimmt.

In der Sitzung vom 5. August 1898 berichtete Herr C. Saint-Hilaire aus St. Petersburg (als Gast)

Ueber einige mikrochemische Reaktionen.

Als ich unter der Leitung des Herrn Prof. Kossel, dem ich bei dieser Gelegenheit meinen herzlichen Dank ausspreche, die mikrochemischen Reaktionen studierte, versuchte ich unter anderem eine Methode zu finden, die Harnsäure in loco zu bestimmen. Nach dem Rathe des Herrn Prof. Kossel habe ich dazu das schwerlösliche Salz der Harnsäure mit Kupferoxydul angewandt. Kupferoxydul wird aus der Lösung durch Harnsäure aufgenommen und dort fixirt, wo Harnsäure in den Geweben abgelagert ist. Das fixirte Kupfer kann durch Ferrocyankalium nachgewiesen werden. Das ferrocyanwasserstoffsäure Kupferoxydul oxydirt sich ziemlich schnell zu dem rothbraun gefärbten Oxydsalz. Man erhält also einen lebhaft rothen Farbenton an den Harnsäure enthaltenden Gewebstheilen. In der That habe ich ziemlich gut gelungene Präparate der Niere von *Helix pomatia* und des Infarcts der Kinderniere erhalten.

Die Methoden waren folgende: 1) Die Präparate waren mit Alkohol gehärtet, in Celloidin eingebettet und in Schnitte zerlegt worden. Die Schnitte wurden für einige Stunden in die Kupfersulfatlösung (10—5 %, gelegt, dann direkt in eine siedende gesättigte Lösung von Natriumbisulfid für 1—2 Minuten übertragen. Hierdurch wird die Reduktion des Kupferoxyd's und damit die Bildung des schwer löslichen harnsauren Kupferoxyduls bewirkt. Die Präparate werden jetzt sorgfältig ausgewaschen und endlich mit einer Lösung von Ferrocyankalium behandelt.

2) Die Schnitte werden in eine alkalische Kupferoxydul-lösung gebracht, welche durch Auflösen von Natriumhyposulfit, Seignettesalz und Kupfersulfat (nach dem Recept von Arthaud und Butte) bereitet war und der ein Zusatz von Natriumcarbonat gemacht war, um eine schwach alkalische Reaction hervorzurufen. Nach sorgfältigem Ausspülen mit Wasser wurden die Schnitte in Ferrocyankaliumlösung übertragen.

Die beiden Methoden geben fast gleiche Resultate; die

Harnsäureconcremente sind roth gefärbt. An einigen Präparaten aber machte ich die Bemerkung, dass auch das Chromatinnetz der Zellkerne gefärbt war. Zuerst glaubte ich, es hänge von der Gegenwart des Adenins oder anderer Basen, welche auch die Kupferoxydulverbindung geben, ab, aber das nähere Studium hat diese Vermuthung nicht bestätigt.

Um die Natur des fraglichen Stoffes zu ergründen, modificierte ich die Methoden und fand, dass die Kernfärbung ebenso intensiv wird, wenn man an Stelle der Arthaud'schen Lösung zunächst eine Kupfersulfatlösung (0,3 %) und dann eine Natriumcarbonatlösung (2 %) einwirken lässt, oder wenn man die violette alkalische Lösung anwendet, welche man erhält, wenn man Pepton mit Natronlauge und Kupfersulfat versetzt. Kupfersulfat allein giebt nur eine diffuse Färbung, die Gegenwart von Alkali ist also nothwendig. Das alles beweist, dass die Kernfärbungsreaction andersartig ist, als die oben geschilderte Harnsäurereaction. Sie hängt nicht von der Gegenwart des Kupferoxyduls ab, sondern wird durch Kupferoxydsalz bei Gegenwart von Alkali hervorgerufen. Die Bindung des Kupfers erfolgt also ebenso wie bei der Biuretreaction. Wir sind berechtigt, sie als eine modifizierte Biuretreaction zu betrachten und zunächst auf diejenigen Bestandtheile der Gewebe zu beziehen, welche die Biuretreaction geben.

Es muss bemerkt werden, dass die Reaction nicht unter allen Bedingungen gleichmässig gelingt. Wenn man die Schnitte vorher mit verschiedenen Stoffen bearbeitet, so verhindern einige derselben die Reaction, andere dagegen verstärken sie. Zu den ersteren gehören z. B. Mineralsäuren und kochendes Wasser, nach dessen Einwirkung (5 Minuten) die Kernfärbung gar nicht zu Tage kommt; zu den letzteren — Natriumphosphat, Ammoniumchlorid, Kalkwasser, Natriumcarbonat und besonders Ammoniak. Im Falle der Auflösung der fraglichen Stoffe zum Beispiel im Wasser, wird anstatt des Kernes das Protoplasma gefärbt, aber das Chromatinnetz ist nicht zerstört, da es noch mit Haematoxylin gefärbt werden kann. Wenn wir die Schnitte mit Spuren von Ammoniak kochen, so bekommen wir die Kernfärbung. An frischen Geweben konnte ich die

Reaction nicht hervorbringen, vielmehr ist vorhergehende Fixirung nöthig. Diese kann durch verschiedene Stoffe bewirkt werden, z. B. Alcohol, Sublimat, auch Kupfersulfat (10 %) u. a. Es fragt sich nun, welcher Bestandtheil des Kerns giebt zu dieser Reaction Veranlassung? Die Aufmerksamkeit muss hier sofort auf das Histon gelenkt werden. Dieses nimmt, wie die Biuretreaction beweist, Kupferoxyd in alkalischer Lösung auf. Es ist in Wasser und in Säuren löslich, durch Ammoniumchlorid, Magnesium- und Ammoniumsulfat, Natriumcarbonat und Natronhydrat fällbar; und vor Allem wird es durch Ammoniak niedergeschlagen, was die Wirkung des Ammoniaks bei dieser Färbungsmethode gut erklärt. Die Fixirung, welche sich bei den Präparaten als nothwendig erwiesen hat, ist wohl in der Weise aufzufassen, dass das Histon gefällt wird. Hierbei wird es schwer löslich, bewahrt aber sein Bindungsvermögen für Kupfer.

Die eben beschriebene Reaction ist an sehr verschiedenen Objecten geprüft worden, und hat mit wenigen Ausnahmen positive Resultate gegeben.

In derselben Sitzung (5. August 1898) legte der zeitige Director der Gesellschaft, Herr F. Marchand vor:

**Mikroskopische Präparate von zwei frühzeitigen
menschlichen Eiern und einer Decidua.**

Das eine Ei war mit der dazugehörigen Eikapsel durch Ausschabung erhalten und in frischem Zustand in Flemming'scher Lösung fixirt worden, während das andere in der Decidua capsularis durch Abort ausgestossen war. (Durch Herrn Prof. Krukenberg in Bonn erhalten).

Ad 1. Das Ei, welches leider durch Abtrennung eines Theiles nicht mehr vollständig ist, hatte die Grösse einer Erbse oder kleinen Bohne. Das Ei ist allseitig mit Zöttchen besetzt, welche eine sehr schön erhaltene, continuirliche Zellschicht mit Mitosen und einen Syncytiumüberzug mit zahlreichen Fetttröpfchen und sehr deutlichem Borstenbesatz besitzen.

Das Epithel zeigt ein sehr verschiedenes Verhalten der beiden Schichten zu einander, sowohl was Zahl und Grösse der Zellschichtzellen, als Ausbildung des Syncytium betrifft. Im Allgemeinen ist letzteres um so stärker entwickelt, je mehr die Zellschicht zurücktritt und umgekehrt.

Die Untersuchung der „Zellknoten“ dieses Eies zeigt Verhältnisse zwischen den beiden Bestandtheilen, welche für die Ansicht Kastschenko's von einer Zusammengehörigkeit beider zu sprechen scheinen, indem man an dem Syncytium eine Anflösung in Zellen beobachten kann, welche sich von denen der Zellschicht nicht deutlich unterscheiden.

Sichere Anhaltspunkte für eine etwaige Entstehung des Syncytium aus mütterlichen Elementen konnten bei der Untersuchung der Eikapsel nicht gefunden werden.

An dem Chorion desselben Eies befindet sich genau an der Stelle, wo an der Innenseite ein allerdings nur mangelhafter Rest einer Embryonalanlage (Hypoblastblase?) liegt, ein auf dem Querschnitt kreisförmiger Kanal, welcher mit Zellschichtzellen ausgekleidet und mit einer mehrkernigen Syncytiummasse ausgefüllt ist, und sich von dem inneren Rande durch eine Anzahl Schnitte bis an die Oberfläche verfolgen lässt, wo er sich trichterförmig erweitert. Der Vortragende glaubt dieses Gebilde als den Rest eines ursprünglichen Amnionanges deuten zu müssen.

Ad 2. Das zweite Eichen, welches mit der Kapsel in c. 450 continuirliche Schnitte zerlegt wurde¹⁾, ist durch ein Blutcoagulum in der Kapsel seitlich zusammengedrückt (grösste Länge c. 10 mm, Breite in der Mitte nur etwa 3 mm) ist aber sonst, abgesehen von einer Ablösung der Embryonalanlage, sehr gut erhalten. Von Interesse ist die noch deutlich zu übersehende Lage der Amnionhöhle, welche mit ihrem Ende ganz in dem Haftstiel des Embryo liegt; daneben lässt sich ein dünner Allantoisgang nachweisen. Auch hier findet sich an der Aussen-

1) Für die Herstellung der Schnittserien in diesen beiden Fällen ist der Vortragende seinem ehemaligen Assistenten Dr. Pels-Leusden zu Dank verpflichtet.

seite des Chorion in einiger Entfernung vom Amnion eine tiefe Einkerbung, welche vielleicht mit der ersten Bildung des Amnion zusammenhängt, da sie das Chorion in der Richtung nach dem Amnion auf eine kurze Strecke durchsetzt, jedoch in diesem Falle nicht kanalförmig.

Ad 3. Präparate von einer in Flemming'scher Lösung fixirten durch Ausschabung erhaltenen Decidua aus einem frühen Stadium der Schwangerschaft.

Zwischen den grossen, hellen, blasenförmigen Deciduazellen finden sich meist in Häufchen angeordnete kleinere polygonale Zellen mit dunklerem granulirten Protoplasma und runden ebenfalls dunkler gefärbtem Kern, Zellen, welche nicht selten auch fälschlich als Leukocyten bezeichnet worden sind, aber nichts anderes als sog. kleine Deciduazellen, d. h. Jugendformen darstellen, die durch alle Zwischenstadien in die grossen, hellen Zellen übergehen. Sowohl in den kleinen als in einigen der grösseren, hellen Zellen finden sich ziemlich zahlreiche Mitosen, welche bisher in der Decidua nicht bekannt waren. In den ganz grossen, hellen Zellen fehlen diese, dagegen kommen hier nicht selten Erscheinungen vor, welche auf direkte Kern- und Zelltheilung deuten, oft zwei Kerne in einer Zelle mit Andeutung einer Theilung des Zellkörpers. Die Chromosomen in den helleren Zellen liegen meist etwas verstreut; ihre Zahl scheint 24 zu sein.

An denselben Präparaten finden sich zwischen den Deciduazellen grosse meist spindelförmige Zellen mit grossem, dunkelgefärbten Kern und zahlreichen Fetttröpfchen im Protoplasma; sie schieben sich in wechselnder Menge zwischen die Deciduazellen und machen den Eindruck von beweglichen, das Gewebe durchwandernden Elementen. An vielen Stellen sieht man diese Zellen im unmittelbaren Anschluss an die Drüsen, deren Zellen dieselben Kernformen und den gleichen Gehalt an Fetttröpfchen in dem oft sehr unregelmässig gestalteten Zellkörper besitzen, und nicht selten spindelförmig verlängert zwischen die angrenzenden Deciduazellen einzudringen scheinen. — Das Epithel der Oberfläche ist abgeflacht, ebenfalls fettig, an einzelnen Stellen, welche der Decidua basalis anzugehören

sahen, in grössere, mehrkernige, fetttröpfchenhaltige Gebilde übergehend. (Die ursprünglichen Lagebeziehungen lassen sich an den Schnitten nicht mehr sicher feststellen).

In derselben Sitzung trug Herr Marchand, mit Vorlegung zahlreicher mikroskopischer Präparate, vor:

Ueber die Bildung der Placenta foetalis beim Kaninchen.¹⁾

Die Anlagerung des Eies an die Uterus-Schleimhaut beim Kaninchen beginnt am 8. Tage; sie vollzieht sich im Laufe der nächstfolgenden Tage im Bereiche des den Embryo umgebenden hufeisenförmigen Gebietes der Keimblase, welches sich schon vor der Anlagerung durch eine erhebliche Verdickung des Ectoderms (Ectoderm-Wulst von Kölliker) auszeichnet. Während nach den Angaben einiger Embryologen dieser Ectodermwulst bereits vor der Verbindung mit der gegenüberliegenden Oberfläche der Schleimhaut aus zwei Schichten, einer tieferen Cylinderzellen- und einer oberflächlichen plasmodialen Schicht besteht (E. van Beneden, Masius, Rabl), ist nach der sehr bestimmten Behauptung Anderer der Ectodermwulst nur aus getrennten Epithelzellen zusammengesetzt, während die plasmodiale Schicht erst nach der bereits erfolgten Vereinigung mit dem Uterus-Epithel aus diesem selbst gebildet werden soll (Strahl, Minot, Kossmann). M. Duval beschreibt eine plasmodiale Schicht des Wulstes ebenfalls erst nach erfolgter Vereinigung mit dem Uterus-Epithel, erklärt sie aber für foetaler Natur, ebenso neuerdings Maximow, der sich von dem Vorhandensein eines foetalen Plasmodium vor der Verbindung mit dem Uterus nicht überzeugen konnte.

Eine in Zenker'scher Lösung fixirte Eikammer eines Kaninchen-Uterus von genau 8×24 Stunden post coitum wurde in eine continuirliche Schnittreihe zerlegt. Die Keimblase ist nur an einer sehr kleinen Stelle an einer der Schleimhautfalten des Uterus oberflächlich mit dem Epithel verklebt, so dass einige

1) Die ausführliche Mittheilung dieser Untersuchung mit Abbildungen erscheint in den Abhandlungen der Gesellschaft.

Ectodermkerne am letzteren haften geblieben waren, während die Keimblase bei der Härtung sich etwas retrahirt hatte. Die letztere ist noch von einem Reste der Zona pellucida umgeben und liegt abgesehen von jener, nur an wenigen Schnitten sichtbaren Stelle vollständig frei. Im Bereiche des grössten Theils des Ectodermwulstes (nach vorn etwa bis zum vorderen Ende des Primitivstreifens) ist der Ectodermwulst ausgesprochen zweischichtig; die tiefere Schicht besteht grösstentheils aus hohen Cylinderzellen, an anderen Stellen aus weniger regelmässig angeordneten Zellen und ist vollkommen scharf von der oberflächlichen sehr viel dickeren plasmodialen Schicht abgegrenzt. Die Entwicklung der letzteren aus den vergrösserten, anfangs kolbenförmig hervortretenden, sodann zusammenfliessenden Ectodermzellen lässt sich mit grosser Deutlichkeit verfolgen. Der zweischichtige Ectodermwulst umgiebt in gleicher Weise das hintere Ende des Primitivstreifens.

Die Anlagerung des Eies und seine Verbindung mit der Oberfläche des Uterus kommt demnach durch Protoplasma-Verschmelzung zwischen dem ectodermalen Plasmodium und dem inzwischen ebenfalls ausgebildeten uterinen Plasmodium oder Syncytium zu Stande, worauf das letztere sehr bald grösstentheils resorbirt wird.

Die Entwicklung des uterinen Syncytium, welche in ziemlich übereinstimmender Weise von verschiedenen Autoren beschrieben wird, lässt sich schon am achttägigen Uterus im Beginn nachweisen, sodann bis zum elften Tage an den in der Nachbarschaft der Placentarstelle gelegenen Theilen der Placentarfalten, sowie am übrigen Umfang der Eikammer. Die Drüsenmündungen, welche am achten Tage noch offen sind, werden durch die stärkere Zunahme und Verschmelzung des Syncytium verschlossen, während der untere Theil der Drüsen noch mit unveränderten Cylinderzellen ausgekleidet ist.

Leider konnte Vortragender die zunächst folgenden Stadien der Verbindung der Keimblase mit dem Uterus noch nicht zur Untersuchung erhalten.

An einem in Sublimat fixirten Uterus von wahrscheinlich 9¹/₂ bis 10tägiger Dauer der Schwangerschaft, von welchem mehrere Eikammern an Serienschnitten untersucht wurden, ist die Verbindung der Keimblase mit der Placentarstelle bereits fast vollständig erfolgt, doch finden sich noch einige etwas vertiefte Stellen der Schleimhaut, welche das Ectoderm noch ohne Verbindung überbrückt.

Hier lassen sich noch zweifellose Reste des foetalen Plasmodium bereits in Verbindung mit dem uterinen Epithel nachweisen. Der Rand der Anlagerungsstelle, welcher die die Vereinigung begleitenden Veränderungen am besten erkennen lässt, verhält sich keineswegs an allen Theilen übereinstimmend. Offenbar hängt dies damit zusammen, dass nicht überall der Verbindung des Ectoderms mit der Schleimhaut die Bildung eines ectodermalen Plasmodium vorausgeht. Die mit einem solchen versehenen Theile des Ectoderms haben offenbar den ersten und wichtigsten Antheil an der Verbindung, welche sich sodann weiter auf die noch einschichtigen, wenig verdickten Theile des Ectoderms erstreckt, wie man aus dem Verhalten des an das uterine Syncytium sich anlegenden Ectoderms an sehr vielen Stellen erkennen kann. An anderen Randstellen lassen sich auch in diesem Stadium noch zweifellose Reste des ectodermalen Plasmodium in Verbindung mit der Zellschicht (Cytoblast) des Ectoderms und der Uterusschleimhaut nachweisen. Das Bestehenbleiben einer ausgedehnten plasmodialen Schicht an der Oberfläche der Schleimhaut oder gar die Ausbildung eines umfangreichen Plasmodium als Bildungsstätte der Placenta foetalis ist dagegen mit Sicherheit in Abrede zu stellen. Die die Oberfläche einnehmende ziemlich mächtige Schicht der Schleimhaut besteht vielmehr aus sehr zahlreichen getrennten Zellen und Zellenresten von verschiedener Herkunft in einer feinkörnigen und fädigen Grundsubstanz, Gefässen mit zelligen Scheiden und Resten des uterinen Syncytium, welche mehr und mehr in die Tiefen gedrängt werden, während sie in der Nähe der Ränder noch in ausgedehntem Maasse mit dem Ectoderm in Verbindung stehen.

Die weiteren Veränderungen des Ectoderm gehen, wie es

scheint, ausschliesslich oder doch grösstentheils von der Zellschicht aus, welchem die ganze Oberfläche der Placentarstelle bekleidet. Sie bestehen 1) in dem Eindringen heller Zellen in das epitheliale Syncytium und, nach Schwund desselben, in das sehr gelockerte Schleimhaut-Gewebe, 2) in der Bildung grösserer, blasiger, vielkerniger, augenscheinlich sehr weicher Massen, welche in ihrer Zusammensetzung sehr ähnlich der ursprünglichen Plasmodium-Schicht sind, 3) in der Bildung grösserer, anfangs solider, bald aber mit einem Lumen versehener Ectodermfortsätze (sog. Primordialzotten), welche z. Th. in das Syncytium, hauptsächlich aber in das lockere Zwischengewebe eindringen. Diese Fortsätze wachsen allmählich weiter in die Tiefe hinein und werden oft ohne Zusammenhang mit der Oberfläche getroffen. Das Eindringen des Ectoderms geschieht offenbar durch die eigene Thätigkeit der Ectodermzellen, durch eine aktive Wucherung derselben und beruht nicht etwa auf einer mechanischen Ausstülpung durch das wuchernde Mesoderm; erst nachträglich dringt das äusserst zarte Allantoisgewebe mit spärlichen Capillargefässen in die Hohlräume der aus Cylinderzellen gebildeten Ectodermsprossen. Das uterine Syncytium wird theils durch das vordringende Ectoderm, theils durch die wuchernden Gefässscheiden verdrängt, zerklüftet und resorbiert bis auf die unterhalb dieser Zone erhaltenen Reste.

Gleichzeitig mit der Anlagerung des Ectoderms an die Schleimhaut entwickeln sich die bereits von Godet, Masquelin und Swaen und Anderen beschriebenen Gefässscheiden aus glykogenhaltigen Zellen, welche schon am zehnten Tage fast das ganze Schleimhautgewebe im Bereiche der Placentarstelle einnehmen. Am achten Tage ist von den Glykogenzellen noch sehr wenig zu sehen, die Gefässe, auch die tiefergelegenen sind dünnwandig, aber weit; stellenweise von einer Lage noch wenig vergrösserter adventitieller Zellen umgeben. Diese vermehren sich auf mitotischem Wege, und werden durch Glykogenanhäufung blasig; auch die grossen, vielkernigen Glykogenzellen, welche besonders später die grösseren Gefässe der Placenta

uterina umgeben, sind (entgegen der Angabe von Maximow) blasige, mit einer Membran versehene Zellen, welche nicht durch Zusammenfließen von kleineren Zellen, sondern durch Vermehrung der Kerne aus solchen entstehen.

An der Oberfläche der Placentarstelle treten unmittelbar unter der oberflächlichen Zellschicht, etwas entfernt vom Rande, unregelmässig gestaltete Räume an, die theils leer (d. h. mit farbloser Flüssigkeit) theils mit Blut gefüllt sind. Diese Räume werden z. Th. sicher von Ectodermzellen der Oberfläche begrenzt, z. Th. liegen sie noch ganz im Bereiche des Ectoderms, dessen Zellen bei der Bildung der Räume in verschiedener Weise deformirt, sternförmig werden können. Andererseits liegen die Bluträume auch im Bereiche der lockeren Zellenmassen der oberflächlichen Schleimhaut; sicher kommen sie nicht durch Lückenbildung in einem homogenen foetalen Plasmodium zu Stande (Duval, Masius). Ausser diesen, einer besonderen Wandung entbehrenden Bluträumen finden sich nicht selten dicht unter der Oberfläche, an das Ectoderm angrenzend, auch in das uterine Syncytium (wo es noch erhalten ist) eingebettet, Blutcapillaren mit erhaltenem Endothel und den dasselbe umgebenden Glykogenzellen, welche indess zum grössten Theil gelockert werden und aus dem Zusammenhang gerathen. Andere Gefässe, welche aus der Tiefe emporsteigen, werden in der Nähe der Oberfläche weiter, kolbenförmig; sie verlieren ihre zusammenhängende Wandung und stehen mit den erwähnten Bluträumen in Verbindung. Man kann sich daher die Entwicklung der letzteren so vorstellen, dass zunächst in Folge seröser Durchtränkung Lakunen in der Zellschicht des Ectoderms und darunter entstehen (anscheinend aus Vacuolen oder aus blasigen Zellen hervorgehend), in welche aus den gewucherten und gelockerten Gefässen extravasirtes Blut tritt. (Es kann dabei Blut auch gleichzeitig in die noch offenen Lumina der erhaltenen oft stark ausgedehnten Drüsenreste gelangen, wo es sich nachher weiter unwandelt). Stellenweise sind bereits an der zehntägigen Placenta umfangreichere sinusartigen Bluträume vorhanden, welche dicht unter dem Ectoderm liegen und den grössten Theil des Raumes zwischen den in die Tiefe eindringenden Ecto-

dermfortsätzen einnehmen. Durchsetzt werden die grösseren Bluträume, welche oft deutlich den Zusammenhang mit noch erhaltenen Gefässen erkennen lassen, von einem zierlichen Netz verästelter und langgestreckter Zellen, welche sich stellenweise auch der Innenfläche des Ectoderms anlegen und mehr in der Tiefe in grössere unregelmässig gestaltete mehrkernige Protoplasamassen übergehen.

Die Entstehungsweise dieser Zellen ist schwer zu verfolgen. Es sind offenbar dieselben Elemente, welche Duval und Masius direkt als foetales Plasmodium bezeichneten (in dem sich die Bluträume bilden sollten), während Maximow von einem Hineinwuchern des Ectoderms in die Bluträume mit Umwandlung in ein Plasmodium spricht. Verfolgt man aber die Entstehung der die Bluträume durchsetzenden und allmählich auskleidenden Zellen und grösseren Protoplasamassen, so wird man zweifellos auf die Elemente der Gefässwandungen geführt, welche mit den Bluträumen von vornherein in Verbindung stehen. Allerdings ist es anfangs nicht immer möglich, zu entscheiden, ob man Reste stehengebliebener, ectodermaler Zellen vor sich hat, oder hineingewucherte Zellen anderer Art, indess kann man sich von der fortschreitenden Umwandlung der Gefässwandzellen in jene immer deutlich fibrillär aussehenden Zellen mit Sicherheit überzeugen, wenn man die allmähliche Veränderung der Gefässwand von den tieferen Schichten aus verfolgt.

An der elftägigen Placenta ist die Bildung der Bluträume bereits weiter vorgeschritten; die oberflächliche Ectoderm (Cyto-blast)-Schicht besteht aus Cylinderzellen von etwas verschiedener Höhe. Der Raum zwischen den Ectodermfortsätzen (Primordialzotten) und der Oberfläche ist in den mittleren Theilen der Placenta fast ganz durch Bluträume eingenommen, während an den Rändern die Anlagerung des einschichtigen Ectoderms an das Syncytium, das Eindringen heller Ectodermzellen und grösserer vielkerniger, plasmodialer Gebilde fortschreitet, und andererseits die Wucherung der Gefässe mit ihren Zellscheiden ebenfalls zunimmt. Auch das Endothel der Gefässe zeigt im Bereiche der Placentarstelle zweifelloose Wucherungserscheinungen. Am wichtigsten ist, dass innerhalb der Bluträume eine zunehmende Aus-

kleidung mit weichen, protoplasmatischen Elementen vorhanden ist, welche sowohl an der Innenseite der Cytoblastschicht (d. h. nach dem Lumen des Blutraumes zu) als in der Umgebung der Primordialzotten immer vollständiger wird, und oft in grössere, vielkernige Protoplasamassen übergeht. Die Placenta foetalis besteht in diesem Stadium in den mittleren Theilen der Placentarstelle aus dem oberflächlichen Ectodermüberzug, den in die Tiefe hineinragenden Ectodermfortsätzen mit ihrem lockeren, mesodermalen Inhalte, und den die Zwischenräume zwischen diesen Theilen einnehmenden unregelmässig gestalteten Bluträume mit ihrer protoplasmatisch-zelligen Auskleidung.

An dieser sind oft noch deutliche Zellgrenzen erkennbar; das Protoplasma ist stets zartfibrillär. Diese Zellauskleidung ist demnach ursprünglich kein Plasmodium, sondern bildet erst nachträglich vielkernige Protoplasamassen. Offenbar sind die zelligen Elemente sehr weich, sie schliessen nicht selten Vacuolen ein, stehen durch Protoplasmastrücken mit einander in Verbindung, zwischen denen neue Hohlräume entstehen, in welche rothe Blutkörperchen eintreten. Diese Zellen und Protoplasamassen stellen das sog. intravasculäre Plasmodium der oberflächlichen Bluträume dar, welches nach Maximow durch ein Hineinwuchern der Ectodermzellen in die Gefässe sich bilden soll. Es ist zuweilen schwer, wuchernde Ectodermzellen und mehrkernige vom Ectoderm ausgehende Zellkörper von jenen Zellen zu unterscheiden, aber andererseits lassen sich die letzteren auch in diesem Stadium, wie mir scheint, mit völliger Sicherheit auf eine Umwandung der Gefässwandzellen zurückführen. Schwieriger ist die Entscheidung, ob bei der Bildung jener Protoplasamassen, welche die mütterlichen Bluträume auskleiden, auch die Glykogenzellen der Gefässe oder nur die Endothelzellen sich betheiligen; eine Wucherung der letzteren ist unverkennbar.

Wahrscheinlich hat die enorme Produktion von Glykogenzellen der Gefässscheiden während der Bildung der foetalen Placenta nicht bloss die Bestimmung, dem Embryo reichliches Ernährungsmaterial zuzuführen, sondern hauptsächlich Material für die mütterlichen Bluträume zu liefern, da welches weder vom Ectoderm (van Beneden, Duval, Maximow) noch vom

uterinen Syncytium (Kossmann) stammt. Irgend eine Beziehung des letzteren zu den mütterlichen Bluträumen ist nicht erkennbar.

Die zwölftägige Placenta unterscheidet sich in ihrem Aussehen schon sehr erheblich von dem vorhergehenden Stadium. Die foetale Placenta hat an Dicke beträchtlich zugenommen und grenzt sich schärfer von dem mütterlichen Theile ab. An der Grenze des letzteren liegen die z. Th. in Zerfall begriffenen ausgenagten Reste des Syncytium, weiter in der Tiefe noch erhaltene Drüsenschläuche.

Die Ectodermfortsätze sind bis an diese Grenze in die Tiefe hineingewuchert; sie bestehen aus Cylinder-Epithel, welches dem uterinen Gewebe wie ein dazugehöriges Epithel aufsitzt, während das gefässhaltige, lockere Allantoisgewebe, welches die Ectodermfortsätze ausfüllt, sich davon zurückzieht. An der Oberfläche ist ein continuirlicher Ectodermüberzug nur an den grösseren sinusartigen Bluträumen noch erkennbar. Die Placenta foetalis besteht bereits aus den von Duval als ectoplacentare Säulen und tubulöse Formationen (Lamellen) bezeichneten Gebilden, in welchen das mütterliche Blut ohne besondere Gefässwand circulirt.

Die Protoplasma-Schicht der Säulen und Lamellen geht unmittelbar aus den vorher beschriebenen Zellen und vielkernigen Protoplasamassen hervor, welche die eben entstandenen Bluträume auskleiden. Beim Uebergang der grossen, mütterlichen Gefässe in die Bluträume der Säulen kann man mit Sicherheit den allmählichen Uebergang der Elemente der Gefässwand in das Protoplasma der Säulen erkennen, doch konnte sich der Vortragende noch nicht überzeugen, ob das gewucherte Endothel der grossen, mütterlichen Gefässe sich allein an der Umbildung betheiligt.

Das Protoplasma der placentaren Säulen und Lamellen ist durch eine eigenthümliche Streifung ausgezeichnet, welche in den späteren Stadien noch deutlicher hervortritt und durch das Vorhandensein heller, spaltförmiger Lücken (wie von kleinen Krystallen herrührend) bedingt wird, die zuerst von Godet beschrieben wurden.

An der Oberfläche der Lamellen bleiben stellenweise noch Gruppen von Ectodermzellen erhalten (abgesehen von der zusammenhängenden Lage der Cylinderzellen, welche die tiefen Buchten zwischen den Säulen auskleiden). An allen diesen Stellen findet man noch Mitosen in den Ectodermzellen, also deutliche Zeichen der Vermehrung. Es ist sehr wahrscheinlich, dass die wuchernden Ectodermzellen fortdauernd die weitere Zerklüftung der compacten Säulen und ihre Umwandlung in „Lamellen“ bewirken; den Ectodermzellen, welche in das Protoplasma eindringen, folgen die Allantoissprossen, wodurch die sehr reichliche Verästelung der letzteren sich erklärt. Zwischen den verästelten Allantoiszotten bleiben die schmalen Protoplasma-lamellen erhalten, in denen die mütterlichen Blutcapillaren verlaufen.

Die Placenta von 14 und 15 Tagen zeigt lediglich die weitere Ausbildung dieser Theile und braucht daher hier nicht besonders berücksichtigt zu werden.

Zum Vergleich untersuchte Vortragender zwei Stadien der Placentarbildung der Katze, welche bei mancher Aehnlichkeit doch wesentlich verschiedene Verhältnisse darbietet.

Die Placentarlamellen des jüngeren Stadiums zeigen an der Oberfläche eine nicht sehr deutlich abgegrenzte und nicht ganz continuirliche Schicht ectodermaler Zellen, darunter eine homogene Protoplasma-Schicht mit verstreuten Kernen, im Innern das mütterliche Blutgefäß, welches mit Endothel ausgekleidet und noch von einer dünnen Lage Bindesubstanz umgeben ist. In letzterer sind verstreute, gegen die Basis reichlichere, rundliche und spindelförmige Zellen eingelagert. Die subectodermale Schicht wird von Strahl als uterines Syncytium bezeichnet, von Duval mit Einschluss der isolirten zelligen Elemente für ectodermal gehalten. Verfolgt man die Lamellen bis zur Basis, so scheint in der That das aus dem Drüsen-Epithel hervorgegangene Syncytium direkt mit der homogenen Protoplasma-Schicht zusammenzuhängen, so dass dasselbe also thatsächlich von dem Uterus-Epithel herzuleiten sein würde. In dem späteren Stadium ist diese Schicht auffallender Weise stärker entwickelt,

viel reicher an Kernen; auch die oberflächliche Ectodermzellen schicht ist stärker ausgebildet, deutlicher abgegrenzt.

Ferner sind die in der nächsten Umgebung des centralen Blutgefässes in Bindegewebe eingelagerten Zellen grösser und in ihrem Aussehen vollständig den menschlichen Deciduaellen gleich. Auch hier lässt sich der Zusammenhang der subectodermalen Protoplasma-Schicht mit dem epithelialen Syncytium der noch erhaltenen Uterindrüsen nachweisen.

Wie weit sich aus dem Verhalten der Kaninchen-Placenta Schlüsse auf die erste Entwicklung der menschlichen Placenta ziehen lassen, ist sehr zweifelhaft. Für die erstere hat die bekannte Anschauung Hubrecht's von der Entwicklung eines trophoblastischen Gewebes, welches nachträglich durch die aus einer Wucherung der mütterlichen Gefässwandungen hervorgehende „Trophospongia“ ersetzt wird, allem Anschein nach volle Gültigkeit.

Aufgelegte Schriften:

- Memoirs of the Museum of comparative Zoology. Vol. XXIII, Nr. 1. Bulletin, Vol. XXVIII, Nr. 4 u. 5. Vol. XXXI, Nr. 6 u. 7. Vol. XXXII, Nr. 1—5. Cambridge 1897/98.
- Proceedings of the American Academy of Arts and Sciences. Vol. XXXII, Nr. 16 u. 17. Vol. 33, Nr. 1—12. Boston 1897/98.
- U. S. Geological Survey. XXV—XXVIII with Atlas. Washington 1895/96.
- Bulletin of the U. S. Geological Survey, Nr. 127, Nr. 130—148 und Nr. 87. Washington 1896/97.
12. Jahresbericht des naturwissenschaftlichen Vereins in Osnabrück. Osnabrück 1898.
25. Jahresbericht des westfälischen Provinzialvereins für Wissenschaft und Kunst. Münster 1897.
- Verhandlungen des naturhistorischen Vereins der preuss. Rheinlande und Westfalens. Jahrg. 54. 2. Hälfte. Bonn 1897.
- Sitzungsberichte der niederrheinischen Gesellschaft für Natur- und Heil-Kunde. 1897. Bonn 1897.

- Sitzungsberichte und Abhandlungen der Gesellschaft Isis zu
Bautzen. Bautzen 1896/97.
17. Bericht des naturhistorischen Vereins zu Passau.
Passau 1898.
- Sitzungsberichte des siebenbürgischen Museums-Vereins. Bd. XIX,
Jahrg. XXII, Abt. I u. II. Kolozsvart 1897.
- 1897 Programme de la Société batave de Rotterdam.
- Mémoires de la Société botanique de Luxembourg. Nr. XIII.
Luxembourg 1897.
- Bulletin de la Société impériale des Naturalistes de Moscou.
1897. Nr. 3 u. 4. Moscou 1898.
- Bergens Museums Aarbog 1897. Bergen 1898.
- Charles Janet, Etudes 13, 14, 15, 16. Limoges 1897.
- Annotationes zoologicae iaponenses. Vol. II. Part. 1 u. 2.
Tokyo 1898.
- Boletin de la Academia Nacional de Ciencias en Cordoba.
Tom XV, Ent. 4. Buenos Aires 1897.
- Journal of the Elisha Mitchell scientific Society, fourteenth year
1897. Part I u. II. Chapel Hill 1897.
- Bulletin of the New York Public Library. Vol. II, Nr. 3, 5 u. 6.
New York 1898.
- Proceedings of the Nova Scotia Institute of Science. Vol. IV,
Part 3. Halifax 1897.
- Bulletin of the Essex Institute. Vol. 26—29. Salem 1894/97.
- Smithsonian Miscellaneous Collections, 1084, 1087.
Washington 1897/98.
- Smithsonian Report 1895. Washington 1896.
- The Smithsonian Institution 1846—1896. Washington 1897.
- Societatum litterae, Jahrg. XI, Nr. 7—12. Jahrg. XII, Nr. 1—4.
Helios, Bd. 15. Berlin 1898.
- Sitzungsberichte der physikalisch-medizinischen Gesellschaft in
Würzburg. Jahrg. 1897, Nr. 1—9.
- Sitzungsberichte der Gesellschaft für Morphologie und Physio-
logie in München. Bd. XIII, Heft II u. III. München 1898.
- Sitzungsberichte der Isis in Dresden, Jahrg. 1897. Dresden 1898.
- Jahreshefte des naturwissenschaftlichen Vereins für Lüneburg. XVI.
Lüneburg 1898.
- Abhandlungen vom naturwissenschaftlichen Verein in Bremen.
Bd. XIV, Heft 3, Bd. XV, Heft 2.
- Sitzungsberichte der physikalisch-medizinischen Societät in Er-
langen. Heft 29. Erlangen 1898.

- Berichte der naturforschenden Gesellschaft zu Freiburg. Bd. X,
Heft 1.—3. Freiburg 1897/98.
- Schriften der physikalisch-ökonomischen Gesellschaft zu Königs-
berg. Jahrg. 38. Königsberg 1997.
- Archives du Musée Teyler. Ser. II, Vol. V, 4; Vol. VI, 1.
- G. O. Sars, Crustacea, Isopoda. Bergen 1898.
- Memoirs and Proceedings of the Manchester literary and philo-
sophical Society. Vol. 42, Part 2 u. 3. Manchester 1898.
- Programm der technischen Hochschule zur Braunschweig für
1898/99.
15. Bericht des Botanischen Vereins in Landshut.
Landshut 1898.
- Notizblatt des Vereins für Erdkunde in Darmstadt. IV. Folge,
Heft 18. Darmstadt 1897.
- Abhandlungen der Senckenbergischen naturforschenden Gesell-
schaft. Bd. 24, Heft 2, nebst Reptilienkatalog II.
Frankfurt a. M. 1898.
- VI. Jahresbericht der geographischen Gesellschaft zu Greifswald.
Teil II. Greifswald 1898.
- Bericht der Rede- und Lesehalle der deutschen Studenten in
Prag 1897. Prag 1898.
- Jahrbuch des ungarischen Karpathen-Vereins. Jahrg. XXV.
Iglo 1898.
- Mémoires de la Société des Naturalistes de Kiew. Tom XIV,
2; XV, 1 u. 2. Kiew 1896/98.
- Bulletin de l'Académie impériale des Sciences de St. Petersburg.
Ser. V, Tom VII, Nr. 2. St. Petersburg 1897.
- Mitteilungen der medizinischen Fakultät zu Tokio. Bd. III,
Nr. 3; Bd. IV, Nr. 1. Tokio 1897/98.
- Yearbook of the Departement of Agriculture 1897.
Washington 1898.
- Johns Hopkins University Circulars. Vol. XVII, Nr. 135 u. 136.
- H. v. Ihering, Revista do Museu Paulista. Vol. II.
S. Paulo 1897.
54. Jahrgang der Jahreshefte des Vereins für vaterländische
Naturkunde in Württemberg. Stuttgart 1898.
43. Bericht des Vereins für Naturkunde in Kassel. Kassel 1898.
- Bulletin of the geological Institution of the University of Upsala.
Vol. 3, Part II, 26. Upsala 1898.

Sitzungsberichte

der Gesellschaft zur Beförderung der gesammten Naturwissenschaften

zu

M a r b u r g.

Vo. 8 November 1898

In der wissenschaftlichen Sitzung vom 23. November 1898
sprach Herr Disse:

Zur Anatomie der Niere.

1. Über das Epithel der gewundenen Rindencanälchen.

Derjenige Abschnitt des Protoplasmas der Epithelzellen in den gewundenen Rindencanälchen, der zwischen dem Lumen und dem Zellkern gelegen ist, wird in verschiedener Form angetroffen. Man findet diesen Abschnitt a) dicker oder dünner, zuweilen leicht gestrichelt, wie ein Saum erscheinend; b) hell und homogen, glasartig, ohne Structur: c) kegelförmig vorspringend, hoch, wie eine Kuppe, die an ihren Seitenflächen noch von einem Saum eingefasst ist, ähnlich dem Stadium a. Indessen handelt es sich hier nicht um eine Trennung des Saumes durch einen austretenden Tropfen, sondern um eine Umwandlung dieses Saumes selbst; der »Saum« schärft sich allmählich zu und geht in die helle Kuppe über. Endlich trifft man derartige hohe Zellkuppen, die keinerlei Saum mehr erkennen lassen. Immer ist die Grenze der Epithelzellen gegen das Lumen eine scharfe, ununterbrochene Linie, mag nun ein gestreifter Saum oder eine helle Kuppe vorliegen.

Die helle, homogene, kegelförmige Zellkuppe findet man häufig an Durchschnitten durch ganz frische Nieren, die ohne jeden Zusatz untersucht werden; ferner trifft man sie bei Nieren an, die in Flemmingscher Lösung fixiert sind. Neben derartigen Zellen finden sich immer viel mehr Zellen vor, bei denen der innere Zellabschnitt wie ein Saum erscheint.

Hat man in Sublimatlösungen, Zenkerscher Flüssigkeit, oder dem Gilsonschen Gemisch (Alcohol-Chloroform-Eisessig) fixiert, so sind die Säume besser erhalten, als die hohen, homogenen Zellkuppen ohne Saum. Die Säume sehen, nach Einwirkung von Zenkerscher Lösung, leicht gestreift aus, an Präparaten aus Flemmingscher Lösung sind sie mehr homogen; zwischen den Zellen mit vollständigem Saum (Stadium a oder b) finden sich immer Zellen des Stadiums c vor, mit an den Rändern noch erhaltenem, in der Mitte zu einer hellen Kuppe gewordenem Saume.

Es handelt sich also um einen inneren, dem Lumen des Harncanälchens zugewandten Abschnitt des Zellprotoplasmas, der in verschiedener Weise ausgebildet sein kann, und bald als gestreifter oder homogener, dicker Saum, bald als ein homogener, heller Kegel erscheint. Keineswegs aber haben wir eine aus feinen starren Härchen bestehende Bildung vor uns, die dem Zellprotoplasma aufsitzt, selbst aber in ihrem Aussehen unveränderlich ist. Von dieser Annahme aber sind frühere Beobachter ausgegangen, und haben das beschriebene Gebilde für einen »Bürstensaum« erklärt. In neuester Zeit hat Sauer (1) das Urteil darüber, ob ein Fixierungsmittel für die Niere anwendbar sei, davon abhängig gemacht, dass der »Bürstensaum« auf allen Zellen in gleicher Weise vorhanden sei, und aus kurzen starren Härchen gebildet erscheine. Er hat seinen Untersuchungen nur Schnitte zu Grunde gelegt, die den Bürstenbesatz klar und deutlich vorhanden zeigen. In Wirklichkeit muss erst untersucht werden, ob immer der freie Abschnitt des Zellprotoplasmas wie ein Bürstensaum erscheint, oder ob er auch eine andere Structur besitzen kann. Die Annahme, dass ein Bürstensaum

vorhanden sein müsse, und dass sein Verschwinden nothwendig durch ein die Zelle schädigendes zerstörendes Fixierungsmittel herbeigeführt sei, ist ganz und gar willkürlich. Ich ziebe es vor, die Bezeichnung »Bürstensaum« zu ersetzen durch den Ausdruck »Zellkuppe«; dieser bezeichnet den das Lumen des Canälchens begrenzenden Theil des Zellenleibes, die Zellkuppe ist ein Stück Zellprotoplasma. Die Zellkuppe besteht aus hellem Protoplasma, der basale Zellabschnitt, der den Kern umgiebt, besteht dagegen aus dunklem, körnigen Protoplasma, und deshalb ist die Grenze beider Abteilungen des Zellenleibes oftmals als eine aus Körnchen bestehende Linie zu sehen. Hier stoßen eben zwei verschieden structurirte Abschnitte des Zellenleibes an einander.

Die Zellkuppe ist von variabler Höhe, und erscheint niedrig oder hoch. Wenn niedrig, erscheint sie von parallelen Streifen durchzogen; das sind Protoplasmastructuren, und nicht etwa Cilien. Der freie Rand der Zelle läuft über das freie Ende dieser scheinbaren Härchen hinweg, und begrenzt das Lumen unmittelbar.

Ich bin der Ansicht, dass die Volumsveränderungen der Zellkuppe, und damit das verschiedene Aussehen derselben, bedingt werden durch Quellung. Diese erfolgt während der Secretion; sie bewirkt, unter Volumszunahme, ein homogenes Aussehen; ist die Quellung noch nicht vollendet, so kann ein Abschnitt der Zellkuppe homogen, ein anderer gestrichelt, structurirt erscheinen. So erklären sich die Bilder, die eine kegelförmige Zellkuppe zeigen, an ihrer Basis noch von einem Saum bedeckt, der zugespitzt in den homogenen Abschnitt übergeht. Da unmittelbar neben derartig aussehenden Zellen solche liegen, die einen parallel gestreiften Saum besitzen, so ist nicht anzunehmen, dass das angewandte Fixierungsmittel einzelne Zellen theilweise zerstört, und den »Bürstensaum« zerrissen habe. Auf alle Zellen in den Canälchen hat das Fixierungsmittel gleichzeitig, in derselben Concentration eingewirkt; wären die Zellen verändert worden, so hätte die Veränderung alle Zellen eines

Canälchens treffen müssen. Die von Sauer gegebene Erklärung, es handle sich unter Einfluss der Fixierungsmittel, um ein Aus-treten von Eiweisstropfen aus einzelnen Zellen, wobei der Bürsten-saum zerreisse, trifft nicht zu. Dagegen spricht schon das Verhalten der Zellgrenze, und die Zuschärfung des Saumes, während seine Streifung sich allmählich verwischt. Ausserdem muss man fragen: warum treibt das Fixierungsmittel nur aus einzelnen Zellen Tropfen heraus, aus anderen nicht? Schliesslich findet man wie schon erwähnt wurde, Zellen mit kegelförmigen Zellkuppen an Schnitten durch ganz frische Nieren, die ohne Zusatz beobachtet werden.

Die Zellkuppe kann, wenn sie wenig gequollen und niedrig ist, gefärbt werden durch Haematoxylin in Verbindung mit Phosphormolybdänsäure, nach dem von Mallory (2) angegebenen Verfahren; auch durch Säure-Rubin, in wässriger oder Alkoholischer Lösung, lässt sich die Kuppe darstellen. Der aus wirklichen kurzen Härchen bestehende Besatz der Epithelzellen des Dünndarms färbt sich nach dieser Behandlung nicht, was mit dem Unterschied zusammenhängt, der zwischen einem wirklichen »Bürstenbesatz« und einem besonders gebauten Abschnitt des Zellenleibes selbst besteht.

Die verschiedenen Formen der Zellkuppe beruhen nicht auf der Wirkung von Fixierungsmitteln, sondern sie bestehen schon während des Lebens, und werden durch Flemmingsche, Zenkersche, Gilsonsche Lösung annähernd gleich gut conservirt. Der »Bürstenbesatz« ist nur eine, aber nicht die einzige Form, unter welcher die Zellkuppe erscheint.

2. Über die Nerven der Nierenrinde.

Gustav Retzius (3) und Kölliker (4) haben mittelst der Methode von Golgi Nervenfasern in der Niere dargestellt. Sie fanden, dass die Nerven mit den Gefässen eintreten, und diesen durchweg folgend in die Rinde gelangen. Die Arterien werden von Nervengeflechten umspinnen, und diese setzen sich, die Vasa afferentia umgebend, bis zu den Glomerulis fort. Die

Nervenfasern sind marklos; es scheint, dass sie nur für die Gefässwände bestimmt sind.

Mir ist an der Niere einer erwachsenen Maus eine ziemlich vollständige Färbung der Nerven durch die Methode von Golgi gelungen; in dieser Niere fanden sich neben zahlreichen Nerven-geflechtem um Arterien und Vasa afferentia, die genau den von Retzius abgebildeten Plexus gleichen, auch Nervengeflechte vor, die sicher den Rindencanälchen angehören und hier und da Fasern abgeben, die an der Wand der Canälchen endigen. Es sind weitmaschige Geflechte feiner Fasern, die von den arteriellen Plexus abgehen, in die Rinde eintreten, und einzelne Rindencanälchen umspinnen. Ein derartiges Geflecht wurde von 2 längslaufenden Fasern formirt, indem diese in kurzen Abständen unter rechtem Winkel Zweige abgaben, die das Rindencanälchen umfassten. Man sieht das Rindencanälchen von nervösen Ringen umgeben, die in gleichen Abständen einander folgen.

Eine jede Ringfaser teilt sich dichotomisch; die beiden Teilungsäste laufen den Canälen entlang, und enden in zwei kurze Zweige, deren jeder mit einem Knöpfchen dem Canälchen unmittelbar anliegt. Auf Querschnitten solcher umspinnener Canälchen liegt der nervöse Ring unmittelbar auf der Membrana propria, vielleicht auch innerhalb derselben.

Von den Geflechtem um die vasa afferentia herum unterscheiden sich die Geflechte, die die Harncanälchen umgeben, durch ihre viel weiteren Maschen, sie sind eben bedeutend ärmer an Nervenfasern, und die Verästlung der Fasern selbst ist weniger reichlich. Ich habe derartige Geflechte selten angetroffen; vielleicht beruht das darauf, dass sie sich schwieriger imprägniren, als die periarteriellen Plexus.

Ausser diesen Geflechtem um die Rindencanälchen fanden sich auch einzelne Nervenfasern in der Nierenrinde vor, die nicht zu Gefässflechten gehörten; möglicherweise waren das einzelne gefärbte Fasern eines circumtubulären Geflechtes. Innerhalb der Marksubstanz der Niere wurden keine Nervenfasern gefunden; v. Kölliker hat dort vereinzelt Nervenzweige angetroffen.

3. Das interstitielle Gewebe der Niere.

Das interstitielle Bindegewebe oder Stroma ist bei den Nieren Erwachsener nur spärlich vorhanden; es ist in Begleitung der grösseren Gefässe anzutreffen, ferner in der Marksubstanz und schon Henle (5) hat angegeben, dass in der Marksubstanz der Niere das Stroma aus feinen Fasern besteht, welche die Sammelröhren ringförmig umgeben. Von dem interstitiellen Gewebe trennte man damals die für strukturlos gehaltene Wand der Harncanälchen ab, wenn auch bekannt war, dass an der Spitze der Papillen die grossen Sammelröhren keine eigene Wand haben und dass das Epithel derselben direkt dem Stroma aufsitzt. Erst Mall (6) ist es gelungen, durch Verdauung mit Pankreatin aus Nierenschnitten sämtliche Gewebe mit Ausnahme des Stromas zu entfernen, und das Stroma selbst durch Färbung deutlich zu machen; er fand dass »das ganze Gewebe mit Einschluss der Basalmembranen, von der Kapsel bis zum Becken eine einzige Masse anastomosirender Fibrillen ist.« Da Mall durch Kochen aus der Niere keinen Leim erhielt, rechnet er das interstitielle Gewebe dieses Organs zum reticulären Gewebe.

Die Verdauung ist immerhin eine so eingreifende Behandlung, dass die mit ihrer Hülfe gewonnenen Resultate einer Bestätigung durch andere Untersuchungsmittel bedürfen. Das hat Rühle (7) unternommen; es ist ihm gelungen, an feinen Schnitten gut conservierter Nieren die Fasern des Stroma durch Färbung sichtbar zu machen. Derartige Präparate zeigen das Stroma genau so wie verdaute Schnitte, und besonders lassen sie erkennen, dass die Membrana propria der Harncanälchen aus feinen Fasern besteht, die mit den Fasern des interstitiellen Gewebes überall zusammenhängen.

Mir ist der Versuch, durch Imprägnation mit Silber das Nierenstroma zur Anschauung zu bringen, an den Nieren einer erwachsenen Ratte gelungen; die Nieren wurden, nach der Vorschrift von Kopsch (8) 24 Stunden in ein Gemisch von Kal. bichrom. und Formol, 48 Stunden in Kal. bichrom., dann 3 Tage in $\frac{3}{4}\%$ Silberlösung eingelegt und dieses Verfahren 2 mal wiederholt.

An vielen Stellen dieser Niere, besonders aber in der Rinde war das Stroma schwarz gefärbt. Die zelligen Elemente wurden an den $25\ \mu$ dicken Schnitten, die nach dem Verfahren von Kallius (9) reduciert waren, mit Boraxcarmin gefärbt, so dass die Lage der Elemente des Stroma zu den Harncanälchen gut beurteilt werden konnte.

Die Silberimprägnation zeigt das Nierenstroma als ein Netzwerk feiner Fasern. Die Netze liegen in den Wänden der Harncanälchen, ferner zwischen denselben. In der Wand der Harncanäle sind die Netze ausserordentlich engmaschig; die Maschen sind meist polygonal. Die Fasern sind meistens sehr fein, aber von ungleicher Stärke. Manchmal ist die Wandschicht eines Harncanälchens von ringförmigen Fasern gebildet, die durch viele feine Längsfäden verbunden werden; an anderen Stellen ist die Anordnung der Fasern weniger regelmässig, indem längslaufende, ringförmig und schräg ziehende stärkere Fasern überall durch feine Ausläufer mit einander verbunden sind.

Die Bowman'schen Kapseln sind aus sehr feinen Fasern gebildet; die Anfangsstücke der Rindencanälchen, die von den Kapseln ausgehen, zeigen in ihrer Wand Netze sehr feiner Fasern mit relativ weiten Maschen.

Das gesammte interstitielle Gewebe geht aus von der Adventitia der Blutgefässe. Diese enthält sowohl sich einfach kreuzende, als auch durch Ausläufer verbundene Fasern; ausserdem elastische Netze. Von der äusseren Lage der Adventitia geht ein ausschliesslich aus anastomosirenden Fasern gebildetes Netz in die Rinde und das Mark hinein. Die Gefässe erscheinen auf diese Weise als die Träger des gesammten Netzwerks der Niere.

Nun ist die Thatsache, dass durch Maceration in starken Mineralsäuren die Harncanälchen nebst ihrer Wandung sich isoliren lassen, wohl dadurch zu erklären, dass das Stroma zwischen den Harnkanälchen leichter zerstörbar ist als in deren Wand, aber es muss betont werden, dass die Wände der Harncanälchen immer vollständig, niemals durchbrochen erscheinen.

Man erhält durch Isolierung oft Canälchen, aus denen das Epithel eine Strecke weit herausgefallen ist; die Wandschicht erscheint immer wie ein homogenes Rohr, ohne Lücken. Färbt man durch Salzsäure isolirte Harn-Canälchen, nach Auswaschen in Wasser, mit Eosin, so werden die »membranae propriae« roth; die Färbung ist eine ganz gleichmässige, niemals sieht man einzelne gefärbte Fäden und Netze, das spricht dafür, dass die Maschen des Netzwerks in der Canalwand ausgefüllt werden durch eine Kittsubstanz. Diese kann man zugleich mit den Fäserchen nicht darstellen, entweder färbt man die Fasern, oder, mit Eosin, die verbindende Substanz. Durch Verdauung wird die Kittmasse gelöst, durch starke Mineralsäuren allein aber nicht. Wäre keine Kittsubstanz vorhanden, so müsste man das Netzwerk in der Wand der Harncanälchen an frischen Präparaten ohne Färbung schon wahrnehmen können.

Litteratur.

1. *Sauer*, Neue Untersuchungen über das Nierenepithel und sein Verhalten bei der Harnabsonderung. Arch. f. mikr. Anatomie u. Entwicklungsgesch. Bd. 46, 1895.
2. *Mallory*, Phospho-molybdic Acid Haematoxylin. Anatom. Anzeiger, Bd. 6, S. 375, 1891.
3. *G. Retzius*, Zur Kenntniss der Nerven der Milz und der Niere. Biolog. Untersuchungen, Bd. 3, 1892.
4. *v. Kölliker*, Die Nerven der Milz und der Nieren und die Gallenkapillaren. Sitzungsber. d. Phys.- Med. Gesellschaft zu Würzburg, 1893. II. v. 14. Januar.
5. *Henle*, Eingeweidelehre, II. Aufl., S. 332.
6. *Mall*, Das reticulirte Gewebe und seine Beziehungen zu den Bindegewebsfibrillen. Abhandl. d. k. Sächsischen Gesellschaft der Wissenschaften, Math.-Phys. Cl., Bd. 17, Nr. 4, 1891.
7. *Rühle*, Über die Membrana propria der Harnkanälchen und ihre Beziehung zu dem interstitiellen Gewebe der Niere. Arch. für Anatomie, 1897.
8. *Kopsch*, Erfahrungen über die Verwendung des Formaldehyds bei der Chromsilber-Imprägnation. Anatom. Anzeiger, Bd. 11. 1896.
9. *Kallius*, Ein einfaches Verfahren, um Golgi-Präparate f. d. Dauer zu fixiren. Anatom. Hefte, Bd. 2, 1893.

In derselben Sitzung (23. November 1898) berichtet Herr E. Nebelthau über

einen Bestandteil der grauen Substanz des Nervensystems:

Nach seinen Untersuchungen erweist sich die färbbare Substanz des Protoplasma der Nervenzellen in Schnitten, welche von gehärteten Rückenmarks- oder Gehirnstückchen der Taube oder des Meerschweinchens nach Nissl hergestellt waren, gegen Ammoniak (2,0 : 100,0) widerstandsfähiger als gegen Natronlauge (1,0 (einer 5% Lauge) : 100,0). Aqua destillata entzog den frischen Gehirn- und Rückenmarkstückchen äusserst langsam die Substanz, welche in Folge der Härtung in Alkohol das Material zum Zustandekommen der Nissl-Reaction abgibt; durch Einwirkung von Soda (1,0 : 1000,0) auf das frische Gewebe erfolgt rasche Lösung dieser Substanz, während eine Lösung der Nissl-Körper am gehärteten Präparat durch Soda angeführter Concentration kaum bewirkt wird.

Nach längerer, selbst tagelanger Einwirkung von ein Volumen % Schwefelsäure auf die in Alkohol gehärteten Präparate werden die Nissl-Körper kaum verändert, wie es bereits im Allgemeinen Held von den Mineralsäuren angegeben hat; nur kann, wohl durch die Schrumpfung der Zellen, die Substanz der Nissl-Körper intensiver gefärbt erscheinen, als in der Norm.

Durch Behandlung (24 Stunden lang) von frischen Rückenmarks- oder Gehirnstückchen mit ein Volumen % Schwefelsäure und durch nachträgliche Härtung derselben in 96% Alkohol werden mit Methylenblau Bilder erhalten, welche ebenfalls kaum von dem normalen Bilde der Nissl-Körper abzuweichen brauchen.

Gelegentlich beobachtet man auch hier, dass die färbbare Substanz des Protoplasma dunkler gefärbt erscheint als in der Norm und dass sich die Zwischensubstanz mehr oder weniger mitfärbt.

Bei dem erwähnten Verhalten der Nissl-Körper gegen Ammoniak war es naheliegend, daran zu denken, dass an dem Aufbau der Substanz, welche die Nissl-Körper liefert, eventuell histon- oder protaminartige Körper beteiligt seien.

Es wurden daher Gehirne von Kälbern, Rindern und Ochsen, sowie auch von Menschen auf diese Körper hin nach der Methode von Kossel verarbeitet.

Der erhaltene Körper ist in Wasser leicht löslich, schneeweiss und gab eine schwache Biuret- und Millonsche Reaktion.

Der Körper wurde aus seiner wässrigen Lösung, die sauer reagierte, durch Ammoniak gefällt und blieb im Ueberschuss des Reagens ungelöst, auf Zusatz von Natronlauge oder Natriumcarbonat fiel ein Teil des Körpers aus, löste sich aber im Ueberschuss der Reagentien.

Durch Zusatz von Eiweisslösung, (d. h. in Wasser gelöstes Wittesches Pepton), wurde in der wässrigen Lösung ein Niederschlag erzeugt, der sich bei Zusatz von Ammoniak nicht löste.

Die weitere Zerlegung des Körpers, welche nach den Methoden von Kossel im physiologischen Institut ausgeführt wurde, liess im Zusammenhang mit den angeführten Reaktionen zunächst die Annahme berechtigt erscheinen, dass derselbe vielleicht den histonartigen Körpern zuzurechnen ist. Ueber die Resultate dieser Untersuchungen wird später berichtet.

Nachdem diese Verhältnisse festgestellt, war die nächste Aufgabe, möglichst die Muttersubstanz des Körpers aus dem Gehirn darzustellen, aus welcher der soeben beschriebene histonartige Körper durch Schwefelsäure abgespalten wird.

Gefällt wird die Muttersubstanz mit anderen Körpern, so den Globulinen (Hallibarton), aus dem wässrigen Auszug des Gehirns durch ganz geringe Mengen Essigsäure. Der Nachweis, dass in diesem Niederschlag die Muttersubstanz des histonartigen Körpers enthalten ist, wurde durch die Darstellung desselben aus dem Niederschlage nach der genannten Methode erbracht.

Durch Zusatz von Essigsäure im Ueberschuss zum wässrigen Auszug des Gehirns geht ein Theil der Eiweisskörper in Lösung und es setzt sich nach längerem Stehen ein Niederschlag ab, der einen Körper enthält, welcher in Soda löslich und durch Essigsäure gefällt werden kann. Auf Zusatz von ein Volumen % Schwefelsäure zu seiner Lösung in Soda entsteht eine Trübung. Er verhält sich wie ein Nucleoproteid, ähnlich dem von Kossel und Lilienfeld, aus den weissen Blutkörperchen dargestellte Leukonuklein oder Nukleohiston.

Da sich die färbbare Substanz des Protoplasma selbst nicht aus Protamin oder Histon bestehend ergab, so ist die stärkere Widerstandsfähigkeit gegen Ammoniak als gegen Natronlauge im gehärteten Präparat zunächst nicht vollständig erklärt. Indessen ist wohl zu berücksichtigen, dass durch die Härtung in Alkohol die Lösungsverhältnisse complicierter Erweisskörper im Schnittpräparat verändert sein können; auch das Verhalten der umgebenden Substanz kann hier von Einfluss sein.

Durch getrennte Verarbeitung der weissen und grauen Substanz konnte festgestellt werden, dass der histonartige Körper fast ausschliesslich aus der grauen Substanz abgespalten wurde.

Auf die Giftigkeit des Histons ist bereits von H. Kossel hingewiesen worden.

Die Giftprüfung meines histonartigen Körpers am Meerschweinchen ergab als sicher tödliche Dosis: $1\text{ g} \approx 800\text{ M}$. Die Tiere gingen nach dieser Dosis in einer Stunde unter dem Anzeichen der Atemnot zu Grunde. Die Sektion ergab ein blutig seröses Exsudat an der Injektionsstelle und im Peritoneum. Die Dosis, welche von den Meerschweinchen vertragen wurde, betrug $0,025\text{ gr. auf } 100\text{ gr. M}$.

Von Wassermann und Takaki wurde kürzlich angegeben, dass das Centralnervensystem tetanusantitoxische Eigenschaften besitze.

Freund, Gross und Jelinek wollen vom Histon eine Diphtheriegift abschwächende Wirkung am Meerschweinchen sowohl im Mischungsversuch als auch bei getrennter Einspritzung von Gift und Histon beobachtet haben.

Es lag daher nahe, den histonartigen Körper auf sein Verhalten zum Tetanusgift zu prüfen. Nach Mischung des Körpers mit Tetanusgift im Reagenzglase konnte eine giftabschwächende Eigenschaft desselben beobachtet werden und zwar vermochte derselbe etwa die 4—6fache tödliche Minimaldosis des Tetanusgift unschädlich zu machen.

Bei getrennter subcutaner Injection von Körper und Gift konnte dagegen keine giftzerstörende Eigenschaft festgestellt werden.

In demselben Sinne erwies sich als giftabschwächend eine wässrige Aufschwemmung des Niederschlages, welcher durch Ansäuern mit Essigsäure aus dem wässrigen Gehirnauszug erhalten war, und ein histonartiger Körper, welcher nach der erwähnten Methode von Kossel aus Thymus gewonnen war.

Da ich an der Auffassung, dass es sich hier um eine antitoxische Wirkung handle, Zweifel hegte, so bat ich Herrn Geheimrat Behring um die Beurteilung der Beobachtung. Bei der Prüfung im Behringschen Institut, welche von Herrn Kitaschima und Dr. Ruppel ausgeführt wurde, ergab sich zunächst insofern eine Bestätigung meiner Versuche, als festgestellt werden konnte, dass der Körper eine etwa zwölfwache Abschwächung des Tetanusgiftes bei der Mischung im Reagenzglase hervorzurufen vermochte.

Ferner aber zeigte es sich, dass nach Neutralisierung der dem basischen Körper anhaftenden Säure, welche Herr Dr. Ruppel mit Soda vornahm, die Abschwächung des Tetanusgiftes nicht mehr nach subcutaner Injektion am Meerschweinchen konstatiert werden konnte, allerhöchstens eine geringe Verlängerung des Incubationsstadiums.

Nachdem sich somit ergeben, dass die Abschwächung des Tetanusgiftes in meinen Versuchen auf den sauren Eigenschaften des Präparates beruht und nicht ohne Weiteres als giftbindende Wirkungen des Eiweissanteils betrachtet werden darf, liess sich die Wirkung des Niederschlages, welcher durch Essigsäurezusatz aus dem Wasserauszug des Gehirns gewonnen war, auf dieselbe Ursache zurückführen.

Ob auch die saure Reaction der grauen Substanz des Gehirns für die giftabschwächende Wirkung desselben von Bedeutung ist, würde nach dem Gesagten wohl zu erwägen sein.

4058
Sitzungsberichte

der

**Gesellschaft zur Beförderung der gesammten
Naturwissenschaften**

zu

M a r b u r g.

Jahrgang 1899.

M A R B U R G.

Universitäts-Buchdruckerei (R. Friedrich).
1900.

Sitzungsberichte

der

**Gesellschaft zur Beförderung der gesamten
Naturwissenschaften**

zu

M a r b u r g.

Jahrgang 1899.

M A R B U R G.
Universitäts-Buchdruckerei (R. Friedrich).
Sm 1900.

Inhalts-Angabe.

	Seite
<i>Tönniges</i> , Zur Organbildung von <i>Paludina vivipara</i>	1
<i>Derselbe</i> , Nachtrag zu den Untersuchungen über die feineren Bau- verhältnisse von <i>Opalina ranarum</i>	11
<i>H. Meyer</i> , Eine Theorie der Alkohalnarkose	20
<i>Schaum</i> , Die Aenderungen des Gefrierpunktes	27
<i>Kayser</i> , Versteinerungen aus der »Lindner Mark«	41
<i>Schenck</i> , Ueber den Einfluss von Säuren auf das optische Drehungs- vermögen von Asparaginlösungen	43
<i>Derselbe</i> , Stoechiometrische Untersuchungen an krystallinischen Flüssigkeiten	48
<i>Marchand</i> , Ueber einen Fall von Zwergwuchs (Nanoccephalie) . . .	57
<i>Enderlen</i> , Ueber die histologischen Vorgänge bei experimentell er- zeugter Osteomyelitis	65
<i>Melde</i> , 1) Eine neue Art von Stimmgabeln nach der Construction von Prof. <i>Edelmann</i>	75
2) Eine neue Art von Klangfiguren	76
3) Einige Erscheinungen bei sensitiven Flammen	78
<i>Lüthje</i> , Ueber einen Stoffwechselversuch bei einem Diabetiker . .	79
<i>Meisenheimer</i> , Die Entwicklungsgeschichte von <i>Dreissensia polymorpha</i>	93
<i>Schaum</i> , Ueber einen Flüssigkeitswiderstand mit verschiebbarer Mittel-Electrode	99
<i>Halsey</i> , Ueber Phloridzin-Diabetes bei Hunden	102
<i>Noll</i> , Ueber die quantitativen Verhältnisse des Protogons im Nervensystem	109
<i>Kutscher</i> , Ueber ein optisch inaktives Arginin	113
<i>Kossel</i> , Ueber das optische Drehungsvermögen des Histidins . . .	114
<i>Schaum</i> , Ueber Bewegungserscheinungen sich auflösender Krystalle	115
<i>Kossel</i> , Demonstration einer neuen Centrifuge	119
<i>Loewi</i> , Beiträge zum Nucleinstoffwechsel	120
<i>Schenck</i> , Die beiden Arten der Dimorphie	137
<i>Krehl</i> , Beobachtungen über den Wärmehaushalt der poikilothermen Wirbelthiere	143
<i>Schenck</i> , Ueber chemische Vorgänge im elektrostatischen Felde . .	143
Nekrologe: <i>Claus</i> S. 25; <i>Bunsen</i> , S. 125 u. 131	
Vorgelegte Schriften S. 23. 42. 73. 92. 111. 124. 141.	

JUN 19 1901

Verzeichniss der Mitglieder^{*)}

(am Schluss des Jahres 1899).

Ehrenmitglieder.

<i>v. Kölliker, Albert</i> , Dr. med., o. Prof. der Anatomie, wirkl. Geheimrath, Würzburg	6. 7. 97.
<i>Virchow, Rudolf</i> , Dr. med., o. Prof. der pathologischen Anatomie, Geh. Med.-Rath, Berlin	1. 11. 97.
<i>Ratzius, Gustav</i> , Prof. emerit. der Anatomie, Stockholm	18. 1. 99.

Einheimische Mitglieder.

A. Ordentliche.

<i>Ahlfeld, Friedrich</i> , Dr. med., o. Prof. der Gynäkologie, Geh. Med.-Rath	11. 7. 83.
<i>Bauer, Max</i> , Dr. phil., o. Prof. d. Mineralogie, Geh. Reg.-Rath	11. 3. 85.
<i>Behring, Emil</i> , Dr. med., o. Prof. d. Hygiene, Geh. Med.-Rath	15. 5. 95.
<i>Brauer, August</i> , Dr. phil., Priv.-Doc. d. Zoologie	17. 5. 99. (17. 6. 96.)
<i>Diase, Joseph</i> , Dr. med., a.o. Prof. d. Anatomie u. Prosector	13. 11. 95.
<i>Feussner, Wilhelm</i> , Dr. phil., a.o. Prof. der Physik	14. 7. 81. (10. 6. 69.)
<i>Fischer, Theobald</i> , Dr. phil., o. Prof. der Geographie	28. 11. 88.
<i>Gasser, Emil</i> , Dr. med., o. Prof. d. Anatomie, Geh. Med.-Rath	27. 1. 88. (16. 7. 74.)
<i>Hess, Edmund</i> , Dr. phil., o. Prof. der Mathematik	21. 6. 78. (16. 7. 74.)
<i>Hess, Karl</i> , Dr. med., o. Prof. der Ophthalmologie	11. 11. 96.
<i>v. Heusinger, Otto</i> , Dr. med., a.o. Prof. der gerichtl. Med., Geh. San.-Rath	16. 5. 66. (25. 4. 60.)
<i>Kayser, Emanuel</i> , Dr. phil., o. Prof. der Geologie	13. 1. 86.
<i>Kohl, Friedrich Georg</i> , Dr. phil., a.o. Prof. der Botanik	13. 11. 95. (6. 8. 84.)
<i>Korschelt, Eugen</i> , Dr. phil., o. Prof. der Zoologie	26. 7. 93.

^{*)} Die Daten bedeuten den Tag der Ernennung, die in Parenthese gesetzten Daten den Tag der Ernennung zum ausserordentlichen Mitglied.

VI

<i>Kossel, Albrecht</i> , Dr. med., o. Prof. der Physiologie . . .	15. 5. 95.
<i>Krehl, Rudolf</i> , Dr. med., o. Prof. d. inn. Medicin . . .	8. 11. 99.
<i>Küster, Ernst</i> , Dr. med. o. Prof. d. Chirurgie, Geh. Med.-Rath	4. 11. 91.
<i>Lahs, Heinrich</i> , Dr. med., a.o. Prof. der Gynäkologie . . .	13. 1. 75. (10. 2. 70.)
<i>Mannkopff, Emil</i> , Dr. med., o. Prof. d. inn. Med., Geh. Med.-Rath	8. 5. 67.
<i>Marchand, Felix</i> , Dr. med., o. Prof. der path. Anat., Geh. Med.-Rath	28. 11. 83.
<i>Meyer, Hans</i> , Dr. med., o. Prof. der Pharmakologie . . .	11. 3. 85.
<i>Meyer, Arthur</i> , Dr. phil., o. Prof. der Botanik	4. 11. 91.
<i>Melde, Franz</i> , Dr. phil., o. Prof. der Physik, Geh. Reg.-Rath	4. 5. 84. (12. 6. 60.)
<i>Nebelhau, Eberhard</i> , Dr. med., a.o. Prof. der inneren Med.	26. 4. 98. (15. 5. 95.)
<i>Ostmann, Paul</i> , Dr. med., a.o. Prof. der Otologie	13. 11. 95.
<i>Rathke, Bernhard</i> , Dr. phil., a.o. Prof. der Chemie	14. 3. 84.
<i>Schmidt, Ernst</i> , Dr. phil., o. Prof. der pharmaceut. Chemie, Geh. Reg.-Rath	11. 3. 85.
<i>Schottky, Friedrich</i> , Dr. phil., o. Prof. der Mathematik . . .	15. 5. 95.
<i>Tuczek, Franz</i> , Dr. med., o. Prof. der Psychiatrie	15. 5. 95. (14. 3. 90.)
<i>Zincke, Theodor</i> , Dr. phil., o. Prof. d. Chemie, Geh. Reg.-Rath.	13. 1. 76.

B) Ausserordentliche.

<i>Bonhoff, Heinrich</i> , Dr. med., a.o. Prof. der Hygiene	8. 11. 99.
<i>Buchholz, Albert</i> , Dr. med, Priv.-Doc. der Psychiatrie . . .	8. 12. 97.
<i>Diétrich, Theodor</i> , Dr. phil., Prof., Director d. landwirthschaftl. Versuchstation	15. 1. 96.
<i>v. Draach, Alhard</i> , Dr. phil., a.o. Prof. der Mathematik . . .	11. 7. 68.
<i>Enderlen, Eugen</i> , Dr. med., a.o. Prof. der Chirurgie	10. 2. 97.
<i>Fritsch, Paul</i> , Dr. phil., Prof., Priv.-Doc. der Chemie	24. 4. 96.
<i>Gädamer, Johannes</i> , Dr. phil., Priv.-Doc. d. pharmaceut. Chemie	9. 3. 98.
<i>Kühne, Fritz</i> , Privat-Docent der Gynäkologie	8. 2. 99.
<i>Kutscher, Friedrich</i> , Dr. med., Assistent am physiol. Institut	16. 2. 98.
<i>Lotz, Heinrich</i> , Dr. phil.	13. 12. 99.
<i>Meisenheimer, Johannes</i> , Dr. phil., Priv.-Doc. der Zoologie	16. 2. 98.
<i>Noll, Alfred</i> , Dr. med.	16. 2. 98.
<i>Ochaenius, Carl</i> , Dr. phil., Consul a. D.	28. 6. 77.
<i>Pfenge, Enriquez</i> , Dr. med., Assistent am physiol. Institut	17. 5. 99.
<i>Ransom, Frederick</i> , Dr. med.	7. 3. 99.
<i>Säzer, Franz</i> , Dr. med., Priv.-Doc. der path. Anat.	17. 11. 96.
<i>Schaum, Carl</i> , Dr. phil., Priv.-Doc. der Chemie	11. 8. 97.
<i>Streck, Rudolf</i> , Dr. phil., Priv.-Doc. d. Chemie Abtheilvorst. am chemischen Institut	11. 8. 97.

VII

<i>v. Schmidt, Carl</i> , Dr. phil., Prof. em. der Chemie	21. 3. 79.
<i>Schwanke, Arthur</i> , Dr. phil., Assistent am mineral. Institut	21. 6. 99.
<i>Töniges, Carl</i> , Dr. phil. Assistent am zoolog. Institut	16. 2. 98.
<i>Weidenmüller, Carl</i> , Dr. phil., Gymn.-Oberlehrer, Prof.	14. 4. 82.
<i>Zumstein, Jacob</i> , Dr. med., Priv.-Doc. der Anatomie, Prof., 2. Prosector	16. 2. 98.

Auswärtige Mitglieder.*)

<i>Axenfeld, Theodor</i> , Dr. med., o. Prof. d. Ophthalmologie, Rostock	(15. 1. 96.)
<i>Barth, Adolf</i> , Dr. med., a.o. Prof. der Otologie Leipzig	4. 11. 91.
<i>Barth, Arthur</i> , Dr. med., Prof., Oberarzt, Danzig	(13. 11. 95.)
<i>Böhm, Rudolf</i> , Dr. med., o. Prof. der Pharmakologie, Geh. Med.-Rath, Leipzig	20. 5. 81.
<i>Braun, Ferdinand</i> , Dr. phil., o. Prof. der Physik, Strassburg	(8. 2. 78.)
<i>Braun, Heinrich</i> , Dr. med., o. Prof. der Chirurgie, Geh. Med.- Rath, Göttingen	14. 3. 90.
<i>Brauns, Reinhard</i> , Dr. phil., o. Prof. der Mineralogie, Giessen	(27. 1. 88.)
<i>v. Büngner, Otto</i> , Dr. med., Prof., Dir. d. Landkrankenb. Hanau	(1. 5. 92.)
<i>Busz, Carl</i> , Dr. phil., a.o. Prof. der Mineralogie, Münster	(19. 6. 95.)
<i>Debus, Dr. phil.</i> , Prof. Cassel	(16. 11. 59.)
<i>Dohrn, Rudolf</i> , Dr. med., o. Prof. der Gynäkologie, Geh. Med.-Rath, Kiel	10. 2. 64.
<i>Falk, Ferdinand, August</i> , Dr. med., a.o. Prof. der Pharma- kologie, Kiel	28. 4. 75.
<i>Fraenkel, Karl</i> , Dr. med., o. Prof. der Hygiene, Halle	4. 11. 91.
<i>Fürstenau, Eduard</i> , Dr. Phil., Stadtschulrath, Berlin	(25. 4. 60.)
<i>Goebel, Karl</i> , Dr. phil., o. Prof. der Botanik, München	27. 1. 88.
<i>Heine, Leopold</i> , Priv.-Doc. der Ophthalmologie, Breslau	(18. 1. 99.)
<i>Hermann, Theodor</i> , Dr. phil., Hanau	(2. 7. 68.)
<i>v. Koenen, Adolf</i> , Dr. phil., o. Prof. der Geologie, Geh. Reg.- Rath, Göttingen	28. 4. 75.
<i>Kuster Fr. Wilh.</i> , Dr. phil., o. Prof. d. Chemie, Clausthal	(26. 7. 93.)
<i>Mannel, Gottfried</i> , Dr. med., Geh. Hofrath, Arolsen	(31. 8. 64.)
<i>Müller, Friedrich</i> , Dr. med., o. Prof. d. inn. Medicin, Basel	26. 7. 93.
<i>Pfannkuch, Wilh.</i> , Dr. med., pract. Arzt, Cassel	(17. 1. 72.)
<i>Pfeffer, Wilhelm</i> , Dr. phil., o. Prof. der Botanik, Geh. Hof- rath, Leipzig	(27. 4. 71.)
<i>*Philippi, Dr. phil.</i> , Santiago (Chile.)	4. 11. 41.
<i>Plate, Ludwig</i> , Dr. phil., Priv.-Doc. der Zoologie, Prof., Berlin	(27. 1. 88.)

*) Die mit einem * bezeichneten sind correspondirende, die sämtlichen übrigen ehemalige einheimische Mitglieder.

VIII

<i>*Rehn, Joh. Heinrich</i> , Dr. med. San.-Rath, Frankfurt. a. M.	26. 11. 80.
<i>Rein. Johannes</i> , Dr. phil., o. Prof. der Geographie, Geh. Reg.-Rath, Bonn	1. 12. 76.
<i>Rost, Eugen</i> , Dr. med., 'Hülfsarbeiter am Reichs-Gesundheitsamt, Berlin	(16. 2. 98)
<i>Rubner, Max</i> , Dr. med., o. Prof. der Hygiene, Geh. Med.-Rath, Berlin	13. 1. 86.
<i>Rumpf, Theodor</i> , Dr. med., Prof., Dir. des neuen allgemeinen Krankenhauses, Hamburg-Eppendorf	14. 3. 90.
<i>Schell. Wilhelm</i> , Dr. phil., Prof. der Mathematik, Geh. Hof-rath, Karlsruhe	29. 4. 57. (13. 2. 56.)
<i>Schmidt-Rimpler, Hermann</i> , Dr. med., o. Prof. der Ophthal-mologie, Geh. Med.-Rath, Göttingen	15. 11. 71.
<i>Schneider, Justus</i> , Dr. med., San.-Rath, Dir. des Landkranken-h. Fulda	(12. 12. 66.)
<i>Schottelius, Max</i> , Dr. med., o. Prof. d. Hygiene, Freiburg. i B.	(11. 7. 79.)
<i>Siemens, Friedrich</i> , Dr. med., Geh. Med.-Rath, Dir. d. Landes-irrenanstalt Lauenburg i. P.	(19. 12. 79.)
<i>v. Sobieransky, Wenzel</i> , Dr. med., o. Prof. der Pharmakologie, Lemberg	(19. 6. 95.)
<i>*Speck, Carl</i> , Dr. med., San.-Rath, Kreis-Physik., Dillenburg	5. 4. 71.
<i>Strahl, Hans</i> , Dr. med., o. Prof. der Anatomie, Giessen . .	27. 1. 88. (14. 12. 80.)
<i>Study, Eduard</i> , Dr. phil., o. Prof. d. Mathematik, Greifswald	(14. 3. 90.)
<i>Uthoff, Wilhelm</i> , Dr. med., o. Prof. d. Ophthalmologie, Breslau	4. 21. 91.
<i>Weber, Heinrich</i> , Dr. phil., o. Prof. der Mathematik, Geh. Reg.-Rath, Strassburg	11. 3. 85.
<i>*Weiss, Otto</i> , Salinen-Director, Geh. Bergrath, Naubeim . .	(16. 5. 72.)
<i>Wernicke, Erich</i> , Dr. med., Prof., Director des hygien. Instituts in Posen	16. 2. 98. (10. 2. 97.)
<i>Wüllner, Adolf</i> , Dr. phil., o. Prof. der Physik, Geh. Reg.-Rath, Aachen	(8. 12. 58.)

Der Vorstand.

F. Marchand, Vorsitzender. *O. v. Heusinger*, Ständiger Schriftführer.

Engerer Ausschuss.

E. Hees, Stellvertretender Vorsitzender, *M. Bauer*, *E. Kayser*.

Sitzungsberichte

der Gesellschaft zur Beförderung der gesammten Naturwissenschaften

zu

M a r b u r g.

Nro. 1

Januar

1899

In der wissenschaftlichen Sitzung vom 18. Januar 1899
sprach (mit Demonstrationen) Herr C. Tönniges:

**Zur Organbildung von *Paludina vivipara*
mit besonderer Berücksichtigung des Pericardiums, des Herzens
und der Niere.**

Diese vorläufige Mittheilung bildet die Fortsetzung des
ersten Theiles meiner Untersuchungen über die Entwicklung
von *Paludina vivipara*. Sie enthält die Differenzirung des
mittleren Blattes und der aus ihm entstehenden Organe, des
Pericards und des Herzens, fernerhin im Zusammenhang damit
die der Niere und der Geschlechtsorgane.

Der im ersten Theil bereits eingehend beschriebene Ur-
sprung des Mesoderms wurde nochmals nachuntersucht. Die
Untersuchung ergab das gleiche, bereits früher festgestellte
Resultat. Die Bildung der mittleren Schicht findet bei *Palu-
dina vivipara* weder durch Auftreten von Urmesodermzellen
noch durch Bildung eines von der Urdarmwand sich aus-
stülpenden Coelomsackes statt, sondern erfolgt kurz nach Aus-
bildung der Gastrula durch Auswanderung von Ektodermzellen
an einer beschränkten Stelle der ventralen Wand des Embryos,
welche der Verschlussstelle des Blastoporus entspricht. Die auf
diese Weise sich bildende einheitliche, ventrale Mesodermmasse,

die den »Mesodermstreifen« der Autoren entspricht, löst sich kurze Zeit nach ihrer Bildung von vorn nach hinten vollständig auf, ohne dass es auch nur vorübergehend zur Bildung einer secundären Leibeshöhle gekommen wäre.

Paludina weist sowohl im Verlauf ihrer Furchung wie ihrer Organbildung, wie wir sehen werden, sehr ursprüngliche Verhältnisse auf, so dass es wahrscheinlich ist, dass auch der Ursprung des Mesoderms derartig aufgefasst werden muss. Wie Ziegler¹⁾ bereits erwähnt, braucht der ursprüngliche Verlauf der Mesodermbildung durchaus nicht durch Abfaltung von der Urdarmwand als Enterocoel entstanden zu sein, sondern man wird von allgemeinerem Standpunkte die Entstehung des mittleren Blattes auf die Einwanderung von Zellen am Blastoporusrande des Embryos zurückzuführen haben, woraus dann einerseits das Auftreten von Urmesodermzellen, andererseits die Enterocoelbildung abgeleitet werden kann. Im ersteren Falle geschieht die Bildung von Urmesodermzellen durch frühzeitige Sonderung derselben aus der Zone der Bildungszellen des Blastoporusrandes. Bei der Enterocoelbildung findet das umgekehrte Verhalten statt. Die zukünftigen Mesodermzellen bleiben länger als wie gewöhnlich im Zellverbände liegen, werden bei der Gastrulation mit eingestülpt und müssen, da sie sich erstens zahlreich vermehrt haben und zweitens im festen Zellverbände liegen, durch Abfaltung vom Urdarm aus entstehen. Organanlagen können z. B. häufig durch frühzeitige Sonderung einiger weniger Zellen gebildet werden. Um ein analoges Beispiel anzuführen, entsteht bei *Lumbricus* nach Wilson das Bauchmark aus zwei frühzeitig auftretenden Blastomeren, welche am Blastoporusrande unter das Ektoderm treten und in zwei nach vorn ziehende Zellstreifen auswachsen; gewöhnlich bildet sich bei den übrigen Annulaten dasselbe

1) Ziegler. Ueber den derzeitigen Stand der Cölomfrage. Verhandl. d. Deutsch. Zool. Gesellsch. 1898.

jedoch durch Auswanderung zahlreicher Ektodermzellen der späteren Embryonalstufen. Ein ähnliches Verhalten zeigt das Mesoderm bei *Paludina vivipara*. Es entsteht gewöhnlich in der Gruppe der Gastropoden durch frühzeitige Sonderung zweier Zellen, der sog. Urmesodermzellen. Bei *Paludina* bleiben diese Zellen länger im Zellverbände und rücken späterhin in grösserer Menge in die Furchungshöhle. Ich halte diesen Fall für primitiver, da auch, wie wir nachfolgend sehen werden, die weitere Differenzierung des Mesoderms als sehr ursprünglich bezeichnet werden muss.

Nachdem der Embryo sein Trochophorastadium durchlaufen und die typischen Molluskencharaktere wie Fuss- und Schalendrüse zur Entwicklung gebracht hat, beginnt die Anlage der Organe des sog. mittleren Blattes. Der Embryo hat durch ein, wenn auch geringes Wachsthum der hinteren Körperparthie, eine beinahe wurmförmige Gestalt angenommen, wenn auch an der Ventralseite der ziemlich stark entwickelte Fuss vorspringt. Am Vorderende liegt der Mund und am Hinterende genau in der Mittellinie, also noch vollständig symmetrisch, der After. Der Darm zieht als geradegestrecktes Rohr durch die primäre Leibeshöhle, deren Inneres von Mesenchymzellen durchsetzt ist. Auf diesem Stadium lassen sich im Hinterende des Embryos zwei Zellenanhäufungen in der Leibeshöhle unterscheiden. Sie liegen der Ektodermwand dicht an und entstehen, wie Schnitte beweisen, aus dieser durch Zellauswanderung. Es wiederholt sich also bei der Anlage dieser beiden Zellhäufchen genau derselbe Process der Zellauswanderung aus dem Ektoderm wie bei der Anlage des übrigen Mesoderms. Es ist auch in diesem Falle die der Verschlussstelle des Blastoporus entsprechende ventrale Ektodermschicht, die eine Organanlage ausbildet, welche in der weiteren Embryonalentwicklung von grosser Bedeutung werden wird. Aus ihr entsteht das Pericard mit seinen Derivaten, Herz, Niere und Genitalorganen. Sämmtliche Organe entstehen demnach ektodermal. Nun bildet sich, wie ich bereits nachgewiesen habe, auch das übrige Zellenmaterial der mittleren

Schicht, das sog. Mesenchym, aus dem Ektoderm und an der gleichen Stelle, wo sich jetzt die übrigen Organe, welche aus demselben entstehen, anlegen, so dass die gesamte Zellschicht, welche zwischen das äussere und innere Blatt zu liegen kommt, dem Ektoderm entstammt.

Aus meiner Darstellung ist ohne Weiteres zu ersehen, dass von einem Mesoderm im Sinne der Autoren bei *Paludina* nicht gesprochen werden kann, und ich komme durch meine Untersuchungen zu demselben Resultat, zu dem schon vor einer Reihe von Jahren P. Sarasin¹⁾ gelangt ist, welcher bei *Bythinia tentaculata* die mittlere Schicht des Embryos aus Wucherungen des Ektoderms entstehen lässt. Da *Bythinia* eine nahe Verwandte von *Paludina* ist, so gewinnt der bei beiden Formen übereinstimmende Ursprung der mittleren Schicht sehr an Wahrscheinlichkeit.

In den beiden beschriebenen Zellhaufen tritt secundär eine Höhlung auf, welche sich beim Wachsthum der beiden Bläschen stark vergrössert. Wie in der Anlage bereits der rechts vom Enddarm gelegene Zellhaufen der grössere war, so übertrifft auch sein Lumen das des linken Säckchens. Dagegen scheint die Wandung des letzteren in den meisten Fällen dicker und die Aneinanderlagerung der Zellen eine dichtere zu sein. Schliesslich kommt es durch dieses Grössenwachsthum zu einer Berührung der Bläschenwände unterhalb des Darmes, wodurch der Eindruck eines ventralen Mesenteriums hervorgerufen wird. Die Wände der beiden Bläschen werden beim Wachsthum derselben stark verdünnt, so dass ihr Epithel plattenförmig wird. Trotzdem bleibt ihre Abgrenzung gegen die primäre Leibeshöhle des Embryos eine vollkommene. Die beiden sich berührenden Wände der Bläschen verschmelzen weiterhin miteinander, so dass ein ventrales Septum zur Ausbildung kommt. Der rechte Cölomsack zeigt die Tendenz den Darm zu umwachsen, und ein

1) P. Sarasin. Entwicklungsgeschichte der *Bythinia tentaculata*. Arb. aus d. zool.-zootom. Inst. zu Würzburg Bd. VI. 1888.

Querschnitt durch dieses Stadium erinnert, wenn der Vergleich gezogen werden darf, lebhaft an einen Querschnitt durch einen Anneliden, wenn ich von dem Fehlen des Bauchmarkes und der Gefässe absehe. Die beiden Bläschen lassen noch ein weiteres interessantes Verhalten erkennen, indem in jedem an der ventralen Wand eine Verdickung des Epithels bemerkbar ist. Diese beiden Verdickungen sind die Anlagen der Nieren, von denen jedoch nur die rechte zur definitiven Ausbildung kommt, während die linke im Laufe der Entwicklung rückgebildet wird. Zwei Einbuchtungen der Mantelhöhle wachsen diesen Nierenanlagen entgegen, eine definitive rechte, welche sich weiter vertieft und schliesslich mit der Niere in Verbindung tritt und eine kleinere linke, welche, wie die rudimentäre linke Niere sich späterhin zurückbildet. Es sind die beiden durch ektodermale Einstülpung entstehenden Nierenausführungsgänge.

Die Anlage zweier Nieren, welche bekanntlich bei ursprünglichen Prosobranchiern, bei den Diotocardiern *Haliotis*, *Patella*, *Fissurella* etc. zur definitiven Ausbildung kommt, weist uns darauf hin, dass wir in der Organogenese von *Paludina* sehr ursprüngliche Verhältnisse vor uns haben. Damit stimmt der jedenfalls auch sehr einfache Bildungsmodus des Mesoderms und die Anlage des Pericards in Gestalt zweier Säckchen sehr gut überein. *Paludina* scheint daher, wenn wir annehmen, dass sie als Süsswasserform in ihrer Entwicklung eine rückgebildete Form darstellt, in anderer Beziehung einen ursprünglichen Modus der Entwicklung bewahrt zu haben. Die Veranlassung dazu könnte in der intrauterinen Entwicklung, mit dem Verlust des Nahrungsdotters verbunden, gesucht werden. Die Furchung ist nahezu aequal (wie bei *Chiton* etc.), und die Mesodermbildung verläuft, wie wir gesehen haben, auf sehr ursprüngliche Weise.

Ähnliche Bildungen, wie die von *Paludina* beschriebenen, finden wir in der Entwicklung mancher Anneliden. Bei *Lumbricus* erfolgt nach Wilson die Anlage der Nephridien durch die sog. Nephroblasten, Polzellen, welche am Hinterende des Embryos unter das Ektoderm in die Furchungshöhle rücken

und zu beiden Seiten der ventralen Mittellinie liegen. Sie liefern das Bildungsmaterial für die Nephridien, indem sie sich zu zwei nach vorn ziehenden Zellenreihen entwickeln. Diese Nephridialreihen differenzieren sich von vorn nach hinten. Die vordersten Säckchen gehen als larvale Gebilde zu Grunde, während die hinteren sich zu definitiven Nephridien ausbilden.

Auffallend übereinstimmende Vorgänge treten in der Entwicklung von *Paludina* auf. Es findet eine gleiche Einwanderung von Zellen am Hinterende des Embryos statt, wodurch die Anlage zweier solider Zellhaufen entsteht. Darauf bildet sich in beiden ein Hohlraum aus. Zu beiden Seiten des Enddarmes entstehen zwei ektodermale Einstülpungen, die Anlagen der beiden Nierenausführungsgänge. Dass diese beiden so entstandenen Gebilde als Nephridien zu betrachten und dass sie mit den gleichen Organanlagen der Anneliden und Mollusken zu vergleichen sind, erscheint sehr begründet.

Man sieht, dass diese Befunde mit den früher von v. Erlanger gewonnenen sehr übereinstimmen, und ich möchte dieses besonders betonen im Hinblick darauf, dass die von mir gegebene Darstellung von der Entstehung des Mesoderms von derjenigen v. Erlangers sehr verschieden ist. Trotzdem stimmen unsere Befunde der späteren Stadien sehr gut überein, was sich auch aus der folgenden Darstellung meiner Ergebnisse zeigen wird.

Ich habe bereits hervorgehoben, dass die beiden Urnieren im Vorderende des Gastropodenembryos, welche zumeist in gleicher Weise als gegen die primäre Leibeshöhle geschlossene Zellwucherungen oder Einstülpungen vom Ektoderm aus zu entstehen scheinen, in ihrer Anlage ebenfalls ein paar, wenn auch embryonale Nephridien sind und den embryonalen oder provisorischen Rumpfnephridien der Annulaten entsprechen würden. Auch bei *Paludina* gehen die Urnieren als larvale Organe zu Grunde.

Die beiden Coelomsäcke mit ihren Nierenanlagen gehen jetzt ihrer definitiven Bestimmung als Pericardium entgegen. Das

Septum wird von vorn nach hinten rückgebildet, wodurch ein einheitlicher Hohlraum zur Ausbildung kommt. Die Uebereinstimmung des Coeloms mit dem der gegliederten Würmer schwindet mehr und mehr, und es treten Differenzirungen in der Entwicklung des Organs auf, welche seine definitive Bestimmung als Herzbeutel zur Geltung bringen. Nur noch einmal bei der Entstehung der Geschlechtsdrüse aus dem Pericardialepithel werden wir Gelegenheit haben, die Verwandtschaftsbeziehungen der Gastropoden zu den gegliederten Wurmern zu betonen.

Ausserlich bringt der Embryo seine Molluskencharaktere immermehr zur Ausbildung. Die Grössenzunahme des Fusses fällt besonders ins Auge. Der hintere Theil des Embryos wird durch die starke Entwicklung der Leber bruchsackartig nach aussen gedrängt, wodurch der After eine Verschiebung nach vorn erleidet. Die Schale hat mit der Vergrösserung der Fläche, welche sie bedeckt, gleichen Schritt gehalten und ist ebenfalls beträchtlich grösser geworden.

Die Niere ist auf diesem Stadium bereits als kleine Ausbuchtung des Pericardiums deutlich zu erkennen und der ektodermale Ausführungsgang nahezu mit ihr in Verbindung getreten.

Wir betrachten jetzt die auftretende Anlage des Herzens. Die dorsale Wand des Pericardialsackes lässt eine deutliche, rinnenförmige Einfaltung sowohl am Totalpräparat wie auf Schnitten erkennen. Es ist die Anlage des Herzens. In Uebereinstimmung mit dem v. Erlanger'schen Resultat ergibt demnach die Untersuchung, dass das Pericardium vor der Bildung des Herzens entsteht und dieses sich als Einbuchtung und nicht als Verdickung der dorsalen Pericardialwand anlegt.

Ich hebe dieses Verhalten aus dem Grunde besonders hervor, weil nach neueren Untersuchungen an *Limax max.* (Meisenheimer) bei diesem Gastropoden das Herz zuerst gebildet wird und das Pericardium secundär durch Abspaltung von seiner Wandung entsteht.

Aeltere Embryonen lassen eine Einschnürung an der Herzfalte erkennen, wodurch die Trennung von Vorhof und Kammer eintritt. Die Wand der Kammer ist stärker ausgebildet als die des Vorhofs. Der Herzschlauch steht infolge seiner rinnenförmigen Bildung, auch nachdem sich die Rinne längs zum Rohre geschlossen hat, an seinen beiden Enden mit der primären Leibeshöhle in direkter Verbindung. Die Hohlräume, welche an beiden Enden im Mesenchym als Spalträume auftreten, müssen ihrer späteren Funktion gemäss, einmal als Aorta bei der Kammer, dann als Anlage der Kiemenvene des Vorhofes aufgefasst werden. Durch Verbindung der einzelnen Spalträume des mesenchymatischen Gewebes entsteht das Gefässsystem als eine vom Herzen und Pericardium vollständig getrennte Anlage.

Die Beobachtungen, welche über die Entwicklung des Nervensystems gemacht wurden, stimmen mit denen v. Erlangers vollständig überein. Diese gleichen wieder den Untersuchungen, welche an *Limax max.* von Annie P. Henchman und Meisenheimer angestellt worden sind. Ihnen steht die Arbeit F. Schmidts über das Nervensystem der Pulmonaten mit den gleichen Resultaten zur Seite. Der Ursprung des gesamten Nervensystems ist demnach auf das äussere Keimblatt zurückzuführen. Die Cerebralganglien entstehen durch zwei scharf von einander geschiedene Ektodermwucherungen, die sich erst secundär durch eine Commissur vereinigen. Ausserdem entstehen sie durch Delamination und nicht, wie die gleichen Ganglien von *Limax max.* durch Einstülpung. Ebenfalls getrennt von den Cerebral- und Pedalganglien, mit denen sie sich nachträglich vereinigen, bilden sich die Pallialganglien etwas ventral in der Nähe des Velums. Die Pedalganglien sind vor den Pallialganglien aufgetreten und zwar werden sie, wie v. Erlanger richtig beobachtete, angelegt, nachdem die Otolithenblasen bereits durch ektodermale Einstülpungen entstanden sind.

Ungefähr auf dem gleichen Stadium, wo die Anlage der Pallialganglien bemerkbar ist, bilden sich um den Oesophagus

in der Nähe der Radula die Buccalganglien. Sie entstehen aus der Wand des ektodermalen Vorderdarmes. In der Nähe des vorderen Mantelrandes treten bedeutend später als die erwähnten Ganglienpaare der vorderen Körperparthie die Intestinalganglien auf. v. Erlanger hebt hervor, dass die Anlage dieser beiden Ganglien eine vollständig symmetrische sei. Ich kann dasselbe bestätigen, da thatsächlich die neugebildeten Ganglien ventralwärts zu beiden Seiten des Darmes liegen und erst späterhin durch die Torsion des Hinterendes des Embryos verschoben werden. Schliesslich bleibt noch die Entstehung des Visceralganglions zu erwähnen übrig, welches als letztes aller Ganglien zur Anlage kommt. Es bildet sich, vom Epithel der Mantelhöhle entspringend, zwischen dieser und der Pericardialwand.

Die Anlage sämtlicher Ganglien geschieht demnach in der von v. Erlanger angegebenen Weise, und ich verweise betreffs weiterer Ausführungen auf die Publikation desselben.

Es verdient hervorgehoben zu werden, dass thatsächlich die Anlage sämtlicher Ganglien allmählich von vorn nach hinten erfolgt. Weiterhin ist mir die von v. Erlanger erwähnte Thatsache aufgefallen, dass sowohl Kommissuren wie Konnektive, hauptsächlich die der Pedalganglien, einen starken Ganglienzellenbelag tragen.

Von den Sinnesorganen entstehen Augen und Otocysten durch ektodermale Einstülpungen. Das Spengel'sche Organ ist bereits auf sehr jungen Stadien als wulstförmige Verdickung der Mantelhöhle bemerkbar.

Ich konnte feststellen, dass die Kerntheilung der Nuchalzellen auf directem Wege (amitotisch) erfolgt. Dieses Verhalten spricht mit dafür, dass wir in ihnen degenerirende Zellen vor uns haben.

Die Entstehung der Genitalorgane erfolgt bei *Paludina* bedeutend frühzeitiger als bei anderen daraufhin untersuchten Gastropoden. Velum und Urniere sind noch vorhanden. Letztere steht sogar auf der Höhe ihrer Ausbildung, wenn die dorsale Wand des Pericardiums eine kleine Ausstülpung erkennen lässt.

Sie kommt nahezu einer Wucherung gleich, da ihr Lumen sehr gering ist. Diese Ausstülpung ist die Anlage der Keimdrüse. Das Plattenepithel des Pericardiums hat sich an der betreffenden Stelle stark verdickt. Die Ausstülpung schnürt sich sehr bald von der Wand des Herzbeutels ab und liegt dann als kleine geschlossene Blase zwischen den Mesenchymzellen der primären Leibeshöhle. Der Geschlechtsausführungsgang entsteht, getrennt von der Keimdrüse, durch eine ektodermale Einstülpung aus der ventralen Wand der Mantelhöhle.

Die Annahme v. Erlangers, dass die Geschlechtsdrüse in der ursprünglich linken Hälfte des Pericardiums entsteht, ungefähr an der Stelle, wo sich die rudimentäre linke Nierenanlage befunden hat, ist mir beim Studium dieser Verhältnisse ebenfalls sehr wahrscheinlich geworden, obgleich ein direkter Beweis für diese Ansicht natürlich nicht erbracht werden kann. Thatsächlich entsteht auch der Geschlechtsausführungsgang an der Stelle, wo der zurückgebildete linke Nierenausführungsgang vorhanden war, so dass auch diese Annahme, dass der erstere aus dem letzteren hervorgegangen ist, sehr viel für sich hat.

Durch diese von v. Erlanger gemachte und von mir bestätigte Beobachtung, dass die Keimdrüse aus dem Pericardium entsteht, wird bestätigt, dass thatsächlich das Pericardium als secundäre Leibeshöhle aufzufassen ist. Dass damit die Geschlechtsdrüse dasselbe Verhältniss zeigt wie die Geschlechtsorgane der Anneliden zum Peritoneum des Coeloms, braucht wohl kaum besonders hervorgehoben zu werden.

Die Annahme, dass die Mollusken durch diese in meiner Untersuchung geschilderten Verhältnisse eine grössere Verwandtschaft zu den Anneliden als Plathelminthen zeigen, wird hierdurch weiterhin unterstützt (siehe Lehrb. von Korschelt und Heider, pag. 1163).

In derselben Sitzung (18. Januar 1899) gab Herr C. Tönniges einen

**Nachtrag zu den Untersuchungen
über die feineren Bauverhältnisse von *Opalina ranarum*.**

Zell- und Kerntheilung.

Nachdem ich am 13. Juli 1898 in der Sitzung der Gesellschaft die Resultate meiner Untersuchungen über die feineren Bauverhältnisse von *Opalina ranarum* im Anschluss an die Demonstrationen der darauf bezüglichen Präparate kurz vorge tragen hatte, sehe ich mich jetzt in der Lage, meine damaligen Ausführungen durch einen Nachtrag, welcher im Wesentlichen die Kern- und Zelltheilung der *Opalina ranarum* umfasst, zu ergänzen. Dadurch wird ein gewisser Abschluss in der Kenntniss der Bauverhältnisse der ausgebildeten Form erreicht und andererseits die Brücke gegeben, um das Verständniss für das Verhalten bei der Conjugation und Cystenbildung zu erleichtern.

Eine nahezu unbegrenzte Theilungsfähigkeit ist eine bemerkenswerthe Eigenschaft von *Opalina ranarum*. Obgleich auch den übrigen Opalinenarten ein hohes Maass von Theilungsfähigkeit zukommt, so kann es doch nicht annähernd mit dem unserer Art in Vergleich gesetzt werden. Es war anfangs mein Bestreben, eine gewisse Gesetzmässigkeit unter den mannigfaltigen Theilungsvorgängen aufzufinden, aber je längere Zeit der Beobachtung ich ihnen schenkte, um so mehr verschwanden die künstlichen Grenzen, welche ich anfangs aufstellen zu können glaubte, und ein allgemeiner Zusammenhang sämmtlicher Theilungsvorgänge machte sich bemerkbar. Durch reichhaltiges Arbeitsmaterial war mir die Möglichkeit gegeben, nicht nur alle Uebergänge zwischen einer direkten Quer- und Längstheilung, sondern auch den Zusammenhang dieser mit einem als Knospung aufzufassenden Vorgang aufzufinden.

Obgleich die Opalinen ausserhalb ihres Wirthes nicht sehr lange (zwei bis drei Tage) am Leben erhalten werden können, so ist es doch möglich, die Theilungen, welche nicht

sehr lange Zeit in Anspruch nehmen, direkt unter dem Mikroskop zu beobachten. Fernerhin ist es möglich, aus reichem Material eine Anzahl Theilungsstadien herauszusuchen und durch Vergleichung derselben sich den Theilungsprocess zu combinieren. Beide Methoden wurden benutzt, um den Vermehrungsprocess durch Theilung und Knospung zur Anschauung zu bringen.

Theilungen finden sich ununterbrochen Winter und Sommer, sowohl während des freien Lebens wie auch während des Winterschlafes der Frösche, so dass die Vermuthung Nussbaum's, dass die Theilungen der Opalinen während des Winterschlafes ruhen möchten, nicht zutrifft, sondern die Vermehrung das ganze Jahr hindurch andauert, wenn sie auch bei Beginn des Frühlings und im Verlaufe des Sommers infolge der besseren Ernährung des Wirthes eine mannigfaltigere ist als zur Zeit des Winterschlafes.

Kurz vor der Laichperiode, sobald die Frösche ihr Landleben aufgegeben haben und ins Wasser gehen, findet eine Aenderung im Verlaufe der Theilungen unseres Parasiten statt. Die Theilstücke wachsen nicht wieder zu der Grösse des ursprünglichen Thieres heran, sondern theilen sich selbst ununterbrochen weiter, bis die Theilstücke schliesslich so klein geworden sind, dass mitunter nur noch 3—4 Kerne in ihnen liegen. Dann beginnen sie, sich unter rotierenden Bewegungen zu encystieren. Ich habe die Encystierung dieser kleinen Opalinentheilstücke Schritt für Schritt verfolgt und habe mich überzeugt, dass vom Zeitpunkt der Verkleinerung an bis zur Encystierung keine Vorgänge auftreten, welche an eine Conjugation oder ähnliche Processe erinnerten.

Nach der Encystierung, welche anfangs Frühjahr bei Beginn der Laichperiode der Frösche stattfindet, werden die Cysten von den letzteren, sobald sie ins Wasser gehen, ausgestossen und müssen von Kaulquappen aufgenommen werden, um sich in deren Darm zu freien Opalinen entwickeln zu können. Das Schicksal der Cysten innerhalb des Kaulquappendarmes werden wir im zweiten Theil der Untersuchung verfolgen, da es uns

hier darauf ankommt, den Lebenscyclus der Opalinen innerhalb des Rectums des ausgewachsenen Frosches festzustellen, und zwar aus folgenden Gründen :

Conjugationen sind bislang bei *Opalina ran.* nicht gefunden worden, obgleich diese Art daraufhin mehrfach untersucht worden ist. Längstheilungen wurden dagegen wiederholt beschrieben (Zeller, Nussbaum), und Bütschli sprach daher in seinem Protozoenwerk die Vermuthung aus, dass die betreffenden Längstheilungen höchstwahrscheinlich Conjugationen der *Opalina* seien. Meine Untersuchung, welche sich über den Zeitraum von mehreren Jahren erstreckt, richtete sich demnach darauf, festzustellen, ob überhaupt bei erwachsenen Opalinen Conjugationen vorkommen; ob die sogen. Längstheilungen dann als solche aufzufassen seien, und ferner, ob überhaupt Längstheilung bei diesem Infusor festzustellen ist.

Trotz der mehrjährigen Beobachtung ist mir niemals unter den Opalinen, welche sich im Rectum erwachsener Frösche befanden, Conjugation derselben zu Gesicht bekommen, so dass ich wohl die Ueberzeugung aussprechen kann, dass sie bei mehrkernigen Formen dieses Parasiten überhaupt nicht auftritt.

Während der Encystierung verschmelzen die wenigen Kerne des encystierten Thieres unter sehr bemerkenswerthen Erscheinungen, die ich im zweiten Theil dieser Untersuchung behandeln werde, und die so entstandenen einkernigen Individuen conjugiren nach Verlassen der Cyste innerhalb des Kaulquappendarmes.

Darauf folgend beginnt eine lebhafte Vermehrung der jungen Opalinen, welche, wie die der erwachsenen Thiere, durch Quer- und Längstheilung sowie Knospung erfolgt. Zwischen diesen drei Vermehrungsvorgängen sind lückenlose Uebergänge vorhanden, so dass alle schliesslich auf einen einheitlichen Process zurückgeführt werden können.

Sehr häufig sind Quertheilungen, wie wir sie von den meisten übrigen Infusorien kennen. Entweder an einer Seite des Thieres oder auch an beiden zugleich tritt eine Contraction

des Plasmas auf, die schliesslich zu einer kleinen Einbuchtung des Randes führt, wodurch der Theilungsprocess sichtbar eingeleitet ist. Theilungen der Kerne, welche derjenigen des Plasmas vorangingen, und im bemerkbaren Zusammenhang mit der letzteren ständen, wurden nicht beobachtet. Die Kerne theilen sich beliebig; vor, während und nach der Theilung des Thieres habe ich Kerntheilungsfiguren angetroffen. Die erwähnte Einschnürung am Rande der sich theilenden *Opalina* vertieft sich mehr und mehr. Schliesslich hängen die beiden Theilstücke nur noch durch eine dünne Plasmabrücke zusammen. Bald gewinnen beide Hälften Eigenbewegung, drehen und wenden sich nach verschiedenen Richtungen, und schliesslich reisst der verbindende Plasmafaden durch. Die Zeitdauer der Theilung schwankt. Mitunter habe ich vollständige Quertheilungen im Verlaufe einer Stunde beobachtet; andere dagegen dauerten wieder bedeutend länger. Das Grössenverhältniss der Thiere steht in keiner Beziehung zur Theilung. Grosse und kleine Opalinen theilen sich in gleichem Masse. Die Theilungsfläche ist häufig unregelmässig gezackt, jedoch werden diese plasmatischen Fortsätze kurz nach der Theilung eingezogen.

Beide Theilstücke sind nicht immer gleich gross, und dieser Grössenunterschied kann so weit gehen, dass das Mutterthier nach dem Vermehrungsprocess noch in seiner Gestalt erkennbar bleibt, wodurch der Übergang zur Knospung vermittelt ist. Knospen können an einer beliebigen Stelle, jedoch immer nur am Rande der blattförmigen *Opalina ranarum*, auftreten. Ihre Form und Grösse ist eine ausserordentlich mannigfaltige.

Wichtig für unsere Auffassung sind die regelmässig vorkommenden Längstheilungen. Ich habe sie, wie aus meiner ausführlichen Arbeit zu ersehen sein wird, in grossen Mengen verfolgt, so dass es nicht zweifelhaft sein kann, dass wir in ihnen thatsächlich Theilungen und keine Conjugationen vor uns haben.

Wie überhaupt bei Theilungen von Infusorien sogen. Epidemien auftreten, so macht auch *Opalina* als Parasit davon keine

Ausnahme. Der grössere Theil der im Rectum des Frosches schmarotzenden Opalinen findet sich häufig in Quer-, häufig in Längstheilung. Übergänge zwischen Quer- und Längstheilung, sogen. schiefe Theilungen, deren Ebene in der Richtung der Körperstreifung verläuft und höchst wahrscheinlich durch diese bedingt wird, sind häufig. Ebenso wurden Dreifachtheilungen u. s. w. beobachtet.

Die Durchschnürung bei der Theilung kann auch in der Mitte des Thieres beginnen und nicht nur an den Randparthien. Es bildet sich in der Mitte eine Contractionsstelle des Plasmas aus, wodurch schliesslich eine Öffnung entsteht. Durch spaltförmiges Auswachsen derselben geht die Theilung vor sich. Sobald die Encystierung ihren Anfang nimmt, verläuft die Theilung, auf die kein Wachsthum der Sprösslinge folgt, in anderer Weise als wie in der soeben beschriebenen. Ein Individuum bildet zu gleicher Zeit eine ganze Anzahl von Theilstücken.

Betreffs aller Einzelheiten muss auf die demnächst erscheinende ausführliche Arbeit verwiesen werden.

Opalina ranarum besitzt bekanntlich eine Anzahl von Kernen, welche natürlich je nach der Grösse des Individuums stark schwankt. Die Kerne liegen ausschliesslich im Endoplasma. Im vorderen Körperende des Thieres sind sie dichter zusammengedrückt, was im Verhältniss zu dem engeren Plasmanetz desselben zu stehen scheint. Der ruhende Kern lässt einen deutlich wabigen Bau seiner Struktur erkennen. Das Chromatin liegt in Gestalt kleiner und kleinster Körnchen in den Knotenpunkten des achromatischen Gerüsts. Ausserdem kommen im Kerne gröbere, intensiv gefärbte Körper vor, welche ihren späteren Verhalten bei der Theilung nach, als Nucleolen bezeichnet werden müssen. Sie liegen zumeist peripher der Kernwand an. Eine Membran im eigentlichen Sinne des Wortes vermögen wir am Kerne nicht zu unterscheiden, sondern die äusserste Schicht des Achromatingerüsts scheint sich durch stärkere Einlagerungen von Chromatin zur festeren Begrenzung des Kernes umgewandelt zu haben. Sie würde also ein ähnliches Verhalten zeigen, wie

wir es bereits für die Pellicula nachzuweisen vermochten, welche ebenfalls nur durch Festerwerden der äussersten protoplasmatischen Wabenschicht zu einer abschliessenden Membran geworden ist.

Die äusserste Kernwabenschicht, wenn wir sie so bezeichnen wollen, stellt ein gleichsam durchbrochenes Gitterwerk dar, in dem die Lückenräume von achromatischer Substanz ausgefüllt werden, welche wohl einen Austausch von Substanzen zur Ernährung des Kernes, aber niemals eine Vermischung der Plasma- und Kernmasse zulassen.

Der Theilungsprocess der Mehrzahl der Kerne muss unzweifelhaft als ein mitotischer angesehen werden, obgleich hin und wieder auch an Kernen, die sich nicht in bemerkbarer Weise von den übrigen unterscheiden liessen, Amitose festgestellt wurde.

Die Bildung von Chromosomen, das Vorhandensein und deutliche Hervortreten der achromatischen Fasern, wie die nachfolgende Aufreihung der Chromosomen auf dieselben lassen keinen Zweifel aufkommen, dass wir thatsächlich eine indirekte Kerntheilung vor uns haben.

Die Einleitung der Veränderungen, welche der Kern im Verlauf seiner Theilung erleiden wird, ist in der Längsstreckung desselben gegeben, wodurch die Kugel zur Eiform wird. Zu gleicher Zeit findet eine Veränderung des Chromatins statt, welche zu der Umbildung desselben in Fäden führt. Da die Chromatinkörnchen in den Knotenpunkten des Achromatingerüstes liegen, so ist es wahrscheinlich, dass durch die Längsstreckung der Kernwaben auch das eingelagerte Chromatin die Gestalt kleiner Stäbchen annimmt. Zwischen den schwachgeschlängelten Chromatinstäbchen ist die netzig-wabige Anordnung des achromatischen Gerüstes immer noch deutlich nachweisbar. Eine weitere Stütze dieser Ansicht liegt in der Form der Fäden selbst, welche in der Mitte verdickt und an den beiden Enden spitz ausgezogen erscheint.

Wie wir bereits hervorgehoben haben, lagen im ruhenden Kerne die grösseren Mengen des Chromatins peripher, und so

ist es erklärlich, dass es hauptsächlich die peripheren achromatischen Fasern sind, welche die Hauptmasse desselben in sich bergen, während das Zentrum der Spindel chromatinärmere Partien aufweist.

Die Nucleolen bleiben im ganzen Verlauf der Theilung erhalten, und das gleiche Verhalten zeigt die Kernmembran, welche fortlaufend scharf hervortritt. In vielen Fällen verschmelzen die Nucleoli eines sich theilenden Kernes, wenn sie in der Mehrzahl vorhanden sind, um sich dann ebenfalls zu theilen. Dieses Verhalten der Nucleolen kann jedoch nicht als konstant angesehen werden.

Ich möchte besonders hervorheben, dass nicht nur die Kernmembran während des ganzen Verlaufes der Theilung keine Veränderung erleidet, sondern auch die Plasmaschicht, welche den sich in Theilung befindlichen Kern umgiebt. Es treten weder Strahlungen im Plasma auf, noch nimmt es sonst irgendwie sichtbaren Antheil an der Theilung. Wir haben in der mehrkernigen *Opalina ranarum* ein deutliches Beispiel vor uns, dass die Kerntheilung (Karyokinese) ohne Beihülfe des Plasmas stattfinden kann und die aktive Kraft, welche den Process der Kernzerschnürung vollführt, im Kerne selbst vorhanden sein muss.

Ein entsprechendes Verhalten haben wir bei der Zelltheilung gefunden, bei welcher ebenfalls eine Theilung ohne sichtbare Mitwirkung der Kerne eintrat. Es konnte mit Sicherheit festgestellt werden, dass Centrosomen oder auch nur Anklänge an dieselben in Gestalt ähnlicher Bildungen nicht auftreten. Dieses Verhalten hat jedoch nur Gültigkeit für die Kerntheilung der erwachsenen *Opalina*. Ob andere Verhältnisse bei jugendlichen Individuen auftreten können, wird man aus dem zweiten Theil dieser Arbeit ersehen.

Verfolgen wir den weiteren Verlauf der Kerntheilung, so geht das beschriebene ellipsoide Stadium durch Zuspitzung seiner beiden Pole in eine längsgestreckte Form über. Auf diesem Stadium findet man den Nucleolus sehr häufig in Theilung.

Bislang lagen die Chromosomen, in der Längsrichtung des Kernes angeordnet, vollständig regellos vertheilt im Kerninnern. Die Pole zeigten freilich stets ein wenig chromosomenärmere Parthien.

Die Chromosomen werden durch die Zuspitzung der beiden Pole des Kernes nach der Mitte desselben gedrängt, wodurch das Bild einer Aequatorialplatte zu Stande kommt. Es ist jedoch niemals eine vollkommen regelmässig ausgebildete Aequatorialplatte. Trotzdem ich eine grosse Anzahl von Kerntheilungsfiguren zu Gesicht bekommen habe, war dieses Stadium verhältnissmässig selten, so dass möglicherweise seine Bildung sehr schnell vorüberzugehen scheint. Immerhin genügten die Untersuchungen, um erkennen zu lassen, dass die Chromatinschleifen in der Längsrichtung der Kernaxe gelagert, sich in der Mitte des Kernes ansammelten, ohne die regelmässige Anordnung zu einer typischen Aequatorialplatte erkennen zu lassen.

Eine Spaltung der Chromosomen habe ich im ganzen Verlauf der Theilung nicht feststellen können, obgleich daraufhin die entsprechenden Stadien mit starken Systemen (Zeiss: Apochr. 2 mm, Aper. 1,40 u. Comp. Ocul. 18) untersucht wurden.

In Verbindung mit der ungenügenden Ausbildung der Aequatorialplatte steht das Fehlen typischer Tochterplatten. Verfolgen wir daraufhin die Theilung weiter, so beginnt bald eine Veränderung im ganzen Habitus des Kernes einzutreten. Die beiden Pole werden stumpfer und die Chromosomen beginnen unregelmässig auf den achromatischen Fasern zu liegen, wodurch eine Auflösung der Aequatorialplatte erfolgt. Wenn dieser Process weiter vorgeschritten ist, so machen bei geringen Vergrösserungen die beiden auseinandergerückten Chromatinhälften den Eindruck von Tochterplatten. Bei stärkerer Vergrösserung und genügendem Vergleichsmaterial ist indessen nachweisbar, dass diese beiden Chromatinhälften nicht den Namen „Tochterplatten“ verdienen.

Nachdem die „Aequatorialplatte“ sich getheilt hat, entsteht durch eine Einschnürung des Kernes im Centrum desselben die

Hantelfigur. Dieses Stadium ist eines der häufigsten, da die sich bildenden beiden Tochterkerne längere Zeit durch einen Verbindungsfaden im Zusammenhang bleiben.

Es erfolgt die vollständige Zerschneidung des Kernes und damit die Bildung zweier Tochterkerne. Wie ich schon erwähnt habe und nochmals hervorheben möchte, geht die Theilung des Kernes ohne Schwinden der Kernmembran und ohne Auftreten von Centrosomen und Strahlensystemen des Plasmas durch Auseinanderrücken der Kernhälften bis auf einen feinen, scheinbar nur aus der Kernmembran bestehenden Faden vor sich. Dieser reisst schliesslich durch und es kommt zur Bildung zweier Tochterkerne, welche durch die streifige Anordnung ihrer chromatischen Substanz und durch die sich einander zukehrenden feinen Spitzen des zerrissenen Verbindungsfaden noch längere Zeit als Theilungsstadien kenntlich sind. Die Streifung der Tochterkerne verliert sich bald darauf, und die Kerne kehren, indem das Chromatin wieder in die Knotenpunkte des Kernnetzes einrückt, in das Ruhestadium zurück.

Auf das Vorkommen der direkten Theilung, welche gelegentlich vorkommen kann, habe ich bereits hingewiesen.

Wir haben den soeben beschriebenen Vorgang der Kerntheilung bei *Opalina ranarum* als Mitose bezeichnet. Indessen erscheinen uns manche Stadien derselben in ihrem Verlaufe so unvollendet und nur mehr wie in der Anlage begriffen, dass wir diese Kerntheilung als Zwischenstufe von Mitose und Amitose auffassen müssen. Indessen überwiegen die Charaktere der Mitose, so dass wir aus diesem Grunde diese Bezeichnung für den Kerntheilungsprocess von *Opalina ranarum* gewählt haben.

In derselben Sitzung vom 18. Januar 1899 sprach Herr Hans Meyer über:

Eine Theorie der Alkoholnarcose.

Mit Alkoholnarcose ist hier die narcotische Wirkung aller zur pharmakologischen Gruppe des Alkohols gehörigen Stoffe wie des Aethers, Chloroforms, Chloralhydrats, Sulfonals etc. gemeint. Trotz grosser Verschiedenheit in Constitution, Reactionsfähigkeit, Consistenz etc. zeigen alle diese Substanzen die gleiche Grundwirkung; obschon dieser Umstand von vornherein gegen eine directe Abhängigkeit ihrer Wirkung vom chemischen Bau spricht, ist doch seitens der modernen Erklärungen das Hauptgewicht auf die Anwesenheit ganz bestimmter Atomgruppen (z. B. C_2H_5 , Cl, Br, J u. s. w.) in den Anaestheticis als Ursache ihrer Wirkung gelegt worden. Das Unzureichende solcher Erklärungen liegt auf der Hand, zumal eine grosse Zahl hierhergehöriger Narcotica überhaupt keine Kohlenwasserstoffgruppen oder Halogene enthalten, und viele von ihnen wie z. B. die gesättigten Kohlenwasserstoffe chemisch kaum angreifbar sind.

Der Zusammenhang aller dieser Stoffe muss daher auf anderem Gebiete gesucht werden und ist es auch bereits durch von Bibra und Harless (1847), die die Fähigkeit der verschiedenen Anaesthetica Fette zu lösen als Ausschlag gebend bezeichneten, eine Vorstellung, die später von anderen Gesichtspunkten aus durch Hermann (1866) etwas modificiert wieder aufgenommen, wenn auch nicht weiter ausgeführt ward. In neuerer Zeit hat Pohl (1893) durch Bestimmung der quantitativen Vertheilung des Chloroforms im Thierkörper eine Unterlage für diese Hypothese zu gewinnen gesucht z. Th. auch mit positivem Erfolg, ohne jedoch einen bestimmten Schluss daraus zu ziehen.

Eine mit der von Bibra-Hermannschen verwandte, wenn schon dem ersten Anschein nach davon ganz verschiedene Erklärungsweise hat R. Dubois (1896) gegeben: Verdrängung

von Wasser aus dem Protoplasma durch Chloroform, Aether u. s. w.; ich will darauf hier nicht näher eingehen. Einen richtigen Kern enthält auch das von Richet (1893) aufgestellte Gesetz, dass bei den Anaestheticis der Wirkungsgrad umgekehrt proportional sei der Löslichkeit in Wasser. In dieser Form ist das Gesetz aber falsch (man vergleiche nur Methylurethan mit Chloralhydrat, Sulfonal mit Trional u. A. m.); durch Combination aber mit der von Bibra'schen These, dass die Wirkung um so stärker sei je leichter die Substanz in Fetten sich löse, gewinnt man den richtigen gesetzmässigen Ausdruck, der lautet:

- 1) Die relative Stärke der Anaesthetica ist abhängig von dem Theilungscoefficienten, der ihre physikalische Vertheilung in einem Gemisch von Wasser und Fett (sc. fettähnlichen Stoffen, Lecithinen etc.) bestimmt;

daraus ergibt sich als Folgerung:

- 2) Es müssen überhaupt alle indifferenten Stoffe, die für Fette (Lecithine etc.) löslich sind, sofern sie resorbiert werden und im Protoplasma sich verbreiten können, narcotisch wirken.

Beide Sätze sind der experimentellen Prüfung zugänglich. Zunächst ward eine grosse Reihe von indifferenten Stoffen auf die Richtigkeit des zweiten Satzes geprüft, und zwar:

Die Chlorhydrine;

Die Essigester des Glycerins (Acetine);

Der Glycerinaether;

Die Amide der Fettsäuren (Formamid, Acetamid, Propionamid, Butyramid, Lactamid, Oxybuttersäureamid);

Die Amide der aromatischen Säuren (Benzamid, Salicylamid und etwa 12 andere).

Bei allen diesen Substanzen traf die Voraussetzung ohne Ausnahme ein. Der einzige von den genannten Körpern, der

gar nicht narcotisch wirkt, ist das Formamid; und dieses ist gerade der einzige von allen, der in Fetten nicht löslich ist.

Ich habe dann die Wirkungsstärke von einer grösseren Zahl der Anaesthetica nach dem geringsten molecularen Concentrationsgrad bestimmen lassen, der zur Erzeugung bestimmter Narcosensymptome eben noch ausreicht und habe dann damit die auf experimentellem Wege gefundenen Theilungscoeffizienten verglichen, die sich aus der Vertheilung der betreffenden Substanzen in einem Gemisch von Wasser und reinem Olivenöl ergaben.

	Wirksame Mol.- Concentration	Theilungs- Coefficient
Tetronal	0,0018	4,04
Trional	0,0018	4,46
Butylchloralhydrat	0,0020	1,59
Bromalhydrat	0,0020	0,66
Sulfonal	0,006	1,11
Triacetin	0,010	0,80
Diacetin	0,015	0,23
Chloralhydrat	0,020	0,22
Aethylurethan	0,040	0,14
Monoacetin	0,050	0,06
Methylurethan	0,40	0,04

Die Uebereinstimmung der Reihenfolge in beiden Columnen ist fast vollständig und jedenfalls, mit Rücksicht auf die unvermeidlichen Bestimmungsfehler, namentlich der Wirkungsstärke, gross genug, um die Wahrscheinlichkeit auch des ersten der beiden Sätze zu erweisen.

Die Gesellschaft hat am 18. Januar 1899 Herrn Magnus Gustav Retzius in Stockholm zum Ehrenmitglied und Herrn Dr. Leopold Heine, Privatdocenten für Augenheilkunde an hiesiger Universität, zum ausserordentlichen Mitglied erwählt.

Aufgelegte Schriften:

- Abhandlungen der naturhistorischen Gesellschaft zu Nürnberg.
Nürnberg 1898.
- Mitteilungen des Vereins für Erdkunde in Halle a. S. 1898.
Halle 1898.
- Sitzungsberichte des Lotos in Prag. N. F. Bd. XVI, XVII.
Prag 1896/97.
82. Jahresbericht der naturforschenden Gesellschaft in Emden.
Emden 1898.
- Sitzungsber. der Gesellschaft für Morphologie und Physiologie
in München. XIV. Heft 1 und 2. München 1898.
- Abhandlungen der naturforschenden Gesellschaft zu Görlitz.
Bd. 22. Görlitz 1898.
- Jahrbücher des massauischen Vereins für Naturkunde. Jahrg. 51.
Wiesbaden 1898.
- Leopoldina, Heft XXXIV, No. 7—11.
- VIII. Bericht des Vereins für Naturkunde in Fulda.
Fulda 1898.
- Korrespondenzblatt des Naturforscher - Vereins zu Riga XLI.
Riga 1898.
- Berichte des naturwissenschaftlichen Vereins zu Regensburg.
Heft VI. Regensburg 1898.
- Verein für Naturkunde zu Krefeld. Jahrg. III. Krefeld 1898.
- Zeitschrift für Naturwissenschaften. Bd. 71, Heft 1, 2 und 3.
Leipzig 1898.
- Schriften des Vereins zur Verbreitung naturwissenschaftlicher
Kenntnisse in Wien. Bd. 38. Wien 1898.
- Verhandlungen der K. K. geologischen Reichsanstalt 1898.
No. 9—15.
- Verhandlungen der naturforschenden Gesellschaft in Basel.
Bd. XII, Heft 1. Basel 1898.
- Icones florae Germanicae et Helveticae. Tom. 23. Dec. 11/12.
- Atti della R. Accademia dei Lincei. Anno 295, Rendiconti
Vol. VII, fasc. 2—12. Anno 296, Rendiconti Vol. VIII, fasc. 1.
Roma 1898/99.
- Rendiconto dell' Accademia delle Scienze fisiche e matematiche.
Ser. 3, Vol. IV, fasc. 6, 7, 12. Napoli 1898.

- Annali delle facolta Medicina di Perugia. Vol. X, fasc. 1.
Perugia 1898.
- Stavanger Museums Aarsberetning 1897. Stavanger 1898.
- Von der Koninkl. Akademie van Wetenschappen te Amsterdam:
Verslagen Deel VI. Jaarboek 1897. Verhandelingen Deel VI,
No. 1—5; Deel VII, No. 1 und 2. Amsterdam 1897/98.
- Bulletin de l'Académie impériale des Sciences de St. Petersburg.
Ser. V, Tom. VII, No. 3—5; Tom. VIII, No. 1—4.
St. Petersburg 1898.
- Bulletin de la Société impériale des Naturalistes de Moscou
1898. No. 1.
- Memoirs of the Manchester Philosophical Society. Vol. 42,
Part. IV und V. Manchester 1898.
- Journal and Proceedings of the Royal Society of New South
Wales. Vol. XXXI. Sydney 1898.
- Bulletin of the Museum of comparative Zoology. Vol. XXXII,
No. 6—8, Annual Report 1897/98. Cambridge 1898.
- Bulletin of the New York public Library. Vol. II, No. 1 u. 7—11.
New York 1898.
- Proceedings of the American Philosophical Society. Vol. XXXVII,
No. 157 and Transactions Vol. XIV, Part. II und III.
Philadelphia 1898.
- Bulletin of the Buffalo Society of natural Sciences. Vol V,
No. 1—5; VI, No. 1. Buffalo 1886/98.
- Proceedings of the Boston Society of Natural History. Vol. 28,
No. 6—12 and Memoirs: Vol. 5, Nr. 3. Boston 1897/98.
- Smithsonian: Report 1895. Miscellaneous Collections, Vol. 37.
38. 40, 1090, 1125. Contributions to Knowledge 1126.
Washington 1898.
- Proceedings of the Academy of Natural Sciences 1898. Part. I
und II. Philadelphia 1898.
- Bulletin 9, 10, 11, 50 of U. S. Department of Agriculture.
Report of the Secretary of Agriculture. (3 Exemplare) 1898.
Washington 1898.
- Transactions of the Wisconsin Academy. Vol. XI.
Madison 1898.

Sitzungsberichte

der Gesellschaft zur Beförderung der gesammten Naturwissenschaften

zu

M a r b u r g.

Nr. 2

Februar

1899

Die wissenschaftliche Sitzung vom 8. Februar 1899 eröffnet
der Director Herr **Marchand** mit ehrenden Gedenkworten für:

Carl Friedrich Claus †.

Die Gesellschaft hat ein hochverdientes ehemaliges ordentliches Mitglied, den emeritirten Professor der Zoologie, Dr. **Carl Friedrich Claus** in Wien durch den Tod verloren. Er starb am 18. Januar d. J., 66 Jahre alt. **Claus** war zu Cassel geboren; er studirte in Marburg und Giessen und habilitirte sich im Jahre 1858 zu Marburg, ein Jahr später in Würzburg für Zoologie. Bereits nach einem Jahre wurde er ausserordentlicher Professor in Würzburg, und sodann 1863 als ordentlicher Professor nach Marburg berufen, wo er bis 1870 wirkte. Von hier ging **Claus** nach Göttingen, im Jahre 1873 nach Wien. Vor einigen Jahren legte er seine Professur nieder.

Unserer Gesellschaft gehörte der Verstorbene seit dem 8. December 1858 als ausserordentliches, seit dem 10. April 1864 als ordentliches Mitglied an. **Claus** hat eine grosse Anzahl Untersuchungen über Anatomie und Entwicklung niederer Thiere publicirt und ist in weiteren Kreisen besonders durch sein sehr geschätztes und verbreitetes Lehrbuch der Zoologie bekannt geworden.

Sodann sprach Herr Prof. Kossel über:

Protamine.

Wie der Vortragende früher dargethan hat, bilden die Protamine eine Gruppe chemischer Verbindungen, welche bei ihrer Spaltung Hexonbasen liefern. Diese Spaltungsprodukte wurden zunächst aus dem Sturin, dem Protamin des Störspermas erhalten und die bei diesen Untersuchungen benutzten Methoden auf andere Protamine (Clupein resp. Salmin) übertragen. Da die Methoden zum Nachweis des Lysins und zur Trennung des noch ungenügend bekannten Histidins vom Arginin recht unvollkommen waren, und nur als Nothbehelf betrachtet werden konnten, hat der Verfasser sich bemüht, die früheren Resultate mit besseren Hilfsmitteln nachzuprüfen.

Eine bessere Methode zum Nachweis des Lysins ergab sich aus dem Verhalten des Pikrats dieser Base, welches sich leicht rein in krystallisirtem Zustand darstellen lässt und in Alkohol nur wenig löslich ist. Auch die Prüfung auf Histidin konnte vollkommener gestaltet werden durch Anwendung der von Hedin beschriebenen Silberverbindung, welche auf Zusatz von Ammoniak zu der mit Silbernitrat versetzten Lösung der Base ausfällt.

Bei Anwendung dieser Prüfungsmittel zeigte sich, dass aus dem Salmin (bez. Clupein) kein Histidin und kein Lysin entsteht, wohl aber entstehen diese Basen aus dem Sturin. Hingegen bildet sich aus Clupein ein Körper von der Zusammensetzung einer Amidovaleriansäure ($C_6H_{11}NO_2$).

Herr Dr. Kurajeff hat im hiesigen physiologischen Institut aus den Spermatozoen der Makrele (*Scomber spec.*) ein Protamin dargestellt, welches sich im Wesentlichen wie Salmin resp. Clupein verhielt und bei der Zersetzung mit siedender Schwefelsäure weder Histidin noch Lysin ergab.

In derselben Sitzung (8. Februar 1899) sprach Herr Karl Schaum über:

Die Änderungen des Gefrierpunktes.

Die krystallisierte und die flüssige (amorphe) Phase eines Körpers können nur bei einer bestimmten Temperatur, bei dem Gefrierpunkt, koexistieren; es ist dies diejenige Temperatur, bei welcher die beiden Phasen gleichen Dampfdruck haben; demgemäss ist der Gefrierpunkt graphisch durch den Schnittpunkt (S) der Dampfdruckkurven für die krystallisierte (kr) und die flüssige Phase (fl) gegeben (Fig. I). Die graphische Darstellung lässt erkennen, dass eine Änderung des Gefrierpunktes nur bei gleichzeitiger Verschiebung einer oder beider Dampfdruckkurven möglich ist.

I. Änderung des Gefrierpunktes durch Änderung des äusseren Druckes.

Die Änderung des Gefrierpunktes (dT) durch Änderung des äusseren Druckes (dp) erfolgt nach der Formel

$$\frac{dT}{dp} = \frac{T(V - V')}{r},$$

in welcher T die absolute Temperatur des Gefrierpunktes, V resp. V' die spezifischen Volumina der flüssigen resp. der krystallisierten Phase und r die Schmelzwärme bedeutet. $V - V'$ ist bei fast allen Körpern positiv, eine Erhöhung des äusseren Druckes hat demnach ein Steigen des Gefrierpunktes zur Folge. Das Wasser macht eine bemerkenswerte Ausnahme; da das spezifische Volumen desselben im krystallisierten Zustand grösser ist, als im flüssigen, wird $\frac{dT}{dp}$ negativ, d. h. der Gefrierpunkt des Wassers sinkt durch Druckerhöhung. Die notwendige Vorbedingung zur Änderung des Gefrierpunktes ist, wie schon gesagt wurde, eine Verschiebung der Dampfdruckkurven; daraus ergibt sich, dass der Dampfdruck einer Substanz bei konstanter Temperatur eine Funktion des auf der Substanz lastenden Druckes ist, dass also Wasser bei 0° unter dem Druck von

1 Atmosphäre einen anderen Dampfdruck besitzen muss, als unter einem Druck von 100 Atmosphären. Diese Abhängigkeit des Dampfdrucks vom äusseren Druck hat wohl ihren Grund in der Abhängigkeit der »aktiven Masse« eines Körpers von dem äusseren Druck; dieselbe ist um so grösser, je stärker der Körper durch den auf ihm lastenden Druck komprimiert ist. Die beiden Kurven kr und fl werden also durch Druckerhöhung nach oben verschoben werden, d. h. der Schnittpunkt S wird in das oberhalb des Kurvensystems $flSkkr$ gelegene Gebiet ver-

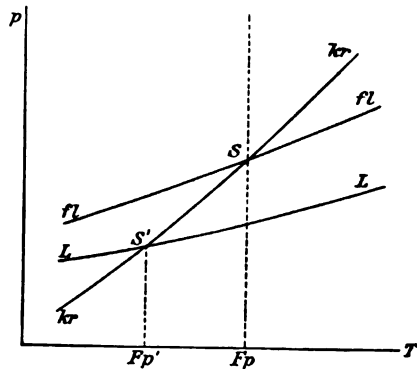


Fig. I.

legt werden, und zwar bei den meisten Körpern rechts von der Ordinate Fp , beim Wasser links von derselben liegen. Die sachgemässe Darstellung müsste in einem dreiaxigen Koordinatensystem erfolgen.

II. Änderung des Gefrierpunktes durch Anwesenheit gelöster Stoffe.

Wenn eine oder beide Phasen durch Anwesenheit eines gelösten Stoffes ihren Charakter als chemische Individuen verlieren, so muss sich der Gefrierpunkt ändern.

A. Der fremde Stoff ist nur in einer Phase löslich.

Von dem wenig wahrscheinlichen Fall, dass der fremde Stoff nur in der kristallisierten, nicht aber in der flüssigen Phase

löslich ist, wollen wir zunächst absehen. Was für eine Änderung des Gefrierpunktes tritt ein, wenn ein fremder Körper in der flüssigen Phase gelöst ist? Aus der Lösung scheidet sich die reine krystallisierte Phase bei derjenigen Temperatur aus, bei welcher ihr Dampfdruck gleich ist dem Partialdruck des Lösungsmittels in der Lösung. Nach dem Grundgesetz für die Lösungen (auf gasförmige Lösungen, d. h. Gasgemische hat dasselbe keine Anwendung) ist der Partialdruck einer Substanz in einer Lösung stets kleiner als ihr Dampfdruck im reinen Zustand. Die Kurve für den Partialdruck des Lösungsmittels (L , Fig. I) in einer Lösung verläuft daher stets unterhalb der Dampfdruckkurve des reinen Lösungsmittels; der Schnittpunkt S der beiden Kurven k_r und L liegt links von der Ordinate F_p , d. h. der Gefrierpunkt sinkt durch Anwesenheit eines gelösten Stoffes in der flüssigen Phase. Es muss genau beachtet werden, dass nur der Partialdruck des Lösungsmittels in Betracht kommt, nicht etwa der gesamte Dampfdruck der Lösung, welcher sehr wohl grösser sein kann, als der des reinen Lösungsmittels, wie bei einer Lösung von Alkohol in Wasser. Die Dampfdruckkurve des Alkohol-Wassergemisches liegt oberhalb der des reinen Wassers; der Schluss, dass der Gefrierpunkt des Gemisches höher sei, als der des Wassers, ist natürlich falsch, da das beim Gefrierpunkt herrschende Gleichgewicht nur durch die Gleichheit des Dampfdruckes des Eises und des Partialdruckes des Wassers bedingt wird.

Der schon erwähnte wenig wahrscheinliche Fall, dass der fremde Stoff nur in der krystallisierten Phase löslich ist, würde, wie leicht mit Hilfe graphischer Darstellung ersichtlich, eine Erhöhung des Gefrierpunktes bedingen.

Die Bestimmung der Gefrierpunktserniedrigung einer Lösung von bekannter Konzentration kann der chemischen Forschung ausserordentliche Dienste leisten. Nach dem Raoult'schen Gesetz besitzen nämlich verdünnte äquimolekulare Lösungen, d. h. Lösungen, welche auf gleiche Mengen desselben Lösungsmittels solche Gewichtsmengen verschiedener Substanzen

enthalten, die im Verhältnis ihrer Molekulargewichte stehen, gleiche Gefrierpunktserniedrigung; man ist daher im Stande, aus der beobachteten Gefrierpunktserniedrigung Δ einer $p\%$ igen Lösung das Molekulargewicht m der gelösten Substanz nach der Formel

$$m = E \frac{p}{\Delta}$$

zu berechnen, in welcher E die »molekulare Gefrierpunktserniedrigung« für das angewandte Lösungsmittel bedeutet, d. h. die Erniedrigung, welche eine Grammolekel in 100 Gramm des Lösungsmittels gelöst bedingen würde (falls auf eine solche Lösung das Raoult'sche Gesetz noch Anwendung fände). Diese Konstante lässt sich mittels einer löslichen Substanz von bekannten Molekulargewicht experimentell bestimmen, sowie aus der Schmelzwärme des Lösungsmittels rechnerisch ermitteln.

a) Gefrierpunktserniedrigung durch künstlichen Zusatz löslicher Stoffe.

Aus dem Gesagten ist leicht ersichtlich, welch vortreffliches Mittel zur Bestimmung des Molekulargewichtes von Elementen und Verbindungen wir in der leicht ausführbaren Messung der Gefrierpunktserniedrigung besitzen.

b) Gefrierpunktserniedrigung durch freiwillige Bildung löslicher Stoffe.

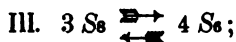
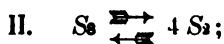
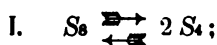
Eine Erniedrigung des Gefrierpunktes kann auch ohne künstlichen Zusatz eines Stoffes dadurch zu Stande kommen, dass sich freiwillig in der Flüssigkeit eine lösliche Substanz bildet. Dies wird vornehmlich bei chemisch-isomeren hylotropen Körpern eintreten, d. h. bei Körpern, welche befähigt sind, im flüssigen (ebenso wie im gelösten oder dampfförmigen) Zustand sich direkt durch metamere Umlagerung oder durch Polymerisation (resp. Dissoziation) bis zum Eintritt eines Gleichgewichtszustandes in einander umzuwandeln. Schmilzt man eine

derartige Substanz, so muss der Gefrierpunkt allmählich sinken, falls die Herstellung des Gleichgewichtes nicht allzusehnell erfolgt. Man wird durch geeignetes Verfolgen der allmählichen Gefrierpunktserniedrigung demnach im Stande sein, die Reaktionsgeschwindigkeit der metameren Umwandlung zu bestimmen; bei polymeren Umwandlungen kann man auch, wie weiter unten gezeigt werden soll, das Verhältnis der Molekulargewichte der polymeren Formen ermitteln.

a) Gefrierpunktserniedrigung durch metamere Umwandlung habe ich noch nicht untersucht, doch hoffe ich bald an geeigneten Beispielen Versuche anstellen zu können. Die Ergebnisse werden vielleicht für das Tautomerieproblem von Nutzen sein ¹⁾.

b) Gefrierpunktserniedrigung durch polymere Umwandlung hat schon vor längeren Jahren Gernez am Schwefel beobachtet. Er fand, dass der Gefrierpunkt des Schwefels davon abhängig ist, auf welche Temperatur der flüssige Schwefel erhitzt worden war, und schreibt die Erniedrigung des Gefrierpunktes sachgemäss der Bildung einer neuen Schwefelmodifikation zu, welche im gewöhnlichen flüssigen Schwefel gelöst bleibt. Die neue Modifikation ist nach der unzweifelhaft richtigen Auffassung von Gernez identisch mit dem sogenannten amorphen Schwefel, der bekanntlich durch Erhitzen des gewöhnlichen Schwefels und Beseitigen der krystallisierten Form durch Behandeln mit CS_2 erhalten wird. Im experimentellen Anhang wird gezeigt werden, dass die Umwandlung des gewöhnlichen Schwefels in den amorphen jedenfalls eine Dissoziation ist; da nun der Schwefel im gelösten Zustand die Molekel S_8 besitzt, wollen wir vorläufig annehmen, dass ihm im Schmelzfluss die gleiche Molekulargrösse zukommt; alsdann wären folgende Dissoziationsgleichungen in Betracht zu ziehen:

1) Von Bancroft und seinen Schülern ist das Verhalten von Gemischen stereoisomerer Formen beim Erstarren untersucht worden. The Journ. of Phys. Chem. Bd. 2.



die den drei Gleichungen entsprechenden Reaktionsgeschwindigkeiten wären folgende:

$$\text{I. } \frac{dx}{dt} = k(A-x) - k'(B + 2x)^2;$$

$$\text{II. } \frac{dx}{dt} = k(A-x) - k'(B + 4x)^4;$$

$$\text{III. } \frac{dx}{dt} = k(A-x)^3 - k'(B + \frac{4}{3}x)^4;$$

wenn A und B die zur Zeit 0 vorhandenen molekularen Mengen von gewöhnlichen und amorphen Schwefel, x die nach Verlauf der Zeit t umgewandelte Menge des gewöhnlichen Schwefels bedeutet. Die rechnerische Durchführung der Gleichungen II und III wird ihre Schwierigkeit haben; falls sie gelingt, wird sich entscheiden lassen, welcher Dissoziationsgleichung die Schwefelumwandlung entspricht, und damit wäre das bisher nicht bestimmbare Molekulargewicht des amorphen Schwefels, oder — falls dem flüssigen Schwefel nicht das Molekulargewicht S_8 zukäme — doch wenigstens das Verhältnis der beiden Molekulargewichte ermittelt. Die molekulare Gefrierpunktserniedrigung des Schwefels lässt sich aus der Schmelzwärme berechnen; A , B und x lassen sich demnach unter Annahme desjenigen Molekulargewichts für den amorphen Schwefel, welcher der betreffenden in Betracht kommenden Gleichung entspricht, nach der Raoult'schen Formel finden.

B. Der fremde Stoff ist in beiden Phasen löslich.

Vermag sich der fremde Stoff nicht nur in der flüssigen, sondern auch in der krystallisierten Phase des Lösungsmittels zu lösen, so scheidet sich beim Gefrierpunkt nicht reines Lösungsmittel, sondern eine krystallisierte (feste) Lösung aus.

Vornehmlich ist dies der Fall bei isomorphen Körpern, d. h. bei solchen Stoffen, welche innerhalb mehr oder weniger weiter Grenzen Mischkrystalle mit kontinuierlich variabler Zusammensetzung zu bilden vermögen. Viele isomorphe Substanzen vermögen in allen Verhältnissen zusammenzukrystallisieren.

Wollen wir die Änderungen des Gefrierpunktes für den Fall, dass eine feste Lösung auskrystallisiert, diskutieren, so müssen wir in Betracht ziehen, ob der gelöste Stoff einen so kleinen Dampfdruck in den Lösungen zeigt, dass er demjenigen des Lösungsmittels gegenüber vernachlässigt werden kann. Alsdann würden in Fig. III die Kurven, welche den allein massgebenden Partialdrucken des Lösungsmittels entsprechen, unterhalb denjenigen des Lösungsmittels liegen. Erleidet der Dampfdruck der krystallisierten Phase eine stärkere Erniedrigung als derjenige der flüssigen Phase, so steigt der Gefrierpunkt, wie eine entsprechende Vervollständigung der graphischen Darstellung zeigen würde. Ist das Umgekehrte der Fall, so sinkt der Gefrierpunkt. Werden die Dampfdrucke beider Phasen um den gleichen Betrag erniedrigt, so bleibt der Gefrierpunkt konstant.¹⁾

Darf jedoch der Dampfdruck des gelösten Stoffes gegenüber demjenigen des Lösungsmittels nicht vernachlässigt werden, und das wird bei isomorphen Mischungen häufig der Fall sein, so haben wir die Lösungen als flüchtige Gemische aufzufassen, d. h. als Systeme, aus denen gleichzeitig beide Stoffe verdampfen. Die alsdann aus der flüssigen Lösung sich abscheidende feste Lösung muss nicht nur gleichen Dampfdruck wie jene haben, sondern es müssen auch die Partialdrucke des nämlichen Komponenten in beiden Lösungen gleich sein, weil sonst kein Gleichgewicht herrschen könnte. Die graphische Darstellung liefert uns das in Fig. II gegebene Bild. A_{kr} und A_{fl} sind die Kurven für die Partialdrucke des Stoffes A in der krystallisierten und

1) Vgl. G. Bodländer, Über feste Lösungen. Neues Jahrb. f. Mineralogie 1898, pag. 70.

in der flüssigen Lösung; ebenso sind B_{kr} und B_{fl} die Kurven für die Partialdrucke des Stoffes B in den beiden Lösungen. Die Kurve für die Gesamtdrucke der krystallisierten Lösung L_{kr} und für die flüssige Lösung des L_{fl} sind additiv durch die einzelnen Partialdrucke bestimmt. Beispielsweise ist der Gesamtdampfdruck ad beim Gefrierpunkt gleich $ac + ab$.

Wollen wir den Gefrierpunkt einer flüssigen isomorphen Mischung, die als flüchtiges Gemisch betrachtet werden muss,

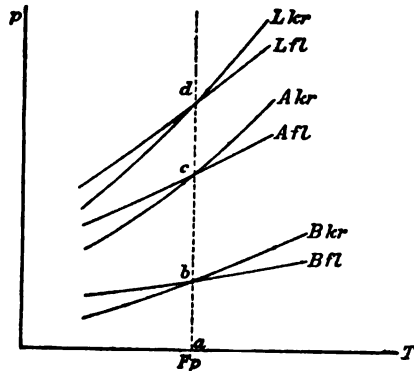


Fig. II.

graphisch darstellen, so haben wir, wie aus dem Gesagten hervorgeht, die Kurven für die Gesamtdrucke der beiden Lösungen in das Koordinatensystem einzutragen. Welche Lage werden diese Kurven zu denjenigen für das reine Lösungsmittel einnehmen?

Für flüchtige Gemische gilt — wenigstens innerhalb des Gebietes der verdünnten Lösungen — nach Nernst¹⁾ die Beziehung, dass der gesamte Dampfdruck der Lösung kleiner ist, als der des Lösungsmittels, wenn die Konzentration des gelösten Stoffes in der Lösung (C) grösser ist als die Konzentration desselben im Dampf (C_1), wenn also $\frac{C_1}{C} < 1$. Ist $\frac{C_1}{C} > 1$, so

1) Nernst, Z. phys. Chem. 8, 124 (1891).

ist der Gesamtdampfdruck grösser als der des Lösungsmittels. Ist $\frac{C_1}{C} = 1$, so ist der Dampfdruck der Lösung gleich dem des Lösungsmittels.¹⁾ In all diesen Fällen ist, wie nochmals betont werden mag, der Partialdruck jedes Komponenten in einer Lösung kleiner, als desselben im reinen Zustand; ebenso ist auch die Partiallöslichkeit jedes Komponenten einer isomorphen Mischung (auch eines Doppelsalzes) geringer, als die des Stoffes im reinen Zustand.

Man wird annehmen dürfen, dass $\frac{C_1}{C} > 1$ ist, wenn der Dampfdruck des gelösten Stoffes im reinen Zustand beim Gefrierpunkt des Lösungsmittels ziemlich gleich oder grösser ist, als dessen Dampfdruck, dass dagegen $\frac{C_1}{C} < 1$, wenn der Druck des Lösungsmittels bedeutend grösser ist, als der des zu lösenden Stoffes.

Die Fig. III lässt erkennen, dass zur Verschiebung des Gefrierpunktes S in das Gebiet a eine Erhöhung beider Dampfdruckkurven, zur Verschiebung in das Gebiet b eine Erniedrigung derselben erforderlich ist. (Eine Verschiebung in die Gebiete c und d würde eine ungleichartige Änderung der beiden Kurven erfordern; die eine müsste nach oben, die andere nach unten verschoben sein). Liegt der Gefrierpunkt des zu lösenden Stoffes beispielsweise bei x , so ist der Dampfdruck desselben beim Gefrierpunkt des Lösungsmittels höchstwahrscheinlich grösser, als dessen Dampfdruck; daher wird der Gefrierpunkt S in das Gebiet a verschoben werden; analog werden die Dampfdruckkurven einer verdünnten Lösung von S in x unterhalb derjenigen von x verlaufen. Das Umgekehrte wird eintreten, wenn isomorphe Gemische der Körper S und y in Frage kommen. Ob eine Erhöhung oder eine Erniedrigung des Gefrierpunktes stattfindet,

1) Ostwald, Lehrb. d. allg. Chem. 2. Aufl. II, 2; pag. 589.

hängt, wie schon oben besprochen, von dem Verhältnis der Dampfdruckänderung der festen und der flüssigen Lösung ab.

Die Schmelzpunkte von isomorphen Gemischen wechselnder Zusammensetzung liegen wie Küster¹⁾ gezeigt hat, falls die Gefrierpunkte der reinen Stoffe nicht weit von einander entfernt sind, auf einer von der die beiden Gefrierpunkte verbindenden Graden nicht stark abweichenden Kurve. Liegen dagegen die Schmelzpunkte der reinen Substanzen sehr weit auseinander, so

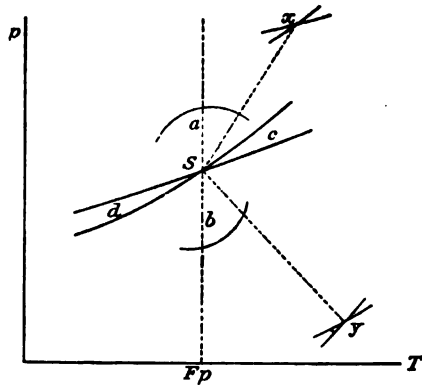


Fig. III.

ist nach Garelli²⁾ und Bruni³⁾ die Abweichung der Gefrierpunktskurve von der graden Linie eine recht beträchtliche.

Anhang.

Experimentelle Untersuchungen über die Umwandlung des Schwefels durch Erhitzen.

Die allmähliche Erniedrigung des Gefrierpunktes am Schwefel habe ich verfolgt, indem ich schnell geschmolzenen, reinen Schwefel im Beckmann'schen Apparat ohne Luftmantel in ein

1) Z. phys. Chem. 8, 584 (1891).

2) Gazz. chim. 1894. II, 263.

3) Gazz. chim. 1898. II, 322.

Glycerinbad von konstanter Temperatur tauchen liess und von Zeit zu Zeit möglichst rasch in einem anderen Bad von geeigneter Temperatur unter Anwendung eines Luftmantels den Gefrierpunkt dieser Schwefelmenge bestimmte. Die Ergebnisse sind in der folgenden Tabelle zusammengestellt :

T = 121,4.				T = 131,1.				T = 140,6.			
t.	Fp.	t.	Fp.	t.	Fp.	t.	Fp.	t.	Fp.	t.	Fp.
0	118,7	0	118,75	0	118,5	0	118,2	0	117,5	0	118,0
13	118,1	7	118,5	11	118,1	10	117,75	12	116,25	8	117,2
30	117,8	23	118,05	24	117,4	19	117,25	25	115,15	19	116,0
54	117,3	42	117,5	39	116,7	30	116,85	44	113,8	30	115,2
77	116,9	58	117,1	62	115,9	45	116,3	64	112,9	45	114,3
110	116,45	83	116,7	77	115,4	64	115,85	88	112,15	63	113,3
144	115,9	103	116,4	93	115,2	85	115,1	113	111,7	75	112,9
185	115,55	121	116,2	109	114,85	—	—	∞	111,6	—	—
235	114,75	143	116,05	136	114,2	—	—				
415	113,95	182	115,5	∞	112,5	—	—				
∞	113,55	—	—								

Unter Fp. sind die nach t Minuten (vom Moment des Einstellens in das Glycerinbad an gerechnet) beobachteten Gefrierpunkte verzeichnet. Die Tabelle zeigt, dass die Reaktionsgeschwindigkeit mit steigender Temperatur sehr stark zunimmt; ferner ist ersichtlich, dass der Gleichgewichtszustand von der Temperatur abhängig ist, dass also (nach thermodynamischen Gesetzen) die sich abspielende Reaktion mit Wärmetönung verbunden ist, und zwar dass sie, da mit steigender Temperatur eine Verschiebung des Gleichgewichtszustandes zu Gunsten des amorphen Schwefels erfolgt, eine thermonegative (endotherme) ist. Wir können daher mit Wahrscheinlichkeit schliessen, dass es sich bei diesem Vorgang um eine Dissoziation handelt.

Der Gefrierpunkt im Glycerin- oder Wood'schen Metallbad stark erhitzten Schwefels wurde in der Weise bestimmt, dass derselbe an der Luft möglichst rasch abgekühlt und dann in das Bad mit Luftmantel getaucht wurde. Bei diesen Versuchen machte ich eine interessante Wahrnehmung. Bekanntlich wird

der Schwefel bei höherer Temperatur (bei meinen Versuchen bei zirka 168°) sehr plötzlich so zäh, dass man den Rührer nur noch schwer bewegen kann. Bei diesem Zählerwerden beobachtete ich ein starkes Fallen des im Schwefel befindlichen Thermometers, obgleich die Temperatur im Heizbad in schnellem Steigen begriffen war; das Thermometer sank beispielsweise von 168,0 auf 166,3; von 168,6 auf 166,8; von 167,8 auf 166,8, um dann wieder zu steigen; es findet demnach bei dieser Temperatur eine Umwandlung beträchtlicher Mengen des gewöhnlichen Schwefels in eine isomere Form statt. Bei sinkender Temperatur geht die Rückwandlung mit grosser Geschwindigkeit vor sich; bei zirka 155° ist der Schwefel wieder völlig dünnflüssig, auch liegt der Gefrierpunkt des auf zirka 170° erhitzten Schwefels nicht viel unter dem auf zirka 140° erhitzten. Lässt man nun den Schwefel ganz erstarren, so sinkt zunächst die Erstarrungstemperatur allmählich wegen der zunehmenden Konzentration der Lösung; denn beginnt sie — bei gleichzeitig fallender Badtemperatur — zu steigen, um nach Erreichung eines Maximums wieder zu sinken, wie folgende Tabelle zeigt:

T in Schmelz-			T in Schmelz-		
t	fluss	T in Bad	t	fluss	T in Bad
0	110,8	105	10	110,7	97,5
2	110,5	104	10,5	110,8	97
4	110,3	103	11	110,85	96,8
6	110,2	101	13	110,7	96
8	110,3	100	17	110,1	93,5
8,5	110,6	98	—	—	—

Das Steigen der Temperatur im erstarrenden Gemisch wird wohl auf die freiwerdende Polymerisationswärme zurückgeführt werden müssen.

In der folgenden Tabelle sind die Gefrierpunkte ziemlich hochoerhitzten Schwefels verzeichnet, ferner das Temperaturintervall, in welchem der erstarrende resp. erstarrte Schwefel gehalten wurde, sowie die »Erstarrungszeit«, und der nach Verlauf derselben beobachtete Gefrierpunkt.

Erhitzt auf	Fp.	Erstarrungs- Temp.	Erstarrungs- Zeit	Fp.
169	111,0	111,0—109,6	15 Min.	115,95
168,5	110,6	110,6—106,6	30 „	116,9
168	110,8	110,8—70	45 „	118,1
168	110,8	110,8—109,6	45 „	117,9
268	112,2	112,2—111,9	17,5 „	115,8.

Wenngleich also schon während zirka 15 Minuten langem Halten bei der Erstarrungstemperatur der grösste Teil des amorphen Schwefels zurückverwandelt wird, so ist doch zur Erzielung eines von amorphem Schwefel möglichst freien Kristallkonglomerates ziemlich lange Erstarrungszeit nötig.

Gernez hat bereits gezeigt, dass sehr hoch (auf 200—440°) erhitzter Schwefel einen höheren Gefrierpunkt zeigt, als Schwefel, welcher nur auf 170° erhitzt worden war; während Gernez als tiefste Temperatur des sehr hoch erhitzten Schwefels 114,3° angiebt, erhielt ich, wie die folgenden Zahlen zeigen, weit tiefere Gefrierpunkte, doch erreichte ich nicht solch tiefe Punkte, wie bei dem auf 170° erhitztem Schwefel.

Erhitzt auf	Fp.	Erhitzt auf	Fp.
250	111,0	350	111,8
268	112,2	355	112,25
350	111,1	360	112,6.

Der Schwefel, welcher zwischen 168° und 250° sehr zäh ist, wird oberhalb dieser Temperatur wieder ganz dünnflüssig; bei fallender Temperatur scheint die Zähigkeit nicht solch hohe Werte anzunehmen, wie bei steigender Temperatur. Um mir einen — allerdings nur annähernden — Begriff von der Zähigkeit zu machen, bestimmte ich die Fallzeit des Platinrührers von der Oberfläche der Flüssigkeit bis zum Boden des Gefässes. Während bei steigender Temperatur beispielsweise eine maximale Fallzeit von 11 Sek. zwischen 190 und 195° erhalten wurde, ergab sich bei fallender Temperatur ein Maximum von 9,5 Sek. bei 205°. In anderen Versuchsreihen waren die Diffe-

renzen noch weit beträchtlicher; die Versuchsergebnisse sind jedenfalls von der Abkühlungsgeschwindigkeit abhängig.

Eigentümlich ist folgende Erscheinung. Der nach dem Erhitzen auf zirka 350° beobachtete Schmelzpunkt stieg im Erstarrungsbad allmählich an und begann darauf wieder zu sinken. Wurde der Schwefel alsdann in ein Bad von $131,1^{\circ}$ getaucht, so stieg der Gefrierpunkt sehr schnell auf eine Temperatur an, welche weit oberhalb der Gefriertemperatur $112,5$ (vgl. Tabelle auf pag. 37) liegt, welche durch den der Badtemperatur entsprechenden Gleichgewichtszustand bedingt würde. Darauf erfolgte wieder ein Fallen des Gefrierpunktes, aber mit grösserer Geschwindigkeit, als der Badtemperatur entspricht, auch erhielt ich immer einen um zirka $0,3^{\circ}$ zu hohen Gefrierpunkt im Gleichgewichtszustand.

Möglicherweise spielen verwickeltere Gleichgewichtszustände, die sich bei höheren Temperaturen durch weitere, stufenweise Dissoziation ausbilden, und bei tiefer Temperatur nur langsam rückgängig werden, bei diesen Erscheinungen mit, doch bedarf es noch weitem experimentellen Untersuchungen, um diesen Punkt aufzuklären. Es seien nur noch die Zahlen aus einer Versuchsreihe für die eben besprochenen Beobachtungen angeführt:

t	Badtemp.	Fp.
0	110	111,8
5	110	112,4
12	110	112,6
13	110	112,4
18	131,1	114,2
24	131,1	113,9
48	131,1	112,9
150	131,1	112,8.

Endlich legte Herr Kayser eine Suite von Versteinerungen aus dem Kalk des bekannten grossen Braunsteinwerkes, der »Lindner Mark« unweit Giessen vor. Einen Theil dieser Versteinerungen verdankt der Vortragende zwei ihm befreundeten Giessener Liebhabern der Geologie; die meisten aber brachten er und sein Assistent, Herr Cand. H. Lotz, durch eigenes, mit grösseren Sprengarbeiten verbundenes Sammeln in den beiden letzten Jahren zusammen.

Während man bisher aus dem Kalk und Dolomit der Lindner Mark keine anderen Reste als undeutliche Korallen und Stromatoporen kannte, so handelt es sich jetzt um z. Th. sehr gut erhaltene Zweischaler, Gastropoden und Brachiopoden. Die Fauna beweist mit aller Sicherheit, dass der fragliche Kalk den Stringocephalen-Schichten oder dem jüngeren Mitteldevon angehört.

Das in Kalken dieses Alters sonst nicht leicht fehlende Hauptleitfossil selbst, Stringocephalus Burtini, hat sich allerdings im Kalk der Lindner Mark bisher ebensowenig gefunden, wie in anderen ähnlichen Kalken in der näheren Umgebung Giessens; dafür treten aber andere sehr bezeichnende Arten des Stringocephalkalkes auf, wie Murchisonia coronata, Natica subcostata, Macrochilus arculatum u. a.

Eine der häufigsten Schnecken steht der bekannten Paffrather Rotella heliciformis sehr nahe, erreicht indess reichlich doppelte Grösse und hat auffallend stark entwickelte Nabelschwielen. Zu den bemerkenswerthesten Formen der Fauna aber gehören unstreitig ein paar neue, bis handgross werdende, durch starke Radialkiele ausgezeichnete Megalodon-Arten, von denen Exemplare mit völlig freigelegtem Schloss vorgelegt wurden. Die gewöhnliche Paffrather Art, Megal. cucullatus, scheint dem in Rede stehenden Kalk zu fehlen.

Die interessante Fauna soll demnächst in den Schriften der Gesellschaft beschrieben und, soweit erforderlich, abgebildet werden.

Am 8. Februar 1899 wurde der Privatdocent für Frauenkrankheiten an hiesiger Universität Herr Dr. Fritz Kühne zum ausserordentlichen Mitglied der Gesellschaft gewählt.

Aufgelegte Schriften:

- Proceedings of the American Academy of Arts and Sciences. Vol. XXXIII, No. 13—27. Vol. XXXIV, No. 1. Boston 1898.
 Missouri Botanical Garden. 9. Report. St. Louis 1898.
 Bulletin of the U. S. Agriculture Experiment Station of Nebraska. Vol. X, Bull. 50—54. Lincoln 1898.
 Informe de Museo Nacional de Costa Rica. San Jose. 1898.
 The American Naturalist. Vol. XXXII, No. 378—385. Boston 1898.
 Revista do Museu Nacional de Rio de Janeiro. Vol. I. Rio de Janeiro 1896.
 Comunicaciones del Museo Nacional de Buenos Aires. Tom. I, No. 1 und 2. Buenos Aires 1898.
 Tufts College Studies. No 5. Tufts College. Mass. 1898.
 Transactions of the Meriden Scientific Association. Vol. VIII. Meriden Conn. 1898.
 American Microscopical Journal. 12 Hefte. Detroit 1898.
 75. Jahresbericht der schlesischen Gesellschaft für vaterländische Kultur, nebst Ergänzungsheft 1. Breslau 1898.
 Abhandlungen der Senckenbergischen naturforschenden Gesellschaft. Band XXI, Heft 2; Band XXIV, Heft 3. Bericht 1898. Frankfurt a. M. 1898.
 Jahresbericht über die Verwaltung des Medicinalwesens der Stadt Frankfurt a. M. Jahrg. XLI. Frankfurt a. M. 1898.
 Mitteilungen des naturwissenschaftlichen Vereins für Steiermark. Heft 34. Graz 1898.
 Jahresbericht und Abhandlungen des naturwissenschaftlichen Vereins in Magdeburg. 1896/98. Magdeburg 1898.
 Jahresbericht des Vereins für Naturkunde in Zwickau für 1897. Zwickau 1898.
 Jahresbericht der naturforschenden Gesellschaft Graubündens. N. F., Bd. XLI, nebst Beilage: Die Fische. Chur 1898.
 Archives du Musée Teyler. Ser. II. Vol. VI, II. Haarlem 1898.
 Crustacea of Norway bei G. O. Sars. Vol. II, Part. XI, XII. Bergen 1898.
 Tromsøe Museums Aarshefter. 19. Aarsberetning for 1895 und 1896. Tromsøe 1897/98.

Sitzungsberichte

der Gesellschaft zur Beförderung der gesammten Naturwissenschaften

zu

M a r b u r g.

N^{ro.} 3

März

1899

In der wissenschaftlichen Sitzung vom 7. März 1899 sprach Herr R. Schenck über die Ergebnisse einer in Gemeinschaft mit Herrn Andr. Kreichgauer unternommenen Untersuchung:

Über den Einfluss von Säuren auf das optische Drehungsvermögen von Asparaginlösungen.

Die optische Activität des Asparagins ist schon vor langer Zeit, 1850, von Pasteur festgestellt worden, ebenso die merkwürdige Erscheinung, dass die Drehungsrichtung wechselt, je nachdem die Lösung sauer oder neutral ist. Weiter haben sich Champion und Pellet sowie A. Becker mit diesem Gegenstand beschäftigt. Das Ergebnis ihrer Untersuchungen ist, dass starke Säuren starke Rechtsdrehung erzeugen, während Essigsäure in verdünnten Lösungen schwache Linksdrehung, in concentrirten Lösungen schwache Rechtsdrehung verursacht, bei einer bestimmten Concentration wird das Drehungsvermögen völlig aufgehoben.

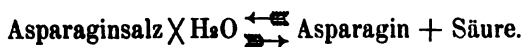
Über die Ursache dieser auffälligen Erscheinung sagen sie nichts aus.

Das Asparagin ist, wie die elektrische Leitfähigkeit zeigt, eine sehr schwache Base und ihre Salze sind in wässriger Lösung, wie das bei schwachen Basen stets der Fall ist, in sehr weitgehendem Masse hydrolytisch gespalten, d. h. in freie Base und

freie Säure zerfallen. Untersuchungen über die Hydrolyse des Chlorides und Sulfates sind von Walker angestellt.

Es lag nun die Vermutung nahe, dass das optische Verhalten der Asparaginsalze in Lösungen durch die Hydrolyse bedingt sei.

Die Asparaginsalze zerfallen in freies Asparagin und freie Säure, jedoch ist dieser Zerfall nicht vollständig, es besteht vielmehr ein Gleichgewicht, welches sich durch folgende umkehrbare Formel ausdrücken lässt



Und es gilt, falls die Säure eine starke ist, für die auftretenden Molekülgruppen, wie von Walker gezeigt wurde, die Beziehung

$$\frac{\text{Säure} \times \text{Asparagin}}{\text{Salz}} = \text{Const.}$$

An optisch activen Molekülen haben wir ausser dem freien Asparagin die Ionen des Asparaginsalzes. Die Drehung der Lösung setzt sich additiv aus den Drehungen dieser Complexe zusammen.

Die erste Aufgabe war es, die specifischen Drehungen, sowohl des Asparagins selbst als der Ionen des Asparaginsalzes zu ermitteln. Wir verwendeten stets, um von Concentrationseinflüssen unabhängig zu sein, Lösungen mit 0,1 g Mol. auf 1 Liter Lösung. Die Drehung wurde beobachtet im 60 cm-Rohr eines Landolt'schen Halbschattenapparates mit dreitheiligem Gesichtsfeld. Ausserdem wurde die Temperatur constant auf 25° gehalten.

Reine Asparaginlösungen zeigten unter den angegebenen Bedingungen einen Drehungswinkel von $-0,51^\circ$, es entspricht dieses einer specifischen Drehung

$$[\alpha]_D^{25^\circ} = -6,50.$$

Die spec. Drehung der Asparaginionen wurde an einer Lösung in fünffach normaler Salzsäure ermittelt. Wir dürfen annehmen, dass in einer solchen Lösung die hydrolytische Spaltung fast

vollständig zurückgedrängt ist, und dass wir lediglich die Ionen des Asparaginsalzes in der Lösung haben. Die beobachtete Drehung war $+2,75^\circ$, die spezifische Drehung ergibt sich hieraus zu

$$[\alpha]_D^{25^\circ} = -34,76.$$

Eine Erhöhung der Säureconcentration verändert diesen Wert nicht mehr.

Die spezifischen Drehungen aller Asparaginsalzlösungen bewegen sich zwischen diesen beiden Endwerten.

Aus der oben angeführten Gleichung

$$\frac{\text{Säure} \times \text{Asparagin}}{\text{Salz}} = \text{const.}$$

geht hervor, dass mit abnehmender Säuremenge die Menge der Asparaginbase sich vermehren muss, was natürlich nur auf Kosten des Salzes geschehen kann. Das Salz ist völlig elektolytisch in seine Ionen gespalten und diese Ionen zeigen starke Rechtsdrehung. Je geringer nun die Concentration der Säure ist, um so weniger positiv drehende Moleküle und um so mehr negativ drehende sind vorhanden. Ist unsere Annahme, dass das optische Verhalten einer Asparaginlösung wesentlich durch die Hydrolyse bedingt ist, richtig, so muss mit abnehmender Säureconcentration die positive Drehung abnehmen und allmählig in eine negative übergehen.

Die Messungen an Salzsäure lieferten folgende Resultate.

Faktor der Säure:	Spec. Drehung:
5,0	+ 34,76
2,5	+ 34,72
1,0	+ 31,76
0,2	26,30
0,1	23,16
0,075	18,26
0,05	10,70
0,025	2,82
0,01	— 2,67

Ein ähnliches Verhalten zeigen sämtliche untersuchten Säuren. Die Drehung wird also bei abnehmender Säureconcentration thatsächlich nach links verschoben.

Die hydrolytische Spaltung von Salzen schwacher Basen ist nun weiter abhängig von der electrolytischen Dissociation der Säure. Die Hydrolyse ist eine Function der Concentration der freien Wasserstoffionen. Es muss demnach, wenn die Grösse der optischen Drehung von Asparaginlösungen von der Grösse der Hydrolyse abhängt, der Wert der optischen Drehung mit abnehmender electrolytischer Dissociation abnehmen. Die Messungen an einer grösseren Zahl von Säuren bestätigten diese Annahme. Die Ergebnisse sind in der folgenden Tabelle zusammengestellt für Lösungen, in denen 0,1 Mol. Säure und 0,1 Mol. Asparagin pro 1 Liter enthalten sind. Colonne I. enthält die Werte für die beobachteten specifischen Drehungen, die Säuren sind nach der Grösse dieser Constante geordnet, Colonne II. und III. enthalten die relativen Reactionsgeschwindigkeiten bei der Methylacetatverseifung und bei der Zuckerinversion, die ja ein Mass für die Wasserstoffionenconcentration, für die Grösse der electrolytischen Dissociation der Säuren, sind.

	I. $[\alpha]_D^{25^\circ}$	II.	III.
Salzsäure	+ 23,16	100	100
Bromwasserstoffsäure	22,79	98	101
Salpetersäure	22,64	91	100
Trichloressigsäure	22,53	68,2	75,4
Schwefelsäure	19,00	73,9	73,2
Oxalsäure	9,51	17,6	18,6
Monochloressigsäure	5,87	4,3	4,8
Phosphorsäure	3,57	—	6,1
Malonsäure	1,53	2,87	3,08
Milchsäure	— 0,52	0,9	1,07
Citronensäure	— 1,41	1,63	1,73
Ameisensäure	— 1,94	1,31	1,53
Essigsäure	— 5,02	0,34	0,4
Bernsteinsäure	— 5,09	0,5	0,55

Wie wir sehen, ist im Grossen und Ganzen Parallelismus zwischen den einzelnen Reihen vorhanden, die kleinen Abweichungen erklären sich daraus, dass bei den kleinen Drehungswinkeln, wie sie Lösungen mit schwachen Säuren zeigen, die Ablesung nicht mehr mit der genügenden Genauigkeit vorgenommen werden kann.

Weiter üben alle Einflüsse, welche geeignet sind, die elektrolitische Dissociation der Säuren zu verändern, einen Einfluss auf die optische Drehung der Asparaginsalzlösungen aus. Aus den Untersuchungen von Arrhenius folgt, dass die Dissociation der Säuren durch die Gegenwart von Neutralsalzen mit gleichem Säureion zurückgedrängt wird. Wir durften erwarten, dass die Drehung von Asparaginsalzlösungen durch die Gegenwart von Neutralsalzen der betr. Säuren nach links verschoben würde. Der Versuch bestätigte diese Vermutung.

Eine Lösung von 0,1 Asparagin und 0,1 Ameisensäure ergibt eine spec. Drehung von $-1,94^\circ$. Lösen wir zu gleicher Zeit noch 0,5 Mol. Natriumformiat darin auf, so geht sie zurück auf $-3,53^\circ$.

Das gleiche Verhalten findet sich in milchsauren Asparaginsalzlösungen wieder:

Milchs. Asparagin 0,1 normal $[\alpha]_D^{25^\circ} = -0,52$

„ „ 0,1 + 0,5 Calciumlactat $= -2,75$.

Aus allen diesen Untersuchungen geht mit grosser Wahrscheinlichkeit hervor, dass das eigentümliche optische Verhalten der Asparaginsalzlösungen durch die Hydrolyse verursacht wird.

Die Gegenwart zweier verschiedener optisch aktiver Gruppen wird wahrscheinlich eine anomale Rotationsdispersion bedingen, die Gegenstand weiterer Untersuchungen sein soll.

Weiter referierte der Vortragende über die Ergebnisse einer zweiten Arbeit, die er in Gemeinschaft mit Herrn Cand. Schneider unternommen hat. Sie schliesst sich an die früheren Untersuchungen des Redners über krystallinische Flüssigkeiten an und behandelt

Stoichiometrische Untersuchungen an den krystallinischen Flüssigkeiten.

Der Uebergangspunkt aus der anisotropen in die isotrope Flüssigkeit beim p-Azoxyanisol wird durch Zusatz fremder Stoffe bedeutend erniedrigt, und es eignet sich diese Depression ebenso wie eine Gefrierpunktsdepression zur Bestimmung des Molekulargewichtes der gelösten Substanzen. Es wurde die Brauchbarkeit dieser Methode an einer grossen Zahl von chemischen Körpern, die verschiedenen Gruppen angehören, geprüft und gefunden, dass bei Estern, Kohlenwasserstoffen, Ketonen, Chinonen, Azoxkörpern das gefundene Molekulargewicht mit dem aus der Formel berechneten übereinstimmen, während sich bei hydroxylhaltigen Körpern, namentlich bei Nitrophenolen und bei Dioxibenzolen und Dioxynaphtalinen Abweichungen ergeben, die darauf deuten, dass diese Körper in Lösung zu Molekularassoziationen neigen, bei den Dioxynaphtalinen scheint die Stellung der Hydroxylgruppen einen Einfluss auszuüben. Das p-Azoxyanisol als Lösungsmittel verhält sich also ganz so wie die anderen für Molekulargewichtsbestimmungen verwendeten Substanzen, wie Naphthalin, Aethylenbromid, Phenol etc. Auch dort zeigen die hydroxylhaltigen Verbindungen Neigung zu Molekularassoziationen.

Auch die anderen Substanzen, welche flüssige Krystalle bilden, zeigen wie das p-Azoxyanisol beim Zusatz fremder Körper eine sehr grosse Depression des Umwandlungspunktes. Wir haben die Erniedrigung bestimmt, welche 1 g Mol. gelöster Substanz in 100 g Lösungsmittel hervorbringt, und gefunden, dass sie

für p-Azoxyphenetol	$\Delta = 708^{\circ}$,
für Cholesterylbenzoat	$= 1161^{\circ}$ beträgt.

Als Lösungsmittel für Molekulargewichtsbestimmungen sind indes diese Körper kaum zu verwenden, da ihre Beschaffung in

grossen Mengen mit Schwierigkeiten verknüpft ist. Das Cholesterylbenzoat zersetzt sich ausserdem bei längerem Erhitzen. Die Constanten sind aber brauchbar, um die Umwandlungswärmen beim Uebergang der krystallinischen in die isotrope Flüssigkeit zu berechnen; sie beträgt

für p-Azoxyphenetol $u = 5,42 \text{ cal}$

für Cholesterylbenzoat $= 3,50 \text{ „}$.

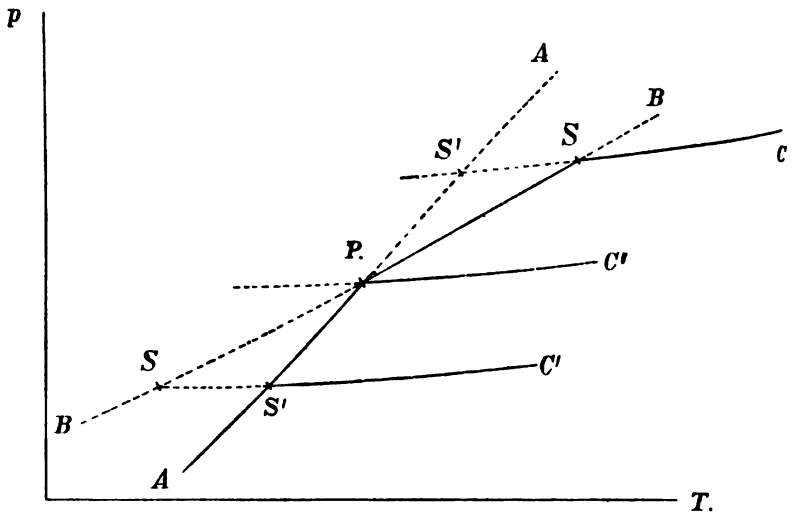
Bisher beschränkten sich die Untersuchungen stets auf sehr verdünnte Lösungen in den genannten Lösungsmitteln. Wir stossen aber auf sehr interessante Verhältnisse, wenn wir zu concentrirteren Lösungen übergeben. Für die Untersuchungen wurde stets p-Azoxyanisol als Lösungsmittel verwendet.

Das isotrop flüssige p-Azoxyanisol geht beim Abkühlen bei 134° zunächst über in die flüssig krystallinische Modification und diese erstarrt bei $116,8^{\circ}$ zu einer festen krystallinischen Modification. Die feste und die flüssige krystallinische Modification stehen zu einander in demselben Verhältniss wie der rhombische und der monokline Schwefel, sie sind physikalisch isomere Modificationen. Beim Erwärmen über den Erstarrungspunkt bekommen wir die flüssige, beim Abkühlen unter diese Temperatur die feste Form. Man bezeichnet physikalisch isomere Modificationen, bei denen ein bestimmter Umwandlungspunkt auftritt und die durch Erwärmen bzw. Abkühlen in einander überführbar sind, nach Lehmann als *enantiotrope Modificationen*.

Wir kennen aber noch eine andere Art physikalischer Isomerie. Sie findet sich z. B. beim Benzophenon und bei der $\alpha.\beta$ -Dibrompropionsäure, und unterscheidet sich wesentlich von der Enantiotropie. Es existiren dort ebenfalls zwei Modificationen, verschieden durch ihre Dichte und ihre Krystallform, es existiert aber kein Umwandlungspunkt. Es geht zwar die eine Modification in die andere über, aber der Prozess ist nicht umkehrbar; man bezeichnet die Modification, welche in die andere verwandelt werden kann, als *labile*, die beständige als *stabile Modification*. Erwärmt man sie vorsichtig, so kann man für jede einen besonderen Schmelzpunkt beobachten. Man bezeichnet diesen Fall der physikalischen Isomerie als *Monotropie*.

Der Unterschied zwischen monotropen und enantiotropen Modificationen erklärt sich, wenn man ihre Dampfdruckcurven construiert und die Lage dieser Curven zu der Dampfdruckcurve der isotropen Flüssigkeit betrachtet.

Die Dampfdruckcurven der beiden krystallisierten Modificationen (*A* und *B*) scheiden sich im Punkte *P* (cf. Fig.). Dieser Punkt *P* giebt die Temperatur an, für welche die Dampf-



drucke der beiden Modificationen gleich werden und ist der Umwandlungspunkt, oberhalb *P* findet Umwandlung von *A* in *B*, unterhalb Umwandlung von *B* in *A* statt. Es lässt sich zwar auch die Modification *B* unterhalb *P* erhalten, es genügt aber eine Berührung mit einer Spur der Modification *A*, um die Umwandlung herbeizuführen, unterhalb *P* befindet sich *B* im unterkühlten Zustande. In ähnlicher Weise kann sich *A* oberhalb *P* im überwärmten Zustande befinden, aber auch hier bewirkt eine Spur von *B* Umwandlung in die Modification *B*.

Die Dampfdruckcurve *C* der isotropen Flüssigkeiten nun kann verschiedene Lagen zu den Curven *A* und *B* haben. Sie kann die Curven oberhalb *P* schneiden, oder unterhalb *P* und endlich im Punkte *P*.

Fall 1.

C schneide *A* und *B* oberhalb *P*.

Wir erwärmen die Modification *A* allmählich und gelangen zu *P*, woselbst Umwandlung in die Modification *B* eintritt, wir erwärmen weiter und gelangen zu dem Punkte *S*. Dort sind der Dampfdruck von *B* und *C* gleich, es findet Umwandlung von *B* in *C*, Schmelzung statt, dieser Punkt ist der Schmelzpunkt. Kühlen wir wieder ab, so spielen sich sämtliche Vorgänge in der umgekehrten Reihenfolge ab, bei *S* geht die Flüssigkeit *C* in die Modification *B*, bei *P* Modification *B* in *A* über. Wir bekommen die Erscheinungen, wie wir sie bei enantiotropen Modificationen zu sehen gewohnt sind.

Die überwärmte (im labilen Zustand) befindliche Modification *A* erreicht beim vorsichtigen Erwärmen ebenfalls einen Punkt, bei dem sie in *C* übergeht, dieser Schmelzpunkt *S'* liegt aber unterhalb *S*, wie ohne weiteres aus der Figur hervorgeht,

Fall 2.

C schneide *A* und *B* unterhalb *P*.

C stelle die Lage der Dampfdruckcurve der isotropen Flüssigkeit dar.

Wir erwärmen *A* und erreichen den Punkt *S* den Schmelzpunkt, die Temperatur, bei welcher die Dampfdrucke von *A* und *C* gleich werden, ehe wir an *P* herankommen, *A* geht also in die Flüssigkeit über, ehe es sich in die Modification *B* umlagern kann. Die unterkühlte Modification *B* schmilzt bei *S* und und zwar ebenfalls ohne *P* erreicht zu haben, den Punkt, bei welchem seine Stabilität beginnt. Modification *B* befindet sich also stets im unterkühlten, labilen Zustande. Durch Berührung mit einem Krystall von *A* ist sie in *A* überführbar. Die Umwandlung von *A* in *B* ist aber hier ausgeschlossen. Beide Modificationen schmelzen, ehe der Umwandlungspunkt erreicht ist. Wir haben die Erscheinungen der Monotropie. Es liegt hier *S* unterhalb *S'*, umgekehrt wie bei den enantiotropen Modificationen.

Fall 3.

C schneide *A* und *B* im Punkte *P*.

Wir haben dann Gleichgewicht zwischen vier Phasen, zwischen Dampf, den Modificationen *A* und *B*, und der Flüssigkeit *C*. Der Dampfdruck von *A*, *B* und *C* ist gleich, Punkt *P* ein sogenannter dreifacher Punkt, bei dem sämtliche Phasen coexistieren können.

Gelingt es nun, die Curve *C* bei enantiotropen Körpern durch Erniedrigung des Dampfdruckes so zu verschieben, dass die Curven *A* und *B* nicht mehr oberhalb, sondern unterhalb *P* geschnitten werden, so kann man enantiotrope Modificationen in monotrope überführen. Die Erniedrigung des Dampfdruckes kann man durch Zusatz fremder Substanzen zu der Flüssigkeit erreichen.

Bei enantiotropen Modificationen liegt *S* oberhalb *S'*, nach der Depression muss dann *S'* oberhalb *S* liegen. Weiter müssen *S* und *S'*, die Schmelzpunkte der beiden Modificationen unterhalb des Umwandlungspunktes *P* liegen.

Das p-Azoxyanisol ist vorzüglich geeignet, um diese Beziehungen zu demonstrieren. Es gelingt mit Leichtigkeit durch Zusatz von fremden Substanzen zu der isotropen Flüssigkeit die feste und die krystallinisch flüssige Modification, die ursprünglich enantiotrope sind, in monotrope überzuführen.

Die Versuchsanordnung ist die gleiche, wie bei der Bestimmung der Depression des Umwandlungspunktes, nur wurden grössere Concentrationen der gelösten Substanz gewählt als dort. Wir verwendeten als Zusatz Thymol oder noch besser das weniger flüchtige Benzophenon.

Die Erscheinungen, welche bei sehr verdünnten Lösungen dieser Substanzen in p-Azoxyanisol während der langsamen Abkühlung auftreten, sind die gleichen wie beim reinen Lösungsmittel.

Die ursprünglich klare goldgelbe Flüssigkeit trübt sich bei einer ganz bestimmten Temperatur und geht in die krystallinische Flüssigkeit über, dieser Umwandlungspunkt soll im Folgenden

mit S bezeichnet werden. Er liegt natürlich bei den Lösungen tiefer als beim reinen Lösungsmittel. Beim weiteren Abkühlen gelangen wir schliesslich an einen Punkt, bei welchem die Abscheidung der festen Modification aus dem trüben Schmelzfluss beginnt, es ist dies die Temperatur der Anwandlung der krystallinisch flüssigen in die feste krystallinische Modification, welche wir als P bezeichnen wollen. Sie liegt, wenn wir reines p-Azoxyanisol verwenden bei $116,8^{\circ}$. Die Lösungen zeigen etwas tiefere Erstarrungspunkte, diese Abweichungen sind auf secundäre Einflüsse zurückzuführen, deren Grund wir später kennen lernen werden. Beim Erwärmen schmilzt die feste Modification zu einem trüben Schmelzfluss zusammen, der sich bei S wieder klärt. Die feste und die flüssige krystallinische Modification zeigen also hier die Erscheinung der Enantiotropie.

Ganz anders werden die Erscheinungen bei concentrirten Lösungen. Kühlen wir die isotrope Schmelze ab und rühren stark, so scheiden sich bei einer bestimmten Temperatur — S' wollen wir sie bezeichnen — feste Krystallfitter aus, schliesslich erstarrt die klare Flüssigkeit vollständig zu einer festen Masse.

Vermeiden wir jedoch das starke Rühren, so lässt sich die klare Flüssigkeit unter S' herabbringen, ohne dass Krystallisation eintritt. Die unterkühlte Schmelze trübt sich bei einer bestimmten Temperatur S , wir bekommen die krystallinisch flüssige Modification, die aber jetzt labil ist. Rühren wir kräftig oder werfen wir ein Kryställchen der festen Modification hinein, so findet Krystallisation statt, eine starke Wärmeentwicklung tritt auf, die ein Ansteigen des Thermometers bedingt. S liegt stets unterhalb S' . Beide unterhalb P .

Die flüssige und die feste krystallinische Modification sind jetzt monotrop.

Die folgende Tabelle enthält die Versuchsergebnisse, welche an Benzophenonlösungen angestellt sind:

p-Azoxyanisol	Benzo-phenon	<i>S</i>	<i>P</i>	<i>S'</i>	
1) 13,61 g	—	—	116,8°	133,6	} enantio- trop
2) „	0,1470	—	—	128,4	
3) „	0,3620	—	115,2	121,8	
4) „	0,5800	—	114,93	115,05	
5) „	0,6775	114,55	—	112,05	} monotrop
6) „	0,7288	113,95	—	110,90	
7) „	0,8153	113,66	—	108,4	
8) „	0,8750	113,36	—	—	
9) „	1,4471	111,70	—	—	

Bei den Versuchen 8) und 9) liess sich die isotrope Flüssigkeit nicht bis zum Trübungspunkt unterkühlen, sie erstarrte stets vorher.

Bei den Versuchen 3) und 4) nehmen wir eine Depression des Erstarrungspunktes *P* wahr. Bei der Bildung der krystallinischen Flüssigkeit scheidet sich Lösungsmittel rein aus. Die Folge davon ist eine Anreicherung des nicht ausgeschiedenen Teiles an dem gelösten Körper, je weiter wir abkühlen, um so concentrierter wird diese Mutterlauge. Sie befindet sich stets im Gleichgewicht mit der flüssig krystallinischen Phase. Bei der Erstarrung muss auch Gleichgewicht vorhanden sein zwischen der festen Phase und den beiden flüssigen Phasen, es ist also *P* bei den Versuchen 3) und 4) ein dreifacher Punkt.

Stellen wir uns die Abhängigkeit der Punkte *S* und *S'* von der Concentration graphisch dar, so bekommen wir zwei Curven, die in *P* convergieren. Es gehört zu *P* eine ganz bestimmte Concentration. Wählen wir die Concentration schwächer, so sind die beiden krystallinischen Modificationen enantiotrop, wählen wir sie stärker, so sind sie monotrop. Der Theorie nach müsste dieser Convergenzpunkt mit dem Erstarrungspunkt *P* = 116,8° zusammenfallen. Die Abweichungen erklären sich wohl daraus, dass eine völlig gleichmässige mechanische Mischung der drei Phasen nicht zu erzielen ist.

Ich habe früher die Beobachtung gemacht, dass sich auch p-Azoxyphenetol in p-Azoxyanisol auflösen lässt. Das p-Azoxyphenetol hat ebenfalls die Fähigkeit eine krystallinische Flüssigkeit zu bilden. Durch den Zusatz dieses Körpers zum p-Azoxyanisol nun bekommen wir keine Depression, sondern eine Elevation des Umwandlungspunktes der isotropen in die anisotrope Flüssigkeit. Es scheidet sich ein isomorphes Gemisch der beiden Componenten aus der isotropen Schmelze aus, der Umwandlungspunkt dieser flüssigen isomorphen Mischkrystalle lässt sich nach der Mischungsregel berechnen ganz so wie der Schmelzpunkt fester isomorpher Mischkrystalle.

Die festen isomorphen Mischungen werden von van t'Hoff angesprochen als feste Lösungen, er nimmt an, dass für sie die Gesetze der verdünnten Lösungen Giltigkeit haben. Unter dieser Voraussetzung würde es möglich sein die Molekulargewichte fester Körper zu bestimmen, es liegen eine ganze Reihe von Versuchen vor mit Hilfe der isomorphen Mischungen dieses Ziel zu erreichen. Diese Versuche haben in neuerer Zeit allerlei Anfechtungen erfahren, die es einigermaßen als zweifelhaft erscheinen lassen, ob die Auffassung der isomorphen Gemische als Lösungen zulässig ist. Die Bedenken sind namentlich von Bodländer geltend gemacht worden.

An dem flüssig-isomorphen Krystallgemisch von p-Azoxyanisol lässt sich nun der Nachweis erbringen, dass für flüssige isomorphe Mischkrystalle die Gesetze der verdünnten Lösungen strenge Giltigkeit haben.

Im festen Zustand haben p-Azoxyanisol und p-Azoxyphenetol verschiedene Krystallform, sie sind nicht im stande, feste isomorphe Mischungen zu bilden. Infolgedessen wird sich beim Erstarren der flüssigen Mischkrystalle das Lösungsmittel, das p-Azoxyanisol, rein ausscheiden, es wird eine osmotische Arbeit zu leisten sein und wir bekommen eine Depression des Erstarrungspunktes gegenüber dem Erstarrungspunkt des reinen Lösungsmittels.

Haben die Gesetze der verdünnten Lösungen Giltigkeit, so

muss diese Depression der Concentration an p-Azoxyphenetol proportional sein. Bezeichnen wir mit c die Menge der p-Azoxyphenetol, welche in einer constanten Menge p-Azoxyanisol aufgelöst wird, mit d die Depression, so muss $\frac{d}{c}$ constant sein.

Die Versuchsergebnisse sind in der folgenden Tabelle zusammengestellt.

	p-Azoxyanisol	p-Azoxy- phenetol = c	d	$\frac{d}{c}$
1)	8,34 g	0,1490	0,48	3,22
2)	„	0,2747	1,08	3,93
3)	„	0,4375	1,78	4,07
4)	„	0,6106	2,52	4,13

Die Quotienten stimmen, abgesehen von Versuch 1, annähernd überein; bei 1 liegt wahrscheinlich ein Versuchsfehler vor, es wäre indess auch nicht ausgeschlossen, dass eine geringe Löslichkeit von p-Azoxyphenetol in festem p-Azoxyanisol vorhanden ist. Auffällig ist das Ansteigen des Quotienten mit steigender Concentration.

Unter der Voraussetzung, dass das Molekulargewicht des p-Azoxyphenetols in der Mischung das der chemischen Formel entsprechende sei, ist aus den Versuchen 3 und 4 die Constante der molekularen Depression des Erstarrungspunktes berechnet worden. Sie ist für 1 g-Mol. in 100 g p-Azoxyanisol

$$\Delta = 97,43^{\circ}.$$

Nach der Formel

$$w = 0,02 \cdot \frac{T^2}{\Delta}$$

lässt sich die Wärmetönung berechnen, welche bei der Erstarrung von 1 g p-Azoxyanisol auftritt. T bedeutet die absolute Erstarrungstemperatur. Es ist

$$w = 31,2 \text{ Calorien.}$$

Die Voraussetzung bez. der Einfachheit des Molekulargewichtes vom p-Azoxyphenetol bedarf der Bestätigung. Mit ihrer Hilfe haben wir die Wärmetönung berechnet.

Diese Grösse lässt sich mit Hilfe des Eis calorimeters messen. Wir haben die Bestimmung ausgeführt und den gemessenen Wert mit dem berechneten verglichen.

Die Wärmetönung beträgt nach den calorimetrischen Messungen $w = 26,7 \text{ cal.}$

Die beiden Werte weichen zwar um 4,5 Calorien von einander ab, sie lassen aber mit Sicherheit erkennen, dass unsere Voraussetzung richtig ist. Denn bildete das p-Azoxyphenetol in dem isomorphen Gemisch Doppelmoleküle, so würde

$$\Delta = 2.97,43 \quad w = \frac{31,2}{2} = 15,6 \text{ cal.}$$

betragen.

Für die isomorphen Mischungen flüssiger Krystalle gelten also die Gesetze der verdünnten Lösungen. Das Molekulargewicht ist das einfache; es liefern diese Messungen das gleiche Resultat wie die früher ausgeführten Bestimmungen des Temperaturcoefficienten der molekularen Oberflächenenergie. Das Molekulargewicht im isotrop flüssigen und im anisotrop flüssigen Zustand sind also identisch.

In derselben Sitzung (7. März) berichtet Herr Marchand

Ueber einen Fall von Zwergwuchs (Nanoccephalie).

Unter dem Namen Zwergwuchs (Mikrosomia, Nanosomia) werden Wachsthum-Anomalieen von sehr verschiedener Bedeutung verstanden: Zwergwuchs bei Rachitis, bei Cretinismus, bei sog. foetaler Rachitis oder Chondrodystrophie, Zwergwuchs nach totaler Entfernung der Schilddrüse bei jugendlichen Individuen und der sog. echte Zwergwuchs, bei dem es sich im Allgemeinen um abnorme Kleinheit bei sonst ziemlich normal proportionirtem Körper handelt. Aber auch die zu dieser letzteren Art von Zwergwuchs gehörigen Fälle sind nicht von gleicher

Bedeutung. Wenn auch die Grösse des Kopfes im Verhältniss zum übrigen Körper nicht in der Masse überwiegt, wie es gewöhnlich bei den rachitischen Zwergen der Fall ist, so ist doch der Kopf fast stets grösser, als er bei einer gleichmässigen Verkleinerung des ganzen Körpers eines ausgewachsenen Individuums sein würde. Es ist also zwischen Kopf und übrigen Körper ein ähnliches Verhältniss vorhanden, wie bei einem Kinde von annähernd gleicher Grösse. Demgemäss ist auch das Gehirn dieser Zwerge, soviel darüber bekannt ist, relativ gut ausgebildet und gut functionirend. Idiotie ist keineswegs häufig oder gar nothwendig mit dieser Art Zwergwuchs verbunden. Das Wachsthum des ganzen Körpers ist dabei frühzeitig zum Stillstand gekommen. Da diese Form des Zwergwuchses aber meist congenital, also bei dem neugeborenen Kinde schon ausgesprochen ist, so werden überhaupt niemals die Grössenverhältnisse des gleichen Lebensalters erreicht. Mit dem Stehenbleiben des Wachsthums auf einer frühen Stufe hängt eine weitere Eigenthümlichkeit des Skeletts zusammen, das Erhaltenbleiben eines Theils der Knorpelscheiben zwischen Epi- und Diaphysen über das jugendliche Alter hinaus.

A. Paltauf, der einen ausgezeichneten Fall dieser Art beschrieb¹⁾ (M. v. 49 J. von 112,5 cm Grösse, 51 cm Schädelumfang und 1200 g Gehirngewicht), glaubte in dieser Eigenthümlichkeit einen charakteristischen Unterschied gegenüber dem Cretinismus zu erblicken. Indess zeigte bereits Langhans an sieben erwachsenen Cretin-Skeletten, dass auch bei diesen das Erhaltenbleiben der Zwischenknorpel und Synchronrosen keine Seltenheit ist.²⁾ Der Vortragende ist in der Lage, dies an dem Skelett eines älteren Cretin (M. von einigen 40 J.) aus hiesiger Gegend (aus Frankenberg, gestorben in der Pflegeanstalt Haina) zu bestätigen, bei welchem die Knorpelfugen zwischen Scham-

1) Ueber den Zwergwuchs in anatomischer und gerichtsarztlicher Beziehung. Wien 1891.

2) Virchow's Archiv, Bd. 149, S. 155. 1897.

bein und Sitzbein sowie die Epiphysenknorpel am Darmbeinkamm, am Acromion und an einigen anderen Stellen unvollständig oder gar nicht verknöchert sind.

Unter den Fällen von echtem Zwergwuchs ist eine Form durch eine verhältnissmässig geringe Grösse des Kopfes ausgezeichnet, und deshalb von Virchow mit dem Namen der *Nanocephalie* belegt. Diese selten vorkommende Art des Zwergwuchses bildet den Uebergang zur Mikrocephalie, welche in der Regel ebenfalls mit abnormer Kleinheit des ganzen Körpers verbunden ist. Hierbei tritt aber das Missverhältniss des sehr kleinen Kopfes zu dem übrigen Körper in ganz anderer Weise hervor, und ganz besonders die in den höheren Graden der Mikrocephalie sehr geringe Grösse des eigentlichen Hirnschädels gegenüber dem verhältnissmässig gut ausgebildeten Gesichtsschädel. (Diese Verhältnisse werden an den ineinander gezeichneten Projectionen mehrere Mikrocephalenschädel und eines normalen Schädels erläutert). Entsprechend der geringen Grösse des Hirnschädels ist die Ausbildung des Gehirns, besonders des Grosshirns sehr mangelhaft, wie dies in früheren Sitzungen der Gesellschaft vom Vortragenden dargelegt worden ist.¹⁾

Der Vortragende ist nun in der Lage über einen von ihm untersuchten Fall von Zwergwuchs mit *Nanocephalie* zu berichten. Es handelt sich um einen vollständig idiotischen 25jährigen Mann, der ebenfalls in der Anstalt Haina nach zweijährigem Aufenthalt gestorben war. Die Anamnese ist leider sehr unvollkommen; nähere Angaben über das Verhalten des Individuums in der Kindheit fehlen ganz. Die Eltern sollen normal entwickelt gewesen sein. Die Körpergrösse war im Leben zu 114 cm angegeben, an der Leiche wurden 120 cm gemessen. Dabei ist, abgesehen von einer vielleicht etwas gekrümmten Körperhaltung, zu berücksichtigen, dass die rechte

1) S. diese Sitzungsberichte 1892, Nr. 2; 1896, Nr. 5.

Körperhälfte ganz erheblich gegenüber der linken im Wachstum zurückgeblieben war. Das Gewicht der Leiche betrug 19 Kilo.

Von besonderem Interesse ist der Schädel, welcher zwar abnorm klein ist, aber ganz andere Verhältnisse darbietet, als

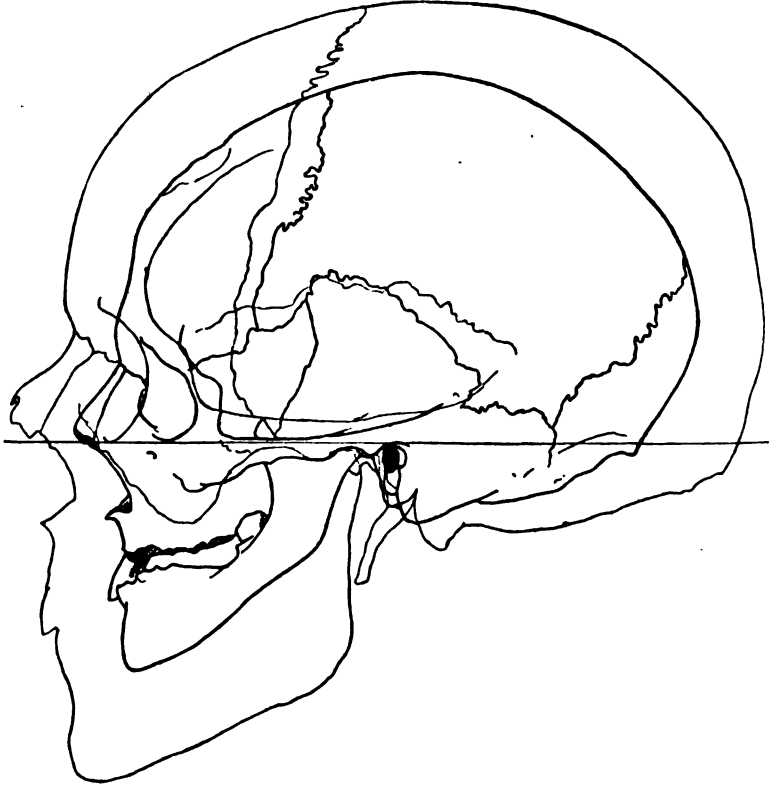


Fig. 1.

bei der Mikrocephalie. Das ergibt sich sowohl aus direkter Vergleichung als durch die Messung. Der Schädel stellt eine fast congruente Verkleinerung eines normalen männlichen dar, welche nicht bloss den eigentlichen Hirnschädel, sondern auch den Gesichtsschädel betrifft. Der erstere ist regelmässig gewölbt, die Stirn etwas flach und schmal, wie das ganze Gesicht,

Der Horizontalumfang betrug mit den Weichtheilen 43 cm. Die genaueren Verhältnisse lassen die hier folgenden Hauptmaasse erkennen, verglichen mit denen der Mikrocephalen Völp und Wittich. (S. die früheren Mittheilungen).

Schädelmaasse.	Seiling	Völp	Wittich
Capacität	620 ccm	426 ccm	325 ccm
Länge, grösste	149 mm	137 mm	125 mm
Diagonaldurchmesser	182 "	182 "	180 "
Breite, grösste	116 "	100 "	88 "
Auricularbreite	84 "	88 "	74 "
Temporalbreite	83 "	76 "	67 "
Parietalbreite	110 "	90 "	73 "
Stirnbreite, kleinste	75 "	60 "	53 "
Höhe	106 "	98 "	83 "
Ohrhöhe	{ links. rechts	97 "	63 "
		90 "	65 "
Länge der Schädelbasis	80 "	87 "	84 "
Breite derselben	110 "	101 "	91 "
Abstand der Spitzen der Proc. mastoid	83 "	83 "	81 "
Länge des Foramen magn.	29 "	30 "	30 "
Breite desselben	23 "	24 "	26 "
Horizontal-Umfang	422 "	362 "	324 "
Sagittal-Umfang	304 "	244 "	210 "
Stirnbogen	98 "	76 "	74 "
Scheitelbogen	101 "	88 "	66 "
Hinterhauptbogen	105 "	80 "	70 "
Vertical-Umfang	256 "	210 "	172 "
Gesichtshöhe	83 "	106 "	108 "
Obergesichtshöhe	50 "	63 "	55 "
Gesichtsbreite	76 "	83 "	80 "
Oberkieferbreite	59 "	57 "	—
Jochbreite	98 "	106 "	102 "
Interorbitalbreite	15 "	16 "	17 "
Nasenhöhe	41 "	50 "	51 "
Breite der Nasenöffnung	18 "	21 "	21 "
Höhe derselben	24 "	29 "	30 "
Breite der Augenhöhlen	33 "	36 "	37 "
Höhe derselben	24 "	33 "	33 "

sehr gracil, in der Grösse fast genau denen eines 7jährigen Kindes entsprechend. Die geringere Grösse der rechten Seite betrifft sämtliche Knochen der oberen Extremität mit Einschluss der Scapula und des Schlüsselbeines, die rechte Hälfte des Beckens und die ganze untere Extremität.

Die Länge des Humerus beträgt links 228 mm, rechts 209 mm,

"	"	der Ulna	"	"	182	"	"	164	"
"	"	des Radius	"	"	160	"	"	147	"
"	"	des Femur	"	"	322	"	"	297	"
"	"	der Tibia	"	"	260	"	"	243	"
"	"	der Fibula	"	"	253	"	"	233	"

Die Verkürzung des rechten Beines beträgt also circa 4 cm, was der an der Leiche gemessenen Differenz entspricht.

Mit dieser geringeren Grösse der rechten Extremitäten harmonirt auch die Asymmetrie des Schädels, welche wesentlich durch eine geringere Höhe der rechten Hälfte und etwas geringere Breite der rechten Hälfte der Basis bedingt ist. Allerdings wird diese durch eine starke Wölbung des Scheitelbeines compensirt und im Gesichtsschädel tritt sogar eine secundäre Verkleinerung der linken Hälfte hervor; die Zähne sind sehr defect, prognath, doch ohne Prognathie des Alveolarfortsatzes.

Das Gehirn zeigt ganz andere Verhältnisse als das der echten Mikrocephalen. Sein Gewicht im frischen Zustand mit den Häuten betrug 490 gr, was einem Volumen von circa 470 ccm entsprechen würde. Demnach würde die Differenz zwischen Gehirnvolumen und Capacität des Schädels nicht weniger als $150 = 24,3\%$ der Capacität betragen. Nach Abzug des Volums der Dura mater (33 ccm) bleiben 117 ccm für Cerebrospinalflüssigkeit und Blut übrig. Diese grosse Differenz erklärt sich hauptsächlich dadurch, dass das Kleinhirn relativ klein und von sehr ausgedehnten mit Flüssigkeit ausgefüllten Arachnoidealräumen umgeben war.

Das Grosshirn überragt das Kleinhirn mindestens ebenso weit wie am normalen Gehirn. Die Form des Grosshirns sowie die seiner einzelnen Lappen entspricht durchaus den normalen Verhältnissen; die Grosshirnwindungen sind so vollständig und

regelmässig entwickelt wie in der Norm, die Ausbildung des Stirnhirns, das beiderseitige Vorhandensein einer mittleren Stirnfurche, welche die zweite Stirnwindung in zwei Hälften theilt (f^2), sowie einer schrägen Stirnfurche (f^4) entspricht einem relativ

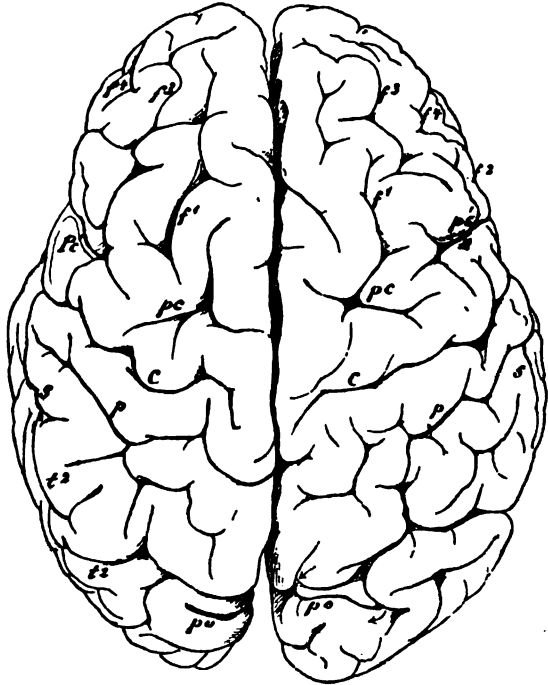


Fig. 2.

Das Gehirn des Seiling, von oben gesehen, in $\frac{2}{3}$ der natürl. Grösse.

(*c* Sulcus centralis. — *pc* Sulcus praecentralis sup. — *pc¹* Sulcus praecentralis inf. — *f¹* Sulc. front. sup. — *f²* Sulc. front. inf. — *f³* Sulc. front. med. — *f⁴* Sulc. front. obliquus. — *s* Fissura Sylvii. — *p* Sulc. postcentralis und parietalis. — *t¹* Sulcus temporalis II. — *po* Fissura parieto-occipitalis.)

hoch entwickelten Gehirn. Die Insel ist vollständig bedeckt. Die rechte Hinterhauptwindung liegt links oberflächlich; rechts ist sie theilweise versenkt.

Die Länge der l. Grosshirnhemisphäre beträgt 13 cm (r. 12,8), die grösste Breite des Gehirns 10,4 cm, die Breite des Kleinhirns

7 cm (im frischen Zustand), die Länge des Rückenmarks ist 30 cm. Das Gewicht desselben (mit Dura mater) 20 g.

Aus der Beschaffenheit des Grosshirns, welches dem eines Kindes in den ersten Lebensmonaten entspricht, geht mit Sicherheit hervor, dass die zu Grunde liegende Störung nicht wie bei der Mikrocephalie hohen Grades auf das sich entwickelnde Gehirn in den ersten Monaten des Foetallebens eingewirkt haben kann; das Gehirn hat vielmehr die normale morphologische Ausbildung seiner Oberfläche erreicht. Wenn man andererseits berücksichtigt, dass das Gehirn des Kindes nach Ablauf der ersten 5—6 Lebensjahre sein definitives Gewicht bereits besitzt, so handelt es sich in diesem Fall (wie bei der sog. Nanocephalie überhaupt) nicht um ein einfaches Stehenbleiben des Körperwachstums in einem Stadium, welches der Grösse des Skeletts (also dem 7. oder 8. Lebensjahre) entsprechen würde, sondern um eine frühzeitige Verzögerung der Entwicklung, welche in höherem Grade den Kopf, in geringerem den übrigen Körper betraf.

Die Masse und Gewichte der Organe der Brust- und Bauchhöhle entsprachen im Allgemeinen der Körpergrösse; die rechte Niere ist sehr viel kleiner als die linke, die Hoden und der Penis waren sehr klein, die Behaarung im Gesicht und an den Genitalien schwach.

In derselben Sitzung (7. März 1899) berichtet Herr Dr. Enderlen:

Ueber die histologischen Vorgänge bei experimentell erzeugter Osteomyelitis.

a) Regeneration des Markes nach einfacher Verletzung.

Vor einiger Zeit erschien von Marwedel¹⁾ eine Arbeit, welche über die morphologischen Veränderungen der Knochenmarkzellen bei der eiterigen Entzündung handelt.

1) Marwedel: Die morphologischen Veränderungen der Knochenmarkzellen bei der eiterigen Entzündung. Beiträge zur pathologischen Anatomie und zur allgemeinen Pathologie Bd. 22.

Die Ergebnisse der Marwedel'schen Untersuchungen sind kurz gefasst folgende:

Die polynucleären Zellen des Abscesses entstehen vorwiegend aus eosinophilen Zellen. Im Bereiche der Eiterung entstehen keine polymorphkernigen Zellen und aus solchen gehen keine polynucleären hervor. Die grossen Markzellen gehen unter Verlust ihrer Granula in die Zone der entzündlichen Infiltration über und bilden mit Leukocyten einen Ring ungranulirter Zellen. Sowohl bei der Bildung der Abscessmembran, als auch bei der Entstehung des gelatinösen Markes wandeln sich eosinophile Zellen unter Schwund der Granula in spindelige und verästelte Formen um. Wenn nun »sessile Leukocyten« meint Marwedel Spindelzellen bilden können, so liegt der Rückschluss auf ein analoges Verhalten mobiler Leukocyten nicht allzufern. Marwedel kommt somit zu der von wenigen Autoren vertretenen Anschauung, dass die Leukocyten an der Bindegewebsneubildung activ betheiligt sind.

Ausser den eben erwähnten Untersuchungen liegen keine eingehenden Mittheilungen über die histologischen Veränderungen im Knochenmarke bei der eiterigen Entzündung vor.

Da die Frage, ob Markleukocyten, auch die mit bestimmten Granulis in Bindegewebszellen übergeben können, von principieller Wichtigkeit ist, habe ich auf Veranlassung und mit ausgedehntester Unterstützung von Herrn Geheimrath Marchand die Untersuchungen von Marwedel nachgeprüft.

Im Verlaufe der Arbeit zeigte es sich, dass es vortheilhafter ist, zuerst die Vorgänge bei der Regeneration nach einfacher Verletzung zu studiren.

Zur Gewinnung der Präparate wurde bei Kaninchen im Alter von [2—4 Wochen der Oberschenkelknochen angebohrt und das Knochenmark mit einem Platindrahte oder mit einer Nadel verletzt. Bei den Eiterversuchen beschickte ich die Nadel mit einer Reincultur von *Staphylococcus aureus*. In beiden Fällen wurde die Weichtheilwunde genäht.

Von der Regeneration verfüge ich über Präparate von 4 Stunden bis zu 16 Tagen, von der Eiterung über solche von 8stündiger bis 32tägiger Versuchsdauer.

Das makroskopische Verhalten des Markes nach einfacher Verletzung ist wenig complicirt; in den ersten Tagen ist die Verletzungsstelle etwas dunkler roth als das sie umgebende Mark, dann aber wird sie blasser und bekommt schliesslich ein helles etwas glasiges Aussehen, so dass sie jederzeit ohne Schwierigkeiten aufzufinden ist.

Die ausgelösten Markcylinder fixirte ich in Essigsäure Sublimat, 4 % Formollösung, Formolalkohol 4 %, ausserdem verfüge ich über einige Präparate, welche in Flemming'schem Gemisch gelegen hatten. Die Fixationsflüssigkeit ist von Wichtigkeit, weil je nach dem gewählten Mittel die Färberesultate verschieden werden.

Es empfiehlt sich wohl kurz auf die Zellen des intacten rothen Knochenmarkes beim Kaninchen einzugehen:

Wir unterscheiden:

1. Gewöhnliche Markzellen.

- a) kleine einkernige, ohne Granula,
- b) grössere, mit einfachem rundem oder gelapptem oder getheiltem Kerne mit pseudoeosinophiler Körnelung (beim Menschen neutrophile Körnelung).

2. Besondere Formen der Markzellen.

- a) echte eosinophile Zellen,
 - b) Mastzellen,
 - c) Riesenkernzellen.
- a, b, c gehen vermuthlich alle aus den gewöhnlichen Markzellen (1) hervor.

3. Leukocyten

mit gelapptem Kern, den Blutleukocyten entsprechend, welche ebenfalls aus gewöhnlichen Markzellen hervorgehen.

4. Kernhaltige rothe Blutkörperchen.

Gefässe, Bindegewebszellen, Fettzellen und Resorptionsriesenzellen.

Gerade bei den eosinophilen Zellen kommt es auf die Fixirungsfähigkeit an. Durch Kurloff ist nachgewiesen, dass die echte eosinophile Körnelung auch bei Säurezusatz erhalten bleibt, während die pseudoeosinophilen Granula dabei verschwinden. Behandelt man das Mark mit der von Marwedel empfohlenen 4 % - wässrigen Formollösung, so gelangen beide Arten zur Darstellung. Sie bieten aber wesentliche Unterschiede; die echten sind nach Eosinbehandlung leuchtend roth gefärbt, ziemlich gross und besitzen manchmal Stäbchenform; die pseudoeosinophilen Granula sind viel kleiner, staubförmig und intensiv dunkelroth gefärbt. Bei der Anwendung von Triacidlösung nehmen die pseudoeosinophilen Granula die Fuchsinfärbung an, während die echten hell tingirt sind. Ich möchte gleich hier erwähnen, dass Marwedel die beiden Formen nicht trennt.

Dem Eingriffe folgen zunächst von Seiten der betroffenen Zellen Degenerationserscheinungen. Wir finden sowohl in den Bindegewebs- als auch in den Markzellen Schrumpfung der Kerne, diffuse Färbung, Veränderungen, welchen der vollkommene Zerfall des Kerns in mehrere Trümmer folgt. Je nach der Ausdehnung der Verletzung findet sich ein kleinerer oder grösserer Bluterguss.

Schon nach 24 Stunden machen sich an einzelnen Bindegewebszellen Veränderungen bemerkbar, welche auf progressive Vorgänge schliessen lassen. Die betreffenden Bindegewebskerne erscheinen grösser, die chromatische Substanz derselben ist entschieden vermehrt.

Nach 2 Tagen ist bereits eine rege Wucherung der Bindegewebszellen zu constatiren, an welchen auch diejenigen der Gefässadventitia theilnehmen. Wir begegnen zahlreichen Kerntheilungsfiguren in den Bindegewebszellen, welche sich leicht von denjenigen der Markzellen trennen lassen. Ausser der Vermehrung der Bindegewebszellen constatirt man in den folgenden Tagen auch eine Neubildung von Capillaren. In den der Verletzung nahe liegenden Gefässen ist nur dann und wann eine

geringgradige Anhäufung von Leukocyten zu constatiren. Die zerfallenen Zellen verschwinden rasch von der Verletzungsstelle, einzelne Riesenzellen werden von dem jugendlichen Bindegewebe umschlossen.

Bemerkenswerth ist nach dem eben Erwähnten, dass auf die Zerstörung des Markes so gut wie gar keine Erscheinungen einer reaktiven entzündlichen Infiltration folgen, ferner, dass die Nekrose nicht besonders ausgedehnt ist.

Fast eine Woche lang ist die Vermehrung der Bindegewebszellen der erwähnenswertheste Befund, die Wandung der Gefässe ist auf längere Strecken in dem der Verletzung anliegenden Marke betheiligt. Man sieht aber, wie ich ausdrücklich hervorheben möchte, nie, dass eine eosinophile Zelle in eine Spindelzelle übergeht.

In dem an die Stichstelle grenzenden Knochenmarke ist, wie schon erwähnt, die Reaction auf den Eingriff gering. Man kann nur eine entschiedene Zunahme der Markzellen mit multiformen Kernen constatiren; diese dauert in wechselnder Intensität etwa bis zum 12. Tage an; dann nehmen auch diese Zellen an Zahl ab.

In der Verletzungsstelle macht sich erst am Ende der ersten Woche eine bemerkenswerthe Veränderung geltend.

Man sieht:

1. Die Neubildung von Fettzellen,
2. Dass vom Rande her Markzellen vordringen und zwar zunächst die kleinen Formen. Manchmal ist allerdings nicht mit voller Sicherheit anzugeben, ob eine kleine Markzelle, oder ein kernhaltiges rothes Blutkörperchen vorliegt.

Die Fettzellenbildung macht rasche Fortschritte, so dass schon nach 10 Tagen eine stattliche Anzahl derselben nachzuweisen ist. Auch die Markzellen mehren sich; sie wandern aber nicht nur ein, sondern vermehren sich in dem einstigen Stichkanale und zwar vorwiegend auf dem Wege der Mitose. In den grossen Markzellen kommt es zur Bildung von Riesenkernen

und weiterhin entstehen aus ihnen jugendliche Riesenzellen. Ob es auch zu einer Einwanderung von Riesenzellen kommt möchte ich dahingestellt sein lassen; nach Arnold kommt ihnen ja eine, wenn auch geringgradige Beweglichkeit zu.

Die Einwanderung von Markzellen und ihre Vermehrung vollzieht sich in der Weise, dass man 16 Tage nach der Verletzung ausser Fettzellen eine ziemliche Anzahl von Markzellen vorfindet. Das Knochenmark, welches man an der Verletzungsstelle vorfindet, entspricht in dem mikroskopischen Bilde etwa demjenigen eines nahezu ausgewachsenen Kaninchens. Die Mitosen, welche wir um diese Zeit in den Markzellen vorfinden, berechtigen zu der Annahme, dass die Regeneration noch nicht ihr Ende erreicht hat, dass noch eine grössere Anzahl von Markzellen zu erwarten ist. Kurz zusammengefasst geht folgendes vor sich:

An der Verletzungsstelle kommt es zu einer wenig ausge dehnten Nekrose, in der Umgebung so gut wie gar nicht zur entzündlichen Infiltration; es tritt eine rege Vermehrung der Bindegewebszellen ein. In dem jugendlichen Bindegewebe entstehen Fettzellen, zu gleicher Zeit beginnt die Einwanderung von Markzellen, welche sich in der Stichstelle vermehren. Aus den eingewanderten Markzellen entstehen Riesenzellen.

b) Abscess.

Nach der Infection des Markes mit Staphylococcen war an der Impfstelle nur starke Röthung zu bemerken; vom 4. Tage an konnte man aber deutlich die Abscessbildung constatiren; manchmal lagen mehrere kleine Eiterherde dicht nebeneinander. Vom 10. Tage ab mehrten sich die Abscesse in der Diaphyse, es kam ausserdem öfter zu einem Confluiren derselben. Wenn der centrale Theil des Markcylinders in einen zusammenhängenden Abscess aufgegangen war, so hatte das Mark eine gelblich grau- weisse Farbe. In den meisten Fällen fand sich neben der Abscessbildung im Knochenmarke eine mehr oder weniger ausge- dehnte Eiterung in den Weichtheilen; manchmal waren die

zunächst gelegenen Gelenke ergriffen. Einigemal kam es überhaupt nicht zur Eiterung und da fand sich bei der Obduction bindegewebiges Mark vor.

Im Gegensatz zu der einfachen Verletzung haben wir es hier noch mit den schädlichen Wirkungen der eingebrachten Staphylococcen zu thun. Die Folgen machen sich auch an dem ausgedehnten Zerfalle bemerkbar.

Zuerst verfallen die centralen Theile dem Untergange; der Zerfall rückt dann von innen nach aussen vor.

In den Anfangsstadien ist der Herd scharf von dem umgebenden Knochenmarke getrennt, aber schon nach zwei Tagen wird die Grenze etwas verwaschen, indem auch Zellen der Umgebung der Degeneration anheimfallen. Wie bei der Regeneration nach einfacher Verletzung stossen wir bei der Eiterung nach Ablauf von 2 Tagen auf eine Vermehrung der Bindegewebszellen, deren erste Anfänge schon nach 26 Stunden zu constatieren sind. Die gewucherten Bindegewebszellen bilden allmählig einen Mantel um den Abscess. Es lässt sich also hier ebenso wie früher die Entstehung junger bindegewebiger Elemente nur aus gleichartigen Zellen nachweisen. Eine Umwandlung von eosinophilen Zellen anderen oder Markzellen in Spindelzellen ist nirgends zu beobachten. Wenn die eine oder andere eosinophile Zelle eine etwas längliche oder ovale Form besitzt, so ist dies nur auf mechanische Ursachen, auf Druck von Seiten der jugendlichen Bindegewebszellen zurückzuführen; irgendwelche Fortsätze kann man an den eosinophilen Zellen nie constatieren.

Die jugendlichen Bindegewebszellen bleiben aber nicht am Rande des Herdes stehen, eine Anzahl von ihnen dringt in denselben vor und nimmt dort Kerntrümmer und Kernreste auf, entfaltet also phagocytäre Eigenschaften. An manchen Stellen finden sich diese Gewebsphagocyten in mehreren Reihen, so dass man von einer Phagocytenzone sprechen darf. Nach dem Eindringen geht eine Menge der Phagocyten selbst wieder zu Grunde, die anderen, welche erhalten bleiben, tragen zur Säuberung des Terrains bei.

Am Ende der ersten Woche sieht man zwischen den Bindegewebszellen Fibrillen auftreten, deren Zahl langsam zunimmt, so dass allmählig ein mehr oder weniger breiter Bindegewebsgürtel zu Stande kommt.

Vom 3., besser aber vom 4. Tage an lässt sich eine Betheiligung der Markzellen an dem Aufbaue der Abscessmembran nachweisen. Es tritt zuerst eine herdweise Ansammlung der kleinsten Formen auf, die im weiteren Verlaufe so zunimmt, dass es zur Bildung eines Walles durch dieselben kommt. Zwischen den kleinen Formen begegnet man Bindegewebszellen, grössere Mark- und eosinophile Zellen in geringer Menge. Die Markzellen kleinster Ordnung dringen wie die histiogenen Wanderzellen in den Abscess vor; diejenigen, welche weit in den Herd vorrücken, verfallen ebenso wie die Gewebsphagocyten der Degeneration, während sich diejenigen am Rande halten; auf diese Weise kommt es etwa nach 30 Tagen zu einer Ansammlung von kleinen Markzellen innerhalb des bindegewebigen Mantels; zwischen denselben liegen dann noch vereinzelte grosse Formen und eosinophile Zellen.

Die eben mitgetheilten Resultate differiren in einigen wesentlichen Punkten von denjenigen, welche Marwedel erhielt.

Ich konnte mich von der regen oder vielmehr fast ausschliesslichen Betheiligung der eosinophilen Zellen bei der Eiterbildung nicht überzeugen. Diese Differenz erklärt sich daraus, dass Marwedel echte und pseudoeosinophile Zellen nicht trennt. Weiterhin war es mir nicht möglich, einen Uebergang der eosinophilen Zellen in Bindegewebszellen aufzufinden.

Die verimpften Staphylococcen vermehren sich in dem Impfstiche und entfalten daselbst ihre deletären Eigenschaften; ausserdem dringen sie in die Umgebung vor. Sie werden bald von Mark und auch eosinophilen Zellen aufgenommen. Die Fresszellen gehen aber in Folge der aufgenommenen Coccenmengen selbst zu Grunde und nur ausserhalb des Impfstiches, wo sie wenige Exemplare bergen, bleiben sie erhalten. In dem umgebenden Marke sind die Coccen nur während einiger Tage

nachweisbar, nach Ablauf einer Woche sucht man sie vergebens. Es findet eben durch den Spindelzellen- und Markzellenwall ein Abschluss nach Aussen statt. Im Inneren des Abscesses sind die Coccen dagegen noch nach 4 Wochen aufzufinden und meist von einer schmälere oder breitere nekrotischen Zone umgeben.

Zum Schlusse möchte ich noch das Schicksal der Knochensplitterchen erwähnen welche manchmal bei der Anbohrung des Knochens in das Mark dislociert werden. Nach 24 Stunden ist in denselben keine Kernfärbung mehr zu constatieren; sehr bald werden sie die Veranlassung von Resorptionsriesenzellen; die kleinsten Stückchen werden vollkommen von denselben umschlossen. An der Riesenzellenbildung um diese Fremdkörper betheiligen sich ausserdem die Fettzellen.

(A n m. Die ausführliche Arbeit erscheint an anderer Stelle.)

In der Sitzung vom 7. März wird Herr Dr. med. Friedrich Ransom dahier zum ausserordentlichen Mitglied der Gesellschaft erwählt.

Aufgelegte Schriften:

- Program for 2. Sem. 1897 Konigl. Norske Fredericks Universitæt.
Christiana 1897.
- Acta Societatis pro fauna et flora fennica. Vol. XIII, XIV.
Meddelanden Heft 23. Helsingfors 1897/98.
- Mitteilungen der medicinischen Fakultät der Universität Tokio.
Bd. IV, No. II.
- Annotationes zoologicae iaponenses. Vol. II, Part III.
Tokio 1898.
- Johns Hopkins University Circulars. Vol. XVIII, No. 137, 138.
Baltimore 1898.
- Annual Report of the Geological Survey of Canada. Vol. IX.
Ottawa 1898.

- Transactions of the Canadian Institute. Vol. V, Part 2. Proceedings Vol. I, Part 4—6. Toronto 1898.
- Verhandlungen der Berliner medicinischen Gesellschaft. Band XXIX. Berlin 1899.
- Verhandlungen des botanischen Vereins der Provinz Brandenburg. Jahrg. 40, 1898. Berlin 1898.
- Neun und zwanzigster Bericht der Philomathie in Neisse. Neisse 1898.
- 33ter Bericht des naturwissenschaftlichen Vereins für Schwaben und Neuburg. Augsburg 1898.
26. Jahresbericht des westfälischen Provinzial-Vereins für Wissenschaft und Kunst. Münster 1898.
- Verhandlungen des naturforschenden Vereins in Brünn. Band XXXVI. Bericht der meteorologischen Commission in Brünn. Brünn 1898.
- Entomologisk Tidskrift. Aarg.-19, Heft 1—4. Stockholm 1898.
- Transactions of the Academy of Science of St. Louis. Vol. VII, No. 17—20; Vol. VIII, No. 1—7. St. Louis 1897/98.
- Wisconsin geological and natural history Survey. Bull. No. 1 und 2. Madison 1898.
- Report of the U. S. Naval Observatory. Washington 1898.
- Proceedings of the U. S. National Museum. Washington 1897.
- Bulletin of the U. S. Geological Survey No. 88, 89, 149. Monographs Vol. XXX. Washington 1897/98.
-

Sitzungsberichte

der Gesellschaft zur Beförderung der gesammten Naturwissenschaften

zu
M a r b u r g.

N^{ro.} 4

April

1899

In der wissenschaftlichen Sitzung vom 26. April 1899 sprach
Herr Melde über:

1. Eine neue Art von Stimmgabeln nach der Construction von Prof. Dr. Edelmann in München.

Vor einiger Zeit überliess mir Herr Prof. Edelmann eine Sammlung von Stimmgabeln, deren Form wesentlich abwich von derjenigen, in welcher sie namentlich von Rud. König hergestellt wird. Die Gabeln waren offenbar nur für hohe Töne bestimmt und reichten vom C^6 mit 4096 Schwingungen bis zu einem Tone der sechsgestrichenen Octave, den Edelmann als ein $C^6 + 5 C^6$, d. h. als einen Ton mit $8192 + 5 \cdot 1024 = 13312$ ganzen Schwingungen angegeben hatte. Die Gabeln bildeten, parallel zur Schwingungsebene gedacht, parallelförmig begrenzte Körper in einer Dicke gleich ca. 16 mm, die Zinken waren etwa quadratische Parallelepipeda und endigten, wenn sie senkrecht standen, oben in horizontalen, etwa quadratischen Stirnflächen. Sie hatten ferner keinen Stiel, sondern es war der massige Basistheil unten horizontal abgeschliffen. Um sie zum Tönen zu bringen, nimmt man je eine Gabel rechts und links in die Hand und schlägt ihre Zinken aneinander an, oder, wie ich es mache, man kittet die Gabeln mittelst Wachs-Colophoniumskitt

auf einen parallelepipedischen Holzklötz, versieht oben eine der Stirnflächen eines Zinkens mit einem rinnenförmigen Korkstückchen und streicht dann mit nassem Glasstab an diesem die Gabel an.

Herr Edelmann hatte seine Gabeln durchweg mittelst der Differenztöne abgestimmt und war hierbei bis zu 13300 Schwingungen gelangt. Mir selbst gelang es nur bis zum C⁶ mit 8192 Schwingungen durch die Differenztöne zu kommen. Von da an wandte ich meine Resonanzmethode an und mittelst dieser konnte ich dann die Erfahrung gewinnen, dass die Edelmann'schen Gabeln noch weit höhere Töne liefern können, als ihr Erfinder im Stande war, festzustellen. Durch entsprechende Verkürzung der Zinken kam ich zu einem Tone von ca. 22000 Schwingungen.

Es unterliegt keinem Zweifel, dass diese Edelmann'schen Gabeln anderen Stimmgabeln gegenüber Vortheile bieten. So schon allein dadurch, dass dieselben sehr bequem befestigt und mittelst der Antolik'schen Methode sehr leicht zum Tönen gebracht werden können. Selbstverständlich ist auch ihre Herstellungsweise einfacher, wie die anderer Gabeln.

2. Eine neue Art von Klangfiguren.

Was mir die Edelmann'schen Gabeln weiterhin so interessant machte, war der Umstand, dass ich durch sie eine neue Art von Klangfiguren entdeckte, deren Wesen ich hier in Kürze schildern möchte. Ich kam nämlich auf den Gedanken, bei einer solchen Gabel oben auf die horizontale quadratische Stirnfläche Sand zu streuen. Sobald nun die Gabel angestrichen wurde, ordnete sich dieser Sand zu einer geradlinigen Knotenlinie, mitten durch die Stirnfläche sich bildend und senkrecht zur Schwingungsebene der Gabel gelegen. Diese eigenthümliche Art der Knotenlinien ist m. W. noch von Niemand beobachtet worden, und es zeigte sich bald, dass deren Auftreten nicht nur bei schwingenden Stimmgabeln, sondern auch bei Stäben und Platten ein vielfach vorkommendes ist. Zunächst konnte ich

beobachten, dass nicht bloss bei den Edelman'schen Gabeln mit ihren breiten Stirnflächen, sondern bei Gabeln mit viel schmälern Stirnflächen die betreffenden Knoten sich sehr schön bilden. Eine König'sche Gabel, das C^4 mit 6,3 mm breitem Rücken, zeigte sie sehr schön. Eine grosse König'sche Gabel, das C^1 , oben mit 9,3 mm quadratischen Stirnflächen, liess beim Anstreichen den Sand auf den Stirnflächen so heftig in Bewegung gerathen, dass die Bildung einer Knotenlinie zunächst nicht möglich wurde, wenn man aber die Gabel mehr und mehr ausklingen liess, wurde die Sandbewegung, falls man immer neuen Sand aufstreute, immer schwächer und schliesslich blieb eine Sandlinie mitten durch die Stirnfläche übrig. Diese grosse Gabel gestattete auch leicht, ihren nächsten Oberton hervorzurufen. Bei diesem waren die Schwingungsweiten der Zinken viel geringer wie vorher, und entstanden nun die Knotenlinien sofort beim Aufstreuen des Sandes sehr schön.

Es war mir nun klar, dass diese Sandfiguren auch bei schwingenden Platten, nämlich solchen, deren Dicke nicht zu gering ist, sich bilden müssten und bestätigte sich dies sofort. Eine quadratische Platte mit 62 mm Seitenlänge und 6,4 mm Dicke wurde so mit ihrem Stiel eingeschraubt, dass eine obere Stirnfläche genau horizontal lag. Wurde dann die rechte verticale Seitenfläche in der Mitte angestrichen, so gab die Platte einen Ton mit ca. 7700 Schwingungen und sofort bildete sich auf der oberen Stirnfläche längs ihrer Mittellinie die erwartete Knotenlinie. Wenn man ferner die rechte verticale Seitenfläche oben nach der Ecke hin anstrich, so gelang es auch denjenigen Ton herauszubringen, bei welchem die Platte die Chladni'sche Klangfigur, falls erstere horizontal lag, in dem Kreuz mitten durch die vier Seiten des Quadrats geliefert hätte. Nunmehr zeigte die Platte auf der Stirnfläche die neue Knotenlinie in zwei Stücken einer Geraden beiderseits der Mitte der Stirnfläche, welche Mitte der Endstelle der Chladni'schen Figur durch die Mitte der Seiten entsprach, und da diese Mitte eine Chladni'sche Knotenstelle war, so musste auch der Sand unserer Stirnflächen-Knotenlinie hier in Ruhe verbleiben.

Es scheint mir nicht schwer, die Erklärung für das Zustandekommen dieser Sandlinien zu geben. Ich denke mir die Bewegung einer solchen Stirnfläche ähnlich wie die einer kleinen reclinulären oder quadratischen Scheibe, welche rasch um eine feste Gerade hin und her vibriert, welche Gerade man durch die Mitten zweier gegenüber liegenden parallelen Seiten des Reitangels oder des Quadrats gelegt sich vorstellen muss. Die Hälften dieser Geraden machen dann um so heftigere Bewegungen, je weiter sie von den Drehcentren abliegen. Nach den Drehcentren hin muss dann also der Sand mehr und mehr in Ruhe verbleiben, und wenn auch die centrale Gerade nicht absolut in Ruhe wäre, so müsste der Sand doch längs jener ein Maximum der Ruhe erlangen.

Das Gesetz, welches diese »Stirnflächen-Knotenlinien«, wie ich sie zum Unterschiede der »Chladni'schen Knotenlinien« nennen möchte, befolgen, lässt sich in folgenden Worten zusammenfassen: »Die Ruhestellen der ersteren bilden sich an denjenigen Strecken, an welchen gerade die Schwingungsmaxima der letzteren liegen, d. h. wobei die letzteren keine Sandanhäufung dulden; die Stellen der Chladni'schen Knoten sind auch für die Stirnflächen-Knotenlinien die Stellen, an welchen keine Sandbewegung eintritt.«

3. Einige Erscheinungen bei sensitiven Flammen.

Die Reaction der sensitiven Flammen auf hohe Töne ist ja bekannt. Bemerkenswerth dürfte aber die Erscheinung sein, dass z. B. bei Galtonpfeifen die Flammen auch schwach zusammenzucken, wenn man bei ersteren die Luftsäule gleich Null nimmt und nur den Anblase-Luftstrom in Gang bringt; d. h. das Zischen am Labium vom Luftstrom erzeugt, kann allein schon die Flamme irritiren: ein Umstand, der möglicherweise bei der Verwendung von sensitiven Flammen eine gewisse Vorsicht erheischt.

Von Herrn Prof. Dr. F. Müller eingeführt hielt der Assistent der medicinischen Poliklinik, Herr Dr. Hugo Luthje, als Gast, in der wissenschaftlichen Sitzung vom 26. April 1899 einen Vortrag:

Über einen Stoffwechselversuch an einem Diabetiker.

Ich möchte mir erlauben, Ihnen im Folgenden kurz über die Ergebnisse eines Stoffwechselversuchs an einem Diabetiker zu berichten. Der Kranke war in der hiesigen Privatklinik untergebracht und befand sich in absoluter Clausur. Die Pflege war ausschliesslich während der ganzen Versuchszeit von einer Schwester getragen, die sich ihrer Aufgabe mit grossem Interesse und andauernder Sorgfalt unterzog.

Ursprünglich hatte ich nur die Absicht, einige mit der Arbeit, die mich gerade im Laboratorium beschäftigte, zusammenhängende Fragen zu prüfen. Erst einzelne hierbei unvermutet auftretende Resultate sowie die sich bald herausstellende vorzügliche Brauchbarkeit des Falles zu Ernährungsversuchen, waren Veranlassung, auch andere Fragen in den Kreis der Betrachtungen zu ziehen. Die kurze Zeit, die mir hier zu Gebote steht, gestattet es nicht, die Versuchsergebnisse in ausführlicher Weise zu besprechen und nach allen Seiten hin zu beleuchten; es muss dies einer ausführlicheren Publication vorbehalten bleiben. Aus demselben Grunde musste ich auch meine Tabellen hier in etwas zusammengedrängter Form geben.

Bekanntlich sind in der Litteratur mehrere Fälle von sogenannter »Pentosurie« beschrieben; es soll in diesen Fällen ein Zucker mit fünf C-Atomen, eine Pentose, ausgeschieden werden. Die Identificirung derselben wurde durch die Furfurolreaction, die Osazondarstellung sowie durch die Elementaranalyse des Osazons geführt. Um welche Pentose es sich handelt, ist nicht sicher bekannt; es scheint sich jedoch nach der Anschauung der betr. Autoren um dieselbe Pentose oder sagen wir besser um denselben pentosenartigen Körper zu handeln, den man aus dem Nuclealbumin des Pancreas dargestellt zu haben glaubt. Es

lag daher nahe, folgenden Versuch anzustellen: man giebt einem Diabetiker, dessen Oxydationsvermögen für viele Kohlenhydrate erheblich gestört ist, möglichst grosse Mengen von Pancreas, um evt. experimentell »Pentosurie« zu erzeugen.¹⁾ Wie Sie sehen, haben wir in unserer Versuchstabelle verschiedene derartiger Pancreastage. Der Patient bekam teils natives Pancreas in gebratenem oder gekochtem Zustand oder ein mit Aether extrahirtes getrocknetes Pancreaspulver; meist beides zusammen. Von dem Pancreaspulver entsprachen etwa 100 gr 400 gr Rohpancreas. Der Patient ass davon an den einzelnen Tagen — auf Rohpancreas berechnet — bis zu drei Pfund. Aus den später zu besprechenden Ausscheidungsverhältnissen werden wir ersehen, dass die Resorption ausgezeichnet war. Auch nicht ein einziges Mal war es möglich, Pentosenreaction im Urin zu erhalten. Auch der eingeeengte Urin gab keine Furfurolreaction; nach der Vergärung drehte der Harn nicht mehr. In Selbstversuchen, die Herr College Schwenkenbächer und ich an uns machten, gelang es ebenfalls nicht nach Aufnahme von 150 gr Pancreaspulver und ca. $\frac{1}{2}$ Pfund gekochtem Pancreas — was etwa 7—800 gr Rohpancreas entsprechen würde — Pentosurie zu erzeugen. Übrigens schied unser Patient auch, nachdem er an einzelnen Tagen 3, 8, resp. 15 gr Xylose und 10, resp. 15 gr Arabinose, also recht erhebliche Mengen, aufgenommen hatte, von diesen Pentosen nichts im Urin wieder aus. Wir müssen also nach den vorliegenden Fütterungsversuchen mit Pentosen annehmen, dass die Oxydationsfähigkeit für Arabinose und Xylose bei unserem Diabetiker ziemlich gut gewesen sei. Immerhin aber muss — die Annahme der Pentosenabspaltung aus dem Pancreasnucleoalbumin als richtig vorausgesetzt — die That- sache sehr auffallend erscheinen, dass der Patient trotz so ungewöhnlich grosser Aufnahme von Pancreas keine die Tollens'sche Reaction gebende Substanz ausgeschieden hat.

1) Erst nachträglich erfuhr ich, dass ähnliche Versuche von Salkowski an Tieren gemacht sind.

Noch von einem anderen Gesichtspunkte interessirte uns die Pancreasdarreichung. Wie gestaltet sich dabei die Oxalsäureausscheidung? Der Stand der Oxalsäurephysiologie ist kurz dieser: Sicher ist nach Versuchen von Wesley Mills und mir, dass die Oxalsäure sowohl im Tierkörper als im menschlichen Organismus gebildet werden kann. Über die Muttersubstanz der im Tierkörper gebildeten Oxalsäure gehen die Anschauungen weit auseinander. Mir schien es bisher nach den Angaben in der Litteratur das Wahrscheinlichste, dass die Oxalsäure den Nucleinen entstamme, wenn mir auch ein früher in dieser Richtung ausgeführter Versuch — ich hatte einem Manne 750 gr Kalbsthymus gegeben, ohne eine Steigerung der Oxalsäureausscheidung beobachten zu können — resultatlos blieb. Unter Fritz Voit's Leitung sind ähnliche Versuche unabhängig von den meinen gemacht worden, über die Voit vor kurzem berichtet hat. Dieser Autor will zu positiven Resultaten gekommen sein, d. h. er sah eine regelmässige Steigerung der Oxalsäureausscheidung nach Darreichung von grossen Mengen Thymus; nur in einem Fall blieb dieselbe aus. Ich muss nach den Resultaten meiner Analysen — es wurden während der ganzen Zeit quantitative Oxalsäurebestimmungen gemacht — einen solchen Zusammenhang bezweifeln. Ich habe an einzelnen Pancreastagen überhaupt keine Oxalsäure im Harn gefunden, an anderen nur Spuren, jedenfalls niemals eine vermehrte Menge derselben. Ebenso versagten in dieser Beziehung die beiden Kalbsthymustage, an denen 1000, resp. 1150 gr Thymus verzehrt wurden. Dass die Nucleinstoffe vorzüglich resorbirt und auch in hohem Grade umgesetzt wurden, sehen Sie aus den hohen Phosphorsäure- und Harnsäurezahlen. (Demonstration a. d. Tabelle).

Noch ein anderer Punkt bedarf hier der Erwähnung; es wird noch immer von einzelnen Seiten unbegreiflicher Weise die Möglichkeit einer »alimentären Oxalurie« bezweifelt und in der ausführlichsten Weise zu widerlegen gesucht. Unser Patient, der nie ein spontanes Oxalatsediment im Urin zeigte und dessen Oxalsäureausscheidung stets sehr gering war, hatte plötzlich ein

reichliches Kalkoxalatsediment an den beiden Tagen, an denen er je 200 gr Spinat erhielt, also ein stark oxalsäurehaltiges Gemüse. Die quantitative Ausscheidung betrug an diesen beiden Tagen das Vielfache der bis dahin beobachteten Oxalsäuremengen.

Dass die von den Gegnern der alimentären Oxalurie behauptete Umsetzung der löslichen Oxalate in das nicht lösliche und nicht resorptionsfähige Kalkoxalat innerhalb des Darmes teilweise stattfindet, scheint mir daraus hervorzugehen, dass sich an den beiden Spinattagen im Koth mikroskopisch massenhaft Kalkoxalatkrystalle nachweisen liessen; denn im Spinat ist die Oxalsäure, soweit ich weiss, in löslicher Form vorhanden.

Ich komme zu einer anderen Frage, nämlich der der Harnsäureausscheidung und -bildung. Sie sehen in der Tabelle an den Pancreastagen eminent hohe Harnsäurewerte verzeichnet; die höchsten sind 5,38 gr und 6,70 gr pro die. (Demonstration der betr. Harnsäuremengen). Von diesen war der grösste Teil spontan ausgeschieden; ich bemerke, dass die Zahlen sicher noch etwas zu gering sind, denn kleine Verluste waren bei der Sammlung und Trocknung der spontan ausgeschiedenen Harnsäure unvermeidlich. Es sind dies übrigens die höchsten Harnsäureausscheidungen, die bisher beobachtet sind, wenn ich von einem Fall einer acuten Leukämie absche, die am letzten Tage ihres Lebens 8,7 gr Harnsäure ausschied. Die Zahlen, die man bisher nach Darreichung nucleinreichen Gewebes beobachtet hat — Pancreas ist noch nicht gegeben worden — erreichen nicht annähernd die Höhe dieser Zahlen. An sich haben diese hohen Zahlen nur den Wert eines Curiosums. Ziehen wir jedoch die neueren Anschauungen über Harnsäurebildung, wie sie Minkowski kürzlich zum Ausdruck gebracht hat, in Betracht, so gewinnen sie doch einiges Interesse. Minkowski meint auf Grund seiner Untersuchungen, dass von den Zersetzungsprodukten der Nucleinstoffe nur das Hypoxanthin und das Adenin, soweit letzteres nicht präformiert eingeführt wird, Harnsäure liefert. In 100 Teilen Pancreas sind nach Kossel im Mittel 0,089 Tle. Hypoxanthin + Adenin enthalten. An dem Tage, an welchem 6,7 gr Harnsäure

ausgeschieden wurden, bekam der Patient 3 Pfund Pancreas; in diesen drei Pfund waren nach der Kossel'schen Analyse 1,34 gr Hypoxanthin + Adenin enthalten. Diese Menge reicht natürlich lange nicht aus, um 6,7 gr Harnsäure zu liefern. Vielleicht lässt sich daraus schliessen, dass noch andere Basen im Nucleinmolekül an der Bildung der Harnsäure beteiligt sein müssen.

Bevor ich auf die Beziehungen zwischen Zuckerbildung und Fett-, resp. Eiweissnahrung eingehe, möchte ich mir erlauben, kurz an der Hand der Tabelle die Verhältnisse an den einzelnen Tagen durchzugehen.¹⁾ In die erste Columne habe ich die Menge der dargereichten Nahrung geschrieben; ich habe immer nur den Hauptbestandteil der Nahrung an den betr. Tagen verzeichnet; denn das was nebenher gegeben wurde, war so ausgewählt und wurde ausserdem in so geringen Mengen aufgenommen, dass es für den Stoffumsatz und speciell für die Zuckerausscheidung kaum oder gar nicht in Betracht kam. Kohlehydrate wurden während der ganzen Zeit gar nicht gereicht, abgesehen von je 50 gr Brot an den beiden ersten Tagen, sowie von den minimalen Mengen, die in je 200 gr Spinat enthalten sind (an zwei Tagen der letzten Periode). Die zweite Columne enthält die Harnmengezahlen. In der dritten Columne ist die Stickstoffausscheidung im Harn und der daraus berechnete Eiweissumsatz verzeichnet. Die vierte Columne enthält die Zahlen der täglichen Zuckerausscheidung, die fünfte die der Phosphorsäure-, die sechste die der Harnsäureausscheidung, die siebente die des Verhältnisses von ausgeschiedenem Stickstoff zu ausgeschiedenem Zucker. In der letzten Columne stehen die täglichen Körpergewichtszahlen. Die Kothanalysen, die Acetonzahlen, die Ammoniak- und Oxalsäurezahlen wurden der Einfachheit wegen fortgelassen.

1) Die ausführlicheren Belege müssen der späteren Publication vorbehalten bleiben. Es wurde die Nahrung natürlich auf das Genaueste abgewogen und, soweit es nötig erschien, analysirt. Der Koth wurde für die einzelnen Perioden abgegrenzt und ebenfalls analysirt (Fett und Stickstoff).

Zunächst sehen Sie hier eine Reihe von Rindfleischtagen, wenn ich von den beiden ersten Tagen, an denen je 50 gr Brot gegeben wurden, absehe. Die Zuckerausscheidung beträgt an diesen Tagen rund 48, 53, 58 u. s. w. gr, im Allgemeinen die Tendenz zum Absinken zeigend, was deutlich die Berechnung des Verhältnisses zwischen Harnstickstoff und Harnzucker illustriert.¹⁾ Es folgen zwei Nutrosetage; am zweiten Tage Ansteigen der Zuckerausscheidung auf 70 gr. Hierauf wiederum zwei Fleischtage, an denen die Zuckerausscheidung auf 39, resp. 38 gr sinkt. Am folgenden Eiereiweisstag sinkt die Zuckerausscheidung plötzlich auf 10 gr herab. Es folgt ein Fleischtag mit 4, 8 gr Zucker und hierauf ein Fetttag mit 3,4 gr. Am nächsten Tage mit Pancreasfütterung steigt die Zuckermenge plötzlich auf 62 gr, um an den beiden darauf folgenden Nutrosetagen gar auf 80, resp. 113 gr zu steigen. Hierauf wiederum ein Eiereiweisstag mit einer Zuckerausscheidung von nur 2 gr. An den beiden nächsten Fetttagen schwindet der Zucker ganz aus dem Harn. Es folgen drei Nutrosetage, an denen die Zuckerausscheidung wieder sehr beträchtlich wird; sie beträgt an den drei Tagen 41, 72, resp. 39 gr. Hierauf zwei Kalbsthymustage ohne Zucker, dann zwei Rindfleischtage mit 8, resp. 5 gr Zucker. Es folgt eine dreitägige Pancreasperiode; am ersten Tage bei geringer Pancreasaufnahme und vor allem sehr geringen Eiweissumsatz gar kein Zucker; am zweiten Tag 1,9 gr Zucker; am dritten Tag 61 gr Zucker. Die Zuckerausscheidung von 32 gr am folgenden Fetttag ist sicher noch auf die vorhergehenden Pancreastage zu beziehen; denn Sie sehen wie am zweiten Fetttage die Zuckerausscheidung nur noch 1 gr beträgt. Ausserdem zeigen meine ausführlicheren Tabellen mit aller Sicherheit das Spätkommen der Zuckerausscheidung nach allen Pancreastagen. Ich habe Ihnen in der nebenanstehenden Tabelle einige Tage aus

1) Die allmähliche relative Abnahme der Zuckerausscheidung ergibt sich übrigens des Näheren noch aus den Bestimmungen, die von Herrn Collegen Dr. Zängerle aus anderen Gründen vor der Zeit meiner Versuche gemacht wurden.

meinen ausführlichen Tabellen herausgeschrieben, an denen Sie dieses Gesetz deutlich erkennen können (s. Tab. 2); mit der Harnsäureausscheidung verhält es sich ähnlich. Die beiden folgenden Tage waren wieder Eiereiweisstage mit 11, resp. 12 gr Zucker; dann wieder ein Pancreastag mit 38 gr Zucker, und wir dürfen den folgenden Fleisch-Fetttag mit 45 gr Zucker ruhig noch hierher rechnen. Am zweiten und dritten Fettfleischtag sinkt die Zuckerausscheidung wieder auf 7, resp. 0,9 gr herab. Im Allgemeinen ist zu der Tabelle zu bemerken, dass die Ausnutzung an den einzelnen Tagen sehr gut war, vor allen auch an den Fett-, Pancreas- und Nutrosetagen. Etwas zu wünschen übrig liessen der erste Eiereiweisstag und die beiden Thymustage. Störend greift in die Zuckerausscheidungsverhältnisse das sich allmählich bessernde Zuckerverbrennungsvermögen ein. Würde letzteres constant geblieben sein, so würden die Zuckersahlen vermutlich noch beweisender gewesen sein. Denn die Verbesserung des Oxydationsvermögens beeinflusst meine Zahlen in einem für die daraus zu ziehenden Schlüsse ungünstigen Sinne. Um dem Einwand zu begegnen, dass an den Tagen mit hoher Zuckerausscheidung mehr Eiweiss umgesetzt sei, verweise ich auf die Verhältnisszahlen zwischen ausgeschiedenem Stickstoff und Zucker. Dieses war vor allem bei der Formulirung der Schlüsse mit massgebend.

Die Ernährung war stets ausreichend, wie Sie aus den Körpergewichtszahlen ersehen; die grossen Schwankungen derselben an den einzelnen Tagen sind sicher vorwiegend bedingt durch den grossen Wechsel in Blasen- und Darmfüllung des Patienten.

Welche Schlüsse lassen sich nun aus den soeben besprochenen Zahlen ziehen? Beginnen wir mit der Zuckerbildung aus Fett. Noch jüngst ist von Rumpf an der Hand eines Stoffwechselversuchs an einem Diabetiker behauptet worden, dass der diabetische Organismus fähig sei, aus Fett Zucker zu bilden. Es ist hier nicht der Ort Kritik an dieser Arbeit zu üben; ich will nur bemerken, dass sie sehr viel Unerklärliches enthält.

Mein Diabetiker schied am 7. III, wie Sie sehen, 3 gr Zucker aus nach einer Zuckerausscheidung von 5 gr am vorhergehenden Tag. Am 12. und 13. III wurde gar kein Zucker ausgeschieden, trotzdem ungeheuer viel Fett resorbiert und, wie der geringe Eiweissumsatz am 13. III beweist, zweifellos auch verbrannt war. Am folgenden Nutrosetag wurden sofort wieder 41 gr Zucker ausgeschieden. Die Zuckerausscheidung von 32 gr am 24. III, ebenfalls einem Fetttag, ist sicher zu beziehen auf die vorhergehende Pancreasperiode (wie schon erwähnt wurde). Am gleich darauf folgenden Fetttag wird nur noch 1 gr Zucker ausgeschieden. Auch die beiden letzten Fettfleischstage zeigen eine niedrige Zuckerausscheidung; die 45 gr Zucker am 29. III bei Fleischfettkost sind abhängig vom vorhergehenden Pancreastag (s. Tab. 2). Wir sehen also, dass an den Tagen, wo grosse Mengen Fett gereicht wurden, niemals eine Steigerung der Zuckerausscheidung eintritt, häufig dagegen ein starkes Absinken. Es muss hiernach die Zuckerbildung aus Fett beim Diabetiker bestritten werden; wenigstens ist sie kein allgemeines Gesetz.

Was nun die Zuckerausscheidung nach Eiweissnahrung anlangt, so ist zunächst sehr auffallend die geringe Zuckerausscheidung nach Eiereiweissaufnahme; das ist um so bemerkenswerter, als sich im Reagensglas das Eiereiweiss ganz anders verhält: hier lassen sich aus ihm relativ hohe Mengen zuckerartiger Substanz abspalten.

Sehr bemerkenswert ist ferner die hohe Zuckerausscheidung nach Pancreasaufnahme, die an allen Pancreastagen wiederkehrt. Diese Thatsache, an der, wie meine ausführlicheren Tabellen noch deutlicher zeigen, nicht zu zweifeln ist, lässt zwei Erklärungen zu. Ich will vorweg nehmen, dass eine fermentative Wirkung des Pancreas irgend welcher Art nach der vorausgegangenen Behandlung ausgeschlossen war. Es konnte sich daher entweder um eine toxische Wirkung handeln, oder es musste im Pancreas eine Substanz enthalten sein, die im Körper grosse Mengen von Zucker liefern kann. Eine toxische Wirkung in dem Sinne, dass das Oxydationsvermögen für Kohlehydrate

stark geschädigt wird, ist nicht ganz ausgeschlossen; wir müssten dann allerdings der Nutrose dieselbe toxische Wirkung zuschreiben; denn auch an den Nutrosetagen sehen wir hohe Zuckerausscheidung. Die andere Möglichkeit, dass nämlich im Pankreasgewebe irgend eine Substanz grosse Mengen von Zucker liefert, liess in erster Linie an die Nucleine denken; denn wir haben an der Harnsäure- und Phosphorsäureausscheidung gesehen, wie grosse Mengen von Nuclein im Pankreas enthalten sein müssen. Ein Fütterungsversuch mit einem anderen nucleinreichen Gewebe musste in diesem Punkte Aufklärung bringen. Der darauf bezügliche Versuch mit Thymus am 17. und 18. III fiel absolut negativ aus, d. h. es wurde gar kein Zucker ausgeschieden. Vielleicht ist es aber eine andere Substanz, die im Pankreasgewebe in grosser Menge vorhanden ist, und da liegt es nahe an das Leucin zu denken. Es erscheint nicht ausgeschlossen, dass das Leucin für die Zuckerbildung aus Eiweiss in Betracht kommt, eine Möglichkeit, auf die mein Chef, Herr Prof. F. Müller, noch vor kurzem hingewiesen hat. Damit wäre zugleich auch die hohe Zuckerausscheidung an den Nutrosetagen erklärt. Denn aus der Nutrose hat man bis zu 50% Leucin abgespalten. Wenn auch diese Erwägungen nur rein hypothetischen Wert haben, wäre es immerhin doch ganz wünschenswert, Fütterungsversuche mit Leucin an Phloridzintieren oder an Diabetikern zu machen. Weiterhin wird es nötig sein, meine Versuche an einem Diabetiker schwerster Form mit constant bleibendem Zucker-verbrennungsvermögen zu wiederholen. Unser Fall stand vielleicht in der Mitte zwischen den sogen. mittelschweren und schweren Fällen.

Zum Schluss möchte ich noch bemerken, dass ich an einem Pankreastag Cystin, an einem Fetttag mit Sicherheit Fett im Urin nachweisen konnte. Man könnte hier also wohl von einer alimentären Lipurie sprechen. Auffallend war an den Eiereiweiss-tagen die starke Fluorescenz des nativen Urins, die, wie das Spectrum zeigte, auf die Anwesenheit von Hydrobilirubin zu beziehen war.

Tabelle 1.

Datum	Nahrung	Harnmenge in cm	N-Ausschd.; in Klammer Eiweissums.	Zucker- ausscheidg. in g	Phosphor- säure-Aus- scheidg. in g	Harnsäure- Ausscheidg. in g	N: Zucker	Körpergew. in Kilo
23. II.	530 g Fleisch, 250 g Wurst, 6 Eier, 50 g Schwarzbrot	2660	22,56 (141,0)	47,88	4,26	1,09	1:2,1	55,0
24. II.	550 g Fleisch, 250 g Wurst, 6 Eier, 50 g Schwarzbrot	2300	22,77 (142,3)	52,90	4,49	1,18	1:2,3	55,3
25. II.	600 g Rindfleisch, 250 g Wurst, 6 Eier	2650	28,62 (178,9)	58,30	4,90	1,13	1:2,0	55,8
26. II.	dto.	2490	24,40 (152,5)	39,84	3,98	1,88	1:1,6	55,2
27. II.	dto.	2770	35,73 (223,4)	66,48	5,29	1,34	1:1,9	54,7
28. II.	dto.	2075	28,43 (177,7)	41,50	4,28	1,05	1:1,5	54,5
1. III.	250 g Nutrose, 5 Eier	2320	29,00 (181,3)	41,76	5,27	0,87	1:1,4	54,8
2. III.	400 g Nutrose	3200	42,24 (264,0)	70,40	6,24	0,87	1:1,7	55,2
3. III.	567 g Rindfleisch, 250 g Wurst	1770	26,91 (168,2)	38,94	3,36	0,96	1:1,4	55,6
4. III.	550 g Rindfleisch, 250 g Wurst	2370	37,90 (236,9)	37,90	4,65	1,59	1:1,0	56,2
5. III.	465 g Eiereiweiss (nativ), 310 g Album. ex ovis sicc.	2100	19,32 120,8	10,5	2,20	0,69	1:0,6	54,8
6. III.	215 g Eiereiweiss, 310 g Rindfleisch, 226 g Wurst, 150 g Speck	1200	21,72 (135,8)	4,8	2,38	0,89	1:0,2	54,4
7. III.	446 g Speck, 60 g Butter, 2 Essl. Sahne, 6 Eier, 303 g Fleisch, 215 g Wurst (fett)	1700	23,46 (146,6)	3,4	3,43	0,98	1:0,1	55,2
8. III.	300 g Pancreaspulver, 582 g nativ. Pancreas, 5 Eier	3240	31,37 (196,1)	61,56	9,27	4,81	1:2,1	55,7
9. III.	430 g Nutrose, 1 Ei	2745	34,04 (212,8)	79,60	7,22	1,56	1:2,4	55,5
10. III.	480 g Nutrose	4020	60,70 (379,4)	112,5	9,17	0,97	1:1,8	56,0
11. III.	780 g nativ. Eiereiweiss, 100 g Alb. ex ovissicc.	1825	26,65 (166,6)	1,82	2,56	0,54	1:0,07	57,1
12. III.	600 g Speck, 20 g Butter, 2 Essl. Sahne, 108 g fette Wurst, 5 Eier	1850	22,94 (143,4)	0	2,87	0,65	—	58,1
13. III.	587 g Speck, 20 g Butter, 2 Essl. Sahne, 108 g fette Wurst, 4 Eier	1850	9,99 (62,4)	0	2,76	0,51	—	58,3
14. III.	450 g Nutrose	3400	21,08 (131,8)	40,8	4,69	0,69	1:2,0	58,9

Tabelle 1 (Forts.).

Datum	Nahrung	Harnmenge in ccm	N-Auscheidg.: in Klammer Eiweissum.	Zucker- auscheidg. in g	Phosphor- säure-Aus- scheidg. in g	Harnsäure- Auscheidg. in g	N:Zucker	Körpergew. in Kilo
15. III.	450 g Nutrose	3600	48,96 (306,0)	72,0	6,59	0,70	1:1,6	58,0
16. III.	dto.	3510	53,00 (331,3)	38,61	6,39	0,67	1:0,7	58,5
17. III.	1000 g Kalbsthymus	3040	39,22 (244,1)	0	5,93	2,54	—	57,8
18. III.	1150 g Kalbsthymus	2155	19,61 (122,6)	0	4,61	2,01	—	57,6
19. III.	765 g Rindfleisch, 215 g roh. Schinken	1950	29,84 (186,5)	9,75	5,64	1,36	1:0,3	56,2
20. III.	750 g Rindfleisch, 250 g roh. Schinken	2600	35,88 (224,3)	5,2	5,28	1,68	1:0,2	56,4
21. III.	1000 g nativ. Pancreas	1335	13,11 (81,9)	0	3,10	1,40	—	55,3
22. III.	1350 g nativ. Pancreas, 183 g Paucreaspulver	3760	45,69 (295,6)	1,9	14,46	5,38	1:0,04	56,7
23. III.	1500 g nativ. Pancreas, 2 Eier	4410	54,42 (340,5)	60,53	14,60	6,70	1:1,1	55,8
24. III.	616 g Speck, 32 g Butter, 2 Essl. Sahne, 156 g fette Wurst, 4 Eier, 200 g Spinat	2246	28,97 (181,5)	32,38	6,94	0,83	1:1,1	55,5
25. III.	620 g Speck, 52 g Butter, 1 Essl. Sahne, 197 g fette Wurst, 4 Eier, 285 g Spinat	1685	19,55 (122,2)	0,98	4,65	0,99	1:0,01	57,2
26. III.	1127 g nat. Eiereiweiss (38 Eier), 86 g Alb. sicc.	2120	21,84 (136,5)	10,6	2,37	—	1:0,4	57,2
27. III.	1097 g nat. Eiereiweiss (38 Eier), 113 g Alb. sicc.	2800	26,88 (168,0)	12,32	1,76	—	1:0,4	57,2
28. III.	200 g Pancreaspulver, 500 g nat. Pancreas, 2 Eier, 285 g Speck ¹⁾	3070	33,68 (210,5)	38,39	7,53	3,87	1:1,2	57,0
29. III.	390 g Fleisch, 6 Eier, 125 g Speck, 2 Essl. Sahne, 20 g Butter	2690	29,86 (186,6)	45,09	5,06	—	1:1,5	56,9
30. III.	Fett-Fleisch	1080	18,04 (112,8)	6,51	—	—	1:0,4	56,8
31. III.	Fett-Fleisch	1110	17,76 (111,0)	0,98	—	—	1:0,05	—

1) An diesem Tage wurde bereits morgens 7 Uhr mit der Pancreasaufnahme begonnen; um Mittag wurde das letzte Pancreas genommen; an allen anderen Pancreastagen wurde erst gegen Mittag das erste Pancreas verzehrt; die Hauptpancreasmahlzeit wurde gegen Abend gegeben.

Tabelle 2.

Datum	Nahrungsaufnahme	Urinmenge in ccm	Zucker in einzelnen Portionen		Phosphorsäure in den einzelnen Portionen in gr	N. in den ein- zelnen Por- tionen in gr	Harnsäure in den einz. Port. in gr	Gesamtzucker in gr	Ges.- Phosphor- säure in gr	Ges.- N. in gr; in Klammer der daraus berech. Kweisuumsatz	Ges.- Harnsäure in gr
			0/0	gr							
26. III.	1127 gr natives Eiereiweiss (von 38 Eiern); 86 gr Album. sicc.; 119 gr Butter; 2 Essl. Sahne; 6 Tass. Kaffee; 5 Sar- dellen; 3 Tass. Bouillon; 3 Glas Rotwein.	2120	0,5	10,6	—	—	—	10,6	2,37	21,84 (136,5)	—
27. III.	9 U. m.: 2 Tass. Kaffee; 1 Essl. Sahne.	I P. 11 U. m. gelass. 385.	0	0	—	—	—	—	—	—	—
	11 U. m.: 294 gr nat. Eiereiweiss; 30 gr Butter; 1 Glas Wein.	II P. 1 U. mitt. gelass. 118.	0,05	0,06	—	—	—	—	—	—	—
	1 1/2 U. nachm.: 373 gr nat. Eier- eiweiss; 30 gr Butter; 3 Sard.; 2 Tass. Bouillon; 1 Glas Wein.	III P. 3 U. nachm. gelass. 220.	0,1	0,22	—	—	—	—	—	—	—
	4 U. nachm.: 200 gr nat. Eier- eiweiss; 20 gr Butt.; 25 gr Album. sicc.; 2 Tass. Kaffee.	IV P. 5 U. nachm. gelass. 262.	0	0	—	—	—	12,32	1,76	26,88 (168,0)	—
	5 1/2 U. nachm.: 63 gr nat. Eier- eiweiss; 33 gr Alb. sicc.; 2 Tass. Kaffee; 1 Essl. Sahne.	V P. 7 U abds. gelass. 310.	0	0	—	—	—	—	—	—	—
7	U. abds.: 167 gr nat. Eier- eiweiss; 25 gr Butter; 4 Sard.; 55 gr Alb. sicc.; 1 Tass. Bouill.; 1 Glas Wein.	VI P. 10 U. abds. 500	0	0	—	—	—	—	—	—	—

Datum	Nahrungsaufnahme	Urinmenge in	Zucker in einzelnen Portionen		Phosphorsäure in den einzelnen Portionen in gr	N. in den ein- zelnen Por- tionen in gr	Harnsäure in den einz. Port. in gr	Gesamtzucker in gr	Ges. - Phosphor- säure in gr	Ges. - N. in gr in Klammer der- daraus berech. Elweissumsatz	Ges. - Harnsäure in gr
27. III.	Zusammen: 1097 gr nat. Eier- eiweisse (von 38 gr Eiern); 113 gr Alb. succ. u. s. w.	VII P. 7 U. morg. gelass. 1005.	1,2	12,06	—	—	—	—	—	—	—
28. III.	7 U. morg.: 100 gr Pancreas- pulv.; 2 Tass. Kaffee.	I P. 10 U. m. gelass. 590	0,5	2,95	—	—	—	—	—	—	—
	10 $\frac{1}{2}$ U. morg.: 100 gr Pancreas- pulv.; 2 Tass. Bouillon.	II P. 11 U. m gelass. 210	0,6	1,26	—	—	—	—	—	—	—
	12 $\frac{1}{2}$ U. mitt.: 500 gr natives Pancreas; 2 Tass. Bouillon; 1 Glas Wein.	III P. 10 mitt. gelass. 200	0,7	1,40	0,41	2,24	0,33	—	—	—	—
	4 U. nachm.: 125 gr Speck; 38 gr Wurst; 58 gr Ei; 2 Tass. Kaffee; 1 Essl. Sahne; 1 Glas Wein.	IV P. 3 U. n. gelass. 260	0,7	1,82	1,10	2,39	0,46	—	—	—	—
	7 U. abds.: 160 gr Speck; 62 gr Wurst; 60 gr Ei; 1 Essl. Sahne; 1 Tass. Bouillon; 1 Glas Wein.	V P. 4 U. n. gelass. 275 VI P. 6 $\frac{1}{2}$ U. n. gelass. 280 VII P. 9 U. abds. gel. 275 VIII P. 8 U. m. gel. 960 (Port. I u. II u. VIII)	0,9	2,48	0,97	2,72	0,50	38,39	7,53	33,68 (210,5)	8,87
			1,5	4,20	0,76	3,39	0,44	—	—	—	—
			1,5	4,12	0,73	3,57	0,39	—	—	—	—
			2,1	20,16	—	—	—	—	—	—	—
			—	—	3,56	19,87	1,75	—	—	—	—

In der Geschäftssitzung vom 26. April 1899 wurde das bisherige ausserordentliche Mitglied Herr Oberarzt Professor Dr. Eberhard Nebelthau durch vorschriftsmässige Kugelung zum ordentlichen einheimischen Mitglied gewählt.

Aufgelegte Schriften:

- Leopoldina, Heft XXXIV 12, XXXV, Nr. 1, 2, 3 und 4.
 Verhandlungen der k. k. geologischen Reichsanstalt 1898, Nr. 16
 bis 18 und 1899, Nr. 1—4.
 Mittheilungen aus dem naturwissenschaftlichen Verein in Greifswald. Jahrg. 30. Berlin 1899.
 Verhandlungen des naturhist. medicinischen Vereins in Heidelberg.
 N. F. Bd. VI, Heft 1. Heidelberg 1898.
 Schriften der naturforschenden Gesellschaft in Danzig. N. F.
 Bd. 9, Heft 3 und 4.
 Abhandlungen der Senkenbergischen naturforschenden Gesellschaft.
 Bd. 21, Heft 3 und 4 und Bd. 24, Heft 4.
 Frankfurt a. M. 1898.
 Informe del Museo Nacional de Costa Rica 1898.
 San Jose 1898.
 American Naturalist, Vol. 33, Nr. 386, 387, 388.
 Boston 1899.
 Bulletin of the New-York Public Library. Vol. 2, Nr. 12; Vol. III,
 Nr. 1, 2 und 3. New-York 1899.
 Verhandlungen des deutschen wissenschaftlichen Vereins zu
 Santiago de Chile. Bd. III, Heft 5. Valparaiso 1897.
 Annotationes zoologicae Japonenses. Vol. II, Part. IV.
 Tokio 1898.
 Mittheilungen aus der medic. Fakultät der k. jap. Universität
 in Tokio. Bd. IV, Nr. 3 und 4. Tokio 1898.
 Nuovo Cimento. Ser. IV, Tom. VIII. (Società italiana di Fisica).
 Pisa 1898.
 Rendiconto dell' Accademia delle Scienze fisiche e matematiche.
 Ser. 3, Vol. V, fasc. 1, 2 und 3. Napoli 1899.
 Rendiconti della R. Accad. dei Lincei. Nr. 296. Vol. VIII, fasc. 2,
 3, 4, 6 und 7. Roma 1899.
 Annali della facoltà di medicina di Perugia. Vol. X, fasc. 2—4.
 Perugia 1898.
-

Sitzungsberichte

der Gesellschaft zur Beförderung der gesammten Naturwissenschaften

zu
M a r b u r g.

Nr. 5

Mai

1899

In der wissenschaftlichen Sitzung vom 17. Mai 1899 berichtet Herr Johannes Meisenheimer über:

Die Entwicklungsgeschichte von *Dreissensia polymorpha* Pall.

I. Bis zur Ausbildung der jungen Trochophoralarve.

Als Süßwassermuschel von marinem Typus nimmt *Dreissensia polymorpha* in unserer Süßwasserfauna eine eigentümliche Sonderstellung ein. Dieser marine Typus äussert sich nicht allein in der Organisation des erwachsenen Tieres, er übt seinen Einfluss auch auf die Entwicklung aus, insofern eine mit allen charakteristischen Merkmalen der marinen Verwandten ausgerüstete Trochophoralarve auftritt. Korschelt hat dieselbe zuerst aufgefunden und kurz beschrieben, auf seine Veranlassung hin und mit Unterstützung der Gesellschaft zur Beförderung der gesammten Naturwissenschaften zu Marburg habe ich ihre Entwicklung zum Gegenstande einer eingehenden Untersuchung gemacht und möchte deshalb im folgenden kurz die bisher gewonnenen Resultate darlegen.

Dreissensia legt ihre sehr kleinen Eier (in conserv. Zustande 50—60 μ gross) frei ins Wasser ohne jede Hülle ab. Die erste Furchungsebene teilt das Ei in zwei ungleich grosse Hälften, die sich alsbald von neuem teilen und so ein vierzelliges Stadium

entstehen lassen, bestehend aus einer grösseren nach hinten gelegenen Zelle, zwei kleineren zu beiden Seiten und einer eben-solchen vorn. Die Richtung der Spindeln der beiden letzten Teilungen liegt umgekehrt als bei sämtlichen bisher bekannten Formen, nämlich dextrop. Dies ist um so auffallender als die nächste Teilung, welche zum achtzelligen Stadium überführt, ebenfalls dextrop ist. Das achtzellige Stadium, hervorgegangen aus einer Teilung sämtlicher Zellen des vierzelligen Stadiums, besteht aus einer grösseren, hinten gelegenen Zelle und sieben kleineren, derselben nach vorne hin aufsitzenden Zellen. Durch eine Teilung der hinteren, grösseren Zelle entsteht das neun-zellige Stadium, und zwar erfolgt die Teilung derart, dass die grössere Masse der ursprünglichen Zelle nach dem animalen Pole hin, die kleinere nach dem vegetativen zu liegen kommt. Die grössere, neu entstandene Zelle stellt den I. Somatoblasten vor (X). Durch Teilung sämtlicher übrigen Zellen entsteht schliesslich das 16-zellige Stadium von regelmässiger Anordnung, bestehend aus 8 Zellen der 1. Ectodermgeneration, 4 Zellen der zweiten und 4 vegetativen Zellen.

Die nächste Teilung betrifft den I. Somatoblasten, indem derselbe eine kleine Zelle nach rechts unten abgibt, es folgen $a_{1.1}$, $b_{1.1}$, $c_{1.1}$, $d_{1.1}$ (nach der Nomenclatur von Wilson und Lillie) und a_1 , b_1 , c_1 , d_1 , sodass die erste Ectodermgeneration hiermit ihre Zellenzahl auf 16 erhöht hat. Am vegetativen Pole hat die dritte Ectodermgeneration bereits ihre Bildung begonnen, indem die hintere Zelle D eine kleine Zelle d_3 abgibt und zugleich hat X ein zweites kleines Derivat nach links unten abgeschnürt, x_2 . Nach zwei weiteren Teilungen von geringerer Bedeutung, nämlich von c_2 und x_1 , wird die dritte Ectodermgeneration vollständig ausgebildet, indem A , B und C dem Beispiele von D folgen. Abgesehen von einer weiteren Teilung von X , welche zur Abschnürung von x_3 nach rechts oben führt, fesselt nun vor allem der animale Pol unsere Aufmerksamkeit durch zahlreiche Teilungen, welche die Zahl der Zellen der I. Ectodermgeneration auf 28 vermehren. Zunächst teilen sich die Quartetts $1.1.1$ und

$1,1,2$, ihre Zellen liefern das Velum der Trochophoralarve, sodann auch d_1 und etwas später a_1 , b_1 , c_1 , also die Zellen, welche innerhalb des Velums an der Bildung der Scheitelplatte beteiligt sind. Wenn ich sodann noch einige weitere Teilungen innerhalb der zweiten Ectodermgeneration, wie die von a_2 , b_2 , $c_{2,2}$, ferner die Abschnürung eines vierten Derivates von X , x_4 , nach unten hin, sowie die Teilung von D zur Bildung von d_4 , erwähne, so haben wir einen bemerkenswerten Abschnitt in der Furchung erreicht, insofern nunmehr an die Stelle der spiralgigen Teilungen bilaterale zu treten beginnen.

Die erste Bilateralteilung vollzieht sich in X , diese Zelle in zwei gleichgrosse, symmetrisch gelegene Hälften zerlegend, es folgt ihr unmittelbar eine zweite Zelle, nämlich die Zelle d_4 , welche wir als II. Somatoblasten oder abgekürzt mit M bezeichnen wollen. Aber beide Somatoblasten erfahren nochmals eine Unterbrechung in ihren Bilateralteilungen, indem sie noch ein kleines Element nach rechts oder links abgeben, alsdann folgen wieder regelmässige Bilateralteilungen. Diese beiden Somatoblasten nehmen einen ausserordentlich wichtigen Anteil an dem Aufbau der Larve, der I. Somatoblast liefert mit seinen grösseren, sich bilateral teilenden Zellen die Schalendrüse, mit seinen kleinen Derivaten (x_1 , x_2 , x_4 , x_5) die Ventralplatte, d. h. die ventrale Seite der Larve, der II. Somatoblast versinkt später in die Tiefe und lässt aus sich einen grossen Teil des Mesenchym-muskelgewebes hervorgehen (Urmesodermzellen der Autoren).

Um hieran sofort das Schicksal der bisher beschriebenen Zellcomplexe anzuschliessen, so sahen wir bereits, wie aus der unteren Hälfte der I. Ectodermgeneration das Velum, aus der oberen im wesentlichen die Scheitelplatte hervorgeht, zweite und dritte Ectodermgeneration, denen sich vielleicht noch eine vierte und sogar fünfte anschliessen, bilden die seitliche Körperwand der Larve, die ganz vegetativ gelegenen Zellen den späteren Mitteldarm, indem sie sich durch die Gastraleinstülpung nach innen senken. Wir haben somit die Hauptteile der späteren Larve in ihren frühesten, gesonderten Umrissen vor uns, die

Umbildung erfolgt dadurch, dass diese Organanlagen sich nunmehr schärfer von einander abheben und differenzieren.

Ehe wir die äussere Gestalt berücksichtigen, wollen wir getrennt davon zunächst die Anlage des Mesenchymmuskelgewebes genauer betrachten. Wir sahen eben, wie ein grosser Teil desselben aus dem II. Somatoblasten hervorgeht, aber derselbe ist nicht die einzige Anlage desselben. Bereits zur Zeit der ersten Bilateralteilungen treten einzelne kleinere Zellelemente im Inneren des Furchungskeimes auf, deren Ursprung nicht sicher festzustellen war und die nicht einmal ganz constant zu sein schienen. Ferner treten die eine oder andere Zelle zur Zeit des Beginnes der Gastulation aus dem Epithelverbände aus, um sich ins Innere zu verlagern und ein ähnlicher Vorgang wiederholt sich, wenn auch nur vereinzelt, auf noch bedeutend älteren Stadien. Auf die Bedeutung dieser Vorgänge im Vergleiche mit anderen Formen vermag ich hier nicht einzugehen, ich werde in meiner ausführlichen Arbeit mich weiter über dieselben verbreiten.

Während so das Mesenchymmuskelgewebe sich ausbildete, erlitt auch die äussere Form des bisher länglich ovalen Furchungskeimes mancherlei Veränderung, die zur Gestalt der definitiven Trochophoralarve überleiten. Es sind im wesentlichen zunächst zwei Processe, die uns in Anspruch nehmen und die zur Bildung zweier wichtiger Organe führen, nämlich der Schalendrüse und des Mitteldarmes. Beide gehen aus einer Einstülpung hervor, die Schalendrüse aus dem oben beschriebenen Complexe des I. Somatoblasten, der Mitteldarm aus den Zellen des vegetativen Poles. Beide Einstülpungen sind einander sehr ähnlich, sodass auf gewissen Stadien Verwechslungen nur durch schärfste Beobachtung zu vermeiden sind. Die Schalendrüseneinstülpung ist anfangs etwas umfangreicher, die Mitteldarmanlage zeichnet sich dadurch aus, dass schon sehr frühzeitig in ihrer vorderen Wandung die Leberzellen sich deutlich unterscheiden lassen. Die Einstülpungen reichen aber sehr tief ins Innere des Keimes hinein, sie füllen ihn nahezu völlig aus, sodann beginnt die Schalendrüseneinstülpung sich wieder auszustülpen und die Mitteldarmanlage

sich abzuschnüren, wobei der Blastoporus eine Verschiebung nach vorne hin erleidet. Die Abschnürung ist nie so vollständig, dass nicht ein Zusammenhang mit dem Ectoderm stets zu erkennen wäre, an eben derselben Stelle bildet sich alsbald eine neue Einsenkung, das Stomodaeum, d. h. also die Anlage des späteren Vorderarmes. Zugleich vollzieht sich an der Hinterseite eine ähnliche Einstülpung von etwas geringerer Ausdehnung, die Anlage des Proctodaeums. Beide Einstülpungen treten mit dem Darne in Verbindung und der Darmtractus ist so in seinen wesentlichsten Bestandteilen ausgebildet, zumal inzwischen auch die Sonderung von Leber, Magen und Dünndarm eine präzisere geworden ist.

Mit der Ausstülpung der Schalendrüse ist ein Flacherwerden der sie zusammensetzenden Zellen verbunden. Sobald sie ganz ausgestülpt ist, scheidet sie ein feines Schalenhäutchen ab, welches zunächst als unpaares Plättchen dem Rücken aufliegt und erst später eine Trennung in zwei symmetrische Hälften erfährt.

Es fehlen uns nun an der Ausbildung der jungen Larve im wesentlichen nur noch die Wimperorgane. Dieselben treten erst verhältnismässig spät auf, abgesehen natürlich von dem feinen, den ganzen Körper bedeckenden Wimperkleide. Zuerst machen sich die langen Wimpern an Velum und Scheitelplatte bemerkbar, ersteres bildet einen starken Wimperreifen aus, letztere einen stattlichen Wimperschopf. Dazu treten, abgesehen von einer starken Bewimperung des Schlundes, unterhalb desselben ein kurzes postorales Wimperband und endlich hinter dem Proctoäum ein starkes postanales Wimperbüschel.

Wir haben somit die charakteristischen Organe der jungen Trochophora bereits wohl ausgebildet vor uns, alle übrigen gehören mehr oder weniger ausschliesslich dem erwachsenen Tiere an, wenn ihre Anlagen auch auf dem Trochophorastadium auftreten, wir behalten sie sämtlich dem Abschnitte über die Organbildung vor.

Ohne mich hier auf sämtliche sich darbietenden Vergleiche

mit anderen Formen einzulassen, will ich nur eine einzige Form herausgreifen, deren Entwicklung recht genau bekannt ist, und kurz *Dreissensia* gegenüber stellen. Es handelt sich um die Unioniden nach den Untersuchungen Lillies. Der Modus der Furchung ist bei beiden Formen ein ausserordentlich übereinstimmender, wofern wir das allgemeine, zu Grunde liegende Schema berücksichtigen. Im einzelnen jedoch hat dasselbe bei beiden stark auseinandergehende Modificationen erlitten. Bei *Dreissensia* überragt ausserordentlich die erste Ectodermgeneration, auf dem Stadium von 54 Zellen besitzt sie bereits 29 Zellen, also mehr als die Hälfte zusammengekommen. Dagegen bleibt die zweite Generation sehr stark zurück, ihre Teilungen sind die unregelmässigsten von allen. Umgekehrt ist es bei *Unio*, hier überragt die zweite Generation an Zahl wie Grösse der Zellen, die erste bleibt weit zurück. Und welches ist die Ursache dieses verschiedenen Verhaltens? Sie liegt in der späteren Organisation der Larve. Das mächtig entwickelte Velum der Trochophoralarve übt seinen Einfluss bei *Dreissensia* auf junge Furchungsstadien zurück aus, es veranlasst die schnellen Teilungen der ersten Generation, die larvalen Mantellappen der Glochidiumlarve bei *Unio* machen sich in gleicher Weise durch das Hervortreten der zweiten Generation, von welcher sie sich herleiten, bemerkbar; dass umgekehrt die erste Generation unterdrückt ist, liegt daran, dass das Velum nahezu völlig rudimentär geworden ist. Die gleichhohe Ausbildung der Schale hat die gleiche Entfaltung des I. Somatoblasten zur Folge, der larvale Mesoblast bei *Unio* entspricht einigen der später austretenden Mesenchymzellen von *Dreissensia*, die mächtige Entwicklung des Adductormuskels der Glochidiumlarve lässt ihn an Masse diejenige des II. Somatoblasten sogar noch übertreffen. Ueberall also, wohin wir uns wenden, erkennen wir den Einfluss der Larvenorganisation innerhalb des Verlaufes der Furchung, sehen wir die Rückwirkung der Organe, je nachdem sie aufzutreten beginnen, sich hoch entfalten oder wieder rückgebildet erscheinen.

In derselben Sitzung (17. Mai 1899) sprach Herr Schaum:
**Über einen Flüssigkeitswiderstand mit verschiebbarer
 Mittelelektrode.**

Die Messung elektromotorischer Kräfte ist für die chemische Forschung ein unentbehrliches Hilfsmittel geworden; so hat die Bestimmung der Potentialdifferenzen von Metallen gegen ihre Salzlösungen sowie von unangreifbaren Elektroden gegen Oxydations- und Reduktionsmittel die analytische Chemie in hohem Grade gefördert und manche chemische Vorgänge, wie die Ausfällung eines Metalls aus seiner Salzlösung durch ein anderes, die Oxydations- und Reduktionsprozesse u. a. in einfacher Weise zu erklären vermocht.

Eine sehr genaue und bequeme Methode zur Bestimmung elektromotorische Kräfte ist das Poggendorff-Du Bois-Reymond'sche Kompensationsverfahren. Es wird in der Weise ausgeführt, dass man ein Element E durch einen Widerstand a b schliesst und in einem von a abzweigenden Nebenschluss die zu messende Kette e dem Element E entgegenschaltet. Der Nebenschluss enthält noch ein Kapillarelektrometer (oder dergl.) und endigt in einem auf a b beweglichen Kontakt c . Letzterer wird so lange verschoben, bis das Elektrometer keinen Ausschlag mehr giebt. Eine Wiederholung des Verfahrens mit einem Normal-element e_0 ergibt den gesuchten Wert der $E. M. K.$ von e , indem sich der Wert von e zu dem von e_0 verhält, wie die Widerstände ac : $a c_0$, bei denen beide Ketten kompensiert waren. Grundbedingung für die Möglichkeit der Messung ist, dass die $E. M. K.$ von E grösser ist als die von e und von e_0 .

Die Verwendung einer Messbrücke mit Schleifkontakt oder einer Kohlrausch'schen Brückenwalze als Widerstand a b ist nur bei der Anwendung eines guten Akkumulators als Element E möglich; andernfalls ist der Widerstand der Drähte zu gering und nimmt infolgedessen die $E. M. K.$ des Elementes E rasch ab; selbst wenn man den Hauptstromkreis immer nur für möglichst kurze Zeit schliesst, ist die Abnahme der $E. M. K.$ von E eine

beträchtliche Fehlerquelle. Genaue Messungen erfordern aber meist ein häufiges und auch längeres Schliessen des Hauptstromkreises, so dass der Widerstand von a b immerhin einige hundert Ohm betragen muss. Man bedient sich am besten eines Ostwald'schen Stöpselkastens, welcher alle Widerstände unter sich verbunden enthält und durch zwei Stöpsel beliebige Potentialdifferenzen abzunehmen gestattet, oder eines entsprechend umgeformten Siemens'schen Rheostaten; eventuell kann man zwei gleiche Siemens'sche Kästen in der Weise benutzen, dass der eine für a c , der andere für b c eintritt. Der Kontakt c wird also zwischen beiden unbeweglich angebracht und man entfernt aus dem einen Satz sämtliche Stöpsel, während man in dem andern alle behält. Beim Kompensieren setzt man dann jeden Stöpsel, der auf der einen Seite entfernt wird, an die entsprechende Stelle im anderen Widerstand.

Da in manchen Laboratorien keine oder nicht genügend Akkumulatoren und Widerstandskästen vorhanden sind, habe ich versucht, einen einfachen Apparat zu konstruieren, welcher den Vorzug grosser Billigkeit mit möglichst grosser Leistungsfähigkeit verbindet. Ich bin zu der Form der Messbrücke zurückgekehrt, habe aber den primären Leiter durch einen Leiter zweiter Klasse ersetzt; man kann auf diese Weise den Widerstand a b beliebig gross machen. Die Elektroden müssen, um Polarisation nach Möglichkeit zu vermeiden, umkehrbar sein; man nimmt also Cu-Elektroden in CuSO_4 -Lösung, oder Ag-Elektroden in AgNO_3 - oder AgClO_3 -Lösung (Ag und ClO_3 haben fast die gleiche Wanderungsgeschwindigkeit.)

Der Apparat ist in folgender Weise zusammengesetzt. Drei kreisrunde Elektroden von 0,5 mm. starkem Kupferblech und möglichst gleicher Grösse werden an Kupferstiften, welche einen isolierenden Überzug tragen, befestigt; eine derselben wird auf einem Dreikant verschieblich angebracht, die beiden anderen werden an den Enden des Dreikantes isoliert und unbeweglich angeschraubt. Der Abstand der beiden Endelektroden beträgt 50 cm. Alle drei Elektroden tragen Klemmschrauben, die ver-

schiebbare Mittelelektrode ausserdem noch einen Zeiger, welcher auf einer Millimeterskala gleitet. Liegt die Mittelelektrode fest auf einer der Endelektroden an, so steht der Zeiger auf 0 resp. auf 50. Man achtet darauf, dass die Elektroden möglichst parallel angeordnet sind und die Verbindungslinie ihrer Mittelpunkte eine Horizontale ist, sowie dass die Mittelelektrode sich ohne seitliche Abweichung verschiebt. Die Elektroden tauchen in einen Trog, der mit einer nach Bedarf verdünnten CuSO_4 -Lösung beschickt wird. Der Widerstand zwischen den Endelektroden betrage etwa 1000 Ohm. Der Trog wird in einen Holzklotz, auf welchem der Dreikant befestigt ist, eingelassen.

Man prüft den Apparat in der Weise, dass man den Widerstand zwischen einer End- und der Mittelelektrode von 2 zu 2 cm bestimmt und eine Korrektur auf der Skala anbringt. Man kann auch eine Skala aus Millimeterpapier benutzen, in welche man die gefundenen Widerstände einträgt. Der Flüssigkeitswiderstand gestattet sehr genaue Messungen der elektromotorischen Kraft; ich erhielt mit dem noch ziemlich rohen vorliegenden Apparat Abweichungen von 1 %, gegenüber den mit dem Ostwald'schen Kasten ausgeführten Bestimmungen.

Will man bei sehr langer Inanspruchnahme des Apparates jegliche Bildung von Konzentrationsketten vermeiden, so bedient man sich eines Schlüssels, welcher den Hauptstromkreis erst kurze Zeit vor der Einschaltung des Elektrometers schliesst. Zu diesem Zweck habe ich an dem Taster des Elektrometerschlüssels einen isolierten Stift mit einem metallischen Bügel angebracht, welcher beim Herunterdrücken des Tasters, noch ehe dieser den metallischen Kontakt berührt, durch Eintauchen in zwei Quecksilbernäpfe, die mit Klemmschrauben in Verbindung stehen, den Schluss des Hauptstromkreises herbeiführt.

Mit Versuchen über die zweckmässigste Form sowie über die Leistungsfähigkeit des Apparates ist Herr cand. Miltbraed beschäftigt.

Auf Veranlassung von Prof. Hans Meyer berichtet Dr. Halsey als Gast in der Sitzung vom 17. Mai 1899:

Ueber Phloridzin-Diabetes bei Hunden.

Vor kurzer Zeit hat Lusk gezeigt, dass es möglich sei, durch häufige subcutane Injection von Phloridzin bei Hunden und bei Kaninchen eine Ausscheidung von Dextrose und Stickstoff in nahezu konstantem Verhältniss herbeizuführen. Bei hungernden Hunden war dies Verhältniss von Zucker zu Stickstoff durchschnittlich 3.7 zu 1, bei Kaninchen dagegen circa 2.8 zu 1. Unter anderem hat er auch den Einfluss der Darreichung von Fleisch, Leim und Fett untersucht und gefunden, dass die Zufuhr von Fleisch oder Leim dies Verhältniss nicht änderte, ebensowenig die Zufuhr von Fett. Aus den Ergebnissen seiner Versuche zog Lusk den Schluss, dass aus 100 g. Eiweiss wenigstens 57 g. Zucker abgespalten werden könnten.

Es erschien wünschenswerth, seine Versuche zu wiederholen, sowie sie nach verschiedenen Seiten zu erweitern. Besonders wollte ich feststellen, inwieweit Darreichung verschiedener Eiweisstoffe und deren Spaltungsprodukte das erwähnte Verhältniss beeinflusse.

Einstweilen habe ich zwei Eiweisstoffe und ein Spaltungsprodukt der Proteide im angegebenen Sinne untersucht, sowie einige Erfahrungen gesammelt, die mir einer Mittheilung werth erscheinen.

Die Giftigkeit des Phloridzins hat mir indess eine grosse Schwierigkeit bereitet, die ich zum Theil dadurch habe überwinden können, dass ich die käuflichen Phloridzinpräparate durch Umkrystallisation reinigte und etwas weniger giftig machte. Immerhin traten Krampferscheinungen nur zu häufig ein, und in drei Fällen starben die Hunde an plötzlich in der Mitte der Versuchsreihe auftretender Phloridzinvergiftung. Die Section in diesen tödtlich endenden Fällen gab keine Aufklärung. Nicht selten traten bei den Phloridzinhunden in sehr störender Weise auch Durchfälle auf, die die Fortsetzung des Versuches mitunter

sogar ganz vereitelten; in einem Versuch (Tabelle VI) erkrankte der Hund plötzlich an Albuminurie mit begleitenden schweren Vergiftungssymptomen: Schwäche, Somnolenz, Delirium. Aus diesen Gründen habe ich meine Versuche noch nicht in dem beabsichtigten Umfang ausführen können.

Die Versuchsanordnung war folgende: ein Hund wurde unter Injection von Phloridzin so lange hungern gelassen, bis ein möglichst konstantes und für das betreffende Individuum als normal zu erachtendes Verhältniss zwischen ausgeschiedener Dextrose und Stickstoff sich eingestellt hatte; dann wurde geprüft, welchen Einfluss die Fütterung mit bestimmten Substanzen darauf ausübte.

Sehr bald stellte sich heraus, dass das normale Verhältniss bei verschiedenen Thieren ein verschiedenes ist, und zwar schwankte es zwischen 4.2 und 2.8 zu 1. Wie schon erwähnt hat Lusk aus seinen Versuchen berechnet, dass aus 100 g. Eiweiss 57 g. Zucker entstehen und ausgeschieden werden. Nach meinen Versuchen würde eine ähnliche Berechnung ergeben, dass bis zu 65 g. Zucker aus 100 g. Eiweiss gebildet und ausgeschieden werden. Den Grund dieser individuellen Verschiedenheit aufzuklären ist mir bis jetzt nicht gelungen. Gewisse Beobachtungen sprechen dafür, dass sie mit dem Ernährungszustand des Versuchstieres und vielleicht mit dessen Vorrat an Körperfett zusammenhängt, da regelmässig die fettreicheren Hunde ein höheres Verhältniss D : N zeigten als die mageren. Auch gelang es mir einmal, dies Verhältniss durch Fettfütterung etwas im selben Sinne abzuändern, (Tabelle VI) und ebenso durch Wiederholung des Versuches an einem und demselben Thiere nach langdauernder Fettmästung (Tabelle II. und VI). Jedoch muss diese Frage einstweilen unentschieden bleiben mit Rücksicht auf einen Versuch (Tabelle VIII), wo ein Thier während dreier Tage grosse Mengen Fett erhielt und nachweislich resorbierte, ohne dass das vorher bei Hunger oder Fleischfütterung beobachtete Verhältniss geändert wurde.

Auf die Ergebnisse dieser Fettversuche möchte ich deshalb aufmerksam machen, weil in letzter Zeit die Zuckerbildung aus Fett wieder als bewiesen erklärt worden ist. Wenn das Fett bei Phloridzin Diabetes überhaupt auf das Verhältniss D : N einen Einfluss hat, wie aus einigen Versuchen hervorzugehen scheint, so möchte ich diese Wirkung nicht so auffassen, als ob Zucker aus Fett gebildet worden wäre, sondern vorläufig in dem Sinne deuten, dass Zucker durch Fett vor der Verbrennung geschützt wurde und so in grösserer Menge zur Ausscheidung gelangen konnte.

Da Casein bekanntlich im Reagensglas keine reducierende Substanz liefert, Hühnereiweiss dagegen am meisten von allen in dieser Richtung untersuchten Proteiden, und zwar nach Seemann circa 10%, so habe ich diese zwei Substanzen zuerst herangezogen. Hierbei stellte sich heraus, dass das Casein jedesmal ein Sinken des normalen Verhältnisses D : N bewirkte, während es durch Hühnereiweiss kaum beeinflusst wurde. (Tab. II bis V). Durch Berechnung lässt sich zeigen, dass aus 100 g. Casein circa 6 bis 8 g. weniger Zucker im Hunde-Organismus gebildet wurden als unter entsprechenden Verhältnissen aus derselben Menge Hühnereiweiss. Der Unterschied ist allerdings sehr gering, stellte sich aber in verschiedenen Versuchen regelmässig ein. Ob diese Verschiedenheit in der zuckerbildenden Fähigkeit der zwei Substanzen durch die An- beziehungsweise Abwesenheit der Glykosamin liefernden Gruppe bedingt ist, lässt sich mit Sicherheit nicht entscheiden, ist aber a priori sehr wahrscheinlich. Der Unterschied zwischen meinen Resultaten und den von Luthge bei seinem Diabetiker erhaltenen wird vielleicht durch weitere Versuche erklärt werden.

Leucin, ein Spaltungsprodukt der Proteide, das nach Ansicht Fr. Müller's bei der Zuckerbildung betheiligt sein könnte, hat sich in meinen Versuchen als Zuckerbildner nicht erwiesen. In einem Versuch (Tab. V) konnte nach Fütterung von 27 g. Leucin eine vermehrte Zuckerausscheidung mit Sicherheit ausgeschlossen werden. In einem zweiten Versuch (Tab. IX)

war das Resultat nicht so eindeutig. Ich glaube aber auch hier ist das Leucin nicht in Zucker verwandelt worden, wie ich in den Anmerkungen bei der betreffenden Tabelle ausführen werde. Ich möchte zwar die Möglichkeit nicht leugnen, dass dieselben Atomcomplexe im Eiweissmolekül, die bei der hydrolytischen Spaltung Leucin liefern, im thierischen Organismus an der Zuckerbildung theilnehmen. Da jedoch nach den Untersuchungen von Schulze und Hüfner und ihren Schülern die aus Eiweiss gewonnenen Leucine wenigstens zum grössten Theil als amidirte Isocaprönsäuren anzusehen sind, mithin eine verzweigte Kohlenstoffkette enthalten, so müssen uns Bedenken entstehen gegen die Annahme, dass aus ihnen Hexosen, also Körper mit gerader Kette werden sollen.

Gegen die Annahme aber, dass der im thierischen Organismus aus Eiweiss gebildete Zucker wenigstens zum Theil durch echte Synthese, und nicht allein durch Abspaltung von schon praeformirten 6 Kohlenstoffatome enthaltenden Complexen geliefert werde, scheint mir kein prinzipieller Einwand zu existieren. Vielleicht ist damit dieser biologische Vorgang zu erklären.

Tabelle I.

Dachshündin. 10 Kilo. Hungert 36 Stunden.						
Tag	Dextrose	N	D : N	Diät.	Phloridzin 1.0 g 4 mal täglich	
1	27.50	7.40	3.72	Hunger		
2	38.40	13.88	2.76	"	Krämpfe	
3	35.86	11.71	3.06	"		
4	28.26	10.97	2.67	"	Krämpfe	Phloridzin 1.3 g 4 mal täg.
5	30.00	10.74	2.79	"	"	"
6	28.12	9.37	3.00	"	Krämpfe	" 1 g "
7	31.33	10.03	3.12	"	"	" 1 g "
2—7	191.97	66.70	2.88			

Berechnet für Körpereiwiss:

100 g liefern $15.4 \times 2.88 = 44.3$ g Zucker.

Wegen Abscesse und sehr heftiger dauernder Krämpfe musste der Versuch am folgenden Tag abgebrochen werden.

Tabelle II.

Forsterrier. 4.8 Kilo. Hungert 72 Stunden. Phloridzin 0.8 g 4 mal tägl.

Tag	Dextrose	N	D : N	Diät.
1—2	42.73	11.98	3.56	Hunger
3—4	52.56	16.83	3.12	"
5—8	95.26	35.79	2.66	Casein 137 g
9—10	31.70	10.11	3.13	Hunger.

Berechnet für Körpereiwiss: 100 g liefern $3.12 \times 15.4 = 48.0$ g Dextrose.

" " Casein: 100 g " $2.34 \times 15.3 = 35.8$ g "

In der Caseinperiode wurden 35.79 g N ausgeschieden, wovon 20.96 g Casein = N abgezogen wird. Der Rest 14.83 g musste aus Körpereiwiss stammen und entspricht demnach 46.27 g Dextrose. Der Rest des ausgeschiedenen Zuckers 48.99 g dividiert durch die Menge des Caseinstickstoffs giebt das Verhältniss D:N gleich 2.34 zu 1, das für die Berechnung benutzt wurde. Ähnliche Berechnungen gelten auch für die folgenden Versuche.

Tabelle III.

Hündin unreiner Rasse. 14 Kilo. Hungert 24 Stunden.

Phloridzin 1.5 g 4 mal täglich.

Tag	Dextrose	N	D : N	Diät.
1—2	96.25	20.54	4.73	Hunger
3	51.07	12.34	4.13	"
4—7	215.58	58.35	3.63	290 g Nutrose
8—10	105.28	24.93	4.22	Hunger.

Berechnet für Körpereiwiss: 100 g liefern $15.4 \times 4.19 = 65$ g Dextrose.

" " Casein: 100 g " $15.3 \times 3.52 = 54$ g "

Tabelle IV.

Schäferhündin. 10 Kilo. Hungert 50 Stunden. Phloridzin 1 g 4 mal täglich.

Tag	Dextrose	N	D : N	Diät.
1 1/2	61.44	15.08	4.20	Hunger
2—3	74.40	25.40	2.95	"
4—6	102.41	36.65	2.80	147 g Casein
7—9	90.04	30.01	3.00	135 g Hühnereiwiss

Berechnet für Körpereiwiss: 100 g liefern 45.5 g Dextrose (15.4×2.95)

" " Casein: 100 g " 39.5 g " (15.3×2.60)

" " Hühnereiwiss: 100 g " 45.5 g " (15.2×3.0).

Tabelle V.

Hündin gemischter Rasse. 15 Kilo. Phloridzin 1.5 g 4 mal täglich.
Hungert seit 50 Stunden.

Tag	Dextrose	N	D : N	Diät.
1 $\frac{1}{2}$	72.00	15.40	4.67	Hunger
2	49.09	14.00	3.50	"
3	42.72	13.38	3.20 ¹⁾	"
4—6	146.46	40.15	3.65	Hühnereiweiss 180 g
7—9	127.48	37.81	3.37	Casein 200 g
10—11 (36 Stunden)	46.48	15.90	2.90	Leucin 27 g
11 (12 Stunden)	17.41	4.59	3.75	Hunger.
Berechnet für Körpereiwass: 100 g liefern 55.9 g Dextrose				
"	"	Hühnereiweiss: 100 g	"	56.0 g "
"	"	Casein: 100 g	"	49.0 g "
"	"	Leucin: 100 g	"	0.0 g "

Tabelle VI.

Foxterrier. 5 $\frac{1}{2}$ Kilo. Phloridzin 0.8 g 4 mal täglich. Hungert 36 Stunden.

Tag	Dextrose	N	D : N	Diät.
1—2	46.38	11.32	4.09	Hunger
3—4	47.36	14.72	3.24	"
5—7	43.95	12.46	3.53	Fett 88 g
8	10.57	3.56	2.97	Hunger.

Am 7. Tage wurde dieser Hund plötzlich krank und der Harn enthielt Eiweiss, gleichzeitig sank das Verhältniss D : N von 3.73 auf 2.93 hinunter.

Tabelle VII.

Foxterrier. (Dasselbe Thier wie in Tabelle II). Seit 10 Wochen mit fettreicher Nahrung gemästet. Hungert 48 Stunden. Phloridzin 0.8 g 4 mal täglich.

Tag	Dextrose	N	D : N	Diät.
1 (36 Stunden)	54.40	8.70	6.26	Hunger
2	31.33	7.55	4.15	"
3	30.08	7.45	4.13	"

Am 4. Tage ungefähr 1 Stunde nach Phloridzininjection sehr heftige Krämpfe, die fort dauerten bis nach 3 Stunden der Tod eintrat.

1) Harn gegohren in der Blase.

Tabelle VIII.

Schäferhund. 8 Kilo. Hungert 72 Stunden. Phloridzin 1 g 4 mal täglich.					
Tag	Dextrose	N	D : N	Diät.	
1 (36 Std.)	31.37	9.74	3.22	Hunger	
2—4	63.18	23.08	2.73	Hunger und Fleisch	
5—7	63.02	23.26	2.70	150 g Fleisch, 75 g Fett täglich	
8	19.84	6.51	3.04	150 g Fleisch.	

Tabelle IX.

Dasselbe Thier wie in Tab. V. Hungert 36 Stunden. Phlor. 1 $\frac{1}{4}$ g 4 mal tägl.					
Tag	Dextrose	N	D : N	Diät.	
1 (36 Std.)	56.21	8.96	6.24	Hunger	
2	31.35	7.46	4.20	"	
3	48.17	12.57	3.81	Leucin 25 g	
4 (12 Std.)	19.50	4.93		Hunger	
5 (24 Std.)	21.02	5.44	3.86	"	

Während der Hungerperioden wurden 52.37 g Zucker und 12.90 g N ausgeschieden, wonach das Verhältniss D : N gleich 4.06 zu 1 ist. Während der Leucinperiode wurden 17.50 N ausgeschieden, wovon 2.7 g als Leucinstickstoff abzuziehen sind. Der Rest des ausgeschiedenen Stickstoffs 14.8 g multipliciert mit der obigen Zahl 4.06, giebt 60.08 g als die aus Körpereiwiss zu erwartende Menge Dextrose. Da 67.67 g Zucker ausgeschieden wurden, bleiben 7.6 g Zucker übrig, die nach der Berechnung von Leucin stammen könnten. Jedoch glaube ich, dass dies nicht der Fall ist, sondern dass das Leucin so wirkte, wie ich für das Fett annehme, nämlich Zucker sparend, — oder, da ersichtlich durch die Leucinzufuhr der Eiweisszerfall sehr gesteigert wurde, könnte dies Plus an Zucker auch durch den gesteigerten Eiweisszerfall erklärt werden, indem der überreichlichen Bildung von Zucker aus Eiweiss ein nicht entsprechend gesteigerter Zuckerverbrauch gegenüberstand; auch können beide Momente zusammen zur Erklärung herangezogen werden.

Tabelle X.

Dänische Dogge. 20.7 Kilo. Hungert 5 Tage.						
Tag	Dextrose	N	D : N	Diät.		
1—2	118.58	25.04	4.70	Hunger	Phlor. 2 g	3 mal täglich
3	71.72	18.88	3.80	"	"	"
4	63.24	18.57	3.40	Hunger	Phlor. 2 g	4 mal täglich
5	55.09	15.47	3.56	Fett 200 g	Phlor. 2 g	4 mal täglich
6	48.78	13.48	3.62	" 260 g	"	"
7	50.36	15.13	3.33	Hunger	Phlor. 2 g	4 mal täglich
8	54.41	17.68	3.05	Fibrin 60 g	"	"

Herr A. Noll sprach in der Sitzung vom 17. Mai 1899:

**Über die quantitativen Verhältnisse des Protagons
im Nervensystem.**

Die vorliegenden Untersuchungen zielen dahin, die Beziehungen des Protagons zum Nervenmark genauer festzustellen. Es erwies sich als möglich, das Protagon quantitativ zu bestimmen aus dem Reduktionsvermögen der in seinem Molekül enthaltenen reduzierenden Substanzen beim Kochen mit Fehling'scher Lösung. Das Protagon wurde mit einer Salzsäure von 0,75 % Gehalt an HCl gespalten und das Verhältnis von reduziertem Kupfer zu Protagon für 5–50 mg Kupfer festgestellt.

Nach diesem Verfahren wurde der Protagongehalt verschiedener Teile des Nervensystems bestimmt, welche sich durch ihren Gehalt an markhaltigen Nervenfasern möglichst unterschieden. Es ergab sich, dass der Protagongehalt der untersuchten Partien um so grösser war, je reichlicher in denselben markhaltige Nervenfasern vorhanden waren. Den bedeutendsten Reichtum an Protagon zeigte die weisse Substanz des Gehirns und Rückenmarks, in nur ganz geringer Menge fand sich dasselbe in der grauen Substanz, welche der Grosshirnrinde entnommen war. Die Bestimmungen wurden an menschlichem Material und an solchem vom Ochsen und Rind, sowie vom Pferd ausgeführt.

Das ganze Gehirn eines menschlichen Embryo von 32 cm Länge enthielt nur Spuren Protagons, dasjenige eines ausgetragenen Kindes 0,2944 g Protagon, während der Protagongehalt des Gehirns eines 4 Monate alten Kindes 2,8376 g betrug. Das Protagon nimmt also im jugendlichen Gehirn zu in dem Masse, wie in demselben die Markreifung fortschreitet.

Diese Untersuchungen beweisen somit, dass das Vorkommen des Protagons im Nervensystem an das Nervenmark gebunden ist, was bereits durch frühere Untersuchungen, welche auf die Reindarstellung dieses Körpers abzielten, wahrscheinlich gemacht war.

Die weisse Substanz der Grosshirnhemisphären des Menschen wie der untersuchten Tiere zeigte einen innerhalb einer Grenze

von $2\frac{1}{2}\%$ der Trockensubstanz übereinstimmenden Protagongehalt. Derselbe betrug im Mittel $20,7\%$. Es ist also mit Hilfe dieser Methode möglich, die Mengenverhältnisse der weissen Substanz ziffernmässig zu bestimmen.

Nach diesem Verfahren wurden ferner Nerven untersucht, welche nach Abtrennung von ihrem Centrum der Degeneration anheimgefallen waren. Zu diesen Versuchen dienten nervi ischiadici von Hunden und vom Pferd. In sämtlichen Fällen — dieselben erstreckten sich auf Degenerationsstadien vom Ende der zweiten Woche bis zur vierten Woche nach erfolgter Durchschneidung des Nerven — zeigte sich in dem degenerierten Nerven im Vergleich zum gesunden Nerven der anderen Extremität des Tieres eine erhebliche Abnahme des Protagongehaltes. Derselbe betrug nach 14—16 Tagen fast nur noch die Hälfte des normalen, nach 4 Wochen war in einem Falle Protagon mit Hilfe dieser Methode nicht mehr nachzuweisen. Diese Versuche beweisen zunächst nur, dass die reduzierenden Anteile des Protagonmoleküls in dem festgestellten Masse geschwunden sind. Aber es liess sich durch einen weiteren Versuch, zu welchem ein Hund gedient hatte, welcher in gleicher Weise operiert war, und welcher 15 Tage nach Durchschneidung des einen nervus ischiadicus getötet wurde, auch eine Verschiebung des Phosphorgehaltes der alkoholischen Auszüge der Nerven feststellen; derselbe wurde im degenerierten Nerven nur noch zu $67,4\%$ des P-Gehaltes des gesunden gefunden. Der Rückstand des gesamten alkoholischen Auszuges des degenerierten Nerven betrug dagegen noch 77% von dem des gesunden. Hieraus ergibt sich, dass die Gesamtmenge der alkohollöslichen Bestandteile der Markscheide bei der Degeneration des peripheren Nerven nicht so schnell abnimmt wie ihr Phosphorgehalt und die reduzierenden Anteile des Protagons. Es deutet dies darauf hin, dass möglichenfalls auch die fettigen Bestandteile des Protagons bei der Degeneration des Nerven diesem länger erhalten bleiben, wie es von Mott und Barratt für das Lecithin angenommen wird.

In der Sitzung vom 17. Mai 1899 wurde von dem zeitigen Director, Herrn Marchand, ein Bericht über die Vorkommnisse im verflossenen Jahre erstattet, dann der Vorstand neu-gewählt (wie bisher: Geh. Med.-Rath Marchand, Geh. Reg.-Rath Bauer, Prof. E. Hess, Prof. E. Kayser) und dann das bis-herige ausserordentliche Mitglied Herr Privatdoc. Dr. August Brauer zum ordentlichen einheimischen Mitglied und der Assistent am physiologischen Institut: Herr Dr. Henrique Plenge zum ausserordentlichen Mitglied der Gesellschaft gewählt.

Aufgelegte Schriften:

- Deutsche botanische Monatsschrift. Jahrg. XVII. No. 2 und 3.
Sitzungsberichte der physikalisch-medicinischen Gesellschaft zu
Würzburg. Jahrgang 1898. Würzburg 1899.
Zeitschrift für Naturwissenschaften. Band 71, Heft 4 und 5.
Stuttgart 1899.
Erster Bericht des Clubs für Naturkunde. 1896—1899.
Brünn 1899.
Sitzungsberichte der niederrheinischen Gesellschaft für Natur-
und Heil-Kunde zu Bonn 1898, 1. u. 2. Hälfte. Bonn 1899.
Verhandlungen des naturhistorischen Vereins der preuss. Rhein-
lande etc. Jahrg. 33, 1. und 2. Hälfte. Bonn 1898.
Bericht der St. Gallischen naturwissenschaftlichen Gesellschaft
1896—1897. St. Gallen 1898.
Bergens Museums Aarbook for 1898. Bergen 1899.
Bulletin de la Société impériale des Naturalistes de Moscou.
Année 1898. No. 2 und 3. Moscou 1898.
Rovartani Lapok VI., 4. Budapest.
Journal of the Elisha Mitchell scientific Society. Year V.
Part. 1. Chapel Hill 1899.
Transactions of the Wisconsin Academy. Vol. XI. Madison 1898.
5th. Report of the New-York State Museum 49,1, 50,1
Albany 1895/6.
Proceedings of the American Academy of Arts and Sciences
Vol. XXXIV, No. 2—10.
Bulletin of the Museum of Comparative Zoology. Vol. XXXII,
No. 9. Cambridge 1899.
Annual Report of the Smithsonian Institution 1896.
Washington 1898.

- Proceedings of the royal Society of New-South-Wales. Nov.
 und Dec. 1898.
 Sitzungsberichte und Abhandlungen der Isis in Dresden.
 Jahrg. 1898. Dresden 1898.
 Sitzungsberichte und Abhandlungen der Flora zu Dresden. 2. Jahrg.
 Dresden 1898.
 Abhandlungen vom naturwissenschaftlichen Verein zu Bremen.
 Bd. XVI, Heft 1. Bremen 1898.
 Schriften der physik-ökonomischen Gesellschaft zu Königsberg.
 Jahrg. 39. Königsberg 1898.
 Memoirs and Proceedings of the Manchester literary and
 philosophical Society. Vol. 43, Part. 1. Manchester 1897.
 Bulletin (Vol. III, No. 4) of the New York public Library.
 Regenwaarnemingen in Nederlandsch Indien. Batavia 1897.
 Observations of the Magnetical and Meteorological Observatory
 at Batavia. Vol. XX, 1897. Batavia 1898.
-

Sitzungsberichte

der Gesellschaft zur Beförderung der gesammten Naturwissenschaften

zu
M a r b u r g.

N^{ro.} 6 Juni 1899

In der wissenschaftlichen Sitzung vom 21. Juni 1899 spricht
Herr Fr. Kutscher

Ueber ein optisch inaktives Arginin.

In meiner zweiten Mitteilung ¹⁾ über das »Antipepton« habe ich die Isolirung einer salpetersauren Verbindung aus der Argininfraktion beschrieben, die ich zunächst als das neutrale salpetersaure Salz einer völlig unbekannten Base ansprach. Die Analyse ergab jedoch, dass ich das wasserfrei krystallisierende, neutrale Nitrat eines bisher nicht beschriebenen Arginins, welches in seinen physikalischen Eigenschaften wesentlich von dem durch Schulze, ²⁾ Hedin, ³⁾ Kossel ⁴⁾ dargestellten rechtsdrehenden Argininnitrat abwich, in Händen hatte.

Das von mir isolierte Argininnitrat krystallisierte in kleinen, glashellen, vierseitigen Säulen, es ist in Wasser ziemlich schwer löslich (2 cc einer bei 20° C gesättigten Lösung enthielten nur 0,116 gr davon) und besitzt einen weit höheren Schmelzpunkt als das bis zur Zeit bekannte neutrale Argininnitrat. Ausserdem wird das polarisierte Licht durch seine Lösung nicht abgelenkt, es ist also optisch inaktiv.

1) Zeitschrift für physiologische Chemie Bd. 26. S. 110.

2) " " " " Bd. 11. S. 43.

3) " " " " Bd. 21. S. 155.

4) " " " " Bd. 22. S. 176. u. Bd. 25. S. 165.

Ob die optische Inaktivität durch Zusammentritt von rechts und links drehendem Arginin zu einer neuen optisch inaktiven Verbindung oder durch eine tiefer gehende Verschiedenheit in der Konstitution des Moleküls bedingt wird, darüber möchte ich mich noch des Urteils enthalten.

Als Muttersubstanz des optisch inaktiven Arginins ist wahrscheinlich das Fibrin zu betrachten, welches mir zwei Mal bei seiner tryptischen Verdauung inaktives Arginin geliefert hat, während aus den tryptischen Verdauungsprodukten der Eiweisskörper des Pankreas ein optisch inaktives Arginin von mir nicht isoliert werden konnte.

Zu dem Vortrage des Herrn Kutscher spricht Herr A. Kossel:

Ueber das optische Drehungsvermögen des Histidins.

Hedin hat das Histidinchlorid als optiv inactiv bezeichnet. Der Vortragende prüfte diese für die Beurtheilung der Constitution und besonders für die quantitative Bestimmung des Histidins und Arginins wichtige Angabe nach und stellte fest, dass das von ihm dargestellte Histidin optiv activ ist. Die Untersuchungen sind in folgender Tabelle zusammengestellt.

Molek. H Cl auf 1 Molekül Histidin.	l	c	α_D	[α] für D		
				C ₆ H ₇ N ₃ O ₂	C ₆ H ₇ N ₃ O ₂ , HCl	C ₆ H ₇ N ₃ O ₂ , 2HCl
0	6	3,183	-7,59	-39,74	—	—
1	4	2,594	+0,18	+2,14	+1,74	—
2	6	4,828	+1,54	+7,82	—	+5,32
4	6	3,38	+1,31	+9,49	—	+6,46

Das Histidin gehört somit zu der nicht sehr zahlreichen Gruppe von Basen, welche, wie das Nicotin, als freie Basen linksdrehend als Salze rechtsdrehend sind. Die Tabelle zeigt ferner, dass optische Activität des Monochlorids leicht übersehen werden kann, da sie nur gering ist. —

In derselben Sitzung (21. Juni 1899) berichtet Herr Karl Schaum

Ueber Bewegungserscheinungen sich auflösender Krystalle.

Kleine Partikel gewisser flüchtiger Stoffe, wie Kampher, Menthol etc. führen bekanntlich auf einer reinen Wasseroberfläche eigentümliche Bewegungen aus; ähnliche Erscheinungen beobachtet man auch bei löslichen Substanzen; so bewegen sich Bernsteinsäure auf Wasser, Natrium auf Quecksilber.

Kürzlich beobachtete ich sehr charakteristische Bewegungserscheinungen, welche unzweifelhaft mit den erwähnten in Zusammenhang stehen und zur Erklärung des Phänomens beitragen werden. Bringt man leicht lösliche Stoffe an die Grenzschicht von Quecksilber und Wasser, so beobachtet man schwache Bewegungen bei KCN, KNO₃, Ag NO₃, Traubenzucker, Harnstoff, stärkere bei KCl, CaCl₂. Setzt man dem Wasser Säure zu (H₂SO₄ oder HNO₃), so werden die Bewegungen wesentlich schneller, auch rotieren unter verdünnter Säure manche Stoffe, welche unter Wasser keine Bewegung erkennen lassen, wie Rohrzucker, Hydrochinon. Letzteres bewegt sich auch unter Alkali (und an der Oberfläche von Wasser).

Interessant sind die Bewegungen, welche Krystalle von KMnO₄ und von K₂Cr₂O₇ an der Grenzschicht von Quecksilber und Schwefelsäure zeigen; die Bewegung nimmt mit dem Säuregehalt zu; in $\frac{1}{100}$ n - H₂SO₄ ist dieselbe schwach (unter Wasser bildet sich eine Haut von Oxyd, welche keine Bewegung zulässt), in $\frac{1}{10}$ n - Säure stark und in n - Säure sehr stark. Die Bewegungserscheinungen sind sehr eigenartig; meist beschreiben die Krystalle zunächst zickzackförmige Bahnen, um dann in Kreisbewegungen überzugehen und schliesslich mit grosser Geschwindigkeit um ihre Axe zu rotieren.

Ohne Frage stehen die beschriebenen Erscheinungen im engsten Zusammenhang mit der Auflösung der Krystalle. Um einen genaueren Einblick in den Mechanismus des Vorganges.

zu bekommen, überzog ich Krystalle von KMnO_4 mit Paraffin und entfernte den Ueberzug an einer Stelle; ich konnte alsdann deutlich wahrnehmen, dass die Bewegung in der der Lösungsbahn entgegengesetzten Richtung verläuft. Entfernt man den Ueberzug an zwei diametral entgegengesetzten Stellen, so rotiert der Krystall sofort wie ein Segner'sches Wasserrad; überhaupt ist die Analogie der geschilderten Erscheinung mit dem Wasserrad eine sehr naheliegende, und kann man durch molekulartheoretische Betrachtungen den Vergleich ziemlich weit treiben, doch verzichte ich auf die Ausführung solcher allzu kinetischer Erörterungen.

Die Geschwindigkeit der Bewegung hängt offenbar zunächst davon ab, wie schnell die Krystalle in Lösung gehen; am raschesten rotieren daher KMnO_4 und $\text{K}_2\text{Cr}_2\text{O}_7$ unter H_2SO_4 , weil sich in diesem Fall durch die eintretende Oxydation des Quecksilbers keine Zone konzentrierter Lösung ausbildet, welche — wie bei indifferenten Stoffen — die weitere Auflösung verzögert. (Unter HNO_3 rotiert $\text{K}_2\text{Cr}_2\text{O}_7$ fast garnicht infolge der Bildung beträchtlicher Mengen von Quecksilberchromat; das bei Anwendung von H_2SO_4 entstehende Sulfat ist sehr feinpulverig und stört zunächst die Krystallbewegung nicht.)

Ueberhaupt scheint H_2SO_4 die Auflösungsgeschwindigkeit mancher Salze zu beschleunigen; es wird dies darauf beruhen, dass die Konzentration der undissoziierten Molekeln des in Lösung gehenden Salzes und damit der osmotische Gegendruck derselben verringert wird. So bewegen sich auf einer unter H_2SO_4 befindlichen umgekehrten Uhrschale kleine KMnO_4 -Krystalle mit grosser Geschwindigkeit abwärts, welche unter reinem Wasser auch durch Anstoss nicht zur Bewegung zu bringen sind.

Bei anderen Stoffen, wie bei Traubenzucker und Rohrzucker ist allerdings keine Erhöhung der Lösungsgeschwindigkeit durch Säure anzunehmen. Hier wird vielleicht die geringere Oberflächenspannung des Quecksilbers unter Säure die Bewegung begünstigen.

Ich habe versucht, diese Vermutung durch willkürliche Änderung der Oberflächenspannung des Quecksilbers während des Lösungsvorganges der Krystalle zu prüfen, bin dabei jedoch zu keinem Ergebnis gekommen; doch will ich einige Beobachtungen anführen, welche ich bei dieser Gelegenheit gemacht habe.

Bekanntlich ist Quecksilber unter Hg-salzlösungen, also auch unter verdünnten Säuren, in welchen sich immer Spuren von Hg-Salz bilden, positiv geladen; die Oberflächenspannung ist infolge der elektrostatischen Ladung verringert. Vernichtet man einen Teil der Ladung, indem man das Quecksilber mit einem negativ geladenen Metall, etwa mit Eisen, berührt, so wächst die Oberflächenspannung und die Quecksilbermasse zieht sich zusammen.¹⁾ Noch kräftigere Wirkungen, wie mit Eisen erhielt ich bei der Anwendung von Magnesium; um das Quecksilber nicht zu verunreinigen, umwickelte ich das Magnesiumband mit einem Platindraht und liess das eine Ende desselben etwas vorstehen; berührt man mit dieser Platinspitze eine in einer Krystallisierschale befindliche halbmondförmige Quecksilbermasse, während das Magnesium etwas in die Schwefelsäure eintaucht, so erfolgt ein sehr starkes Zusammenzucken des Quecksilbers.

Ich habe eine Ladungsänderung und damit eine solche der Oberflächenspannung des Quecksilbers auch ohne die Bildung eines galvanischen Elementes erreicht. Bringt man in eine Krystallisierschale soviel Quecksilber, dass ein sichel- oder halbmondförmiger grosser Tropfen entsteht, übergiesst denselben mit H_2SO_4 und bringt nun vorsichtig mit einer Pipette an irgend eine Stelle des Quecksilberrandes etwas starke HNO_3 , oder Lösung von $HgNO_3$, $KMnO_4$ oder $K_2Cr_2O_7$, so erfolgt an der betreffenden Stelle eine sehr starke Ausbuchtung; bringt man einen Tropfen einer der genannten Lösungen oben auf das Quecksilber, so verlängert sich die Sichel nach beiden Seiten.

1) Ostwald, Lehrbuch II, 1: 922.

In diesen Fällen giebt ein Teil der zugeführten Hg-ionen seine positiven Ladungen an das Quecksilber ab, respektive ein Teil der oxydierend wirkenden Jonen entzieht dem Quecksilber (gemäss dem Bestreben der Oxydationsmittel) negative Ladungen, was mit einer Abgabe von positiven Ladungen an das Quecksilber identisch ist. Infolge dieser Vorgänge findet, wie die Versuche sehr deutlich erkennen lassen, eine Verringerung der Oberflächenspannung statt.

Versuche durch Fortnahme der Quecksilberionen mittels KCN, sowie durch reduzierende Substanzen (Hydrochinon in Alkali) die positive Ladung des Quecksilbers zu verringern und auf diese Weise eine Kontraktion zu verursachen, führten zu keinem Resultat; noch ungünstiger gestalteten sich die Versuche nach der Neutralisation der positiven Ladungen des Quecksilber — etwa durch Hydroxylamin in Alkali — so stark negativ zu laden, dass nunmehr wiederum eine Verringerung der Oberflächenspannung eingetreten wäre. Mehrere Male schien es, als ob die Versuche gelungen seien; später konnte ich dieselben jedoch nicht wieder mit dem gleichen Erfolg ausführen.

In der Geschäftssitzung vom 21. Juni 1899 wurde der Assistent am mineralogischen Institut Herr Dr. Arthur Schwandtke zum ausserordentlichen Gesellschaftsmitglied gewählt.

Sitzungsberichte

der Gesellschaft zur Beförderung der gesammten Naturwissenschaften

zu
M a r b u r g.

Nro. 7

Juli

1899

In der wissenschaftlichen Sitzung vom 19. Juli 1899 berichtet Herr Dr. Brauer über seine Erlebnisse bei der Teilnahme an der Tiefseeeexpedition mit dem Dampfer Valdivia.

A. Kossel:

Demonstration einer neuen Centrifuge.

Bei den für physiologisch-chemische Zwecke gewöhnlich benutzten Centrifugen sind die cylindrischen Gefässe, welche zur Aufnahme des Blutes u. s. w. dienen, mit ihrer Längsrichtung radial gelagert. Diese Anordnung führt den Nachtheil mit sich, dass die Blutkörperchen zum Theil lange Flüssigkeits-Schichten zu durchwandern haben, ehe sie an den Boden des Gefässes gelangen. Ferner ist die Ausnutzung des Raumes eine unvollkommene und speciell werden die peripherischen Theile der Centrifuge, in denen die stärkste Centrifugalwirkung ist, am wenigsten ausgenutzt.

In den nach den Angaben des Vortragenden von dem Mechaniker des physiologischen Instituts, Herrn Rinck, construirten Centrifuge werden diese Uebelstände dadurch vermieden, dass trogförmige Gefässe mit der Längsachse tangential aufgehängt sind. Hierbei ergibt sich eine so vollkommene Aus-

nutzung des Raumes, dass die Gesamtmenge der zu centrifugierenden Flüssigkeit bei einem Durchmesser des Rades von 54 cm auf 4 Liter gebracht werden konnte. Die Aufhängevorrichtung ist so construiert, dass der Boden der Gefässe während des Centrifugirens an dem Radkranz eine Unterstützung findet. In Folge der geringeren Schichthöhe und besonders der günstigeren Ausnutzung des wirksamen Raumes tritt bei gleicher Umdrehungszahl ein schnelleres Absetzen ein, als bei den bisher gebräuchlichen Centrifugen. Die Zahl der Umdrehungen kann auf 2000 in der Minute gesteigert werden, wobei die Centrifuge einer halben Pferdekraft bedarf.

Herr Læwi, Assistent am pharmakologischen Institut, macht auf Veranlassung von Herrn Hans Meyer eine kurze Mitteilung über:

Beiträge zum Nucleinstoffwechsel.

Die Arbeiten von Horbaczewski, Weintraud u. A. m. haben bewiesen, dass der menschliche Organismus aus nucleinhaltigem Material Harnsäure bilden kann. Es ist sehr wahrscheinlich, dass die Harnsäure des Urins lediglich dieser Quelle entstammt; dagegen ist es fraglich, ob ihre Ausscheidungsgrösse einen Maassstab für die Grösse des Nucleinzerfalls darstellt d. h. ob die intermediär gebildete Harnsäure total ausgeschieden oder, wie die präformirt eingeführte, zum grössten Teil verbrannt wird. Folgende Erwägung schien mir den Weg zur Lösung dieser für die Physiologie u. Pathologie des Harnsäurehaushalts gleich wichtigen Frage zu zeigen.

Der harnsäureliefernde Anteil des Nuclein steht in einem bestimmten, übrigens von der Art des Nuclein abhängigen, Mengenverhältnis zu dessen Phosphorsäure. Nehmen wir nun an, dass die gesammte aus Nuclein intermediär entstehende \overline{U} im Harn ausgeschieden wird, so müssen wir bei verschiedenen, auf gleiche Kost gesetzten, Individuen in dem nach Nuclein-

fütterung auftretenden \bar{U} und $P^2 O^5$ Plus des Urins ebenfalls dieses Verhältnis finden. Da ferner auch die nicht dem Nahrungsnuclein entstammende Harnsäure aus der Zerstörung von Nuclein (Körpernuclein) resultiert, so müssen auch bei nucleinarmer Nahrung verschiedene Individuen ein gleiches Verhältnis $\bar{U} : P^2 O^5$ zeigen. Versuchsbedingungen sind hierbei: gleichmässige Diät- und Resorptionsverhältnisse, sowie Gleichheit der sog. »individuellen« Harnsäureausfuhr. Sonst addirt sich Gleiches zu Ungleichem und vice versa.

Die Durchsicht der für diese Fragestellung verwertbaren Versuche bestätigte in der That die Annahme eines solchen constanten Verhältnisses.

In der Monographie von Pace e Zagari über die Entstehung der \bar{U} und der Gicht fand ich z. B. in 4, den obigen Anforderungen entsprechenden, Versuchsreihen $\bar{U} : P^2 O^5 = 1 : 4,45$; $1 : 4,25$; $1 : 4,05$; $1 : 4,5$. Sicher eine ausreichende Übereinstimmung, denn bei der Kleinheit der in Rede stehenden Ausscheidungen beeinflussen bereits absolut sehr kleine Schwankungen in merklicher Weise das Verhältnis.

Weiter fand ich die gleiche Proportion in Versuchen von Camerer, Hopkins, Leber u. a. Hierauf wie auf die detaillirte Ausführung der folgenden Versuche werde ich in einer demnächst erscheinenden Veröffentlichung näher eingehen.

Eigene umfangreichere Versuche mit Nukleinfütterung im obigen Sinne musste ich mangels geeigneten Materials unterlassen.¹⁾ Dagegen stellte ich in 4 tägiger Reihe bei dem Laboratoriumsdiener K. und mir bei absolut gleicher Diät das Verhältnis von $\bar{U} : P^2 O^5$ fest.

Gesamtausscheidung im Harn von 4 Tagen

K.		J.
$\frac{\bar{U}}{P^2 O^5} = \frac{2,927 \text{ g}}{11,457 \text{ g}} = \frac{1}{3,91}$;	$\frac{\bar{U}}{P^2 O^5} = \frac{2,765 \text{ g}}{10,853 \text{ g}} = \frac{1}{3,91}$

1) Anmerkung bei der Korrektur! Inzwischen habe ich diesen Versuch nachholen und das Bestehen des supponirten, constanten Verhältnisses bei den 3 Versuchspersonen nachweisen können.

Auch hier eine auffällige Constanz! Diese Beobachtungen sprechen in der That dafür, dass die gesamte, intermediär gebildete \bar{U} ausgeschieden wird. Jedenfalls ist diese Auslegung weniger gekünstelt als die Annahme, dass verschiedene Menschen dieselbe Menge von \bar{U} bilden und davon einen gleichen Theil zerstören. Übrigens ist das vorliegende Material selbstverständlich noch zu gering, als dass bindende Schlüsse daraus zu ziehen wären.

Weitere Versuche galten der Frage, ob neben den Alloxurkörpern noch andere N haltige Stoffwechselprodukte des Nuklein existiren. Diese mussten sich nach Nukleinfütterung durch Fallen des Verhältnisses Harnstoff N : Gesamt N markiren. Folgender Versuch illustriert das Resultat.

I. Vorperiode: tgl. bestimmte Nahrung.

Ausscheidung im Urin in g

Tag	Gesamt $N^1)$ in g	Harnstoff $N^2)$		Alloxurkörper $N^3)$	
		absolut	% des Ges. N .	absolut	% des Ges. N
1.	11,083	8,981	81,4	0,245	2,2
2.	12,427	10,423	83,8	0,342	2,7
3.	11,550	9,055	78,4	0,328	2,8
4.	10,684	8,460	79,5	0,281	2,7
5.	10,976	9,806	89,3	0,356	3,2
Mittel	11,324	9,345	82,5	0,310	2,7

II. Hauptperiode: eine bestimmte Menge des Nahrungs- N wird durch Thymus ersetzt.

Tag	Ges. N .	Harnstoff N		Alloxurkörper N	
		absolut	% des Ges. N .	absolut	% des Ges. N .
6.	12,171	9,318	76,5	0,427	3,5
7.	10,464	8,306	79,3	0,500	4,8
8.	11,256	8,400	74,6	0,466	4,2
9.	11,877	9,071	75,5	0,555	4,7
Mittel:	11,442	8,772	76,4	0,487	4,3

Ein zweiter ebenso angestellter Versuch verlief im gleichen Sinn.

1) nach Kjeldahl

2) „ Mörner-Sjöqvist

3) „ Huppert-Arnstein

Wir sehen, dass in der Thymusperiode der Harnstoff *N* absolut und im Verhältnis zum Gesamt *N* fällt. Da der Alloxurkörper *N* nicht in demselben Maasse steigt, muss also entweder einer der im sogenannten »Stickstoffrest« normal enthaltenen Körper in vermehrter Menge auftreten, oder ein neues *N* haltiges Endglied des Nukleinerfalls erscheinen. Nach den Versuchen von Cohn und Minkowski lag der Gedanke an Allantoin nahe. Bei dem Mangel einer exakten Methode zum Nachweis kleiner Mengen dieses Körpers im Urin, arbeitete ich, unterstützt von Herrn Professor Hans Meyer eine Methode aus, die die quantitative Wiedergewinnung sehr geringer Allantoinmengen aus dem Harn gestattet. Beispielsweise erhielt ich von 39,6 mg Allantoin, im Verhältnis von 1:25000 dem Harn zugesetzt, 34,6 mg in reinen Crystallen wieder, die durch *N* Bestimmung identifizirt wurden.

Der Harn wird mit salpetersaurem Quecksilberoxydul von Chloriden befreit, das Filtrat mit H_2S behandelt, filtrirt, der H_2S verjagt und das Allantoin mit Magnesiumoxyd oder Natriumcarbonat und salpetersaurem Silber gefällt. Die Fällung wird mit HNO_3 oder H_2S zerlegt und das in Lösung gegangene Allantoin mit salpetersaurem Quecksilberoxyd gefällt. Die Quecksilberverbindung oder das aus ihrer Zerlegung gewonnene reine Allantoin werden zur Wägung gebracht.

Es gelang mittelst dieser Methode nicht ein einziges Mal nach Fütterung mit erheblichen Mengen nucleinreicher Nahrung Allantoin auch nur in Spuren nachzuweisen. Von verfüttertem Allantoin fand ich bei Wiederholung der Minkowski'schen Versuche einen kleinen Theil im Urin wieder. Ob der grosse Rest verbrannt oder nicht resorbirt wurde, ist ungewiss.

Aufgelegte Schriften :

Leopoldina Heft XXXV N. 5.

Jahresbericht des ornithologischen Vereins München für 1897/98.
München 1899.

13. Jahresbericht des Naturwissenschaftl. Vereins zu Osnabrück.
Osnabrück 1898.

Deutsche botanische Monatsschrift XVII. Nr. 4, 5 u. 6.

Zeitschrift für Naturwissenschaften. Bd. 71, Heft 6.
Stuttgart 1899.

Sitzungsberichte u. Abhandlungen der Isis in Dresden. Jahrg. 1898.
Dresden 1899.

Berichte der naturforschenden Gesellschaft zu Freiburg i. B.
Bd. XI, Heft 1. Freiburg i. B. 1899.

Sitzungsberichte der physikalisch-medicinischen Societät in
Erlangen. Heft 30. Erlangen 1899.

Atti della R. Accad. dei Lincei. Anno 296. 1899: Rendiconti.
Vol. VIII, fasc. 8—12. Roma 1899.

Mitteilungen aus der medicinischen Facultät in Tokio. Bd. IV,
Nr. V. Tokio 1899.

The American Naturalist. Vol. XXXIII. Nr. 389. Boston 1899.

16th. Report of the Museum of Milwaukee. Milwaukee 1899.

Memoirs and Proceedings of the Manchester literary and philo-
sophical Society. Vol. 43, Part II. Manchester 1899.

Bulletin of the New-York Public Library. Vol. III. Nr. 5 u. 6.
New-York 1899.

North American Fauna Nr. 14. Washington 1899.

Yearbook of the Department of Agriculture 1898.

Washington 1899.

Bergens Museum: Report of the Norwegian marine Investi-
gations 1895/97. Bergen 1899.

Verhandlungen der k. k. geologischen Reichsanstalt 1899.
Nr. 5—8 einschl.

Programm 1899/1900 der Herzogl. technischen Hochschule in
Braunschweig.

Societatum litterae Jahrg. XII. Nr. 5—12.

Helios. Bd. XV. Berlin 1899.

Sitzungsberichte

der Gesellschaft zur Beförderung der gesammten Naturwissenschaften

zu

M a r b u r g.

N^{ro.} 8

November

1899

In der Sitzung vom 8. November 1899 sprach der zeitige
Direktor, Herr F. Marchand:

Zur Erinnerung an Robert Bunsen

† am 16. August 1899.

Am 13. November dieses Jahres sind sechs Jahrzehnte verstrichen, seitdem Robert Wilhelm Bunsen Mitglied unserer Gesellschaft wurde. Die Absicht, unserem berühmten nachmaligen Ehrenmitgliede an diesem Tage einen Beweis unserer hohen Verehrung darzubringen, konnte nicht mehr verwirklicht werden. Am 16. August endete ein sanfter Tod nach längerem Leiden sein an Arbeit und Erfolgen reiches Leben im 88. Jahre.

Robert Bunsen wurde am 31. März 1811 in Göttingen geboren; nach Vollendung des Studiums der Naturwissenschaften (Physik, Chemie, Geologie) in seiner Vaterstadt und weiterer Ausbildung in Paris, Berlin und Wien habilitirte er sich in Göttingen im Jahre 1833 und wurde 1836 Lehrer an der höheren Gewerbeschule zu Cassel. Im Herbst 1839 kam Bunsen als ausserordentlicher Professor an unsere Universität¹⁾, und wurde drei Jahre später ordentlicher Professor und Direktor des chemischen Laboratoriums. Nach fast zwölfjähriger Wirksamkeit

1) In der Regel wird angegeben, dass die Berufung nach Marburg im Jahre 1838 erfolgte. In den Vorlesungs-Verzeichnissen ist Bunsen zuerst im W.-S. 1839 erwähnt.

folgte Bunsen im Jahre 1851 einem Rufe nach Breslau um bereits im nächsten Jahre nach Heidelberg überzusiedeln. Im Jahre 1889 veranlasste ihn das zunehmende Alter, seine Stelle niederzulegen; er lebte seitdem in der Zurückgezogenheit am gleichen Orte, allgemein verehrt als der Senior der Universität, zu deren Ruhm er lange Jahre hindurch so viel beigetragen hatte.

Es kann nicht meine Aufgabe sein, hier eine Schilderung der Wirksamkeit Bunsen's in seiner langen, durch die glänzendsten wissenschaftlichen Erfolge ausgezeichneten Laufbahn zu versuchen.

Dieser Aufgabe würde kaum ein berufener Fachmann nach allen Seiten gewachsen sein, denn die Fortschritte, welche die Naturwissenschaften diesem seltenen Mann verdanken, beschränken sich nicht auf das engere Gebiet seiner ursprünglichen Fachwissenschaft. Für so viele und so werthvolle Entdeckungen auch die Chemie Bunsen Dank schuldet, so ist doch Allen bekannt, dass die wissenschaftliche Grossthat, die seinen Namen in Verbindung mit dem seines congenialen Mitarbeiters Kirchhoff im wahren Sinne zu den Sternen erhoben hat, eine ungleich umfassendere, unabsehbare Bedeutung besitzt.

Dem Astronomen gewährte sie die kaum geahnte Möglichkeit, die materielle Zusammensetzung der fernsten Weltkörper der Erforschung zugänglich zu machen und wurde zugleich die Grundlage eines grossen Zweiges der physikalischen Wissenschaften; den Chemiker lehrte sie, in den farbigen Linien des Flammenspectrums die feinsten Spuren der Elementarkörper aufzusuchen und neue Grundstoffe zu finden, wovon die Entdeckung des Caesium und Rubidium durch Bunsen selbst glänzendes Zeugnis ablegte; dem Techniker gab sie das Mittel in die Hand, den Schmelzprocess des glühenden Metalles nach seinem Willen zu regeln und förderte hierdurch das Erblühen einer grossartigen Industrie, ja auch dem Physiologen, dem Arzt wurde sie von unberechenbarem Nutzen.

Bunsen war es, der der gesamten naturwissenschaftlichen und technischen Welt die zahlreichen, so fein erdachten

und doch so einfach construirten Hilfsmittel schenkte, ohne deren tägliche und stündliche Benutzung uns jede Laboratoriumsarbeit, auf welchem Gebiete es auch sei, heute fast unmöglich erscheinen würde.

Er selbst aber, dessen Name mit so grossen wissenschaftlichen Errungenschaften, so vielen technischen und industriellen Erfolgen verknüpft war, blieb der bescheidene Gelehrte, dessen persönliche Liebenswürdigkeit und Anspruchslosigkeit das Zeichen eines wahrhaft edlen und grossen Sinnes war.

Während einer längeren Reihe von Jahren, die zu seinen besten gehörten, widmete dieser Mann seine Kräfte unserer Hochschule.

Es sei mir gestattet, hier einige Angaben aus den schriftlichen Berichten unserer Gesellschaft über Bunsen's damalige Betheiligung an ihren Verhandlungen folgen zu lassen. Geben diese auch keineswegs ein vollständiges Bild seines hiesigen Wirkens, so sind sie doch unmittelbare Zeugen seiner vielseitigen, anregenden und productiven Thätigkeit. Für uns — selbst für einen Theil der Älteren unter uns, die z. Z. von Bunsen's hiesiger Wirksamkeit noch kaum das Licht der Welt erblickt hatten — ist es nicht leicht, uns in jene Zeit unserer Universität zurückzuversetzen¹⁾. Unser geehrter Herr ständiger Schriftführer von Heusinger und Herr Ochsenius sind wohl die Einzigen unter uns, welche in Bunsen's hiesigem Laboratorium noch Verlesungen gehört und gearbeitet haben.

Es war nur ein kleiner Kreis von Männern, die damals die naturwissenschaftliche Forschung in Marburg vertraten,

1) Wie klein die Verhältnisse damals waren, dürfte u. A. daraus hervorgehen, dass unsere Gesellschaft im Jahre 1842 ein Plössl'sches Mikroskop besass — das einzige brauchbare Instrument dieser Art in Marburg —, welches dem Anatomen Bün ger überlassen, resp. gegen ein neues Schieck'sches Instrument umgetauscht wurde. Letzteres wurde leihweise den Mitgliedern zur Verfügung gestellt. Auch Bunsen machte davon Gebrauch.

darunter aber eine Anzahl, deren Namen in der Wissenschaft einen guten Klang haben.

Während über die eigentlich chemischen Arbeiten Bunsen's aus jener Zeit — unter denen von den Chemikern die Erforschung der Kakodylverbindungen besonders hoch geschätzt wird — in unseren Berichten wenig zu finden ist, sind hauptsächlich Mittheilungen über die geologischen und physikalischen Studien vorhanden, die Bunsen längere Zeit hindurch besonders fesselten.

So finden wir bereits im Jahre 1840 einen Bericht Bunsen's über »das von ihm in der Lüneburger Heide angetroffene Steinöl, ähnlich dem am Caspischen Meere« erwähnt. Im nächsten Jahre folgt eine Mittheilung über die Herstellung und weitere Verarbeitung poröser Kohle zur Verwendung für das von ihm erfundene galvanische Element (23./6. 41). In den folgenden Jahren finden wir — als Ergebnis einer Reise nach Italien — mehrere Vorträge über geologische Erscheinungen verzeichnet, so am 8. November 1843 (gerade heut vor 56 Jahren!) einen solchen über Steinkohlenflötze bei Monte Massi nach eigenen an Ort und Stelle gemachten Beobachtungen, am 16. Juli 1845 Beobachtungen über die vulkanischen Quellen im mittleren Italien, besonders am Vesuv, wo sich ihm die Quellenerscheinungen, deren Herd sich im Krater des Vulkans befindet, im grössten Massstab zeigten. Bei dieser Gelegenheit legte Bunsen mehrere an Ort und Stelle gesammelte Mineralien, u. A. ein von ihm aus dem Innern des Kraters ausgebrochenes Stück Schwefel und verschiedene Zersetzungsprodukte der Lava vor. In demselben Jahre findet sich eine Notiz über Bunsen's in England gemachte Versuche und Beobachtungen (leider ohne nähere Angaben), ferner über eine Geldbewilligung zur Ausführung von Gasanalysen. Das Studium der vulkanischen Erscheinungen, besonders der heissen Quellen war eine Vorarbeit für ein besonders bedeutungsvolles wissenschaftliches Unternehmen Bunsen's in seiner Marburger Zeit, die Erforschung der noch so räthselhaften und einer Erklärung harrenden Naturerscheinung der Geysir auf Island.

Es darf wohl als Zeichen der grossen Anerkennung, welche der damals noch jugendliche Gelehrte in Marburg genoss, aber gleichzeitig auch des einsichtsvollen Verständnisses seiner hiesigen Collegen betrachtet werden, dass unsere Gesellschaft ihm zu der geplanten Forschungsreise eine für die damaligen Verhältnisse nicht unbeträchtliche Summe (250 Thaler) zur Verfügung stellte (Februar 1846). Bunsen hatte, wie man erzählt, nicht ohne Schwierigkeit den erforderlichen Urlaub vom Kurfürsten erhalten. Bereits im October des Jahres 1846 gab Bunsen eine Uebersicht der wissenschaftlichen Resultate seiner Isländischen Reise, vorzüglich der auf die Explosionen des grossen Geysir sich beziehenden. Seine scharfsinnigen und sorgfältigen, zusammen mit Descloiseaux angestellten Beobachtungen der Druck- und Temperaturverhältnisse in der Geysir-Röhre führten Bunsen bekanntlich zu einer physikalisch befriedigenden Erklärung der merkwürdigen Erscheinung¹⁾. Die Isländische Reise gab ihm auch noch Anregung und Stoff zu weiteren geologischen und mineralogischen Untersuchungen, über welche er in einem Vortrag im Anfang des Jahres 1847 berichtete. Hauptsächlich beschäftigte ihn ein isländisches Gestein, der Palagonit, den er für identisch mit dem am Aetna vorkommenden erklärte; er betrachtete dies Mineral als die älteste Gebirgsart der Insel, welche bei der Bildung der jüngeren Gesteine in der verschiedensten Weise theiligt sei. Im Januar 1848 folgte ein Vortrag über die vulkanischen Erscheinungen, die mit dem Hekla in Verbindung stehen. Bunsen berichtet, dass er in einen der Krater gestiegen sei, und die aus ungeheuren Spalten aufsteigenden Dämpfe beobachtet habe. »Er verweilte auf dem Krater bis nach 11 Uhr Nachts, wo die Sonne noch über dem Horizont war, und wegen ihres niedrigen Standes in der Nähe des Hori-

1) Die sehr anziehende und interessante Darstellung seiner Beobachtungen findet sich in den »Annalen der Chemie und Pharmacie« von Wöhler u. Liebig, Bd. 62, 1847. S. auch Humboldt, »Kosmos«, Bd. IV, S. 247.

zontes eine eigenthümliche Färbung der Gegenstände veranlasste, die man von diesem hohen Standpunkte aus weit und breit überblicken konnte. Auf seiner Reise nach dem Hekla, die wegen Mangel an Transportmitteln, und wegen der vielen Schluchten und reissenden Ströme, die man durchpassiren musste, mit vieler Gefahr verbunden war, bemerkte er mitten in einem Flusse mehrere grössere und kleinere Fontainen, von denen die kleinsten etwa 6 Zoll sich erhoben und einen Durchmesser von einer halben Linie hatten, und entweder perpendiculär oder gabelförmig, oder in schräger Richtung in die Höhe stiegen.«

Noch einmal, im Januar 1851 ist ein Vortrag über den Process der vulkanischen Gesteinsbildung erwähnt, inzwischen, im December 1849 ein mit Experimenten verbundener Vortrag über Verbrennungswärme, Entzündungstemperatur und Flammentemperatur, welcher auf ein neues Arbeitsgebiet Bunsen's hinweist. Im März 1851 wird sein Name zuletzt unter den Anwesenden vermerkt.

Aus dieser kurzen Uebersicht dürfte hervorgehen, wie viel persönliche und wissenschaftliche Anregung auch in dem engeren Kreise unserer Gesellschaft von Bunsen ausging.

Die Universität Marburg und unsere Gesellschaft dürfen es sich zur Ehre anrechnen, dass dieser hervorragende Mann eine Zeitlang der Ihrige war, eine Zeit, auf welche er auch in seinem hohen Alter noch gern und dankbar zurückblickte; war es doch hier, wo er, nach seinem eigenen Ausspruch »im Kreise lieber Collegen die glücklichsten Jahre seiner wissenschaftlichen Laufbahn verlebte«¹⁾.

Auch jetzt noch empfinden wir, bei der Erinnerung an das, was er hier in seinen bescheidenen Arbeitsräumen im Deutschen Hause ersann und erforschte, etwas von dem Zauber seiner bedeutenden Persönlichkeit; denn die Stätte, die ein — nicht bloss guter Mensch — sondern, noch vielmehr, die ein grosser Mann — betrat, »sie bleibt geweiht für alle Zeiten.«

Ehre seinem Andenken!

1) Brief vom 8. Juli 1898.

Sodann berichtet Herr B. Rathke über:

Erinnerungen an Bunsen.

Ich habe 1866 Bunsens Vorlesung gehört und im Laboratorium unter seiner persönlichen Leitung gearbeitet. — In der Vorlesung sprach er mit grosser natürlicher Lebhaftigkeit, so dass man ihm die eigene Freude an der Sache anzusehen glaubte, und vollkommen frei ohne die geringste mitgebrachte Notiz. Jedem, der vergleichen konnte, mochte es überraschend sein, dass er von der Wandtafel einen nur ganz minimalen Gebrauch machte. Was der Zuhörer empfing, war ganz und gar keine Buchgelehrsamkeit, sondern Alles wurde ihm zur Anschauung — sehr oft durch die (mit strengster Auswahl und unfehlbarer Sicherheit vorgeführten) Experimente zur eigenen Erfahrung. Es ist nicht möglich, in geringerem Maasse, als B. es that, die Chemie als beschreibende Naturwissenschaft erscheinen oder sie zu einer Abhandlung der einzelnen Elemente und ihrer Verbindungen werden zu lassen. Vielmehr wusste er vom ersten Anfang an uns zu interessiren für Fragen von weittragender Bedeutung wie für speciellere Aufgaben, welche die Wissenschaft zu lösen hat, und erweckte so die lebhafteste Spannung für den Weg, der zum Ziele führt, und Befriedigung über die Besiegung der Schwierigkeiten, welche dabei überwunden werden mussten. Ein Beispiel möge die Sache illustriren. Er sprach von der Temperatur der Flamme, speciell der Wasserstoff-Flamme: wie dieselbe aus der Verbrennungswärme sich auf viele tausend Grade berechne, wobei aber freilich vorausgesetzt werde, dass bei allen zwischenliegenden Temperaturen Wasserstoff und Sauerstoff sich zu vereinigen im Stande sind; wie die Ungleichheit der Temperatur in den verschiedenen Flammenregionen vermieden und eine bestimmte gleichmässige Temperatur erhalten werde, wenn Knallgas im Eudiometerrohr verpufft wird. Die hier thatsächlich eintretende Temperatur ergibt sich dann ohne Weiteres aus dem bei der Verpuffung auftretenden Maximaldruck, und dieser wird durch eine überaus einfache Vorrichtung gemessen (ein Laufgewicht auf einem Hebel verschiebbar, das den verschliessenden Stopfen beschwerend eben noch emporge-

schleudert wird.) Nie werde ich die Freude vergessen, welche ich über die einfache Lösung des anscheinend schwierigen Problems empfand, wie über das überraschende Resultat der ungeahnt niedrigen Temperatur von 2700 Grad und über die vollkommene Durchsichtigkeit, in welcher der Vorgang sich darstellte und eben diese niedrige Temperatur verständlich wurde. — Wie Bunsen uns hier an einer so eben von ihm ausgeführten Untersuchung theilnehmen liess, so auch im Folgenden. Bei der Bestimmung des specifischen Gewichts der Gase wies er auf die Unsicherheit hin, welche dadurch entsteht, dass die Correction auf den luftleeren Raum für den Ballon viel grösser ist als für das Gewicht auf der anderen Wagschale, und veränderlich mit Temperatur und Feuchtigkeitsgrad der Luft; er zeigte sodann, wie er diese Correction ganz umgeht, indem er als Gegengewicht einen Glasballon anwendet, dessen äusseres Volum er nahezu und dessen inneres er (durch hineingeworfene Glasstäbchen) genau gleich zu machen lehrt, wie bei dem, welcher das Gas enthält. Daran schloss sich die Ausdehnung der Methode auf Dämpfe unter Anwendung eines ingeniiösen Heizapparats für sehr constante Temperatur. Dieser Auseinandersetzung wurde eine volle Stunde gewidmet; ebenso der chemischen Wirkung des Lichts, wie sie von Bunsen und Roscoe am Chlorknallgas studirt worden ist. Gerade diese eindringende Behandlung einzelner Fragen und des zu ihrer Lösung führenden Weges war es, welche den Zuhörern (und auch solchen, die die Chemie nicht zu ihrem Specialstudium machten) einen Einblick in Werkstatt und Arbeitsweise des Chemikers gewährte, wie er meist erst durch praktische Beschäftigung im Laboratorium erreicht wird; eine schnell dem Resultate zueilende Darstellung, zu welcher die Fülle des Stoffs nur zu leicht verführt, vermag das niemals zu leisten. Dass es trotz alledem möglich war, in einem kurzen Sommersemester den reichen Stoff zu bewältigen, erschien fast wunderbar; es erklärt sich durch die unübertreffliche Präcision des Vortrags wie des Experiments und auch dadurch, dass alle Überladung mit Experimenten vermieden wurde und nur solche von entscheidender Bedeutung zur Ausführung kamen. Unter diesen verdienen besonders Erwähnung eine Anzahl von *quantitativen*

Versuchen, welche meines Wissens damals noch nirgend sonst als Vorlesungsversuche vorgeführt wurden. So die Demonstration der Volumverhältnisse bei gleichzeitiger Elektrolyse von Wasser- und Chlorwasserstoff; (Hofmanns Veröffentlichung derselben datirt aus dem Jahre 1869). Dabei wurde das Verschwinden von einem Theil des Chlors dadurch vermieden, dass die Elektrode aus einem Iridiumdrath bestand und über ihr nur eine ganz niedrige Flüssigkeitsschicht, dann Luft sich befand; das Chlor verdrängte sein gleiches Volum Luft, welches in einem besondern Massgefäss aufgefangen wurde — ein Princip, welches dann V. Meyer zu seiner Dampfdichte-Bestimmung durch Luftverdrängung entwickelt hat.

Wie Bunsen bemüht war, die Erscheinungen auf ihre einfachste Form reducirt zur Anschauung zu bringen, zeigt folgendes Beispiel, das zur Nachahmung nicht genug empfohlen werden kann. Um das Grundprincip der Spektralanalyse zu verdeutlichen, brachte er in eine Flamme zugleich Natrium- und Lithium-Salz und liess nun ein Prisma à vision directe ohne Spalt von Hand zu Hand durch das Auditorium gehen; man sah jetzt zwei Flammen, eine gelbe und eine rothe. Dann erst wurden die Vortheile hervorgehoben, welche das Vorsetzen eines Spalts gewährt, dessen secundäre Bedeutung so ohne Weiteres sich einprägt (und sonst vielleicht einem grossen Theil der Studenten niemals zu klarem Bewusstsein kommt.) — Allbekannt ist die von Bunsen angegebene einfache Demonstration des die Fraunhofer'schen Linien erklärenden Kirchhoff'schen Gesetzes: eine kühle Natriumflamme, welcher vor einer heisseren und daher heller leuchtenden Natriumflamme schwarz erscheint.

Immer hatten wir das Gefühl, dass der Vortragende aus dem Vollen schöpfte, aus dem reichen Schatz seiner Kenntniss und persönlichsten Erfahrung — wussten auch dass gar Manches (besonders bei den seltenen Metallen und Erden) nirgends publicirt und eben nur aus seinem Munde zu lernen war. Übrigens erwähnte er kaum jemals (meines Wissens nicht einmal bei der Spektralanalyse) seinen eigenen Antheil an den Untersuchungen, sondern begnügte sich mit allgemeinen Redewendungen: »man hat gefunden« und dgl. Freilich wenn er

von seinen glänzendsten Entdeckungen berichtet hatte, bewies ihm am Schluss der Stunde ein donnerndes Beifallsgetrampel, dass wir denn doch Bescheid wussten, und das vergnügte Lächeln, mit dem er aus dem Auditorium verschwand, verrieth, dass ihm dies nicht gerade unlieb war.

Dass Bunsen während einer langen Reihe von Jahren Semester um Semester dieselbe Vorlesung halten konnte, ohne dessen überdrüssig zu werden, mag dem Fernstehenden schwer verständlich sein; wer ihn hörte, begriff es sofort. Es lag offenbar daran, dass sein Vortrag zu einem sehr grossen Theil auf eignen Untersuchungen beruhte und dass er diese in der Erinnerung immer wieder mit naiver Entdeckerfreude neu durchlebte.

Geradezu grossartig war die allgemeine Einleitung, welcher ungefähr 3 Wochen gewidmet wurden. Hier und in einigen der nächstfolgenden Vorlesungen liess er vor uns ein naturwissenschaftliches Weltbild erstehen, soweit das von chemischen und chemisch-physikalischen Ausgangspunkten her möglich ist. Er begann (ein höchst origineller Gedanke) mit einer ganz kurzen Aufzählung und Characterisirung sämmtlicher Elemente (1 Stunde), die er nun nach Bedarf heranziehen konnte, ohne dass ihr Name den Hörern nur ein leerer Schall gewesen wäre. Es folgte eine Aufweisung der Stoffe, welche gefunden werden in der Luft, in den Wässern, in den plutonischen und neptunischen Gesteinen; Anreicherung mancher von ihnen an besonderen Stellen der Erdrinde durch Gangbildung vermittelt Infiltration, Injection und Sublimation; ausserirdisches Vorkommen der Elemente in Meteoriten, ferner (spectralanalytisch nachgewiesen) in Gestirnen und Nebelflecken. Es folgten die Aggregatzustände und deren Übergänge in einander, Gasmischung und Gasabsorption, Partialdruck, Dampfdruck, Lösung, Diffusion und Osmose, Krystalloide und Colloide; die Krystallsysteme nebst dem Tangentengesetz. Der Sauerstoff gab dann Gelegenheit zu ausführlicher Besprechung der Verbrennung, Verbrennungswärme und Entzündungstemperatur; beim Wasser und der Kohlensäure wurden natürlich mancherlei atmosphärische und klimatische Verhältnisse besprochen, beim Chlor (wie bereits angedeutet)

die chemische Wirkung des Lichts, ihre Änderung mit dem Stande der Sonne, die neben einander hergehenden Wirkungen des direkten Sonnenlichts und des diffusen Lichts, das Vorwalten des erstern in den höheren Schichten der Atmosphäre und die mit dadurch bedingte Besonderheit der Alpenflora.

Im Laboratorium sah man Bunsen fast den ganzen Tag, und zwar widmete er damals alle seine Zeit den Praktikanten, zumal den fortgeschrittenen, die zum grossen Theil nach Heidelberg gekommen waren, um ganz bestimmte Dinge dort zu lernen: Gasanalyse, Mineralanalyse, Analyse des Roheisens und dgl., oder um Studien über seltene Metalle, auch physikalisch-chemische Arbeiten zu machen. Man konnte mit Sicherheit darauf rechnen, dass der verehrte Lehrer nicht nur täglich den Fortgang der Arbeit verfolgte, sondern auch dass er ihren bisherigen Verlauf aufs Genaueste im Kopf hatte — oft (bei langwierigen Silikatanalysen und dgl.) besser als der Praktikant selber. Als Meister jeder Technik liess er es an häufiger Anleitung in praktischen Handgriffen nicht fehlen. Wie man einen Kork mit tadellos runder Bohrung versieht, wie man ein Filter in der Platinspirale verbrennt, wie ein Kautschukventil hergestellt wird, wie man einen Abdampfdruckstand in einem Minimum von Flüssigkeit gelöst in den Tiegel hinüberspült, wie man Schwefelsäure ohne jedes Spritzen verflüchtigt — das Alles und vieles Andere hat mancher vermeintlich fertige Chemiker eigentlich erst von ihm gelernt.¹⁾ Ein besonderes Vergnügen machte es ihm, uns die damals eben von ihm ausgearbeiteten »Flammenreactionen«, eine verfeinerte Fortbildung der Löthrohrtechnik, zu zeigen und wie sie es ermöglichen, die in kaum sichtbaren Spuren vorliegende Substanz durch mannigfaltige Erscheinungen in aller Schärfe zu identificiren. Immer sah man ihm an, wie die Arbeit als solche, das Gefühl der »gelingenden Thätigkeit« ihm die reinste Freude war. Oft umstand ihn ein halbes Dutzend von Schülern, deren jeder Rath und Hülfe von

1) Seine Hand war unglaublich abgehärtet. So existirte denn auch ein launiges Bild von ihm, wie er ein kleines Schälchen zwischen den Fingern in die Gasflamme hängen lässt mit den Worten: »Man dampft es ganz ruhig ab.«

ihm wollte und darauf wartete, dass er an die Reihe käme, gewiss, auch inzwischen noch manches nützliche Wort aufzufangen. Nur wenn er einmal ans Fenster trat und den Blick gedankenverloren über den Garten hinaus schweifen liess, wagte ihn niemand zu stören; wir nahmen an, dass er dann mit Grösserem beschäftigt wäre.

Eine besondere Anziehungskraft hatte für ihn der Glasblasetisch, und es war nicht schwer, dort etwas von ihm zu erreichen. Viele Stunden sass er einmal vor dem Gebläse und versuchte, in ein Glasrohr eine poröse Thonscheibe als Diaphragma einzukitten; leider vergeblich, beim Erkalten sprang das Glas jedesmal ab.

Diese angespannte Thätigkeit während vieler Stunden des Tages war schon als körperliche Leistung für einen Mann seines Alters ganz respectabel, um so mehr als die Hitze im Laboratorium während des Sommers oft recht arg wurde; doch sein rüstiger Körper schien es nicht zu empfinden. Für eigene wissenschaftliche Arbeiten blieb ihm während der ganzen Woche keine Stunde übrig; er hatte sich auch gar keinen eigentlichen Arbeitsplatz reservirt, sondern nur einen Tisch, der mit tausend Dingen bedeckt war, unter welchen er mit schier unbegreiflich schnellem Blick auch den unscheinbarsten Gegenstand, den er gerade brauchte, herausfand. Um so eifriger arbeitete er am Sonntag und in den Ferien in dem nun freien Raum, wie ich aus meiner gegenüberliegenden Dachstube oft beobachten konnte.

Diese unermüdliche Arbeitsfreudigkeit strömte auf alle seine Schüler über; es herrschte im ganzen Laboratorium ein solcher Geist der Emsigkeit und scharfer Ausnutzung der Zeit, dass jeder unwillkürlich erfasst und mitgenommen wurde. Es wollte das um so mehr heissen, als wir (1866) in einer Zeit höchster Aufregung, nämlich mitten im Kriege lebten und abwechselnd preussische und süddeutsche, auch einmal österreichische Truppen Heidelberg passirten.

Auch arbeiteten dicht neben einander Angehörige der feindlich sich gegenüber stehenden Volksstämme, und oft kam es zu heftigen Disputationen; trat dann Bunsen ein, so fuhren wir auseinander und eilten an unsere Plätze. Der Frieden des Hauses aber wurde niemals ernstlich gestört.

Der Ton, in dem Bunsen mit den Praktikanten verkehrte war der vollendeter Höflichkeit und unstörbarer heiterer Freundlichkeit, welcher bei begangenen Fehlern sich eine leise Ironie beismischte; hatte jemand eine Arbeit recht gründlich verpfuscht, so nahm sein Gesicht wohl den Ausdruck aufrichtiger Trauer an. Die meisten Schüler hegten für ihn nicht nur hohe Verehrung (wie selbstverständlich), sondern auch eine fast zärtliche Zuneigung. — Ein Verkehr mit ihm ausserhalb des Laboratoriums kam meines Wissens nicht vor; dazu war vielleicht der Altersunterschied schon zu gross und seine freie Zeit in der That zu kostbar.

(An diese Mittheilungen schloss der Vortragende eine kurze Charakteristik von Bunsens Forscher-Thätigkeit.)

In derselben Sitzung vom (8. November 1899) sprach Herr Schenck über:

Die beiden Arten der Dimorphie und ihre gegenseitigen Beziehungen.

Eine grosse Reihe von chemischen Substanzen vermag in mehr als einer Form zu krystallisieren. Man nennt solche Substanzen *polymorph*, sind nur *zwei* Krystallformen vorhanden, *dimorph*.

Es giebt zwei Gruppen dimorpher Substanzen, das Princip nach dem man bei der Einteilung verfährt, ist die Art und Weise, wie die eine Krystallform in die andere übergeht.

Die eine Gruppe ist ausgezeichnet durch die Existenz eines Umwandlungspunktes, bei der die beiden Modificationen (wir nennen sie *a* und *b*) im Gleichgewicht stehen. Bleiben wir unterhalb dieses Punktes, so geht *a* in *b* über, überschreiten wir ihn, so verwandelt sich *b* in *a*. Durch Erwärmen oder Abkühlen kann man nach Belieben die eine oder die andere Form erhalten, sie sind in einander überführbar. Diese Art der Dimorphie bezeichnet man nach O. Lehmann als *Enantiotropie*.

Die zweite Gruppe besitzt einen solchen Umwandlungspunkt nicht, die Umwandlung ist nur in einem Sinne ausführbar, stets ist die eine Modification die stabile, die andere die metastabile. Diese Art der Dimorphie bezeichnet O. Lehmann als **Monotropie**. Jede der beiden monotropen Formen hat ihren eigenen Schmelzpunkt, und zwar liegt der der metastabilen immer tiefer als der der stabilen.

Beide Gruppen sind nicht wesensverschieden von einander. Nach Ostwald unterscheiden sie sich nur dadurch, dass bei den enantiotropen Modificationen der Umwandlungspunkt unterhalb der Schmelzpunkte liegt, während die monotropen schmelzen, ehe sie ihren Umwandlungspunkt erreicht haben.

Besonders deutlich werden die gegenseitigen Beziehungen, wenn man sich gegenwärtig hält, dass der Umwandlungspunkt nichts anderes als der Schnittpunkt der Dampfdruckcurven der festen Modificationen, der Schmelzpunkt nichts anderes als der Punkt ist, bei dem der Dampfdruck der festen Körper gleich dem der Flüssigkeit wird. Dann sind enantiotrope Körper solche, bei denen die Dampfdruckcurve der Flüssigkeit die Dampfdruckcurven der festen Modificationen oberhalb, monotrope Körper solche, bei denen die flüssige Dampfdruckcurve die beiden anderen unterhalb des Umwandlungspunktes schneidet.

Vor einiger Zeit war es dem Vortragenden gelungen¹⁾ die feste und die flüssig krystallinische Modification des p-Azoxyanisols, welche zu einander im Verhältniss enantiotroper Modificationen stehen, durch Zusatz fremder Stoffe zu der isotropen Flüssigkeit, in monotrope Modificationen überzuführen; der Zusatz fremder Stoffe zu der isotropen Flüssigkeit bewirkt ja eine Verschiebung der Dampfdruckcurve nach unten. Die Concentration des Zusatzes wurde so bemessen, dass eine Verlegung der Curve bis unter den Umwandlungspunkt eintrat.

Es ist natürlich nicht möglich dieses Verfahren umzukehren, und monotrope Modificationen in enantiotrope zu verwandeln. Denn wir haben kein Mittel die Dampfdruckcurven der Flüssigkeit allein nach oben zu verschieben. Die Verschiebung durch

1) Diese Sitzungsberichte, März 1899. Zeitschr. f. phys. Chem. 29, 546.

Drucke beeinflusst auch die Dampfdruckcurven der krystallisierten Zustände.

Angenommen aber, es gäbe ein solches Verfahren, so würde man bei einer allmählichen Verschiebung der Dampfdruckcurve der Flüssigkeit zunächst den Umwandlungspunkt passieren müssen, ehe eine Verwandlung der monotropen in enantiotrope Modificationen erreicht wird.

Zu einer vollständigen Beschreibung der monotropen Modificationen ist die Angabe dieses Punktes nothwendig und zwar bei Atmosphärendruck, unter denselben Bedingungen wie die Schmelzpunktangaben.

Der Vortragende nun hat eine Beziehung aufgefunden, welche den an und für sich nicht beobachtbaren Umwandlungspunkt mit anderen beobachtbaren Grössen verknüpft und so der Berechnung zugänglich macht.

Die beiden Modificationen unterscheiden sich durch ihre Schmelzwärme und zwar ist die der metastabilen Modification, welche bekanntlich den grösseren Energieinhalt besitzt — sie geht unter starker Wärmeabgabe in die stabile über — kleiner als die der stabilen Modification.

Liegen die Schmelzpunkte nicht gar zuweit entfernt von einander, so entspricht, gemäss der Vant' Hoff'schen Beziehung

$$\Delta = 0,02 \cdot \frac{T^2}{q}$$

wo Δ die molekulare Gefrierpunktserniedrigung,

T die absolute Schmelztemperatur

q die Schmelzwärme bedeutet,

der kleineren Schmelzwärme die grössere Gefrierpunktserniedrigung.

Stellen wir uns für beide Modificationen die Abhängigkeit des Schmelzpunktes von der Concentration des Zusatzes graphisch dar, so erhalten wir zwei gerade Linien welche mit zunehmender Concentration divergieren. Denken wir uns dieselben rückwärts über die Schmelzpunkte hinaus verlängert, so werden sie einander schneiden, der Schnittpunkt ist nichts anderes als der Umwandlungspunkt, wie das aus dem Diagramm, welches

bei der oben citierten Abhandlung über die Verwandlung der enantiotropen Modificationen des p-Azoxyanisols in monotrope, deutlich folgt.

Stellen wir uns die Gleichungen für die Abhängigkeit der Schmelzpunkte von der Concentration des Zusatzes zu der Flüssigkeit auf, so bekommen wir

$$\begin{aligned} t &= S_{st} - c \cdot \Delta_{st} \\ t' &= S_m - c' \cdot \Delta_m \end{aligned}$$

wo S_{st} und S_m die Schmelzpunkte der reinen stabilen bezw. metastabilen Modificationen, Δ_{st} und Δ_m die entsprechenden molekularen Gefrierpunktserniedrigungen bezeichnen. Die beiden Curven schneiden einander, wenn

$$c = c' \text{ und } t = t'$$

werden; bezeichnen wir die Temperatur des Schnittpunktes, welcher mit dem Umwandlungspunkt der beiden festen Modificationen in einander identisch ist, mit T , so folgt

$$\begin{aligned} T &= S_{st} - c \cdot \Delta_{st} \\ T &= S_m - c \cdot \Delta_m \end{aligned}$$

Die Elimination von c ergibt

$$T = \frac{S_{st} \Delta_m - S_m \cdot \Delta_{st}}{\Delta_m - \Delta_{st}}$$

auf der rechten Seite stehen lauter Grössen, welche durch den Versuch ermittelt werden können, der Umwandlungspunkt ist dann leicht berechenbar.

Wir haben versucht, dieses Verfahren bei mehreren monotrop dimorphen Körpern zu verwenden. Die Bestimmung der Depressionsconstanten geschah in dem Beckmannschen Apparat zur Molekulargewichtsbestimmung durch Gefrierpunktserniedrigung. Die Constanten der stabilen Modificationen sind leicht zu ermitteln, dagegen macht die Bestimmung derselben bei metastabilen häufig grosse Schwierigkeiten. Es liegt dies an der grossen Empfindlichkeit, und geringen Beständigkeit vieler metastabiler Formen, eine leichte Bewegung des Rührers schon verursacht häufig die Entstehung der stabilen Modification.

Beim m-Nitro-p-acettoluid, welches in einer gelben und einer weissen Form krystallisiert, gelangen die Versuche vollkommen.

Die weisse stabile Form zeigt den Schmelzpunkt 93,32, die metastabile gelbe schmilzt bei 91,58°. Die Depressionsconstante der labilen — durch Zusätze von Oxalsäuredimethylester ermittelt — ist 100,9 die der weissen 85,8, daraus folgt der Umwandlungspunkt 102,5.

Das Verfahren ist nicht allgemein anwendbar, die Anwendung unterliegt gewissen Einschränkungen.

1) Dürfen die Schmelzpunkte nicht zu weit von einander entfernt sein.

2) Muss der Umwandlungspunkt in der Nähe der Schmelzpunkte liegen,

weil unter anderen Umständen die Darstellung der Abhängigkeit der Schmelzpunkte von der Concentration des Zusatzes als lineare Funktion nicht mehr zulässig ist.

In der Sitzung vom 8. November wurden durch vorschriftsmässige Kugelung folgende neue Mitglieder gewählt: Herr Professor Dr. Ludolf Krehl, o. Professor der Medicin, Director der medicinischen Poliklinik, zum ordentlichen; Herr Professor Dr. Heinrich Bonhoff, ao. Professor der Medicin, zum ausserordentlichen Mitglied.

Nach einer Mittheilung des Herrn Ochsenius ist Herr Dr. Philippi, ehemaliger Director der höheren Gewerbeschule in Cassel, seit dem 5. Nov. 1841 ausserordentliches Mitglied der Gesellschaft, z. Z. in Santiago (Chile) noch am Leben, somit nach dem Tode von Bunsen das älteste Mitglied der Gesellschaft.

Aufgelegte Schriften:

Jahresberichte des Vereins für vaterländische Naturkunde in Württemberg. Jahrg. 55. Stuttgart 1899.

Verhandlungen der schweizerischen naturforschenden Gesellschaft 1898. 81. Versammlung in Bern, 80 Vers. in Engelberg 1897. Bern 1898. Luzern 1898.

- Rendiconto dell' Accad. delle Scienze Fisiche e Matematiche
Ser. 3. Vol. V, fasc. 4—5. Atti, Ser. 2 Vol. IX. Napoli 1899.
- Bulletin de l' Académie impériale des Sciences de St. Peters-
bourg. Ser. V, Tom VIII. Nr. 3. St. Petersburg 1898.
- Bulletin de la Société impériale des Naturalistes de Moscou.
A. 1898. Nr. 4. Moscou 1899.
- Nouveaux Mémoires de la Société impériale des Naturalistes
de Moscou. Tom XV, Liv 7, Tom XVI, Liv I.
Moscou 1898.
- Bulletin de la Société de Géographie d'Alger 1899. 1.
Alger 1899.
- Annotationes Zoologicae iaponenses. Vol. III. Part. I. Tokio 1899.
- United States Geological Survey. Annual Report. Part. V, (1—2)
Washington 1898.
- Annual Report of the Smithsonian Institution 1896—1897.
Washington 1898.
- Smithsonian Miscellaneous Collections 1170. Washington 1899.
- Proceedings and Transactions of the Nova Scotia Institute of
Science. Vol. IX, Part 4. Halifax 1898.
- John Hopkins University Circulars Vol. XVIII. Nr. 139.
Baltimore 1899.
- American Naturalist. Vol. 33. Nr. 390. Boston 1899.
- Proceedings of the American Philosophical Society. Vol. 37.
Nr. 158. Philadelphia 1898.
- Proceedings of the Academy of Natural Sciences. Part. III.
1898. Philadelphia 1899.
- Proceedings of the American Academy of Arts and Sciences.
Vol. 34, Nr. 11—17. 1899.
- Verhandlungen des deutschen wissenschaftlichen Vereins zu San-
tiago de Chile. Bd. III, Heft 6. Valparaiso 1898.
- Museo Nacional de Buenos Aires, Comunicaciones. Tom 1 u. 3.
Anales Tom IV. Buenos Aires 1899.
- Report of the 7th Meeting of the Australasian Association for
the Advancement of Science. Sydney 1898.
-

Sitzungsberichte

der Gesellschaft zur Beförderung der gesammten Naturwissenschaften

zu
M a r b u r g.

N^{ro.} 9 **Dezember** **1899**

In der wissenschaftlichen Sitzung vom 13. Dezember 1899
theilte Herr Krehl

**Beobachtungen über den Wärmehaushalt der poikilothermen
Wirbelthiere**

mit, welche er in Jena gemeinschaftlich mit Herrn Dr. Soet-
beer anstellte. Die ausführliche Abhandlung ist in Pflügers
Archiv erschienen.

In derselben Sitzung (13. Dez.) sprach Herr R. Schenck über:
Chemische Vorgänge im elektrostatischen Felde.

Die chemischen Vorgänge, welche gewöhnlich zur Gewinnung
elektrischer Energie benutzt werden, sind Jonenvorgänge, Um-
wandlungen, welche mit dem Entstehen oder Verschwinden von
Jonen verbunden sind.

Die folgenden Betrachtungen nun sollen zeigen, dass es noch
eine andere Möglichkeit giebt, chemische Energie in elektrische
unzusetzen und zwar ohne Mitwirkung von Elektrolyten bzw.
Jonen bei Reactionen zwischen Isolatoren. Diese Möglichkeit ist
stets vorhanden, wenn die Änderung des chemischen Systems in
einem elektrostatischen Felde erfolgt und falls die Umsetzung mit
einer Änderung der Dielectricitätsconstanten des Systems ver-
bunden ist.

Wir wollen uns eine bestimmte Versuchsanordnung denken,
an der wir uns die Beziehungen zwischen Änderung der Dielec-
tricitätsconstanten und Entstehung elektrischer Energie klar
machen können. Es seien die Platten eines Condensators *A* und *B*,
B sei zur Erde abgeleitet, der Abstand der Platten von einander

klein gegenüber der Ausdehnung derselben. Diese Anordnung befinde sich in Luft bzw. dem Vacuum, dessen Dielectricitätsconstante $D=1$ ist. Ertheile ich der Platte A die Ladung e , und ist ihr Potential V , so besteht bekanntlich zwischen diesen Grössen und der Capacität C des Condensators die Beziehung

$$e = C \cdot V$$

$$V = \frac{e}{C},$$

die Arbeit, welche wir erhalten, wenn wir A auf das Potential Null herunterbringen, ist

$$\frac{1}{2} e \cdot V = \frac{1}{2} \frac{e^2}{C}.$$

Lassen wir die Ladung e in A ungeändert und bringen zwischen die Platten, den Raum vollständig ausfüllend, einen Isolator von der Dielectricitätsconstante D_1 , so beobachten wir ein Fallen des Potentials, wir schliessen daraus dass sich die Capacität geändert hat, sie möge C_1 geworden sein, so bekommen wir

$$e = C_1 \cdot V_1$$

Es verhält sich

$$C : C_1 = 1 : D_1$$

also

$$e = C \cdot D_1 \cdot V_1$$

Die Entladung auf das Potential Null giebt uns die kleinere Arbeitsgrösse

$$\frac{1}{2} \cdot e \cdot V_1 = \frac{1}{2} \cdot \frac{e^2}{C \cdot D_1}$$

der Ersatz der Luft durch den Isolator mit der Dielectricitätsconstanten D_1 , hat also einen Arbeitsaufwand erfordert von

$$\frac{1}{2} \cdot \frac{e^2}{C} \left(\frac{1}{D} - \frac{1}{D_1} \right)$$

Setze ich allgemein an die Stelle eines Dielectricums mit der Constanten D_1 ein anderes mit der Constanten D_2 , so ist die Änderung des electricischen Energieinhaltes auf dem Condensator

$$\frac{1}{2} \cdot \frac{e^2}{C} \left(\frac{1}{D_1} - \frac{1}{D_2} \right)^{1)}$$

1) Vergl. hierzu W. Nernst: Zeitschr. f. phys. Chem. 18. pag. 590.

Die gleiche Änderung bekommt man natürlich auch, wenn bei einer chemischen Umsetzung das System seine Constante von D_1 in D_2 ändert.

Ist

$$D_2 > D_1$$

so fällt das Potential auf dem Condensator, ist

$$D_2 < D_1,$$

so wächst es, wir bekommen also einen Zuwachs an elektrischer Energie.

Betrachten wir einen Vorgang, welcher umkehrbar ist und machen wir die Annahme, dass $D_2 > D_1$, so wird das Potential während der Reaction allmählich abnehmen, schliesslich aber zu einem Minimum gelangen, bei welchem die Umsetzung nicht weiter verläuft, eine künstliche Erniedrigung des Potentials durch Ableitung von Electricität würde eine Umkehr der Reaction bedingen, die Bildung des Systems mit der kleineren Dielectricitätsconstanten.

Ist $D_2 < D_1$ so wird das Potential allmählich steigen um schliesslich ein Maximum zu erreichen, eine Zufuhr elektrischer Energie von aussen kehrt die Reaction um, sie begünstigt die Entstehung des Systems mit der grösseren Dielectricitätsconstanten.

Im Allgemeinen haben wir bei Erhöhung des Potentials eine Verschiebung des chemischen Gleichgewichts nach der Seite der höheren, bei Erniedrigung eine solche nach der Seite der niederen Dielectricitätsconstante zu erwarten, eine neue Illustration zu dem Satze von Le Chatelier.¹⁾ „Toute variation d'un facteur de l'équilibre amène une transformation du système qui tend à faire éprouver au facteur considéré une variation de signe contraire à celle qu'on lui a communiquée.“

Die beschriebene Art elektrochemischer Prozesse, welche auf einer Veränderung der Dielectricitätsconstanten beruhen, würden nicht ohne Analogieen darstehen. Die Dielectricitätsconstante eines Systems lässt sich auch auf andere Weise ändern. Sie ist z. B. abhängig von der Temperatur, mit dem Erwärmen Hand in Hand geht

1) Recherches experimentales et théoriques sur les équilibres chimiques. Paris 1888.

eine Veränderung der Constanten und so sehen wir an vielen Krystallen beim Erwärmen und Abkühlen elektrische Ladungen auftreten.¹⁾ Man belegt diese Art der Electricität bekanntlich mit dem Namen Pyroelectricität. Auch die folgende Erscheinung ist hier zu erwähnen. Isolatoren erwärmen sich oder kühlen sich beim Elektrisieren ab,²⁾ je nachdem die Dielectricitätsconstante mit der Temperatur fällt oder zunimmt.

Erhöhte Drucke bezw. Veränderungen des Volumens verursachen Änderungen der Dielectricitätsconstanten, umgekehrt erhalten wir beim Elektrisieren derartiger Körper Veränderungen des Volumens, sogenannte Electrostrictionen. Wir kennen die Entstehung elektrischer Ladungen beim Belasten gewisser Krystalle, und sehen den elektrischen Vorgang sich umkehren, wenn nach Aufhebung der Belastung der Krystall allmählich in seine alte Lage zurückkehrt.

Die altbekannte Erscheinung der Restbildung bei Leydener Flaschen ist, wie mir scheint, ebenfalls ein Phänomen, welches hierher gehört.³⁾ Unter dem Einfluss der Ladung stellt sich ein Zustand her, in dem das Glas eine andere, grössere Dielectricitätsconstante besitzt als vorher. Mit dieser Änderung sind Spannungen und Volumänderungen des Glases verbunden. Entlade ich die Flasche, so gehen diese Änderungen nicht sofort zurück, das Glas braucht vielmehr Zeit in seinen alten Zustand zurückzukehren. Bei diesem Rückgange vermindert es seine

1) Die pyro- und pieoelektrischen Erscheinungen der Krystalle zeigen allerdings einige besondere Merkmale, die Krystalle besitzen eine permanente dielektrische Polarisation, man braucht sie also nicht in ein künstliches elektrostatisches Feld zu bringen, um die Veränderungen der Ladungen zu beobachten.

2) Drude, Physik des Äthers, pag. 303.

3) Vergl. hierzu die Abhandlung von Pellat: Ann. de chimie et de physique. T. XVIII. (1899) pag. 152, in der eine ähnliche Anschauung vertreten wird:

„Cette grandeur (la constante diélectrique) ainsi définie est variable pour une même substance solide ou liquide suivant le temps, pendant lequel le condensateur est chargé, ou, d'une façon plus générale, suivant le temps où le diélectrique reste dans le champs électrique.“

Ferner Wüllner: Wied. Ann. 32. 19 (1887), sowie Drude: Physik des Äthers, pag. 291.

Dielectricitätsconstante und erhöht das Potential der vorher entladenen Flasche. Es ist übrigens bei diesem Vorgange der Verdacht nicht von der Hand zu weisen, dass die erste Ladung in dem Glas nicht allein mechanische, sondern auch chemische Deformationen hervorgerufen hat. Bei einer so complicierten Lösung, wie sie das Glas darstellt, wären Veränderungen des chemischen Gleichgewichts durch dielektrische Polarisierung wenigstens nichts wunderbares. Dass bei der Rückstandbildung eine Art electrochemischer Reactionen beteiligt ist, vermutet übrigens schon Maxwell.¹⁾

Nach den Untersuchungen von Drude,²⁾ von Abegg³⁾ und Seitz⁴⁾ ist auch der Vorgang des Schmelzens und Erstarrens mit einer Änderung der Dielectricitätsconstanten verbunden. Diese Änderung ist häufig recht beträchtlich. Nach den Angaben der oben genannten Forscher stelle ich folgende Tabelle zusammen.

Substanz:	$D_{\text{flüssig}}$:	D_{fest} :	Beobachter:
Wasser	87	3.1	Abegg
Ameisensäure	57.0	19.0	Drude
Essigsäure	6.46	4.1	"
Chloralhydrat	13	3.3	"
Phenol	9	4.3	"
Nitrobenzol	48.3 bei -9°	9.9 bei -10°	Abegg.

Überall sehen wir die Dielectricitätsconstante beim Schmelzen zunehmen. Wir schliessen daraus, dass eine Erhöhung der electrischen Ladung auf der Condensatorplatte die Bildung der Flüssigkeit begünstigen, das Festwerden hintanhaltet wird. Aus thermodynamischen Gründen dürfen wir erwarten, dass der Schmelzpunkt durch Verstärkung des electrischen Feldes heruntergedrückt wird.

Die Abhängigkeit des Schmelzpunktes von der Condensatorladung ist der Berechnung zugänglich. Wir denken uns einen Carnot'schen Kreisprozess ausgeführt.

Zwischen den Condensatorplatten befinde sich 1 Mol. feste Substanz. Die Ladung der Platte A sei e . Die Schmelz-

1) A Treatise on electricity I. pag. 381.

2) Zeitschr. f. phys. Chem. 23. 308.

3) Wied. Ann. 62. 257; 65. 227.

4) Z. f. phys. Chem. 29. 247.

temperatur in diesem Kraftfelde sei T . Die Schmelzwärme q . Der Condensator habe in Luft die Capacität C . Die ganze Anordnung befinde sich in einem Wärmereservoir von der Temperatur T .

Wir lassen den festen Körper schmelzen und verlieren dadurch an electrischer Energie nach den früheren Auseinandersetzungen

$$\frac{1}{2} \frac{e^2}{C} \left(\frac{1}{D_1} - \frac{1}{D_2} \right),$$

wo D_1 die Dielectricitätsconstante des festen, D_2 die des flüssigen Körpers bedeutet. Dem Reservoir wird die Wärmemenge q entzogen.

Die Schmelze wird jetzt in ein zweites Reservoir gebracht von der Temperatur $T - dT$. Es ist das diejenige Temperatur, bei welcher der feste Körper schmelzen wird, wenn die Ladung des Condensators $e + de$ beträgt. Dabei wird an das Reservoir II die Wärmemenge $k \cdot dT$ (k Wärmecapacität) abgegeben. Wir verstärken die Ladung um de , die zuzuführende Energie ist:

$$\frac{1}{2} \frac{(de)^2}{C \cdot D_2}$$

Wir lassen erstarren, die Energie des Condensators vermehrt sich um

$$\frac{1}{2} \frac{(e + de)^2}{C} \left(\frac{1}{D_1} - \frac{1}{D_2} \right).$$

Entziehen wir der Platte jetzt die Ladung de , so verlieren wir die Energiemenge

$$\frac{1}{2} \frac{(de)^2}{C \cdot D_1}.$$

Die Erwärmung des Systems erfordert die Zufuhr der Wärme $k' \cdot dT$.

Bei der Temperatur T ist also verloren an electrischer Energie

$$\frac{1}{2} \cdot \frac{e^2}{C} \cdot \left\{ \frac{1}{D_1} - \frac{1}{D_2} \right\}$$

bei der Temperatur $T - dT$ gewonnen.

$$\frac{1}{2} \frac{(e + de)^2}{C} \left\{ \frac{1}{D_1} - \frac{1}{D_2} \right\} - \frac{1}{2} \frac{(de)^2}{C} \left\{ \frac{1}{D_1} - \frac{1}{D_2} \right\}$$

Die gesammte bei dem Kreisprozess gewonnene Arbeit ist also

$$\frac{1}{2} \cdot \frac{2e \cdot de}{C} \left\{ \frac{1}{D_1} - \frac{1}{D_2} \right\} = \frac{1}{2} \frac{d(e^2)}{C} \left\{ \frac{1}{D_1} - \frac{1}{D_2} \right\}$$

Nach dem zweiten Hauptsatz der Thermodynamik ist diese Arbeit

$$\frac{1}{2} \cdot \frac{d(e^2)}{C} \left\{ \frac{1}{D_1} - \frac{1}{D_2} \right\} = q \cdot \frac{dT}{T}$$

oder

$$\frac{dT}{d(e^2)} = \frac{1}{2} \frac{T}{C \cdot q} \cdot \left\{ \frac{1}{D_1} - \frac{1}{D_2} \right\}.$$

Die letzte Gleichung stellt die Abhängigkeit des Schmelzpunktes von der Grösse der elektrischen Ladung dar.

Um einen Begriff von der Grössenordnung der Schmelzpunktserniedrigung im elektrostatischen Felde zu bekommen, wollen wir an einem bestimmten Beispiel die Rechnung durchführen und zwar am Wasser, dessen Dielectricitätsconstanten im flüssigen und festen Zustand bekannt sind.

Zwischen den Platten des Condensators befinden sich 18 g. Wasser. Die Capacität des Condensators sei, wenn Luft das Dielectricum bildet ein Mikrofarad

$$C = 9 \cdot 10^5 \text{ c. g. s. Einheiten.}$$

Die Dielectricitätsconstante des flüssigen Wassers ist

$$D_1 = 87,$$

die des Eises wurde mit Hilfe schneller elektrischer Schwingungen von Abegg bestimmt, ihr Wert beträgt zwischen -24° und 0°

$$D_2 = 3,1.$$

Die spezifische Schmelzwärme beträgt $79,4 \text{ cal}$, also die molekulare

$$q = 18 \cdot 79,4 \text{ cal} = 18 \cdot 79,4 \cdot 4,183 \cdot 10^{10} \text{ abs. Einheiten.}$$

Der absolute Schmelzpunkt ist

$$T = 273^\circ.$$

Setzen wir diese Werte in unsere Gleichung ein, so bekommen wir für die Ladung der Platte mit einer absoluten elektrostatischen Einheit

$$\frac{dT}{d(e)^2} = \frac{273}{2 \cdot 9 \cdot 10^5 \cdot 18 \cdot 79,4 \cdot 4,183 \cdot 10^{10}} \cdot \left\{ \frac{1}{3,1} - \frac{1}{87} \right\}$$

$$= 7,89 \cdot 10^{-19}$$

Die gewählte Ladung ist sehr klein, wir denken daher die Platte mit der praktischen Einheit, einem Coulomb geladen. Es ist

$$1 \text{ Coulomb} = 3 \cdot 10^9 \text{ abs. electrostat. Einheiten.}$$

Es wird dann

$$\frac{dT}{d(e)^2} = \left[3 \cdot 10^9 \right]^2 \cdot 7,89 \cdot 10^{-19}$$

$$= 9 \cdot 7,87 \cdot 10^{-1} = 7,10.$$

Die Spannung der Electricität auf der Platte ist unter diesen Umständen sehr gross; sie beträgt für den Luftcondensator eine Million Volt, eine Spannung, mit welcher sich nicht operieren lässt. Die folgende Tabelle enthält die Depressionen für geringere Ladungen:

e	Spannung	Depression
1 Coulomb	10^6 Volt	$7,10^*$
10^{-1} "	10^5 "	$7,10 \cdot 10^{-2}$
10^{-2} "	10^4 "	$7,10 \cdot 10^{-4}$
10^{-3} "	10^3 "	$7,10 \cdot 10^{-6}$
10^{-4} "	10^2 "	$7,10 \cdot 10^{-8}$
10^{-5} "	10 "	$7,10 \cdot 10^{-10}$
10^{-6} "	1 "	$7,10 \cdot 10^{-12}^*$

Wir ersehen aus dieser Rechnung, dass wir kaum je im stand sein werden, die Änderung des Schmelzpunktes im elektrostatiscen Felde empirisch festzustellen.

Auf die Änderung des Volumens wie sie ja beim Schmelzen stattfindet, ist in der Ableitung keine Rücksicht genommen worden, sie bedingt noch eine Correction.

Wir ziehen also aus unseren theoretischen Betrachtungen den Schluss, dass es noch eine zweite Art elektrochemischer Prozesse giebt; Vorgänge, welche unter Veränderung der Dielectricitätsconstanten eines chemischen Systems verlaufen, ändern die Ladung eines Condensators: Umgekehrt verursachen Änderungen der Condensatorladung Verschiebungen des chemischen Gleichgewichts in dem Isolator.

Die experimentelle Behandlung wird auszugehen haben von der Untersuchung der Bildung electrischer Rückstände im electrostatiscen Felde an chemisch gut definierten Körpern, namentlich scheinen mir solche Substanzen geeignet, welche leicht eine tautomere Umwandlung erfahren, vor allem solche, welche ausser einer Ketoform in einer Enolform aufzutreten vermögen, da hier einigermaßen grosse Unterschiede in den Dielectricitätsconstanten zu erwarten sind.

Ich hoffe seiner Zeit die Resultate der Versuche über den besprochenen Gegenstand der Gesellschaft vorlegen zu können.

Herr Prof. Kayser legt die Probedrucke für die Tafeln zu der Arbeit des Herrn Dr. Lotz über den Kalk der Lindener Mark bei Giessen vor, für welche Arbeit die Gesellschaft am 7. März d. J. eine Geldunterstützung bewilligt hat.

Am 13. December 1899 wurde Herr Dr. Heinrich Lotz, bisher Assistent an dem geologischen Institut, zum ausserordentlichen Mitglied der Gesellschaft erwählt.

JUN 12 1901

4058.

Sitzungsberichte

der

**Gesellschaft zur Beförderung der gesamten
Naturwissenschaften**

zu

M a r b u r g.

Jahrgang 1900.

MARBURG.

**R. Friedrich's Universitäts-Buchdruckerei (Inhaber: Karl Gleiser).
1901.**

Sitzungsberichte

der

**Gesellschaft zur Beförderung der gesamten
Naturwissenschaften**

zu

M a r b u r g.

Jahrgang 1900.

M A R B U R G.

R. Friedrich's Universitäts-Buchdruckerei (Inhaber: Karl Gleiser).
1901.

Inhalts-Angabe.

	Seite
<i>Kohl</i> : Reizerscheinungen im Pflanzenreiche	1
<i>Korschelt (Börner)</i> : Hämosporidien einiger Reptilien	3
<i>Meisenheimer</i> : Entwicklungsgeschichte von <i>Dreissensia polymorpha</i> . Pall.	
II. Theil	4
<i>Kossel und Kutscher</i> : Ueber die Eiweissstoffe	13
<i>Kossel u. Goto</i> : Ueber die Lösung der Harnsäure durch Nucleinsäure	22
<i>E. Hess</i> : Ueber die unilineare Lage zweier Tetraeder und eine Ver-	
allgemeinerung des <i>Desargues'schen</i> Satzes	26
<i>Zumstein</i> : Ueber den Bronchialbaum der Säuger und Vögel	39
<i>Disse</i> : Anatomie der Niere	49
<i>v. Dalwigk</i> : Ueber das <i>Poisson'sche</i> Integral	59
<i>Kutscher</i> : Die Selbstverdauung der Hefe	67
<i>Schwantke</i> : Oxyhaemoglobinkrystalle aus Taubenblut.	73
<i>Ranson</i> : Die Verbreitungswege des Tetanusgiftes und des Tetanus-	
antitoxins im Thierkörper	76
<i>H. Meyer</i> : Theorie der Alkoholwirkung	78
(<i>E. Hess</i>), <i>Study-Greifswald</i> : Beweis und Erweiterung eines von	
Herrn <i>E. Hess</i> angegebenen Satzes.	78
<i>Schwantke</i> : Ueber einen variolitischen Dolerit von Ofleiden unweit	
Homberg an der Ohm	83
(<i>Korschelt-Börner</i>): <i>Koenenia mirabilis</i>	85
<i>Meisenheimer</i> : Ueber die Entwicklung von Herz, Niere und Genital-	
organen bei <i>Cyclas</i> , im Verhältniss zu den übrigen Mollusken	86
<i>Loewi</i> : Zur Kenntniss des Nucleinstoffwechsels	89
<i>Kossel und Kutscher</i> : Ueber die Eiweissstoffe	92
<i>Kossel und Ascoli</i> : Ueber ein neues Spaltungsprodukt des Hefen-	
nucleins	95
<i>v. Dalwigk</i> : Unendliche Reihen rationaler Partialbrüche	97
<i>Kossel</i> : Demonstration eines Apparates	98
<i>Kutscher</i> : Isolirung der Glutaminsäure und Asparaginsäure aus den	
Spaltungsprodukten der Eiweisskörper	99
<i>Gadamer</i> : Ueber Senfölgabende Glycoside	101
<i>Schaum</i> : Die Structur der Negative	108
<i>Romberg (Heineke)</i> : Die Todesursachen des Perforationsperitonitis .	115
<i>R. Schenck</i> : Die Dynamik der Krystalle	120
<i>Rathke</i> : Wachsende Eiskrystalle	132
<i>Ribbert</i> : Ueber das Absterben der Gewebe und das Schicksal todter	
Theile	123
<i>Schwantke</i> : Ueber einen basaltischen Auswürfling mit gediegenem Eisen	
aus dem Tuff des hohen Berges bei Oberofleiden an der Ohm	125
Vorgelegte Schriften: S. 12, 38, 66, 81, 83, 114, 127.	

Verzeichniss der Mitglieder^{*)}

(am Schluss des Jahres 1900).

Ehrenmitglieder.

<i>a. Kölliker, Albert</i> , Dr. med., o. Prof. der Anatomie, wirkl. Geheimrath, Würzburg	6. 7. 97.
<i>Virchow, Rudolf</i> , Dr. med., o. Prof. der pathologischen Anatomie, Geh. Med.-Rath, Berlin	1. 11. 97.
<i>Retzius, Gustav</i> , Prof. emerit. der Anatomie, Stockholm	18. 1. 99.

Einheimische Mitglieder.

A. Ordentliche.

<i>Ahlfeld, Friedrich</i> , Dr. med., o. Prof. der Gynäkologie, Geh. Med.-Rath	11. 7. 83.
<i>Bach, Ludwig</i> , Dr. med., o. Prof. der Ophthalmologie	28. 11. 00.
<i>Bauer, Max</i> , Dr. phil., o. Prof. d. Mineralogie, Geh. Reg.-Rath	11. 3. 85.
<i>Behring, Emil</i> , Dr. med., o. Prof. d. Hygiene, Geh. Med.-Rath	15. 5. 95.
<i>Brauer, August</i> , Dr. phil., Priv.-Doc. d. Zoologie, Prof.	17. 5. 99. (17. 6. 96.)
<i>Disse, Joseph</i> , Dr. med., a.o. Prof. d. Anatomie u. Prosector	13. 11. 95.
<i>Feussner, Wilhelm</i> , Dr. phil., a.o. Prof. der Physik	14. 7. 81. (10. 6. 69.)
<i>Fischer, Theobald</i> , Dr. phil., o. Prof. der Geographie	28. 11. 83.
<i>Gasser, Emil</i> , Dr. med., o. Prof. d. Anatomie, Geh. Med.-Rath	27. 1. 88. (16. 7. 74.)
<i>Hess, Edmund</i> , Dr. phil., o. Prof. der Mathematik	21. 6. 78. (16. 7. 74.)
<i>v. Heusinger, Otto</i> , Dr. med., a.o. Prof. der gerichtl. Med., Geh. San.-Rath	16. 5. 86. (25. 4. 60.)
<i>Kayser, Emanuel</i> , Dr. phil., o. Prof. der Geologie	13. 1. 86.
<i>Kohl, Friedrich Georg</i> , Dr. phil., a.o. Prof. der Botanik	13. 11. 95. (6. 8. 84.)
<i>Korschelt, Eugen</i> , Dr. phil., o. Prof. der Zoologie	26. 7. 93.
<i>Kossel, Albrecht</i> , Dr. med., o. Prof. der Physiologie	15. 5. 95.
<i>Küster, Ernst</i> , Dr. med. o. Prof. d. Chirurgie, Geh. Med.-Rath	4. 11. 91.

^{*)} Die Daten bedeuten den Tag der Ernennung, die in Parenthese gesetzten Daten den Tag der Ernennung zum ausserordentlichen Mitglied.

VI

<i>Lahs, Heinrich</i> , Dr. med., a.o. Prof. der Gynäkologie . . .	13. 1. 75.
	(16. 2. 70.)
<i>Mannkopff, Emil</i> , Dr. med., o. Prof. d. inn. Med., Geh. Med.-Rath	8. 5. 67.
<i>Meyer, Hans</i> , Dr. med., o. Prof. der Pharmakologie . . .	11. 3. 85.
<i>Meyer, Arthur</i> , Dr. phil., o. Prof. der Botanik	4. 11. 91.
<i>Melde, Franz</i> , Dr. phil., o. Prof. der Physik, Geh. Reg.-Rath	4. 5. 64.
	(12. 6. 60.)
<i>Ostmann, Paul</i> , Dr. med., a.o. Prof. der Otologie	13. 11. 95.
<i>Rathke, Bernhard</i> , Dr. phil., o. Hon.-Prof. der Chemie . .	14. 3. 84.
<i>Ribbert, Hugo</i> , Dr. med., o. Prof. der pathol. Anatomie . .	20. 6. 00.
<i>Romberg, Ernst</i> , Dr. med., a.o. Prof., Dir. der med. Polikl.	20. 6. 00.
<i>Schmidt, Ernst</i> , Dr. phil., o. Prof. der pharmaceut. Chemie, Geh. Reg.-Rath	11. 3. 85.
<i>Schottky, Friedrich</i> , Dr. phil., o. Prof. der Mathematik . .	15. 5. 95.
<i>Tuczek, Franz</i> , Dr. med., o. Prof. der Psychiatrie, Med.-Rath	15. 5. 95.
	(14. 3. 90.)
<i>Zincke, Theodor</i> , Dr. phil., o. Prof. d. Chemie, Geh. Reg.-Rath.	13. 1. 76.

B) Ausserordentliche.

<i>Bonhoff, Heinrich</i> , Dr. med., a.o. Prof. der Hygiene . . .	8. 11. 99.
<i>Buchholz, Albert</i> , Dr. med., Priv.-Doc. der Psychiatrie . .	8. 12. 97.
<i>v. Dalwigk, Friedrich</i> , Dr. phil., Privatdoc. für Mathematik	9. 5. 00.
<i>Diedrich, Theodor</i> , Dr. phil., Prof., Director d. landwirthschaftl. Versuchsstation	15. 1. 96.
<i>v. Drach, Alhard</i> , Dr. phil., a.o. Prof. der Mathematik . .	11. 7. 66.
<i>Enderlen, Eugen</i> , Dr. med., a.o. Prof. der Chirurgie . . .	10. 2. 97.
<i>Fritsch, Paul</i> , Dr. phil., Prof., Priv.-Doc. der Chemie, Prof.	24. 4. 96.
<i>Gadamer, Johannes</i> , Dr. phil., Priv.-Doc. d. pharmaceut. Chemie	9. 3. 98.
<i>Kühne, Fritz</i> , Privat-Docent der Gynäkologie	8. 2. 99.
<i>Kutscher, Friedrich</i> , Dr. med., Assistent am physiol. Institut	16. 2. 98.
<i>Lotz, Heinrich</i> , Dr. phil.	13. 12. 99.
<i>Meisenheimer, Johannes</i> , Dr. phil., Priv.-Doc. der Zoologie	16. 2. 98.
<i>Noll, Alfred</i> , Dr. med.	16. 2. 98.
<i>Ochsenius, Carl</i> , Dr. phil., Consul a. D.	28. 6. 77.
<i>Pfenge, Enriquez</i> , Dr. med., Assistent am physiol. Institut	17. 5. 99.
<i>Ransom, Frederick</i> , Dr. med.	7. 3. 99.
<i>Ruppel, Wilhelm</i> , Dr. phil., Abtheilungsvorst. am hyg. Inst.	18. 7. 00.
<i>Saxer, Franz</i> , Dr. med., Priv.-Doc. der path. Anat. . . .	17. 11. 96.
<i>Schaum, Carl</i> , Dr. phil., Priv.-Doc. der Chemie	11. 8. 97.
<i>Schenck, Rudolf</i> , Dr. phil., Priv.-Doc. d. Chemie Abtheilungsvorst. am chemischen Institut	11. 8. 97.
<i>v. Schmidt, Carl</i> , Dr. phil., Prof. em. der Chemie	21. 3. 79.
<i>Schwantke, Arthur</i> , Dr. phil., Assistent am mineral. Institut	21. 6. 99.

VII

<i>Tönniges, Carl</i> , Dr. phil. Assistent am zoolog. Institut . . .	16. 2. 98.
<i>Weidenmüller, Carl</i> , Dr. phil., Gymn.-Oberlehrer, Prof. . .	14. 4. 82.
<i>Zumstein, Jacob</i> , Dr. med., Priv.-Doc. der Anatomie, Prof., 2. Prosector	16. 2. 98.

Auswärtige Mitglieder.*)

<i>Axenfeld, Theodor</i> , Dr. med., o. Prof. d. Ophthalmologie, Rostock	(15. 1. 96.)
<i>Barth, Adolf</i> , Dr. med., a.o. Prof. der Otologie Leipzig . . .	4. 11. 91.
<i>Barth, Arthur</i> , Dr. med., Prof., Oberarzt, Danzig	(13. 11. 95.)
<i>Böhm, Rudolf</i> , Dr. med., o. Prof. der Pharmakologie, Geh. Med.-Rath, Leipzig	20. 5. 81.
<i>Braun, Ferdinand</i> , Dr. phil., o. Prof. der Physik, Strassburg	(8. 2. 78.)
<i>Braun, Heinrich</i> , Dr. med., o. Prof. der Chirurgie, Geh. Med.- Rath, Göttingen	14. 3. 90.
<i>Brauns, Reinhard</i> , Dr. phil., o. Prof. der Mineralogie, Giessen	(27. 1. 88.)
<i>v. Büngner, Otto</i> , Dr. med., Prof., Dir. d. Landkrankenh. Hanau	(1. 5. 92.)
<i>Busz, Carl</i> , Dr. phil., a.o. Prof. der Mineralogie, Münster .	(19. 6. 95.)
<i>Debus, Dr. phil.</i> , Prof. Cassel	(16. 11. 59.)
<i>Dohrn, Rudolf</i> , Dr. med., o. Prof. der Gynäkologie, Geh. Med.-Rath, Dresden	10. 2. 61.
<i>Falk, Ferdinand, August</i> , Dr. med., a.o. Prof. der Pharma- kologie, Kiel	28. 4. 75.
<i>Fraenkel, Karl</i> , Dr. med., o. Prof. der Hygiene, Halle . . .	4. 11. 91.
<i>Fürstenau, Eduard</i> , Dr. phil., Stadtschulrath, Berlin . . .	(25. 4. 60.)
<i>Goebel, Karl</i> , Dr. phil., o. Prof. der Botanik, München . .	27. 1. 88.
<i>Heine, Leopold</i> , Priv.-Doc. der Ophthalmologie, Breslau . .	(18. 1. 99.)
<i>Hermann, Theodor</i> , Dr. phil., Hanau	(2. 7. 68.)
<i>Hess, Karl</i> , Dr. med., o. Prof. der Ophthalmol., Würzburg	11. 11. 96.
<i>v. Koenen, Adolf</i> , Dr. phil., o. Prof. der Geologie, Geh. Reg.- Rath, Göttingen	28. 4. 75.
<i>Krehl, Ludolf</i> , Dr. med., o. Prof. d. inn. Med., Greifswald	8. 11. 99.
<i>Küster Fr. Wilh.</i> , Dr. phil., o. Prof. d. Chemie, Klausthal .	(26. 7. 93.)
<i>Mannel, Gottfried</i> , Dr. med., Geh. Hofrath, Arolsen . . .	(31. 8. 64.)
<i>Marchand, Felix</i> , Dr. med., o. Prof. der path. Anat., Geh. Med.-Rath, Leipzig	28. 11. 83.
<i>Müller, Friedrich</i> , Dr. med., o. Prof. d. inn. Medicin, Basel	26. 7. 93.
<i>Nebelthau, Eberhard</i> , Dr. med., a.o. Prof. d. inn. Med., Halle a. S.	16. 4. 98. (15. 5. 95.)
<i>Pfannkuch, Wilh.</i> , Dr. med., pract. Arzt, Cassel	(17. 1. 72.)
<i>Pfeffer, Wilhelm</i> , Dr. phil., o. Prof. der Botanik, Geh. Hof- rath, Leipzig	(27. 4. 71.)

*) Die mit einem * bezeichneten sind correspondirende, die sämtlichen übrigen ehemalige einheimische Mitglieder.

VIII

<i>*Philippi, Dr. phil., Santiago (Chile.)</i>	4. 11. 41.
<i>Plate, Ludwig, Dr. phil., Priv.-Doc. der Zoologie, Prof., Berlin</i>	(27. 1. 88.)
<i>*Rehn, Joh. Heinrich, Dr. med. San.-Rath, Frankfurt. a. M.</i>	26. 11. 80.
<i>Rein, Johannes, Dr. phil., o. Prof. der Geographie, Geh. Reg.-Rath, Bonn</i>	1. 12. 76.
<i>Rost, Eugen, Dr. med., Hilfsarbeiter am Reichs-Gesundheitsamt, Berlin</i>	(16. 2. 98.)
<i>Rubner, Max, Dr. med., o. Prof. der Hygiene, Geh. Med.-Rath, Berlin</i>	12. 1. 86.
<i>Rumpf, Theodor, Dr. med., Prof., Dir. des neuen allgemeinen Krankenhauses, Hamburg-Eppendorf</i>	14. 3. 90.
<i>Schell, Wilhelm, Dr. phil., Prof. der Mathematik, Geh. Hofrath, Karlsruhe</i>	29. 4. 57. (13. 2. 56.)
<i>Schmidt-Rimpler, Hermann, Dr. med., o. Prof. der Ophthalmologie, Geh. Med.-Rath, Göttingen (Halle)</i>	15. 11. 71.
<i>Schneider, Justus, Dr. med., San.-Rath, Dir. des Landkrankenhaus Fulda</i>	(12. 12. 66.)
<i>Schottelius, Max, Dr. med., o. Prof. d. Hyg., Hofrath, Freiburg i. B.</i>	(11. 7. 79.)
<i>Siemens, Friedrich, Dr. med., Geh. Med.-Rath, Dir. d. Landesirrenanstalt Lauenburg i. P.</i>	(19. 12. 79.)
<i>v. Sobieransky, Wenzel, Dr. med., o. Prof. der Pharmakologie, Lemberg</i>	(19. 6. 95.)
<i>*Speck, Carl, Dr. med., San.-Rath, Kreis-Physik., Dillenburg</i>	5. 4. 71.
<i>Strahl, Hans, Dr. med., o. Prof. der Anatomie, Giessen</i>	27. 1. 88. (14. 12. 80.)
<i>Study, Eduard, Dr. phil., o. Prof. d. Mathematik, Greifswald</i>	(14. 3. 90.)
<i>Uthoff, Wilhelm, Dr. med., o. Prof. der Ophthalmologie, Geh. Med.-Rath, Breslau</i>	4. 21. 91.
<i>Weber, Heinrich, Dr. phil., o. Prof. der Mathematik, Geh. Reg.-Rath, Strassburg</i>	11. 3. 85.
<i>*Weiss, Otto, Salinen-Director, Geh. Bergrath, Nauheim</i>	(16. 5. 72.)
<i>Wernicke, Erich, Dr. med., Prof., Director des hygien. Instituts in Posen</i>	16. 2. 98. (10. 2. 97.)
<i>Wüllner, Adolf, Dr. phil., o. Prof. der Physik, Geh. Reg.-Rath, Aachen</i>	(8. 12. 58.)

Der Vorstand.

A. Kossel, Vorsitzender.

O. v. Heusinger, Ständiger Schriftführer.

Engerer Ausschuss.

M. Bauer, Stellvertretender Vorsitzender, E. Hess, E. Kayser.

Sitzungsberichte

der Gesellschaft zur Beförderung der gesamten Naturwissenschaften

zu

M a r b u r g.

N^{ro.} 1 Januar 1900

In der wissenschaftlichen Sitzung vom 31. Januar sprach Herr Kohl über:

Reizerscheinungen im Pflanzenreiche.

Ausgehend von der Definition und Charakteristik der Auslösungsvorgänge im Allgemeinen, wandte sich V. den diesen subordinirten Reizvorgängen zu, indem er zunächst einen Ueberblick gab über die bis jetzt bekannt gewordenen typischen Gruppen von Reizerscheinungen mit von Aussen ausgehendem Anstosse, Gruppen, bei deren Aufstellung und Umgrenzung scharf zu trennen ist Reizursache und Form der Reizreaction. Sowohl beim einzelligen als beim vielzelligen Organismus vollziehen sich Reizaufnahme und Reizreaction im selben Protoplasten, nur wird bei letzteren durch die Zellkammerung der Protoplast mehr und mehr gegliedert und die einzelnen Regionen dem Princip der Arbeitstheilung untergeordnet. Das führt unter Anderem zur Localisirung der Reizaufnahme und Reizreaction und bei räumlicher Entfernung beider zur Reiztransmission. Als Beispiele streng localisirter Reizperception stehen die Wurzeln, Coleoptilen der Gräser, Gelenkpflanzenstengel im Vordergrund. Ist bei localisirter Reizperception nur einerlei Aesthesie vorhanden, so kann man von Sinnesorganen analog denen der Thiere sprechen. (Fühlbüpfel der Ranken, Fühlpapillen von Staubblattfilamenten, Fühlborsten einiger Insectivoren); diese vegetabilischen Tastorgane werden an der Hand von Zeichnungen und Praeparaten näher beschrieben und zahlen-gemäss ihre Reizempfindlichkeit illustriert. Im Anschluss daran erläutert V. die Begriffe Praesentationszeit, Reactionszeit und

Impressionszeit und die Methoden ihrer Bestimmung, sowie das Princip des Klinostaten und die Arten seiner Verwendung zur Constatirung und Messung autotropischer Bewegungen etc. Handelt es sich bei der Verwendung des Klinostaten um langsame Drehung des Versuchsobjectes, so wird in den schnellen Drehungen an der Centrifugalmaschine ein bequemes Mittel geboten, die Abhängigkeitsverhältnisse zwischen Grösse der Reizkraft und der Erregung (Excitation des sensiblen Apparates) festzustellen. Die Einwirkung äusserer Faktoren: Temperatur, chemische Agentien, Wundshock etc.) wird durch Curven klargelegt. Die früher postulirten Beziehungen zwischen Orthotropismus und radiärer Structur, Plagiotropismus und dorsiventralem Bau werden als zum Theil unhaltbar bezeichnet und die verschiedenen Arten der Anisotropie (organische, temporäre, dynamische, traumatische) zum grössten Theil als Erscheinungen von Reizstimmung resp. Reizumstimmung enthüllt. Durch verschiedenartige Anwendung des Gelatinetuschprismas, welches V. vorzeigte, lassen sich die verschiedenartigen Relationen zwischen Phototonus und Lage des Optimums phototactischer und phototropischer Organismen exact vor Augen führen und bei geeigneter Versuchsanstellung beiderseits vom Optimum negativ und positiv phototropische (tactische) Krümmungen (Bewegungen) hervorrufen. Diese Methode gestattet gleichzeitig das nicht principiell nothwendige Zusammenfallen von Lichtstrahlrichtung und Richtung der photoaesthetischen Reizbewegungen resp. Reizkrümmungen, das man bisher annahm, deutlich zu machen. Besonders ausführlich berichtete hierauf V. über von ihm angestellte Krümmungsbewegungen von Gelenkpflanzen-Stengeln und die an diesen obwaltenden merkwürdigen Beziehungen zwischen Reizperception, Reiztransmission und Reaction. Diese Untersuchungen sind in extenso in der Botanischen Zeitung 1900. Heft 1 publicirt. Pilze und Algen schliessen sich, wie V. an mehreren Beispielen erläutert, den höheren Pflanzen in Bezug auf die paratonischen Reizerscheinungen eng an. Als einen interessanten, bisher noch nicht aufgeklärten Fall von Lichtwirkung streifte V. die von Arthur Meyer entdeckte Beeinflussung der Sporenaussaat der Hutpilze durch einseitig auffallendes Licht.

Sitzungsberichte

der Gesellschaft zur Beförderung der gesammten Naturwissenschaften

zu

M a r b u r g.

N^{ro.} 2

Februar

1900

In der wissenschaftlichen Sitzung vom 28. Februar 1900 berichtet Herr Korschelt über die von Herrn stud. Börner angestellten Untersuchungen über:

Hämosporidien einiger Reptilien.

Im Blut von *Crocodilus frontatus* und *Alligator mississippiensis* wurde eine *Hämogregarina* gefunden, welche sich von der bei Schildkröten vorkommenden *H. stepanowi* durch ihre Grösse und Structurverhältnisse wesentlich unterscheidet, so dass sie für eine neue Art (*H. crocodilorum*) erklärt werden muss. Ebenso kommt in einer grossen *Platemys* eine von den bisherigen Arten abweichende Form vor, die als *H. Labbei* bezeichnet werden soll. Beide Arten werden durch Zeichnungen sowie durch Demonstration einer Anzahl Präparate erläutert und zu *H. stepanowi* in Vergleich gesetzt. Die genaue Beschreibung der neuen Arten wird von Herrn Börner mit Abbildungen demnächst in der Zeitschrift für wissenschaftliche Zoologie gegeben werden.

In derselben Sitzung vom 28. Februar 1900 sprach Herr Johannes Meisenheimer über:

**Entwicklungsgeschichte von Dreissensia polymorpha Pall.
II. Teil.**

In einer früheren Mitteilung hatte ich die Entwicklung von *Dreissensia polymorpha* vom ungefurchten Ei bis zur Ausbildung der Larvenform verfolgt und auseinandergesetzt, in der sich unmittelbar anschliessenden zweiten Periode, der Larvenperiode, werden wir die bereits angelegten Organe zur vollen Entfaltung gelangen und zugleich neue, der Organisation der erwachsenen Muschel angehörige sich aus indifferentem Zellgewebe herausbilden sehen. Diese zweite Periode schliesst ab mit dem Festheften der freischwimmenden Larve; da aber in der Organbildung dieser Moment keine einschneidende Bedeutung hat, so werde ich auch Vorgänge, die sich erst nach dem Festheften abspielen, unmittelbar bei jedem Organe an die Entwicklungsvorgänge innerhalb der eigentlichen Larvenperiode anschliessen müssen.

Die junge Larve besitzt einen seitlich comprimierten, von den beiden Schalenklappen umschlossenen Körper, an dessen Vorderende das Velum als ein ringförmiger Wulst sich vorbuchtet. Ein Darmkanal, bestehend aus Vorder-, Mittel- und Enddarm ist bereits wohl ausgebildet. Von neuen Organen treten nun zunächst Urniere und Muskelsystem auf, letzteres bestehend aus den larvalen Muskeln und dem vorderen Schliessmuskel. Sehr charakteristisch für die Larve sind ferner Pigmentflecke, die sich namentlich auf dem Velum und an der Ventralseite der Larve finden. Das nächste zur Entfaltung gelangende Organsystem enthält in sich Herz, Niere und Genitalorgane, es folgen sodann die einzelnen Ganglienpaare nebst Otolithenblase, endlich der hintere Schliessmuskel und der Retractormuskel des Fusses. Ich werde alle diese Organsysteme weiter unten im einzelnen behandeln, vorher will ich nur kurz auf einige äussere Gestaltsveränderungen eingehen, die im wesentlichen die Ausbildung von Fuss und Mantel zur Folge haben. Diese Veränderungen be-

treffen hauptsächlich die Ventralseite, indem eine Anzahl von Falten aus der Mitte derselben ein keilförmiges Gebilde, eben den Fuss, gleichsam herausschälen. Zunächst treten zwei sehr tief einschneidende Seitenfalten auf, die nichts anderes darstellen als die Mantelfalten, es folgt sodann eine hintere Fussfalte, die den Fuss gegen die hintere Körperregion abgrenzt, und endlich eine vordere Fussfalte, hinter dem Munde sich einsenkend. Nunmehr beginnt der Fuss auch selbstständig auszuwachsen und stellt sodann ein ausserordentlich bewegliches und contractiles Gebilde dar. In den Mantelfalten treten als eine Reihe hintereinander gelegener Papillen die Kiemen auf.

Die Larve hat mit diesem Stadium ihren Höhepunkt bereits überschritten, die Organe der erwachsenen Muschel sind fast alle bereits angelegt. sie drängen die Larvenorgane mehr und mehr zurück und bringen sie endlich zum Verfall. Zunächst erliegen demselben Urniere und larvales Muskelsystem, sodann aber das Velum, und sein Verlust ist von so tiefgreifendem Einflusse auf die ganze äussere Gestalt, dass ich hier etwas darauf eingehen muss. Bis jetzt nahm das Velum als ein mächtiges Gebilde die ganze Vorderseite der Larve ein, nunmehr schrumpft es plötzlich zusammen, sodass der ganze weite Raum, den es vorher inne hat, auf ein Minimum reducirt wird, und Mund und vorderer Schliessmuskel, die ursprünglich weit von einander entfernt lagen, nun nahe an einander gerückt sind, wie es ja der Organisation der erwachsenen Muschel zukommt. Die Veränderungen am übrigen Körper sind nur gering, die Schale stellte bisher ein ziemlich gleichmässig gerundetes Plättchen dar, durch verschiednen starkes Auswachsen nach verschiedenen Richtungen wird die typische Gestalt der Dreissensia-Schale erreicht.

Nach dieser kurzen allgemeinen Schilderung wollen wir nun die einzelnen Organsysteme etwas genauer betrachten und beginnen mit den larvalen Organen.

I. Velum. Das Velum, welches sich, wie ich früher schon erwähnte, aus Zellen der I. Ectodermgeneration anlegte, macht

sich zuerst schärfer bemerkbar durch einen Kranz langer Cilien, die bald eine ganz bestimmte und charakteristische Anordnung zeigen. Von vorn gesehen stellt das Velum ein ovales Gebilde dar, welches seitlich durch die Schalenhälften stark eingeschnürt erscheint und so mit zwei Lappen sich über die Schalenränder vorwulstet. Seiner histologischen Structur nach besteht das Dach des Velums aus sehr stark abgeplatteten Zellen, sein Rand dagegen ist mächtig verdickt, hier liegen die Zellen, welche den Cilienapparat tragen. Dieser zerfällt in zwei besondere Gruppen, von denen die obere aus einem Doppelkranze sehr langer Cilien besteht, während die untere einen breiten Ring kurzer Cilien darstellt. Beide sind durch eine schmale, unbewimperte Zone von einander getrennt. Ein postoraler Wimperkranz hat an dem Aufbau des Velums keinen Anteil.

II. Fuss. Die Bildung des Fusses ist oben bereits eingehend geschildert worden, einen Punkt von besonderer Wichtigkeit muss ich jedoch hier noch nachholen. Im Inneren ist nämlich der Fuss von einem sehr stark ausgebildeten Mesenchym-Muskelgewebe erfüllt, und seine Herkunft ist es, die uns hier interessirt. Bisher leitete man dasselbe von den Urmesodermzellen ab, meine Untersuchungen ergaben mir für dasselbe einen besonderen Bildungsherd. In der Zeit nämlich, wo der Fuss sich äusserlich herauszubilden beginnt, tritt auf seiner unteren Seite vor dem Pedalganglion eine starke Zellwucherung auf, die sich losschnürt, im Inneren auflöst und die Muskel- und Bindegewebelemente des Fusses liefert. Die Kürze dieser Mitteilung verbietet mir zunächst ein weiteres Eingehen auf die Wichtigkeit dieser Thatsache.

III. Urniere. Dieses bisher bei der Muschellarve noch recht unvollkommen bekannte Organ besitzt einen ausserordentlich einfachen Bau. Es besteht im wesentlichen aus einem dickwandigen Rohr, welches von einer einzigen Zelle gebildet wird, nach aussen mit dem Ectoderm verschmilzt und durch einen feinen Porus ausmündet, nach innen dagegen in ein zarten,

membranösen Kanal übergeht. Dieser Kanal wird gegen die Leibeshöhle durch eine Wimperzelle abgeschlossen, die eine mächtige Wimperflamme in das Rohr entsendet. Seiner Entstehung nach ist das ganze Gebilde ectodermaler Natur.

IV. Muskelsystem. Innerhalb des Muskelsystemes haben wir zwei Gruppen zu unterscheiden, ein larvales und ein beständiges. Das larvale Muskelsystem besteht constant aus drei Muskelzügen jederseits, die alle nahezu von der gleichen Stelle am hinteren Schalenrande entspringen und von hier stark divergirend nach vorn verlaufen. Wir unterscheiden sie als dorsalen, medialen und ventralen Retractormuskel. Die beiden ersteren sind die weitaus mächtigsten, sie ziehen zum Velum, verästeln sich stark in demselben und dienen dazu, dasselbe in die Schale zurückzuziehen. Der ventrale Retractormuskel ist klein und deshalb bisher stets übersehen worden, er hat die um den After gelegenen Körperteile in die Schale einzuziehen. Entwicklungsgeschichtlich stellen sie umgewandelte Mesenchymzellen dar, ebenso wie die übrigen Muskelsysteme. Von diesen tritt der vordere Schliessmuskel zuerst und zwar fast gleichzeitig mit dem larvalen Retractormuskel auf. Er liegt an der Dorsal-seite hinter dem Velum und zieht von einer Schalenhälfte zur anderen. Viel später erst tritt auch der hintere Schliessmuskel auf, und endlich der Retractormuskel des Fusses, der vom hinteren Schalenrand aus schräg nach vorn und unten in den Fuss hinein zieht.

V. Nervensystem. Die Lamellibranchiaten besitzen typisch drei Ganglienpaare, Cerebral-, Pedal- Visceralganglien. Das Cerebralganglion ist seiner Genese nach aufs engste verknüpft mit der Scheitelplatte, wir müssen deshalb hier etwas näher auf dieselbe eingehen. Sie liegt genau in der mittleren Längslinie des Velums, etwas nach vorn verschoben. Der zunächst ganz undifferenzierte Zellhaufen, der einen Wimperbüschel trägt, erleidet alsbald in seinem Inneren weitgehende Sonderungen. Zunächst vollzieht sich an der Oberfläche eine Sonderung in

eine hintere, das Wimperbüschel tragende Partie und in eine vordere, die sich bald zur einer tiefen Grube einsenkt. Am Grunde dieser Einsenkung geht nun eine Spaltung der Zellelemente vor sich, die zur Loslösung eines besonderen Zellcomplexes führt, eben des Cerebralganglions. Die Scheitelgrube selbst scheint später hervorragenden Anteil an der Bildung der Mundlappen zu nehmen, der cilientragende hintere Teil dagegen erliegt einer völligen Auflösung.

Durchaus anderer Art sind die Vorgänge, welche zur Ausbildung des Pedalganglions führen. Dieses entsteht in Form zweier symmetrisch gelegener Verdickungen an der Ventralseite des Fusses, und dicht hinter ihm das Visceralganglion, ebenfalls aus einer Ectodermwucherung. Beide Ganglienpaare liegen also ursprünglich nahe bei einander, erst die einschneidende hintere Fussfurche scheidet sie. Erwähnen will ich endlich noch, dass bei der Ausbildung der Längscommissuren, die zum mindestens teilweise sich selbstständig vom Ectoderm loslösen, noch deutlich ein Pleuralganglion nachzuweisen ist.

VI. Sinnesorgane. Da Augen oder augenähnliche Organe bei *Dreissensia* völlig fehlen, so haben wir hier nur noch die Otolithenblase zu betrachten. Dieselbe entsteht aus einer Ectodermeinstülpung, erzeugt im Inneren einen grossen Otolithen und lagert sich allmählich tief in das Pedalganglion ein.

VII. Darmkanal. Es bleibt uns hier nur noch die weitere Entfaltung der drei Hauptabschnitte zu betrachten übrig. Der Vorderdarm erleidet die geringsten Veränderungen, er bildet ein einfaches Rohr, welches ganz von mächtigen Cilien ausgefüllt ist. Sehr stark sind dagegen die Umwandlungen, welche der mittlere Abschnitt durchzumachen hat. Derselbe zerfällt zunächst in zwei Hauptabschnitte, in den vorzugsweise verdauenden Teil (Magen, Leber, Krystallstielblindsack) und in den Dünndarm, der mit dem Proctodäum zur Bildung des Enddarms verschmilzt. Magen und Leber sind entwicklungsge- schichtlich sehr enge mit einander verknüpft. Schon auf dem

Stadium der Gastrula beobachtete man in dem vorderen Teil der Mitteldarmanlage einzelne grössere, heller gefärbte Kerne, sie verschieben sich allmählich zur Seite und bilden hier zwei kleine Ausbuchtungen, die sich bald zu den Lebersäckchen entfalten. Auch histologisch tritt sodann eine Scheidung ein. Das Magenepithel ist stark abgeflacht und von einer dicken Cuticula bedeckt, die Leberzellen nehmen den typischen, schaumigen Bau an. Ein Abschnitt des Magens verdient noch unser besonderes Interesse. Schon frühzeitig bemerkt man nämlich auf der rechten, hinteren Seite desselben eine kleine Ausbuchtung, die sich schnell vertieft und mit einem eigentümlichen Flimmersaume bedeckt. Es ist dies der Krystallstielblindsack, so genannt nach seinem Ausscheidungsprodukte, dem für viele Muscheln charakteristischen Krystallstiel. Der Dünndarm selbst stellt ein einfaches Rohr dar, er ist im Inneren von starken Cilien erfüllt und bildet eine Anzahl charakteristischer Schlingen, die bei der Umwandlung der Larve eine beträchtliche Umordnung erleiden. Der Enddarm besitzt ganz dieselbe Structur wie der Dünndarm, an seiner Ausmündungsstelle liegen in der Regel einige stark vacuolisirte Zellen.

VIII. Gemeinsame Anlage von Herz, Niere und Genitalorganen. Es ist der letzte Organcomplex, der uns zu betrachten übrig bleibt. Wenn auch schon sehr früh sich anlegend, so ist er doch derjenige Complex, der erst am spätesten zur völligen Entfaltung gelangt. Auf dem Stadium etwa, wo das Proctodäum gerade erkennbar wird, bemerkt man hinter demselben eine kleine Zellwucherung, die sich vergrössert, abschnürt und so einen kleinen, rundlichen Zellenhaufen hinter dem After bildet. Nach einer kleinen Ruhepause beginnen sich Differenzirungen innerhalb desselben bemerkbar zu machen, indem der ursprünglich in der Medianebene gelegene unpaare Zellhaufen sich beiderseits nach den Seiten des Darmes hin verschiebt. Die äusseren Zipfel dieses so gebildeten Zellstranges beginnen sich epithelartig zu einem kleinen Bläschen, der späteren

Niere, zusammenzuschliessen. Der Rest der zu der ursprünglichen Anlage gehörigen Zellen spannt sich zwischen den beiden Nierenbläschen in unregelmässigen Strängen aus, nimmt aber bald ebenfalls eine gewisse Ordnung ein und bildet einen Zellenring um den Darm. Diese Bildung enthält in sich die Anlage von Herz, Pericard und Genitalorganen.

IX. Herz und Pericard. Von den letztgenannten Organen entfaltet sich zunächst Herz und Pericard. Der einfache Zellenring umschliesst zwischen sich und dem Darne eine Höhlung, die spätere Herzhöhle. Durch Spaltung wird der Ring zu einem Doppelring, der äussere bildet die Pericardwand, der innere die Herzwand, beide schliessen zwischen sich die Pericardhöhle ein. So einfach dieser Process zu beschreiben ist, so ausserordentlich mühselig ist er zu beobachten, da nur wenige Zellen diesen ganzen Complex, der nun bereits sämtliche Haupttheile des späteren Organes ausgebildet enthält, zusammensetzen. Die weiteren Vorgänge sind leichter zu verfolgen, der innere Herzring differenzirt sich durch eine leichte Einschnürung in Kammer und Vorhöfe, an der Grenze zwischen beiden treten später die Klappen als Vorwulstungen der Herzwand auf. Erwähnen will ich endlich noch das Auftreten grösserer Zellen am Ende der Entwicklung, dieselben nehmen bald einen drüsigen Bau an und stellen die Pericardialdrüsenzellen dar.

X. Niere. Wir kehren nun zur Niere zurück, die wir als ein kleines, jederseits vom Darne gelegenes Bläschen verliessen. Dasselbe streckt sich zunächst in die Länge und erfährt dann eine bogenartige Krümmung, deren eines Ende sich zum Renopericardialgange entwickelt, während das andere den Ausführgang bildet. Die zwischen ihnen liegenden Teile stellen das Drüsengewebe der Niere dar. Am einfachsten ist die Bildung des Renopericardialganges, der eine Zipfel wächst einfach sehr lang aus und mündet an der Hinterseite des Pericards in dasselbe ein, in seinem Inneren zugleich eine mächtige Wimperflamme entwickelnd. Das vordere Ende, welches zum Ausführgange

wird, hat complicirtere Umwandlungen durchzumachen. Zunächst erweitert es sich in seinem vorderen Teile und wächst nach der Medianebene unterhalb des Darmes hin, bis sich die entsprechenden Teile von beiden Seiten berühren. Es erfolgt sodann eine Verschmelzung. Inzwischen hat sich auch der Renopericardialgang ausgebildet und schiebt sich unterhalb dieser Vereinigungsstelle ebenfalls nach vorn. Die unmittelbar über den Renopericardialgängen gelegenen Parteen der Niere ziehen sich nun jederseits zipfelförmig aus und verschmelzen endlich mit der Mantelhöhle, von wo ihnen ein kurzer ectodermaler Gang entgegenkommt. Hiermit ist im wesentlichen der Bau der fertig ausgebildeten Niere erreicht.

XI. Geschlechtsorgane. Den letzten sich aus der gemeinsamen Anlage entfaltenden Organcomplex stellen die Geschlechtsorgane dar. Sie treten erst spät auf, nachdem die Larve sich bereits festgesetzt hat, und Herz, Pericard und Niere bereits wohl differencirt sind. Ihre Differenzirung wird dadurch eingeleitet, dass in der hinteren Pericardialwand einzelne Kerne auftreten, die einen hellen, bläschenförmigen Bau nebst mächtigem Nucleolus besitzen, und sich so scharf von den kleinen Kernen der Pericardialzellen unterscheiden. Diese Zellen lösen sich bald mit ihren Kernen völlig vom Pericard los und bilden nunmehr ein gesondertes Zellhäufchen, welches unterhalb des Pericards in die Medianebene zu liegen kommt. Ob noch ein besonderer Ausführungsgang von aussen her hinzutritt, vermag ich nicht mit Sicherheit zu sagen, da meine ältesten Stadien noch nichts von demselben aufwiesen, sehr lang könnte er jedenfalls nicht sein, da das Genitalsäckchen an beiden Enden bis nahe an die Mantelhöhle heranreicht, genau da, wohin der spätere Ausführungsgang zu liegen kommt.

Aufgelegte Schriften:

- Leopoldina, Heft XXXV, Nr. 6—12; Heft 36, Nr. 1 u. 3.
Mittheilungen des Vereins für Erdkunde in Halle 1899.
Halle 1899.
- Deutsche botanische Monatsschrift, XVII, 7—12; XVIII, 1 u. 2.
Verhandlungen der k. k. geologischen Reichsanstalt 1899,
Nr. 9 u. 10; 1900, Nr. 1 u. 2.
- Abhandlungen der Senckenbergischen naturforschenden Gesell-
schaft, Bd. XX, Heft 2; Bd. XXI, Heft 4; Bd. XXVI, Heft 1.
Frankfurt a. M. 1899.
- Jahresberichte des naturwissenschaftlichen Vereins in Elberfeld,
Heft 9. Elberfeld 1899.
- Notizblatt des Vereins für Erdkunde in Darmstadt IV. Folge-
heft 19. Darmstadt 1898.
28. Jahresbericht des Vereins für Naturkunde in Linz.
Linz 1899.
23. Jahresbericht der Gewerbeschule in Bistritz. Bistritz 1898.
- Schriften des Vereins zur Verbreitung naturwissenschaftlicher
Kenntnisse in Wien. Bd. XXXIX. Wien 1899.
- Wissenschaftliche Zeitschrift für Xenologie. Nr. 1 u. 2.
Hamburg 1899.
- Zeitschrift für angewandte Mikroskopie. Bd. V, Heft 1.
Weimar 1899.
- Sitzungsberichte der Gesellschaft für Morphologie und Physio-
logie in München. Bd. XV, Heft 1 u. 2. München 1899.
- Verhandlungen des naturhistorisch - medicinischen Vereins in
Heidelberg. N. F. Bd. XI, Heft 2. Heidelberg 1899.
32. Bericht der oberhessischen Gesellschaft für Natur- und Heil-
kunde. Giessen 1897/99.
- Bericht der Wetterauischen Gesellschaft in Hanau für 1895 bis
1899. Hanau 1899.
- Sitzungsberichte der naturforschenden Gesellschaft zu Leipzig.
Jahrg. 24 u. 25. Leipzig 1899.
- Abhandlungen des naturwissenschaftlichen Vereins in Bremen.
Bd. XVI, Heft 2. Bremen 1899.
44. Bericht des Vereins für Naturkunde in Cassel. Cassel 1899.
- Sitzungsberichte und Abhandlungen der „Flora“ in Dresden.
N. F. 3. Jahrgang. Dresden 1899.
- Jahrbücher des nassauischen Vereins für Naturkunde. Jahrg. 52.
Wiesbaden 1899.
- Zeitschrift für Naturwissenschaften, 72, 1—3. Stuttgart 1899.
- Jahresbericht des Vereins für Naturkunde zu Zwickau 1898.
Zwickau 1899.
- Berichte des naturwissenschaftlich - medicinischen Vereins in
Innsbruck. Bd. XXIV. Innsbruck 1899.

Sitzungsberichte

der Gesellschaft zur Beförderung der gesamten Naturwissenschaften

zu

M a r b u r g.

Nr. 3

März

1900

In der Sitzung vom 6. April 1900 berichtete Herr A. Kossel
über die Untersuchungen von A. Kossel und F. Kutscher:

„Ueber die Eiweissstoffe“.

Die aus den Resultaten der Elementaranalyse berechneten Formeln für die Eiweisskörper haben bisher nur wenig Bedeutung für unsere Vorstellungen über ihre Konstitution gewonnen. Um den Bau dieser complicirten chemischen Verbindungen unserm Verständnis nahe zu bringen, ist es erforderlich, nicht Atome, sondern Atomgruppen unserer Betrachtung zu Grunde zu legen. Ein chemisches System der Eiweisskörper kann nur dadurch geschaffen werden, dass wir die gröberen Bruchstücke des Eiweissmoleküls, wie wir sie durch hydrolytische Zersetzung gewinnen, in qualitativer und zugleich in quantitativer Hinsicht erforschen.

Für die systematische Gruppierung ist es eine grosse Erleichterung, wenn man eine dieser Atomgruppen als Grundlage

oder „Kern“ des Moleküls bezeichnen kann, in ähnlicher Weise, wie man den Benzolring als Kern einer grossen Zahl chemischer Verbindungen betrachtet. Als Kern wird man aber nur eine solche Atomgruppe ansehen können, welche allen Eiweisskörpern zukommt und welche überall, wo sie vorkommt, auch einen eiweissähnlichen Character bedingt.

Ich habe in einem früheren Vortrag darauf hingewiesen¹⁾, dass diejenige Gruppe des Eiweissmoleküls, welche die Hexonbasen: Arginin ($C_6H_{14}N_4O_2$), Histidin ($C_6H_9N_3O_2$) und Lysin ($C_6H_{14}N_3O_2$) enthält, diesen Bedingungen entspricht. Diese Gruppe — ich will sie als „Hexonkern“ bezeichnen — ist allen Eiweisskörpern, soweit sie bisher daraufhin untersucht sind, gefunden worden. Andererseits findet sie sich, wie ich früher nachgewiesen habe, auch in den Protaminen, denen wichtige Eigenschaften der Eiweisskörper zukommen.

Die bisher bekannten Protamine sind nicht, wie ich früher annahm, ausschliesslich aus diesen stickstoffhaltigen Gruppen zusammengesetzt, sondern sie enthalten neben den Hexonbasen in geringerer Menge noch andere stickstoffärmere Atomgruppen, z. B. Amidovaleriansäure;²⁾ diese müssen nach obiger Anschauung als an den Hexonkern angefügte „Seitenketten“ betrachtet werden. Der Uebergang der Protamine in die gewöhnlichen Eiweisskörper (im engeren Sinne des Worts) ist nach meiner Auffassung so zu denken, dass diese an den Kern angefügten stickstoffärmeren Seitenketten an Zahl und Mannigfaltigkeit zunehmen.

Um diese Auffassung einer experimentellen Prüfung zu unterziehen, haben Herr Dr. Kutscher und ich eine gemeinschaftliche Untersuchung begonnen, über deren erste Resultate ich heute berichte. Wir haben durch diese Arbeiten vorerst zwei Fragen zu beantworten gesucht.

1) Diese Sitzungsberichte, 14. Juli 1897, Seite 56.

2) Zeitschrift für physiologische Chemie, Bd. 26, S. 588.

Die erste Frage betrifft die Natur des Hexonkerns selbst. Meine früheren Arbeiten haben gezeigt, dass den verschiedenen Protaminen nicht der gleiche Hexonkern zu Grunde liegt. Einige derselben wie Clupein, Salmin, Scombrin liefern von den bisher bekannten Basen nur Arginin¹⁾, das Sturin hingegen ergibt bei der Spaltung neben dem Arginin noch Histidin und Lysin. Giebt es derartige Unterschiede auch bei den complexen Eiweisskörpern, enthalten die diesen Eiweissarten zu Grunde liegenden Hexonkerne immer alle drei Hexonbasen, ebenso wie der Kern des Sturins?

Die zweite Frage, welche unsere Untersuchungen leitete, war die nach der Menge der basischen Spaltungsprodukte. Aus den quantitativen Bestimmungen muss sich zunächst das Molekularverhältnis zwischen den einzelnen Basen, also zwischen den einzelnen Bestandtheilen des Hexonkerns ergeben, ferner aber auch das quantitative Verhältnis zwischen dem Hexonkern im Ganzen und den übrigen Gruppen des Eiweissmoleküls.

Es ist hier nicht der Ort, auf die von uns benutzten Methoden im Einzelnen einzugehen und ich muss in dieser Hinsicht auf eine in der Zeitschrift für physiologische Chemie erscheinende Publication verweisen. Nur das folgende sei erwähnt: Wir führten die Untersuchungen in der Weise aus, dass wir die zu untersuchende Substanz mit Schwefelsäure oder mit Jodwasserstoffsäure, im letzteren Falle bei Gegenwart eines Reductionsmittels längere Zeit erhitzten und dann eine Reihe von Körpern entfernten, welche bei den weiteren Füllungen hinderlich gewesen wären. Schon Mulder hat darauf hingewiesen, dass bei der hydrolytischen Zerlegung der Eiweisskörper durch Mineralsäuren stickstoffhaltige Stoffe huminartigen Charakters entstehn²⁾, später haben solche Stoffe auch

1) Zeitschrift für physiologische Chemie, Bd. 26, S. 588.

2) Mulder, Journal für practische Chemie, 21, S. 343. 1840.

den Namen „Melanoidinsäure“ empfangen. Wir haben diese Stoffe, da sie unsere Niederschläge verunreinigen würden, zunächst entfernt, sodann das bei der Zersetzung entstehende Ammoniak bestimmt, dasselbe ebenfalls entfernt und hierauf nach der früher beschriebenen Methode Arginin und Histidin mit Silbernitrat und Baryt ausgefällt. Ein neues von uns ausgearbeitetes Verfahren ermöglichte die Trennung von Histidin und Arginin. Die Menge dieser Basen wurde mit Hilfe der Stickstoffbestimmung nach Kjeldahl festgestellt, diese Ergebnisse wurden in einzelnen Fällen auf polarimetrischem Wege, häufiger durch Wägung der krystallisirten Salze controllirt. Das Lysin wurde nach früher beschriebener Methode ¹⁾ aus dem Filtrat des Silberniederschlags durch Phosphorwolframsäure gefällt, in das Pikrat übergeführt und dieses nach einmaligem Umkrystallisiren aus wenig Wasser gewogen.

Die folgende Tabelle verzeichnet den wesentlichsten Theil der von uns bisher ausgeführten Versuche. In derselben haben wir im Interesse der Uebersicht verzichtet auf die Wiedergabe der Mengen desjenigen Stickstoffs, welcher in Form der huminartigen Stoffe Mulder's abgespalten wird, wir behalten diese Zahlen, die für die vorliegende Frage nicht direkt in Betracht kommen, der ausführlichen Publication vor.

Nach der nachfolgenden Tabelle lassen sich die untersuchten Stoffe in zwei Gruppen eintheilen, deren erster die einfachsten Eiweisskörper oder Protamine angehören, während die zweite die Eiweisskörper im engeren Sinne enthält. Die Gesamtmenge des Hexonbasen-Stickstoffs beträgt bei ersteren 88,0—67,7%, bei den letzteren 37—6% des Gesamtstickstoffs.

Die Protamine können, wie schon erwähnt, in zwei Gruppen getheilt werden. Die eine wird durch das Sturin gekennzeichnet und enthält alle drei Basen, also einen Trihexonkern. Die Basen stehen hier in dem Molekularverhältniss 1 Molekül Histidin : 4 Mol. Arginin: 1 Mol. Lysin.

1) Zeitschrift für physiolog. Chemie, Bd. 26, S. 586.

	Procente des Gesamt-Stickstoffe					Gewichtprocente				
	Histidin	Arginin	Lysin	Ammoniak	Histidin	Arginin	Lysin	Ammoniak		
Salmin	0	88,0	0	0	0	85,9	0	0		
Clupein	0	84,1	0	0	0	82,8	0	0	Amidovaleriansäure	
Cyclopterin	0	67,7	0	Nicht geprüft	0	62,4	0	?	8,8 Proc. Tyrosin	
Sturin	11,8	63,4	7,06	0	12,7	57,5	10,7	0		
Histon	1,79	25,19	7,9	7,46	1,21	14,36	7,6	1,66	Histidin nicht durch Analyse geprüft	
Leim (Handelsgelatine, lufttrock.)				2,7	vorhanden	6,08	vorhanden	0,47		
Glutencasein	2,6	9,0	2,86	13,4	1,56	4,54	2,0	8,64		
Glutensfibrin	2,43	5,75	0	18,78	1,53	3,05	0	8,8		
Mucedin	0,69	5,99	0	20,70	0,43	3,13	0	4,23		
Gliadin	1,89	5,12	0	19,51	1,20	2,75	0	4,1		

	Berechnet	Gefunden
Histidin	12,7	12,7
Arginin	57,0	57,5
Lysin	12,0	10,7

Dies sind die Resultate, welche sich bei Anwendung der verbesserten Methoden zur Bestimmung der Basen, besonders des Lysins ergeben haben. Nach meinen früheren mit unvollkommenen Methoden ausgeführten Analysenzahlen hatte ich 3 Mol. Arginin und 2 Mol. Lysin angenommen.¹⁾

Die andere Gruppe der Protamine enthält nur eine Hexonbase und zwar das von E. Schulze entdeckte Arginin. Hier ist also ein „Monohexonkern“ vorhanden. Protamine, welche zwei Basen liefern, also einen „Dihexonkern“ enthalten, sind bisher noch aufgefunden worden.

Ein bemerkenswertes Ergebniss hat die Untersuchung des Cyclopterins eines von Herrn Morkowin im hiesigen Laboratorium in den Testikeln von Cyclopterus lumpus aufgefundenen Protamins²⁾, geliefert. Hier konnten wir als eine an den Hexonkern angefügte Gruppe das Tyrosin feststellen,³⁾ also eine Atomgruppe, die unter den Spaltungsproducten der complexen Eiweisskörper ausserordentlich häufig, wenn nicht regelmässig auftritt. Demgemäss giebt das Cyclopterin nicht allein die Biuretreaction, sondern auch die Millon'sche Reaction, es ist trotzdem ein echtes Protamin. Man wird offenbar bei näherer Untersuchung dieser Körpergruppe noch eine grosse Mannigfaltigkeit in den angefügten Seitengruppen und weitere Uebergänge zu den complexen Eiweisskörpern auffinden.

1) Diese Sitzungsberichte, 16. März 1898.

2) Zeitschrift für physiologische Chemie Bd. 28 S. 313.

3) Das aus dem Cyclopterin dargestellte Tyrosin wurde durch seine Reactionen, Löslichkeitsverhältnisse, und durch eine Stickstoffbestimmung als solches characterisirt:

Stickstoff gefunden:
Procente 7,75

Stickstoff berechnet:
für Tyrosin 7,60

Unter den Eiweisskörpern im engeren Sinne des Worts zeichnen sich die Histone durch ihren Reichthum an Basenstickstoff aus. Hierdurch ist diese Eiweissgruppe, die ich im Jahre 1883 auf Grund ihrer äusseren Eigenschaften charakterisierte ¹⁾ und deren Aufstellung damals auf den heftigsten Widerspruch stiess, scharf gekennzeichnet, schärfer noch als dies durch Fällungsreactionen geschehen kann. Die Beziehung der Histone zu den übrigen Eiweissstoffen findet auch in folgender Zusammenstellung einen Ausdruck.

	Procente des Gesamt-Stickstoffs		Spaltungs-Verfahren
	Stickstoff des Silberniederschlags	Stickstoff des Ammoniaks	
Histon	30,7—35,5	4—7,5	4 Versuche, z. Th. Schwefelsäure z. Th. Salzsäure
Fibrinpepton	20	10	Salzsäure 72 Stunden
Eieralbumin	18,7	11	Salzsäure
Casein	14,6	9,1	Schwefelsäure
Casein	16,4	12,9	Salzsäure
Parahiston ²⁾	11,7	Nicht bestimmt	

Bei diesen Versuchen sind die Eiweisskörper zunächst mit Hülfe einer Mineralsäure zerlegt, sodann ist nach Ausfällung der Huminsubstanzen und Abtreibung des Ammoniaks in der früher beschriebenen Weise ein Silberniederschlag erzeugt worden,

1) Zeitschrift für physiologische Chemie Bd. VIII S. 511.

2) Nach einem Versuch des Herrn A. Ascoli. Hiernach gehört das Parahiston Fleroff's nicht zur Histongruppe.

welcher Histidin und Arginin enthält. Der Stickstoffgehalt dieses Niederschlags kann nicht als Ausdruck der Summe von Arginin Histidin betrachtet werden, denn eine genauere Untersuchung überzeugte uns davon, dass etwa 15 Procent des Stickstoffgehalts dieses Silberniederschlags auf andere mitgefällte Stoffe zu beziehen sind. Wohl aber kann man den Stickstoff dieses Niederschlags zu einer vergleichenden Betrachtung benutzen und dann ergibt sich dasselbe Resultat, welches schon aus der ersten Tabelle hervorgeht: Die Masse des Protaminkerns, oder besser gesagt: des Hexonkerns ist in den Histonen eine grössere als in den übrigen Eiweisskörpern.

Das Verhältniss dieser Körper zu den übrigen Eiweissstoffen kann in zwiefacher Weise aufgefasst werden. Entweder kann man sich vorstellen, dass die Anzahl der an den Kern angefügten Seitengruppen eine geringere ist, als bei den übrigen Eiweissarten oder man kann sich die Histon durch die nachträgliche Anfügung eines an Arginin und Lysinreichen Protamins an einen fertigen Eiweissstoff entstanden denken.¹⁾ Welche dieser beiden Anschauungen die zutreffende ist, lässt sich heute noch nicht entscheiden.

Unter den übrigen Eiweisskörpern haben wir auch diejenigen des Weizenklebers mit in das Bereich unserer Betrachtungen gezogen, da wir in dem alkohollöslichen Theil derselben besonders einfache Eiweissstoffe voraussetzten. Dieselben wurden nach dem Verfahren von Ritthausen dargestellt.²⁾ Die Versuche führen zu dem wichtigen Ergebniss, dass im Mucedin, Glutenfibrin und Gliadin das Lysin mit Hülfe der Pikrinsäure-Methode nicht nachgewiesen werden kann. Diese enthalten also abweichend von den übrigen Eiweisskörpern einen „Dihexonkern“ und gehören demgemäss in eine besondere Gruppe der Eiweissstoffe. Es ergibt

1) A. Kossel, Ueber die Lymphzellen. Deutsche medicinische Wochenschrift. 1894 No. 7.

2) Ritthausen, Die Eiweissstoffe der Getreidearten, Hülsenfrüchte, usw. Bonn 1872.

sich somit, dass die Arbeiten von Morishima¹⁾, welcher die Eintheilung der Weizenkleber-Proteinstoffe nach Ritthausen verwarf und zu dem Ergebniss kam, dass im Weizenmehl nur ein Eiweissstoff, das „Artolin“, enthalten sei, auf einem Irrthum beruhen.²⁾ Nach unseren Spaltungsversuchen müssen im Weizenkleber mindestens zwei ihrer Constitution nach verschiedene Eiweissarten vorhanden sein, das Glutencasein einerseits und die alkohollöslichen Proteinstoffe andererseits.

Diese Thatsache eröffnet neue Fragen auf dem Gebiete der Ernährungslehre. Man wird die Rolle der lysinfreien Proteinstoffe im Stoffwechsel untersuchen müssen, um festzustellen, ob diese beiden verschiedenartigen Bestandtheile unseres Brotes die gleiche oder verschiedene Bedeutung für Ansatz und Umsatz besitzen. Jedenfalls stehen diese Stoffe hinsichtlich ihrer Zusammensetzung in einem gewissen Gegensatz zu den Histonen, insofern in ihnen die Masse des Hexonkerns eine geringe, hingegen die Ammoniakmenge eine ausserordentlich hohe ist.

Während diesen Stoffen das Lysin fehlt, sind beim Spongin die Versuche zur Darstellung des Histidins fehlgeschlagen. Die übrigen bisher untersuchten Eiweissstoffe: Fibrin, Fibrinpepton (Deuteroalbumose), Casein, Leim und Elastin enthielten die drei Basen nebeneinander. Bereits Hedin,³⁾ dem wir wichtige Aufschlüsse über die Entstehung von Basen aus Eiweiss verdanken, hat Bestimmungen des Arginins in Eiweisskörpern ausgeführt, die entsprechend den damals angewandten Methoden niedrigere Werthe ergaben.

Fassen wir die Ergebnisse unserer Untersuchungen, soweit sie das System der Eiweisskörper betreffen, in einer Tabelle zusammen, so lassen sich die untersuchten Eiweissstoffe in folgendes Schema einordnen:

1) Arch. f. experimentelle Pathol. u. Pharmakologie, Bd. 41, S. 291.

2) Vgl. Journal für practische Chemie, [2] 50, 474.

3) Diese Zeitschrift, Bd. 21, S. 155.

	Monohexonkern (Arginin)	Dihexonkern	Trihexonkern
Protamine	a) tyrosinfrei: Salmin Clupein Scombrin b) tyrosinhaltig: Cyclopterin	Nicht bekannt	Sturin (tyrosinfrei)
Complexe Eiweissstoffe	Nicht bekannt	a) Arginin und Histidin: Glutenfibrin Mucedin Gliadin b) Arginin und Lysin Spongina (?)	Histon ¹⁾ (?) Casein Fibrin Fibrinpepton Glutencasein Leim Elastin

In derselben Sitzung vom 6. April 1900 sprach Herr A. Kossel über:

Untersuchungen des Herrn Dr. Goto über die Lösung der Harnsäure durch Nucleinsäure.

Die Ausscheidung der Harnsäure in den Geweben und ihre Auflösung ist bisher wesentlich von zwei verschiedenen Gesichtspunkten aus beurtheilt worden: erstens hat man die directe Einwirkung der zelligen Elemente in Erwägung gezogen und zweitens die chemische Beschaffenheit der Körperflüssigkeiten. Als den bei der Lösung wirksamen Factor hat man die Alkalescentz angesehen. Die Untersuchungen, über welche ich berichten möchte, zeigen, dass dem Organismus für diesen Zweck ausser der Alkalescentz noch ein zweites Mittel zu Gebote steht, indem

1) Histidin ist beim Histon noch nicht sicher nachgewiesen.

gewisse Zellbestandtheile auch unabhängig von der Gegenwart der Alkalien, selbst bei saurer Reaction der Flüssigkeit, eine gewisse Menge Harnsäure in Lösung halten können.

Ehe ich die Untersuchungen selbst anführe, sei es mir gestattet einige Worte zu sagen über die Erwägungen, die mich veranlasst haben, Herrn Dr. Goto diese Versuche vorzuschlagen. Schon vor längerer Zeit machte ich die Beobachtung, dass die Nucleinsäure im Stande ist, sich mit einer gewissen Menge Purinbasen zu verbinden¹⁾. Fügt man zu einer Nucleinsäurelösung eine kleine Menge Adenin oder Hypoxanthin oder eine andere dieser Basen hinzu, so werden die Basen durch die Nucleinsäure in einen Zustand übergeführt, in dem sie gewisse Fällungsreactionen, die ihnen im freien Zustand zukommen, eingebüsst haben, sie sind z. B. durch ammoniakalische Silberlösung nicht mehr fällbar. Nachdem ich sodann in Gemeinschaft mit Herrn A. Neumann durch Abspaltung der Nucleinbasen aus der Nucleinsäure die Thyminsäure gewonnen hatte, fanden wir die gleiche Eigenschaft bei der Thyminsäure wieder²⁾. Schmiedeberg hat versucht, meine früheren Beobachtungen fortzusetzen und glaubt, dieser Reaction einen Formel-Ausdruck geben zu können³⁾.

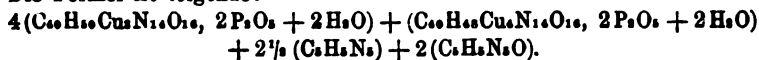
Bei den engen chemischen Beziehungen, die zwischen den Basen der Puringruppe und der Harnsäure vorhanden sind, lag es nahe, auch diese auf ihre Verbindungsfähigkeit mit Nucleinsäure und Thyminsäure zu prüfen. Die folgenden Untersuchungen zeigen, dass eine Vereinigung zwischen beiden Körpern in der That existirt. Diese ist zwar sehr locker, aber immerhin im Stande, die Löslichkeitsverhältnisse der Harnsäure zu verändern.

1) E. du Bois-Reymonds Archiv für Physiologie 1893, S. 164. Anm.

2) Zeitschrift für physiolog. Chemie, Bd. 22, S. 81.

3) Arch. für experiment. Pathologie u. Pharmakologie Bd. 43, S. 73.

Die Formel ist folgende:



Das Ergebniss der Untersuchungen des Herrn Dr. Goto ist am besten aus folgenden zwei Versuchsreihen zu entnehmen. In der ersten Versuchsreihe wurden je 0,05 gr. Harnsäure in drei Versuchen in Wasser unter Zusatz von möglichst wenig Natronlauge gelöst und jede Lösung auf 50 Cc aufgefüllt. Zu einer dieser Lösungen wurde thyminsaures Natron hinzugefügt, welches durch Doppelzersetzung aus 0,5 gr. thyminsaurem Baryt ¹⁾ gewonnen war, zu einer zweiten Lösung 0,5 gr. Witte-Pepton,

Fällung der Harnsäure durch Salzsäure.

50 Ccm Wasser. 1 Cc conc. Salzsäure.

Zusatz	Angewandte Harnsäuremenge	Zeit, bis zur Filtration des Niederschlages Stunden	Ausgeschiedene Harnsäure	In Lösung gebliebene Harnsäure in Procenten der Gesamtmenge
Thyminsaures Natron	0,05	24	0,0012	97,6
Witte-Pepton, 0,5 grm	0,05	24	0,0345	31,0
Ohne Zusatz	0,05	24	0,0380	24,0
Thyminsaures Natron	0,2	96	0,0996	50,2
Witte-Pepton	0,2	96	0,1756	12,2
Ohne Zusatz	0,2	96	0,1860	7,0

eine dritte blieb ohne Zusatz. Sodann wurden alle drei Lösungen mit je einem Ccm concentrirter Salzsäure gefällt. Nach 24 Stunden wurde der Niederschlag auf gewogenem Filter gesammelt und gewogen. Ein gleicher Versuch wurde mit 0,2 gr. Harnsäure angestellt. Es ergibt sich, dass die Thyminsäure im Stande ist, eine nicht unbeträchtliche Menge Harnsäure in Lösung zu halten.

In der zweiten Versuchsreihe wurde nicht Salzsäure, sondern Kohlensäure zur Ausfällung benutzt. Das ausgeschiedene saure harnsaure Natron wurde wiederum in wenig Natronlauge gelöst

1) A. Kossel und A. Neumann, Zeitschr. für physiolog. Chemie, Bd. 22, S. 74.

und mit Salzsäure gefällt. Dieser Versuch kommt den im thierischen Organismus vorhandenen Bedingungen näher. Hier wurde nicht Thyminsäure, sondern die Nucleinsäure selbst benutzt und hier handelte es sich nicht um das Lösungsvermögen der Nucleinsäure für freie Harnsäure, sondern für saures harnsaures Natron, wie es bekanntlich in den gichtischen Ablagerungen vorhanden ist. Die Versuche zeigen, dass auch in diesem Falle das Lösungsvermögen ein beträchtliches ist.

Fällung der Harnsäure durch Kohlensäure.
(100 Cc Wasser, eine Stunde Durchleitung der Kohlensäure).

	Zusatz	Angewandte Harnsäure-Menge in grm	Zeit bis zur Filtration des Natriumurats, Stunden	Ausgeschleddene Harnsäure in grm	In Lösung geblie- bene Harnsäure in Procenten der Ge- sammt-Harnsäure.
Versuch I	Nucleinsaures Natron aus Hefe 0,25 gr	0,2	72	0,009	95,5
	Nucleinsäure aus Thymus 0,25 gr	"	"	0	100,0
	Ohne Zusatz	"	"	0,0818	59,1
Vers. II	Nucleinsaures Natron aus Hefe 0,5 gr	0,4	48	0,1315	67,1
	Nucleinsäure aus Thymus 0,5 gr	"	"	0,0004	99,9
	Ohne Zusatz	"	"	0,2868	28,3
Vers. III	Nucleinsaures Natron aus Hefe 0,5 gr	0,6	"	0,3177	47,1
	Nucleinsäure aus Thymus 0,5 gr	"	"	0,1971	67,2
	Ohne Zusatz	"	"	0,5064	15,6

Ist das Verhältniss zwischen der Nucleinsäure oder Thyminsäure einerseits und der Harnsäure andererseits ein günstiges, so wird die Ausscheidung der Harnsäure, falls sie überhaupt eintritt, erheblich verzögert. Die Ammoniakfällung der Harnsäure hingegen wird, wie ausführliche Versuche des Herrn

Dr. Goto gezeigt haben, durch Nucleinsäure und Thyminsäure nicht in bemerkbarer Weise beeinflusst.

Diese Versuche stellen in der Nucleinsäure einen harnsäurelösenden Factor fest, welcher in den Geweben stets zu Gebote steht. In wiefern dieser Factor bei den complicirten Verhältnissen des Körpers zur Wirkung kommt, das ist eine weitere, bisher nicht gelöste Frage. Vor Allem werden sich weitere Untersuchungen mit der Möglichkeit beschäftigen müssen, ob dieser Factor auch in therapeutischer Hinsicht zu verwerthen ist. Hier würde zunächst nicht die Nucleinsäure in Betracht kommen, sondern die Thyminsäure. Erstere ist eben ein mit den Körpern der Puringruppe bereits beladener Atomcomplex; um diese vielleicht selbst Harnsäure bildenden, also schädlichen, Gruppen zu entfernen, ist es nöthig, sie vorher von den locker gebundenen Basen zu befreien, mit anderen Worten, sie in die Thyminsäure überzuführen. Man würde in der Thyminsäure dem Organismus eine Atomgruppe zuführen, welche nicht nur die Basen der Harnsäuregruppe, sondern auch die Harnsäure selbst bindet und in Lösung hält. —

In derselben Sitzung vom 6. April 1900 machte Herr E. Hess eine Mitteilung:

Ueber die unilineare Lage zweier Tetraeder und eine Verallgemeinerung des Desargues'schen Satzes.

Die besonderen Lagen zweier Tetraeder, wie die ein- und mehrfach perspective, die hyperboloidische Lage, ferner diejenige

zweier einander zugleich um- und eingeschriebenen (der s. g. Möbius'schen) Tetraeder sind schon vielfach Gegenstand der Untersuchung gewesen. Dagegen ist diejenige besondere Lage, welche aus der allgemeinsten Lage, für welche die vier Verbindungslinien der entsprechenden Eckpunkte und ebenso die vier Schnittlinien der entsprechenden Seitenflächen von je zwei Geraden geschnitten werden, dadurch resultiert, dass diese beiden Geradenpaare je in eine Gerade zusammenfallen, soviel mir bekannt ist, noch nicht genauer betrachtet worden.

Man kann diese besondere Lage von vier Geraden im Raume und entsprechend von zwei Tetraedern als unilineare Lage bezeichnen, während die allgemeinste Lage die bilineare genannt werden könnte. Die hyperboloidische Lage entspricht dem Falle, dass es eine einfache, die perspective Lage dem Falle, dass es eine zweifache Unendlichkeit von Geraden gibt, welche die vier Verbindungs- bzw. Schnitt-Geraden zugleich schneiden. Die unilineare Lage von vier Geraden lässt sich auch so charakterisieren, dass das durch je drei der Geraden bestimmte einschalige Hyperboloid die vierte Gerade zur Tangente hat.

Für zwei Tetraeder in unilinearer Lage gilt nun der folgende Satz, welcher als eine Verallgemeinerung des Desargues'schen Satzes für den Raum bezeichnet werden kann.¹⁾

Satz. Wenn zwei Tetraeder eine solche Lage haben, dass die vier Verbindungslinien der entsprechenden Eckpunkte von nur einer (d. h. zwei zusammenfallenden) Geraden g geschnitten werden, dann werden auch die vier Schnittlinien der

1) J. Vályi hat (Monatshefte f. Math. u. Phys. IV. 1893. S. 121—134) für zwei Tetraeder in hyperboloidischer (speciell zweiwinkliger) und in perspectiver Lage das räumliche Analogon des Desargues'schen Satzes für die Ebene behandelt.

entsprechenden Seitenflächen von nur einer (d. h. zwei zusammenfallenden) Geraden r geschnitten — und umgekehrt. Oder: Die unilineare Lage zweier Tetraeder in Beziehung auf die vier Verbindungslinien der Eckpunkte bedingt die unilineare Lage in Beziehung auf die vier Schnittlinien der Seitenflächen — und umgekehrt.

Zusatz. Der Punktwurf aus den vier Durchstossungspunkten der Geraden q mit den Seitenflächen des einen Tetraeders ist projectiv zu dem entsprechenden Ebenenwurf aus den Verbindungsebenen der Geraden r mit den Eckpunkten des anderen Tetraeders.

Der Beweis dieses Satzes soll im folgenden analytisch geführt werden, wobei eins der beiden Tetraeder als Coordinatentetraeder eines tetrametrischen Systems angenommen wird und die Geraden durch Plücker'sche Linienkoordinaten in Bezug auf dies System dargestellt werden. Der Zusatz ergibt sich alsdann ohne weiteres bei Benutzung eines bekannten v. Staudt'schen Satzes.¹⁾

§ 1. Beweis eines Hilfssatzes.

Hilfssatz. a) Die Verbindungslinien der vier Durchstossungspunkte, in welchen eine Gerade q die vier Seitenflächen eines Tetraeders T trifft, mit den gegenüberliegenden Eckpunkten sind vier Gerade in unilinearer Lage.

1) v. Staudt. Beiträge zur Geometrie der Lage No. 35.

b) **Dual:** Die Schnittlinien der vier Ebenen, welche eine Gerade r mit den vier Eckpunkten eines Tetraeders T verbinden, mit den gegenüberliegenden Seitenflächen sind in unilinearer Lage.

Der Beweis von a) [und analog von b)] ist geführt, wenn gezeigt wird, dass die Bestimmung je zweier Linienkoordinaten der beiden Geraden, welche die vier bezeichneten Geraden treffen, auf eine quadratische Gleichung von verschwindender Discriminante führt.

Für das Tetraeder T als Coordinatentetraeder habe die Eckpunkte a_1, a_2, a_3, a_4 und die Seitenflächen $\alpha_1, \alpha_2, \alpha_3, \alpha_4$ die folgenden Punkt-, bezw. Ebenen-Coordinaten:

$$\left. \begin{array}{l} a_1 \dots 1 \ 0 \ 0 \ 0 \\ a_2 \dots 0 \ 1 \ 0 \ 0 \\ a_3 \dots 0 \ 0 \ 1 \ 0 \\ a_4 \dots 0 \ 0 \ 0 \ 1 \end{array} \right\} \dots (1 \alpha) \quad \left. \begin{array}{l} \alpha_1 \dots 1 \ 0 \ 0 \ 0 \\ \alpha_2 \dots 0 \ 1 \ 0 \ 0 \\ \alpha_3 \dots 0 \ 0 \ 1 \ 0 \\ \alpha_4 \dots 0 \ 0 \ 0 \ 1 \end{array} \right\} \dots (1 \beta)$$

Die Plücker'schen Strahlencoordinaten der Geraden q seien q_{ik} , nämlich

$$\left\{ \begin{array}{l} q_{12} \ q_{13} \ q_{14} \\ q_{23} \ q_{24} \ q_{34} \end{array} \right\} \dots (2),$$

wobei

$q_{ik} + q_{ki} = 0 \dots (2\alpha), \quad q_{12}q_{34} + q_{13}q_{24} + q_{14}q_{23} = 0 \dots (2\beta)$ ist.

Alsdann sind die Coordinaten der Durchstossungspunkte der Geraden q mit den Seitenflächen, nämlich der Punkte $c_i = (q, \alpha_i)$ folgende:

$$\left. \begin{array}{l} c_1 \dots (q, \alpha_1) \dots 0 \quad q_{12} \ q_{13} \ q_{14} \\ c_2 \dots (q, \alpha_2) \dots q_{12} \ 0 \quad q_{23} \ q_{24} \\ c_3 \dots (q, \alpha_3) \dots q_{13} \ q_{23} \ 0 \quad q_{34} \\ c_4 \dots (q, \alpha_4) \dots q_{14} \ q_{24} \ q_{34} \ 0 \end{array} \right\} \dots (3)$$

Die vier Verbindungslinien $|a_i c_i|$ der Punkte c_i mit den gegenüberliegenden Eckpunkten a_i von T haben die folgenden Linienkoordinaten:

$$\begin{aligned} |a_1 c_1| \dots & \left\{ \begin{array}{l} q_{12} \ q_{13} \ q_{14} \\ 0 \quad 0 \quad 0 \end{array} \right\} \dots (4\alpha) \\ |a_2 c_2| \dots & \left\{ \begin{array}{l} q_{12} \ 0 \ 0 \\ 0 \quad q_{23} \ q_{24} \end{array} \right\} \dots (4\beta) \end{aligned}$$

$$|a_3 \ c_3| \dots \left\{ \begin{matrix} 0 & q_{13} & 0 \\ q_{24} & 0 & q_{23} \end{matrix} \right\} \dots (4\gamma)$$

$$|a_4 \ c_4| \dots \left\{ \begin{matrix} 0 & 0 & q_{14} \\ q_{24} & q_{23} & 0 \end{matrix} \right\} \dots (4\delta).$$

Zu der Bestimmung der Liniencoordinaten s_{ik} der Geraden welche diese vier Geraden zugleich schneiden, erhält man die vier Gleichungen (5):

$$\left. \begin{aligned} 0 \cdot s_{12} + 0 \cdot s_{13} + 0 \cdot s_{14} + q_{12} \cdot s_{24} + q_{13} \cdot s_{42} + q_{14} \cdot s_{23} &= 0 \\ 0 \cdot s_{12} + q_{42} \cdot s_{13} + q_{23} \cdot s_{14} + q_{13} \cdot s_{24} + 0 \cdot s_{42} + 0 \cdot s_{23} &= 0 \\ q_{24} \cdot s_{12} + 0 \cdot s_{13} + q_{23} \cdot s_{14} + 0 \cdot s_{24} + q_{12} \cdot s_{42} + 0 \cdot s_{23} &= 0 \\ q_{24} \cdot s_{12} + q_{42} \cdot s_{13} + 0 \cdot s_{14} + 0 \cdot s_{24} + 0 \cdot s_{42} + q_{14} \cdot s_{23} &= 0 \end{aligned} \right\} \dots (5),$$

zu welchen die Gleichung:

$$s_{12} s_{24} + s_{13} s_{42} + s_{14} s_{23} = 0 \dots (5\alpha)$$

hinzutritt.

Die Auflösung der Gleichungen (5) ergibt, wenn z. B. s_{12} , s_{13} , s_{14} , s_{24} als Unbekannte betrachtet werden:

$$-q_{24} s_{12} = -q_{12} s_{24} = q_{12} s_{42} + q_{14} s_{23} \dots (6\alpha)$$

$$s_{12} = \frac{q_{12}}{q_{24}} s_{23} \dots (6\beta)$$

$$s_{14} = \frac{q_{14}}{q_{23}} s_{23} \dots (6\gamma).$$

Durch Einsetzen dieser Werte in (5 α) erhält man

$$\frac{(q_{12} s_{42} + q_{14} s_{23})^2}{q_{12}^2 q_{24}^2} + \frac{q_{12}}{q_{42}} s_{42}^2 + \frac{q_{14}}{q_{23}} s_{23}^2 = 0 \dots (7)$$

oder mit Rücksicht auf (2 β):

$$(q_{23} s_{42} - q_{42} s_{23})^2 = 0 \dots (7\alpha)$$

Also liefert die quadratische Gleichung nur den einen Wert:

$$\frac{s_{42}}{s_{23}} = \frac{q_{42}}{q_{23}} \dots (7\beta),$$

aus welchem in Verbindung mit (6 α), (6 β), (6 γ), nämlich mit:

$$\frac{s_{12}}{s_{24}} = \frac{q_{12}}{q_{24}}, \quad \frac{s_{13}}{s_{42}} = \frac{q_{12}}{q_{42}}, \quad \frac{s_{14}}{s_{23}} = \frac{q_{14}}{q_{23}}$$

folgt:

$$s_{12} : s_{13} : s_{14} : s_{24} : s_{42} : s_{23} = q_{12} : q_{13} : q_{14} : q_{24} : q_{42} : q_{23} \dots (8)$$

oder:

$$s_{ik} = q \cdot q_{ik} \dots (8\alpha)$$

d. h. es giebt nur eine, mit q identische Gerade s , welche die vier Geraden $(4\alpha) \cdots (4\delta)$ zugleich schneidet.

Analog ist der Beweis des dualen Hilfssatzes b) zu führen.

§ 2. Beweis des Hauptsatzes.

Wenn man auf jeder der vier Geraden $|a_i c_i|$, der Verbindungslinie je eines Durchstossungspunktes c_i , in welchem eine Gerade q die Seitenfläche α_i eines Tetraeders T trifft, mit dem gegenüberliegenden Eckpunkte a_i , einen Punkt a'_i annimmt, so erhält man ein zweites Tetraeder T' , welches zufolge des Hilfssatzes § 1 hinsichtlich der Verbindungslinien der entsprechenden Eckpunkte in unilinearer Lage mit dem Tetraeder T ist. Es ist also noch zu zeigen, dass auch die vier Schnittlinien $|a_i a'_i|$ der entsprechenden Seitenflächen der beiden Tetraeder T und T' sich in unilinearer Lage befinden.

Die Coordinaten der Punkte a'_i sind, da a'_i auf $|a_i c_i|$ liegt, in folgender Form [vgl. Gleichungen (3) und $(4\alpha) \cdots (4\delta)$] darstellbar:

$$\left. \begin{aligned} a'_1 &\cdots \mu_1 q_{12} q_{13} q_{14} \\ a'_2 &\cdots q_{12} \mu_2 q_{23} q_{24} \\ a'_3 &\cdots q_{13} q_{23} \mu_3 q_{34} \\ a'_4 &\cdots q_{14} q_{24} q_{34} \mu_4 \end{aligned} \right\} \cdots (9),$$

wobei $\mu_1, \mu_2, \mu_3, \mu_4$ Parameter bedeuten.

Die Coordinaten der vier Seitenflächen α'_i seien:

$$\left. \begin{aligned} \alpha'_1 &\cdots \beta_{12} \beta_{13} \beta_{14} \\ \alpha'_2 &\cdots \beta_{21} \beta_{23} \beta_{24} \\ \alpha'_3 &\cdots \beta_{31} \beta_{32} \beta_{34} \\ \alpha'_4 &\cdots \beta_{41} \beta_{42} \beta_{43} \end{aligned} \right\} \cdots (10),$$

sodass für die Plücker'schen Liniencoordinaten der Schnittlinien $|a_i a'_i|$ die folgenden Werte resultieren:

$$|a_1 a'_1| \cdots \left\{ \begin{matrix} 0 & 0 & 0 \\ \beta_{12} & \beta_{13} & \beta_{14} \end{matrix} \right\} \cdots (11\alpha)$$

$$|a_2 a'_2| \cdots \left\{ \begin{matrix} 0 & \beta_{24} & -\beta_{23} \\ \beta_{21} & 0 & 0 \end{matrix} \right\} \cdots (11\beta)$$

$$|a_3 a'_3| \cdots \left\{ \begin{matrix} -\beta_{34} & 0 & \beta_{32} \\ 0 & \beta_{31} & 0 \end{matrix} \right\} \cdots (11\gamma)$$

$$|a_4 a'_4| \cdots \left\{ \begin{matrix} \beta_{41} & -\beta_{42} & 0 \\ 0 & 0 & \beta_{43} \end{matrix} \right\} \cdots (11\delta)$$

Für die Bestimmung der Plücker'schen Coordinaten r_{ik} der beiden Geraden r , welche diese vier Geraden zugleich schneiden, erhält man die 4 Gleichungen (12):

$$\left. \begin{aligned} \beta_{12} \cdot r_{12} + \beta_{13} \cdot r_{13} + \beta_{14} \cdot r_{14} + 0 \cdot r_{22} + 0 \cdot r_{23} + 0 \cdot r_{24} &= 0 \\ \beta_{21} \cdot r_{12} + 0 \cdot r_{13} + 0 \cdot r_{14} + 0 \cdot r_{22} + \beta_{23} \cdot r_{23} - \beta_{24} \cdot r_{24} &= 0 \\ 0 \cdot r_{12} + \beta_{31} \cdot r_{13} + 0 \cdot r_{14} - \beta_{32} \cdot r_{22} + 0 \cdot r_{23} + \beta_{34} \cdot r_{24} &= 0 \\ 0 \cdot r_{12} + 0 \cdot r_{13} + \beta_{41} \cdot r_{14} + \beta_{42} \cdot r_{22} - \beta_{43} \cdot r_{23} + 0 \cdot r_{24} &= 0 \end{aligned} \right\} (12),$$

in Verbindung mit

$$r_{12} r_{24} + r_{13} r_{23} + r_{14} r_{22} = 0 \dots (12 \alpha)$$

Drückt man z. B. r_{12} , r_{34} , r_{13} , r_{42} aus (12) durch r_{14} und r_{23} aus, so folgt, da

$$\Delta' = \begin{vmatrix} \beta_{12} & \beta_{13} & 0 & 0 \\ \beta_{21} & 0 & 0 & \beta_{24} \\ 0 & \beta_{31} & -\beta_{32} & 0 \\ 0 & 0 & \beta_{42} & -\beta_{43} \end{vmatrix} = \left. \begin{aligned} &\beta_{12} \beta_{24} \beta_{31} \beta_{42} \\ &-\beta_{21} \beta_{42} \beta_{13} \beta_{34} \end{aligned} \right\} \dots (13)$$

wird, und wenn zur Abkürzung:

$$B_{11}^{(0)} = \begin{vmatrix} 0 & \beta_{23} & \beta_{24} \\ \beta_{21} & 0 & \beta_{24} \\ \beta_{41} & \beta_{42} & 0 \end{vmatrix} = \beta_{23} \beta_{24} \beta_{41} - \beta_{21} \beta_{42} \beta_{23} \dots (14 \alpha)$$

$$B_{22}^{(0)} = \begin{vmatrix} 0 & \beta_{13} & \beta_{14} \\ \beta_{21} & 0 & \beta_{24} \\ \beta_{41} & \beta_{42} & 0 \end{vmatrix} = \beta_{13} \beta_{24} \beta_{41} - \beta_{21} \beta_{42} \beta_{14} \dots (14 \beta)$$

$$B_{33}^{(0)} = \begin{vmatrix} 0 & \beta_{13} & \beta_{14} \\ \beta_{21} & 0 & \beta_{24} \\ \beta_{41} & \beta_{42} & 0 \end{vmatrix} = \beta_{13} \beta_{24} \beta_{41} - \beta_{21} \beta_{42} \beta_{14} \dots (14 \gamma)$$

$$B_{44}^{(0)} = \begin{vmatrix} 0 & \beta_{13} & \beta_{14} \\ \beta_{21} & 0 & \beta_{24} \\ \beta_{41} & \beta_{42} & 0 \end{vmatrix} = \beta_{13} \beta_{24} \beta_{41} - \beta_{21} \beta_{42} \beta_{14} \dots (14 \delta)$$

gesetzt wird,

$$\left. \begin{aligned} \Delta' \cdot r_{12} &= \beta_{24} \cdot B_{22}^{(0)} \cdot r_{14} - \beta_{13} \cdot B_{11}^{(0)} \cdot r_{23} \\ \Delta' \cdot r_{24} &= -\beta_{21} \cdot B_{22}^{(0)} \cdot r_{14} + \beta_{42} \cdot B_{44}^{(0)} \cdot r_{23} \\ \Delta' \cdot r_{13} &= -\beta_{32} \cdot B_{22}^{(0)} \cdot r_{14} + \beta_{13} \cdot B_{11}^{(0)} \cdot r_{23} \\ \Delta' \cdot r_{42} &= -\beta_{41} \cdot B_{22}^{(0)} \cdot r_{14} + \beta_{23} \cdot B_{44}^{(0)} \cdot r_{23} \end{aligned} \right\} \dots (15)$$

Werden diese Werte für r_{12} , r_{34} , r_{13} , r_{42} in die Gleichung (12 α) eingesetzt, so resultiert die quadratische Gleichung:

$$\mathcal{A}_{14} r_{14}^2 + \mathcal{B} r_{14} r_{23} + \mathcal{A}_{23} r_{23}^2 = 0 \dots (16),$$

in welcher

$$\mathfrak{A}_{14} = (\beta_{24} \beta_{31} - \beta_{31} \beta_{24}) B_{22}^{(0)} B_{33}^{(0)} \dots \dots \dots (17 \alpha)$$

$$\mathfrak{A}_{22} = (\beta_{12} \beta_{13} - \beta_{13} \beta_{12}) B_{11}^{(0)} B_{44}^{(0)} \dots \dots \dots (17 \beta)$$

$$\mathfrak{B} = \beta_{12} \beta_{31} B_{11}^{(0)} B_{22}^{(0)} + \beta_{24} \beta_{43} B_{22}^{(0)} B_{44}^{(0)} - \beta_{13} \beta_{31} B_{11}^{(0)} B_{22}^{(0)} - \beta_{24} \beta_{43} B_{22}^{(0)} B_{44}^{(0)} + \mathcal{A}' \dots (17 \gamma)$$

ist.

Die Bedingung, dass die Discriminante der quadratischen Gleichung (16) für $\frac{r_{14}}{r_{22}}$ verschwindet, d. h. dass die beiden Geraden r in eine zusammenfallen, ist:

$$\mathfrak{B} - 4 \mathfrak{A}_{14} \mathfrak{A}_{22} = 0 \dots (18)$$

Ist diese Bedingung erfüllt, so folgt:

$$\frac{r_{14}}{r_{22}} = - \frac{\mathfrak{B}}{2 \mathfrak{A}_{14}} = - \frac{2 \mathfrak{A}_{22}}{\mathfrak{B}} \dots (19),$$

und die übrigen Linienkoordinaten r_{ik} ergeben sich aus (15).

Diese allgemein angegebene Rechnung gestaltet sich nun für den vorliegenden Fall in folgender Weise.

Für die Determinante R der 16 Coefficienten, welche [vgl. (9)] die Punktkoordinaten von α'_i darstellen, erhält man:

$$R = \begin{vmatrix} \mu_1 q_{11} q_{12} q_{14} \\ q_{12} \mu_2 q_{23} q_{24} \\ q_{13} q_{22} \mu_2 q_{24} \\ q_{14} q_{23} q_{24} \mu_4 \end{vmatrix} = \left. \begin{aligned} &\mu_1 \mu_2 \mu_3 \mu_4 + \mu_1 \mu_2 q_{23}^2 + \mu_1 \mu_2 q_{24}^2 + \mu_1 \mu_2 q_{23}^2 \\ &\quad - \mu_2 \mu_2 q_{21}^2 - \mu_2 \mu_2 q_{21}^2 - \mu_2 \mu_2 q_{21}^2 \end{aligned} \right\} (20)$$

Als Werte für die Coordinaten β_{ik} der vier Ebenen $\alpha'_1, \alpha'_2, \alpha'_3, \alpha'_4$ ergeben sich für β_{ii} :

$$\left. \begin{aligned} \beta_{11} &= \mu_2 \mu_2 \mu_2 + \mu_2 q_{23}^2 + \mu_2 q_{24}^2 \\ \beta_{22} &= \mu_2 \mu_2 \mu_1 - \mu_2 q_{21}^2 - \mu_2 q_{21}^2 + \mu_1 q_{23}^2 \\ \beta_{33} &= \mu_2 \mu_1 \mu_2 - \mu_2 q_{21}^2 + \mu_1 q_{23}^2 - \mu_2 q_{21}^2 \\ \beta_{44} &= \mu_1 \mu_2 \mu_2 + \mu_1 q_{23}^2 - \mu_2 q_{21}^2 - \mu_2 q_{21}^2 \end{aligned} \right\} \dots (21)$$

oder, wenn

$$\left. \begin{aligned} \sigma_1 &= q_{21}^2 \mu_2 \mu_2 + q_{21}^2 \mu_2 \mu_2 + q_{21}^2 \mu_2 \mu_2 \\ \sigma_2 &= q_{21}^2 \mu_2 \mu_2 - q_{23}^2 \mu_1 \mu_2 - q_{24}^2 \mu_1 \mu_2 \\ \sigma_3 &= q_{21}^2 \mu_2 \mu_2 - q_{23}^2 \mu_1 \mu_2 - q_{24}^2 \mu_1 \mu_2 \\ \sigma_4 &= q_{21}^2 \mu_2 \mu_2 - q_{23}^2 \mu_1 \mu_2 - q_{24}^2 \mu_1 \mu_2 \end{aligned} \right\} (22)$$

gesetzt wird,

$$\left. \begin{aligned} \mu_1 \beta_{11} &= R + \sigma_1 \\ \mu_2 \beta_{22} &= R + \sigma_2 \\ \mu_2 \beta_{33} &= R + \sigma_3 \\ \mu_2 \beta_{44} &= R + \sigma_4 \end{aligned} \right\} \dots (21 \alpha)$$

Für β_{ik} , wenn $i \neq k$ ist, folgen die Werte:

$$\left. \begin{aligned} \beta_{12} &= -\mu_2 \mu_4 q_{12} - \mu_2 q_{14} q_{24} - \mu_4 q_{12} q_{24} \\ \beta_{21} &= \mu_2 \mu_4 q_{21} + \mu_2 q_{14} q_{24} + \mu_4 q_{12} q_{24} \\ \beta_{13} &= -\mu_3 \mu_4 q_{13} - \mu_3 q_{14} q_{24} - \mu_4 q_{13} q_{24} \\ \beta_{31} &= \mu_3 \mu_4 q_{31} + \mu_3 q_{14} q_{24} + \mu_4 q_{13} q_{24} \\ \beta_{14} &= -\mu_4 \mu_2 q_{14} - \mu_4 q_{12} q_{24} - \mu_2 q_{12} q_{24} \\ \beta_{41} &= \mu_4 \mu_2 q_{41} + \mu_4 q_{12} q_{24} + \mu_2 q_{12} q_{24} \end{aligned} \right\} (21 \beta)$$

$$\left. \begin{aligned} \beta_{24} &= -\mu_1 \mu_3 q_{24} - \mu_1 q_{23} q_{43} + \mu_3 q_{21} q_{41} \\ \beta_{42} &= -\mu_1 \mu_3 q_{42} - \mu_1 q_{23} q_{43} + \mu_3 q_{21} q_{41} \\ \beta_{23} &= -\mu_1 \mu_3 q_{23} - \mu_1 q_{24} q_{43} + \mu_3 q_{21} q_{41} \\ \beta_{32} &= -\mu_1 \mu_3 q_{43} - \mu_1 q_{23} q_{43} + \mu_3 q_{21} q_{41} \\ \beta_{34} &= -\mu_1 \mu_3 q_{34} - \mu_1 q_{24} q_{43} + \mu_3 q_{21} q_{41} \\ \beta_{43} &= -\mu_1 \mu_3 q_{43} - \mu_1 q_{23} q_{43} + \mu_3 q_{21} q_{41} \end{aligned} \right\} (21 \gamma)$$

Dabei bestehen die Beziehungen:

$$\left. \begin{aligned} \beta_{12} + \beta_{21} &= -2 \mu_2 \mu_4 q_{12} \\ \beta_{13} + \beta_{31} &= -2 \mu_3 \mu_4 q_{13} \\ \beta_{14} + \beta_{41} &= -2 \mu_4 \mu_2 q_{14} \end{aligned} \right\} \dots (23 \beta) \quad \left. \begin{aligned} \beta_{24} - \beta_{42} &= -2 \mu_1 \mu_3 q_{24} \\ \beta_{23} - \beta_{32} &= -2 \mu_1 \mu_3 q_{23} \\ \beta_{34} - \beta_{43} &= -2 \mu_1 \mu_3 q_{34} \end{aligned} \right\} \dots (23 \gamma)$$

und

$$\left. \begin{aligned} \mu_2 q_{24} \beta_{12} + \mu_3 q_{23} \beta_{13} + \mu_4 q_{21} \beta_{14} &= 0 \\ \mu_1 q_{24} \beta_{21} + \mu_2 q_{42} \beta_{22} + \mu_3 q_{23} \beta_{24} &= 0 \\ \mu_1 q_{23} \beta_{31} + \mu_2 q_{43} \beta_{32} + \mu_3 q_{21} \beta_{34} &= 0 \\ \mu_1 q_{21} \beta_{41} + \mu_2 q_{41} \beta_{42} + \mu_3 q_{23} \beta_{43} &= 0 \end{aligned} \right\} \dots (23 \delta)$$

Aus bekannten Eigenschaften der der Determinante R adjungierten Determinante:

$$B = \Sigma \pm \beta_{11} \beta_{22} \beta_{33} \beta_{44} = R^2 \dots (24)$$

folgen noch die Relationen:

$$\left. \begin{aligned} \mu_1 \beta_{11} + q_{12} \beta_{22} + q_{13} \beta_{33} + q_{14} \beta_{44} &= R \\ q_{12} \beta_{21} + \mu_2 \beta_{22} + q_{23} \beta_{33} + q_{24} \beta_{44} &= R \\ q_{13} \beta_{31} + q_{23} \beta_{32} + \mu_3 \beta_{33} + q_{34} \beta_{44} &= R \\ q_{14} \beta_{41} + q_{24} \beta_{42} + q_{34} \beta_{43} + \mu_4 \beta_{44} &= R \end{aligned} \right\} (25 \alpha)$$

und mit Rücksicht auf (21 α)

$$\left. \begin{aligned} \sigma_1 + q_{12} \beta_{12} + q_{13} \beta_{13} + q_{14} \beta_{14} &= 0 \\ q_{12} \beta_{21} + \sigma_2 + q_{23} \beta_{23} + q_{24} \beta_{24} &= 0 \\ q_{13} \beta_{31} + q_{23} \beta_{32} + \sigma_3 + q_{34} \beta_{34} &= 0 \\ q_{14} \beta_{41} + q_{24} \beta_{42} + q_{34} \beta_{43} + \sigma_4 &= 0 \end{aligned} \right\} (25 \beta)$$

Mit den angegebenen Werten für β_{ik} (Formeln (21)) erhält man unter Berücksichtigung der Relationen (22) bis (25) durch einfache Rechnungen für A' (Formel (13)), $B_{ii}^{(0)}$ (Formeln

(14α) · · (14δ)) und die in der quadratischen Gleichung (16) auftretenden Coefficienten \mathfrak{A}_{14} , \mathfrak{A}_{22} , \mathfrak{B} die nachstehenden Werte:

$$\mathfrak{A}' = -2 q_{14} q_{22} \cdot R \cdot \left\{ \begin{array}{l} q_{12} q_{12} q_{14} \mu_2 \mu_2 \mu_2 \\ + q_{21} q_{22} q_{24} \mu_2 \mu_2 \mu_1 \\ + q_{21} q_{22} q_{24} \mu_2 \mu_1 \mu_2 \\ - q_{41} q_{22} q_{24} \mu_1 \mu_2 \mu_2 \end{array} \right\} \dots (26)$$

$$\left. \begin{array}{l} \mathfrak{B}^{(0)}_{11} = -2 q_{22} q_{22} q_{22} \cdot R \cdot \mu_1^3 \\ \mathfrak{B}^{(0)}_{22} = 2 q_{12} q_{22} q_{22} \cdot R \cdot \mu_2^3 \\ \mathfrak{B}^{(0)}_{33} = 2 q_{12} q_{22} q_{22} \cdot R \cdot \mu_2^3 \\ \mathfrak{B}^{(0)}_{44} = 2 q_{12} q_{22} q_{22} \cdot R \cdot \mu_2^3 \end{array} \right\} \dots (27)$$

$$\left. \begin{array}{l} \beta_{21} \beta_{22} - \beta_{21} \beta_{22} = q_{14} q_{22} \cdot R \\ \beta_{12} \beta_{12} - \beta_{12} \beta_{12} = -q_{14} q_{22} \cdot R \end{array} \right\} \dots (28)$$

Daraus folgen, wenn zur Abkürzung noch:

$$q_{12} q_{12} q_{14} q_{22} q_{22} q_{22} = Q \dots (29)$$

gesetzt wird, die Werte:

$$\left. \begin{array}{l} \mathfrak{A}_{14} = 4 Q \cdot q_{14} \mu_2^3 \mu_2^3 \cdot R^2 \\ \mathfrak{A}_{22} = 4 Q \cdot q_{22} \mu_1^3 \mu_2^3 \cdot R^2 \\ \mathfrak{B} = 8 Q \cdot q_{14} q_{22} \cdot \mu_1 \mu_2 \mu_2 \mu_2 \cdot R^2 \end{array} \right\} \dots (30)$$

Also verschwindet die Discriminante der quadratischen Gleichung (16), d. h. es ist:

$$\mathfrak{B}^2 - 4 \mathfrak{A}_{14} \mathfrak{A}_{22} = 0 \dots (31),$$

womit der Hauptsatz bewiesen ist.

Für die Linienkoordinaten r_{ik} der zusammenfallenden Geraden r ergibt sich aus der quadratischen Gleichung:

$$q_{14} \frac{\mu_2 \mu_2}{\mu_1 \mu_1} \cdot r_{14}^2 + 2 q_{14} q_{22} \cdot r_{14} r_{22} + q_{22}^2 \frac{\mu_1 \mu_1}{\mu_2 \mu_2} \cdot r_{22}^2 = 0 \dots (32\alpha)$$

und den beiden analog zu erhaltenden Gleichungen:

$$\left\{ \begin{array}{l} q_{12}^2 \frac{\mu_2 \mu_2}{\mu_1 \mu_1} \cdot r_{12}^2 + 2 q_{12} q_{24} \cdot r_{12} r_{24} + q_{24}^2 \frac{\mu_1 \mu_1}{\mu_2 \mu_2} \cdot r_{24}^2 = 0 \dots (32\beta) \\ q_{12}^2 \frac{\mu_1 \mu_1}{\mu_2 \mu_2} \cdot r_{12}^2 + 2 q_{12} q_{22} \cdot r_{12} r_{22} + q_{22}^2 \frac{\mu_2 \mu_2}{\mu_1 \mu_1} \cdot r_{22}^2 = 0 \dots (32\gamma) \end{array} \right.$$

$$r_{12} : r_{22} : r_{14} : r_{24} : r_{12} : r_{22} = q_{22} \mu_1 \mu_2 : q_{22} \mu_1 \mu_2 : q_{22} \mu_1 \mu_2 : -q_{12} \mu_2 \mu_2 : -q_{12} \mu_2 \mu_2 : -q_{14} \mu_2 \mu_2 \dots (33)$$

Also schneidet die Gerade mit den Linienkoordinaten:

$$\left\{ \begin{array}{l} q_{22} \mu_1 \mu_2 \quad q_{22} \mu_1 \mu_2 \quad q_{22} \mu_1 \mu_2 \\ - q_{12} \mu_2 \mu_2 \quad - q_{12} \mu_2 \mu_2 \quad - q_{14} \mu_2 \mu_2 \end{array} \right\} \dots (34)$$

als einzige die Geraden

$$|\alpha_1 \alpha'_1|, |\alpha_2 \alpha'_2|, |\alpha_3 \alpha'_3|, |\alpha_4 \alpha'_4|.$$

Die Umkehrung des Hauptsatzes folgt aus dem Dualitätsprincip.

§ 3. Beweis des Zusatzes und Angabe einiger weiteren Beziehungen.

Der oben angeführte Zusatz ergibt sich nun mit Hinzuziehung des bekannten (oben citierten) v. Staudt'schen Satzes, nach welchem der Punktwurf aus den vier Durchstossungspunkten einer Geraden mit den Seitenflächen eines Tetraeders zu dem Ebenenwurfe aus den vier Verbindungsebenen dieser Geraden mit den Gegenecken des Tetraeders projectiv ist.

Die Verbindungsebenen δ_i der Geraden q mit den vier Eckpunkten a_i fallen bezw. mit den Verbindungsebenen der Geraden q mit den vier Eckpunkten a'_i zusammen, während die Schnittpunkte b'_i der Geraden r mit den 4 Schnittlinien $|\alpha_i \alpha'_i|$ zugleich die Durchstossungspunkte von r sowohl mit den vier Ebenen α_i des ersten, wie mit den vier Ebenen α'_i des zweiten Tetraeders darstellen. Ebenso wie durch jeden der vier Schnittpunkte a_i (vgl. (3)) der Geraden q mit den Ebenen α_i die Verbindungsgerade $|a_i a'_i|$ hindurchgeht, enthält auch jede der vier Verbindungsebenen γ'_i der Geraden r mit den Eckpunkten a'_i die Schnittgerade $|\alpha_i \alpha'_i|$. Endlich trifft die Gerade q die vier Ebenen α'_i in vier Punkten e'_i , während die Gerade r durch vier Ebenen ε_i mit den Eckpunkten a_i verbunden wird.

Nun ist nach dem v. Staudt'schen Satze, bei bekannter Bezeichnung des Doppelverhältnisses, wenn κ_q sich auf die Gerade q , κ_r auf die Gerade r bezieht:

$$\kappa_q = (c_1 \ c_2 \ c_3 \ c_4) = (\delta_1 \ \delta_2 \ \delta_3 \ \delta_4) = (e'_1 \ e'_2 \ e'_3 \ e'_4) \dots (35)$$

$$\kappa_r = (\gamma'_1 \ \gamma'_2 \ \gamma'_3 \ \gamma'_4) = (b_1 \ b_2 \ b_3 \ b_4) = (\varepsilon_1 \ \varepsilon_2 \ \varepsilon_3 \ \varepsilon_4) \dots (36)$$

Aus den Formeln (2) und (34) folgen aber die Werte:

$$\kappa_q = (c_1 \ c_2 \ c_3 \ c_4) = \frac{c_2 \ c_1}{c_3 \ c_4} : \frac{c_4 \ c_1}{c_3 \ c_2} = - \frac{q_{12} \ q_{34}}{q_{13} \ q_{24}} \dots (37\alpha)$$

$$\kappa_r = (b_1 \ b_2 \ b_3 \ b_4) = \frac{b_3 \ b_1}{b_2 \ b_4} : \frac{b_4 \ b_1}{b_2 \ b_3} = - \frac{q_{23} \ \mu_{11} \ \mu_{22} \cdot q_{13} \ \mu_{44} \ \mu_{33}}{q_{13} \ \mu_{11} \ \mu_{44} \cdot q_{14} \ \mu_{22} \ \mu_{33}} = - \frac{q_{13} \ q_{24}}{q_{14} \ q_{23}} \dots (37\beta)$$

Folglich ist $x_q = x_r = x$ und die drei Punkt- und die drei Ebenen-Würfe (35) und (36) sind projectiv. Die drei fundamentalen Doppelverhältnisse sind also:

$$x = -\frac{q_{12} q_{23}}{q_{13} q_{22}}, \quad \frac{1}{1-x} = -\frac{q_{12} q_{23}}{q_{13} q_{24}}, \quad \frac{x-1}{x} = -\frac{q_{12} q_{24}}{q_{13} q_{23}} \dots (38)$$

Zum Schlusse mögen noch die analytischen Ausdrücke für die Verbindungsebenen δ_i , γ'_i , ε_i und die Schnittpunkte e'_i , d_i angegeben werden; man kann aus denselben u. A. auch den v. Staudt'schen Satz für beide Tetraeder und die beiden Geraden q und r bestätigen

$$\left\{ \begin{array}{l} \delta_1 \dots [q, |a_1 a_1'|] \dots 0 \quad q_{24} \quad q_{23} \quad q_{22} \\ \delta_2 \dots [q, |a_1 a_2'|] \dots q_{24} \quad 0 \quad q_{21} \quad q_{12} \\ \delta_3 \dots [q, |a_2 a_3'|] \dots q_{23} \quad q_{14} \quad 0 \quad q_{21} \\ \delta_4 \dots [q, |a_3 a_4'|] \dots q_{22} \quad q_{21} \quad q_{12} \quad 0 \end{array} \right\} \dots (39)$$

$$\left\{ \begin{array}{l} e'_1 \dots (q, a_1') \dots -\sigma_1 \quad \beta_{12} \mu_2 \quad \beta_{13} \mu_3 \quad \beta_{14} \mu_4 \\ e'_2 \dots (q, a_2') \dots \beta_{21} \mu_1 \quad -\sigma_2 \quad -\beta_{23} \mu_3 \quad -\beta_{24} \mu_4 \\ e'_3 \dots (q, a_3') \dots \beta_{31} \mu_1 \quad -\beta_{32} \mu_2 \quad -\sigma_3 \quad -\beta_{34} \mu_4 \\ e'_4 \dots (q, a_4') \dots \beta_{41} \mu_1 \quad -\beta_{42} \mu_2 \quad -\beta_{43} \mu_3 \quad -\sigma_4 \end{array} \right\} \dots (40)$$

$$\left\{ \begin{array}{l} \gamma'_1 \dots [r, a_1'] \dots \frac{1}{\mu_1} \sigma_1 \quad \beta_{12} \quad \beta_{13} \quad \beta_{14} \\ \gamma'_2 \dots [r, a_2'] \dots \beta_{21} \quad \frac{1}{\mu_2} \sigma_2 \quad \beta_{23} \quad \beta_{24} \\ \gamma'_3 \dots [r, a_3'] \dots \beta_{31} \quad \beta_{32} \quad \frac{1}{\mu_3} \sigma_3 \quad \beta_{34} \\ \gamma'_4 \dots [r, a_4'] \dots \beta_{41} \quad \beta_{42} \quad \beta_{43} \quad \frac{1}{\mu_4} \sigma_4 \end{array} \right\} \dots (41)$$

$$\left\{ \begin{array}{l} d_1 \dots (r, |a_1 a_1'|) \dots 0 \quad q_{24} \mu_4 \quad q_{23} \mu_3 \quad q_{22} \mu_2 \\ d_2 \dots (r, |a_2 a_2'|) \dots q_{24} \mu_1 \quad 0 \quad q_{14} \mu_4 \quad q_{21} \mu_1 \\ d_3 \dots (r, |a_3 a_3'|) \dots q_{23} \mu_1 \quad q_{21} \mu_2 \quad 0 \quad q_{12} \mu_2 \\ d_4 \dots (r, |a_4 a_4'|) \dots q_{22} \mu_1 \quad q_{12} \mu_3 \quad q_{21} \mu_3 \quad 0 \end{array} \right\} \dots (42)$$

$$\left\{ \begin{array}{l} \varepsilon_1 \dots [r, a_1] \dots 0 \quad q_{12} \mu_2 \mu_4 \quad q_{13} \mu_3 \mu_2 \quad q_{14} \mu_4 \mu_2 \\ \varepsilon_2 \dots [r, a_2] \dots q_{12} \mu_2 \mu_4 \quad 0 \quad q_{23} \mu_1 \mu_4 \quad q_{24} \mu_1 \mu_2 \\ \varepsilon_3 \dots [r, a_3] \dots q_{13} \mu_4 \mu_2 \quad q_{23} \mu_1 \mu_4 \quad 0 \quad q_{24} \mu_1 \mu_2 \\ \varepsilon_4 \dots [r, a_4] \dots q_{14} \mu_2 \mu_3 \quad q_{24} \mu_1 \mu_3 \quad q_{23} \mu_1 \mu_3 \quad 0 \end{array} \right\} \dots (43)$$

Auf weitere Eigenschaften der durch 2 Tetraeder in unilinearer Lage bestimmten Raumfigur, insbesondere auf den speciellen Fall, in welchem die beiden Geraden q und r zusammenfallen, sowie auf die Untersuchung derjenigen Fälle, in welchen zwei Tetraeder auf mehrere Arten in unilinearer Lage sein können, behalte ich mir vor, in einer weiteren Mitteilung genauer einzugehen.

Neuaufgelegte Schriften:

- Mittheilungen des naturwissenschaftlichen Vereins für Steiermark. Heft 35. Graz 1899.
- Rendiconto dell' Accademia delle Scienze fisiche e matematiche. Ser. 3 Vol. V, fasc. 6—12, Vol. VI, fasc. 1 u. 2. Napoli 1899/1900.
- Atti della R. Accademia dei Lincei. Ann. 296, 297; Ser. V, A. 299; Ser. V. Vol. IX, fasc. 4—7. Roma 1899/1900.
- Rendiconto dell' Adunanza solenne. Roma 1899/1900.
- Rendiconti. Vol. VIII, fasc. 1—12, Vol. IX, fasc. 3. Roma 1899/1900.
- Crustacea of Norway by G. O. Sars. Vol. V, Part. XIII, XIV, Vol. III, Part. I—IV. Bergen 1899/1900.
- Tromsø Museums Aarshefter 20 und Aarsberetning 1897. Tromsø 1898/99.
- Rovartani Lapok, VI, 6 u. 10. Budapest 1899.
- Bulletin of the Geological Institution of Upsala. Vol. IV, Part. I, Nr. 7. Upsala 1899.
- Bulletin de l'Académie impér. des Sciences de St. Petersbourg. Tom. VIII, 5; Tom. IX, 1—5; Tom. X, 1—4. St. Petersburg 1898/99.
- Missouri botanical Garden, 10. Report 1899.
- Archives du Musée Teyler. Ser. II, Vol. VI, Part. III, IV. Haarlem 1899/1900.
- Von der Königl. Academie der Wissenschaften in Amsterdam: Verhandelingen Afd. Natuurkunde. Sect. I, Deel VI; Sect 2, Deel VI, 6/7.
- Zittingsverslagen, Natuurkunde. Deel VII, 3/8. Jaarboek 1898.
- Transactions of the Academy of Science of St. Louis. Vol. VIII Nr. 9—12; Vol. IX, Nr. 1—8. St. Louis 1898.
- Proceedings of the American Academy of Arts and Sciences. Vol. XXXIV, Nr. 18—23; Vol. XXXV, Nr. 1—3. Boston 1899.
- Bulletin of the Museum of comparative Zoology at Harvard College. Vol. XXXII, Nr. 10; Vol. XXXIII, Nr. 7; Vol. XXXV, Nr. 1/2 and Annual Report 1898/99. Cambridge 1899.
- Proceedings of the Boston Society of natural History. Vol. 28, Nr. 13—16; Vol. 29, Nr. 1—8. Boston 1899.
- Memoirs, Vol. 5, Nr. 4 u. 5. Boston 1899.
- Journal and Proceedings of the royal Society of New South Wales. Vol. XXXII. Sydney 1898.
- Journal of the Elisha Mitchell Scientific Society. Jahrg. 15, Part. 2. Chapel Hill 1898/99.

Sitzungsberichte

der Gesellschaft zur Beförderung der gesammten Naturwissenschaften

zu

M a r b u r g.

N^{ro.} 4

Mai

1900

In der wissenschaftlichen Sitzung vom 9. Mai 1900 sprach
Herr Zumstein:

Ueber den Bronchialbaum der Säuger und Vögel.

In den Sitzungen dieser Gesellschaft vom März 1889, Februar 1891 und vom März 1892 habe ich die Ergebnisse der Corrosionen mitgetheilt, die ich von Leber, Niere, Milz, speziell aber von Lungen ausgeführt habe. Ich habe mich hauptsächlich an die Untersuchungen von Aeby gehalten: „Der Bronchialbaum der Säugethiere und des Menschen nebst Bemerkungen über den Bronchialbaum der Vögel und Reptilien.“ Es haben mich die Ergebnisse der Corrosionen der Frettchenlunge dazu geführt, zu erklären, dass die Eintheilung der Bronchen in „eparterielle“ und „hyarterielle“ nicht stichhaltig sei. Die Art. pulmon. könne nicht das massgebende Prinzip sein für die Verästelung des Bronchialbaumes. Trotzdem hat sich die Aebysche Theorie von der Bronchialverästelung im Fluge Geltung verschafft, wie sich Merkel in seinen Ergebnissen ausdrückt.

Es sind nun seither noch weitere Arbeiten erschienen, die gegen die Aebysche Theorie Stellung nehmen. In seiner Arbeit „Vergleichende Anatomie des Bronchialbaumes“ widerlegt Narath ¹⁾

1) Verhandl. d. anat. Gesellsch. VI. Versamml. Wien 1892.

die Angaben von Aeby. In einer folgenden Arbeit, Die Entwicklung der Lungen von *Echidna aculeata*¹⁾, weist Narath auch entwicklungsgeschichtlich nach, dass die Art. pulmon. in der ganzen Ontogenese der Echidnalunge auf die Gestaltung des Bronchialbaumes keinen Einfluss habe.

Wie Narath wendet sich auch d'Hardiviller²⁾ in mehreren Arbeiten gegen Aeby.

Er hat die Entwicklung des Bronchialbaumes beim Kaninchen und beim Schafe verfolgt. Die Seitenbronchen entstehen nach ihm als seitliche Ausbuchtungen oder Hernien des Epithels des Stammbronchus. In gleicher Weise entsteht auch der Bronchus für den Lobus infracardiacus, der vollständig unabhängig sein soll, sowohl vom ersten als auch vom zweiten ventralen Bronchus.

Nicolas und Dimitrovo³⁾ bestätigen in ihren Untersuchungen beim Schafe die Resultate von d'Hardiviller. Der cardiale Bronchus ist ein ventraler Bronchus und nicht accessorisch wegen seines frühen Auftretens.

Ich habe bei den Säugern die Lungencorrosionen weiter fortgesetzt, um allenfalls auch noch andere Thiere zu finden, welche ein variables Verhalten der Art. pulmon. zum Bronchialbaum zeigen. Unter der sehr grossen Zahl der Corrosionen der Hundelungen fand ich bei einem neugeborenen Hunde die rechte Art. pulmon. über dem ersten abgehenden Seitenast den rechten Stammbronchus kreuzen, so dass also auch rechts kein eparterieller Bronchus vorhanden ist; die Wurfgeschwister dieses Hundes zeigen dagegen das gewöhnliche Verhalten der Art. pulmon. dextra zum rechten Bronchus.

1) Aus Semon: Zool. Forschungsreisen in Australien und dem malayschen Archipel 96.

2) La Ramification bronchique chez le lapin. Bibliogr. anatom. Paris et Nancy 96.

3) Les bronches éparterieles chez les mammifères et spécialement chez l'homme C. R. l'acad. Sc. 97.

4) Note sur le développement de l'arbre bronchique chez le mouton. C. R. soc. Biol. 97.

Auch bei einer Menschenlunge fand ich eine Abweichung vom gewöhnlichen Verhalten. Dieselbe besitzt auf der linken Seite einen kleinen, eparteriellen Bronchus, der gegen die Lungenspitze geht. Das Präparat stammt von Präparirsaale und ist erst nachträglich injicirt worden und dann auspräparirt, nicht corrodirt. Die Lunge zeigte noch eine weitere Eigenthümlichkeit, die Vena azygos verlief über die laterale Seite der rechten Lungenspitze, dieselbe von der übrigen Lunge stark abschnürend; ein solches Verhalten ist bereits beschrieben worden.

Ich habe nun beim Säuger die Maulwurfslunge entwicklungsgeschichtlich verfolgt. Diese interessirte mich besonders wegen der starken Assymetrie zwischen linker und rechter Lunge und ferner wegen der grossen Ausdehnung des Lobus infracardiacus, das an Corrosionen deutlich hervortritt. Ich habe mich der Plattenmodellirmethode bedient und aus acht verschiedenen an einanderschliessenden Stadien Rekonstruktionen gemacht. Wie das jüngste meiner Modelle vom Maulwurf zeigt, bleibt die Anlage der linken Lunge, speziell des linken Bronchus, schon in frühester Anlage hinter dem rechten Bronchus zurück. Während der linke Bronchus auf der Querschnittserie nur in einem Schnitte deutlich abgegrenzt ist, erstreckt sich der rechte Bronchus schon durch 10 Schnitte. In der weiteren Entwicklung sieht man nun beständig den linken Bronchus hinter dem rechten zurückstehen. Der erste Bronchus weilt schon mehrere Seitenäste auf bevor der linke Bronchus nur eine Andeutung von Verzweigung erkennen lässt. Es kann nicht wohl die Platzbeengung Ursache für die spät auftretende Ramifikation des linken Bronchus sein. Denn der rechte Bronchus schickt den Ast für den Lobus infracardiacus, der den linken Bronchus im Wachsthum nach links hin theilweise noch überragt, sehr bald hinüber. Der Bronchus infracardiacus kann in Grösse und Zahl der Seitenäste dem linken Bronchus fast gleichkommen.

Der Ursprung des Bronchus infracardiacus ist an den vorliegenden Präparaten variabel. Er kann aus dem Stammbronchus hervorgehen unterhalb vom zweiten Seitenast desselben,

oder er kann aus dem zweiten Seitenast entspringen. Dorsale und mediale Bronchen entspringen erst später, und erreichen nicht die Ausdehnung der lateralen, zuerst auftretenden Bronchen. — Die Arteriae pulmonales entspringen weit cranial zur Seite der Trachea und begleiten die Trachea nach unten zur Lunge ventrolateral zu beiden Seiten der Trachea gelegen. Die linke Art. pulmonalis wendet sich schon vor der Bifurcation etwas dorsalwärts, während die rechte Art. pulmonalis ventral vor dem ersten Seitenast des rechten Bronchus heruntersteigt. Für die Verästelung des Bronchialbaumes können die Arterien wohl kaum eine Bedeutung haben, denn die ersten Abzweigungen bilden sich am Stammbronchus, bevor die Art. pulmonalis mit Sicherheit in die Lunge hinein verfolgt werden kann.

Ueber die Anatomie der Vogellungen sind meines Wissens in neuerer Zeit nur wenig Arbeiten erschienen; Selenka¹⁾ hat über die erste Entwicklung des Bronchialbaumes und der Luftsäcke des Huhnes sehr zutreffende Bilder geliefert. Aeby giebt in seiner bereits erwähnten Arbeit eine kurze Beschreibung mit Abbildung des Bronchialbaumes des Vogels. Er theilt seiner Theorie entsprechend die Bronchen in eparterielle und hyparterielle ein.

Eine ausführlichere Beschreibung liefert Bär,²⁾ sowohl über die Verästelung des Bronchialbaumes wie über die Beziehungen der Luftsäcke zu den Luftwegen. Von letzteren sagt er: Nachdem der Bronchus in die Lungen eingetreten, erweitert er sich zu einem ampullenförmigen Vestibulum, wobei er die Knorpelringe fast ganz verliert.

1) Selenka, Beitrag zur Entwicklungsgeschichte der Luftsäcke des Huhnes (Zeitschrift für wissenschaftl. Zool. B. 16, Jahrg. 66).

2) M. Bär, Beiträge zur Kenntniss der Anatomie und Physiologie der Athemwerkzeuge bei den Vögeln. (Zeitschr. für wissenschaftl. Zool. B. 61, Jahrg. 96).

Im weiteren Verlaufe liegt der Hauptbronchus ebenso wie dessen wenigen Aeste sehr nahe an der ventralen Fläche der Lunge, fast unmittelbar unter der Pleura. Nach Herstellung des Vestibulums theilt sich der Hauptbronchus in zwei Kanäle, einen dorsalen inneren und einen ventralen äusseren. Von diesen hat der dorsale die gleiche Weite wie der Hauptbronchus selbst, verläuft gleichsam als unmittelbare Fortsetzung des letzteren und geht in den abdominalen Luftsack über, Mesobronchium von Huxley genannt. Der zweite Kanal verläuft etwas ventralwärts gegen den äusseren Lungenrand, den er aber nicht erreicht und geht in den hinteren diaphragmatischen Luftsack über. Auf der dorsalen Wand des Vestibulums entspringen sodann vier, und aus derselben Wand des Mesobronchium sieben bis zehn, meist sieben Zweige. Die ersteren nennt er Entobronchien, die letzteren Ectobronchien. Das erste Entobronchium giebt zunächst einen Ast ab, der lateral um den Hauptbronchus herumgeht, und in den interclaviculären Luftsack führt. Der Haupttheil des ersten geht kopfwärts in die Lungenspitze und mündet dann auch in den cervicalen Luftsack.

Das zweite Entobronchium ist sehr kurz und kann auch mit dem cervicalen Luftsack zusammenhängen, das dritte ebenfalls kurze führt in den vorderen diaphragmatischen Luftsack und kann auch mit dem clavicularen Luftsack verbunden sein. Das vierte Entobronchium und sämtliche Ectobronchien stehen mit den Luftsäcken in keiner Beziehung.

Die Ectobronchien und Entobronchien, die nicht in Luftsäcke übergehen, verlaufen geschlängelt und theilen sich erst im letzten Drittheile ihrer Länge in zwei, höchstens drei gleichwerthige Aeste, oder sind ganz ungetheilt.

Es zieht dann auch Milani¹⁾ in seiner Arbeit über die Reptilienlungen die Vogellungen zum Vergleich heran. Es mag schwierig sein, an der fertigen Lunge eine Uebereinstimmung

¹⁾ Milani, Beiträge zur Kenntniss der Reptilienlunge. Zool. Jahrb. B. VII, 93 und B. X, 97.

nachzuweisen; ich glaube, dass vor Allem die Entwicklung der Schildkröten- und Crocodillungen, vielleicht auch der Varnidenlungen am ehesten Aufschluss geben kann, inwieweit die Vogel- lung auf die Reptillunge bezogen werden darf. Die Lazertilierung, die ich entwicklungsgeschichtlich verfolgt habe, ist zu einfach gebaut und deshalb wenig geeignet.

Seit Jahren habe ich von Vogellungen Corrosionspräparate angefertigt. Ich habe einige auch früher in dieser Gesellschaft vorgezeigt. Einen klaren Einblick in die Beziehungen der Luftwege zu einander und zu den Luftsäcken habe ich durch diese Corrosionen nicht gewinnen können. Deshalb habe ich es unternommen, auf entwicklungsgeschichtlichem Wege die verhältnissmässig complizirten Beziehungen zu entwirren. Dieser Weg schien mir um so mehr geboten, da er noch nicht betreten ist.

Wie beim Maulwurf so habe ich mich auch hier der Plattenmodellirmethode bedient. Als Objekt wählte ich die Hausente, von welcher mir ein reichliches Material zur Verfügung stand. Aus 15 verschiedenen, aneinander anschliessenden, zu Schnittserien verarbeiteten Stadien habe ich Plattenmodelle angefertigt. Das jüngste Stadium zeigt die Theilung der Trachea in die beiden Bronchen. Bei dem ältesten Stadium wachsen eben die Lungenpfeifen aus den Ectobronchien und Entobronchien hervor. Zum Vergleiche benutzte ich ausserdem mein reichliches Corrosionsmaterial der Lungen verschiedener Vogelarten, darunter auch der Ente. Es sollen in der Darstellung meiner Untersuchungen zuerst der Hauptbronchus, das Mesobronchium, zweitens die Verzweigungen desselben, die Entobronchien und Ectobronchien, und drittens die Luftsäcke betrachtet werden.

1. Der Haupt- oder Stammbronchus, Mesobronchium.

Die Entenlunge besitzt einen Hauptbronchus, der caudalwärts in einen abdominalen Luftsack übergeht. Ein ampullenförmiges Vestibulum nach Eintritt in die Lungen ist nicht vorhanden.

Der linke Hauptbronchus zeigt bei den Plattenmodellen nahe der Bifurcation vor Eintritt in die Lunge eine sehr früh auftretende Erweiterung. Diese Erweiterung ist bei dem Corrosionspräparate einer Taucherente (Spezies unbekannt) an beiden Hauptbronchen vorhanden.

Der Hauptbronchus zeigt nach den Plattenmodellen gegenüber der Säugerlunge ein sehr starkes Längenwachsthum in dorsolateraler Richtung caudalwärts. Er erreicht ungefähr die dreifache Länge des Stammbronchus der Maulwurfschlange, bevor eine erste Verzweigung auftritt.

Der erste Seitenzweig tritt auf in Form einer Knospe an der dorsalen Wand, beim Uebergange des zweiten zum letzten Drittheil. Dieser ersten dorsalen Knospe folgen caudalwärts alsbald zwei weitere dorsale Ausstülpungen, dann auch ventrale. Eine Zweitheilung des Stammbronchus in einen dorsomedialen und ventrolateralen Ast ist nicht zu constatiren. Nach dem Auftreten dieser ersten Seitenzweige schlägt der Endabschnitt des Stammbronchus eine mehr caudale Richtung ein. Sein hinterstes Ende erweitert sich allmählich zu einem abdominalen Luftsacke.

2. Die Seitenzweige des Stammbronchus, die Entobronchien und Ectobronchien.

Die zuerst auftretenden Seitenzweige des Stammbronchus gehen wie oben gesagt aus dessen dorsaler Wand hervor. Zunächst erscheinen drei deutliche Knospen, die sich rasch weiter entwickeln; sie sollen primäre Zweige genannt werden. Der erste primäre Zweig wächst dorsomedial und kopfwärts, der dritte gleichfalls kopfwärts aber dorsolateral. Beide beginnen alsbald sich weiter zu verzweigen.

Die zweite primäre Knospe schickt einen Fortsatz medial, einen andern lateral um den Stammbronchus herum, beide nach der ventralen Seite. Ein anderer Theil des zweiten Seitenastes schliesst sich in dorsomedialer Richtung dem ersten primären Dorsalzweige an.

Gegenüber diesen dorsalen Zweigen treten auf der ventralen und ventromedialen Seite Ausstülpungen auf. Sie bleiben aber im Wachsthum hinter den dorsalen zurück.

Mit fortschreitender Entwicklung vermehrt sich nun die Zahl der dorsalen Knospen. Sie sollen sekundäre Dorsalzweige genannt werden. Zwischen den zweiten und dritten Primärzweig drängen sich noch zwei kleinere dorsale Aeste hinein und auf den dritten primären Ast folgen weiterhin in caudaler Richtung acht bis neun dorsale Auswüchse, die hinteren immer kleiner werdend und später auftretend als die vorderen.

Auch aus der ganzen übrigen Wand des Stammbronchus, von der dorsalen Seite abgesehen, wachsen caudal von dem dritten Primärzweig noch kleine Seitenzweige hervor, so dass der Hauptstamm ringsum befiedert erscheint.

Der erste primäre Seitenbronchus wächst gegen die Lungenspitze. Indem er sich reichlich in dorsaler und ventraler Richtung verzweigt, bildet er den Haupttheil der medialen Lungenparthie. Aus ihm entsteht das erste Entobronchium. Der zweite Primärbronchus und die zwei folgenden secundären, vor dem dritten Primärbronchus gelegenen bilden das zweite bis vierte Entobronchium. Diese drei Entobronchien verästeln sich hauptsächlich in dorsaler Richtung und bilden den caudalen Abschnitt der medialen Lungenhälfte. Sie sind nicht so gross und nicht so stark verzweigt, wie das erste Entobronchium. Sie senden nach den Plattenmodellen röhrenförmige Auswüchse caudalwärts.

Die einzelnen Zweige der Entobronchien anastomosiren häufig miteinander. Ans diesen Zweigen sieht man beim ältesten der angefertigten Lungenmodelle die Lungenpfeifen in lateraler Richtung in das Innere des Lungenkörpers auswachsen.

Aus dem dritten Primärbronchus und den folgenden acht bis neun sekundären Zweigen entstehen die Ectobronchien. Sie bilden den lateralen Theil der Lunge. Der dritte Primärbronchus oder das erste Ectobronchium ist der stärkste und meistverzweigte. Er bildet die Spitze der lateralen Lungen-

parthie; er wird von der medialen Seite her durch das erste Entobronchium kopfswärts überragt.

Die ihm caudal folgenden Ectobronchien werden nach hinten immer kleiner und vom siebenten an zeigen sie keine gröbere Verzweigung mehr. Auch die Zweige der Ectobronchien besitzen zahlreiche Anastomosen. Sie senden die Lungenpfeifen in medialer Richtung in den Lungenkörper hinein, denjenigen der Entobronchien entgegen. Wie die Corrosionspräparate zeigen, verbinden sich dann die Lungenpfeifen der Ectobronchien und Entobronchien miteinander.

Die ventralen Seitenäste des Stammbronchus erreichen im Gegensatze zu den dorsalen keine grosse Ausdehnung. Sie sind zwar bei dem ältesten der Modelle verhältnismässig lange Röhren, die caudal sich etwas erweitern, bei den Corrosionspräparaten der ausgewachsenen Lunge treten sie aber sehr zurück, so dass man sie leicht übersehen kann. Einer der ersten ventralen Aeste hat ein etwas grösseres Caliber, zeigt auch schon frühe eine starke Erweiterung, einen Luftsack.

Es ist offenbar derselbe, den Bär als den einen Theil des Hauptbronchus auffasst, und der in den hinteren diaphragmatischen Luftsack führt. Entwicklungsgeschichtlich betrachtet ist er nur ein ventraler Zweig des Stammbronchus, der erst sekundär auftritt.

Die übrigen oben erwähnten rings um den Stammbronchus auftretenden Zweige, welche zum Bereiche der Ectobronchien gehören, bleiben ganz klein; theilweise haben sie nur das Caliber von Lungenpfeifen.

3. Die Luftsäcke.

Nach Bär unterscheidet man 1. cervicale, 2. interclaviculäre, 3. vordere diaphragmatische, 4. hintere diaphragmatische und 5. abdominale Luftsäcke.

Der abdominale Luftsack geht aus dem Stammbronchus hervor. Er bildet sich sehr früh als eine deutliche Auftreibung des caudalen Endes desselben.

Der hintere diaphragmatische Luftsack entsteht aus einem ventralen Seitenzweige des Stammbronchus. Nach Corrosionspräparaten kann er sich auch tief ins Abdomen hinein zur Seite des abdominalen Luftsackes erstrecken. Ausser diesem einen ventralen Zweige gehen aber offenbar noch weitere ventrale Zweige in Luftsäcke über, wie ich aus den Modellen der älteren Lungen entnehme. Denn die caudal auswachsenden Röhren derselben sind an ihren Enden häufig erweitert, gleich wie der Stammbronchus beim Beginn der Bildung des abdominalen Luftsackes.

Der vordere diaphragmatische Luftsack ist wie der hintere und abdominale schon früh deutlich angelegt. Er geht hervor aus dem medial um den Stammbronchus herumverlaufenden Fortsatze des zweiten Primärbronchus. Das Verbindungsstück aus dem Entobronchium zum Luftsack entwickelt ausserdem auch Lungenpfefen.

Der interclaviculäre und cervicale Luftsack ist an meinen Modellen noch nicht deutlich angelegt. Aus den Corrosionspräparaten ersehe ich aber, dass der cervicale Luftsack aus einem Aste des ersten Primärbronchus hervorgeht. Der interclaviculäre Luftsack hängt zusammen mit dem lateral um den Hauptbronchus herumgehenden Fortsatze des zweiten Primärbronchus.

Die Arteriae pulmonales zweigen sich etwas cranial über der Theilung der Trachea ab. Sie verlaufen zu beiden Seiten lateral vom Stammbronchus zur Lunge. Der Hauptstamm geht zwischen den Entobronchien und Ectobronchien in den Lungenkörper hinein und giebt hier medial und lateral seine Seitenäste ab ohne dem Verlaufe des Hauptbronchus und seiner Seitenäste zu folgen, wie dies bei der Säugerlunge der Fall ist. Ein kleinerer Seitenast begleitet den Hauptbronchus an dessen ventraler Seite. Er versorgt die ventralen Aeste des Stammbronchus ebenso wie die kleineren lateralen Zweige desselben.

In derselben Sitzung (9. Mai 1900) machte Herr Prof. Disse weitere Mitteilungen zur

Anatomie der Niere.

Mit 2 Abbildungen im Text.

1. Die Niere winterschlafender Tiere.

Für die Lösung der Frage, ob während der Harnsecretion sichtbare Veränderungen an den Epithelien bestimmter Abschnitte der Harncanälchen ablaufen, oder nicht, ist es von grosser Wichtigkeit, das Aussehen dieser Epithelien bei einer Niere zu kennen, die nicht secerniert. Für gewöhnlich ist es nicht ausführbar, eine Niere im Ruhezustande zu bekommen; denn dieses Organ secerniert nicht etwa periodisch, sondern fortwährend, und nur die Menge des in gleichen Zeiträumen abgesonderten Secretes wechselt. Da nun, wie die Versuche von Heidenhain (1) ergeben haben, nebeneinander liegende Harncanälchen unabhängig voneinander und ungleichzeitig an der Secretion sich beteiligen, so findet man bei Untersuchung der Niere immer in verschiedenen Phasen der Thätigkeit befindliche Canälchen nebeneinander und es ist nicht zu entscheiden, welches Harncanälchen gerade funktioniert hat und welches in „Ruhe“ ist. Auch bei Nieren, deren Thätigkeit man willkürlich gesteigert oder herabgesetzt hat, bleibt die gleiche Schwierigkeit bestehen.

Nun giebt es einen physiologischen Zustand, in dem die Nierenfunktion für längere Zeit aufhört; das ist der Winterschlaf. Die Aufnahme von Nahrung hört auf, ebenso die Entleerung von Excreten; man findet bei winterschlafenden Tieren die Blase immer gefüllt, kann aber feststellen, dass während der ganzen Periode des Schlafes keine Entleerung eintritt.

Der Zustand, in dem sich die Niere winterschlafender Tiere befindet, ist als „Ruhezustand“ anzusehen; man darf erwarten, dass ihm ein besonderes allen absondernden Canalabschnitten zukommendes Aussehen der Epithelien entspricht.

Im letzten Winter habe ich die Gelegenheit wahrgenommen, mir viele Exemplare unserer kleinen Fledermaus-Art, *nannugo pipistrellus*, im schlafenden Zustande zu verschaffen und die Nieren zu untersuchen. Teils wurden die Tiere direct nach dem Herausholen aus dem Versteck in tiefem Schlafe, durch Decapitation getötet; teils aber wurden sie im warmen Zimmer unter Glasglocken gehalten zum Wachen gebracht, und bis zu mehreren Wochen am Leben erhalten. Derartige Exemplare flogen öfters längere Zeit im Zimmer umher; einige wurden unmittelbar nach solchen Flügen getötet, andere erst nach längerer Ruhe. Im warmen Zimmer wurde sowohl Koth als Harn entleert, aber keine Nahrung aufgenommen.'

Die Nieren wurden in Zenker'scher Lösung, concentrirter Sublimatlösung mit 5% Eisessig, dem Gemisch von Alkohol absolut. Chloroform-Eisessig, sowie in Flemming'scher Lösung fixiert; auf das Aussehen der Epithelien hatte die Fixierungsflüssigkeit wenig Einfluss; da aber vorwiegend die Heidenhain'sche Hämatoxylinfärbung zur Anwendung kam, wurden die Sublimatgemische bevorzugt.

Die Rindencanälchen an den Nieren derjenigen Tiere, die im tiefen Schlaf getötet waren, boten ein sehr gleichmässiges Aussehen. Man findet nur Canälchen mit engem Lumen und hohem, körnig aussehenden Epithel. Die Körner sind in parallelen Reihen geordnet, die von der Basis der Zelle bis in die „Zellkuppe“ hineinreichen; diese selbst erscheint leicht parallel streifig, wie ein „Bürstensaum“, und es stehen die Streifen mit den Körnerreihen der basalen Zellabschnitte in Verbindung. Abweichungen von dieser Form fanden sich in der ganzen Rinde nicht; besonders waren keine Canälchen mit niedrigem Epithel sichtbar.

Die Glomeruli waren vielfach blutleer und collabiert; die Capillaren der Rinde gleichfalls; auf diesen anämischen Zustand wies bereits die Kleinheit, Weichheit und helle, gelbbraune Färbung der ganzen Niere hin.

Es ist bekannt, dass in den Nieren solcher Tiere, deren Harnmenge beträchtlich herabgesetzt ist, sich vielfach Canälchen

mit engem Lumen und hohem Epithel dessen Kuppe als „Bürstensaum“ erscheint, vorfinden. Wie die Untersuchung der Niere winterschlafender Tiere lehrt, sind derartige Canälchen mit Recht als ruhend aufgefasst worden z. B. von Sauer (2).

Ein abweichendes Aussehen bieten die Nieren solcher Tiere, die nach längerem Wachen, besonders nach längerem Fliegen, getötet wurden. Der ganze Körper war warm, ziemlich blutreich; auch die Nieren erschienen grösser, dunkler, blutreicher; die Blase wurde ganz leer, in andern Fällen mit wenig Inhalt angetroffen. Es hatte in den letzten Tagen Harnentleerung stattgefunden.

In der Nierenrinde sind zweierlei Formen von Rindencanälchen vorhanden, enge und weite. In vielen Canälchen mit engem Lumen finden sich einzelne Zellen vor, die an Volumen und Aussehen sich von den benachbarten unterscheiden. Da die gleich behandelten Nieren der im Schlafe getöteten Tiere keine derartigen Befunde zeigten, so muss die Annahme einer durch die Erhärtungsweise bewirkten Veränderung der Zellen ausgeschlossen werden; vielmehr liegt die Fixierung von Zuständen vor, die während des Lebens bestanden haben.

Die Rindencanälchen mit weitem Lumen sind zahlreich vorhanden. Die Erweiterung ist durch Niedrigwerden des Epithels verursacht. Die Epithelzellen sind fast um die Hälfte niedriger, als in den Canälchen der ruhenden Niere; ihr Bau dagegen bietet keine Abweichungen, das Protoplasma ist längsstreifig, die Zellkuppe sieht wie ein „Bürstensaum“ aus. Das Aussehen dieser Canälchen gleicht dem, das viele Rindencanälchen in solchen Nieren bieten, die viel Secret abgesondert haben; ich habe früher (3) derartige Zellen als „leer“ bezeichnet. In allen weiten Canälchen war ein gleichartiges Aussehen des niedrigen Epithels zu constatieren. Formunterschiede benachbarter Zellen kamen nicht zur Beobachtung. Wie das Niedrigwerden des Epithels zu erklären ist, soll noch erörtert werden. In den Rindencanälchen mit engem Lumen waren vielfach die einzelnen Epithelzellen ungleichartig; und darin liegt ein wesent-

licher Unterschied im Verhalten dieser Canälchen gegenüber dem in der ruhenden Niere. Es erscheinen einzelne Epithelzellen höher, heller, besser abgegrenzt als ihre Nachbarn; die Zellkuppe war nicht mehr als streifiger Saume vorhanden, sondern erschien hell und grenzte sich nicht mehr vom übrigen Zellenleib ab. Die ganze Zelle hatte die Form eines deutlich begrenzten Kegels; das streifig-körnige Aussehen hatte einem mehr hellen Zustande des Protoplasma Platz gemacht, als sei die ganze Zelle aufgequollen und dabei homogener geworden. Unterhalb des Kerns, der die Mitte der Höhe einnimmt, ist das Protoplasma dieser Zellen noch streifig; oberhalb sieht man wohl feine Fäden, aber die Körnung tritt zurück.

Derartig vergrößerte Zellen liegen einzeln, zwischen den hohen, körnigen; sie ragen mit ihrer Kuppe in das enge Lumen der Rindencanälchen hinein, und sind schön daran zu erkennen, dass der innerste Abschnitt, zunächst dem Lumen, nicht mehr feinstreifig erscheint. Natürlich kann hier nicht davon die Rede sein, dass ein dem Lumen zunächst gelegener „Bürstensaum“ abgefallen wäre. Durch derartige Vorgänge müssten die Zellen doch niedriger werden; ausserdem ist nicht einzusehen, weshalb in der „ruhenden“ Niere es nie zum Abfallen der Bürstensäume kommt, und warum in der Niere, deren Thätigkeit wieder begonnen hat, nur einzelne Zellen derart beschädigt werden, während ihre unmittelbaren Nachbarn diese Schädigung nicht erlitten haben. Das ganze Aussehen derartiger Zellen spricht dafür, dass sie gut erhalten sind; dass sie eine besondere Form besitzen, dass sie höher, heller, besser abgegrenzt erscheinen, muss mit der wiedererwachten Funktion zusammenhängen. Denn nur in funktionierenden Nieren findet man solche Zellformen vor.

Die nächstliegende Deutung des Befundes ist die, dass bei beginnender Secretion der Niere die Epithelzellen in den Rindencanälchen eine helle Zellkuppe ausbilden, die an die Stelle des „Bürstensaumes“ tritt, und aus diesem hervorgeht, dass diese

Zellen ferner ihr Volumen vergrössern und dabei heller werden. Am nächsten liegt, dies als die Folge einer Imbibition mit dem sich ansammelnden Secret anzusehen.

Welche Formen liegen aber, so muss man fragen, zwischen diesen vergrösserten, hellen Zellen, und den niedrigen Epithelien in den Canälchen mit weitem Lumen? Niedrige Epithelien findet man, wenn viel Secret entleert ist. Giebt es Zwischenstufen, welche die entleerten Zellen mit den sich anfüllenden verknüpfen? Man wird nicht erwarten dürfen, bei der geringen Thätigkeit, die der Niere aus dem Winterschlaf erweckter Tiere zukommt, diese Zwischenformen zahlreich anzutreffen; es ist mir auch nicht gelungen, bei den Fledermäusen Zellformen zu finden, die ich als Zwischenstadien zwischen den beschriebenen Zellen und den ganz leeren Zellen ansehen möchte.

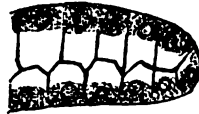


Fig. 1.

Rindencanälchen einer
Hundeniere. Längsschnitt.

Wohl aber sind mir in den Nieren anderer Säuger, z. B. bei Hunden und Ratten neben solchen Zellformen, die den bei der Fledermaus gefundenen völlig gleichen, auch öfters andere zu Gesicht gekommen, die ungezwungen als Zwischenstufen zwischen in Füllung begriffenen und zwischen ganz leeren Zellen gedeutet werden können. In vielen Rindencanälchen einer Hundeniere, die in Sublimat fixiert worden war, zeigten sämtliche Epithelzellen ein Bild, das ich in Fig. 1 wiedergebe.

Jede Zelle zerfällt in einen dunkeln, körnigen basalen Abschnitt, der den Kern umschliesst, und eine hohe, helle, prismatische Zellkuppe, deren Wand sich deutlich hervorhebt. Zu jeder Zelle gehört ein derartiger, heller Abschnitt. Die Zellen sind deshalb so hoch, dass das Lumen des Canals verlegt ist; die Kuppen der gegenüberstehenden Zellen sind überall miteinander in Berührung, fest auf einander gepresst, wobei die Grenzflächen der Zellen scharf hervortreten.

In andern Canälchen waren die hellen Kuppen gleichfalls an den Zellen ausgebildet, aber sie erschienen niedriger, und

die Canälchen hatten ein deutliches Lumen; in einigen Canälchen erschienen die Zellkuppen halbkuglig, von ungleicher Höhe, womit eine Zunahme der Canallichtung einherging. Diese Zellkuppen müssen aus hellem Inhalt und einer festeren Wandschicht bestehen. Der Inhalt ist wohl vorwiegend flüssig, deshalb sind die Zellkuppen sehr leicht zerstörbar. Man findet sie oft ganz zerfallen, oder zur Unkenntlichkeit verändert; dann bilden die Reste davon, in Form grösserer oder kleinerer Tropfen, den Inhalt der betreffenden Canäle, oder die erhaltenen Wandschichten durchziehen, wie ein Netz mit ungleich weiten Maschen die Canallumina. Derartige Bilder haben viele Beobachter veranlasst, die Tropfen für Eiweisskugeln zu erklären, die in Folge der Wirkung der Fixierungsmittel aus den Epithelien ausgetreten sind; vor dieser Auslegung schützt nur das Auffinden solcher Stellen, an denen diese hellen Kuppen gut erhalten sind, und der Vergleich mit andern, an denen sie mehr oder weniger zerstört erscheinen. Die richtige Erklärung ist die, dass es sich um normaler Weise vorkommende, aber sehr leicht zerstörbare Formzustände handelt.

Eine gewichtige Stütze dieser Auffassung liegt darin, dass in derartigen hellen Zellkuppen Centralkörper mit Centralgeisseln vorkommen. K. W. Zimmermann (4) hat in den Epithelien der verschiedenen Abteilungen der Harncanälchen mit grosser Regelmässigkeit doppelte Centralkörper aufgefunden, von denen der eine manchmal, z. B. in den Schaltstücken, eine Centralgeissel trug, die in das Lumen vorragte. In den Epithelien der gewundenen Rindencanälchen des Kaninchens sah er ein Centralkörperpaar „dicht unter dem Bürstenbesatz“, blieb aber über die Existenz einer Centralgeissel zweifelhaft. Mir ist es gelungen, an Schnitten aus der erwähnten Hundeniere in den Zellen der Rindencanälchen Centralkörper und Centralgeissel zu sehen, und zwar auf solchen Zellen, deren Zellkuppe nicht niedrig und feingestreift, in Form des Bürstenbesatzes erschien, sondern hell, hoch, mit fester Wand und

hellem Inhalt, ähnlich den Zellkuppen in Fig. 1. In Fig. 2 gebe ich eine getreue Abbildung von drei nebeneinanderliegenden Zellen eines Rindencanälchens; zwei davon besitzen Centralkörper und Centralgeissel, und in einer Zelle erscheint das Centralkörperchen doppelt. Die Centralgeissel ist nur mit einem Körperchen, nicht mit beiden, in Verbindung; sie ragt in das Lumen des Canälchens hinein.

Wenn derartig zarte und vergängliche Bildungen, wie die Centralgeisseln sind, auf hellen Zellkuppen erhalten sind, so liegt darin der beste Beweis dafür, dass es sich um normale Formenzustände von Zellen handelt, und nicht etwa um Zerstörung durch das Fixierungsmittel.

Wie sind nun die Veränderungen an den Epithelien der Rindencanälchen zu deuten?

In welcher Beziehung stehen sie zu der Secretion? So lange es nicht ausführbar ist, secernierende Rindencanälchen an der lebenden Säugetierniere zu beobachten, bleibt nichts übrig als eine hypothetische Verknüpfung der Befunde am fixierten Organ. Wir kennen nun einmal die Form der Zellen im Ruhezustande der Niere, und ferner eine Änderung dieser Form, die mit dem Wiedereintreten der Nierensecretion auftritt. Von dieser Grundlage aus erscheint mir die folgende Deutung der Befunde am nächsten liegend: 1) Im Beginn der Secretion nehmen die Epithelzellen in den Rindencanälchen unter Aufhellung ein grösseres Volumen an, begrenzen sich schärfer, und bilden an Stelle der streifigen Kuppe, des „Bürstensaumes“ eine homogene, helle Kuppe aus. 2) Die Zellkuppe vergrössert sich und wird zu einem voluminösen, hellen Prisma mit deutlicher Wand; das körnige Protoplasma der Zelle, sammelt sich,

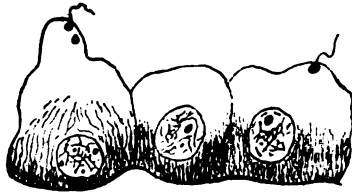


Fig. 2.

Drei Zellen aus einem gewundenen Rindencanälchen der Hundeniere, Zellkuppe hell, Centralkörper dicht unter der Oberfläche gelegen, mit Centralgeissel. Zeiss, Apochrom. 2 mm. homogene Immersion. Oc. 6.

den Kern umgebend, in der basalen Hälfte der Zelle an (Fig. 1).
3) Die Zellkuppe verkleinert sich durch Entleerung ihres Inhalts.
4) Nach völliger Entleerung bleibt das körnige Protoplasma um den Kern herum zunächst noch contrahiert, während die Zellkuppe wieder den Charakter eines fein gestreiften Saumes annimmt. Dadurch entsteht dann der Befund von Rindencanälchen mit weitem Lumen und niedrigem Epithel. Die Aufhellung der Epithelzelle, ihre Vergrösserung, die Umwandlung der Zellkuppe in eine helle Blase würden die Folgen der Ansammlung eines flüssigen Secretes in der Zelle sein, das schliesslich aus der Zelle entleert wird. Nach der Entleerung bliebe die Zelle noch eine Zeit lang contrahiert, niedrig, bevor sie in die Ruheform zurückkehrt.

Dass ich den „Bürstensaum“ nicht für einen Besatz halte, der der Zelle aufsitzt, sondern für einen Bestandteil des Zellenleibes selbst, der sein Aussehen ändern kann, habe ich früher schon (5) an dieser Stelle begründet. Die hier mitgeteilten Beobachtungen erweisen, dass sich der Bürstensaum nur an ruhenden, hohen, und an contrahierten, ganz niedrigen Epithelzellen in den Rindencanälchen vorfindet, dass er aber den Stadien fehlt, die sich zwischen beide Formen einschieben. Es geht nicht an, das Urteil über die Brauchbarkeit eines Fixierungsmittels davon abhängig zu machen, ob die Zellen die „Bürstensäume“ zeigen oder nicht.

2. Die tiefen Venen der Nierenrinde.

Schon Henle (6) hat angegeben, dass das Venenblut aus der Nierenrinde nicht nur durch die oberflächlich gelegenen *venae stellatae* und deren Fortsetzungen, die *venae interlobulares*, sondern auch durch tiefe Venen abfließt, welche direkt in die venösen Arkaden an der unteren Grenze der Rindensubstanz einmünden. Nach Henle's Beschreibung sind die tiefen Rindenvenen von geringerem Caliber, als die *vv. interlobulares*, und übertreffen an Durchmesser nur um ein Geringes die *artt. interlobulares*; aber sie stehen dichter beisammen als

die vv. interlobulares. Neuere Untersuchungen über die Circulationsverhältnisse in den Nieren, z. B. die von Steinach (7) erwähnen diese tiefen Rindenvenen nicht. Das mag daher kommen, dass an Durchschnitten diese Venen schwer von den vv. interlobulares zu unterscheiden sind, und dass sie so recht deutlich nur an Corrosionspräparaten hervortreten. Sie sind auch bei verschiedenen Species in ungleicher Weise entwickelt; beim Menschen treten sie z. B. zurück im Vergleich zu ihrem Verhalten in der Niere der Raubtiere. Schon vor Jahren hat Herr Prof. Zumstein (8) an Corrosionspräparaten die Venen der Hundeniere in dieser Gesellschaft demonstriert; für den Menschen hat er angegeben, „dass wohl die Hälfte des Venenbluts der Nierenrinde sich an der Peripherie in den *venae stellatae* sammelt.“ Für die andere Hälfte müssen die tiefen Rindenvenen sorgen. Ich möchte an der Hand der Corrosionspräparate, die unsere Sammlung Herrn Prof. Zumstein verdankt, von neuem auf die Existenz der tiefen Rindenvenen aufmerksam machen.

Beim Hunde durchsetzen die starken vv. interlobulares in grösseren Abständen voneinander die Nierenrinde in radiärer Richtung, münden in die venösen Arcaden unter rechtem Winkel ein, während sie an der Nierenoberfläche sich zu den vv. *stellatae* ausbreiten. Zwischen diesen hochstämmigen, sich baumartig mit den Wipfeln verzweigenden Stämmen findet sich, dichtem Unterholz vergleichbar, eine grosse Masse feiner Venen, die in der Mitte der Rinde entstehen und direct nach den venösen Arcaden hinziehen. Das sind die tiefen Rindenvenen. Ihre Anzahl ist beim Hunde viel grösser, als die der vv. interlobulares, und sie stehen viel dichter als diese.

Bei menschlichen Nieren werden diese tiefen Venen, die durch zahlreiche, aber feine und einzeln stehende Stämme repräsentiert werden, an vollständig injicierten Präparaten ganz und gar durch die Verästelungen der *venae stellatae* verdeckt. Sind aber diese Gefässe nicht mehr gefüllt, oder sind sie entfernt worden, so treten die tiefen Rindenvenen hervor, als feine,

oft mit freiem Auge gerade noch sichtbare Stämme, welche, einzeln stehend, den starken Aesten der venösen Arcaden aufsitzen. Sie besitzen einen viel geringeren Durchmesser als die vv. interlobulares; charakteristisch ist für sie, dass der Stamm meistens in kurzer Entfernung von dem arcus venosus, durch Zusammenfluss mehrerer feiner Aeste entsteht, und einem Strauch gleicht, der dicht über dem Boden in Zweige zerfällt. Die tiefen Rindenvenen haben einen kurzen, die vv. interlobulares einen hohen Stamm. Wenn auch beim Menschen die Gesamtzahl der tiefen Rindenvenen nicht unerheblich ist, so fallen dieselben doch wegen ihres kurzen Verlaufes wenig in die Augen; man findet sie leichter auf, wenn man von der Raubtierniere her sie kennt. Physiologisch ist es von Wichtigkeit, dass für das Blut der Rinde, das in den Capillaren nur noch sehr geringen Seitendruck besitzt, ein zweiter Abfluss durch die tiefen Venen gegeben ist; begünstigt wird der Abfluss in diese Venen noch durch den Umstand, dass die tiefen Rindenvenen direct in starke Gefäße einmünden, deren Lumen durch Befestigung an die Nierensubstanz immer klaffend erhalten wird (Ludwig, 9).

Litteratur.

- 1) Heidenhain, Mikroskopische Beiträge zur Anatomie und Physiologie der Nieren. Arch. f. mikroskop. Anat. Bd. X. 1874.
- 2) Sauer, Neue Untersuchungen über das Nierenepithel und sein Verhalten bei der Harnabsonderung. Arch. f. mikroskop. Anat. Bd. 46. 1895.
- 3) Disse, Über die Veränderungen der Nierenepithelien bei der Secretion. Anatomische Hefte. Bd. II. 1893.
- 4) K. W. Zimmermann, Beiträge zur Kenntniss einiger Drüsen und Epithelien. Arch. f. mikroskop. Anat. Bd. 52. 1898.
- 5) Disse, Zur Anatomie der Niere. Marburger Sitzungsberichte 1898, Nr. 8.
- 6) Henle, Eingeweidelehre, II. Aufl. 1898.
- 7) Steinach, Studien über den Blutkreislauf der Niere. Wiener Sitzungsberichte, math.-naturw. Classe, Bd. 90, III. Abth. 1885.

- 8 Zumstein, Über Corrosionspräparate. Marburger Sitzungsberichte 1891. 28. Februar.
- 9) Ludwig, Über einige neue Beziehungen zwischen dem Bau und der Function der Niere. Wiener Sitzungsberichte, math.-naturw. Classe, Bd. 48, Abth. II. 1868.
-

Endlich sprach Herr Privatdocent Dr. F. von Dalwigk:

Ueber das Poisson'sche Integral.

Eine Funktion u heisse in einem ebenen Gebiet G ein stetiges Potential, wenn sie dort — einschliesslich der Begrenzung — stetig ist und wenn sie im Innern stetige erste und zweite Differentialquotienten hat und der Bedingung

$$\Delta u = \frac{\partial^2 u}{\partial x^2} + \frac{\partial^2 u}{\partial y^2} = 0$$

genügt.¹⁾ An der Begrenzung von G werde nichts über die Differentialquotienten von u vorausgesetzt. [Die analytische Funktion $F(z)$, deren reeller Teil u ist, kann an der Begrenzung durchaus singulär werden].

§ 1. Ist das Gebiet G eine Kreisfläche, so gilt der Satz: Der Potentialwert im Mittelpunkt ist das arithmetische Mittel aus den sämtlichen Werten am Kreisrand. Der Beweis ist leicht mittelst des Green'schen Satzes²⁾ oder des Cauchy'schen Integralsatzes zu führen, nur muss man in beiden Fällen erst eine kleinere Kreisfläche betrachten und dann den Grenzübergang zur gegebenen Kreisfläche machen.

Auf diesen besonderen Fall lässt sich die Wertbestimmung des Potentials für eine beliebige Stelle P im Innern der Kreisfläche zurückführen mittels einer Abbildung: Man bildet die

1) Die höheren Differentialquotienten sind dann im Innern auch vorhanden und stetig. Betreffs der zweiten Differentialquotienten vgl. Schwarz, J. f. M. 74, S. 221 (Anm.), Werke II, S. 178.

2) S. Riemann's Dissertation, art. 10.

versetzt zu denken oder — was für das Mittel nichts ausmacht — nach A'' . So liefert das Abbildungsverfahren den Satz:

Der Potentialwert an der Stelle P ergibt sich, indem man die beiden Funktionswerte in den Endpunkten jeder durch P gehenden Sehne mit einander vertauscht und dann aus der so erhaltenen neuen Anordnung der Randwerte das arithmetische Mittel bildet.

Dieser Satz wurde durch Deutung einer analytischen Formel von Herrn Schwarz 1867 oder 1868 gefunden und von Schläfli (auf Grund einer mündlichen Mitteilung) 1874 veröffentlicht.

§ 3. Will man den Wert von u im Punkte P analytisch ausdrücken, so kann man für die in § 2 behandelte Transformation der Randpunkte leicht eine Formel aufstellen. Noch einfacher jedoch ist die Anknüpfung an folgende Beziehung: Die einander zugeordneten Bogenelemente bei A und A'' ,

$$ds = R d\psi \quad ds'' = R d\psi''$$

verhalten sich wie PA zu PA'' oder $\varrho : \varrho''$. Statt

$$\begin{aligned} u(r, \varphi) &= \frac{1}{2\pi} \int_0^{2\pi} u(R, \psi'') d\psi'' = \frac{1}{2\pi} \int_0^{2\pi} u(R, \psi) d\psi \\ &= \frac{1}{2\pi} \int_0^{2\pi} u(R, \psi) \cdot \frac{d\psi''}{d\psi} \cdot d\psi \end{aligned}$$

lässt sich deshalb schreiben

$$u(r, \varphi) = \frac{1}{2\pi} \int_0^{2\pi} u(R, \psi) \cdot \frac{\varrho''}{\varrho} d\psi \quad (1)$$

Hierbei ist $\varrho = \left| R e^{\psi i} - r e^{\varphi i} \right|$, $\varrho'' = \left| R e^{\psi'' i} - r e^{\varphi i} \right|$, das

führt zu $\varrho \cdot \varrho'' = R^2 - r^2$ u. $\varrho^2 = R^2 - 2 R r \cos(\psi - \varphi) + r^2$ und damit zu der bekannten Formel

$$u(r, \varphi) = \int_0^{2\pi} u(R, \psi) \cdot \frac{R^2 - r^2}{R^2 - 2 R r \cos(\psi - \varphi) + r^2} d\psi, \quad (2)$$

die auf Poisson und Herrn C. Neumann zurückgeht.

§ 4. Die Figur liefert unmittelbar noch eine zweite wichtige Formel. Sind $(ds)_P$ und $(ds)_{A''}$ die scheinbaren Grössen des Bogenelementes $ds = R \cdot d\psi$ (bei A), gesehen von den Punkten P und A'' aus, so hat man

$$(ds)_P : (ds)_{A''} = (e + e'') : e = 1 + \frac{e''}{e}$$

$$(ds)_{A''} = \frac{1}{2} (ds)_M = \frac{1}{2} d\psi$$

und die Gleichung (1) giebt

$$u_P = \frac{1}{\pi} \cdot \int u (ds)_P - \frac{1}{2\pi} \cdot \int u (ds)_M = \frac{1}{\pi} \int u (ds)_P - \frac{1}{2\pi} \int u d\psi \quad (3)$$

Vgl. die Potentiale von Doppelbelegungen und die Neumann'sche Methode des arithmetischen Mittels.

§ 5. Will man die am Schluss von § 1 besprochene Abbildung funktionentheoretisch machen und ist wieder R der Kreisradius, $s = o$ der Kreismittelpunkt und $s_o = r e^{i\varphi}$ (bisher P) derjenige Punkt, zu dem die Mitte der neuen Kreisfläche gehören soll, dann handelt es sich um eine lineare Funktion, $\zeta = C \cdot \frac{s - s_o}{s - s_o'}$, in der noch s_o' und C zu bestimmen sind. Damit zu $|s| = R$ ein Kreis $|\zeta| = \text{const}$ gehört, muss der Kreis $|s| = R$ in dem Büschel mit den Nullkreisen s_o und s_o' enthalten sein. Das giebt leicht

$$s_o' = \frac{R^2}{r} e^{i\varphi}.$$

Die neue Kreisfläche hat den Radius $\frac{|C| \cdot r}{R}$, und eine kurze Rechnung führt zur Formel (2).

Beiläufig sei bemerkt: $C = \frac{R^2}{r} \cdot e^{\gamma i}$ liefert eine neue Kreis-

fläche vom Radius R , und wenn man beide Kreisflächen zusammenfallen lässt und γ gleich φ setzt, so hat man genau diejenige Transformation der Kreisfläche in sich selbst, welche aus der in § 2 zunächst betrachteten durch Spiegelung an MC hervorgeht, d. h. diejenige, bei welcher A'' zu A gehört (Fig. 1).

In § 4 der Schwarz'schen Arbeit im 74. Band des J. f. M. — Werke II S. 181 ff. — wird der Wert des Potentials an einer beliebigen inneren Stelle der Kreisfläche mittels des Green'schen Satzes entwickelt. Dabei tritt dasselbe Kreisbüschel auf, wie hier im Anfang dieses Paragraphen. Dieser Umstand und auch die Wahl des Hilfspotentials u' lassen annehmen, dass Herr Schwarz zu seinem Verfahren durch den Gedanken an die conforme Abbildung gekommen sein kann, wenn er auch schliesslich in der Darstellung seines Beweises ganz davon abging.

§ 6. Bisher wurde ein Potential in der Kreisfläche als gegeben betrachtet. Jetzt sei am Rand des Kreises $|z| \leq R$ eine Funktion gegeben — $f(\psi)$ im Punkte $Re^{\psi i}$ —, die in endlichen Grenzen bleibt und höchstens eine endliche Anzahl Unstetigkeitsstellen hat. Für jede solche Stelle ψ_k mögen bestimmte Werte $f(\psi_k + 0)$ und $f(\psi_k - 0)$ vorhanden sein. Gefragt wird, ob es ein im Innern der Kreisfläche stetiges Potential giebt, welches die gegebenen Randwerte hat.

Setzt man in der Formel (2) von § 3 $f(\psi)$ an Stelle von $u(R, \psi)$, so entsteht eine Funktion $u(r, \varphi)$, die für $r < R$ stetig ist und deren Differentiation nach r und φ unter dem Integral-

zeichen erfolgen darf. $\frac{R^2 - r^2}{R^2 - 2Rr \cos(\psi - \varphi) + r^2}$ ist als

reeller Teil von $\frac{z + z_0}{z - z_0}$ (bei $z = Re^{\psi i}$, $z_0 = re^{\varphi i}$) ein Potential,

desshalb gilt gleiches von $u(r, \varphi)$ im Kreisinnern.

Nach den früheren Betrachtungen ist aber $u(r, \varphi)$ das arithmetische Mittel aus derjenigen Anordnung der Randwerte

$f(\psi)$, welche durch Vertauschung der Werte in den Endpunkten jeder durch s_0 gehenden Sehne erhalten wird. Dies ermöglicht einen sehr anschaulichen Beweis für Annäherung von $u(r, \varphi)$ an $f(\psi)$, wenn der Punkt $P, re^{\varphi i}$, sich der Randstelle $Re^{\psi i}$ annähert und wenn diese Randstelle keine Unstetigkeitsstelle der Randwerte ist. Und zwar darf dabei die Annäherung an die Randstelle in beliebiger Richtung erfolgen, wobei besonders hervorgehoben sei, dass eine gleichmässige Annäherung an den Randwert erfolgt, d. h. dass die Funktion, welche im

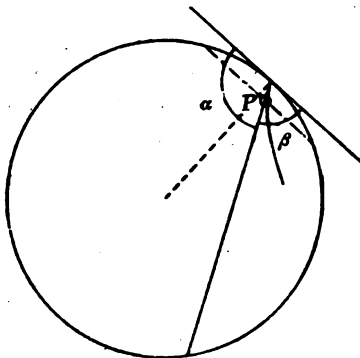


Fig. 2.

Innern der Kreisfläche durch $u(r, \varphi)$ und am Rande durch die gegebenen Randwerte definiert ist, gleichmässig stetig ist in ganzer Ausdehnung der Kreisfläche, wofern nur kleine Umgebungen der singulären Randstellen ausgeschlossen werden.

Ferner erhält man aus denselben Grundgedanken die Bestimmung des Grenzwertes von $u(r, \varphi)$ für die Annäherung an

eine singuläre Stelle. Und zwar kommt man für geradlinige Annäherung an den Randpunkt $Re^{\psi i}$ zu dem Grenzwert $\frac{\alpha}{\pi} \cdot f(\psi_k - 0) + \frac{\beta}{\pi} \cdot f(\psi_k + 0)$, wenn α und β die in der Figur angegebenen Winkel sind. Annäherung an die Randstelle auf einer krummen Linie ist leicht auf den vorigen Fall zurückzuführen, indem man das letzte Stück der krummen Linie beliebig eng zwischen zwei gerade Linien einschliesst; man findet, dass der Grenzwert derselbe ist, wie wenn die Annäherung auf der letzten Tangente der krummen Linie erfolgte.

Im Einzelnen gehe ich auf die Beweise der ausgesprochenen Sätze hier nicht ein. Sie folgen unmittelbar aus der Umordnung der Randwerte unter Benutzung der in Fig. 2 enthaltenen Vierteilung der Randlinie.

§ 7. Das Verhalten des Potentials $u(r, \varphi)$ am Rand der Kreisfläche macht man sich am anschaulichsten klar, wenn man $u(r, \varphi)$ als Ordinate einer Fläche betrachtet. Die gegebenen Randwerte liefern Curvenstücke auf der durch den Kreisrand bestimmten Cylinderfläche. An den Sprungstellen der Randwerte treten die senkrechten geradlinigen Strecken zwischen den Endpunkten der genannten Curvenstücke hinzu, und so entsteht eine geschlossene Randlinie für die Potentialfläche. Die Fläche schliesst sich ihrer Randlinie überall stetig an, und an den senkrechten geradlinigen Stücken der Randlinie hat sie das Verhalten wie eine windschiefe Schraubenfläche mit horizontaler Richtebene und vertikaler Axe (wobei die halbe Ganghöhe gleich der sprungweisen Änderung der Randfunktion ist), d. h. die Potentialfläche osculiert dort diese Schraubenfläche. Übrigens ist bei solcher geometrischen Versinnlichung zu beachten dass an den krummlinigen Randstücken die Potentialfläche nicht ohne Weiteres bestimmte Tangentialebenen zu haben braucht. — Die Fläche hat überall negative (hyperbolische) Krümmung.

In der Geschäftssitzung vom 9. Mai, in welcher Kassenbericht und Vorstandswahl (Director: Prof. A. Kossel; Ausschuss: GRR. Bauer, Prof. E. Hess, Prof. E. Kayser) Hauptgegenstand der Verhandlung waren, wurde der Privatdocent für Mathematik: Herr Dr. Friedrich von Dalwigk zum ausserordentlichen Mitglied der Gesellschaft gewählt.

Aufgelegte Schriften:

- Informe del Museo Nacional de Costa Rica. San José 1899.
Memoirs and Proceedings of the Manchester literary and philosophical Society. Vol. 43, Part. IV, V; Vol. 44, Part 1 u. 2. Manchester 1899.
Bulletin of the New York Public library. Vol. III, Nr. 7—12; Vol. IV, Nr. 1—3. New York 1899/1900.
Johns Hopkins University Circulars. Vol. XVIII, Nr. 141; Vol. XIX, Nr. 142, 143. Baltimore 1899/1900.
Smithsonian Miscellaneous Collections. Vol. 39, 1173 North American Fauna, Nr. 15 (doppelt). Washington 1899.
Boletín de la Academia Nacional de Ciencias en Córdoba. Tom. XVI, Entr. 1. Buenos Aires 1899.
Proceedings of the Academy of natural Sciences of Philadelphia. 1899. Part. I u. II. Philadelphia 1899.
Bulletin II of the Chicago Academy of Sciences and Annual Report. 1897.
The American Naturalist. Vol. 33, H. 391—396; Vol. 34, Nr. 397—399. Boston 1899/1900.
Bulletin de la Société de Géographie d'Alger. Année 4, 2. Alger 1899.
Bulletin of the Essex Institute, Vol. 28, 7—12; Vol. 29, 7—12; Vol. 30, 1—6. Salem 1896/98.

Von der University of the State of New York:

- State Museums Report. 492. New York 1895.
Von der United State Geological Survey:
18. Report. Part. I, III, IV; 19. Report, Part. I, IV, VIa et b. Washington 1897/99.
Sitzungsberichte der niederrheinischen Gesellschaft für Natur- und Heilkunde zu Bonn. 1899. 1. Hälfte. Bonn 1899.
Verhandlungen des naturhistorischen Vereins der pr. Rheinlande, Westfalens etc. Jahrg. 56. 1. Hälfte. Bonn 1899.
Schriften des naturwissenschaftlichen Vereins Schleswig-Holsteins. Bd. XI, Heft 2. Kiel 1898.
Polichia, Jahrg. LVI, Nr. 12, 1898.
Abhandlungen der naturhistorischen Gesellschaft in Nürnberg, Bd. XII. Nürnberg 1899.
11. Jahresbericht des Vereins für Naturwissenschaft in Braunschweig. Braunschweig 1899.
Cataloges van de Bibliotheek van het bataafske Genootschap. Rotterdam 1899.

Sitzungsberichte

der Gesellschaft zur Beförderung der gesammten Naturwissenschaften

zu
M a r b u r g.

Nr. 5 **Juni** **1900**

In der Sitzung vom 20. Juni 1900 sprach Herr F. Kutscher über:

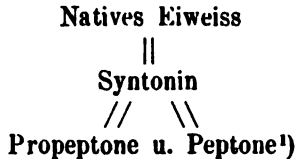
„Die Selbstverdauung der Hefe“.

Bekanntlich sind zuerst die proteolytischen Enzyme der Warmblüter bekannt geworden und näher studirt. Gehen wir von den Verhältnissen aus, die wir bei den Warmblütern finden, so sehen wir, dass dieselben zwei ihrer Wirkungsweise nach verschiedene eiweissverdauende Enzyme abscheiden. Das eine wird vom Magen abgesondert, es ist das Pepsin, das zweite secernirt die Bauchspeicheldrüse, wir nennen das letztere Trypsin. Beide, sowohl das Pepsin wie das Trypsin sind uns ihrer chemischen Natur nach nicht bekannt, da alle Versuche, sie rein darzustellen, bisher missglückt sind. Um sie zu unterscheiden und näher zu bestimmen müssen wir daher ihre Wirkungsweise näher betrachten.

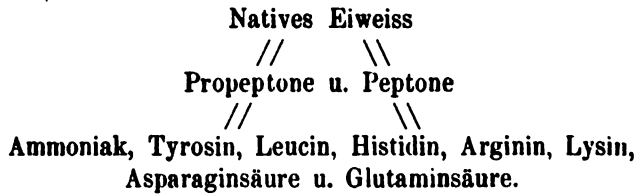
Nun ist schon das Medium, in dem sich die beiden Enzyme gelöst befinden, wesentlich verschieden. Der Magensaft ist eine stark saure Flüssigkeit, deren saure Reaktion durch freie Salzsäure bedingt wird, während das Pankreassekret, in dem das Trypsin sich gelöst befindet, alkalisch reagirt.

Diesem Befunde entsprechend müssen wir, um das Pepsin zur Wirkung zu bringen, stets für salzsaure Reaktion der Verdauungsflüssigkeit sorgen und das Pepsin erreicht das Maximum

seiner Wirksamkeit, wenn die Verdauungsflüssigkeit 0,1—0,4 % freier Salzsäure enthält. Unter dieser Bedingung vollzieht sich der Abbau der Eiweisskörper durch das Pepsin nach folgendem Schema:



Im Gegensatz zum Pepsin, das nur in salzsaurer Lösung wirkt, bei neutraler Reaktion der Verdauungsflüssigkeit inaktiv ist und bei alkalischer Reaktion derselben schnell zu Grunde geht, findet das Trypsin das Optimum für seine Wirkung, wenn die Verdauungsflüssigkeit 0,25—0,5 % Soda enthält. Unter dieser Bedingung vollzieht sich der Abbau der Eiweisskörper durch das Trypsin nach folgendem Schema:



Das schnelle Auftreten der einfachen Endprodukte der Trypsinverdauung wie Ammoniak etc. zeigt, dass die Wirkung des Trypsins weit energischer wie die des Pepsins ist, ausserdem ist sie universeller, da das Trypsin auch bei neutraler und schwach saurer Reaktion der Verdauungsflüssigkeit das Eiweiss

1) Wahrscheinlich ist damit die Wirksamkeit des Pepsins nicht beendet, sondern es entstehen, wie aus den Arbeiten von Hoppe-Seyler (Zeitschrift f. physiol. Chemie. Bd. 2, S. 228), Hirschler (Zeitschrift f. physiol. Chemie, Bd. 11, S. 25 ff.) und Lawrow (Zeitschrift f. physiol. Chemie, Bd. 26, S. 513) hervorgeht, noch Substanzen, die bereits weiter ab vom nativen Eiweiss stehen. Dieselben sind durch Hirschler, der die Peptone durch Phosphorwolframsäure ausfällte, ihrer Menge nach bestimmt worden. Wir sind jedoch über ihre Natur noch wenig unterrichtet und habe ich sie daher in obigem Schema nicht aufgenommen.

schnell spaltet, sofern die saure Reaktion durch eine organische Säure bedingt ist.

Als man nach dem Auffinden des Pepsins und Trypsins den proteolytischen Enzymen weiter nachging, fand man sie ausserordentlich weit verbreitet im Thier- und Pflanzenreiche. Da es jedoch nicht glückte, die neuentdeckten Enzyme rein darzustellen, musste man auf die von den Physiologen für das Pepsin und Trypsin erarbeiteten Kenntnisse zurückgreifen. Meist begnügte man sich festzustellen, ob die neuen Enzyme bei saurer oder alkalischer Reaktion zur Wirkung kamen, um sie als peptische oder tryptische zu bezeichnen. Häufig beschränkte man sich noch weiter und nannte, sobald man nur eine Verflüssigung von Eiweiss durch Enzymwirkung constatirt hatte, das Enzym ganz nach Belieben ein peptisches oder tryptisches.

Das Letzte gilt namentlich von den proteolytischen Enzymen, mit denen die niedrigsten pflanzlichen Lebewesen, die Bakterien, reichlich ausgestattet sind, und doch können wir von vornherein für die Bakterien mit Sicherheit die Erzeugung peptischer Enzyme ausschliessen. Wir brauchen uns nur die Lebensbedingungen der Bakterien zu vergegenwärtigen. Durch zahlreiche Versuche ist festgestellt, dass die Bakterien durch verdünnte anorganische Säuren, namentlich auch durch eine Salzsäure von 0,1—0,4 %, die der Magensalzsäure ihrer Concentration nach entsprechen würde, abgetödet werden. Danach aber ist nicht anzunehmen, dass die Bakterien ein proteolytisches Enzym absondern werden, welches das Optimum seiner Wirksamkeit in einer Flüssigkeit erreicht, in der die Bakterien selbst nicht leben können.

Ob die Bakterien ein tryptisches Enzym abzusondern vermögen, ist mir zum mindesten zweifelhaft. Allerdings hat man unter den Spaltungsprodukten des Eiweisses, die durch Bakterienenzyme bei alkalischer Reaktion der Flüssigkeit erzeugt sein mussten, Ammoniak, Tyrosin und Leucin gefunden, Produkte, welche ja auch bei tryptischer Verdauung auftreten. Daneben hat man dann aber meist Indol und Skatol erscheinen sehen, Körper, welche als besonders charakteristische Spaltungsprodukte

aus dem Eiweiss unter der Einwirkung von schmelzendem Kali gleichzeitig mit Ammoniak, Leucin und Tyrosin hervorgehen. Danach scheint bei den Bakterien ein proteolytisches Enzym weit verbreitet zu sein, das das Eiweiss nach Art des schmelzenden Kalis zersetzt. Das Trypsin dagegen wirkt auf das Eiweiss wie eine starke siedende Säure ein. Unter den charakteristischen tryptischen Verdauungsprodukten tritt daher niemals Indol und Skatol, sondern die Hexonbasen, weiter Asparaginsäure und Glutaminsäure auf, und bis es nicht gelungen ist, die letztgenannten Spaltungsprodukte neben Ammoniak, Leucin, Tyrosin als Abbauprodukte des Eiweisses durch Bakterienenzyme nachzuweisen, müssen wir das Vorhandensein tryptischer Bakterienenzyme als mindestens zweifelhaft betrachten.

Nicht besser wie über die Bakterienenzyme sind wir über die proteolytischen Enzyme der Hefen unterrichtet, bei denen die Beobachtung noch dadurch erschwert ist, dass die Enzyme nur selten nach Aussen abgeschieden werden, sondern intracellulär zur Wirkung kommen. Die ersten Angaben, welche auf das Vorhandensein starker proteolytischer Enzyme im Inneren der Hefezellen hinweisen, verdanken wir Schützenberger¹⁾ und Kossel²⁾. Die beiden genannten Forscher überliessen gewaschene Hefe der Selbstgärung bei 37–40° und konnten danach eine starke Zunahme der wasserlöslichen Substanzen festzustellen. Unter denselben fanden sie in reichlicher Menge Tyrosin, Leucin, freie Alloxurbasen und freie Phosphorsäure. Es sind das lauter Substanzen, die nur aus zersetzten Nucleinen und Eiweisskörpern der Hefe stammen konnten. Die folgenden Arbeiten von Salkowski (Zeitschr. f. physiol. Chemie Bd. 13 S. 506 u. Zeitschr. f. klin. Med. Bd. 17 Suppl.) u. Hahn (B. d. deut.-chem. Gesell. Bd. 31 S. 200 u. 2335) haben über die Natur des proteolytischen Enzyms in der Hefe und den Abbau, den die Eiweisskörper durch dasselbe erfahren nichts wesentlich Neues ergeben.

1) Bulletin de la société chimique de Paris. T. 21. 1874. S. 194 u. 204, weiter „Die Gährungserscheinungen“ 1876.

2) Zeitschrift f. physiol. Chemie, Bd. 4 S. 294 u. Bd. 7, S. 14.

Um mich über das proteolytische Enzym zu unterrichten das die Zersetzung bewirkt haben musste, habe ich einige Selbstverdauungen mit Hefe vorgenommen.

Die Versuchsanordnung, deren ich mich bediente, war eine sehr einfache. Frische Brauereihefe, die ich in grosser Reinheit aus einer hiesigen Brauerei beziehen konnte, wurde durch Dekantation mit eiskaltem Wasser sorgfältig ausgewaschen. Darauf wurde sie in ein verschliessbares Gefäss gebracht, in Wasser aufgeschwemmt, mit Chloroform versetzt, und das Ganze wohl verschlossen in einen auf 37°C eingestellten Brutschrank gesetzt. Durch das Chloroform wird die Hefe schnell getötet wodurch der Inhalt der Hefezellen dem Enzym zugänglich wird. Unter der Einwirkung des proteolytischen Enzyms schrumpft das Volum der in Verdauung gegebenen Hefe stark, die Flüssigkeit über der Hefe nimmt rasch saure Reaktion an und zeigt zunächst lebhaftere Biuretreaktion. Nach einiger Zeit verschwindet dieselbe jedoch bis auf Spuren oder gänzlich. Damit ist natürlich die Verdauung beendet.

Aus der schwach gelbgefärbten, klar über den ausgelaugten Hefezellen stehenden Verdauungsflüssigkeit lassen sich die Spaltungsprodukte der verdauten Eiweisskörper ohne sonderliche Mühe isolieren.

Schon beim Eindampfen der Verdauungsflüssigkeit krystallisieren Leucin und Tyrosin. Aus dem Filtrate hiervon habe ich nach den am hiesigen Institute üblichen Methoden die Hexonbasen, Histidin, Arginin u. Lysin in reichlicher Menge gewonnen. Weiter habe ich Asparaginsäure in Form von asparaginsaurem Kupfer isolieren und die Bildung von Ammoniak während der Selbstverdauung der Hefe durch Destillation eines Theiles der Verdauungsflüssigkeit mit Magnesia nachweisen können.

Demnach entstehen bei der Selbstverdauung der Hefe genau wie bei einer Selbstverdauung des Pankreas durch das Trypsin zunächst Propeptone u. Peptone, die schnell in Ammoniak, Tyrosin, Leucin, die Hexonbasen und Asparaginsäure weiter zerfallen. Glutaminsäure ist bisher bei der Selbstverdauung der

Hefe noch nicht nachgewiesen, doch entsteht auch sie sehr wahrscheinlich. Das Schema, nach dem der Abbau des Eiweisses bei der Selbstverdauung der Hefe erfolgt, ist demnach mit dem für die Trypsinwirkung aufgestellten identisch.

Nur in einer Beziehung scheint das intracelluläre proteolytische Enzym der Hefe von dem Trypsin in seiner Wirkungsweise abzuweichen. Es scheint nämlich das Maximum seiner Wirkung zu entfalten, wenn die Verdauungsflüssigkeit durch freie Phosphorsäure oder saure phosphorsaure Alkalien schwach sauer reagiert. Aber auch bei schwach alkalischer Reaktion der Verdauungsflüssigkeit wirkte es noch kräftig, doch war die Ausbeute an den krystallinischen Verdauungsprodukten eine geringere und die Isolirung derselben wurde durch schmierige Nebenprodukte etwas erschwert. Nach dem Vorstehenden glaube ich mit Recht das proteolytische Enzym der Hefe als ein dem Trypsin der Warmblüthler nahe verwandtes, vielleicht sogar identisches ansprechen zu können.

Dass die von mir benutzte Methode einer ausgedehnten Anwendung fähig ist, um uns über die intracellulären Enzyme der Mikroorganismen zu unterrichten, ist klar. Sobald sie sich wie die Hefe in Massenkulturen gewinnen und auswaschen lassen, muss ihre Selbstverdauung uns eine schnelle Antwort auf die Frage nach dem Vorhandensein proteolytischer intracellulärer Enzyme und deren Natur geben. Siehe hierzu Buchners Arbeiten in der Münch. med. Wochenschrift Jahrg. 1899 Nr. 39 und 40.

Die von mir gewonnenen Resultate sind glaube ich auch geeignet die vielumstrittene Leukocytentheorie in etwas zu klären. Bekanntlich nahm Metschnikoff in seiner ursprünglichen Theorie an, dass die Leukocyten des Körpers die eingedrungenen Bakterien aufnehmen und fressen. Man hat gegen die Theorie Metschnikoffs eingewandt, dass den Leukocyten intracelluläre proteolytische Enzyme fehlen. Ich glaube mit Unrecht, denn es wäre sehr merkwürdig, wenn nur die niedrigsten Pflanzen mit derartigen Enzymen von bisher ungeahnter Energie begabt wären, die niedersten Thiere dagegen nicht. Sollte sich nun in

der That das Vorhandensein ähnlicher kräftiger Enzyme in den Leukocyten nachweisen lassen, dann würden die Angaben Metschnikoffs sich völlig bestätigen. Die Bakterien würden in Wirklichkeit von den Leukocyten gefressen und verdaut werden.

Da jedoch die von den Leukocyten aufgenommenen Bakterien nicht wie leblose Fremdkörper sich verhalten, sondern in vielen Fällen das Vermögen besitzen, starke proteolytische Enzyme extracellulär also in das Protoplasma des Leukocyten abzusondern, die natürlich das Protoplasma des Leukocyten angreifen müssen, so wird sich häufig der Kampf zwischen Leukocyten u. Bakterien zu einem Kampf ihrer proteolytischen Enzyme zuspitzen. Und je nachdem das eine oder andere Enzym schneller und energischer wirkt, wird entweder der Leukocyt das Bakterium oder das Bakterium den Leukocyten fressen und verdauen.

Zu der vorstehenden Arbeit wurden mir die Mittel aus der Gräfin Bose-Stiftung gewährt.

In derselben Sitzung sprach Herr A. Schwantke über:

Oxyhämoglobinkrystalle aus Taubenblut.

Die Krystalle wurden im Dezember vorigen Jahres dem Verf. von Herrn Professor A. Kossel gütigst zur Untersuchung übergeben. Das Material war zu einer makroskopischen Messung geeignet, durch die die Krystalle, ebenso wie durch die optische Beobachtung, als tetragonal tetraëdrisch (sphenoidisch) hemiëdrisch, Combination $p+(111)$, $m(110)$, Axenverhältnis $a:c = 1:1,175$, erkannt worden. Eine ausführliche Mitteilung über die Untersuchung erscheint in Hoppe-Seylers Zeitschrift für physiologische Chemie, auf die hier verwiesen sein mag.

Eine beobachtete Weichheit der Krystalle sowie eine über die Fehlergrenzen hinausgehende Schwankung in den Winkelwerten deuten darauf hin, dass die Krystalle die interessanten Eigenschaften der „Krystalloide“ besitzen. Die Zugehörigkeit der Blutkrystalle zu diesen Körpern geht schon aus den Untersuchungen K. E. Reichert's hervor (Beobachtungen über eine

eiweissartige Substanz in Krystallform. Müllers Archiv für Anatomie und Physiologie 1849, 197 ff.), der an Krystallen aus Meerschweinchenblut das Vermögen der Quellbarkeit unter Erhaltung der äusseren Form mit Sicherheit nachgewiesen hat und dem deshalb das Verdienst gebührt, zum ersten Male auf diese interessanten Körper aufmerksam gemacht zu haben. Seine Untersuchungen sind aber in der Folge nicht fortgesetzt worden, obgleich gerade die Blutkrystalle seitdem eine häufige und eingehende Bearbeitung gefunden haben. Die allgemeine Aufmerksamkeit wurde erst durch die Arbeiten F. Cohn's und Nägeli's, der auch den Namen Krystalloide einführte, auf die Eigenschaften dieser Körper gelenkt, und man fand dieselben dann auch an den Dotterplättchen und anderen Krystalloiden tierischen Ursprungs wieder, es gelang auch auf künstlichem Wege durch Krystallisation aus Lösungen pflanzlicher Proteinkörper und durch Darstellung von Metallsalzen dieser Krystalloide zu gewinnen. Auch die Albuminkrystalle tierischen Ursprungs, deren Darstellung in neuerer Zeit gelang, zeigten in ausgezeichneter Weise die Fähigkeit der Imbibition.

Verf. erläuterte das Verhalten der Krystalloide, wie es namentlich durch die Arbeiten A. F. W. Schimper's (Über die Krystallisation der eiweissartigen Substanzen, Zeitschrift für Krystallographie 1881. 5. 131 ff) und neuerdings durch L. Maillard (La Cristallisation des matières albuminoïdes et les cristalloïdes protéiques de la micrographie. Revue générale des sciences pures et appliquées. Paris 1898 T. IX. 608 ff) und A. Wichmann (Über die Krystallformen der Albumine. Hoppe-Seylers Zeitschrift für physiologische Chemie 1899. XXVII. 575 ff) bekannt ist.

Wie die beschriebenen Blutkrystalle so sind jedenfalls auch die übrigen Krystalloide, wenn auch eine durch ihre eigentümlichen Eigenschaften besonders charakterisierte Gruppe, doch echte Krystalle, indem sie nicht nur in der krystallographischen Form und dem optischen Verhalten den gewöhnlichen Krystallen gleichen, wie diese durch Concentration der Lösung oder Bildung

einer schwerer löslichen Modification krystallisieren und teilweise auch unter einander oder in ihren Salzen isomorph sind, sondern sich auch in ihren eigenartigen Erscheinungen durchaus krystallographisch verhalten, indem die Quellung und Auflösung in krystallographisch gleichwertigen Richtungen gleich, in verschiedenwertigen Richtungen ungleich verläuft, die Änderung und Schwankung der Krystallwinkel der krystallographischen Symmetrie entspricht und auch das optische Verhalten bei der Aufquellung sich gesetzmässig ändert.

Eine Erklärung des eigentümlichen Verhaltens der Krystalloide ist noch nicht gegeben. Wichtig dafür wird die Entscheidung sein, ob sie aus zwei verschiedenen Substanzen bestehen, wie es Nägeli beobachtete, der mit Glycerin aus pflanzlichen Krystalloiden einen Stoff ausziehen konnte, worauf ein fester homogener Körper von der Gestalt des ursprünglichen Krystalloids zurückblieb was von Schimper bestätigt wurde, (wonach man etwa der ersteren Substanz die Quellbarkeit und der zweiten das Krystallisationsvermögen zuschreiben könnte) oder ob sie, wie die meisten Autoren annehmen und in manchen Fälle gewiss ist, Krystalle einer homogenen Substanz sind, der als solcher die genannten Eigenschaften zukommen, die dann vielleicht eine Folge der „Complexität des Eiweissmoleküls“ (Maillard) sind. Es bestehen auch zwischen den verschiedenen Gliedern dieser Gruppe zum Teil beträchtliche Unterschiede, deren genaue Erkennung für die Kenntnis dieser Körper von Wichtigkeit sein wird.

Bemerkenswert ist auch, dass alle diese Körper, soweit ihre Krystallform mit Sicherheit erkannt oder wahrscheinlich ist, hemiëdrischen Abteilungen der betreffenden Systeme angehören.

Jedenfalls bieten diese Körper noch ein reiches und dankbares Arbeitsfeld. Nicht zum Wenigsten scheinen die Blutkrystalle zu Objekten dieser Untersuchungen geeignet, da sie verhältnismässig leicht und in brauchbarer Grösse und Beschaffenheit zu erhalten sind. Auch die krystallographische Untersuchung wird geeignet sein, zur Kenntnis der gegenseitigen Beziehungen dieser Körper beizutragen.

In derselben Sitzung hielt Herr F. Ransom den angekündigten Vortrag über:

Die Verbreitungswege des Tetanusgiftes und des Tetanusantitoxins im Thierkörper.

Die Versuche bei intravenöser Injection des Giftes bezw. des Antitoxins sind schon in extenso veröffentlicht worden. Als Versuchs-Thiere dienten hauptsächlich Hunde. Die Ergebnisse nach subcutaner Verabreichung des Giftes waren ganz unzweideutig. Das Gift fliesst mit der Lymphe aus dem subcutanen Gewebe in die Lymphgefässe und erreicht so die Blutbahn. Von den Blutcapillaren wird es nicht oder nur in sehr kleinen Mengen aufgenommen. Etwas Gift war zwar in den Blutproben nachweisbar, jedoch ungleich weniger als in der Lymphe. Nach subcutaner Injection von kleineren Giftmengen kann es 3 bis 4 Stunden dauern, ehe die Lymphe des Ductus Thoracicus Gift in nachweisbarer Menge enthält; sogar nach Verabreichung einer sicher tödlichen Dosis erscheint das Gift viel langsamer in der Lymphe des Ductus Thoracicus, als man nach der natürlichen Geschwindigkeit des Lymphstromes hätte erwarten müssen.

Die Versuche mit Tetanusantitoxin ergaben ganz analoge Resultate. Das Antitoxin wird mittelst der Lymphbahnen in den Blutkreislauf geführt. Die Blutcapillaren nehmen das Antitoxin nicht oder nur in sehr kleinen Mengen unmittelbar aus dem subcutanen Gewebe auf.

Die Neutralisationsverhältnisse im Thierkörper wurden durch folgenden Versuch ermittelt: Ein Hund erhielt intravenös eine sicher tödliche Dosis Toxin, der 24 Stunden später eine grössere Dosis Antitoxin gleichfalls intravenös nachgeschickt wurde. Vor der Antitoxininjection wurden Proben von Blut und Lymphe entnommen, dieselben erwiesen sich als giftig. Eine Viertelstunde nach der Antitoxininjection war das kreisende Blut giftfrei (früher ist nicht geprüft worden). Die Lymphe, welche während der ersten Viertelstunde nach der Antitoxininjection abfloss, enthielt weniger Gift als vorher; während der zweiten Viertelstunde wurde diese Giftmenge kleiner; in der Lymphe

der dritten Viertelstunde war kein Gift mehr nachweisbar. — Nicht nur das sich im Blute befindende, sondern auch das aus der Blutbahn ausgetretene, sich in der Lymphe aufhaltende Gift wird vom nachgeschickten Antitoxin schnell erreicht und neutralisirt.

Es wurde auch über den Befund nach intracerebraler bezw. subarachnoidaler Injection berichtet. Die Frage, ob das Toxin bezw. das Antitoxin aus dem subarachnoidalen Raum in den allgemeinen Blutkreislauf gelangen kann, wird, was das Antitoxin betrifft, von v. Leyden und Blumenthal¹⁾ bejaht. Verfasser hat Versuche bei Meerschweinchen nach Stich in das Gehirn und bei einem Hunde nach Lumbalpunktion ausgeführt. In allen Fällen ging ein grosser Theil des Antitoxins schnell in die Blutbahn über. Die Verhältnisse nach Giftinjection wurden ähnlich gefunden. Die Versuche sind an Meerschweinchen, Kaninchen und einem Hunde durch Stich in das Gehirn und an einem anderen Hund durch Lumbalpunktion gemacht worden. In allen Fällen liess sich eine grössere Menge Gift in der Blutbahn nachweisen.

Jetzt machte der Verfasser den Versuch umgekehrt, indem er Toxin bezw. Antitoxin in die Blutbahn injicirte und die Cerebrospinalflüssigkeit untersuchte. Die Versuche waren an Hunden ausgeführt. Nach intravenöser Injection von Toxin konnte V. kein Gift in der Cerebrospinalflüssigkeit finden, obschon Proben zu verschiedenen Zeiten nach der Verabreichung zur Prüfung entnommen wurden. Dieser Befund ist im Einklang mit den Berichten von Tetanusfällen bei Menschen, nur will Stintzing²⁾ einmal Gift in der Cerebrospinalflüssigkeit eines tetanuskranken Menschen gefunden haben. Bei Ziegen haben Blumenthal und Jacob³⁾ kein Gift nachweisen können.

Einem andern Hunde hat der V. Antitoxin intravenös gegeben, konnte aber in der Cerebrospinalflüssigkeit kein Antitoxin finden, obschon es zur selben Zeit reichlich im Blute vorhanden war.

1) Der Tetanus, v. Leyden und Blumenthal in Nothnagel's specielle Pathologie und Therapie, V. Bd., II. Theil.

2) Stintzing R., Grenzgebiete der Med. u. Chir. Bd. III. Heft 3 u. 4. 1898.

3) Blumenthal und Jacob, Berl. kl. Wochenschrift, 1898, Nr. 49.

In derselben Sitzung macht Herr Prof. Hans Meyer im Anschluss an seine früher (am 18. Jan. 1899) vorgetragene

Theorie der Alkoholwirkung

eine weitere Mittheilung, die zur Stütze jener Theorie geeignet erscheint. Lässt man nämlich die alkoholartig narcotisirenden Stoffe auf Thiere bei verschiedenen Temperaturen einwirken, so ist die Wirkungsstärke eine jeweils verschiedene: einige von jenen Stoffen wirken bei niederer Temperatur stärker als bei höherer, andere umgekehrt. So zeigte es sich, dass Kaulquappen, die auf $+3^{\circ}\text{C}$. temperirt waren, durch Salicylamid, Benzamid, Monoaceticin schon in viel geringeren Concentrationen narcotisirt wurden als solche, die bei $+26^{\circ}\text{C}$. bis $+30^{\circ}\text{C}$. gehalten wurden. Umgekehrt wirkte Alkohol, Aceton und Chloralhydrat bedeutend stärker auf die erwärmten als auf die abgekühlten Thiere. Es wurde nun für diese betreffenden Stoffe der Theilungscoefficient in einem Gemisch von Wasser und Oel bei $+3^{\circ}\text{C}$. und bei $+30^{\circ}\text{C}$. bestimmt, und es zeigte sich, dass der Theilungscoefficient der drei erstgenannten Substanzen (Salicylamid, Benzamid, Monoaceticin) bei 3°C . sehr viel grösser ist als bei 30°C ., der der anderen dagegen (Alkohol, Aceton, Chloralhydrat) sehr viel kleiner. Die Resultate entsprechen mithin vollständig den von der Theorie geforderten Verhältnissen.

In derselben Sitzung (20. Juni 1900) wurde durch Herrn E. Hess folgende Mittheilung des auswärtigen Mitgliedes, Herrn Professor E. Study in Greifswald eingereicht:

Beweis und Erweiterung eines von Herrn E. Hess angegebenen Satzes.

Es seien gegeben zwei Tetraeder, $x_1 \dots x_4$ und $y_1 \dots y_4$, deren Ecken x_i, y_i in der durch die Indices $1 \dots 4$ angegebenen Art einander zugeordnet sind; $u_1 \dots u_4$ und $v_1 \dots v_4$ seien

der Reihe nach die den Ecken gegenüberliegenden Flächen, so dass etwa

$$\begin{aligned}(u_1 x) &= -(x_2 x_3 x_4 x), & (u_2 x) &= (x_3 x_4 x_1 x), \\ (u_3 x) &= -(x_4 x_1 x_2 x), & (u_4 x) &= (x_1 x_2 x_3 x),\end{aligned}$$

und, wenn

$$\Delta_x = (x_1 x_2 x_3 x_4), \quad \Delta_y = (y_1 y_2 y_3 y_4)$$

gesetzt wird, $\Delta_x = \Delta_y = 0$, und z. B.

$$\Delta_x \cdot (ux) = (u_1 x)(ux_1) + (u_2 x)(ux_2) + (u_3 x)(ux_3) + (u_4 x)(ux_4).$$

Die Verbindungslinien entsprechender Ecken der beiden Tetraeder mögen \mathfrak{P}_i , die Schnittlinien entsprechender Ebenen \mathfrak{Q}_i genannt werden ($i = 1, 2, 3, 4$). Der Kürze halber wollen wir annehmen, dass die Geraden \mathfrak{P}_i völlig bestimmt sind, und dass keine zwei von ihnen einander schneiden. Damit werden einige ohne Weiteres aufzuzählende specielle Lagen der beiden Tetraeder ausgeschlossen.

Wir bilden jetzt die aus je zweien der Geraden \mathfrak{P}_i oder \mathfrak{Q}_i abzuleitenden bilinearen Invarianten, nämlich

$$(\mathfrak{P}_i \mathfrak{P}_k) = (x_i y_i x_k y_k), \quad (\mathfrak{Q}_i \mathfrak{Q}_k) = (u_i v_i u_k v_k) \quad (i \neq k).$$

Wenige Zeilen Rechnung zeigen nun, dass die sechs Grössen $(\mathfrak{Q}_i \mathfrak{Q}_k)$ Producte von je drei Factoren sind: Bedeuten i, k, l, m die Indices 1 . . . 4 in irgend einer Anordnung, so ist immer

$$(\mathfrak{Q}_i \mathfrak{Q}_k) = \Delta_x \cdot \Delta_y \cdot (\mathfrak{P}_l \mathfrak{P}_m),$$

also:

$$(\mathfrak{Q}_i \mathfrak{Q}_k)(\mathfrak{Q}_l \mathfrak{Q}_m) = \Delta_x^2 \cdot \Delta_y^2 \cdot (\mathfrak{P}_i \mathfrak{P}_k)(\mathfrak{P}_l \mathfrak{P}_m).$$

Es kann also, unter der genannten Einschränkung die übrigens theilweise auch aufgehoben werden darf, der Satz ausgesprochen werden:

Die Grassmann'schen Doppelverhältnisse der Verbindungslinien zugeordneter Ecken zweier Tetraeder sind gleich den Grassmann'schen Doppelverhältnissen der entsprechenden Schnittlinien ihrer Seitenflächen.

Diese Schnittlinien sind unter der angegebenen Voraussetzung (wie die Formeln zeigen) ebenfalls völlig bestimmt, und keine zwei von ihnen schneiden sich.

Auf Grund eines vom Verfasser angegebenen Satzes ¹⁾ kann nun weiter geschlossen werden:

Die Figur der Verbindungslinien entsprechender Ecken ist projectiv (collinear und zugleich correlativ verwandt) zur Figur der Schnittlinien entsprechender Seitenflächen.

Es sind nämlich unter der von mir gemachten Voraussetzung drei Fälle möglich:

a) Es besteht keine Relation der Form

$$\sqrt{(\mathfrak{P}_1 \mathfrak{P}_2)(\mathfrak{P}_3 \mathfrak{P}_4)} + \sqrt{(\mathfrak{P}_1 \mathfrak{P}_3)(\mathfrak{P}_2 \mathfrak{P}_4)} + \sqrt{(\mathfrak{P}_1 \mathfrak{P}_4)(\mathfrak{P}_2 \mathfrak{P}_3)} = 0.$$

Dann haben die vier Geraden \mathfrak{P}_i und folglich auch die vier Geraden \mathfrak{Q}_i zwei und nur zwei getrennte reelle oder imaginäre Secanten. Die auf dem einen Secantenpaar bestimmten Punktwürfe sind projectiv zu denen auf dem anderen Secantenpaar.

b) Es besteht eine solche Relation, aber es bestehen nicht gleichzeitig die Gleichungen

$$\begin{aligned} (x_1 x_3 y_3 x_2)(x_1 x_4 y_4 y_2) - (x_1 x_3 y_3 y_2)(x_1 x_4 y_4 x_2) &= 0, \\ (y_1 x_3 y_3 x_2)(y_1 x_4 y_4 y_2) - (y_1 x_3 y_3 y_2)(y_1 x_4 y_4 x_2) &= 0. \end{aligned}$$

Dann haben beide Figuren \mathfrak{P}_i , \mathfrak{Q}_i je eine einzige gemeinsame Secante, und die zugehörigen Punkt- oder Ebenenwürfe sind projectiv.

Dies ist der von Herrn E. Hesse angegebene Satz.²⁾

c) Es tritt der unter b) ausgeschlossene Fall ein. Dann haben die beiden Tetraeder hyperboloidische Lage.

1) S. dessen Abhandlung „Betrachtungen über Doppelverhältnisse“, Leipz. Ber. 1896, S. 216.

2) „Ueber die unilineare Lage zweier Tetraeder und eine Verallgemeinerung des Desargues'schen Satzes.“ Diese Sitzungsberichte Nr. 3, März 1900, S. 27—37.

In der Sitzung vom 20. Juni 1900 wurden durch vorschriftsmässige Kugelung die Herren: Professor Dr. Hugo Ribbert, Director des pathologischen Instituts und Professor Dr. Ernst Romberg, Director der medicinischen Poliklinik zu ordentlichen einheimischen Mitgliedern der Gesellschaft gewählt.

Aufgelegte Schriften:

- Stavanger Museum's: Aarsbereting 1899. Stavanger 1899.
Bergens Museums Aarbog 1899. 1. Heft. Bergen 1899.
Verhandlungen des Vereins für Natur- und Heilkunde in Presburg. N. F. X. Presburg 1899.
Mémoires de la Société impériale des Naturalistes de Moscou. Tom. XVI, Livr. 2. Moscou 1899.
Transactions of the Connecticut Academy of Arts and Sciences. Vol. X, Part. I. New Haven 1899.
Proceedings of the American philosophical Society. Vol. XXXVIII, Nr. 159 u. 160. Philadelphia 1899.
Smithsonian Miscellaneous Collections. 1171. Washington 1899.
Comunicaciones del Museo Nacional de Buenos Aires. Tom. I, Nr. 4.
U. S. Geological Survey. Tom. 29, 31, 35 mit Atlas zu Tom. 31; 19th. Report, Part. II; 20th. Report, Part. VI. Washington 1898/99.
Bericht des naturwissenschaftlichen Vereins in Zerbst 1892 bis 1898. Zerbst 1898.
83. und 84. Jahresbericht der naturforschenden Gesellschaft in Emden. Emden 1899.
Verhandlungen der k. k. geologischen Reichsanstalt 1898. Nr. 11 bis 16.
Verhandlungen der Berliner medicinischen Gesellschaft. Bd. XXX. Berlin 1900.
76. Jahresbericht der schlesischen Gesellschaft für vaterländische Kultur. Breslau 1899.
Jahresbericht der naturforschenden Gesellschaft Graubündens. N. F. XLII. Chur 1899.

Jahresbericht über die Verwaltung des Medicinalwesens etc. in
Frankfurt a. M. XLII. Jahrg. 1898. Frankfurt a. M. 1899.

Bulletin de la Société impériale des Naturalistes de Moscou.
1899, Nr. 1, 2 u. 3. Moscou 1899/1900.

Vom Naturforscherverein in Riga:

Korrespondenzblatt 42 — Arbeien. N. F. Heft 8 und 9:
Bodentemperaturen. Riga 1899.

Report of the U. S. Naval Observatory. Washington 1899.

Bulletin of the U. S. Agricultural Experiment Station of
Nebraska. Vol. XI, Nr. 55—59. Lincoln 1899.

Moor- und Alpenpflanzen in Zoeschen.

Bericht der Senckenbergischen naturforschenden Gesellschaft in
Frankfurt a. M. 1899.

Verhandlungen des botanischen Vereins der Provinz Branden-
burg. Jahrg. 41. Berlin 1900.

Vonderau, Pfahlbauten im Fuldathale. Fulda 1899.

Entomologisk Tidskrift. A. 20. Heft 1—4. Stockholm 1899.

Norske Nordhavs-Expedition 1876—1878, XXV, XXVI.
Christiania 1899.

Memoirs of the Museum of comparative zoology. Vol. XXIII,
Nr. 2 (Ophinoidae).

S. Capmann, Deep Sea fishes. Cambridge 1899.

Transactions of the Wisconsin Academy. Vol. XII, Part. 1.
Madison 1898.

Bulletin of the Museum of comparative Zoology. Vol. XXXIV;
Vol. XXXV, Nr. 3—6. Cambridge 1899.

Veröffentlichungen der deutschen akademischen Vereinigung zu
Buenos Aires. Bd. I, Heft 1 u. 2. Buenos Aires 1900.

Comunicaciones del Museo Nacional de Buenos Aires. Tom. 1,
Nr. 5.

Transactions of the American philosophical Society. Vol. XX,
Part. I. Philadelphia 1899.

Vom naturwissenschaftlichen Verein in Düsseldorf:

Festschrift der 70. Naturforscher-Versammlung.
Düsseldorf 1898.

Sitzungsberichte

der Gesellschaft zur Beförderung der gesammten Naturwissenschaften

zu

M a r b u r g.

Vro. 6

Juli

1900

In der wissenschaftlichen Sitzung vom 18. Juli 1900 sprach
Herr A. Schwantke

Über einen variolitischen Dolerit von Ofleiden unweit Homberg an der Ohm.

Während am Eingange in das Vulkangebiet des Vogels-
berges in der Gegend von Homberg a. d. Ohm im Osten und
Norden basaltische Gesteine, echter Feldspathbasalt, Nephelin-
basalt und Limburgit, auftreten, setzen den Hochberg auf
der rechten Seite des Ohmthales Ströme eines typischen Dolerits
zusammen. Durch die ziemlich mächtigen Tuffschichten, die an
beiden Seiten des Berges unter dem Dolerit hervortreten, und
ihre Lagerung wird der Charakter als selbständiges Eruptions-
centrum angezeigt. Ein Krater ist nicht mehr vorhanden, in-
dessen erscheint es möglich, dass in der vom anstehenden
Dolerit freien Mitte des Berges das Auftreten ziemlich mächtiger
Schichten von Kieselguhr und tertiäre Quarzgesteine nachweis-
lich jüngeren Alters als der Dolerit die Ausfüllung des ehemaligen
Kraters darstellen. Die Tuffe zeigen in der petrographischen
Beschaffenheit ihres Eruptionsmaterials eine interessante Be-
ziehung zu den Gesteinen der Umgegend, indem sie so ziemlich
alle dort auftretenden Typen in ihren Auswürflingen aufweisen.

Das Gestein des Dolerits ist in Zusammensetzung und Struktur völlig normal und zeigt an der Ober- und Unterfläche der Ströme die von anderen Orten bekannte glasige Erstarrungsrinde. An einer Stelle im Norden gegen das Dorf Nieder-Ofleiden hin bietet der Strom eine gänzlich veränderte Ausbildung, die sich am besten mit dem dafür bisher bei ähnlichen Gesteinen üblichen Namen als eine variolitische bezeichnen lässt. Es ist aber hier das Material von einer Frische und Mannigfaltigkeit, wie es bisher an anderen Stellen kaum gefunden sein dürfte.

Das Gestein erinnert zunächst im makroskopischen Aussehen durch die Einsprenglinge von Feldspath, Augit und Ilmenitafeln an manche Diabase; aber auch diese Parteen verhalten sich unter dem Mikroskop gänzlich abweichend. Die Grundmasse ist ein Gemenge der strahligen, blumigen und dendritischen Wachstumsformen der Componenten Ilmenit, Augit und Feldspath, namentlich die beiden ersteren sind für das mikroskopische Bild charakteristisch.¹⁾ Bisweilen tritt auch eine strahlige Anordnung der Einsprenglinge ein, namentlich die Ilmenitafeln besitzen in diesen Parteen eine interessante Struktur und aussergewöhnliche Grösse, was dem Gestein, das nach den grossen Tafeln bricht, ein eigenartiges Aussehen verleiht. Andere gleichmässig dicht erscheinende Gesteinsparteen lassen nur die beschriebene Grundmasse mit wenigen Einsprenglingen erkennen. Das Gewirr der Grundmasse wird weiterhin auch feiner und mit Erz durchstäubt, bis die ganze Masse schliesslich auch im Schliff dicht und aphanitisch erscheint. In einer solchen Grundmasse treten dann runde hellere Parteen auf, die im Allgemeinen die Struktur der vorher beschriebenen blumigen und dendritischen Grundmasse aufweisen. Äusserst charakteristisch ist das makroskopische Aussehen dieser Parteen, indem die ganze Masse

1) Eine ähnliche dendritische Struktur, die für derartige Gesteinsbildungen charakteristisch erscheint, ist von Max Bauer an Diabasen von Curaçao beobachtet worden.

eine sphärisch radialstrahlige Absonderung zeigt. Zum Teil ist die Grundmasse auch glasig. Einerseits ein im auffallenden Lichte blaues oder grünlich-graues, im durchfallenden Lichte braunes Glas mit Einsprenglingen von Augit, Feldspath und Ilmenit, andererseits beim Zurücktreten der Einsprenglinge Glas (mit perlitischer Absonderung) mit kugel- und warzenförmigen Variolen, die in einer Rinde schwarzen Glases einen Kern von ähnlicher Struktur als die vorher erwähnten Variolen besitzen. Höchst eigenartig ist auch eine metallisch schimmernde Erstarrungsfläche, die zum grössten Teil vollständig eben, z. T. auch deutlich geflossen erscheint, und die unter dem Mikroskop als aus zahlreichen Magneteisenskeletten nebst strahligem Augit und Feldspath gebildet erscheint. Die Unterseite ist blasig und mit Chabasitkrystallen besetzt. Auch die darüber liegende Schicht war völlig mit Chabasit erfüllt, so dass sie gänzlich zerfiel; die von den Chabasitkrystallen umschlossenen Augitnadeln und Schnüre schlackiger Masse beweisen, dass auch diese Schicht eine stark blasige Beschaffenheit gehabt hat.

Alle beschriebenen Strukturen sind nur als eine lokale Ausbildungsförm eines im Übrigen normalen Doleritstromes aufzufassen. Sie gehen zum Teil vollständig in einander über, auch finden sich Parteen normal erstarrten Dolerits inmitten des variolitischen.

Eine ausführliche Beschreibung des interessanten Gesteins wird im »Neuen Jahrbuch für Mineralogie, Geologie und Paläontologie« erscheinen.

In derselben Sitzung berichtete Herr E. Korschelt, dass Herr stud. Boerner bei der mit Unterstützung der Gesellschaft unternommenen Reise nach Sicilien eine grössere Anzahl von Exemplaren der *Koenenia mirabilis* mitgebracht habe und dass dies Material im hiesigen zoologischen Institut weiter untersucht werden würde,

In derselben Sitzung (18. Juli 1900) sprach endlich Herr J. Meisenheimer

Über die Entwicklung von Herz, Niere und Genitalorganen bei *Cyclas* im Verhältniss zu den übrigen Mollusken.

Die einzigen genaueren Angaben über die Entwicklung von Herz, Niere und Genitalorganen bei *Cyclas* finden sich in einer Abhandlung von E. Ziegler, während die älteren Autoren nur ganz bruchstückweise dieselben während der Entwicklung zu beobachten vermochten. Beim Vergleiche der Befunde Ziegler's mit den von mir an *Dreissensia* gemachten Beobachtungen schien mir auch dessen Darstellung noch einige Lücken aufzuweisen, wesshalb ich versuchte dieselben durch eigene Beobachtungen auszufüllen.

Ziegler fand, dass Herz, Niere und Genitalorgane sich aus einer indifferenten Mesodermmasse heraus differenzirten und zwar völlig unabhängig von einander, meine Untersuchungen ergaben mir, dass alle diese Organe in engstem Zusammenhange mit einander aus einer gemeinsamen Zellenmasse entstehen, die ihrerseits dem Ectoderm entstammt. Ziegler fand weiter, dass das Herz durch eine Einfaltung von Pericardialbläschen entsteht, auch hierin weichen meine Beobachtungen von den seinigen ab.

Kurz stellt sich die Entwicklung der fraglichen Organe bei *Cyclas* nun folgendermassen dar. Auf einem ziemlich jungen Larvenstadium bemerkt man beiderseits vom Enddarme eine kleine Zellwucherung auftreten, die schnell an Mächtigkeit zunimmt. Zunächst besteht dieselbe noch aus völlig gleichartig gebauten Zellen, bald jedoch treten Differenzirungen auf, indem einige Zellen sich durch ihre Grösse und ihre hellen, bläschenförmigen Kerne auszeichnen und so scharf von den übrigen abstecken, wir haben hier die ersten Urogenitalzellen vor uns. Als kleine Zellhaufen bleiben sie längere Zeit neben den übrigen Zellen liegen. Diese letzteren zeigen bald eine erneute Sonderung, nachdem sie sich in Form einer breiteren Zellenplatte

zu beiden Seiten des Darmes angeordnet haben, sie bilden jederseits ein kleines Bläschen aus, welche die Nierensäckchen darstellen. Ein letzter Zellencomplex der gemeinsamen Anlage ist nun noch übrig und dieser enthält in sich die Anlage von Herz und Pericard. Die Differenzirungen, welche diese Teile ihrem definitiven Bau entgegenführen, sind die weitaus complicirtesten. In der schon erwähnten, zu beiden Seiten des Darmes gelegenen Zellenplatte beginnen nämlich Hohlräume aufzutreten, und zwar einer zunächst jederseits an der ventralen Hälfte, dort, wo die Genitalzellen unmittelbar angrenzen. Dieser Spaltraum nimmt bald Bläschenform an, trägt aber an seiner oberen Wandung noch einen massiven Zellenhaufen, den Rest der ursprünglichen Zellenplatte. In diesem letzteren tritt nun ein zweiter Hohlraum auf, der von dem ersteren nur durch eine schmale Zellschicht getrennt ist. Diese zwei Paare von Spalträuman beginnen nun nach der Medianebene hin einander entgegen zu wachsen, bis sie sich dorsal und ventral vom Darm berühren. Diese Berührung erfolgt zunächst durch einen einfachen Zellenzipfel, bald jedoch schieben sich in denselben die Spalträume vor und spalten auf diese Weise die einfache Zellenlage, bis eine Communication der beiderseitigen Hohlräume hergestellt ist. Wir haben nun zwei den Darm umgebende Zellenringe vor uns, von denen der innere die Herzwandung, der äussere die Pericardialwandung darstellt. An einer einzigen Stelle sind beide noch verbunden, an der schmalen Zellenplatte, welche die ursprünglichen dorsalen und ventralen Hohlräume trennte. Indem auch diese endlich sich spaltet, werden die beiden Vorhöfe gebildet, womit der definitive Bau von Herz und Pericard im wesentlichen erreicht ist. Kurz hinzufügen will ich nur noch, dass inzwischen die Genitalanlage zu zwei mächtigen Genitalsäckchen herangewachsen ist, dass ferner die Niere ihre typischen Windungen angenommen hat und mit dem Pericarde nach innen wie mit der Körperwandung nach aussen in Verbindung getreten ist.

Auf einen näheren Vergleich der Befunde Ziegler's mit meinen Resultaten vermag ich erst in einer ausführlichen Ab-

handlung einzugehen, hinweisen will ich hier nur auf einige allgemeinere Beziehungen. Bei vier verschiedenen Vertretern des Phylums der Mollusken ist jetzt eine gemeinsame Sonderanlage von Herz, Niere und Genitalorganen nachgewiesen, bei Dreissensia, Cyclas, Paludina und Limax. Völlig verschieden ist dagegen bei allen die zeitliche Differenzirung dieser einzelnen Organe aus der gemeinsamen Anlage. Hier bei Cyclas entstehen zuerst die Genitalzellen, dann Niere und zuletzt erst Herz und Pericard. Anders ist es bei Dreissensia, wo die Niere zuerst sich anlegt und die Genitalzellen erst sehr spät zur Entfaltung gelangen. Ähnlich verhält sich Paludina, nur ist es hier nicht die Niere, welche zuerst sich differenzirt, sondern das Pericard, und wieder anders liegen die Verhältnisse bei Limax. Auch in der Art der Ausbildung und Sonderung von Herz und Pericard verhalten sich die einzelnen Formen verschieden, auch hier muss ich mich mit dem einfachen Hinweise begnügen, um in einer ausführlicheren Mitteilung diese complicirten Verhältnisse näher zu beleuchten.

In der Sitzung vom 18. Juli 1900 wurde der Abtheilungsvorsteher im hiesigen hygienischen Institut Herr Dr. phil. Wilhelm Ruppel zum ausserordentlichen Mitglied der Gesellschaft gewählt.

Aufgelegte Schriften:

- XVII. Bericht der naturforschenden Gesellschaft in Bamberg.
Bamberg 1899.
Mittheilungen aus dem naturwissenschaftlichen Verein in Greifswald. (Jahrg. 31).
Berlin 1900.
Sitzungsberichte der physikalisch-medicinischen Gesellschaft in Würzburg 1899, Nr. 1–7 (Schluss).
Verhandlungen des naturforschenden Vereins in Brünn. Bd. 37, nebst XVII. Bericht der meteorologischen Commission.
Brünn 1899.
Verhandlungen der naturforschenden Gesellschaft zu Basel, Bd. XII, Heft 2 nebst Biographie von C. F. Schönbein.
Basel 1900.
-

Sitzungsberichte

der Gesellschaft zur Beförderung der gesammten Naturwissenschaften

zu
M a r b u r g.

Nro. 7

August

1900

In der wissenschaftlichen Sitzung vom 1. August 1900 hält Herr Loewi den angekündigten Vortrag:

„Zur Kenntnis des Nucleinstoffwechsels“.

An die Entdeckung des Gesetzes vom Stickstoffgleichgewicht schlossen sich Versuche, das Nahrungseiweiss durch andere stickstoffhaltige Körper insbesondere durch Abbauprodukte des Eiweisses bis herab zu den Amidosäuren zu ersetzen. Es ergab sich die Thatsache, dass bei sonst ausreichender Nahrung lediglich „Eiweiss“ den Bestand des Organismus auf die Dauer zu wahren vermag.

Die Fortschritte in der Eiweisschemie haben die Fragestellung verschoben. Es haben sich derart gewichtige Unterschiede in der Zusammensetzung der Eiweisskörper ergeben; dass es nicht mehr angeht, schlechtweg von „Eiweiss“ und seiner Bedeutung für den Stoffwechsel zu reden, sondern, dass das Verhalten der verschiedenen Eiweisskörper im Organismus gesonderte Prüfung erheischt. Aus dem bereits vorliegenden Thatsachenmaterial zu dieser Frage hebe ich hier die Untersuchungen über das Schicksal von Eiweisskörpern mit verschiedenem Kohlehydratgehalt heraus (Halsey, Luthje, Blumenthal u. a. m.) und die Arbeiten über das Verhalten phosphorhaltiger Eiweisskörper im Stoffwechsel (Röhm ann).

Ich habe nun, von ähnlichen Gesichtspunkten ausgehend, das Verhalten einiger echter Nucleine im Stoffwechsel geprüft. Folgende Überlegung liess mir die Untersuchung gerade dieser Gruppe von Eiweisskörpern besonders aussichtsreich erscheinen. Unsere Kenntnisse über das Verhalten des Nahrungseiweisses nach der Resorption sind sehr gering. Wir wissen wenig darüber, ob lediglich Umlagerungen im Molekül stattfinden, ob völliger Abbau und Wiederaufbau zu Körpereiwiss die Regel ist. Wir haben eben keine Möglichkeit, das gewöhnliche Nahrungseiweiss bei seiner Wanderung durch den Körper zu verfolgen und wiederzuerkennen. In dieser Beziehung versprach Fütterung mit Nuclein einen gewissen Fortschritt zu gewährleisten: das Nuclein ist sozusagen ein „gestempelter“ Eiweisskörper, insofern sein Stickstoff von einer bestimmten Phosphormenge begleitet ist.

Das Material ist in ausreichender Menge so schwer zu beschaffen, dass ich den Versuchen bisher die wünschenswerte Ausdehnung nicht geben konnte und gezwungen war, eine besondere Versuchsanordnung einzuhalten, die mir übrigens gerade für die Anstellung von Versuchen auf dem in Rede stehenden Gebiete manche Vorteile zu bieten scheint: zu einer absolut gleichen, zur Aufrechterhaltung meines Stickstoffgleichgewichtes geeigneten Diät, wurde an einzelnen Tagen Nuclein bezw. Nucleinsäure zugelegt. Zur Verwendung gelangten: Nuclein aus Lachsperma, Nucleoproteid aus Rindspancreas, Salm-Nucleinsäure, Nuclein aus Hefe. Letzteres stammte von Gräbler, die übrigen Präparate wurden nach bekannten Vorschriften von mir dargestellt. In Nahrung, Kot und Harn wurden Stickstoff und Phosphorsäure bestimmt. Aus den Ergebnissen des Versuches seien die wesentlichen, Resorption und Bilanz betreffend, hervorgehoben.

a) Die Resorption: Der Stickstoff der zugelegten Präparate wurde vollständig resorbiert. Weder der procentische noch der absolute Stickstoff-Gehalt der Fäces stieg an. Die Phosphorsäure der Fäces dagegen war nicht unbeträchtlich ver-

mehrt. Dies kann zweierlei Gründe haben. Entweder wurde das Nuclein im Darm zum Teil gespalten, der stickstoffhaltige Anteil resorbiert und die Phosphorsäure an Erdalkali gebunden entzog sich der Resorption, oder es wurde das Nuclein als solches resorbiert, im Organismus gespalten und ein Teil der Phosphorsäure auf den Darm wieder ausgeschieden. Dass das Nuclein als solches überhaupt resorbierbar ist, geht aus Gumlich's Untersuchungen in Kossels Laboratorium hervor. Zur Entscheidung der Frage, ob überhaupt eine Phosphorsäureausscheidung auf den Darm statthat, werden z. Z. im Laboratorium des pharmacologischen Institutes Versuche mit subcutaner Injektion von phosphorsaurem Natrium ausgeführt. Die bisherigen Ergebnisse machen es wahrscheinlich, dass die injizierte Phosphorsäure vollständig in den Harn übergeht, auch wenn der Darm mit Kalksalzen überladen ist, die die circulirende Phosphorsäure festhalten könnten. Wir müssen deshalb annehmen, dass keine Phosphorsäure-Ausscheidung auf den Darm stattfindet, es muss also das Nuclein bereits vor seiner Resorption teilweise gespalten worden sein.

b) Die Bilanz: Bei Aufstellung der Bilanz stellte sich heraus, dass von den mit dem Salm- und Hefenuclein, sowie der Salmnucleinsäure eingeführten Stickstoff- und Phosphorsäuremengen ein grosser Teil zurückgehalten wurde und zwar in annähernd demselben Verhältnis, wie sie in den eingeführten Körpern enthalten waren. Da oben festgestellt wurde dass ins Blut gelangte anorganische Phosphorsäure vollständig zur Ausscheidung gelangt, ist der Schluss erlaubt, dass nach der Resorption keine Spaltung des Nucleins bis zum Auftreten anorganischer Phosphorsäure statthatte, vielmehr die Phosphorsäure in organischer Bindung blieb. Halten wir hiermit zusammen, dass Stickstoff und Phosphorsäure in demselben Verhältnis zurückgehalten wurden, wie sie im verfütterten Nuclein vorhanden waren, so bleibt wohl für keine andere Annahme Raum, als dass bei der gewählten Versuchsanordnung Nuclein

beziehungsweise Nucleinsäure zum Ansatz gelangt ist. Eine andere Erklärung wüsste ich wenigstens dem Befunde nicht zu geben. Was dieser Nucleinansatz zu bedeuten hat, darüber erlaube ich mir zwar keine bestimmte Meinung zu äussern, möchte aber aus den sonstigen Ergebnissen dieses Versuches, sowie aus denen eines früheren, den Herr Dr. Offer im Sommer vorigen Jahres auf meine Veranlassung im Laboratorium des Frankfurter Krankenhauses an gestellt hat, hervorheben, dass unter dem Einfluss der Nucleinsäurezulage die Versuchspersonen aus dem Stickstoffgleichgewicht herauskamen und Stickstoff ansetzten und zwar in dem einen Versuch (Verf.) auch noch, nachdem die Nucleinsäure aus der Nahrung weggelassen war.

Die Wichtigkeit meines Befundes möchte ich darin erblicken, dass, wie mir scheint, zum ersten Mal der Nachweis geglückt ist, dass es gelingt, durch Fütterung mit spezifischem Eiweiss den Körper an diesem spezifischen Eiweiss anzureichern. Ob dies auch bei anderer Versuchsanordnung und für andre Eiweissweisskörper gilt oder gar Regel ist, ob wir demnach den Eiweissbestand des Körpers qualitativ zu beeinflussen im stande sind wie etwa den Fettbestand, das zu klären, ist Sache zukünftiger Untersuchungen.

In derselben Sitzung vom 1. August 1900 sprach Herr A. Kossel über die von A. Kossel und F. Kutscher ausgeführten weiteren Untersuchungen:

„Ueber die Eiweissstoffe“.

In der Sitzung vom 9. April d. J. habe ich über einige von Herrn Dr. F. Kutscher und mir gemeinschaftlich angestellte Untersuchungen berichtet, durch welche wir über die quantitativen Verhältnisse der aus dem Eiweissmolekül hervorgehenden hydrolytischen Zersetzungsproducte Aufschluss zu erlangen suchten. Nachdem wir eine Methode zur quantitativen Bestimmung von Arginin, Histidin und Lysin ausgearbeitet hatten, haben wir eine Reihe von Eiweisskörpern der Zersetzung durch

Mineralsäuren unterworfen und unter den Spaltungsproducten die Menge der Hexonbasen festgestellt. Die Ergebnisse dieser Analysen bestätigten die früher von mir mitgetheilte Auffassung der Protamine als der einfachsten Eiweisskörper. Die Protamine sind hiernach als diejenigen Proteinstoffe zu betrachten, in welchen der Kern der Hexonbasen quantitativ vorherrscht, die Summe der an diesem Kern angefügten Monoamidosäuren z. B. Amidovaleriansäure, Tyrosin tritt gegenüber dem Arginin an Menge zurück. In den complexen Eiweisskörpern ist im Gegensatz dazu die Menge der Monoamidosäuren eine sehr beträchtliche.

Wir haben unter den von uns untersuchten Eiweisskörpern einen aufgeführt, der seinen Eigenschaften und seiner Zusammensetzung nach zwischen den Protaminen und den complexen Eiweisskörpern steht, nämlich das Thymushiston. Dieser Körper unterscheidet sich durch seinen ausserordentlich hohen Gehalt an Arginin und Lysin von allen übrigen bisher untersuchten complexen Eiweisstoffen und es erhebt sich die Frage, ob dies eine Eigenthümlichkeit aller Histone ist, ob mit anderen Worten den eigenartigen äusseren Eigenschaften der Histone auch eine gemeinsame Eigenthümlichkeit ihres inneren Baues entspricht.

Zur Untersuchung dieser Frage bot sich eine Gelegenheit als wir in den Testikeln des Kabeljau (*Gadus Morrhua*) einen Körper vorfanden, der sich bezüglich seiner Reactionen und seines hohen Stickstoffgehalts ebenso wie das Thymushiston, verhält. Wir unterwarfen diese Substanz der Zersetzung und bestimmten die Menge der Hexonbasen.¹⁾

1) Hierbei ergab sich, dass die Eigenschaften des aus diesem Eiweisskörper gewonnenen Histidins in Bezug auf Aussehen und Löslichkeit der Krystalle des Chlorids von denen des früher beschriebenen Histidins etwas abwichen, sodass wir bezüglich der Identität noch kein abschliessendes Urtheil fällen können. Den gleichen Zweifeln waren wir schon beim Thymushiston begegnet.

Die Resultate ergeben sich aus folgender Zusammenstellung:

In 100 Theilen

	Histon aus Thymus		Histon aus den Testikeln von Gadus Morrhua
Histidin (?)	1,21 (Wägung des Chlorids)		2,34 (Wägung des Chlorids)
Arginin	14,36 (Wägung des Nitrats)		14,28 (Kjeldahl- Bestimmung)
Lysin	7,6 (Wägung des Picrats)		8,51 (Wägung des Picrats)

Die höchste bisher für einen complexen Eiweisskörper gefundene Argininzahl beträgt 6,08 %, im Glutencasein ist 2,0 % Lysin gefunden worden, während andere Eiweisskörper sogar frei von Lysin sind. Stellt man die obigen Ergebnisse diesen Zahlen gegenüber, so ergibt sich eine sehr grosse Aehnlichkeit in der Zusammensetzung der beiden Histone, die diese Histone als eine eigenartige scharf charakterisirte Gruppe von Eiweisskörpern hervortreten lässt.

Im Gegensatz zu den Histonen haben sich nun gewisse Bestandtheile des Weizenklebers: das Glutenfibrin, Mucedin und Gliadin als frei von Lysin erwiesen. Es hat sich hiedurch in unerwarteter Weise ein Unterschied im chemischen Bau der in Alkohol löslichen Kleberproteinstoffe von dem Glutencasein und von allen bisher untersuchten complexen thierischen Eiweissstoffen herausgestellt. Die Bedeutung dieses Befundes für die Fragen der Ernährungsphysiologie hat uns veranlasst, die Untersuchung auf einen weiteren alkohollöslichen Pflanzenproteinstoff nämlich das Zein, einen Bestandtheil des Maiskorns auszu dehnen und auch hier ergab sich, dass das Lysin mit den heute zu Gebote stehenden Hilfsmitteln unter den Zersetzungsproducten nicht nachzuweisen war. Diese lysinfreien Eiweisskörper scheinen also im Pflanzenreiche verbreitet zu sein, und man muss nach unsern Befunden erwarten, dass unter den alkohollöslichen Pflanzenproteinstoffen noch weitere lysinfreie Eiweisskörper aufgefunden werden.

Die folgende Tabelle giebt die Analysenzahlen des Zeins im Vergleich mit denen früher von uns untersuchter¹⁾ Pflanzenproteinstoffe:

	In 100 Theilen				
	ZeIn	Gliadin	Mucedin	Gluten-Fibrin	Gluten-Casein
Histidin	0,81	1,20	0,43	1,53	1,56
Arginin	1,82	2,75	3,13	3,05	4,54
Lysin	0	0	0	0	2,0

Durch unsere Untersuchung über das Verhältniss der Protamine zu den complexen Eiweissstoffen, über die Stellung der Histone und der lysinfreien Eiweissstoffe sind die chemischen Verhältnisse dieser Körper soweit präcisirt worden, dass nunmehr Gesichtspunkte gegeben sind, um das Verhalten dieser Körper im thierischen Stoffwechsel zu untersuchen. Wir haben diese Untersuchungen begonnen und ich hoffe, demnächst auch über diese Frage, die nach unsern chemischen Ergebnissen als eine sehr bedeutungsvolle erscheint, einige Mittheilungen machen zu können. —

In derselben Sitzung vom 1. August legte Herr A. Kossel folgende Mittheilung des Herrn Alberto Ascoli vor:

Ueber ein neues Spaltungsprodukt des Hefenucleïns.

Das Thymin von A. Kossel und A. Neumann²⁾ unter den Spaltungsproducten der Thymusnucleïnsäure aufgefunden, wurde von denselben³⁾ auch aus Milznucleïnsäure, von Miescher⁴⁾ aus

1) Siehe diese Sitzungsberichte vom 6. April 1900.

2) A. Kossel und A. Neumann, Berl. Ber. Bd. 26 S. 2754.

3) Dieselben, ibid. Bd. 27 S. 2217.

4) F. Miescher, Arch. f. exp. Path. u. Pharm. Bd. 37 S. 124.

Lachssperma, von Kossel¹⁾ aus Störsperma gewonnen. Aus der Hefenucleinsäure wurde zwar von Kossel und Neumann ein Körper isoliert, der in seinen Reactionen mit dem Thymin übereinstimmte, doch reichte die erhaltene Menge zu einer Analyse nicht aus.

Einer Anregung des Herrn Professor Kossel folgend, dem ich für sein immer reges Interesse an meinen Arbeiten meinen herzlichsten Dank ausspreche, unternahm ich es, den endgültigen Nachweis des Thymins unter den Spaltungsprodukten des Hefenucleins zu erbringen. Durch die von Jones²⁾ ausgearbeitete Methode ist die Gewinnung des Thymins wesentlich erleichtert worden: und auch mir gelang es unschwer, aus Thymusnuclein nach einer sich im wesentlichen mit der Jones'schen deckenden Methode ganz reines Thymin zu gewinnen, welches in den charakteristischen Tafeln³⁾ krystallisierte und bei der Moleculargewichtsbestimmung die erfordernten Werthe gab.

Anders das nach derselben Methode gewonnene Produkt aus Hefenuclein: zwar verhielt es sich gegen Silbernitrat ähnlich wie Thymin und wurde ebensowenig wie dieses durch Phosphorwolframsäure gefällt, aber es krystallisierte fast ausschliesslich in rosettenförmig angeordneten Nadeln und sublimierte nicht so leicht unzersetzt wie das Thymin. Die Analysen zweier verschiedener Krystallisationen desselben Präparates sowie die eines anderen von einer zweiten Darstellung stammenden und vielfach umkrystallisierten Produktes gaben Zahlen, welche mit Rücksicht auf die Moleculargewichtsbestimmung zu der Formel $C_8 H_4 N_2 O_2$ führen.

1) A. Kossel, Zschft. f. physiol. Chemie. Bd. 22 S. 189.

2) Walter Jones, Ueber die Darstellung des Thymins, Zschft f. physiol. Chemie, Bd. 29 S. 461.

3) Wl. Gulewitsch, Ueber das Thymin, Zschft. f. physiol. Chemie. Bd. 27 S. 292.

Berechnet für		Gefunden		
$C_4H_4N_2O_2$		Präparat I		Präparat II
		I Kryst.	II Kryst.	
C%	42 · 82	43 · 01	43 · 20	43 · 25
H%	3,59	3,68	3,72	3,55
N%	25,05		24 · 87 ¹⁾	24,9 ²⁾

Eine Moleculargewichtsbestimmung nach der Siedemethode ergab die Zahl 110; berechnet ist für $C_4H_4N_2O_2$ 112. Das geringe Plus an Kohlenstoff und Minus an Stickstoff dürfte auf eine geringe Verunreinigung mit Thymin zurückzuführen sein, worauf auch die mikroskopisch nachweisbare Anwesenheit spärlicher an Thymin erinnernder Krystalle hinweist.

Mithin besitzt die so gewonnene Substanz eine empirische Formel, welche der des Uracils entspricht. Ist nun das Thymin, über dessen Constitution die im hiesigen physiologischen Institut ausgeführten Arbeiten Licht zu verbreiten beginnen, ein Derivat der Pyrimidingruppe, so würde die Annahme naheliegen, dass wir hier wirklich das Uracil vor uns haben. Die Erforschung der Constitution dieses so gewonnenen Produktes soll weiteren Untersuchungen vorbehalten bleiben, welche ich nach Beschaffung des notwendigen Materials vorzunehmen gedenke.

In derselben Sitzung vom 1. August sprach weiter Herr Dr. F. v. Dalwigk über Aufstellung von unendlichen Reihen rationaler Partialbrüche für einige Funktionen, u. a. $\text{ctg } u, \frac{1}{\sin u}$ und die elliptischen Funktionen $\sin am\ u, \cos am\ u, \Delta am\ u$. Daran schlossen sich Angaben über die Folgerungen, welche sich hinsichtlich der Transformation der elliptischen Funktionen aus diesem Entwicklungsverfahren unmittelbar ergeben. Die Arbeit soll an andrer Stelle veröffentlicht werden.

- 1) Kjeldahl-Bestimmung.
- 2) Volumetrisch.

In derselben Sitzung vom 1. August 1900 hielt Herr A. Kossel seinen angekündigten Vortrag:

Demonstration eines Apparates.

Der Vortragende führte einen nach seiner Angabe von dem Mechaniker des physiologischen Instituts, Herrn Rinck, construirten Apparat vor, welcher zur Zerkleinerung thierischer Organe oder ganzer Thiere dient. Die betreffenden Organe werden zunächst hart gefroren und sodann gefräst oder gehobelt. Diese Vorrichtung hat gegenüber den Fleischhackmaschinen folgende Vortheile: 1) Die Zerkleinerung ist eine feinere. Die faserigen Theile werden nicht zerrissen, sondern in sehr kleine Stücke zerschnitten. 2) Harte Theile (z. B. Sehnen, Haut) werden ebenfalls in sehr feine Schnitte zerlegt, ganze Thiere werden in einen chemischen Extractionsmitteln leicht zugänglichen Brei verwandelt. 3) Das bei dem Verfahren sich ergebende Produkt bildet eine schneeähnliche feste Masse; hierdurch und durch die Einrichtung des Apparats ist es möglich gemacht, Verluste zu vermeiden, so dass dies Verfahren bei quantitativen Untersuchungen den Vorzug verdient.

Die Zerkleinerung wird durch vier an einer vertical stehenden Axe befestigte Messer bewirkt. Die Axe wird durch einen Electromotor in schnelle Drehung versetzt. Vor den Messern befindet sich ein kräftiger Schlitten, welcher an seinem vorderen den Messern zugekehrten Ende den zu schneidenden Gegenstand an einen Schieber angefroren trägt. Der Schlitten wird durch eine Schraube von der Hand bewegt, und auf diese Weise wird der zu schneidende Gegenstand den Messern stetig zugeführt.

Eine ausführliche Beschreibung des Apparates erfolgt in der Zeitschrift für physiologische Chemie.

Ausgegeben am 15. August 1900.

Sitzungsberichte

der Gesellschaft zur Beförderung der gesammten Naturwissenschaften

zu
M a r b u r g.

Nro. 8 November 1900

In der Sitzung vom 7. November 1900 hielt Herr Dr. F. Kutscher den angekündigten Vortrag über:

Die Isolirung der Glutaminsäure und Asparaginsäure aus den Spaltungsprodukten der Eiweisskörper.

Seit langer Zeit ist uns bekannt, dass Glutaminsäure und Asparaginsäure sich regelmässig bilden, wenn wir die Eiweisskörper durch siedende starke Säuren zersetzen.

Trotzdem sind die Methoden zur Isolirung der genannten Säuren noch unvollkommen. Ein Hauptgrund der eine leichte Abtrennung der Glutaminsäure und Asparaginsäure verhindert ist wahrscheinlich darin zu suchen, dass neben diesen Säuren basische Substanzen auftreten, welche mit ihnen Verbindungen eingehen.

Die bisher bekannt gewordenen Körper basischer Natur, welche bei der Zersetzung der Eiweisskörper durch Säuren auftreten, sind Ammoniak, Histidin, Arginin, Lysin und die Diamidoessigsäure. Von denselben konnte man schon früher das Ammoniak entfernen, in letzter Zeit haben wir auch durch die Arbeiten Kossels gelernt, die drei Hexonbasen, Histidin, Arginin, Lysin quantitativ abzuscheiden. Wir sind also nunmehr im Stande, den grössten Teil der bei der Eiweisspaltung entstehenden uns bekannten Basen aus dem Gemenge der Zersetzungsprodukte

herauszuschaffen. Dadurch müssen die Glutaminsäure u. Asparaginsäure, so weit sie durch die Basen gebunden werden, frei werden, und es liess sich erwarten, dass sie im freiem Zustand der Isolirung zugänglicher sind.

Unterstützt wurde ich in meinen Bemühungen, die beiden Säuren aus dem von den obengenannten Basen befreiten Gemenge der Zersetzungsprodukte zu isolieren, durch das Auffinden eines schwer löslichen glutaminsauren Salzes, nämlich des glutaminsauren Zinks. Das glutaminsaure Zink entspricht in seiner Zusammensetzung der Formel $C_5H_7ZnNO_4 + 2 H_2O$. Das Krystallwasser verliert es bei $150^\circ C$. Es ist in kaltem Wasser sehr schwer löslich, [c. 0,4 Gr. lösen sich in 1000 cc. Wasser] in heissem Wasser löst sich etwas mehr davon.

Nachdem ich mit dem glutaminsauren Zink bekannt geworden war, verfuhr ich bei der Abscheidung der Glutaminsäure und Asparaginsäure folgender Maassen:

Die Zersetzungsflüssigkeit der Eiweisskörper wurde zunächst von Ammoniak und Hexonbasen befreit. Darauf wurden aus derselben sorgfältig die anorganischen Säuren und alle Reagentien, die zur Abscheidung der Basen gedient hatten entfernt. Die Flüssigkeit wurde danach eingeeengt, um durch Krystallisation den Haupttheil des Tyrosins zu beseitigen, vom auskrystallisirten Tyrosin wurde abfiltrirt. Das Filtrat wurde noch weiter eingedampft [hatten 50 Gr. Eiweiss zur Zersetzung gedient, so brachte ich es auf c. 200 cc.] und siedendheiss mit Zinkoxyd gesättigt. Schon während des Siedens scheidet sich ein Theil des glutaminsauren Zinks als Krystallpulver ab. Nach dem Erkalten setzt sich ein weiterer Theil des glutaminsauren Zinks langsam in festen Krusten an den Wandungen des Gefässes an.

Von dem abgeschiedenen glutaminsauren Zink wurde nach 24—48 Stunden abfiltrirt. Das Filtrat wurde mit concentrirter neutraler Silbernitratlösung gefüllt. Der entstehende reichliche Niederschlag besteht aus den Silberverbindungen der Asparaginsäure und einer oder mehrerer noch nicht weiter bekannter Säuren. Ausserdem ist ihm etwas glutaminsaures Silber beige-

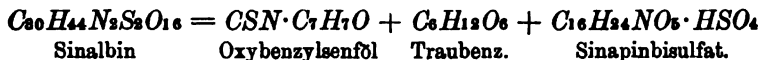
menget. Um das Gemenge zu trennen, zersetzt man den Silberniederschlag mit Schwefelwasserstoff, entfernt darauf von den frei gewordenen Säuren zunächst die Glutaminsäure als Zinksalz, die Asparaginsäure als asparaginsaures Kupfer. Die Mutterlauge von asparaginsäuren Kupfer enthält die leicht löslichen Kupferverbindungen der übrigen in den Silberniederschlag eingegangenen Säuren, mit deren Reindarstellung ich zur Zeit beschäftigt bin.

In derselben Sitzung vom 7. November 1900 hielt Herr J. G a d a m e r den angekündigten Vortrag:

Ueber Senföl gebende Glycoside.

I.

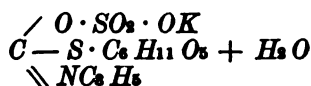
In der Gruppe der Glycoside (esterartige Verbindungen von Zuckerarten mit andern Körpern, die unter Aufnahme von Wasser durch Fermente oder verdünnte Säuren in die Componenten gespalten werden) nahmen bisher die Senföl liefernden Glycoside eine Ausnahmestellung ein. Der Zerfall derselben sollte nach den Untersuchungen von Will und Körner über das Sinigrin oder myronsaures Kalium (*Sinapis nigra*) und denen von Will und Laubenheimer über das Sinalbin (*Sinapis alba*) ohne Aufnahme der Elemente des Wassers erfolgen, also:



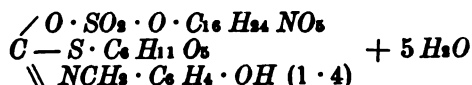
In Wahrheit enthalten aber die beiden Formeln $C_{10}H_{18}KNS_2O_{10}$ und $C_{80}H_{44}N_2S_2O_{16}$ je noch ein Molekül Krystallwasser, welches allerdings nur sehr schwierig (bei 100° in der Luftleere) abgegeben wird. Die Mitwirkung eines Moleküls Wasser ist also durch obige Formeln bereits gewährleistet. Da wir jedoch drei Spaltungsprodukte kennen, die äquimolekular sind, müsste man die Mitwirkung zweier Moleküle erwarten. Dies ist

auch der Fall, jedoch wird das zweite Molekül sofort wieder abgespalten.

Die Untersuchungen zur Constitutionsbestimmung haben nämlich ergeben, dass dem Sinigrin die Strukturformel:

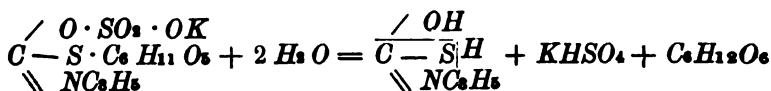


dem Sinalbin die Formel



zuzuschreiben sein dürfte.

Der hydrolytische Reactionsverlauf wäre danach wie folgt zu verstehen:



Die intermediär gebildete Verbindung $\begin{array}{c} \diagup OH \\ C - S \cdot H \\ \parallel NC_6 H_5 \end{array}$ zerfällt

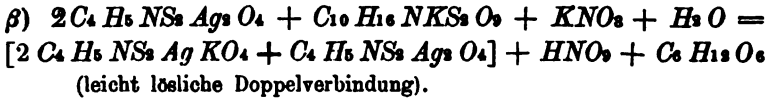
aber sofort in Wasser und Senfö, da sie als glycolartige Verbindung mit 2 Alkoholgruppen an demselben C-atom nicht existenzfähig sein kann.

Der Reactionsverlauf ist also ein durchaus normaler.

Die obenstehende Constitutionsformel ist durch folgendes Verhalten bewiesen (am myrinsauren Kalium durchgeführt):

- 1) Das Sinigrin ist ein Kaliumsalz, da durch Weinsäure Kaliumbitartrat und freie Myrinsäure gebildet wird.
 - 2) Die Stellung des Zuckerrestes wird bewiesen durch das Verhalten gegen Silbernitrat:
 - a. gegen überschüssiges Silbernitrat,
 - b. gegen ungenügende Mengen von Silbernitrat;
- a) $C_{10} H_{16} NKS_2 O_6 + 2 AgNO_3 + H_2 O = C_4 H_6 NAg_2 S_2 O_4 + C_6 H_{11} O_6 + KNO_3 + HNO_3$
- b) verläuft in 2 Phasen

α) nach Gleichung a.



3) Die Myronsäure wird als Aetherschwefelsäure durch das Verhalten gegen Chlorbaryum und Baryumhydroxyd charakterisiert

a) Chlorbaryum ist ohne Einwirkung.

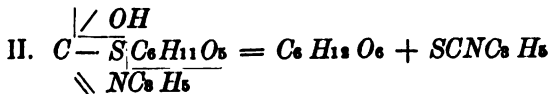
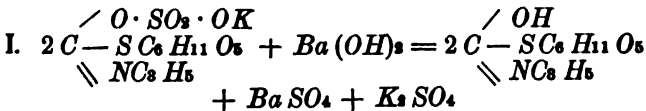
b) Baryumhydroxyd spaltet allmählich $BaSO_4$ ab (quantitativ).

4) Die Structur des Restes $C_4 H_5 N$ wird durch die Bildung von Senföl bei der Einwirkung von Myrosin etc. als $C_4 H_5 \cdot NC$ characterisiert.

5) Die angenommene Constitution wird ferner bewiesen

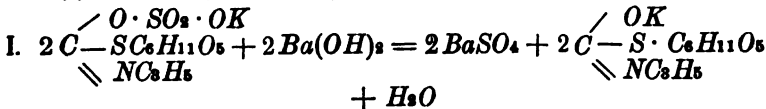
a) durch das Verhalten gegen Baryumhydroxyd, welches je nach den Mengenverhältnissen ein verschiedenes ist.

α) Das Sinigrin befindet sich im Ueberschuss:

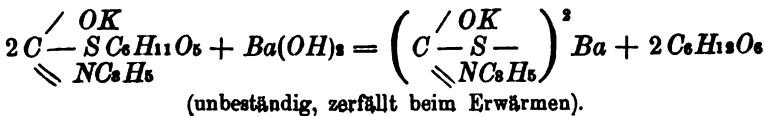


(als saurer Ester einer Allyliminoxythiokohlensäure nicht existenzfähig)

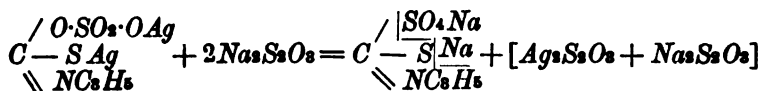
β) Das Baryumhydroxyd befindet sich im Ueberschuss:



II. verläuft nur teilweise.

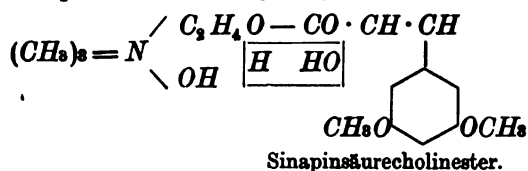


b) Durch das Verhalten der Verbindung $C_6H_5NCSAg_2SO_4$ gegen Natriumthiosulfat:



Die Bildung von Senföl verläuft quantitativ.

Das ganz analoge Verhalten des Sinalbins beweist, dass in diesem eine gleiche Constitution zu erwarten ist. Die Gegenwart einer organischen Base, des Sinapins machte allerdings einige Abänderungen in der Bearbeitung notwendig, auf die hier nicht eingegangen werden kann. Die Constitution des Sinapins konnte völlig aufgeklärt werden:



II.

Die Kressenöle.

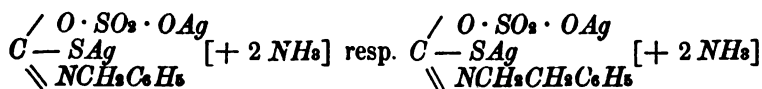
Die Kressenöle sind von A. W. Hofmann studiert worden, erwiesen sich aber zu seinem Erstaunen als Nitrile, nicht als Senföle, obwohl ihr Geruch an das synthetische Benzylsenföl aufs lebhafteste erinnerte. A. W. Hofmann fand in *Tropaeolum majus* und *Lepidium sativum* Phenylacetoneitril, in *Nasturtium officinale* Phenylpropionitril: $C_6H_5CH_2CN$ u. $C_6H_5CH_2CH_2CN$.

Bei den nahen Beziehungen der Nitrile zu den Senfölen — das Allylsenföl der Natur enthält stets geringe Mengen Crotonnitril und geht bei längerer Berührung mit Wasser allmählich unter Schwefelabscheidung in letzteres über — war zu vermuten, dass die von Hofmann gefundenen Nitrile sekundäre Produkte der primär gebildeten Senföle gewesen seien.

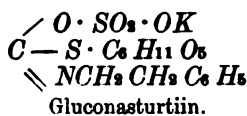
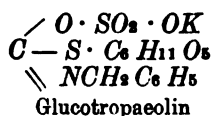
Meine Untersuchungen haben diese Annahme vollauf bestätigt. Das Resultat derselben kann ich in folgenden Sätzen zusammenfassen:

- 1) Die ätherischen Oele der Kressenarten sind echte Senföle, und zwar Benzylsenföl in *Tropaeolum majus* und *Lepidium sativum*, Phenyläthylsenföl in *Nasturtium officinale* und *Barbarea praecox*.
- 2) Dieselben verdanken ihre Entstehung der Gegenwart von Glycosiden, die dem Sinigrin und Sinalbin vollständig analog zusammengesetzt sind, und werden aus denselben durch Myrosin abgespalten.
- 3) Glycosid und Ferment befinden sich in verschiedenen Organen der Pflanzenzelle.
- 4) Die Bildung der correspondierenden Nitrile erfolgt, wenn vor der Destillation die Glycoside nicht mit dem Myrosin in Berührung kommen, also bei der Destillation der ganzen oder ungenügend zerkleinerten Pflanzenteile (im ersteren Falle befand sich offenbar A. W. Hofmann).
- 5) Die Glycoside konnten bisher im reinen Zustand nicht isoliert werden; sie sind bei Gegenwart von andern Extractivstoffen offenbar von geringer Krystallisationsfähigkeit. (Aus Extracten, die 30—40 % Glycosid enthalten, ist bisher nichts auskrystallisiert). Ihre Zusammensetzung und Constitution ist jedoch durch das Verhalten gegen Silbernitrat festgelegt. Wie das Sinigrin geben sie mit Silbernitrat ein schwerlösliches Salz, welches durch Ueberführung in die gut krystallisierende Ammoniakdoppelverbindung gereinigt resp. charakterisiert werden kann.

Die gewonnenen Salze haben die Zusammensetzung:



Da auch Kaliumsulfat und Zucker als Spaltungsprodukte nachgewiesen werden konnten, haben wir die Formeln



(wasserfrei gedacht).

Der vierte Satz ist mir von Herrn H. Ter Meulen und Herrn Professor Beyerinck in Delft angefochten worden. H. Ter Meulen führt die Bildung der Nitrile (A. W. Hofmann) einzig und allein auf die Einwirkung des siedenden Wassers auf die primär gebildeten Senföle zurück. Seine Beweisführung ist folgende (die Gegenwart und Menge des vorhandenen Senföls wird durch die wachstumshemmende Wirkung auf *Mycoderma aceti* ermittelt — eine an sich interessante Thatsache. —):

Bei der Destillation kleiner Mengen der sorgfältig zerkleinerten Kressearten hätte ich allerdings fast nur Senföle erhalten (es handelte sich um 4 Kilo); wohingegen bei der Destillation von 25 Kilo nur oberflächlich zerkleinerter Kresse ein Gemisch von etwa gleichen Teilen Benzylsenföl und Phenylacetonitril gewonnen worden seien. A. W. Hofmann aber habe wohl zweifellos mit noch grösseren Mengen gearbeitet, da er im ganzen 300 Kilo verarbeitete. Das bei den grösseren Mengen notwendige längere Erhitzen habe die völlige Ueberführung des Senföls in das Nitril bewirkt. Er selbst endlich habe synthetisches Benzylsenföl mit Wasser 4 Stunden lang im geschlossenen Gefäss (also unter Druck! G.) auf 100° erhitzt und dabei seien $\frac{9}{10}$ des Senföls zerstört worden.

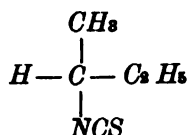
Herr Ter Meulen hat jedoch übersehen, dass ich auch bei der Destillation grösserer Mengen — 13,8 Kilo — aus Zinngefässen auch nur fast reines Benzylsenföl, ebenso hochprozentig wie bei der Verarbeitung kleiner Mengen, erhalten habe, wenn die Pflanze sorgfältig zerkleinert war. Ferner erwähnt er nicht was aus den bei seinem Experiment verschwundenen $\frac{9}{10}$ Benzylsenföl geworden ist. Bei der Prüfung würde er jedenfalls gefunden haben, dass sich Cyanid nicht oder nur in Spuren gebildet hatte, in der Hauptsache aber Dibenzylthioharnstoff oder Benzylamin entstanden war.

III.

Löffelkrautöl.

Auch das Löffelkraut — *Cochlearia officinalis* — liefert frisch im zerkleinerten Zustande für sich, im getrockneten Zustande erst nach Zugabe von Myrosin ein Senföl, das sec. Butylsenföl, welches ebenfalls — wie schon aus dieser That-
sache ersichtlich — auf ein Glycosid zurückzuführen ist. Die Darstellung des letzteren oder auch nur der Silberverbindung ist bisher noch nicht gelungen; die Gewinnung der letzteren scheiterte daran, dass stets Reduction der Silberlösung eintrat. Die Existenz eines analogen Glycosids ist jedoch nicht zu bezweifeln.

Das von A. W. Hofmann zuerst dargestellte und als sec. Butylsenföl charakterisierte Löffelkrautöl ist aber auch an sich von Interesse. Die Formel



zeigt eine sehr einfache Verbindung mit asymmetrischem Kohlenstoffatom; das sec. Butylsenföl muss also optisch aktiv sein und ist es in der That. Das spez. Drehungsvermögen desselben ist etwas variabel, je nach dem Grade der Beimengungen. Das Drehungsvermögen der leicht rein darstellbaren Derivate hingegen ist ein constantes und unabhängig von der Herkunft des Oeles. Dadurch wird das Löffelkrautöl zu einem unschätzbaren Ausgangsmaterial für das Studium der bei der optischen Aktivität auftretenden Gesetzmässigkeiten.

Aus der nachstehenden Tabelle gehen bisher anscheinend folgende Sätze hervor:

- 1) Die optische Aktivität ist in ihrer Grösse abhängig von der relativen Grösse der einzelnen die Asymmetrie bedingenden Gruppen. (Guye) (Crum Brown).

- 2) Sind mehrere optisch aktive Systeme vorhanden, so wirken dieselben nicht nur additiv, sondern stärker.
- 3) Doppelbindungen in den einzelnen Gruppen scheinen von wesentlichem Einfluss zu sein.

	$[\alpha]_D^{20}$	$[M]_D^{20}$
sec. Butylsenföl naturell	+ 55,27	+ 63,56
" künstlich	+ 61,36	+ 70,56
" in 5,416 % Lsg. (Alk. 94 %)	+ 66,22	+ 76,15
d. Butylthioharnstoff		
a) in Wasser	+ 33,97	+ 44,15
b) in Alkohol v. 94 %	+ 22,77	+ 30,27
d. d. Dibutylthioharnstoff	+ 41,00	+ 77,08
d. r. "	+ 18,53	+ 34,84
d. d. Dibutylharnstoff	+ 39,71	+ 68,30
Butylamin	+ 6,42	+ 4,67
Butylamin in ca. 5,2 % Lsg.	+ 4,06	+ 2,96
Butylaminchlorhydrat in 7,233 % Lsg.	— 2,06	— 2,26

Die grosse Reactionsfähigkeit des Butylamins giebt reichliche Gelegenheit zur Herstellung von Derivaten der verschiedensten Art, so dass an demselben die schwebenden Fragen mit besonderer Leichtigkeit und Beweiskraft studiert werden können. Weitere Arbeiten sind bereits im Gange.

In derselben Sitzung vom 7. November 1900 sprach Herr Dr. Karl Schaum über:

Die Structur der Negative.

Im Interesse der Aufklärung wichtiger Fragen über den Negativ-Prozess schien es mir wünschenswert, an der Hand mikroskopischer Untersuchungen die Entstehungs- und Entwicklungsgeschichte des Negativs zu verfolgen, und hat Herr cand. phil. V. Bellach auf meine Anregung hin Versuche in

dieser Richtung übernommen, deren Ergebnisse zum Teil in direktem Widerspruch, zum Teil in guter Uebereinstimmung mit der Auffassung anderer Forscher stehen.¹⁾ Durch das lebenswürdige Entgegenkommen des Herrn Professor Dr. Kossel bin ich in der Lage, meine Mitteilungen durch die Projektion einiger Photogramme, welche Herr Bellach mit seinem Zeiss'schen mikrophotographischen Apparat aufgenommen hat, zu erläutern.

Der Reifungsprozess. Drei Möglichkeiten der Veränderung des Bromsilbers in der Gelatine-Emulsion sind zur Erklärung des die Lichtempfindlichkeit ausserordentlich steigernden Reifungsprozesses herangezogen worden. Einmal kann eine Kornvergrößerung des zunächst fein verteilten amorphen Bromsilbers eintreten, welche eine erhöhte Lichtabsorption und damit eine gesteigerte Lichtempfindlichkeit bedingt. Zweitens kann eine — wenn auch geringe — Reduktion des Bromsilbers durch die Gelatine erfolgen, dessen Endprodukt (Subbromid oder Silber) die später durch die Belichtung eintretende Reduktionswirkung verstärken wird. Drittens könnte eine Modifikationsänderung, besonders etwa ein Krystallinischwerden des Niederschlags in Betracht gezogen werden; doch würde ein solcher Vorgang mit einer Abnahme der freien Energie des Bromsilbers, also auch der Reaktionsfähigkeit verknüpft sein, und kann derselbe daher nicht zur Erklärung der Reifung herangezogen werden. Dagegen hat die Annahme einer Reduktion sehr viel Wahrscheinlichkeit, weil auch andere Silbersalze, z. B. Silbernitrat, durch Gelatine zu kolloidalem Silber reduziert werden. Ferner beweist das Schleiern überreifer Platten, dass ein Reduktionsvorgang stattfindet. Wärme und Zusatz von Ammoniak erhöhen die Reifungsgeschwindigkeit; beides würde sowohl die Reduktion des Ag Br wie auch die Kornvergrößerung begünstigen.

Dass eine Vergrößerung der Bromsilberkörner stattfindet ist bekannt, und hat sich auch bei unseren Versuchen deutlich gezeigt. Der Vorgang ist ja nichts anderes, als der bekannte

1) Vgl. die neuere Arbeiten von Eder, Abegg, Precht und Englich.

Prozess, dass feinpulverige Niederschläge mit der Zeit grobkörnig werden, weil — wie sich theoretisch ableiten lässt, und wie kürzlich von Ostwald am Quecksilberoxyd, welches je nach dem Grad seiner Verteilung gelb oder rot erscheint, experimentell nachgewiesen ist — kleinere Partikel eine grössere Löslichkeit besitzen, als grössere, und infolge dessen auf Kosten der ersteren wachsen.

Bei dem genauen Studium der Emulsionen machten wir die eigentümliche Beobachtung, dass neben den runden amorphen Bromsilberkörnern auch polygone, meist dreieckige Partikel mit Fächerartiger Teilung vorkommen, welche nach unseren bisherigen Versuchen Tetraeder von Bromsilber darstellen. Andere grosse Krystalle, die beobachtet wurden, sind wasserlösliche Salze und können durch Auswaschen entfernt werden, während jene Tetraeder dabei nicht verschwinden. Augenscheinlich haben wir es demnach mit einem teilweisen Krystallinschwerden des Bromsilbers beim Reifungsprozess — also einem die Empfindlichkeitssteigerung direkt beeinträchtigenden Vorgang zu thun. Schleussner-Emulsionen, Emulsionen nach Székely, kalt gereifte Obernetter-Emulsionen etc. zeigen alle die polygonen Formen.

Die Kornvergrösserung, welche wir beobachtet haben, kann aber nach unserem Dafürhalten die Empfindlichkeitsvermehrung allein nicht erklären. Wenn auch durch jene eine mit Empfindlichkeitssteigerung verknüpfte Erhöhung der Lichtabsorption bedingt wird, wirkt die mit einer Abnahme der freien Energie verbundene Kornvergrösserung im entgegengesetzten Sinn. Wir sind zwecks Aufklärung dieser Verhältnisse mit Versuchen über Reifungszerstörung, sowie über die Zunahme der Lichtabsorption beim Reifungsvorgang beschäftigt.

Der Belichtungsvorgang. Die Bromsilberkörner liegen in der Gelatineschicht des Negativs ziemlich unregelmässig verteilt, und scheint es uns, dass die oberste Schicht — wohl in Folge einer Sedimentation — etwas ärmer an Ag Br-Körnern ist, als die tieferen Schichten. Trifft Licht auf eine Stelle des Negativs, so dringt es je nach seiner Intensität

und seiner Einwirkungsdauer bis zu mehr oder weniger tief gelegenen Bromsilberkörnern ein und verändert dieselben je nach seiner chemischen Wirksamkeit mehr oder weniger stark.

Der Entwicklungsvorgang. Der vom Licht veränderte Teil der einzelnen Bromsilberkörner — wir nehmen an, es werde Subhaloide ¹⁾ gebildet — wird durch den Entwickler zu metallischem Silber reduziert; doch würde dieser Vorgang allein noch kein sichtbares Negativ zu Stande bringen, weil die selbst durch starke Belichtung veränderte Bromsilbermenge äusserst gering ist; anderenfalls müsste eine primär fixierte Platte ein deutliches Bild zeigen. Die Durchentwicklung des Negativs geschieht vielmehr in der Weise, dass das spurenweise in Lösung gehende unveränderte Bromsilber zu Silber reduziert wird und sich aus der übersättigten Silberlösung da abscheidet, wo bereits infolge der Wirkung des Entwicklers auf das Subhaloid entstandene (sowie durch den Reifungsprozess gebildete) Silberkeime vorhanden sind. Durch diesen Vorgang werden die ursprünglich minimalen Silberpartikel grösser und die Schwärzung der Platte wird immer intensiver. Diese Silberkeimwirkung ist häufig falsch aufgefasst worden, indem man sie so interpretierte, dass die Reduktion von einem belichteten Bromsilberkorn auf die benachbarten unbelichteten übergreifen solle. Dann müsste man aber jede unterexponierte Platte allmählich durchentwickeln

1) Die Formeln $\text{Ag}\cdot\text{Br}$ etc. sind höchst bedenklich; vielleicht könnte man das Bromsilber etc. entsprechend dem ihm nahestehenden Kupferchlorür, welchem (nach Bose, Bodländer) die Formel CuCl zukommt, in der Form

$\text{Ag}\cdot\text{Br}$ schreiben. Durch Halogenabspaltung aus zwei Molekeln entstünde

$\text{Ag}\cdot\text{Br}$ alsdann ein Subhaloid $\text{Ag} - \text{Ag}$. Wenn diese Betrachtung auch ins

Gebiet der »Papierchemie« gehört, scheint sie doch eher zu verteidigen, als die auf der diesjährigen Naturforscher-Versammlung in Aachen aufgestellten Formeln.

können, was bekanntlich unmöglich ist. Da die Körner meist weit auseinander liegen, wird ein solches Uebergreifen nur selten stattfinden, eben nur dann, wenn unbelichtete Körner sich in inniger Berührung mit unbelichteten befinden. Solche Berührungen können aber bisweilen infolge Sedimentation grobkörniger Emulsionen in ausgedehnterem Maasse vorkommen, und glaube ich, dass derartige Verhältnisse den bekannten Abney-Effekt (Bildübertragung von einer belichteten Schicht auf eine unbelichtete beim Entwickeln) hervorgebracht haben, während Precht unter anderen Bedingungen arbeitend denselben nicht erhalten hat.

Um die Struktur des entwickelten Negativs möglichst eingehend zu studiren, haben wir Schleussner-Platten mit einer Normalkerze stufenweise belichtet, durch 110 Sek. lange Behandlung mit dem Precht-Schellenschen Entwickler hervorgerufen und nach dem Fixiren und Trocknen von den einzelnen Schwärzungsparthien Präparate hergestellt, welche mikroskopisch untersucht resp. photographiert wurden. Es ergaben sich dabei folgende Resultate.

Bei der mikroskopischen Untersuchung zeigt sich die oberste Schicht des Präparates ziemlich arm an Silberkörnern (vgl. oben die Bemerkung über Sedimentation); es erscheinen im Bild zuerst nur vereinzelte Körner scharf; beim Senken des Tubus zeigt sich alsdann eine kornreiche Schicht, und je nach dem Schwärzungsgrad beobachtet man nach der Tiefe hin noch eine grössere oder kleinere Anzahl von Silberkornschichten. Ferner aber lässt sich deutlich erkennen, dass die Korngrösse ebenfalls von der Belichtungsdauer abhängt; an stark belichteten Stellen sind die Körner bereits so gross, dass sie untereinander verwachsen. Wir schliessen daraus: Der Schwärzungsgrad ist bedingt durch die Grösse der Körner, sowie durch die Anzahl der Körner in der Volumeinheit der Emulsionsschicht. In der Flächeneinheit — wenigstens in der obersten kornreichsten Schicht (die tieferen sollen noch untersucht werden) — ist die Kornzahl konstant und entspricht der Zahl der ursprünglich

vorhandenen Ag Br-Körner. Um diese Behauptungen zu belegen, führe ich unsere Zählungen an, welche in folgender Weise an- gestellt worden sind: Die Mikrophotographien wurden auf Protalbinpapier kopiert, und danach unter einem quadratischen Raster von bekannter Flächeneinheit belichtet; sodann wurden die in zehn Quadraten sichtbaren Silberkörner in der Weise ge- zählt, dass jedes einzelne mit einer Präpariernadel durchstochen wurde; auf diese Weise liess sich die recht mühsame Arbeit mit ziemlicher Genauigkeit ausführen. Einige der Durchschnits- zahlen aus den einzelnen Zählungen sind in folgender Tabelle zusammengestellt:

Belichtungsdauer in Sek.	Belicht. aus 6 m. Entfernn. Kornzahl pro 1 cm ² im Bild.	Belicht. aus 4 m. Entfernn. Kornzahl pro 1 cm ² im Bild.
0,5	156	125
1,0	150	147
2,0	151	132
3,0	148	147
4,0	139	142
5,0	161	140
6,0	146	147
7,0	136	454
8,0	142	150
10,0	153	162

Der Durchschnitt aus allen Beobachtungen ergibt 146 Körner pro 1 cm² im Bild, also, da die Vergrösserung 141fach war, etwa 20600 Körner pro 1 cm² der Emulsionsschicht.

Unsere Versuche erstreckten sich bisher auf Schichten, welche gleich lange entwickelt worden waren; der Einfluss der Entwicklungsdauer wird offenbar der sein, dass je nach der Einwirkungszeit die Entwicklerflüssigkeit mehr oder weniger tief eindringt, also mehr oder weniger zahlreiche hintereinander- gelagerte Kornschichten erzeugt, ferner aber auch mehr oder weniger grosse Körner bildet.

Fassen wir kurz alle Momente zusammen, welche die Schwärzung bedingen, so finden wir folgendes Resultat.

Der Schwärzungsgrad ist anhängig

1. von der Zahl und Grösse der durch die Reifung vor- gebildeten Silberkeime;
2. von dem photochemischen Effekt der Belichtung (dem Produkt aus Belichtungsdauer, Intensität und chemischer Wirksamkeit der betreffenden Lichtart); je stärker der- selbe, desto mehr und desto grössere Silberkörner sind in der Volumeinheit des Negativs enthalten;
3. von der Einwirkungsdauer eines bestimmten Entwicklers; je länger derselbe einwirkt, desto tiefer dringt er und desto mehr AgBr reduziert er; von der Entwicklungs- dauer hängt also ebenfalls die Zahl und Grösse der in der Volumeinheit des Negativs enthaltenen Silben- körner ab.

Neu aufgelegte Schriften:

- Bericht über die Thätigkeit der St. Gallischen naturwissen-
schaftlichen Gesellschaft 1897/98. St. Gallen 1899.
Acta Societatis pro fauna et flora fennica. Vol. XV u. Vol. XVII.
Helsingfors 1898/99.
Proceedings of the American Academy of Arts and Sciences
Vol. XXXV, Nr. 4—9.
Annual Report of the natural history Survey of Minesota 1895
bis 1898. Miuneapolis 1899.
Geological Survey of Canada. Vol. X. 1897 Maps. Vol. X.
Ottava 1899.
IIth. Report of the Missouri botanical Garden. St. Louis 1900.
Verhandlungen des deutschen wissenschaftlichen Vereins zu
Santiago de Chile. Bd. IV, Heft 1. Valparaiso 1899.
Boletin del Instituto Geologico de Mexico. Nr. 12 e 13.
Mexico 1899.
Observations of the Royal Magnetical and Meteorological
Observatory at Batavia nebst Supplement (van Bemmelen).
Vol. XXI. Batavia 1899.
Regenwaarnemingen in Nederlandseh-Indie. Jahrgang 20.
Batavia 1899.

Ausgegeben am 1. Dezember 1900.

Sitzungsberichte

der Gesellschaft zur Beförderung der gesammten Naturwissenschaften zu M a r b u r g.

Vo. 9

November

1900

In der wissenschaftlichen Sitzung vom 28. November 1900 spricht Herr E. Romberg über eine von Herrn Dr. Heineke (früher Leipzig, jetzt Hamburg) mit seiner Unterstützung und mit freundlicher Genehmigung des Herrn Geheimrath Curschmann im Laboratorium der Leipziger Klinik ausgeführte experimentelle Untersuchung über:

Die Todesursache bei Perforativperitonitis

an der Hand eines von Herrn Heineke eingesandten Berichtes.

Romberg und Pässler ist es gelungen, durch experimentelle Untersuchungen an Thieren die Ursachen des Collapses bei Infectionskrankheiten festzustellen. Sie haben gefunden, dass die Circulationsstörung, die bei den genannten Krankheiten eine besonders wichtige Ursache des Todes ist, bedingt wird durch eine centrale Lähmung der Vasomotoren und dass das Herz beim Zustandekommen dieser Kreislaufstörung im allgemeinen unbetheiligt ist. Romberg und Pässler haben unter anderm auch mit *Pyocyaneus* experimentirt und zwar haben sie diesen Pilz ihren Thieren — Kaninchen — theils intravenös, theils intraperitoneal beigebracht. Dabei fand sich die Thatsache, dass der Modus der Infection für den Verlauf der Erkrankung vollkommen gleichgültig war, dass also die acute Peritonitis, die der *Pyocyaneus* bei Kaninchen erzeugt, genau dieselbe Circulationsstörung durch centrale Vasomotorenlähmung hervorruft, wie die

durch intravenöse Injection erzeugte Septicaemie. Diese Beobachtung war die Veranlassung, mit der gleichen Methode die Perforationsperitonitis bei Kaninchen zu untersuchen.

Die grosse Mehrzahl der Autoren sieht bekanntlich in dem peritonitischem Collaps — dem Vorgange Wegner's folgend — den Ausdruck einer bakteriellen Infection oder Intoxication, bedingt durch Resorption der Giftstoffe vom Peritoneum aus und ausserordentlich beschleunigt durch die grosse Resorptionskraft des Bauchfells. Als Hauptstütze dieser Ansicht dient der vielfach erhobene Befund des Übertrittes der Mikroorganismen vom Peritoneum in den Kreislauf.

Unklarheit herrscht indessen erstens über den Angriffspunkt der circulierenden Noxen; zweitens gehen die Ansichten sehr auseinander darüber, ob und in welchem Maasse neben der Infection noch nervösen Reflexwirkungen ein Anteil zukommt; denn dass Reflexe vom Peritoneum her ausgelöst werden können, beweist der Goltz'sche Klopfversuch und machen klinische Beobachtungen, namentlich bei inneren Einklemmungen, zum mindesten sehr wahrscheinlich.

Dies sind mit kurzen Worten die Fragen, zu deren Klärung unsere Blutdruckversuche beitragen sollten.

Experimentiert wurde an Kaninchen, bei denen Perforationsperitonitis durch Zerreißen einer Dünndarmschlinge hervorgerufen wurde.

Der Verlauf war nach diesem Eingriff ein rapider, in 6—12 Stunden meist unter Temperaturabfall zum Tode führender; die Section ergab septische Peritonitis. Ausdrücklich sei bemerkt, dass innere Blutung durch sorgfältige Unterbindung der Mesenterialgefässe verhindert wurde.

Die Versuche wurden am curarisierten Tier bei künstlicher Atmung angestellt; ihre Zahl beträgt 47. Der Blutdruck wurde endständig in der linken Carotis gemessen.

Bezüglich der Methode sei ganz auf Romberg und Pässler und unsere demnächst erscheinende ausführliche Publication verwiesen. Hier sei nur folgendes bemerkt:

Die einzelnen Componenten des Kreislaufs — Herz, Vasomotoren-Centren, Gefässnerven u. -Muskeln — werden getrennt untersucht. Als Reaction auf die Function der Vasomotoren-Centren dient 1. faradische Reizung der Nasenschleimhaut, 2. Abschneiden der Athmung während 30", beides Eingriffe, durch welche die genannten Centren reflectorisch oder direct erregt werden (und zwar durch sensible Reizung nur das Centrum der Medulla oblongata, durch asphyctische Reizung auch die Centren des Rückenmarks). Zur Untersuchung der peripheren Gefässe dient intravenöse Injektion von Chlorbarium, das die Gefässmusculatur direct zur Contraction bringt. Bei normaler Function der Vasomotoren folgt auf alle genannten Eingriffe Drucksteigerung, doch ist ein leistungsfähiges Herz dazu Voraussetzung. Als Probe allein auf die Herzkraft dient endlich die Bauchmassage, durch welche einerseits mehr Blut in das Herz getrieben, andererseits der Abfluss erschwert wird. Das Herz reagiert darauf mit Drucksteigerung.

Es wurden alle Stadien der Erkrankung untersucht und zwar von der Ausführung des Darmrisses bis zum Tode.

Die Resultate waren folgende: Die Eröffnung der Bauchhöhle, die Manipulationen beim Vorziehen des Dünndarms und das Zerreißen desselben, riefen fast ausnahmslos kein Sinken des Blutdrucks hervor, meist sogar vorübergehendes Ansteigen.

Die ersten Stunden der Erkrankung liessen ebenfalls keine Störung der Circulation erkennen. Eine solche wurde erst zu einer Zeit bemerkbar, in der die Tiere bereits schwer krank waren und die Temperatur zu sinken begann. Die erste Anomalie des Kreislaufs war indessen nicht das Sinken des Mitteldrucks, sondern das Schwinden der Drucksteigerung auf sensible Reizung, dem kurze Zeit später der Ausfall der asphyctischen Reizung folgte. Bald darauf begann das Sinken des Mitteldrucks, das meist sprunghaft bis zum Tode fort dauerte, nur in der Regel längeres Verharren auf den ganz niedrigen Werten erkennen liess.

Schon längere Zeit, bis zu $1\frac{1}{2}$ Stunden vor dem Tode, waren sensible und asphyctische Reizung vollkommen wirkungslos

Der Ausschlag auf Bauchmassage zeigte ganz allmähliche Abnahme im Verlaufe der Erkrankung; das Nachlassen dieser Reaction begann aber immer später als der Ausfall der sensiblen und asphyctischen Reizung und der Ausschlag blieb bis zum Ende auf einer gewissen Höhe, (15—30 mm Hg.) Chlorbariuminjection rief in jedem Stadium gewaltige Drucksteigerung hervor. — Daraus war zu folgern: 1. die Kreislaufstörung ist bedingt durch eine Lähmung der Vasomotoren; 2. die Lähmung ist eine centrale; 3. in erster Linie leidet das Centrum der Medulla oblongata, in zweiter Linie leiden auch die Centren des Rückenmarks; 4. Gefässnerven und Muskeln bleiben intact; 5. auch die Herzkraft zeigt eine Abnahme im Verlauf der Kreislaufstörung.

Um in das Verhalten des Herzens noch genaueren Einblick zu erhalten, wurde noch eine zweite von Romberg und Hasenfeld ausgearbeitete Prüfungsmethode angewandt: die Abschnürung der Aorta über dem Zwerchfell. Auch hierdurch wird bei normalem Herzen starke Drucksteigerung hervorgerufen, die lange Zeit, bis 1 Stunde und mehr, unterhalten werden kann und einen brauchbaren Vergleich der Herzleistungen verschiedener Thiere ermöglicht.

Wir sahen nach der Aortenschnürung auch noch im letzten Stadium, bei tief gesunkenem Mitteldruck, hohes Ansteigen des Druckes; sowohl die Höhe dieser Drucksteigerung, wie ihre Dauer blieb hinter normalen Werten kaum zurück. Indessen erfolgte das Ansteigen viel langsamer als in der Norm.

Wir kamen damit zu folgender Auffassung über das Herz unserer Tiere: 1. Das Nachlassen der Herzkraft, wie es in der Abnahme der Drucksteigerung nach Bauchmassage sich zeigt, ist in der Hauptsache nicht bedingt durch eine primäre Schädigung des Herzens. 2. Sie ist im Wesentlichen die Folge der mangelhaften Durchblutung des Herzmuskels, wie sie durch die Vasomotorenlähmung hervorgerufen wird. 3. Das Herz wird bei besserer Durchblutung wieder annähernd normal leistungsfähig.

Wir untersuchten demnächst das Verhalten der Athmung. Die Versuchsanordnung war die gleiche, nur erhielten die Tiere kein Curarin und athmeten spontan. Ohne auf den Verlauf der Athmung näher einzugehen, sei nur gesagt, dass im Mittel 30 Minuten vor dem Ende eine Respirationsstörung erkennbar wurde, zu einer Zeit also, wo meist schon vollständige Vasomotorenlähmung bestand. Das endgültige Aussetzen der Athmung erfolgte stets vor dem Stillstand des Herzens; es gelang, die Herzthätigkeit durch künstliche Athmung noch einige Zeit, in einem Falle sogar 17 Minuten lang zu erhalten.

Wir konnten damit feststellen, dass der Tod bei der Perforationsperitonitis durch Lähmung der Centren der Medulla oblongata herbeigeführt wird und in erster Linie durch Athmungslähmung erfolgt.

Ist diese centrale Lähmung nun eine reflectorische oder durch Intoxication hervorgerufene? Wir halten auf der einen Seite einen Reflex für höchst unwahrscheinlich, weil es kaum denkbar ist, dass ein Reflex während langer Stunden dauernd in Thätigkeit bleibt.

Auf der anderen Seite hat die Annahme der Intoxication viel mehr für sich; es spricht dafür vor allem die vollkommene Analogie mit dem Verlaufe der Kreislaufstörung bei Infectiouskrankheiten, wie sie Romberg und Pässler gefunden haben. Daneben muss auch der Befund von im Blute circulierenden Bakterien als in dieser Hinsicht fast beweisend angesehen werden. Wir glauben uns aus diesen Gründen der letzteren Ansicht anschliessen zu sollen.

Es sei aber ferne von uns, die Resultate der Tierversuche kritiklos auf den Menschen übertragen und leugnen zu wollen, dass beim Menschen, durch die Perforation eines Eingeweidcs ein Reflex ausgelöst werden kann, z. B. ein solcher, der analog dem Goltz'schen Versuche verläuft. Wir halten dies im Gegentheil im Hinblick auf die Erscheinungen bei innerer Einklemmung und auf manche Fälle von Perforationsperitonitis, die sofortigen Collaps erkennen lassen, für durchaus möglich. Diese

reflectorische Kreislaufstörung dürfte indessen schon nach kurzer Zeit vorübergehen um nunmehr früher oder später der durch Intoxication der Centren bedingten Platz zu machen. Beim Kaninchen war, wie gesagt, in keinem Stadium der Peritonitis eine Reflexwirkung nachweisbar.

In derselben Sitzung (28. November 1900) sprach Herr R. Schenck über:

Die Dynamik der Krystalle.

Die Entstehung der Aetzfiguren an Krystallflächen wird auf eine Verschiedenheit der Löslichkeit in den verschiedenen Krystallrichtungen zurückgeführt. Sie kann nur ihren Grund in einer Verschiedenheit der Lösungsdrucke, welche völlige Analoga der Dampfdrucke sind. Auch für diese war Abhängigkeit von der Richtung vorauszusehen.

Die Entstehung der Aetzfiguren bekommt man auch bei Lösungsmitteln, welche chemisch auf die Krystallsubstanz einwirken, es ist also offenbar auch die freie chemische Energie bei krystallisierten Stoffen eine Function der Richtung.

Es ergeben sich hieraus wichtige Schlüsse. Am Verdampfungsvorgang leitete der Vortragende die Consequenzen ab. Herrschen über zwei krystallographisch verschiedenen Flächen verschiedene Dampfdrucke, so ist eine isotherme Destillation von einer zur anderen Fläche möglich, es wird dabei eine bestimmte Arbeitsmenge gewonnen.

$$A = R \cdot T \cdot \ln \frac{P_A}{P_B}$$

wenn R die Gasconstante, T die absolute Temperatur, P_A den Dampfdruck über der einen und P_B den Dampfdruck über der anderen Fläche bezeichnet.

Diese Arbeit muss identisch sein mit der Richtungsarbeit.¹⁾

1) Cf. Centralblatt für Mineralogie, 1900, pag. 313.

Die Dampfdrucke sind natürlich von der Temperatur abhängig und es ergibt sich demgemäss für jede Fläche eine besondere Dampfdruckcurve. Für jede dieser Curven ergibt sich ein besonderer Schnittpunkt mit der Dampfdruckcurve des Schmelzflusses, ein besonderer Schmelzpunkt. Auch der Schmelzpunkt ist also eine Function der Richtung, daraus folgt, dass das Schmelzen krystallisirter Körper stets in bestimmter Richtung erfolgt.

Auch über die Abhängigkeit der Verdampfungswärme von der Richtung kann man unter Zuhülfenahme der Thermodynamik bestimmte Aussagen machen. Es lässt sich die Differenz der Verdampfungswärme über zwei verschiedenen Flächen aus der Gleichung

$$q_A - q_B = R \cdot \frac{T_1 \cdot T_2}{T_1 - T_2} \cdot Ca \left(\frac{P_A}{P_B} \right) \cdot \left(\frac{P_B}{P_A} \right)_{T_2}$$

ermitteln. q_A ist die Verdampfungswärme aus der einen, q_B die aus der anderen Fläche.

Am Kalialaun hat der Vortragende constatiren können, dass die Dissociationsdampfspannungen über den krystallographisch verschiedenen Flächen stark von einander abweichen. Die Oktaëderfläche zeigt den niedrigsten, die Würfelfläche einen höheren, die Rhombendodecaëderfläche den höchsten Dampfdruckwert. Sie stehen im Verhältniss 1 : 1,25 : 1,6.

Das Verhältniss ändert sich nach den bisherigen Versuchen nur wenig mit der Temperatur. Indess bedürfen diese Verhältnisse noch weiterer Untersuchung.

Der Alaun krystallisirt aus alkalischen Flüssigkeiten häufig in Würfeln, die Ohterëderflächen treten stark zurück. Es ist möglich, dass diese Aenderung des Habitus ihren Grund hat in einer Verschiebung der Löslichkeitsverhältnisse der verschiedenen Flächen durch den zugesetzten Stoff. Weitere Untersuchungen werden darüber vielleicht Aufschluss geben.

Zum Schluss legte der Vortragende noch Alaunkrystalle vor, welche aus alkalischen Flüssigkeiten erhalten sind, vor, bei denen die Rhombendodecaëderflächen sehr gross ausgebildet sind, während die Würfelflächen zurücktreten.

Im Anschluss an den Vortrag des Herrn Schenck weist Herr Rathke darauf hin, dass die hier besprochenen Verhältnisse offenbar an der bekannten Erscheinung theilhaftig sind, dass flüchtige Körper aus dem fein krystallinischen Zustand allmählig von selbst in grosskrystallinischen übergehen, indem die kleinen Krystalle verdampfen und die grossen dafür wachsen. In sehr grossartiger Weise ist dieses einmal von ihm am Schnee beobachtet worden. In Davos verwandelte sich der die Äste der Tannen in dicker Schicht bedeckende Schnee in einem Seitenthale, wo er vor der Einwirkung der Sonnenstrahlen geschützt war, im Laufe mehrerer Wochen (während welcher kein neuer Schneefall standfand) in seiner ganzen Masse in ein Haufwerk sechseitiger Tafeln von ganz ungewöhnlicher Grösse, nämlich mit einem Durchmesser von 3 bis 4 Cm.

In der Sitzung vom 28. November 1900 wurde Herr Professor Dr. Ludwig Bach, Direktor der Universitätsaugenklinik dahier, durch vorschriftsmässige Kugelung zum ordentlichen einheimischen Mitglied der Gesellschaft erwählt.

Ausgegeben am 10. December 1900.

Sitzungsberichte

der Gesellschaft zur Beförderung der gesammten Naturwissenschaften

zu

M a r b u r g.

N^{ro.} 10

December

1900

In der wissenschaftlichen Sitzung vom 12. Dezember 1900
trägt Herr H. Ribbert vor:

Ueber das Absterben der Gewebe und das Schicksal tödter Theile.

Mit dem Tode des Menschen sind nicht sofort alle Theile des Körpers abgestorben. Einzelne überleben den allgemeinen Tod Tage lang. Grohé konnte Periost eines Kaninchen 200 Stunden nach dessen Tode mit Erfolg transplantiren. Abgeschnittene Theile bleiben zu 3 Wochen am Leben (Wentscher, Ljunggren, Enderlen). Die Erhaltung des Lebens wird durch das Gelingen der Transplantation erhärtet. Bei jeder derartigen Pfropfung aber, auch bei frischen Geweben, stirbt ein Theil des übertragenen Stückes ab, wenn es eine gewisse Grösse überschreitet. Aber nicht, weil es nicht ernährt wird, sondern weil es unvollkommen, einseitig, abnorm mit Nahrung versorgt wird. Ohne alle Nahrungszufuhr bleibt es am Leben, bei jener ungenügenden Ernährung geht es zu Grunde.

Dem todtten Theile gegenüber zeigt der Organismus ein dreifaches Verhalten: Er stösst ihn aus, oder er löst ihn allmählich auf, indem er ihn durchwächst, oder er lässt ihn liegen.

Die Ausstossung erfolgt dadurch, das ausgewanderte, zahlreich sich ansammelnde Leukocyten das Gewebe am Rande des Todten einschmelzen, Man sieht das sehr gut bei Höllensteinverschorfungen der Haut des Kaninchenohres. Nach etwa 9 Tagen stösst sich der auch den Knorpel umfassende Schorf ab.

Die Durchwachsung erfolgt nach anfänglicher, zur Einschmelzung unzureichender Leukocytenansammlung durch Hineindringen der in der Umgebung vermehrten Bindegewebszellen, die ebenfalls auflösend auf die todten Theile einwirken.

Das Liegenbleiben nekrotischer Theile ist gewöhnlich mit Bildung einer derben bindegewebigen abkapselnden Hülle verbunden.

Das verschiedene Verhalten erklärt sich aus der wechselnden chemotaktischen Wirkung des todten Theiles.

Ist diese Wirkung sehr gering oder fehlt sie ganz, so bleibt der todte Theil liegen. Anfänglich wirken allerdings todte Gewebe immer chemotaktisch, später oft nicht mehr. Wenn man von einem frischen Niereninfarkt ein Stückchen unter die Haut desselben Thieres bringt, so wird es dicht mit Leukocyten durchsetzt. Verfährt man ebenso mit einem Stückchen eines mehrere Tage alten Infarktes, so bleibt die Leukocytenwanderung aus. Der Infarkt war inzwischen ausgelaugt worden.

Je intensiver die chemotaktische Wirkung, um so schneller die Einschmelzung, die desshalb bei Gegenwart von Bacterien am stärksten ist. Geringere Grade bewirken lediglich eine Durchwachsung.

Doch giebt es auch hier Fälle die nicht zu dieser einfachen Regel stimmen. Während die Höllensteinschorfe der Haut ausgestossen werden, bleiben sie in der Cornea sitzen und werden hier im Verlaufe von Monaten durchwachsen und aufgelöst. Die eindringenden Zellen bilden dabei wieder neues Gewebe, welches mit dem alten Corneagewebe in wesentlichen Punkten übereinstimmt. Einzelne Theile des getödteten Bezirkes bleiben aber dauernd liegen.

In derselben Sitzung (12. Dec. 1900) sprach Herr Schwanke:
Über einen basaltischen Auswürfling mit gediegenem Eisen aus dem Tuff des Hohen Berges bei Ober-Ofleiden an der Ohm.

In der Sitzung vom 18. Juli dieses Jahres hatte ich Gelegenheit von der genannten Lokalität eine interessante variolitische Ausbildung des Dolerits vorzulegen.

Es wurde schon erwähnt, dass unter den Strömen des Berges ziemlich mächtige Tuffschichten hervortreten, die in ihren Auswürflingen mannigfaltige Typen basaltischer Gesteine aufweisen. Es zeigt sich eine gewisse Gliederung, indem die obersten Schichten wesentlich Dolerit führen, die mittleren die verschiedenen Basalte (Feldspathbasalt, Nephelinbasalt, Limburgit) besonders reichlich neben einander zeigen, während in der untersten Zone hauptsächlich ein Basalt mit grossen Einsprenglingen von Augit und Hornblende auftritt. Dieselben Mineralien sind auch lose in Krystallen und Bruchstücken dem Tuff eingelagert.

Der Tuff besteht abgesehen von den genannten grösseren Basaltauswürflingen aus kleineren Lapilli von sehr verschiedener Struktur und Zusammensetzung. In der fast stets glasigen Grundmasse tritt der Augit gegen die Feldspathmikrolithen meist zurück oder fehlt auch ganz, indessen finden sich mitunter auch Lapilli, in denen der Augit in der glasigen Grundmasse den Feldspath verdrängen kann. Einzelne Lapilli schliessen auch Quarzkörnchen ein. Die letzteren sitzen in grosser Zahl zwischen den verschiedenen Auswürflingen, wie die einzelnen Augite und Hornblendes, im Tuff. Das Cement des Tuffes bildet eine in der Farbe und dem chemischen Verhalten dem verwitterten Glase der Lapilli gleichende braune palagonitische Substanz.

Durch den Regen werden die Augit- und Hornblendekry-
stalle sowie die Lapilli aus dem Tuff durch Auswaschung des Bindemittels herauspräpariert und lassen sich dann leicht zusammenlesen. Bei einer solchen Gelegenheit fand sich ein kleiner Auswürfling, der durch eine ringsum glatte, geschmolzen aussehende Oberfläche von den Lapilli verschieden war. Der Schliff zeigte im Innern eine glasige Grundmasse, namentlich die Wandungen der zahlreichen Blasenräume waren lebhaft glasglänzend. In einem solchen trat beim Fortschreiten des Schliffes ein graues

Metallkorn hervor, das die Magnetnadel lebhatt anzog, auf der feuchten Schlifffläche sich schnell mit einer rostroten Oxydschicht überzog, und dessen blanke Oberfläche aus einem Tropfen Kupfervitriollösung sofort eine Schicht von metallischem Kupfer niederschlug. Das Metall ist also gediegenes Eisen.

Unter dem Mikroskop zeigt sich eine durchaus frische Grundmasse von hell- und dunkelbraunem Glas mit deutlich fluidaler Struktur. Der Rand des Auswürflings wird von dunkelern Glase gebildet. Im Glase sitzen zahlreiche Blasen, in deren einer sich das Eisenkorn ausgeschieden hat. Das Gesamtgewicht des Metalls liess sich nach den Messungen am fortschreitenden Schliff (bei der Annahme eines spec. Gewichtes von 7,5) auf ungefähr 26 Milligramm berechnen. Als Einsprenglinge treten in der Grundmasse des Schliffs zahlreiche Quarzkörnchen auf, genau den Körnchen gleichend, die sich im Tuffe und in den Basaltlapilli eingeschlossen finden. Einzelne Körnchen weisen zahlreiche Sprünge auf und scheinen von dem Glase teilweise angeschmolzen zu sein. Ganz abweichend ist eine Partie des Schliffes in der Nähe des Eisens, die aus einem dendritischen Gemenge einer opaken Substanz, vielleicht eines Erzes, und aus skelett- und leistenförmigen Individuen eines Minerals besteht, das mit grosser Wahrscheinlichkeit als Olivin bestimmt werden konnte. Eine andere tiefschwarze Masse, die auf der anderen Seite des Eisenkorns nach der Mitte des Schliffs zu sich im Glase angehäuft hat oder dieses fein durchstäubt und auch einzelne Blasen erfüllt, trägt ganz den Charakter kohligter Substanz; ein Teilchen innerhalb eines Blasenraumes, das eine eigentümliche zellige Struktur besitzt, macht diese Annahme höchst wahrscheinlich.

Eine künstliche Entstehung des das Eisen führenden Gebildes kann nicht angenommen werden; nicht allein weil die Lage und der Charakter der Fundstelle irgendwelche Zufuhr künstlichen Schlackenmaterials höchst unwahrscheinlich machen, sondern namentlich aus dem Grunde, weil die Art und Weise des Vorkommens desselben genau gleich den anderen Auswürflingen mitten im Tuff einen Zweifel an der primären Zugehörigkeit zu diesen ausschliesst.

Eine ausführliche Besprechung wird an anderer Stelle erfolgen.

Neu aufgelegte Schriften:

- Leopoldina, Heft XXXVI, Nro. 4—10.
Deutsche botanische Monatsschrift 1900, Nro. 4.
Schriften der physikal.-ökonomisch. Gesellschaft in Königsberg.
Jahrg. 40. Königsberg 1899.
Verhandlungen der k. k. geologischen Reichsanstalt 1900, Nro. 3
bis 10.
Sitzungsberichte der physikal.-med. Societät in Erlangen, Heft
24 u. 28 u. 31. Erlangen 1892/97 u. 1900.
Schriften der naturforschenden Gesellschaft in Danzig. N. F.
Bd. X, Heft 1. Danzig 1899.
Zeitschrift für Naturwissenschaften, Bd. 72, Heft 4—6; Bd. 73,
Heft 1 u. 2. Stuttgart 1900.
Sitzungsberichte und Abhandlungen der „Isis“. Jahrg. 1899,
1 u. 2. Dresden 1899/1900.
Verhandlungen des naturhistorisch-medicinischen Vereins zu
Heidelberg. N. F. Bd. 6, Heft 3. Heidelberg 1899.
Sitzungsberichte der physikal.-medizinischen Gesellschaft zu
Würzburg. Jahrg. 1891.
Jahrbücher des nassauischen Vereins für Naturkunde. Jahrg. 43
und 53. Wiesbaden 1890 u. 1900.
24. Jahresbericht der Gewerbeschule in Bistritz, ebenso Jahres-
bericht 20 u. 21. Bistritz 1899.
Bericht der Lese- und Redehalle der deutschen Studenten in
Prag 1899. Prag 1900.
15th. Report of the Public Museum of Milwaukee.
Milwaukee 1898.
American Naturalist. Vol. XXXII, Nr. 373—382. Vol. XXXIV,
Nro. 400—405. Boston 1898/1900.
Bulletin of the New York Public Library. Vol. II, Nro. 2;
Vol. IV, Nro. 4 u. 5, 7—9.
Geological Survey of Canada. Nro. 685 u. 687. Ottawa 1900.
Philippi, R. A. Serpientes u. Torthegas Chilenas.
Santiago 1899.
Bulletin of the Museum of comparative Zoology. Vol. XXXV,
Nr. 8; Vol. XXXVI, Nro. 1—4; Vol. XXXVII, Nro. 1 u. 2.
Cambridge.
Department of the Agriculture at Sidney. Nro. 312 u. 307,
308, 333, 334, 300 (und edible earth).
Proceedings of the American Philosophical Society. Vol. XXXI,
Nro. 140; Vol. XXXIX, Nro. 161 u. 162. Philadelphia 1893.
Journal of the Elisha Mitchell Scientific Society 1899. Fasc. 2.
Memoirs and Proceedings of the Manchester literary and philo-
sophical Society. Vol. 44, Part. 3, 4. 5.
Manchester 1899/1900.

- U. S. Geological Survey, Nro. 150—162. Washington 1898/99.
U. S. Geological Survey, 19th. Report, Part. III et Part. V,
20th. Report, Part. I.
U. S. Geological Survey. Monographi XXXII, Part. 2, XXXIII,
XXXIV, XXXVI, XXXVII, XXXVIII.
Einladung zum Congress international de Botanique. (Paris 1
bis 10, October 1900).
Mémoires de la Société des Naturalistes de Kiew, Tom. XVI,
Livr. 1. Kiew 1899.
Rovartani Lapok. VII, 3, 4—8. Budapest 1900.
Mittheilungen aus der medic. Fakultät zu Tokio, Bd. IV, Heft VI.
Tokio 1900.
Rendiconto dell' Accademia della Scienze fisiche matematiche.
S. 3, Vol. 6, Fasc. 3 u. 4, 5—7. Napoli 1900.
Rendiconti della R. Acad. dei Lincei, Anno 297, Vol. IX, Fasc.
2—12. Roma 1900.
Finska vetenskaps Societetens forhandlingar, Bd. 41.
Helsingfors 1900.
Finlands Natur och Folk. Heft 5. Helsingfors 1900.
Norske Nordhavs Expedition XXVII. Zoologi. Norgaard
Polyzon. Christiania 1900.
Deutsche botanische Monatsschrift XVIII, 5 u. 6, 7, 9, 10, 11.
Verhandlungen des naturhistorischen Vereins der Rheinlande.
Jahrg. 56, 2. Hälfte. Bonn 1899.
Sitzungsberichte der niederrheinischen Gesellschaft für Natur-
und Heilkunde 1893, 1894, 1899.
Bolletino del. R. Comitato Geologico d'Italia, Anno XXV, 1 u. 4;
Anno XXVI, 1 u. 4. Roma 1894/95.
Atti della R. Accad. dei Lincei. Anno 297, Rendiconti Vol. IX,
Fasc. 11. Roma 1900.
Sitzungsberichte der med. naturwissenschaftl. Section des sieben-
bürgischen Museums-Vereins. Kolozsvart 1899.
Bulletin de l'Académie impériale des Sciences de St. Petersburg.
Tom. X, 5; Tom. XI, 1—5; Tom. XII, 1.
St. Petersburg 1899/1900.
Korrespondenzblatt des Naturforscher-Vereins zu Riga XXXVI.
Riga 1893.
Bergens Museum:
Aarsberetning 1899. Aarbog 1899, Crustacea of Norway. Vol.
IV, Part. V, VI. Bergen 1900.
Annales de la Société Géologique de Belgique. Tom. XVIII bis
Tom. XXV.

Ausgegeben am 31. Dezember 1900.



3 2044 106 259 815

